



รายงานการวิจัยฉบับสมบูรณ์

โครงการ

การใช้ไม้พอกกษัยและไม้จานจุรีเป็นองค์ประกอบในโครงสร้างไม้

Usage of *Albizia lebbeck* (L.) Benth. and *Samanea saman* Merrill

as Components in Wood Structures

ໂຄສະ

นายจักรพันธ์ แสงสุวรรณและคณะ

ได้รับทุนอุดหนุนวิจัยจากมหาวิทยาลัยเทคโนโลยีราชมงคลพระนคร

พนักงานสัญญาค่างเพาเวอร์	
ชื่อ.....	ชนบท บริการและดูแล จำกัด อิมาร์สันเน็ท
วันที่.....	14 ถ.ค. 2552
เลขทะเบียน.....	000145
เลขที่.....	๓๙

พ.ศ.2549

รายงานการวิจัยฉบับสมบูรณ์

โครงการ

การใช้ไม้พูกษ์และไม้จามจุรีเป็นองค์ประกอบในโครงสร้างไม้
Usage of Albizia lebbeck (L.) Benth. and Samanea saman Merill
as Components in Wood Structures

คณบดี สังกัด

- | | | |
|----------------|---------------|-------------------------|
| 1.นายจักรพันธ์ | แสงสุวรรณ | มทร.ราชมงคลพระนคร |
| 2.ผศ.ดร.วินัย | อวยพรประเสริฐ | มหาวิทยาลัยรังสิต |
| 3.ผศ.อุดมวิทญ์ | กาญจนวงศ์ | มทร.ราชมงคลรัตนโกสินทร์ |

ได้รับทุนอุดหนุนวิจัยจากมหาวิทยาลัยเทคโนโลยีราชมงคลพระนคร

พ.ศ.2549

บทคัดย่อ

งานวิจัยนี้มีวัตถุประสงค์เพื่อนำมาพฤกษ์และไม้จามจุรีซึ่งเป็นไม้เต็เรียว ที่พบโดยทั่วไปในประเทศไทยแต่ในปัจจุบัน ยังไม่สามารถนำมายืนดินนำมาใช้ประโยชน์เป็นองค์อาคารได้อย่างประยุค และปลอดภัยเพียงพอทั้งนี้เนื่องมาจากยังขาดค่าแนะนำเพื่อใช้งานทางด้านวิศวกรรม ดังนั้นในงานวิจัยนี้จึงทำการศึกษาคุณสมบัติทางกายภาพและเชิงกลของไม้ทั้งสองชนิด โดยอาศัยผลการวิเคราะห์ค่าทางสถิติของข้อมูลที่ได้จากการทดสอบจำนวน 11 รายการตามมาตรฐาน ASTM D-143,D-198 และ D-1037 โดยให้มีจำนวนตัวอย่างมากเพียงพอทางสถิติที่จะให้ช่วงแห่งความเชื่อมั่นไม่น้อยกว่าร้อยละ 99 จากนั้นนำข้อมูลมาวิเคราะห์หาภาวะเข้ารูปสนใจด้วยระดับความเชื่อมั่นไม่น้อยกว่าร้อยละ 95 โดยพิจารณาโครงสร้างอาคารที่วิเคราะห์ประกอบด้วย บ้านพักอาศัย อาคารสำนักงาน และโรงเรียนเป็นอาคาร 2 ชั้น มีความสูงระหว่างชั้น 3 เมตร กำหนดความยาวของลงและคานเป็นแบบช่วงเดียวกัน (Simple Supports) การวิเคราะห์ความน่าเชื่อถือขององค์อาคารไม้ไผ่ที่คำนวณถูกต้อง

จากผลการทดสอบพบว่าคุณสมบัติทางวิศวกรรมของไม้ทั้งสองชนิด อาจแทนได้ด้วยการแจกแจงแบบปกติ (Normal Distribution) และจากการวิเคราะห์ความน่าเชื่อถือรวมทั้งขนาดหน้าตัดขององค์อาคารตามสภาวะชีดจำากัดของโครงสร้าง คง คาน และเสา พบร่วมกันน้ำหนักของลงและคาน ถูกควบคุมด้วยพิกัดการโง่ตัวเป็นหลัก โดยมีค่าโมดูลัสยืดหยุ่น (E) เป็นตัวแปรหลักและเมื่อกำหนดให้ค่า ความน่าจะเป็น (p) ด้านการใช้งานเท่ากับ 10^{-4} จะให้ค่าชีดจำากัดสมประสิทธิ์การแปรผัน (COV) อยู่ที่ 0.269 ในขณะที่การรับน้ำหนักของเสาถูกควบคุมด้วยน้ำหนักบรรทุกิกกุกตุของอยเลอร์ (Luler's Loads) ซึ่งมีค่าโมดูลัสยืดหยุ่น (E) เป็นตัวแปรหลักเช่นกัน เมื่อกำหนดให้ค่าความน่าจะเป็น (p) สำหรับสภาวะชีดจำากัดเริ่งประลัยมีค่าเป็น 10^{-6} จะให้ค่าชีดจำากัด COV เป็น 0.21 เมื่อจาก COV ของไม้ทั้งสองชนิดมีค่าน้อยกว่าชีดจำากัดบนดังกล่าวจึงสามารถนำไปใช้งานได้ ในส่วนของการขนาดหน้าตัดขององค์อาคารไม้ที่เสนอขึ้นตอนการออกแบบที่คล้ายกับวิธีหน่วยแรงใช้งานตามมาตรฐานของ ว.ส.ท. ต่างกันเพียงใช้ค่าเฉลี่ยของน้ำหนักบรรทุกจรที่จัดเก็บในประเทศไทยแทนที่จะใช้ค่าที่ระบุตามเกณฑ์ญี่ปุ่น ทั้งนี้จากการออกแบบให้ขนาดหน้าตัดตรงกับขนาดที่ได้จากการของ WCCAL พร้อมกันนี้ได้แนะนำขนาดหน้าตัดขององค์อาคารและค่าตัวคุณความปลอดภัยซึ่งแสดงไว้ในตารางภาคผนวก (ค) นอกจากนี้ยังพบอีกว่าค่าโมดูลัสยืดหยุ่นที่ได้จากการทดสอบแรงอัดและแรงดึง ขนาดเส้นรอบวงไม้ทั้งสองชนิด สามารถประยุกต์นำมาใช้ในการคำนวณค่าโมดูลัสยืดหยุ่นที่ได้จากการทดสอบหากกำลังรับแรงดึงของไม้ได้ออกด้วย

ABSTRACT

The Research of this paper to propose the usage of *Albizia lebbeck* (L.) Benth. and *Samanea saman* Merill are fast-growing commonly found in Thailand. However these species of wood could not be utilized as structural components either economically or safely due to the lack of recommended values for their engineering properties. Therefore the objective of this research was to study their physical and mechanical properties based on statistical data obtained from 11 series of tests in accordance with ASTM D-143, D-198 and D-1037. The number of samples for each test was large enough to ensure 99% interval of confidence. Then goodness-of-fit tests were performed for each set of data to achieve at least 95% level of confidence. Buildings analyzed included residences, offices, and schools. The buildings were limited to two-storeyed buildings with floor-to-floor height of 3.00 meters. Given to joists and beams were simply supported. Values of structural reliability were obtained by using accurate methods.

Results from testing showed that engineering properties of both species of wood could be represented well by normal distribution. Reliability analyses and designs of wood sections for joists, beams and columns showed that designs of joists and beams were controlled by deflection; whereas those of columns were controlled by buckling. Based on these reasons the governing basic variable for designs of wood sections was the modulus of elasticity (E). If the accepted value of failure probability (p_f) for serviceability limit states was set to be 10^{-4} , the corresponding upper limit coefficient of variation (COV) of E would be 0.269. Similarly if the accepted value of p_f for ultimate limit states was set to be 10^{-6} , the corresponding upper limit COV of E would be 0.210. Since COV of E for both species of wood were lower than limit COV mentioned above, they could be used safely as structural components. Proposed design procedures were similar to Working Stress Methods. The only difference from E.I.T. standard was live load. Instead of nominal live loads for residence, office and school as stated in the Municipal law, mean live loads based on data gathered in Thailand were recommended. Wood sections obtained from numerical procedures proposed were as large as those obtained from WCCAL Software. Furthermore recommended wood sections and factor of safety (FS) were summarized in appendices. It was also interesting to note that the value of E for compression and tension parallel to grain of both species of wood could be used to predict the corresponding value of E for bending.

คำขอบคุณ

รายงานฉบับนี้เสร็จสมบูรณ์ได้ด้วยความอนุเคราะห์จากมหาวิทยาลัยเทคโนโลยีราชมงคล ในการให้ทุนอุดหนุนวิจัยและสนับสนุนโครงการวิจัยมาโดยตลอด และขอขอบคุณ พศ.ดร.วินัย อายพรประเสริฐ จากมหาวิทยาลัยรังสิต เป็นจุดเริ่มต้นที่ได้แนะนำหนังสือเรื่อง “ไม่และของป้าบางชนิดในประเทศไทย” ฉบับพิมพ์ครั้งที่ 3 โดยกองค้นคว้ากรมป่าไม้ และสมาคมป่าไม้แห่งประเทศไทย พ.ศ.2526 ซึ่งเป็นการจุดประกายแนวความคิดและเป็นข้อมูลเบื้องต้นสำหรับผู้วิจัย ความสำเร็จอย่างดียิ่งของการวิจัยส่วนหนึ่งเกิดจากความอนุเคราะห์ในการประสานงานของผู้ร่วมวิจัยและที่ปรึกษา ทุกท่านที่ได้ให้ข้อคิดเห็นและเสนอแนะสิ่งที่มีคุณค่า ซึ่งผลที่ได้จากการวิจัยนี้สามารถนำไปใช้เป็นข้อมูลเบื้องต้น เพื่อที่จะได้ศึกษาในเรื่องที่เกี่ยวข้องกับไม้เนื้ออ่อนที่โภชนาให้เกิดประโยชน์สูงสุด สำหรับการทดสอบและการจัดเก็บรวมข้อมูลจากหน่วยงานต่างๆ รวมทั้งการคัดข้อมูลการจัดเก็บข้อมูลอย่างมีระบบและมีประสิทธิภาพโดยผู้ช่วยวิจัยทุกท่าน

คณะผู้วิจัยจึงขอขอบพระคุณมา ณ ที่นี่ และหวังเป็นอย่างยิ่งว่าเอกสารฉบับนี้จะเป็นประโยชน์ต่อวงการวิชาการด้านวิศวกรรม สถาปัตยกรรม วงการก่อสร้าง และเป็นแนวทางการปฏิสูตรป่าไม้เพื่อเพิ่มพื้นที่ป่าไม้ เพิ่มต้นน้ำลำธาร อนุรักษ์สิ่งแวดล้อม และสร้างเครือข่ายประโยชน์ทางเศรษฐกิจแก่ประเทศไทยต่อไป

จักรพันธ์ แสงสุวรรณคณะ

พฤษภาคม 2550

สารบัญ

หน้า

สารบัญ

คำขอบคุณ

สารบัญตาราง

สารบัญรูปภาพ

สัญลักษณ์และคำย่อ

บทที่ 1 บทนำ

1.1 หลักการและเหตุผล	1
1.2 วัตถุประสงค์ของการศึกษา	2
1.3 ขอบเขตของงานวิจัย	2
1.4 คำนิยาม	3
1.5 ประโยชน์ที่คาดว่าจะได้รับจากการวิจัย	3

บทที่ 2 ไม้

2.1 ไม้ : ทรัพยากรธรรมชาติ	4
2.2 ไม้ : วัสดุก่อสร้าง	10

บทที่ 3 การนำไม้มาใช้ประโยชน์

3.1 หลักการแปรรูปไม้ชุงหอน	15
3.2 ขั้นตอนการแปรรูปไม้	16
3.3 ข้อกำหนดทั่วไปของการแปรรูปไม้	17
3.4 การใช้ไม้ให้คุ้มค่า	18
3.5 การนำไม้มาใช้เป็นโครงสร้างอย่างปลอดภัย	19

บทที่ 4 อุปกรณ์และวิธีการดำเนินงานวิจัย

4.1 อุปกรณ์ที่ใช้ในการดำเนินงานวิจัย	25
4.2 ขั้นตอนและวิธีการ	25
4.3 การทดสอบและวิเคราะห์เชิงสถิติกุณสมบัติทางกายภาพและเชิงกล	27
4.4 ขีดจำกัดของสัมประสิทธิ์การแปรผันของความต้านทานเชิงโครงสร้าง	30
4.5 การวิเคราะห์ความน่าเชื่อถือเชิงโครงสร้างองค์ความ	31
4.6 พังก์ชันสภาวะขีดจำกัดขององค์ความ	37

สารบัญ (ต่อ)

	หน้า
บทที่ 5 ข้อมูลทั่วไปเกี่ยวกับไม้ที่นำมาทดสอบ	
5.1 ไม้พฤกษ์	40
5.2 ไม้จามจุรี	41
บทที่ 6 ผลการทดสอบคุณสมบัติทางวิศวกรรมของไม้พฤกษ์และไม้จามจุรี	
6.1 ไม้พฤกษ์	42
6.2 ไม้จามจุรี	45
6.3 คุณสมบัติเชิงกลสำหรับค่าโมดูลัสยืดหยุ่นของไม้พฤกษ์ และไม้จามจุรี	49
บทที่ 7 การใช้ประโยชน์จากไม้พฤกษ์และไม้จามจุรีเป็นองค์อาคาร	
7.1 ข้อมูลเบื้องต้นในการวิเคราะห์ความนำเรือถือเริงโครงสร้าง	53
7.2 การนำไม้พฤกษ์มาใช้เป็นองค์อาคาร ไม้	57
7.3 การนำไม้จามจุรีมาใช้เป็นองค์อาคาร ไม้	66
บทที่ 8 สรุปผลการวิจัยและข้อเสนอแนะ	
8.1 สรุปผลการวิจัย	75
8.2 ข้อแนะนำการใช้งานทั่วไป	76
8.3 ข้อเสนอแนะ	78
บรรณานุกรม	79
ภาคผนวก ก	82
ภาคผนวก ช	100
ภาคผนวก ศ	110
ภาคผนวก ง	130
ภาคผนวก จ	204
ภาคผนวก ฉ	278

สารบัญ (ต่อ)

	หน้า
ตารางที่ ง.18 การเปรียบเทียบความถี่ของข้อมูลเทียบกับความถี่ที่ได้จากการแจกแจงที่ผ่านการทดสอบโดยกำลังสองสำหรับการทดสอบแรงดันโมดูลัสแตกหัก (ทฤษฎีภูมิ) ³ ของไม้พฤกษ์	157
ตารางที่ ง.19 การทดสอบแรงดึงในแนวขานาเสียน ของไม้พฤกษ์	159
ตารางที่ ง.20 การเปรียบเทียบความถี่ของข้อมูลเทียบกับความถี่ที่ได้จากการแจกแจงที่ผ่านการทดสอบโดยกำลังสองสำหรับการทดสอบแรงดึงในแนวขานาเสียน ของไม้พฤกษ์	160
ตารางที่ ง.21 แรงดึงในแนวขานาเสียนของไม้พฤกษ์ (ค่าโมดูลัสยืดหยุ่น E)	162
ตารางที่ ง.22 การเปรียบเทียบความถี่ของข้อมูลเทียบกับความถี่ที่ได้จากการแจกแจงที่ผ่านการทดสอบโดยกำลังสองสำหรับการทดสอบแรงดึงในแนวขานาเสียน ของไม้พฤกษ์ (ค่าโมดูลัสยืดหยุ่น E)	163
ตารางที่ ง.23 การทดสอบแรงดึงในแนวตั้งจากเสียน ของไม้พฤกษ์	165
ตารางที่ ง.24 การเปรียบเทียบความถี่ของข้อมูลเทียบกับความถี่ที่ได้จากการแจกแจงที่ผ่านการทดสอบโดยกำลังสองสำหรับการทดสอบแรงดึงในแนวตั้งจากเสียน ของไม้พฤกษ์	166
ตารางที่ ง.25 การทดสอบแรงเฉือนขานาเสียน ของไม้พฤกษ์	168
ตารางที่ ง.26 การเปรียบเทียบความถี่ของข้อมูลเทียบกับความถี่ที่ได้จากการแจกแจงที่ผ่านการทดสอบโดยกำลังสองสำหรับการทดสอบแรงเฉือนขานาเสียน ของไม้พฤกษ์	169
ตารางที่ ง.27 การทดสอบการฉีกขาด ของไม้พฤกษ์	171
ตารางที่ ง.28 การเปรียบเทียบความถี่ของข้อมูลเทียบกับความถี่ที่ได้จากการแจกแจงที่ผ่านการทดสอบโดยกำลังสองสำหรับการทดสอบการฉีกขาดของไม้พฤกษ์	172
ตารางที่ ง.29 การทดสอบความเนียนya ของไม้พฤกษ์	174
ตารางที่ ง.30 การเปรียบเทียบความถี่ของข้อมูลเทียบกับความถี่ที่ได้จากการแจกแจงที่ผ่านการทดสอบโดยกำลังสองสำหรับการทดสอบความเนียนyaของไม้พฤกษ์	175
ตารางที่ ง.31 การทดสอบความแข็งของไม้พฤกษ์ (ขานาเสียน)	177
ตารางที่ ง.32 การเปรียบเทียบความถี่ของข้อมูลเทียบกับความถี่ที่ได้จากการแจกแจงที่ผ่านการทดสอบโดยกำลังสองสำหรับความแข็งของไม้พฤกษ์ (ขานาเสียน)	178

สารบัญตาราง

	หน้า
ตารางที่ 2.1 ข้อแตกต่างระหว่างลำต้นพืชใบเลี้ยงเดียวและพืชใบเลี้ยงคู่	5
ตารางที่ 2.2 ปริมาณการให้ไม้ในประเทศไทยระหว่างปี 2521-2543	11
ตารางที่ 2.3 เปรียบเทียบพื้นที่ป่าไม้ระหว่างปี 2521-2534	12
ตารางที่ 2.4 มาตรฐานในการแบ่งช่วงความแข็งแรงของไม้ โดยกรมป่าไม้	14
ตารางที่ 2.5 ตัวอย่างไม้ตามมาตรฐานในการแบ่งช่วงความแข็งแรง โดยกรมป่าไม้	14
ตารางที่ 3.1 การเลือยเผื่อความหนาของไม้แปรรูป	18
ตารางที่ 3.2 การเลือยเผื่อความกว้างของไม้แปรรูป	18
ตารางที่ 3.3 ระดับของมาตรฐานการออกแบบ	21
ตารางที่ 3.4 ระดับความปลดภัย	22
ตารางที่ 3.5 ระดับของการตรวจสอบความปลดภัย	22
ตารางที่ 3.6 ความสัมพันธ์ระหว่างตระหง่านความปลดภัย (β) และความน่าจะวินาศ (p_1)	22
ตารางที่ 4.1 ขนาดตัวอย่างการทดสอบคุณสมบัติทางกายภาพ และเชิงกลไม้	27
ตารางที่ 6.1 คุณสมบัติทางสติ๊ติสำหรับข้อมูลทางวิศวกรรมของไม้พฤกษ์	44
ตารางที่ 6.2 คุณสมบัติทางสติ๊ติสำหรับข้อมูลทางวิศวกรรมของไม้จามจุรี	47
ตารางที่ 7.1 ประเภทของสภาวะชีดจำกัดของสัมประสิทธิ์การแปรผัน	53
ตารางที่ 7.2 ข้อมูลน้ำหนักบรรทุกเฉพาะตามเก็บข้อมูลที่จัดเก็บในประเทศไทย	54
ตารางที่ 7.3 ขนาดหน้าตัดของตงไม้พฤกษ์ แบ่งตามประเภทของน้ำหนักบรรทุกเฉพาะ	60
ตารางที่ 7.4 ขนาดหน้าตัดของคานไม้พฤกษ์ (คานคู่) แบ่งตามประเภทของน้ำหนักบรรทุกเฉพาะ	62
ตารางที่ 7.5 ขนาดหน้าตัดของเสาไม้พฤกษ์ แบ่งตามประเภทของน้ำหนักบรรทุกเฉพาะ	64
ตารางที่ 7.6 ขนาดที่เหมาะสมของไม้พฤกษ์ในการใช้เป็นองค์อาคารส่วนต่างๆ	65
ตารางที่ 7.7 ขนาดหน้าตัดของตงไม้จามจุรี แบ่งตามประเภทของน้ำหนักบรรทุกเฉพาะ	68
ตารางที่ 7.8 ขนาดหน้าตัดของคานไม้จามจุรี (คานคู่) แบ่งตามประเภทของน้ำหนักบรรทุกเฉพาะ	71
ตารางที่ 7.9 ขนาดหน้าตัดของเสาไม้จามจุรี แบ่งตามประเภทของน้ำหนักบรรทุกเฉพาะ	73
ตารางที่ 7.10 ขนาดที่เหมาะสมของไม้จามจุรีในการใช้เป็นองค์อาคารส่วนต่างๆ	74
ตารางที่ 8.1 การเบรียบเทียบคุณสมบัติของไม้ที่นิยมใช้เป็นโครงสร้างกับไม้พฤกษ์ และจามจุรี	76

สารบัญตาราง (ต่อ)

	หน้า
ตารางที่ 8.2 ขนาดที่เหมาะสมของไม้พุกช์ในการใช้เป็นองค์อาคารส่วนต่างๆ	77
ตารางที่ 8.3 ขนาดที่เหมาะสมของไม้จามจุรีในการใช้เป็นองค์อาคารส่วนต่างๆ	78
ตารางที่ ช.1 ค่าสมมติที่การประพันเทียบกับค่าความนำจะวินบิตและค่าดறรานี ความปลดลดภัย	107
ตารางที่ ช.2 ข้อมูลทางวิศวกรรมในประเทศไทย	107
ตารางที่ ค.1 ขนาดหน้าตัดองค์อาคารไม้พุกช์ สำหรับ (คง) (ที่พักอาศัย)	112
ตารางที่ ค.2 ขนาดหน้าตัดองค์อาคารไม้พุกช์ สำหรับ (คง) (สำนักงาน)	113
ตารางที่ ค.3 ขนาดหน้าตัดองค์อาคารไม้พุกช์ สำหรับ (คง) (โรงเรียน)	114
ตารางที่ ค.4 ขนาดหน้าตัดองค์อาคารไม้พุกช์ สำหรับ (คง) (ที่พักอาศัย)	115
ตารางที่ ค.5 ขนาดหน้าตัดองค์อาคารไม้พุกช์ สำหรับ (คง) (สำนักงาน)	116
ตารางที่ ค.6 ขนาดหน้าตัดองค์อาคารไม้พุกช์ สำหรับ (คง) (โรงเรียน)	117
ตารางที่ ค.7 ขนาดหน้าตัดองค์อาคารไม้พุกช์ สำหรับ (เสา) (ที่พักอาศัย)	118
ตารางที่ ค.8 ขนาดหน้าตัดองค์อาคารไม้พุกช์ สำหรับ (เสา) (สำนักงาน)	119
ตารางที่ ค.9 ขนาดหน้าตัดองค์อาคารไม้พุกช์ สำหรับ (เสา) (โรงเรียน)	120
ตารางที่ ค.10 ขนาดหน้าตัดขององค์อาคารไม้จามจุรี สำหรับ(คง) ที่พักอาศัย	121
ตารางที่ ค.11 ขนาดหน้าตัดขององค์อาคารไม้จามจุรี สำหรับ(คง) สำนักงาน	122
ตารางที่ ค.12 ขนาดหน้าตัดขององค์อาคารไม้จามจุรี สำหรับ(คง) โรงเรียน	123
ตารางที่ ค.13 ขนาดหน้าตัดขององค์อาคารไม้จามจุรี สำหรับ(คง) ที่พักอาศัย	124
ตารางที่ ค.14 ขนาดหน้าตัดขององค์อาคารไม้จามจุรี สำหรับ(คง) สำนักงาน	125
ตารางที่ ค.15 ขนาดหน้าตัดขององค์อาคารไม้จามจุรี สำหรับ(คง) โรงเรียน	126
ตารางที่ ค.16 ขนาดหน้าตัดขององค์อาคารไม้จามจุรี สำหรับ (เสา) ที่พักอาศัย	127
ตารางที่ ค.17 ขนาดหน้าตัดขององค์อาคารไม้จามจุรี สำหรับ (เสา) สำนักงาน	128
ตารางที่ ค.18 ขนาดหน้าตัดขององค์อาคารไม้จามจุรี สำหรับ (เสา) โรงเรียน	129
ตารางที่ ง.1 แรงอัดข้าน้ำเสี้ยน (ปฐมภูมิ) ² ของไม้พุกช์	132
ตารางที่ ง.2 การเปรียบเทียบความถี่ของข้อมูลเทียบกับความถี่ที่ได้จากการแจกแจง ที่ผ่านการทดสอบให้กำลังสองสำหรับค่าแรงอัดข้าน้ำเสี้ยนของไม้พุกช์	133
ตารางที่ ง.3 แรงอัดข้าน้ำเสี้ยน (ทุติยภูมิ) ³ ของไม้พุกช์	135

สารบัญตาราง (ต่อ)

	หน้า
ตารางที่ ง.4 การเปรียบเทียบความถี่ของข้อมูลเทียบกับความถี่ที่ได้จากการแจกแจงที่ผ่านการทดสอบไคกำลังสองสำหรับค่าแรงอัตราชนะเสี่ยนของไม้พูกซ์	136
ตารางที่ ง.5 แรงอัตราชนะเสี่ยนสำหรับค่าไม้ดูลส์ยีดหยุ่น (ปฐมภูมิ) ² ของไม้พูกซ์	138
ตารางที่ ง.6 การเปรียบเทียบความถี่ของข้อมูลเทียบกับความถี่ที่ได้จากการแจกแจงที่ผ่านการทดสอบไคกำลังสองสำหรับค่าแรงอัตราชนะเสี่ยนใช้ค่าไม้ดูลส์ยีดหยุ่น (ปฐมภูมิ) ² ของไม้พูกซ์	139
ตารางที่ ง.7 แรงอัตราชนะเสี่ยนสำหรับค่าไม้ดูลส์ยีดหยุ่น (ทุติยภูมิ) ³ ของไม้พูกซ์	141
ตารางที่ ง.8 การเปรียบเทียบความถี่ของข้อมูลเทียบกับความถี่ที่ได้จากการแจกแจงที่ผ่านการทดสอบไคกำลังสองสำหรับค่าแรงอัตราชนะเสี่ยนใช้ค่าไม้ดูลส์ยีดหยุ่น (ทุติยภูมิ) ³ ของไม้พูกซ์	142
ตารางที่ ง.9 ค่าแรงอัตติ้งจากเสี่ยน ของไม้พูกซ์	144
ตารางที่ ง.10 การเปรียบเทียบความถี่ของข้อมูลเทียบกับความถี่ที่ได้จากการแจกแจงที่ผ่านการทดสอบไคกำลังสองสำหรับค่าแรงอัตติ้งจากเสี่ยน ของไม้พูกซ์	145
ตารางที่ ง.11 การทดสอบแรงดันไม้ดูลส์ยีดหยุ่น (ปฐมภูมิ) ² ของไม้พูกซ์	147
ตารางที่ ง.12 การเปรียบเทียบความถี่ของข้อมูลเทียบกับความถี่ที่ได้จากการแจกแจงที่ผ่านการทดสอบไคกำลังสองสำหรับการทดสอบแรงดันไม้ดูลส์ยีดหยุ่น (ปฐมภูมิ) ² ของไม้พูกซ์	148
ตารางที่ ง.13 การทดสอบแรงดันไม้ดูลส์ແຕກหัก (ปฐมภูมิ) ² ของไม้พูกซ์	150
ตารางที่ ง.14 การเปรียบเทียบความถี่ของข้อมูลเทียบกับความถี่ที่ได้จากการแจกแจงที่ผ่านการทดสอบไคกำลังสองสำหรับการทดสอบแรงดันไม้ดูลส์ແຕກหัก (ปฐมภูมิ) ² ของไม้พูกซ์	151
ตารางที่ ง.15 การทดสอบแรงดันไม้ดูลส์ยีดหยุ่น (ทุติยภูมิ) ³ ของไม้พูกซ์	153
ตารางที่ ง.16 การเปรียบเทียบความถี่ของข้อมูลเทียบกับความถี่ที่ได้จากการแจกแจงที่ผ่านการทดสอบไคกำลังสองสำหรับการทดสอบแรงดันไม้ดูลส์ยีดหยุ่น (ทุติยภูมิ) ³ ของไม้พูกซ์	154
ตารางที่ ง.17 การทดสอบแรงดันไม้ดูลส์ແຕກหัก (ทุติยภูมิ) ³ ของไม้พูกซ์	156

สารบัญตาราง (ต่อ)

	หน้า
ตารางที่ ง.33 การทดสอบความแข็งของไม้พฤกษ์ (สัมผัสเสียง)	180
ตารางที่ ง.34 การเปรียบเทียบความถี่ของข้อมูลเทียบกับความถี่ที่ได้จากการแจกแจงที่ผ่านการทดสอบไปกำลังสองสำหรับความแข็งของไม้พฤกษ์ (สัมผัสเสียง)	181
ตารางที่ ง.35 การทดสอบความแข็งของไม้พฤกษ์ (ตั้งจากเสียง)	183
ตารางที่ ง.36 การเปรียบเทียบความถี่ของข้อมูลเทียบกับความถี่ที่ได้จากการแจกแจงที่ผ่านการทดสอบไปกำลังสองสำหรับความแข็งของไม้พฤกษ์ (ตั้งจากเสียง)	184
ตารางที่ ง.37 การทดสอบความถ่วงจำเพาะของไม้พฤกษ์	186
ตารางที่ ง.38 การเปรียบเทียบความถี่ของข้อมูลเทียบกับความถี่ที่ได้จากการแจกแจงที่ผ่านการทดสอบไปกำลังสองสำหรับความถ่วงจำเพาะของไม้พฤกษ์	187
ตารางที่ ง.39 การทดสอบปริมาตรการหดตัวของไม้พฤกษ์	189
ตารางที่ ง.40 การเปรียบเทียบความถี่ของข้อมูลเทียบกับความถี่ที่ได้จากการแจกแจงที่ผ่านการทดสอบไปกำลังสองสำหรับปริมาตรการหดตัวของไม้พฤกษ์	190
ตารางที่ ง.41 การทดสอบปริมาณความชื้นของไม้พฤกษ์	192
ตารางที่ ง.42 การเปรียบเทียบความถี่ของข้อมูลเทียบกับความถี่ที่ได้จากการแจกแจงที่ผ่านการทดสอบไปกำลังสองสำหรับปริมาณความชื้นของไม้พฤกษ์	193
ตารางที่ ง.43 การทดสอบหาค่าความหนาแน่นของไม้พฤกษ์	195
ตารางที่ ง.44 การเปรียบเทียบความถี่ของข้อมูลเทียบกับความถี่ที่ได้จากการแจกแจงที่ผ่านการทดสอบไปกำลังสองสำหรับความหนาแน่นของไม้พฤกษ์	196
ตารางที่ ง.45 การทดสอบการหดตัวในแนวเส้นสัมผัสของไม้พฤกษ์	198
ตารางที่ ง.46 การเปรียบเทียบความถี่ของข้อมูลเทียบกับความถี่ที่ได้จากการแจกแจงที่ผ่านการทดสอบไปกำลังสองสำหรับการหดตัวในแนวเส้นสัมผัสของไม้พฤกษ์	199
ตารางที่ ง.47 การทดสอบการหดตัวในแนวรัศมีของไม้พฤกษ์	201
ตารางที่ ง.48 การเปรียบเทียบความถี่ของข้อมูลเทียบกับความถี่ที่ได้จากการแจกแจงที่ผ่านการทดสอบไปกำลังสองสำหรับการหดตัวในแนวรัศมีของไม้พฤกษ์	202
ตารางที่ ก.1 แรงอัดข้าน้ำเสียง (ปฐมภูมิ) ² ของไม้จามจุรี	206
ตารางที่ ก.2 การเปรียบเทียบความถี่ของข้อมูลเทียบกับความถี่ที่ได้จากการแจกแจงที่ผ่านการทดสอบไปกำลังสองสำหรับค่าแรงอัดข้าน้ำเสียงของไม้พฤกษ์	207
ตารางที่ ก.3 แรงอัดข้าน้ำเสียง (ทุติยภูมิ) ³ ของไม้จามจุรี	209

สารบัญตาราง (ต่อ)

	หน้า
ตารางที่ จ.4 การเปรียบเทียบความถี่ของข้อมูลเทียบกับความถี่ที่ได้จากการแจกแจงที่ผ่านการทดสอบไคกำลังสอง แรงอัดขนาดเสียงของไม้จำจรี	210
ตารางที่ จ.5 แรงอัดขนาดเสียงสำหรับค่าไม้ดูลัสย์เดนยุ่น (ปฐมภูมิ) ² ของไม้จำจรี	212
ตารางที่ จ.6 การเปรียบเทียบความถี่ของข้อมูลเทียบกับความถี่ที่ได้จากการแจกแจงที่ผ่านการทดสอบไคกำลังสองสำหรับค่าแรงอัดขนาดเสียงใช้ค่าไม้ดูลัสย์เดนยุ่น (ปฐมภูมิ) ² ของไม้จำจรี	213
ตารางที่ จ.7 แรงอัดขนาดเสียงสำหรับค่าไม้ดูลัสย์เดนยุ่น (ทุติยภูมิ) ³ ของไม้จำจรี	215
ตารางที่ จ.8 การเปรียบเทียบความถี่ของข้อมูลเทียบกับความถี่ที่ได้จากการแจกแจงที่ผ่านการทดสอบไคกำลังสองสำหรับค่าแรงอัดขนาดเสียงใช้ค่าไม้ดูลัสย์เดนยุ่น (ทุติยภูมิ) ³ ของไม้จำจรี	216
ตารางที่ จ.9 ค่าแรงอัดตั้งจากเสียง ของไม้จำจรี	218
ตารางที่ จ.10 การเปรียบเทียบความถี่ของข้อมูลเทียบกับความถี่ที่ได้จากการแจกแจงที่ผ่านการทดสอบไคกำลังสองสำหรับค่าแรงอัดตั้งจากเสียงไม้จำจรี	219
ตารางที่ จ.11 การทดสอบแรงตัดไม้ดูลัสย์เดนยุ่น (ปฐมภูมิ) ² ของไม้จำจรี	221
ตารางที่ จ.12 การเปรียบเทียบความถี่ของข้อมูลเทียบกับความถี่ที่ได้จากการแจกแจงที่ผ่านการทดสอบไคกำลังสองสำหรับการทดสอบแรงตัดไม้ดูลัสย์เดนยุ่น (ปฐมภูมิ) ² ของไม้จำจรี	222
ตารางที่ จ.13 การทดสอบแรงตัดไม้ดูลัสแตกหัก (ปฐมภูมิ) ² ของไม้จำจรี	224
ตารางที่ จ.14 การเปรียบเทียบความถี่ของข้อมูลเทียบกับความถี่ที่ได้จากการแจกแจงที่ผ่านการทดสอบไคกำลังสองสำหรับการทดสอบแรงตัดไม้ดูลัสแตกหัก (ปฐมภูมิ) ² ของไม้จำจรี	225
ตารางที่ จ.15 การทดสอบแรงตัดไม้ดูลัสย์เดนยุ่น (ทุติยภูมิ) ³ ของไม้จำจรี	227
ตารางที่ จ.16 การเปรียบเทียบความถี่ของข้อมูลเทียบกับความถี่ที่ได้จากการแจกแจงที่ผ่านการทดสอบไคกำลังสองสำหรับการทดสอบแรงตัดไม้ดูลัสย์เดนยุ่น (ทุติยภูมิ) ³ ของไม้พฤกษ์	228
ตารางที่ จ.17 การทดสอบแรงตัดไม้ดูลัสแตกหัก (ทุติยภูมิ) ³ ของไม้จำจรี	230
ตารางที่ จ.18 การเปรียบเทียบความถี่ของข้อมูลเทียบกับความถี่ที่ได้จากการแจกแจงที่ผ่านการทดสอบไคกำลังสองสำหรับไม้ดูลัสแตกหัก(ทุติยภูมิ) ³	231

สารบัญตาราง (ต่อ)

	หน้า
ตารางที่ จ.19 การทดสอบแรงดึงในแนวขานานเสี้ยน ของไม้จามจุรี	233
ตารางที่ จ.20 การเปรียบเทียบความถี่ของข้อมูลเทียบกับความถี่ที่ได้จากการแจกแจงที่ผ่านการทดสอบไปกำลังสองสำหรับการทดสอบแรงดึงในแนวขานานเสี้ยนของจามจุรี	234
ตารางที่ จ.21 การทดสอบแรงดึงในแนวขานานเสี้ยน ของไม้จามจุรี (E)	236
ตารางที่ จ.22 การเปรียบเทียบความถี่ของข้อมูลเทียบกับความถี่ที่ได้จากการแจกแจงที่ผ่านการทดสอบไปกำลังสองสำหรับการทดสอบแรงดึงในแนวขานานเสี้ยนของจามจุรี (E)	237
ตารางที่ จ.23 การทดสอบแรงดึงในแนวตั้งจากเสี้ยน ของไม้พฤกษ์	239
ตารางที่ จ.24 การเปรียบเทียบความถี่ของข้อมูลเทียบกับความถี่ที่ได้จากการแจกแจงที่ผ่านการทดสอบไปกำลังสองสำหรับการทดสอบแรงดึงในแนวตั้งจากเสี้ยนของไม้จามจุรี	240
ตารางที่ จ.25 การทดสอบแรงเฉือนนานเสี้ยน ของไม้จามจุรี	242
ตารางที่ จ.26 การเปรียบเทียบความถี่ของข้อมูลเทียบกับความถี่ที่ได้จากการแจกแจงที่ผ่านการทดสอบไปกำลังสองสำหรับการทดสอบแรงเฉือนนานเสี้ยนของไม้จามจุรี	243
ตารางที่ จ.27 การทดสอบการฉีกขาด ของไม้จามจุรี	245
ตารางที่ จ.28 การเปรียบเทียบความถี่ของข้อมูลเทียบกับความถี่ที่ได้จากการแจกแจงที่ผ่านการทดสอบไปกำลังสองสำหรับการฉีกขาดของไม้จามจุรี	246
ตารางที่ จ.29 การทดสอบความเหนียว ของไม้จามจุรี	248
ตารางที่ จ.29 การเปรียบเทียบความถี่ของข้อมูลเทียบกับความถี่ที่ได้จากการแจกแจงที่ผ่านการทดสอบไปกำลังสองสำหรับความเหนียวของไม้จามจุรี	249
ตารางที่ จ.30 การทดสอบความแข็งของไม้จามจุรี(ขานานเสี้ยน)	251
ตารางที่ จ.31 การเปรียบเทียบความถี่ของข้อมูลเทียบกับความถี่ที่ได้จากการแจกแจงที่ผ่านการทดสอบไปกำลังสองสำหรับความแข็งของจามจุรี (ขานานเสี้ยน)	252
ตารางที่ จ.32 การทดสอบความแข็งของไม้จามจุรี(สมผัสเสี้ยน)	254
ตารางที่ จ.33 การเปรียบเทียบความถี่ของข้อมูลเทียบกับความถี่ที่ได้จากการแจกแจงที่ผ่านการทดสอบไปกำลังสองสำหรับความแข็งของไม้จามจุรี (สมผัสเสี้ยน)	255

สารบัญตาราง (ต่อ)

	หน้า
ตารางที่ จ.34 การทดสอบความแข็งของไม้จำجุรี (ตั้งจากเสี้ยน)	257
ตารางที่ จ.35 การเปรียบเทียบความถี่ของข้อมูลเทียบกับความถี่ที่ได้จากการแจกแจงที่ผ่านการทดสอบโดยกำลังสองสำหรับความแข็งของไม้จำจุรี (ตั้งจากเสี้ยน)	258
ตารางที่ จ.36 การทดสอบความถ่วงจำเพาะของไม้จำจุรี	260
ตารางที่ จ.37 การเปรียบเทียบความถี่ของข้อมูลเทียบกับความถี่ที่ได้จากการแจกแจงที่ผ่านการทดสอบโดยกำลังสองสำหรับความถ่วงจำเพาะของไม้จำจุรี	261
ตารางที่ จ.38 การทดสอบปริมาณการหดตัวของไม้จำจุรี	263
ตารางที่ จ.39 การเปรียบเทียบความถี่ของข้อมูลเทียบกับความถี่ที่ได้จากการแจกแจงที่ผ่านการทดสอบโดยกำลังสองสำหรับปริมาณการหดตัวของไม้จำจุรี	264
ตารางที่ จ.40 การทดสอบปริมาณความชื้นของไม้จำจุรี	266
ตารางที่ จ.41 การเปรียบเทียบความถี่ของข้อมูลเทียบกับความถี่ที่ได้จากการแจกแจงที่ผ่านการทดสอบโดยกำลังสองสำหรับปริมาณความชื้นของไม้จำจุรี	267
ตารางที่ จ.42 การทดสอบหาค่าความหนาแน่นของไม้จำจุรี	269
ตารางที่ จ.43 การเปรียบเทียบความถี่ของข้อมูลเทียบกับความถี่ที่ได้จากการแจกแจงที่ผ่านการทดสอบโดยกำลังสองสำหรับความหนาแน่นของไม้จำจุรี	270
ตารางที่ จ.44 การทดสอบการหดตัวในแนวเส้นสัมผัสของไม้จำจุรี	272
ตารางที่ จ.45 การเปรียบเทียบความถี่ของข้อมูลเทียบกับความถี่ที่ได้จากการแจกแจงที่ผ่านการทดสอบโดยกำลังสอง การหดตัวในแนวเส้นสัมผัสของไม้จำจุรี	273
ตารางที่ จ.46 การทดสอบการหดตัวในแนวรัศมีของไม้จำจุรี	275
ตารางที่ จ.47 การเปรียบเทียบความถี่ของข้อมูลเทียบกับความถี่ที่ได้จากการแจกแจงที่ผ่านการทดสอบโดยกำลังสองสำหรับการหดตัวในแนวรัศมีของไม้จำจุรี	276

สารบัญรูปภาพ

	หน้า
รูปที่ 3.1 การนำท่ออนซูงขึ้นห้องตากลามาเลือย	15
รูปที่ 3.2 การนำไม้ท่อนที่ได้จากการเลือยครั้งแรกในรูปที่ 1.3 มาแปลงรูปเป็นไม้แผ่น	15
รูปที่ 3.3 การเลือยเปิดปีกเพื่อให้ได้ไม้แผ่นรูป	15
รูปที่ 3.4 การเลือยไม้ให้เข้ากับใจไม้	15
รูปที่ 3.5 การเลือยไม้แบบดะ	16
รูปที่ 3.6 การเลือยไม้แบบตามรัศมี	16
รูปที่ 3.7 การเลือยไม้แบบพลิก	16
รูปที่ 3.8 การเลือยไม้แบบเปิดปีกสองข้าง	17
รูปที่ 3.9 ไม้แผ่นที่ได้จากการเลือยแบบดะ	17
รูปที่ 3.10 กระบวนการแปลงรูปไม้ให้คุ้มค่า	18
รูปที่ 3.11 กระบวนการแปลงรูปไม้ให้คุ้มค่า	19
รูปที่ 4.1 ตัวอย่างผลลัพธ์ของค่าไม้ดูลัสตี้ดหยุ่นของไม้พฤกษ์ที่ผ่านการทดสอบ ไคลกำลังสอง	29
รูปที่ 4.2 ตัวอย่างผลลัพธ์ของค่าไม้ดูลัสตี้ดหยุ่นของไม้พฤกษ์ที่ผ่านการทดสอบ โคลโนกรอฟ–สมียวนอฟ	30
รูปที่ 4.3 งานบริเวณวิบติและปลอกภัยในกรณีตัวแปรสูม 2 ตัว	32
รูปที่ 4.4 ปริมาตรรายได้พังก์ชันความหนาแน่นน้ำจะเป็นร่วม	33
รูปที่ 4.5 ระยะห่างระหว่างค่าเฉลี่ยของพังก์ชันสภาวะซึ่งจำกัดกับสภาวะวิบติ	34
รูปที่ 4.6 ความสัมพันธ์ระหว่าง β และ Ω_R ที่มี R แจกแจงแบบปกติ	35
รูปที่ 4.7 ความสัมพันธ์ระหว่าง Ω_R และ FS ที่ $p_r = 10^{-6}$	36
รูปที่ 6.1 พฤติกรรมการรับแรงของคานไม้ภายในหนักบรรทุก	50
รูปที่ 7.1 ความสัมพันธ์ระหว่างความยาวกับความลึกของตงไม้ ตาม平均ทางของอากาศ สำหรับตงไม้พฤกษ์ที่ระยะเรียง 30 ซม.	58
รูปที่ 7.2 ความสัมพันธ์ระหว่างความยาวกับความลึกของตงไม้ ตาม平均ทางของอากาศ สำหรับตงไม้พฤกษ์ที่ระยะเรียง 40 ซม.	59
รูปที่ 7.3 ความสัมพันธ์ระหว่างความยาวกับความลึกของตงไม้ ตาม平均ทางของอากาศ สำหรับตงไม้พฤกษ์ที่ระยะเรียง 50 ซม.	59

สารบัญรูปภาพ (ต่อ)

	หน้า
รูปที่ 7.4 ความสัมพันธ์ระหว่างความยาวกับความลึกของคานไม้ แบ่งตามประเภท น้ำหนักการใช้งานของอาคาร	62
รูปที่ 7.5 ความสัมพันธ์ระหว่างความยาวของคานกับขนาดเสาไม้ แบ่งตามประเภท	64
น้ำหนักการใช้งานของอาคาร	
รูปที่ 7.6 ความสัมพันธ์ระหว่างความยาวกับความลึกของตงไม้ ตามประเภทของอาคาร สำหรับตงไม้พฤกษ์ ที่ระยะเรียง 30 ซม.	67
รูปที่ 7.7 ความสัมพันธ์ระหว่างความยาวกับความลึกของตงไม้ ตามประเภทของอาคาร สำหรับตงไม้พฤกษ์ ที่ระยะเรียง 40 ซม.	67
รูปที่ 7.8 ความสัมพันธ์ระหว่างความยาวกับความลึกของตงไม้ ตามประเภทของอาคาร สำหรับตงไม้พฤกษ์ ที่ระยะเรียง 50 ซม.	68
รูปที่ 7.9 ความสัมพันธ์ระหว่างความยาวกับความลึกของคานไม้ แบ่งตามประเภท น้ำหนักการใช้งานของอาคาร	70
รูปที่ 7.10 ความสัมพันธ์ระหว่างความยาวของคานกับขนาดเสาไม้ แบ่งตามประเภท น้ำหนักการใช้งานของอาคาร	72
รูปที่ ก.1 การถ่ายน้ำหนักจากพื้นลงดงและคาน	84
รูปที่ ก.2 การถ่ายน้ำหนักจากหลังคา – พื้นลงสู่เสาชั้นล่าง	95
รูปที่ ช 1 ความสัมพันธ์ระหว่างค่า (Ω_R) และ FS ที่ $p_r = 10^{-6}$	101
รูปที่ ช 2 ขาร์ดออกแบบองค์อาคารไม้โดยใช้ค่าไม้ดูลัสยีดหยุ่น ที่ความนำจัจวิบัติ $p_r = 10^{-4}$ สำหรับที่พักอาศัยในประเทศไทย (มงคลกรและคณะ,2546)	102
รูปที่ ช 3 ขาร์ดออกแบบองค์อาคารไม้โดยใช้ค่าไม้ดูลัสยีดหยุ่น ที่ความนำจัจวิบัติ $p_r = 10^{-6}$ 102 ที่พักอาศัยในประเทศไทย (มงคลกรและคณะ,2546)	102
รูปที่ ช 4 ขาร์ดออกแบบองค์อาคารไม้โดยใช้ค่าไม้ดูลัสยีดหยุ่น ที่ความนำจัจวิบัติ $p_r = 10^{-4}$ 103 สำหรับสำนักงานในประเทศไทย (มงคลกรและคณะ,2546)	103
รูปที่ ช 5 ขาร์ดออกแบบองค์อาคารไม้โดยใช้ค่าไม้ดูลัสยีดหยุ่น ที่ความนำจัจวิบัติ 10^{-6} สำหรับสำนักงานในประเทศไทย (มงคลกรและคณะ,2546)	103
รูปที่ ช 6 ขาร์ดออกแบบองค์อาคารไม้โดยใช้ค่าไม้ดูลัสยีดหยุ่น ที่ความนำจัจวิบัติ 10^{-4} สำหรับโรงเรียนในประเทศไทย (มงคลกรและคณะ,2546)	104

สารบัญรูปภาพ (ต่อ)

	หน้า
รูปที่ ๗ ชาร์ตออกแบบองค์อาคารไม้โดยใช้ค่าโมดูลัสยึดหยุ่น ที่ความนำ่จะวินติ 10^{-6} สำหรับโรงเรียนในประเทศไทย (มกคกรและคณะ,2546)	104
รูปที่ ๘ Flow Chart การออกแบบองค์อาคารไม้ในสภาวะชีดกำกัดด้านการโก่งตัว กรณีออกแบบคงและคาน	105
รูปที่ ๙ Flow Chart การออกแบบองค์อาคารไม้ในสภาวะชีดกำกัดด้านการโก่งเดา กรณีออกแบบเสาไม้	106
รูปที่ ๑๐ ชาร์ตออกแบบองค์อาคารไม้โดยใช้ค่าโมดูลัสยึดหยุ่น ที่ความนำ่จะวินติ $p_f = 10^{-6}$ สำหรับโรงเรียนในประเทศไทย (มกคกรและคณะ,2546)	109
รูปที่ ๑ การเปรียบเทียบระหว่างความถี่สมมูลของค่าแรงอัดข่านเสี้ยน (ปฐมภูมิ) ² ของไม้พูกษ์กับฟังก์ชันความหนาแน่นของความนำ่จะเป็นที่ผ่านการทดสอบ ให้กำลังสอง	134
รูปที่ ๒ การเปรียบเทียบระหว่างความถี่สมมูลของค่าแรงอัดข่านเสี้ยน (ปฐมภูมิ) ² กับฟังก์ชันการแจกแจงที่ผ่านการทดสอบ K-S	134
รูปที่ ๓ การเปรียบเทียบระหว่างความถี่สมมูลของค่าแรงอัดข่านเสี้ยน (ทุติยภูมิ) ³ ของไม้พูกษ์กับฟังก์ชันความหนาแน่นของความนำ่จะเป็นที่ผ่านการทดสอบ ให้กำลังสอง	137
รูปที่ ๔ การเปรียบเทียบระหว่างความถี่สมมูลของค่าแรงอัดข่านเสี้ยน (ทุติยภูมิ) ³ กับฟังก์ชันการแจกแจงที่ผ่านการทดสอบ K-S	137
รูปที่ ๕ การเปรียบเทียบระหว่างความถี่สมมูลของค่าโมดูลัสยึดหยุ่น (ปฐมภูมิ) ² ของไม้พูกษ์กับฟังก์ชันความหนาแน่นของความนำ่จะเป็นที่ผ่านการทดสอบ ให้กำลังสอง	140
รูปที่ ๖ การเปรียบเทียบระหว่างความถี่สมมูลของค่าโมดูลัสยึดหยุ่น (ปฐมภูมิ) ² กับฟังก์ชันการแจกแจงที่ผ่านการทดสอบ K-S	140
รูปที่ ๗ การเปรียบเทียบระหว่างความถี่สมมูลของค่าโมดูลัสยึดหยุ่น (ทุติยภูมิ) ³ ของไม้พูกษ์กับฟังก์ชันความหนาแน่นของความนำ่จะเป็นที่ผ่านการทดสอบ ให้กำลังสอง	143
รูปที่ ๘ การเปรียบเทียบระหว่างความถี่สมมูลของค่าโมดูลัสยึดหยุ่น (ทุติยภูมิ) ³ กับฟังก์ชันการแจกแจงที่ผ่านการทดสอบ K-S	143

สารบัญรูปภาพ (ต่อ)

	หน้า
รูปที่ 9 การเปรียบเทียบระหว่างความถี่สัมพัทธ์ของค่าแรงอัดตั้งจากเสียงของไม้พฤกษ์กับฟังก์ชันความหนาแน่นของความนำจะเป็นที่ผ่านการทดสอบโดยกำลังสอง	146
รูปที่ 10 การเปรียบเทียบระหว่างความถี่สะสมของค่าแรงอัดตั้งจากเดียนกับฟังก์ชันการแจกแจงที่ผ่านการทดสอบ K-S	146
รูปที่ 11 การเปรียบเทียบระหว่างความถี่สัมพัทธ์ของค่าไมดูลัสสีดหยุ่น (ปฐมภูมิ) ² พฤกษ์กับฟังก์ชันความหนาแน่นของความนำจะเป็นที่ผ่านการทดสอบโดยกำลังสอง	149
รูปที่ 12 การเปรียบเทียบระหว่างความถี่สะสมของค่าไมดูลัสสีดหยุ่น (ปฐมภูมิ) ² กับฟังก์ชันการแจกแจงที่ผ่านการทดสอบ K-S	149
รูปที่ 13 การเปรียบเทียบระหว่างความถี่สัมพัทธ์ของค่าไมดูลัสแตกหัก(ปฐมภูมิ) ² พฤกษ์กับฟังก์ชันความหนาแน่นของความนำจะเป็นที่ผ่านการทดสอบโดยกำลังสอง	152
รูปที่ 14 การเปรียบเทียบระหว่างความถี่สะสมของค่าไมดูลัสแตกหัก(ปฐมภูมิ) ² กับฟังก์ชันการแจกแจงที่ผ่านการทดสอบ K-S	152
รูปที่ 15 การเปรียบเทียบระหว่างความถี่สัมพัทธ์ของค่าไมดูลัสสีดหยุ่น (ทุติยภูมิ) ³ พฤกษ์กับฟังก์ชันความหนาแน่นของความนำจะเป็นที่ผ่านการทดสอบโดยกำลังสอง	155
รูปที่ 16 การเปรียบเทียบระหว่างความถี่สะสมของค่าไมดูลัสสีดหยุ่น (ทุติยภูมิ) ³ กับฟังก์ชันการแจกแจงที่ผ่านการทดสอบ K-S	155
รูปที่ 17 การเปรียบเทียบระหว่างความถี่สัมพัทธ์ของค่าการทดสอบไมดูลัสแตกหัก (ทุติยภูมิ) ³ ของไม้พฤกษ์กับฟังก์ชันความหนาแน่นของความนำจะเป็นที่ผ่านการทดสอบโดยกำลังสอง	158
รูปที่ 18 การเปรียบเทียบระหว่างความถี่สะสมของค่าไมดูลัสแตกหักกับฟังก์ชันการแจกแจงที่ผ่านการทดสอบ K-S	158
รูปที่ 19 การเปรียบเทียบระหว่างความถี่สัมพัทธ์ของค่าแรงดึงในแนวขวางเสียงของไม้พฤกษ์กับฟังก์ชันความหนาแน่นของความนำจะเป็นที่ผ่านการทดสอบโดยกำลังสอง	161

สารบัญรูปภาพ (ต่อ)

	หน้า
รูปที่ 20 การเปรียบเทียบระหว่างความถี่สะสมของค่าแรงดึงในแนวตั้งจากเสียงกับฟังก์ชันการแจกแจงที่ผ่านการทดสอบ K-S	161
รูปที่ 21 การเปรียบเทียบระหว่างความถี่สัมพัทธ์ของค่า(E)แรงดึงในแนวตั้งจากเสียงของไม้พฤกษ์กับฟังก์ชันความหนาแน่นของความน่าจะเป็นที่ผ่านการทดสอบโดยกำลังสอง	164
รูปที่ 22 การเปรียบเทียบระหว่างความถี่สะสมของค่าของไม้แรงดึงในแนวตั้งจากเสียงกับฟังก์ชันการแจกแจงที่ผ่านการทดสอบ K-S	164
รูปที่ 23 การเปรียบเทียบระหว่างความถี่สัมพัทธ์ของค่าแรงดึงในแนวตั้งจากเสียงของไม้พฤกษ์กับฟังก์ชันความหนาแน่นของความน่าจะเป็นที่ผ่านการทดสอบโดยกำลังสอง	167
รูปที่ 24 การเปรียบเทียบระหว่างความถี่สะสมของค่าแรงดึงในแนวตั้งจากเสียงกับฟังก์ชันการแจกแจงที่ผ่านการทดสอบ K-S	167
รูปที่ 25 การเปรียบเทียบระหว่างความถี่สัมพัทธ์ของค่าการทดสอบแรงเฉือนขนาดเสียงของไม้พฤกษ์กับฟังก์ชันความหนาแน่นของความน่าจะเป็นที่ผ่านการทดสอบโดยกำลังสอง	170
รูปที่ 26 การเปรียบเทียบระหว่างความถี่สะสมของค่าการทดสอบแรงเฉือนขนาดเสียงของไม้พฤกษ์กับฟังก์ชันการแจกแจงที่ผ่านการทดสอบ K-S	170
รูปที่ 27 การเปรียบเทียบระหว่างความถี่สัมพัทธ์ของค่าการทดสอบการฉีกขาดของไม้พฤกษ์กับฟังก์ชันความหนาแน่นของความน่าจะเป็นที่ผ่านการทดสอบโดยกำลังสอง	173
รูปที่ 28 เมื่อเทียบระหว่างความถี่สะสมของค่าการทดสอบการฉีกขาดของไม้พฤกษ์กับฟังก์ชันการแจกแจงที่ผ่านการทดสอบ K-S	173
รูปที่ 29 การเปรียบเทียบระหว่างความถี่สัมพัทธ์ของค่าการทดสอบความเนี้ยบของไม้พฤกษ์กับฟังก์ชันความหนาแน่นของความน่าจะเป็นที่ผ่านการทดสอบโดยกำลังสอง	176
รูปที่ 30 การเปรียบเทียบระหว่างความถี่สะสมของค่าการทดสอบความเนี้ยบของไม้พฤกษ์กับฟังก์ชันการแจกแจงที่ผ่านการทดสอบ K-S	176

สารบัญรูปภาพ (ต่อ)

หน้า

- รูปที่ 31 การเปรียบเทียบระหว่างความถี่สัมพัทธ์ของค่าการทดสอบความแข็งข่านเสี้ยน 179
ของไม้พฤกษ์กับฟังก์ชันความหนาแน่นของความน่าจะเป็นที่ผ่านการทดสอบ
ให้กำลังสอง
- รูปที่ 32 การเปรียบเทียบระหว่างความถี่สะสมของค่าการทดสอบความแข็งข่านเสี้ยน 179
ของไม้พฤกษ์กับฟังก์ชันการแจกแจงที่ผ่านการทดสอบ K-S
- รูปที่ 33 การเปรียบเทียบระหว่างความถี่สัมพัทธ์ของค่าการทดสอบความแข็งสัมผัสเสี้ยน 182
ของไม้พฤกษ์กับฟังก์ชันความหนาแน่นของความน่าจะเป็นที่ผ่านการทดสอบ
ให้กำลังสอง
- รูปที่ 34 การเปรียบเทียบระหว่างความถี่สะสมของค่าการทดสอบความแข็งสัมผัสเสี้ยน 182
ของไม้พฤกษ์กับฟังก์ชันการแจกแจงที่ผ่านการทดสอบ K-S
- รูปที่ 35 การเปรียบเทียบระหว่างความถี่สัมพัทธ์ของค่าการทดสอบความแข็งตั้งจากเสี้ยน 185
ของไม้พฤกษ์กับฟังก์ชันความหนาแน่นของความน่าจะเป็นที่ผ่านการทดสอบ
ให้กำลังสอง
- รูปที่ 36 การเปรียบเทียบระหว่างความถี่สะสมของค่าการทดสอบความแข็งตั้งจากเสี้ยน 185
ของไม้พฤกษ์กับฟังก์ชันการแจกแจงที่ผ่านการทดสอบ K-S
- รูปที่ 37 การเปรียบเทียบระหว่างความถี่สัมพัทธ์ของค่าการทดสอบความต่ำจำเพาะ 188
ของไม้พฤกษ์กับฟังก์ชันความหนาแน่นของความน่าจะเป็นที่ผ่านการทดสอบ
ให้กำลังสอง
- รูปที่ 38 การเปรียบเทียบระหว่างความถี่สัมพัทธ์ของค่าการทดสอบความต่ำจำเพาะ 188
ของไม้พฤกษ์กับฟังก์ชันการแจกแจงที่ผ่านการทดสอบ K-S
- รูปที่ 39 การเปรียบเทียบระหว่างความถี่สัมพัทธ์ของค่าการทดสอบปริมาตรภารណตัว 191
ของไม้พฤกษ์กับฟังก์ชันความหนาแน่นของความน่าจะเป็นที่ผ่านการทดสอบ
ให้กำลังสอง
- รูปที่ 40 การเปรียบเทียบระหว่างความถี่สัมพัทธ์ของค่าการทดสอบปริมาตรภารណตัว 191
ของไม้พฤกษ์กับฟังก์ชันการแจกแจงที่ผ่านการทดสอบ K-S
- รูปที่ 41 การเปรียบเทียบระหว่างความถี่สัมพัทธ์ของค่าปริมาณความชื้นของไม้พฤกษ์ 194
กับฟังก์ชันความหนาแน่นของความน่าจะเป็นที่ผ่านการทดสอบให้กำลังสอง

สารบัญรูปภาพ (ต่อ)

	หน้า
รูปที่ ง 42 การเปรียบเทียบระหว่างความถี่สัมพัทธ์ของค่าปริมาณความชื้นของไม้พูกซ์ กับพังก์ชันการแยกแยะที่ผ่านการทดสอบ K-S	194
รูปที่ ง 43 การเปรียบเทียบระหว่างความถี่สัมพัทธ์ของค่าความหนาแน่นของไม้พูกซ์ กับพังก์ชันความหนาแน่นของความน่าจะเป็นที่ผ่านการทดสอบโดยกำลังสอง	197
รูปที่ ง 44 การเปรียบเทียบระหว่างความถี่สัมพัทธ์ของค่าความหนาแน่นของไม้พูกซ์ กับพังก์ชันการแยกแยะที่ผ่านการทดสอบ K-S	197
รูปที่ ง 45 การเปรียบเทียบระหว่างความถี่สัมพัทธ์ของค่าการทดสอบตัวในแนวสัมผัส กับพังก์ชันความหนาแน่นของความน่าจะเป็นที่ผ่านการทดสอบโดยกำลังสอง	200
รูปที่ ง 46 การเปรียบเทียบระหว่างความถี่สัมพัทธ์ของค่าการทดสอบตัวในแนวสัมผัส กับพังก์ชันการแยกแยะที่ผ่านการทดสอบ K-S	200
รูปที่ ง 47 การเปรียบเทียบระหว่างความถี่สัมพัทธ์ของค่าการทดสอบตัวในแนวรัศมี กับพังก์ชันความหนาแน่นของความน่าจะเป็นที่ผ่านการทดสอบโดยกำลังสอง	203
รูปที่ ง 48 การเปรียบเทียบระหว่างความถี่สัมพัทธ์ของค่าการทดสอบตัวในแนวรัศมี กับพังก์ชันการแยกแยะที่ผ่านการทดสอบ K-S	203
รูปที่ ฯ 1 การเปรียบเทียบระหว่างความถี่สัมพัทธ์ของค่าแรงอัดข้าน้ำเสี้ยน (ปฐมภูมิ) ² ของไม้จามจุรีกับพังก์ชันความหนาแน่นของความน่าจะเป็นที่ผ่านการทดสอบ โดยกำลังสอง	208
รูปที่ ฯ 2 การเปรียบเทียบระหว่างความถี่สะสมของค่าแรงอัดข้าน้ำเสี้ยน (ปฐมภูมิ) ² กับพังก์ชันการแยกแยะที่ผ่านการทดสอบ K-S	208
รูปที่ ฯ 3 การเปรียบเทียบระหว่างความถี่สัมพัทธ์ของแรงอัดข้าน้ำเสี้ยน (ทุติยภูมิ) ³ ของไม้จามจุรีกับพังก์ชันความหนาแน่นของความน่าจะเป็นที่ผ่านการทดสอบ โดยกำลังสอง	211
รูปที่ ฯ 4 การเปรียบเทียบระหว่างความถี่สะสมของค่าแรงอัดข้าน้ำเสี้ยน (ทุติยภูมิ) ³ กับพังก์ชันการแยกแยะที่ผ่านการทดสอบ K-S	211
รูปที่ ฯ 5 การเปรียบเทียบระหว่างความถี่สัมพัทธ์ของค่าโมดูลลสไตดหยุน (ปฐมภูมิ) ² ของไม้จามจุรีกับพังก์ชันความหนาแน่นของความน่าจะเป็นที่ผ่านการทดสอบ โดยกำลังสอง	214

สารบัญรูปภาพ (ต่อ)

	หน้า
รูปที่ ๖ การเปรียบเทียบระหว่างความถี่สะสมของค่าไม่ดูลัสรีดหยุ่น (ปฐมภูมิ) ^๒ กับพังก์ชันการแจกแจงที่ผ่านการทดสอบ K-S	214
รูปที่ ๗ การเปรียบเทียบระหว่างความถี่สมพัทธ์ของค่าไม่ดูลัสรีดหยุ่น (ทุติยภูมิ) ^๓ ของไม้จำรูปกับพังก์ชันความหนาแน่นของความน่าจะเป็นที่ผ่านการทดสอบ ไคกำลังสอง	217
รูปที่ ๘ การเปรียบเทียบระหว่างความถี่สะสมของค่าไม่ดูลัสรีดหยุ่น (ทุติยภูมิ) ^๓ กับพังก์ชันการแจกแจงที่ผ่านการทดสอบ K-S	217
รูปที่ ๙ การเปรียบเทียบระหว่างความถี่สมพัทธ์ของค่าแรงอัดตั้งจากเสี้ยนของไม้ จำรูปกับพังก์ชันความหนาแน่นของความน่าจะเป็นที่ผ่านการทดสอบ ไคกำลังสอง	220
รูปที่ ๑๐ การเปรียบเทียบระหว่างความถี่สะสมของค่าแรงอัดตั้งจากเสี้ยน กับพังก์ชันการแจกแจงที่ผ่านการทดสอบ K-S	220
รูปที่ ๑๑ การเปรียบเทียบระหว่างความถี่สมพัทธ์ของค่าไม่ดูลัสรีดหยุ่น (ปฐมภูมิ) ^๒ ไม้จำรูปกับพังก์ชันความหนาแน่นของความน่าจะเป็นที่ผ่านการทดสอบ ไคกำลังสอง	223
รูปที่ ๑๒ การเปรียบเทียบระหว่างความถี่สะสมของค่าไม่ดูลัสรีดหยุ่น (ปฐมภูมิ) ^๒ กับพังก์ชันการแจกแจงที่ผ่านการทดสอบ K-S	223
รูปที่ ๑๓ การเปรียบเทียบระหว่างความถี่สมพัทธ์ของค่าไม่ดูลัสแตกหัก(ปฐมภูมิ) ^๒ ไม้จำรูปกับพังก์ชันความหนาแน่นของความน่าจะเป็นที่ผ่านการทดสอบ ไคกำลังสอง	226
รูปที่ ๑๔ การเปรียบเทียบระหว่างความถี่สะสมของค่าไม่ดูลัสแตกหัก(ปฐมภูมิ) ^๒ กับพังก์ชันการแจกแจงที่ผ่านการทดสอบ K-S	226
รูปที่ ๑๕ การเปรียบเทียบระหว่างความถี่สมพัทธ์ของค่าไม่ดูลัสรีดหยุ่น(ทุติยภูมิ) ^๓ ไม้จำรูปกับพังก์ชันความหนาแน่นของความน่าจะเป็นที่ผ่านการทดสอบ ไคกำลังสอง	229
รูปที่ ๑๖ การเปรียบเทียบระหว่างความถี่สะสมของค่าไม่ดูลัสรีดหยุ่น(ทุติยภูมิ) ^๓ กับพังก์ชันการแจกแจงที่ผ่านการทดสอบ K-S	229

สารบัญรูปภาพ (ต่อ)

	หน้า
รูปที่ จ 17 การเปรียบเทียบระหว่างความถี่สัมพัทธ์ของค่าไมดูลัสแตกหัก(ทุติยภูมิ) ³ ไม้จามจุรีกับฟังก์ชันความหนาแน่นของความน่าจะเป็นที่ผ่านการทดสอบ โดยกำลังสอง	232
รูปที่ จ 18 การเปรียบเทียบระหว่างความถี่สัมพัทธ์ของค่าไมดูลัสแตกหัก (ทุติยภูมิ) ³ กับฟังก์ชันการแจกแจงที่ผ่านการทดสอบ K-S	232
รูปที่ จ 19 การเปรียบเทียบระหว่างความถี่สัมพัทธ์ของค่าแรงดึงในแนวขานานเสี้ยนของ ไม้จามจุรีกับฟังก์ชันความหนาแน่นของความน่าจะเป็นที่ผ่านการทดสอบ โดยกำลังสอง	235
รูปที่ จ 20 การเปรียบเทียบระหว่างความถี่สัมพัทธ์ของค่าแรงดึงในแนวขานานเสี้ยน กับฟังก์ชันการแจกแจงที่ผ่านการทดสอบ K-S	235
รูปที่ จ 21 การเปรียบเทียบระหว่างความถี่สัมพัทธ์ของค่า(E)แรงดึงในแนวขานานเสี้ยน ของไม้จามจุรีกับฟังก์ชันความหนาแน่นของความน่าจะเป็นที่ผ่านการทดสอบ โดยกำลังสอง	238
รูปที่ จ 22 การเปรียบเทียบระหว่างความถี่สัมพัทธ์ของค่า(E)แรงดึงในแนวขานานเสี้ยน กับฟังก์ชันการแจกแจงที่ผ่านการทดสอบ K-S	238
รูปที่ จ 23 การเปรียบเทียบระหว่างความถี่สัมพัทธ์ของค่าแรงดึงในแนวตั้งจากเสี้ยนของไม้ ไม้จามจุรีกับฟังก์ชันความหนาแน่นของความน่าจะเป็นที่ผ่านการทดสอบ โดยกำลังสอง	241
รูปที่ จ 24 การเปรียบเทียบระหว่างความถี่สัมพัทธ์ของค่าแรงดึงในแนวตั้งจากเสี้ยนกับ ฟังก์ชันการแจกแจงที่ผ่านการทดสอบ K-S	241
รูปที่ จ 25 การเปรียบเทียบระหว่างความถี่สัมพัทธ์ของค่าการทดสอบแรงเฉือนนานเสี้ยน ของไม้จามจุรีกับฟังก์ชันความหนาแน่นของความน่าจะเป็นที่ผ่านการทดสอบ โดยกำลังสอง	244
รูปที่ จ 26 การเปรียบเทียบระหว่างความถี่สัมพัทธ์ของค่าการทดสอบแรงเฉือนนานเสี้ยน ของไม้จามจุรีกับฟังก์ชันการแจกแจงที่ผ่านการทดสอบ K-S	244
รูปที่ จ 27 การเปรียบเทียบระหว่างความถี่สัมพัทธ์ของค่าการทดสอบการฉีกขาด ของไม้จามจุรีกับฟังก์ชันความหนาแน่นของความน่าจะเป็นที่ผ่านการทดสอบ โดยกำลังสอง	247

สารบัญรูปภาพ (ต่อ)

	หน้า
รูปที่ ๑ ๒๘ เปรียบเทียบระหว่างความถี่สะสมของค่าการทดสอบการฉีกขาดของไม้พฤกษ์ กับฟังก์ชันการแจกแจงที่ผ่านการทดสอบ K-S	247
รูปที่ ๑ ๒๙ การเปรียบเทียบระหว่างความถี่สัมพัทธ์ของค่าการทดสอบความเหนี่ยา ของไม้จามจุรีกับฟังก์ชันความหนาแน่นของความน่าจะเป็นที่ผ่านการทดสอบ ให้กำลังสอง	250
รูปที่ ๑ ๓๐ การเปรียบเทียบระหว่างความถี่สะสมของค่าการทดสอบความเหนี่ยาของไม้ จามจุรีกับฟังก์ชันการแจกแจงที่ผ่านการทดสอบ K-S	250
รูปที่ ๑ ๓๑ การเปรียบเทียบระหว่างความถี่สัมพัทธ์ของค่าการทดสอบความแข็งข่านเสี้ยน ของไม้จามจุรีกับฟังก์ชันความหนาแน่นของความน่าจะเป็นที่ผ่านการทดสอบ ให้กำลังสอง	253
รูปที่ ๑ ๓๒ การเปรียบเทียบระหว่างความถี่สะสมของค่าการทดสอบความแข็งข่านเสี้ยน ของไม้จามจุรีกับฟังก์ชันการแจกแจงที่ผ่านการทดสอบ K-S	253
รูปที่ ๑ ๓๓ การเปรียบเทียบระหว่างความถี่สัมพัทธ์ของค่าการทดสอบความแข็งสัมผัสเสี้ยน ของไม้จามจุรีกับฟังก์ชันความหนาแน่นของความน่าจะเป็นที่ผ่านการทดสอบ ให้กำลังสอง	256
รูปที่ ๑ ๓๔ การเปรียบเทียบระหว่างความถี่สะสมของค่าการทดสอบความแข็งสัมผัสเสี้ยน ของไม้จามจุรีกับฟังก์ชันการแจกแจงที่ผ่านการทดสอบ K-S	256
รูปที่ ๑ ๓๕ การเปรียบเทียบระหว่างความถี่สัมพัทธ์ของค่าการทดสอบความแข็งตั้งจากเสี้ยน ของไม้จามจุรีกับฟังก์ชันความหนาแน่นของความน่าจะเป็นที่ผ่านการทดสอบ ให้กำลังสอง	259
รูปที่ ๑ ๓๖ การเปรียบเทียบระหว่างความถี่สะสมของค่าการทดสอบความแข็งตั้งจากเสี้ยน ของไม้จามจุรีกับฟังก์ชันการแจกแจงที่ผ่านการทดสอบ K-S	259
รูปที่ ๑ ๓๗ การเปรียบเทียบระหว่างความถี่สัมพัทธ์ของค่าการทดสอบความถ่วงจำเพาะ ของไม้จามจุรีกับฟังก์ชันความหนาแน่นของความน่าจะเป็นที่ผ่านการทดสอบ ให้กำลังสอง	262
รูปที่ ๑ ๓๘ การเปรียบเทียบระหว่างความถี่สัมพัทธ์ของค่าการทดสอบความถ่วงจำเพาะ ของไม้พฤกษ์กับฟังก์ชันการแจกแจงที่ผ่านการทดสอบ K-S	262

สารบัญรูปภาพ (ต่อ)

	หน้า
รูปที่ จ 39 การเปรียบเทียบระหว่างความถี่สัมพัทธ์ของค่าการทดสอบปริมาณการหดตัว ของไม้จำจรีกับฟังก์ชันความหนาแน่นของความน่าจะเป็นที่ผ่านการทดสอบ ไคลกำลังสอง	265
รูปที่ จ 40 การเปรียบเทียบระหว่างความถี่สัมพัทธ์ของค่าการทดสอบปริมาณการหดตัว ของไม้จำจรีกับฟังก์ชันการแจกแจงที่ผ่านการทดสอบ K-S	265
รูปที่ จ 41 การเปรียบเทียบระหว่างความถี่สัมพัทธ์ของค่าปริมาณความรื้นของไม้จำจรี กับฟังก์ชันความหนาแน่นของความน่าจะเป็นที่ผ่านการทดสอบไคลกำลังสอง	268
รูปที่ จ 42 การเปรียบเทียบระหว่างความถี่สัมพัทธ์ของค่าปริมาณความรื้นของไม้จำจรี กับฟังก์ชันการแจกแจงที่ผ่านการทดสอบ K-S	268
รูปที่ จ 43 การเปรียบเทียบระหว่างความถี่สัมพัทธ์ของค่าความหนาแน่นของไม้จำจรี กับฟังก์ชันความหนาแน่นของความน่าจะเป็นที่ผ่านการทดสอบไคลกำลังสอง	271
รูปที่ จ 44 การเปรียบเทียบระหว่างความถี่สัมพัทธ์ของค่าความหนาแน่นของไม้จำจรี กับฟังก์ชันการแจกแจงที่ผ่านการทดสอบ K-S	271
รูปที่ จ 45 การเปรียบเทียบระหว่างความถี่สัมพัทธ์ของค่าการหดตัวในแนวสัมผัส กับฟังก์ชันความหนาแน่นของความน่าจะเป็นที่ผ่านการทดสอบไคลกำลังสอง	274
รูปที่ จ 46 การเปรียบเทียบระหว่างความถี่สัมพัทธ์ของค่าการหดตัวในแนวสัมผัส กับฟังก์ชันการแจกแจงที่ผ่านการทดสอบ K-S	274
รูปที่ จ 47 การเปรียบเทียบระหว่างความถี่สัมพัทธ์ของค่าการหดตัวในแนวรัศมี กับฟังก์ชันความหนาแน่นของความน่าจะเป็นที่ผ่านการทดสอบไคลกำลังสอง	277
รูปที่ จ 48 การเปรียบเทียบระหว่างความถี่สัมพัทธ์ของค่าการหดตัวในแนวรัศมี กับฟังก์ชันการแจกแจงที่ผ่านการทดสอบ K-S	277

ສัญลักษณ์และคำย่อ

n	การแจกแจงปกติ (Normal Distribution)
un,	การแจกแจงเอกรูป (Uniform Distribution)
ex, e	การแจกแจงเลขซึ่งกำลัง (Shifted Exponential Distribution)
RI, R	การแจกแจงเรย์ลีฟ (Shifted Rayleigh Distribution)
GbL, GL	การแจกแจงชนิดที่หนึ่งค่าสูงสุดแบบกุมเบล Gumbel (Type I - Largest Values Distribution)
Gbs, GS	การแจกแจงชนิดที่หนึ่งค่าต่ำสุดแบบกุมเบล Gumbel (Type I- Smallest Values Distribution)
Ln, In	การแจกแจงแบบลอกปกติ (Lognormal Distribution)
Gm, g	การแจกแจงแคมมา (Gamma Distribution)
Fc, FL	การแจกแจงค่าสูงสุดชนิดที่สองแบบเฟรเชต (Frechet Type II - Largest Distribution)
Wb, W	การแจกแจงต่ำสุดชนิดที่สามแบบไวบูลล์ (Weibull Type III - Smallest Distribution)
bt, b	การแจกแจงบีเตา(Beta Distribution)
plotf	การสร้างความสัมพันธ์ของการแจกแจงความดีสัมพันธ์
pcf	การสร้างความสัมพันธ์ของความดีจะสะสม
p _f	ความน่าจะวิบติ
p _s	ความน่าเชื่อถือเชิงโครงสร้าง
S	ผลของแรงที่กระทำต่อโครงสร้าง
R	ความด้านทานเชิงโครงสร้าง
cov, Ω_E	สัมประสิทธิ์การแปรผันของโมดูลัสยึดหยุ่น
cov, Ω_R	ชีดจำกัดสัมประสิทธิ์การแปรผันของความด้านทานเชิงโครงสร้าง
cov, Ω_S	สัมประสิทธิ์การแปรผันของแรงที่กระทำต่อโครงสร้าง
FS	อัตราส่วนของความปลดภัย
β	ตราระนีความปลดภัย

บทที่ 1

บทนำ

1.1 หลักการและเหตุผล

พื้นที่ป่าไม้ของประเทศไทยในปี พ.ศ. 2536 มี 83.5 ล้านไร่ คิดเป็นร้อยละ 26 ของพื้นที่ประเทศไทย ซึ่งลดลงจากในปี พ.ศ. 2504 ที่เคยมีพื้นที่ป่าไม้ 171 ล้านไร่ คิดเป็นร้อยละ 53 ของพื้นที่ประเทศไทย อัตราการลดลงของพื้นที่ป่าไม้โดยเฉลี่ยระหว่างปี พ.ศ. 2504-2536 คิดเป็น 2.73 ล้านไร่ ต่อปี^[1] และหากปล่อยให้พื้นที่ป่าไม้ลดลงเช่นนี้ต่อไป เช่น ในปี พ.ศ. 2541 พื้นที่ป่าไม้ลดลงเหลือร้อยละ 25.28 ของพื้นที่ประเทศไทย จะยังผลเสียหายให้แก่ประเทศไทยด้านเศรษฐกิจ สังคม และสิ่งแวดล้อม

พื้นที่ป่าไม้ซึ่งลดลงอย่างรวดเร็วอย่างผลให้ไม่นៀอเรืองเมืองราคาแพง ทำให้ความนิยมในการก่อสร้างบ้านด้วยโครงสร้างไม้ลดลงตามไปด้วย ปัจจุบันแม้จะมีการให้ไม้เป็นส่วนประกอบของอาคาร เช่น วงกบ ประตู ผนังกันห้อง อยู่บ้าน ก็เป็นไม้เนื้อเรืองคุณภาพต่ำ ไม่นៀอช่อน หรือไม้ที่สังเคราะห์จากเศษไม้เป็นส่วนใหญ่ ในสภาพภูมิอากาศร้อนชื้น และสภาพภูมิประเทศของประเทศไทย การอยู่อาศัยในบ้านไม้มีความเหมาะสมมากกว่าบ้านผนังก่ออิฐขนาดปูน เนื่องจากไม้เป็นวัสดุที่มีค่าการดูดความร้อนน้อยกว่าผนังก่ออิฐขนาดปูน ดังนั้นการอาศัยในบ้านไม้จึงเย็นสบายกว่า และสามารถประหยัดพลังงานไฟฟ้าที่ใช้อย่างเกินความจำเป็นในปัจจุบัน

นอกจากนี้ ในเขตที่มีแผ่นดินไหวบ่อยครั้ง อาคารที่สร้างด้วยไม้มีศักยภาพในการรับแรงแผ่นดินไหว และมีโอกาสสูญเสียมากกว่าอาคารที่สร้างด้วยวัสดุประเภทอื่น เนื่องจากไม้เป็นวัสดุอ่อนไหว (Flexible) และสามารถยับตัวได้มากขณะเกิดแผ่นดินไหว ประเทศไทยมีไม้โตเร็วกว่า 40 ชนิด ซึ่งจากการศึกษาเบื้องต้น ไม้โตเร็วเหล่านี้มีศักยภาพที่สามารถนำมาใช้เป็นไม้โครงสร้างได้แต่เท่าที่ผ่านมาไม่มีการวิจัยหารือมูลเชิงกล และการวิเคราะห์ความน่าเชื่อถือเชิงโครงสร้างของไม้โตเร็ว เพื่อให้ผู้ออกแบบใช้เป็นรัฐมูลในการตัดสินใจเลือกใช้ไม้ชนิดต่างๆ เป็นองค์ประกอบในโครงสร้างอาคาร ทำให้ไม้โตเร็วถูกนำไปใช้งานที่ไม่ได้ประโยชน์อย่างเต็มที่เป็นส่วนใหญ่ เช่น การเผาทำถ่าน และเชื้อเพลิง ทั้งที่ในระยะเวลาเพียง 12 ปี ไม้โตเร็วมีขนาดเพียงฝ่าคูนย์กลางถึง 12 นิ้ว^[2]

¹ สำนักงานนโยบายและแผนด้านสิ่งแวดล้อม, กระทรวงวิทยาศาสตร์ เทคโนโลยี และสิ่งแวดล้อม. นโยบายและแผนการดูแลรักษาคุณภาพสิ่งแวดล้อมแห่งชาติ พ.ศ. 2540-2559. หน้า 22-23.

² ศูนย์ภูมิภาคและน้ำท่วม คำภา (บรรณาธิการ). ไม้โตเร็วเนกประสงค์พื้นเมืองของประเทศไทย. คณะกรรมการประสานงานวิจัยและพัฒนาทรัพยากรป่าไม้และไม้โตเร็วเนกประสงค์.

จึงสมควรที่จะสนับสนุนให้มีการปลูกป่าไม้โดยเร็วนิดที่มีคุณสมบัติสามารถนำมาใช้ประโยชน์ในเชิงพาณิชย์ได้อย่างคุ้มค่ามากขึ้น

คณะผู้วิจัยมีจุดประสงค์จะทำการวิจัยไม้โดยเร็วเพื่อให้เกิดประโยชน์สูงสุดในการใช้ทรัพยากร อันเป็นการสนับสนุนนโยบายของรัฐบาล เนื่องจากรัฐบาลได้ตระหนักถึงปัญหาที่เกิดขึ้นเนื่องจากการลดลงของพื้นที่ป่าไม้ โดยให้การสนับสนุนการปลูกสวนป่า ด้วยการออกพระราชบัญญัติสวนป่า พ.ศ. 2535 ซึ่งประกาศใช้ตั้งแต่วันที่ 1 มีนาคม 2535³ และระบุให้มีพื้นที่ป่าเศรษฐกิจร้อยละ 20 เป็นเป้าหมายหนึ่งในนโยบายและแผนการส่งเสริมและรักษาคุณภาพสิ่งแวดล้อมแห่งชาติ พ.ศ. 2540-2559

1.2 วัตถุประสงค์ของโครงการวิจัย

- ศึกษาคุณสมบัติทางกายภาพและเชิงกลของไม้โดยเร็ว ที่สามารถใช้เป็นองค์ประกอบในโครงสร้างไม้จำนวน 2 ชนิด ได้แก่ ไม้พฤกษ์ และไม้จามจุรี โดยการทดสอบตามมาตรฐาน ASTM
- วิเคราะห์เชิงสถิติเบื้องต้นและทำการทดสอบภาวะเข้ากูปสนิทของคุณสมบัติทางกายภาพและเชิงกลของไม้พฤกษ์ และไม้จามจุรี
- วิเคราะห์ความน่าเชื่อถือเชิงโครงสร้างขององค์ประกอบอาคารไม้พฤกษ์และไม้จามจุรีที่ออกแบบตามมาตรฐาน ว.ส.ท.
- เสนอรับความเสี่ยงที่ยอมรับได้สำหรับองค์ประกอบต่างๆ ในอาคารโครงสร้างไม้พฤกษ์ และไม้จามจุรี
- เสนอขนาดที่เหมาะสมของคงด栏และคานและตัวคุณความปลอดภัยของเสาสำหรับการออกแบบอาคารด้วยไม้พฤกษ์ และไม้จามจุรี

1.3 ขอบเขตของการวิจัย

- คุณสมบัติทางกายภาพและเชิงกลของไม้พฤกษ์ และไม้จามจุรีจะใช้ตามมาตรฐาน ASTM จำนวน 11 รายการโดยขนาดของไม้ที่ทำการวิเคราะห์เป็นขนาดจริงหลังแต่งไส้แล้ว (Dressed Dimension)
- การวิเคราะห์เชิงสถิติเบื้องต้นและทำการทดสอบภาวะเข้ากูปสนิทของคุณสมบัติทางกายภาพและเชิงกลของไม้พฤกษ์ และไม้จามจุรี จะใช้ร่วงแห่งความเสื่อมนั้น (Interval of Confidence) ของข้อมูลที่ระดับไม่น้อยกว่าร้อยละ 99 และเมื่อจำนวนข้อมูลที่ทดสอบอยู่ในช่วงแห่งความเสื่อมนั้นตั้งแต่แล้ว จะนำข้อมูลที่ได้มาทำการวิเคราะห์หาภาวะเข้ากูปสนิท ที่ระดับความ

³ สํานักงานส่งเสริมการปลูกป่าฯ ก.m.p. 2535. ฉบับนี้เป็นกฎหมายและพระราชบัญญัติสวนป่า พ.ศ. 2535. ก.m.p. 2535. กฎหมายและสหกรณ์

เชื่อมั่น (Level of Confidence) ไม่ต่ำกว่าร้อยละ 95 ถ้าต่ำกว่า จะต้องทำการทดสอบตัวอย่างเพิ่มเติมจนกว่าจะได้ค่าที่ระดับดังกล่าว

3. การวิเคราะห์ความน่าเชื่อถือขององค์อาคารไม้จะเป็นแบบไม้ชี้นอยู่กับเวลา โดยพิจารณาจากโอกาสที่องค์อาคารไม้จะเกิดการวินาศัย
4. องค์อาคารไม้ที่พิจารณาจะออกแบบตามมาตรฐาน ว.ส.ท. ของอาคารไม้สูงไม่เกิน 2 ชั้น มีความสูงระหว่างชั้น 3.00 เมตร สำหรับอาคาร 3 ประเภทคือ ที่พักอาศัย สำนักงาน และโรงเรียน ซึ่งมีน้ำหนักบรรทุกจรลสำหรับการออกแบบตามข้อกำหนดของเทศบัญญัติคือ 150 กก./ม.² 250 กก./ม.² และ 300 กก./ม.² สำหรับการใช้งานของอาคารแต่ละประเภทตามลำดับ

1.4 คำนิยาม

ไม้โตเร็ว (Fast Growing Wood) หมายถึง ไม้ที่เจริญเติบโตเร็วมีขนาดเส้นผ่าศูนย์กลางอย่างน้อย 12 นิ้ว ในระยะเวลา 12 ปี

โครงสร้างไม้ (Wood Structure) หมายถึง โครงสร้างที่มีองค์ประกอบทำด้วยไม้ เช่น พื้น ดวง คาน เสา และกำแพง

ความน่าจะวินาศัย (Failure Probability, p_f) หมายถึง ความน่าจะเป็นที่ความต้านทานของระบบโครงสร้าง (R) จะมีค่าไม่นากกว่าผลของน้ำหนักบรรทุก (S) ตลอดอายุการใช้งาน [11] อันเป็นผลมาจากการไม่แน่นอนของกำลังความต้านทานของชิ้นส่วนโครงสร้าง และน้ำหนักบรรทุกจะทำต่อโครงสร้าง ดังแสดงในสมการที่ (1)

$$p_f = P_r(R \leq S) \quad (1)$$

ในความเป็นจริง ทั้ง R และ S เอง อาจเป็นฟังก์ชันของตัวแปรสุ่ม (Random Variable) หลายตัว จึงอาจอธิบาย p_f ในรูปทั่วไปดังแสดงในสมการที่ (2)

$$p_f = \int_{D_f} f_x(x) dx \quad (2)$$

เมื่อ x เป็นเวกเตอร์ของตัวแปรสุ่ม n ตัว X_1, X_2, \dots, X_n

$f_x(x)$ เป็นฟังก์ชันความหนาแน่นที่จะเป็นร่วม (Joint Probability Density Function) ของเวกเตอร์ X

และ D_f เป็นอาณาบริเวณที่ค่าของเวกเตอร์ X มีผลให้ระบบโครงสร้างเกิดการวินาศัย

1.5 ประโยชน์ที่คาดว่าจะได้รับจากการวิจัย

1. สามารถเลือกใช้ไม้พูกษ์และไม้จามจุรี เป็นองค์ประกอบในโครงสร้างไม้ได้อย่างปลอดภัยและเหมาะสม
2. บรรจุข้อมูลที่ได้ในอนาคตข้อมูลทางด้านวิศวกรรม และมาตรฐานการออกแบบทางด้านวิศวกรรมโยธา
3. จัดทำมาตรฐานการออกแบบทางด้านวิศวกรรมโยธา สำหรับประเทศไทยในภูมิภาคอาเซียน
4. เป็นแนวทางในการพัฒนาอุตสาหกรรมเกษตร
5. เป็นแนวทางในการส่งเสริมการเพิ่มพื้นที่ป่าเศรษฐกิจในประเทศไทยเป้าหมายให้มีพื้นที่ป่าเศรษฐกิจร้อยละ 20 ในนโยบายและแผนการส่งเสริมและรักษาคุณภาพสิ่งแวดล้อมแห่งชาติ พ.ศ. 2540-2559



บทที่ 2

ไม้ (Wood)

2.1 ไม้ : ทรัพยากรธรรมชาติ

ต้นไม้ (Tree) ได้รับสมญานามว่า พืชที่ใช้ประโยชน์ได้หมื่นอย่าง "Trees are the plant of ten thousand uses"¹ เราสามารถใช้ทุกส่วนของต้นไม้ให้เป็นประโยชน์ได้ เช่น สวนใบ ผล เมล็ด ราก ใช้เป็นอาหารและยา เปลือกไม้ใช้ทำเชื้อเพลิง และประดับสวน ยังไม่ใช่ทำยานรถยนต์ ถุงมือ ยาง ถุงปูง เม้าพิมพ์ เป็นต้น ลำต้นสามารถทำเสา เสาเข็ม ไม้กระดาน เศษที่เหลือจากการแปรรูป ลำต้น และส่วนของกิ่ง ก้านเล็กๆ สามารถใช้ทำเชื้อเพลิง หรือไม้ปะกอบได้ เป็นต้น

การนำไม้มาใช้ประโยชน์ในด้านต่างๆ ทำให้เกิดการศึกษาไม้ และโดยที่ไม้เป็นสิ่งมีชีวิต ประเภทหนึ่งจึงมีวิธีการจำแนกเช่นเดียวกับสิ่งมีชีวิตประเภทอื่น โดยระบบการจำแนกพันธุ์สิ่งมีชีวิต (System of Classification) สามารถแบ่งออกได้เป็น 4 ระบบหลักๆ ในที่นี้จะยกตัวอย่างการจำแนกเฉพาะพืชในแต่ละระบบ โดยไม่กล่าวถึงสตร์ ระบบดังกล่าวมีดังนี้คือ

1. Artificial system ระบบนี้ใช้ลักษณะของพืชที่เห็นได้ง่ายๆ และข้อดีที่สุดคือเป็นหลักในการแยก เช่น พากพืชดอกสีแดง พืชดอกสีขาว หรือ แยกเป็นกลุ่มพากพืชยืนต้น พืชล้มลุก เป็นระบบเริ่มแรก และใช้มาจนถึงปี พ.ศ. 2373

2. Formal System มีวัตถุการมาจากการบบแยกตั้งแต่ปี พ.ศ. 2317 โดยการหาของปะกอบต่างๆ มาปะกอบการจำแนกพันธุ์พืชรายอย่างขึ้น เช่น จำนวนกลีบดอก ฐานกลีบ รองดอก เกสรดอก และใบเลี้ยง มีผู้จัดทำระบบนี้หลายราย เช่น Linnaeus's sexual system, Darwin's system และ Bentham and Hooker's system แต่โดยทั่วไปนิยมระบบ Bentham and Hooker ระบบนี้มีการใช้งานมาจนกระทั่งปี พ.ศ. 2463

3. Phylogenetic system เริ่มพัฒนามาตั้งแต่ปี พ.ศ. 2418 และมีการข้างต้น ให้จนถึงปัจจุบัน ระบบเริ่มพัฒนาจากความสำเร็จของดาร์วิน ในการค้นคว้าที่มาของพืชและสตร์ โดยนำสายสัมพันธ์ของพืชมาพิจารณาถึงความเกี่ยวเนื่องกัน เกณฑ์ในการแยกพันธุ์ไม้ที่นิยมในระบบนี้มากที่สุดมีอยู่ 2 หลักการ คือ Hutchinson's system ซึ่งมีการปรับปรุงหลักการล่าสุดเมื่อปี พ.ศ. 2502 และ Engler's system ซึ่งจัดทำหลักการระหว่างปี พ.ศ. 2329-2435 การจัดทำหนังสือพันธุ์ไม้ของประเทศไทยยึดหลักตามแบบของ Hutchinson's system

4. Modern system เป็นระบบล่าสุดมีการพัฒนาใช้ตั้งแต่ปี พ.ศ. 2510 จนถึงปัจจุบัน ระบบนี้เป็น ส่วนผสมระหว่าง formal system กับ phylogenetic system ผลงานตามทฤษฎีที่พิมพ์ออกมายังในปัจจุบันมีรายเดียว คือ Takhtajan จัดพิมพ์เมื่อ พ.ศ. 2510 ระบบนี้ได้รวมเอา

¹ C.C. Bajza, M.G. Bowden. 1964. Your Texas Geography. W.S. Benson & Company, Publishers.

ลักษณะทั้งภายนอก-ภายในต้นอ่อน ลักษณะของรากของเกรสร กรรมพันธุ์ และชีวเคมีพืช มาเป็นข้อพิจารณาในการแยกชนิดสืบพันธุ์ไม้อเมริกาดำเนินการตามระบบนี้ ระบบ Formal, Phylogenetic และ Modern นี้ ส่วนที่เหมือนกัน คือ การแยกพืช มีดอกออกเป็นพืชใบเลี้ยงเดี่ยว และพืชใบเลี้ยงคู่ ความแตกต่างของพืช 2 กลุ่มนั้น Bentham and Hooker ได้ให้คำจำกัดความไว้ดังตารางที่ 2.1

ตารางที่ 2.1 ข้อแตกต่างระหว่างลำต้นพืชใบเลี้ยงเดี่ยวและพืชใบเลี้ยงคู่

พิชไบเลี้ยงเดี่ยว	พิชไบเลี้ยงคู่
ลำต้นมีร่องและปัสสาวะของเห็นได้ชัด เช่น ໄຟ չ้อย ช้า ช้าวโพด หน่าย	ร่องและปัสสาวะของเห็นไม่ชัด
กลุ่มห่อน้ำท่ออาหารมีมาก และกระจัดกระจาดอยู่ทั่วไปไม่เป็นระเบียบ ไม่มีวงปี	กลุ่มห่อน้ำท่ออาหารจัดได้เป็นวง เป็นระเบียบ มีเยื่อ เศริมสร้าง และมักมีวงปี

นอกจากการจำแนกพืชใน 4 ระบบหลักแล้ว ยังมีการจำแนกประเภทของพืชอีกด้วย วิธีดังนี้คือ

1. การจำแนกตามลักษณะแหล่งกำเนิดอาศัย (habitat)

- Aquatic Plant (hydrophyte, hydric plant) เป็นพืชที่อาศัยอยู่ในน้ำ เช่นบัว ผักตบ ฯลฯ แหณ
 - Mesophyte (mesic plant) เป็นพืชที่อาศัยอยู่ในที่ที่มีน้ำพอสมควร เช่น มะม่วง ลำไย เมะ
 - Xerophyte (xeric plant) เป็นพืชที่อาศัยอยู่ในที่แห้งแล้งขาดแคลนน้ำ เช่น กระบอกเพชร เสนา ถุงใบพิมพ์
 - Helophyte เป็นพืชที่ชอบน้ำคั่ง ได้แก่ พืชชายเลน ข้าวทะเล เช่น ผักบุ้งทะเล คุกที่สอทะเล ข้าวราม เทยทะเล โคงกาง ลำพู ลำแพน ตะบูน
 - Epiphyte เป็นพืชที่ขึ้นอยู่บนต้นไม้ อื่นแต่ไม่เบียดเบี้ยนต้นไม้ตนนั้น เช่น ก้อยไม้
 - Parasitic Plant เป็นพืชที่ขึ้นอยู่บนต้นไม้อื่นและเบียดเบี้ยนอย่างอาหารต้นไม้ตนนั้น เช่น ฝอยทอง

2. การจำแนกตามเนื้อไม้และความคง

- ไม้ยืนต้น (tree) ลำต้นมีเนื้อไม้แข็งสูงเกิน 10 พุ่ม หรือ 3 เมตร มีลำต้นหลัก (main trunk) เนื้อไม้แข็ง ลำต้นเดียวตั้งตรง แตกกิ่งก้านด้านซ้ายจากโคนต้นขึ้นไป ทรงทุ่มเมี้ยนคาดในถู่ เช่น สัก มะหาด ราชบุรี
 - ไม้หุ่ม (shrub) ลำต้นมีเนื้อไม้แข็ง ขนาดเล็ก สูงระหว่าง 4-10 พุ่ม หรือ 1.2-3.0 เมตร เนื้อไม้แข็ง ลำต้นหลักมองเห็นไม่ชัดเจน แตกกิ่งก้านใกล้โคนต้น หรือมีลำต้นเล็กๆ หลายต้นจากโคนเดียว กันใกล้พื้นดิน เช่น ยี่โภ
 - ไม้ล้มลุก (herb) ลำต้นช่อดอนไม้มีเนื้อไม้ หักง่าย สูงไม่เกิน 4 พุ่ม หรือ 1.2 เมตร มีอายุ 1 ปี หรือน้อยไป อาจตายหลังจากให้ดื่มน้ำออกผลแล้ว เช่น ริง

- **ไม้เลื้อย (climber)** เป็นพืชที่มีลำต้นยาวและไม่สามารถตั้งตระหง่านได้ ต้องอาศัยลื้อยพาดพันกับต้นไม้อื่น เช่น อัญชัน สายนำผึ้ง

3. การจำแนกตามลักษณะของเนื้อไม้

- **ไม้ล้มลุก (herbaceous stem)** ลำต้นมีสีเขียว เนื้ออ่อน มักไม่ค่อยมีเนื้อเยื่อที่แข็งแรงหรืออาจมีเล็กน้อย เป็นพืชที่มีอายุสั้น และเส้นผ่าศูนย์กลางลำต้นไม่มาก

- **ไม้ยืนต้น (woody stem)** ลำต้นจะมีขนาดใหญ่ แข็ง หนา และมีอายุยืน มีแก่นไม้แข็ง เปลือกตันไม้จะหายา และเป็นเซลล์ cork หนานလายรั้น เป็นลักษณะของไม้ยืนต้น (tree) และไม้พุ่ม (shrub)

4. จำแนกตามลักษณะของการผลัดใบ

- **Evergreen Plant** เป็นพืชที่ไม่มีการผลัดใบให้เห็นอย่างเด่นชัด ถือสมอ่อนว่าไม่มีการผลัดใบ เช่น เริ่ม ฝรั่ง โพธิ์ ไทร สน

- **Deciduous Plant** เป็นพืชที่มีการผลัดใบพร้อมกันเห็นได้ชัดเจน เช่น ราชพฤกษ์ ทองหลาง

5. จำแนกตามอายุของพืช

- **Annual** เป็นพืชฤดูเดียว มีอายุเพียงไม่กี่เดือน หรืออาจยืนยาวถึงหนึ่งปี

- **Biennial** เป็นพืชที่มีอายุอยู่ได้ 2 ฤดู ปีแรกเป็นปีแห่งการเจริญเติบโต และจะออกดอก ออกผลในปีที่ 2 แล้วจึงตาย

- **Perennial** เป็นพืชที่มีอายุยืนหลายปี แต่ละปีพืชจะออกดอก ออกผล และเจริญเติบโตใหญ่ขึ้นทุกปี

ในการจำแนกพืชทั้ง 5 วิธีนี้ ไม่นำเอาลักษณะของรากมาเป็นเกณฑ์ประกอบการตรวจ เอกลักษณ์ของพืช เพราะโครงสร้างของรากไม่มีความแตกต่างเพียงพอที่จะนำมาใช้ตรวจ เอกลักษณ์ได้ ส่วนที่นำมาใช้ในการจำแนกพืช คือ ลำต้น และใบ

- **ลำต้น (Stem)** เป็นแกนหลักของต้นพืชที่ยึดติดกับต้นไม้โดยทั่วไปมีลักษณะเป็นรูปทรงกรวยของตั้งตระหง่าน แต่ก็มีลำต้นบางชนิดที่อยู่ได้ดิน บางชนิดหดไปตามผิดดิน ลำต้นเป็นทางลำเลียงอาหาร และนำไปยังส่วนอื่นๆ ของพืช ใบ ดอก และผลจะเกิดบนลำต้น นอกจากนี้ลำต้นของพืชบางชนิดทำหน้าที่ขยายพันธุ์ได้ด้วย

ลักษณะภายนอกของลำต้นพืชประกอบด้วยร่อง (node) และปล้อง (internode) ตاجะเกิดบริเวณร่อง (node) พืชบางชนิดมีใบเกล็ดหรือ bud scales หุ้มบริเวณตาที่เกิดใหม่เพื่อป้องกันอันตราย เมื่อตากไปเกล็ดจะหลุดร่วงหล่น ปล่อยให้ยอดใบ และลำต้นแยกออกจาก ตาของพืชเกิดได้ 2 ตำแหน่งบนลำต้น ตาที่ปลายยอดเรียกว่า terminal bud ส่วนตาที่เกิดด้านซ้ายของลำต้นเรียกว่า lateral หรือ axillary bud ตัวใบร่วงไปที่ฐานของ axillary bud จะมีรอยแผลเป็นเรียกว่า

leaf scar พืชที่มีคายมากขึ้นลำต้นจะมีรูเปิดเล็กๆ ที่เนื้อเยื่อผิวไม่ทำหน้าที่เป็นจุดแลกเปลี่ยนกําชเรียกว่า lenticel

ลำต้นประกอบด้วยเซลล์และเนื้อเยื่อที่จะรวมกันเป็นระบบที่สำคัญ 3 ระบบ ดังนี้

1. ระบบเนื้อเยื่อพื้นผิว (Dermal Tissue System) ทำหน้าที่ป้องกันอันตรายจากภายนอก ได้แก่ epidermis และ periderm

2. ระบบเนื้อเยื่อพื้น (Ground Tissue System) ทำหน้าที่ยึดเหนี่ยวระบบอื่นๆ ให้ทรงรูปร่างเป็นส่วนต่างๆ ของพืช ได้แก่ เซลล์ในชั้น cortex และ pith ซึ่งส่วนใหญ่เป็น parenchyma

3. ระบบนำน้ำและอาหาร (Vascular Tissue System) เป็นระบบที่ลำเลียงน้ำ และแร่ธาตุไปสู่ส่วนต่างๆ ของพืช

การจัดเรียงตัวของเนื้อเยื่อภายใน ทำให้เกิดลำต้นแบบต่างๆ ซึ่งมีความแตกต่างกันที่ขนาดรูปร่าง สี และเนื้อไม้ การจัดเรียงตัวของเนื้อเยื่อ และการกระจายอย่างมีสัดส่วนระหว่างเนื้อเยื่อพื้น และเนื้อเยื่อน้ำและอาหาร ทำให้ลักษณะโครงสร้างปฐมภูมิของพืชตระกูลต่างๆ แตกต่างกัน แต่โดยปกติลำต้นปฐมภูมิประกอบด้วยกาบวิภาคหลัก ดังนี้

1. epidermis มักจะมีรูเดียวและมีผังด้านนอกเป็นสารคิวติน หรือมีรูนิคิวตินเคลือบมีปากใบ (stomata) กระจายอยู่ทั่วไป แต่จะเรียงตัวไม่เป็นระเบียบเหมือนในใบ เป็นเซลล์ที่มีชีวิตและทราบได้ที่ยังไม่มีการสร้าง periderm epidermis สามารถขยายใหญ่รีบบูรณาการ ไม่โตติด (mitotic) ทางด้านรัศมี เพื่อรับกับการเจริญเติบโตรีบบูรณาการด้านไม้ได้ด้วย

2. cortex และ pith เซลล์ส่วนใหญ่ที่พบใน cortex คือ parenchyma ซึ่งตามปกติพบเม็ดสีเขียว (chloroplast) และมีช่องว่างระหว่างเซลล์ชั้นเดียวโดยเฉพาะอย่างยิ่งบริเวณตอนกลางของ cortex Angiosperm ที่เป็นพืชน้ำจะมี parenchyma ชนิดพิเศษที่เรียกว่าหัวลงามากมาย และมีช่องว่างระหว่างเซลล์ในญี่ปุ่นเรียกว่า aerenchyma บริเวณ cortex ที่ติดกับ epidermis มักจะพบเซลล์ที่ให้ความแข็งแรง ได้แก่ collenchyma ซึ่งอาจรวมอยู่เป็นกลุ่มในบริเวณสันของลำต้น หรือเป็นแผ่นยาว หรือเป็นวงรอบลำต้นก็เป็นได้ แต่ในพืชบางชนิด เช่น พืชตระกูลญ่าจะพบ sclerenchyma แทนที่ collenchyma ได้

3. ระบบนำน้ำและอาหาร การเรียงตัวของระบบนำน้ำและอาหารในลำต้นปฐมภูมนั้น จะเป็นระเบียบรอบลำต้น การจัดเรียงตัวของ phloem และ xylem ในกลุ่มนี้เนื้อเยื่อน้ำและอาหารมีได้หลายแบบ เช่น collateral, bicollateral, concentric, amphicribral หรือ amphivasal

การเจริญระยะที่ 3 คือพืชจะมีพื้นที่สำหรับที่ใบ เส้นใบที่ใบ และก้านใบนั้นพื้นที่น้อยมาก vascular cambium ที่ลำต้นจะแบ่งตัว ทำให้ปริมาณเนื้อเยื่อน้ำและอาหารเพิ่มขึ้น การเจริญเติบโตชนิดนี้พื้นที่ใบเส้นอในพืชสนและพืชยืนต้นใบเลี้ยงคู่ พืชใบเดี่ยงคู่ ส่วนใหญ่จะมี

interfascicular cambium เป็นบริเวณแคนถึงแคนมาก ดังนั้นเนื้อเยื่อทุติยภูมิจะพัฒนาเป็นรูปวงแหวนโดยสมบูรณ์ และจะไม่เห็นแนว ray กว้างดังเช่นในพืช ล้มลุกใบเดี้ยงคู่

โดยปกติจะไม่พนการเจริญระยะทุติยภูมิในพืชล้มลุกใบเดี้ยงคู่ (herbaceous dicotyledons) และพืชใบเดี้ยงเดี่ยว แต่ถ้าพบในพืชใบเดี้ยงเดี่ยวมักจะเป็นการเจริญเติบโตแบบพิเศษจากการแบ่งตัวหรือขยายตัวของ parenchyma ที่เป็นเซลล์เพิ่นในลำต้น การเจริญระยะทุติยภูมิแบบนี้เรียกว่า diffuse (diffuse secondary growth) ในพืชใบเดี้ยงเดี่ยวที่มีเนื้อไม้ เช่น ลักษณะจั่น เป็นศรนารายณ์ มากผู้มากเมีย หรือดอกไข่ เป็นต้น สามารถสร้าง cambium ชนิดพิเศษ ชั้นที่ parenchyma นอกระบบนำน้ำและอาหารปฐมภูมิ และสร้างระบบนำน้ำและอาหารทุติยภูมิ ชั้น นอกจากนี้ยังพบเซลล์ schlerenchyma ด้วย พืชใบเดี้ยงเดี่ยวบางชนิดจะสร้าง periderm หนามากให้ป้องกันอันตรายด้วย

ส่วนประกอบที่สำคัญของลำต้นชั้นนำมาใช้ประโยชน์ในงานก่อสร้างคือส่วนเปลือกและแก่นเปลือก หมายถึงชั้นเนื้อเยื่อตั้งแต่ vascular cambium ออกไปด้านนอก ประกอบด้วยชั้น phloem ทุติยภูมิและเนื้อเยื่อปฐมภูมิของ phloem และ cortex ถ่ายทอดเหลืออยู่ periderm และเนื้อเยื่อที่ตายแล้วนอก periderm

สำหรับพืชที่มีอายุน้อยหรือพืชที่มีขนาดไม่ใหญ่นัก จะเกิด periderm เพียงครั้งเดียว ซึ่งอาจเป็นที่ตำแหน่งใต้ epidermis หรือใน cortex หรือใน phloem ปฐมภูมิหรือทุติยภูมิก็ได้ เปลือกของพืชชนิดนี้จึงประกอบด้วยชั้นเนื้อเยื่อที่ไม่หนามากเรียกว่า เปลือกรูนิดบาง เมื่อพืชมีขนาดใหญ่ ชั้นเปลือกรูนิดบางไม่เพียงพอที่จะป้องกันอันตรายให้พืชได้ พืชสร้าง periderm ชั้นใหม่เพิ่มลีกลงไปภายในลำต้น และทำให้ความหนาของเปลือกเพิ่มขึ้น เมื่อ periderm เกิดขึ้นไม่ว่าที่ตำแหน่งใดก็ตาม ชั้น cork หรือ phellem ที่เกิดขึ้นจะกันช้าของยุ่งหว่างเนื้อเยื่อชั้นนอกและชั้นใน ทำให้ขาดการติดต่อ กลุ่มนี้เรียกว่าต้านนกของ periderm จะไม่ได้รับน้ำและเกลือแร่จึงตายไป ดังนั้นเมื่อเกิด periderm หลายชั้นลีกลงไป เนื้อเยื่อต้านนกจะค่อยๆ ตาย เปลือกจะหนาขึ้นผ่านออกมีลักษณะหยาบและมีรอยแตกชัดเจนเรียกว่า เปลือกรูนิดหนา หรือ Rhytidome ภาคตัดขวางของเปลือกชนิดหนานี้จะแบ่งได้เป็น 2 บริเวณ คือ เปลือกชั้นนอก (outer bark หรือ rhytidome) และเปลือกชั้นใน (inner bark หรือ living phloem)

เปลือกชั้นนอก (Outer bark หรือ Rhytidome)

บริเวณ rhytidome จะนับตั้งแต่ periderm ชั้นที่เกิดรึ่นล่าสุดออกไปด้านนอก periderm ที่เกิดรึ่น ก่อนจะถูกดันออกไปด้านนอก periderm ที่เกิดรึ่นใหม่จะเกิดระหว่างแนว phellogen ของ periderm ฉะที่เกิดล่าสุดกับรึ่นเนื้อเยื่อที่ลีกลงไป และจะเกิดเช่นนี้ลีกลงไปเรื่อยๆ จนถึง phloem ทุติยภูมิซึ่งในรึ่นนี้ phellogen จะมีกำเนิดมาจากการ phloem parenchyma และ ray cell

ดังนั้น rhytidome จึงประกอบด้วย periderm ที่ไม่อาจแบ่งตัวได้แล้วเรียงตัวสลับกับรั้นเนื้อเยื่ออื่นๆ ได้แก่ parenchyma (อาจเป็น cortical parenchyma หรือ phloem parenchyma) sclereid และ fiber ซึ่งไม่มีชีวิตแล้วและมีสารสีแดง หรือ สีน้ำตาล ที่เกิดจากการตายของเซลล์และแทนนินสะสมอยู่ ทำให้รั้น rhytidome สีเข้มกว่าบริเวณอื่นๆ จำนวนรั้นของ periderm ใน rhytidome ไม่แน่นอนขึ้นกับชนิดของพืช การเรียงตัวของ periderm จะจำแนกเปลือกชนิดหนาหรือ rhytidome ได้เป็น 2 ชนิด

- scale bark เปลือกชั้นนอกที่แก่มากจะหลุดออกมาเป็นแผ่นเกล็ด เนื่องจาก periderm เกิดเรียงชั้non กันเป็นรูปเกล็ดปลา

- ring bark เปลือกชั้นนอกที่แก่มากจะหลุดร่อนเป็นวง เนื่องจาก periderm เกิดเป็นวงรอบแกน phloem เป็นชุดๆ

เปลือกชั้นใน (inner bark หรือ Living Secondary Phloem)

การแบ่งตัวของ vascular cambium มักจะทำให้บริเวณ phloem ทุติยภูมิแคนบกว่าบริเวณ secondary xylem เช่น การเรียงตัวของเซลล์ต่างๆจะเปลี่ยนแปลงตามชนิดของพืช ไม่มีกฎเกณฑ์ตายตัว phloem ที่มีอายุมากมักจะถูกเซลล์ที่เกิดจากการแบ่งตัวใหม่เบี่ยด ไม่มีปูร่องที่แน่นอน ไม่สามารถทำหน้าที่ได้ และถูกแยกออกจากไปโดย periderm ที่เกิดล็อกลงมา จึงยังทำให้บริเวณเปลือกชั้นในแคนบลงอีก ในพืชใบเลี้ยงคู่ phloem ทุติยภูมิจะมีลักษณะที่แปรเปลี่ยนไปมาก หั้งส่วนประกอบการเรียงตัวและขนาดของเซลล์ รวมถึงลักษณะเฉพาะของ phloem ที่ nondescript (non-functional phloem) แล้ว

แก่น หมายถึงชั้นเนื้อเยื่อตั้งแต่ vascular cambium เข้าไปสู่แกนกลางตันซึ่งประกอบด้วย xylem ทุติยภูมิทั้งหมด สามารถจำแนกได้เป็น 2 กลุ่ม คือ softwood หมายถึง แก่นของพืชกลุ่มสน (gymnospermae) มีลักษณะเนียนและเบา เพาะมี fiber และ tracheid เป็นส่วนใหญ่เนื่องจากที่จะให้ทำเยื่อกระดาษ และ hardwood หมายถึง แก่นของพืชใบเลี้ยงคู่ซึ่งแข็งแรง เนื้อแน่นและหนัก เพาะมี fiber และ vessel เป็นจำนวนมากเนื่องจากที่จะใช้ในการก่อสร้าง อย่างไรก็ตามแก่นพืชทั้งสองกลุ่มให้ประโยชน์ในเชิงเศรษฐกิจ

แก่นพืชใบเลี้ยงคู่ (Dicotyledon wood หรือ Hardwood)

แก่นประกอบด้วยระบบเนื้อเยื่อแนวตั้ง ได้แก่ fiber, tracheid, vessel และ axial parenchyma กับระบบเนื้อเยื่อแนวรัศมี คือ ray parenchyma ภาคตัดขวางของแก่นพืชใบเลี้ยงคู่ จะแสดงลักษณะแตกต่างของการเจริญเติบโตในช่วงปี เซลล์ที่เกิดจากการแบ่งตัวของ vascular cambium ในฤดูใบไม้ผลิซึ่งมีน้ำมากจะมีขนาดใหญ่และมีความหนาแน่นน้อย เรียกว่า early wood ส่วนเซลล์ที่เกิดจากการแบ่งตัวของ vascular cambium ในฤดูหนาวซึ่งขาดแคลนน้ำจะมีขนาดเล็กกว่า เรียกว่า late wood

แก่นพืชใบเลี้ยงคู่แบ่งเป็น 2 ชนิดคือ กลุ่มที่ไม่มี vessel ในบริเวณ xylem ทุติยภูมิ และ กลุ่มที่มี vessel ซึ่งจะมีลักษณะทางกายวิภาคที่รับข้อ隔ก่อนกว่าบางชนิดมี vessel ขนาดเท่ากัน และมีการกระจายตัวสม่ำเสมอ บางชนิด vessel ของเนื้อไม้ที่เกิดก่อน (early wood) จะมีขนาดใหญ่กว่า vessel ของเนื้อไม้ที่เกิดทีหลัง (late wood) บางชนิดมีการกระจายตัวของ vessel แบบเดียว หรือแบบกลุ่มก็ได้

• ใน

ใบเป็นส่วนของพืชที่มีความแปรเปลี่ยนในโครงสร้างและหน้าที่ได้หลายลักษณะ โดยทั่วไป มีหน้าที่สังเคราะห์แสง ประกอบด้วยส่วนของแผ่นใบ (lamina) และก้านใบ (petiole) ซึ่งติดกับลำต้น ใบพืชบางชนิดอาจไม่มีก้านใบเลยก็ได้เรียกว่า sessile leaf แผ่นใบมี 2 ด้าน คือ ด้านหลังใบ (ventral side) จะมีเส้นเข้ามัน ด้านหลังใบนี้จะหันเข้าด้านบนเพื่อรับแสง เรียกอีกอย่างว่า upper side และด้านท้องใบ (dorsal side) จะมีสีเข้มกว่า ผิวหายาบ และเห็นเส้นใบมูนขัด ด้านท้องใบนี้จะหันคว้าลงสู่ดิน เรียกอีกอย่างว่า lower side

ระบบนำน้ำและอาหารใบในเรียกว่า เส้นใบ (vein) ซึ่งจะติดต่อกระจายไปทั่วทั้งใบ เส้นใบใหญ่ เรียกว่า เส้นกลางใบ (midrib) และมีเส้นใบย่อยกระจายออกไป ในพืชใบเลี้ยงคู่ เส้นใบเป็นแบบร่างแห (reticulate) และในพืชใบเลี้ยงเดียวเส้นใบเป็นแบบราวน (parallel)

ในการตรวจเอกลักษณ์ของพืชนั้น ต้องอาศัยลักษณะต่างๆ ของใบมาประกอบเป็นอย่างมาก เช่น แผ่นใบของพืชใบเลี้ยงคู่มักจะแบ่งร่าง (board leaves) ส่วนใบของพืชใบเลี้ยงเดียวและสนจะมีลักษณะแคบและยาว (needle leaves)

2.2 ไม้ : วัสดุก่อสร้าง

ตามบันทึกทางประวัตศาสตร์สถาปัตยกรรมส่วนใหญ่ จะพบว่าวัสดุที่มนุษย์นำมาใช้ก่อสร้างเป็นที่พักอาศัย หรือเทาสถาน และยังปรากฏหลงเหลือเป็นหลักฐานให้สามารถศึกษาได้นั้น คือ หิน หรือ ดินโคลน แต่ก็ไม่ได้หมายความว่า หิน และดินโคลนจะเป็นวัสดุชนิดแรกที่มนุษย์นำมาใช้ในงานก่อสร้าง เนื่องจากการก่อสร้างด้วยหินต้องอาศัยเครื่องมือในการตัดและสกัด และแรงงานจำนวนมาก แต่ไม่เป็นวัสดุที่สามารถตัดหินลงมาใช้งานได้ง่ายกว่า จึงมีความเป็นไปได้สูง ว่าไม้จะเป็นวัสดุชนิดแรกๆ ที่มนุษย์นำมาใช้ในงานก่อสร้าง และวัสดุประสบคือใน การดำรงชีวิต เช่น หิน อาชุด เป็นต้นหากแต่การสูญเสียของหลักฐานการใช้ไม้ในยุคโบราณ เนื่องจากไม้เป็นวัสดุธรรมชาติที่สามารถย่อยลายได้ยากกว่าวัสดุก่อสร้างชนิดอื่นๆ ไม้แปรสภาพและสูญเสียเมื่อถูกเผาไหม้ ซึ่งเพลิงไหม้ที่เกิดในสมัยโบราณมีอยู่บ่อยครั้ง เนื่องจากอุบัติเหตุ และการทำสงคราม ยังคงดินแดน อาคารไม้ในยุคต่อมาจึงมีปรากฏหลงเหลืออยู่ในสภาพที่สมบูรณ์หลังจากการ

กระทรวงวัสดุอุบลออกเพื่อทำการซ่อมแซมอาคารซึ่งแสดงถึงพัฒนาการในการรักษาสภาพของไม้ให้สามารถต้านทานไฟได้ดีขึ้น

ประเทศไทยใช้ไม้เป็นวัสดุก่อสร้างมาตั้งแต่สมัยโบราณ บริมาณการใช้ไม้ในประเทศมีมากดังตารางที่ 2.2 และถึงแม้ว่าในอดีตประเทศไทยจะเป็นประเทศที่ผลิตไม้ออกจำหน่ายในตลาดโลกแต่เนื่องจากพื้นที่ป่าไม้ลดลงดังตารางที่ 2.3 ทำให้ผลผลิตไม้เพื่อการก่อสร้างมีปริมาณไม่เพียงพอ กับความต้องการภายในประเทศ ตั้งแต่ปี พ.ศ. 2525 เป็นต้นมา ประเทศไทยนำเข้าไม้ในปริมาณที่เพิ่มสูงขึ้นเรื่อยๆ จาก 488,500 ลบ.ม. ในปี พ.ศ. 2525 และเพิ่มสูงขึ้นเป็น 4,065,700 ลบ.ม. ในปี พ.ศ. 2537 แต่นั้นจากปี พ.ศ. 2538 บริมาณการใช้ไม้ในประเทศลดลงดังตารางที่ 2.2 ทำให้ปริมาณการนำเข้าไม้ลดลงตามไปด้วย แต่ก็ยังเป็นตัวเลขที่สูงกว่าการนำเข้าในปี พ.ศ. 2525 โดยตัวเลขการนำเข้าในปี พ.ศ. 2543 อยู่ที่ 1,856,800 ลบ.ม.

ตารางที่ 2.2 ปริมาณการใช้ไม้ในประเทศ ระหว่างปี 2521-2543 (หน่วย : 1,000 ลบ.ม.)

พ.ศ.	ปริมาณไม้ที่ผลิตได้ [5]	ปริมาณไม่นำเข้า [*] [6]	ปริมาณไม่ส่งออก [7]	ปริมาณไม่ใช้ ภายในประเทศ [8]
2525	1,769.4	488.5	1.5	2,256.4
2526	1,819.7	630.4	1.7	2,448.4
2527	2,031.7	581.5	6.7	2,606.5
2528	1,882.6	418.2	11.2	2,289.6
2529	2,014.7	348.7	29.2	2,334.2
2530	2,149.0	725.2	112.0	2,762.2
2531	2,048.1	1,123.3	181.1	2,990.3
2532	919.0	2,508.0	53.3	3,373.7
2533	491.6	3,340.9	48.6	3,783.9
2534	231.5	3,280.8	57.8	3,454.5
2535	119.4	3,814.4	45.1	3,888.7
2536	64.9	3,168.2	53.8	3,179.3
2537	62.3	4,065.7	62.4	4,065.6
2538	34.9	3,463.6	80.5	3,418.0
2539	43.9	3,151.8	45.4	3,150.3
2540	59.7	2,358.6	79.7	2,338.6
2541	54.8	1,239.7	108.2	1,186.3
2542	50.2	1,723.6	289.3	1,484.5
2543	46.4	1,856.8	378.5	1,524.7

*หมาย : [5] กรมป่าไม้ [6],[7] กรมศุลกากร [8]=[5]+[6]-[7]

ตารางที่ 2.3 เมริยบเทียบพื้นที่ป่าไม้ระหว่างปี 2521-2534

ภาค	พื้นที่		พื้นที่ป่าไม้ ปี 2521		พื้นที่ป่าไม้ ปี 2534		พื้นที่เปลี่ยนแปลง	
	ไร่	%	ไร่	%	ไร่	%	ไร่	%
เหนือ	106,027,680	33.06	59,335,625	55.96	48,214,375	45.47	11,121,250	10.49
ตะวันออก เฉียงเหนือ	105,533,126	32.91	19,513,126	18.49	13,624,375	12.91	5,888,751	5.58
ตะวันออก	22,814,063	7.11	6,898,125	30.24	4,806,875	21.07	2,091,250	9.17
กลาง	42,124,189	13.14	12,766,250	30.31	10,385,000	24.65	2,381,250	5.65
ใต้	44,196,992	13.78	11,001,875	24.89	8,405,625	19.02	2,596,250	5.87
รวม	320,696,882		109,515,000	34.15	85,436,250	26.64	24,076,750	7.51

พื้นที่ - กรมป่าไม้

การนำเข้าไม้จากต่างประเทศทำให้มีที่ใช้ในการก่อสร้างมีราคาแพง ผนวกกับปัญหาเศรษฐกิจที่ดีดดอยของประเทศไทยในปัจจุบัน และราคาวัสดุก่อสร้างที่สูงมากขึ้น ทำให้ความต้องการด้านอุตสาหกรรมการก่อสร้างต่างๆ มีขนาดลดลงเป็นอย่างมาก อย่างไรก็ตามการนำเข้าไม้ก็ยังมีอย่างต่อเนื่อง คงจะมีความต้องการต่อไป เนื่องจากมีแนวโน้มการก่อสร้างที่น่าจะสามารถนำไปใช้ทดแทนได้ อีกทั้งมีราคาถูกและหาได้ง่ายกว่า และในความเป็นจริงแล้วยังมีไม้โดยรวมหลายชนิดและหลายประเภท ที่มีความน่าสนใจที่จะทำการศึกษาถึงคุณสมบัติเชิงกล และเชิงกายภาพ ของไม้ เพื่อนำมาใช้ประโยชน์ได้

ในการระบุชนิดของวัสดุที่ใช้ในการก่อสร้างนั้น เมื่อระบุชนิดของไม้นิยมใช้คำนิยามเป็นกลางๆ ว่าเป็นไม้เนื้ออ่อน หรือไม้เนื้อแข็ง ดังนั้นก่อนอื่นจะต้องศึกษาคำนิยามเกี่ยวกับการจัดประเภทไม้ เนื่องจากหลักการแบ่งชนิดไม้นั้นมีรายวิธี ดังนี้

1. การจำแนกต้นไม้ตามหลักพฤกษศาสตร์ จะมีความเกี่ยวข้องกับพวงพิชัยรัตน์ (Spermatophyta) ซึ่งนอกจากจะเป็นพืชมีดอกตามปกติแล้ว ยังมีท่อน้ำ ท่ออาหาร มีลำต้น และราก เป็นองค์ประกอบ สามารถแยกได้เป็น 2 อนุกรม คือ

- Gymnosperms หมายถึงพืชที่ไม่ได้กำเนิดมาจากเมล็ดที่เกิดจากการผสมพันธุ์ ภายในอกรังไข่ (ovary) ตามปกติจะเกิดตามด้านหน้าของก้าน (bracts or scales) โดยมีลักษณะเป็นพำนหน้าเรณู (pollen grains) ไปผสมกับไข่อ่อน (ovule) ได้โดยตรง ใบไม้ส่วนใหญ่มีลักษณะเล็ก แหลมคล้ายรูปเข็ม หรือเป็นเกล็ด (needle-like or scale-like) เท่าที่พบว่ามีอยู่ในประเทศไทย ขณะนี้มี 6 วงศ์ (family) จำนวนทั้งหมด 25 ชนิด (species) ตัวยกัน แต่ที่รู้จักกันอย่างกว้างขวาง คือ พวงไม้สน (Pinus) และถูกจัดเป็นไม้เนื้ออ่อน (softwoods)

- Angiosperms หมายถึงพันธุ์ไม้ที่ถือกำเนิดมาจากการผลพันธุ์ภายในรังไข่ (ovary) ไปไม่ส่วนใหญ่จะมีลักษณะกว้าง (board leave) และแยกออกเป็น 2 ชั้น (class) คือ พืชใบเดี่ยงเดียว (Monocotyledones) และพืชใบเดี่ยงคู่ (Dicotyledones) และสูกจัดเป็น ไม้เนื้อแข็ง (hardwoods)

2. การจำแนกต้นไม้ ตามหลักวิชาการทางลักษณะโครงสร้างไม้สามารถแยกได้เป็น 2 กลุ่ม คือ

ไม้ที่เนื้อไม้มีรู (Non-porous Wood) สูกจัดเป็นไม้เนื้ออ่อน (Softwood) ซึ่งได้แก่ พวงไม้สัน (Conifers)

ไม้ที่เนื้อไม้มีรู (Porous Wood) สูกจัดเป็น ไม้เนื้อแข็ง (Hardwood)

การแบ่งชนิดของไม้ในแต่ละสาขาวิชานั้น ทำให้ได้ไม้ในกลุ่มเดียวกัน แต่เมื่อนำมาใช้ในการก่อสร้าง คำนวณของไม้เนื้อแข็ง และไม้เนื้ออ่อน หมายถึงไม้ที่สามารถรับแรงหรือน้ำหนักได้มากไม่แตกหักเสียหาย กองวิจัยผลิตผลป่าไม้จึงได้เสนอหลักเกณฑ์การกำหนดไม้เนื้ออ่อน-เนื้อแข็ง ต่อกรมป่าไม้ ที่ กส. 0702/6679 ลงวันที่ 3 พฤษภาคม พ.ศ. 2517 เรื่อง ข้อกำหนดเกี่ยวกับไม้ที่ใช้ในการก่อสร้างในส่วนราชการกรมป่าไม้

หลักเกณฑ์การแบ่งไม้เนื้ออ่อน-เนื้อแข็งตามมาตรฐานของกรมป่าไม้ โดยที่คุณสมบัติของไม้ ทางด้านกลไกบด (Mechanical Properties) เกี่ยวข้องกับหน่วยแรง (Stress) 4 ลักษณะด้วยกัน คือ แรงอัด (Compressive Stress) เป็นแรงที่ทำให้ไม้มีขนาดเล็กลงกว่าเดิม แรงตึง (Tensile Stress) เป็นแรงที่ทำให้ไม้มีขนาด หรือปริมาตรใหญ่กว่าเดิม แรงเฉือน (Shear Stress) เป็นแรงที่ทำให้ไม้แยกออกเป็น 2 ส่วน สวยงามตัด (Bending Stress) เป็นแรงที่ทำให้ไม้โค้งจนหัก เป็นแรงที่รวมเอาแรง 3 ชนิดแรกเข้าด้วยกัน ความสามารถที่ไม้จะต้านทานต่อแรงที่มากจะทำ เรียกว่า ความแข็งแรง (Strength) แรงตัดสูงสุดที่ทำให้ไม้หัก เรียกว่า แรงประสิทธิ์ หรือสัมประสิทธิ์ในการหัก (modulus of rupture) ความต้านทานของไม้ต่อแรงประดับนี้ เรียกว่า ความแข็งแรงของไม้ในการตัด ซึ่งยอมรับและใช้กันเป็นมาตรฐานของความแข็งแรงของไม้ ในการแบ่งไม้ออกเป็นประเภทไม้เนื้ออ่อน หรือไม้เนื้อแข็ง กรมป่าไม้ใช้ค่าความแข็งแรงในการตัดของไม้ตะเคียนทอง (Hopea odorata Roxb.) ที่แห้ง (ความชื้น 12%) เป็นค่ามาตรฐานในการแบ่งช่วงความแข็งแรง โดยแบ่งไม้ออกเป็น 3 ประเภท ดังตารางที่ 2.4

ตารางที่ 2.4 มาตรฐานในการแบ่งช่วงความแข็งแรงของไม้ โดยกรมป่าไม้

ชนิดไม้	ความแข็งแรงในการตัด (กก./ ซม. ²)	ความทนทานตามธรรมชาติ (ปี)
ไม้เนื้อแข็ง	สูงกว่า 1,000	สูงกว่า 6
ไม้เนื้อแข็งปานกลาง	600-1,000	2-6
ไม้เนื้อ软	ต่ำกว่า 600	ต่ำกว่า 2

ที่มา :- กรมป่าไม้

ค่าความทนทานตามธรรมชาติของไม้ได้จากการทดลอง โดยใช้ไม้ที่เป็นแก่นล้วน ไม่มีตำหนิ รูปสี่เหลี่ยมจตุรัสขนาด 5 ซ.ม. ยาว 50 ซ.ม. ผิงไว้จนแห้งดีมีความชื้นประมาณไม่เกิน 20% ผิงลงดินในแปลงทดลองกลางแจ้ง ตากแดด ตากฝนตามภาคต่างๆของประเทศไทย โดยผิงลึกประมาณ 25 ซม. เพื่อเก็บสถิติทุก 6 เดือน ดังตารางที่ 2.5

ตารางที่ 2.5 ตัวอย่างไม้ตามมาตรฐานในการแบ่งช่วงความแข็งแรง โดยกรมป่าไม้

ชนิดไม้	ความ แข็ง แรง (กก.)	ความ ต้าน ทาน (%)	ความ แข็ง แรง (กก./ ซม. ²)	ความแข็งแรง (กก./ ซม. ²)			ความ ต้าน ทาน (กก./ เมตร ²)	ความ เหนียว (กก.- ซม.)	ความ ต้าน ทาน (%)	ความ แข็ง แรง (กก.)	ความทนทาน จากการทดลอง ปักดิน (ปี)
				การตัด	การบด	การขูด					
ไม้เนื้อแข็ง											
ตะเคียนทอง (Hopea odorata Roxb.)	12.0	0.80	1,172	20	48	1,202	-	4.70	649	7.7 (3.0-10.5)	
กระถินพิมาน (Acacia siamensis Craib)	5.0	0.96	1,429	13	47	1,050	-	4.33	1,200	11.1 (2.0-16.0)	
ไม้ที่มีความแข็งแรงสูง											
สนประดิพัทธ์ (Casuarina Junghuhniana Miq.)	12.0	0.79	1,525	50	75	1580	-	5.89	865	3.6 (1.0-5.0)	
มะม่วงป่า (Mangifera spp.)	12.3	0.81	832	98	55	987	-	1.23	199	5.3 (2.0-11.0)	
ไม้เนื้อแข็งปานกลาง											
ทุเรียน (Durio zibethinus Murr)	2.2	.49	724	92	6	943	-	.95	249	1.4 (0.5-3.5)	

บทที่ 3

การนำไม้มาใช้ประโยชน์ (Wood Utilization)

การนำไม้มาใช้ประโยชน์ในงานก่อสร้างนั้น จะต้องผ่านขั้นตอนโดยการเลือยไม้ชุงท่อนให้เป็นไม้แผ่นหรือไม้แปรรูป โดยผลผลิตหรืออัตราการแปรรูปไม้ที่ได้จากการเลือยจะมากหรือน้อย และมีคุณภาพดีเพียงใด ขึ้นอยู่กับปัจจัยสำคัญที่เป็นตัวแปรหลักประการ เช่น ลักษณะของไม้ท่อน คลองเลือย การเลือยເដືອນານັດ การປັບປຸງຄວັງແຮກ រูปแบบการเลือย การดูแลบำรุงรักษาเครื่องจักร ฯລ. ซึ่งปัจจุบันนี้อัตราการแปรรูปไม้ชุงสูงเสียเนื้อไม้มาก นอกจากนี้ไม้ชุงที่นำมาแปรรูปก็เป็นไม้ขนาดเล็กจากสวนปาที่มีอายุน้อย เมื่อเลือยแล้วจะทำให้เกิดการบิดอังเป็นปัญหาในการแปรรูป จึงต้องใช้เทคนิคในการเลือยไม้แตกต่างไปจากปกติทั่วไป (สธ. 2542)

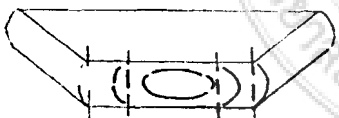
3.1 หลักการแปรรูปไม้ชุงท่อน (Sawing method)

ตามธรรมชาติบริเวณโคนของต้นไม้จะมีขนาดใหญ่กว่าส่วนอื่นๆ ของลำต้น ต้นไม้บางชนิดช่วง 3-5 เมตรแรกของส่วนโคนต้นมีรูปทรงเหมือนลำต้นต่ำ แต่ลำต้นดัดจากส่วนโคนเข้ามามีรูปทรงไม้แท่งต่างกันมากนัก สำหรับท่อนชุงรูปทรงตามมาเลือยจะต้องสูญเสียเนื้อมากส่วนไป ดังรูปที่ 3.1 เนื้อไม้ส่วนที่สามารถนำมาแปรรูปเป็นไม้แผ่นจะมีรูปทรงดังแสดงในรูปที่ 3.2 และไม้แผ่นที่ได้จะมีรูปทรงแบบลิ่ม โดยด้านหน้าของไม้แผ่นจะแคบกว่าอีกด้านหนึ่ง ดังรูปที่ 3.3



รูปที่ 3.1 การนำท่อนชุงรูปทรงตามมาเลือย

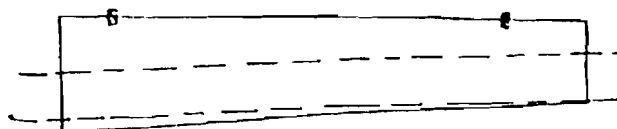
รูปที่ 3.2 การนำไม้ท่อนที่ได้จากการเลือยครั้งแรกในรูปที่ 3.1 มาแปรรูปเป็นไม้แผ่น



รูปที่ 3.3 การเลือยเปิดปีกเพื่อให้ได้ไม้แผ่นรูป

การเลือยวิธีนี้ ทำให้เกิดการสูญเสียเนื้อไม้มากพอสมควร เพราะต้องตัดรายด้านข้างหรือแต่งให้ได้ไม้แปรรูปเหลี่ยม บางครั้งการซอยร้างของไม้แผ่นอาจทำให้คุณภาพของแผ่นไม้เสียไป และทำให้ไม้ขยายได้รากาน้อยลง

เพื่อให้ได้ไม้แปรรูปที่มีคุณภาพดี และได้ไม้แปรรูปในปริมาณสูงจากการเลือยไม้ที่มีรูปทรงต้นตามความเลือยให้ฐานกับใจ ดังรูปที่ 3.4

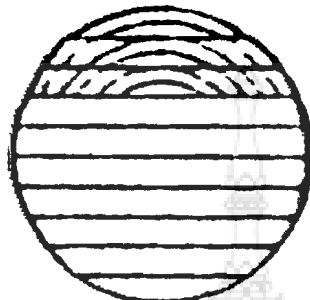


รูปที่ 3.4 การเลือยไม้ให้ฐานกับใจ

3.2 รูปแบบการแปรรูปไม้ (Sawing patterns)

การเลื่อยไม้ซุ่งมีหลายวิธี ซึ่งแต่ละแบบนั้นก็มีข้อดีและข้อเสียแตกต่างกันออกไป การแปรรูปไม้แบ่งออกได้เป็น 4 รูปแบบด้วยกันคือ

1. การเลื่อยแบบตะ (Through & Through or live sawing or slab cutting) เป็นวิธีการเลื่อยขนาดไปตามแกนหรือขนาดกับแนวเสี้ยนไม้ ดังรูปที่ 3.5



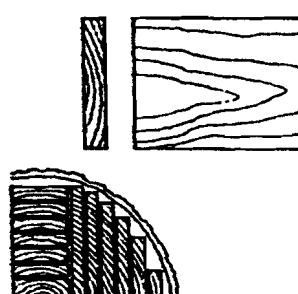
รูปที่ 3.5 การเลื่อยไม้แบบตะ

2. การเลื่อยแบบตามรัศมี (Quarter sawing) การเลื่อยแบบนี้จะเป็นการเลื่อยตามแนวรัศมีของไม้ซุ่งท่อน ซึ่งในทางปฏิบัติอาจจะเลื่อยได้ไม่ตรงตามแนวทั้งหมด แต่ต้องพยายามให้ใกล้เคียงมากที่สุด ตามมาตรฐานของอังกฤษ ดังรูปที่ 3.6



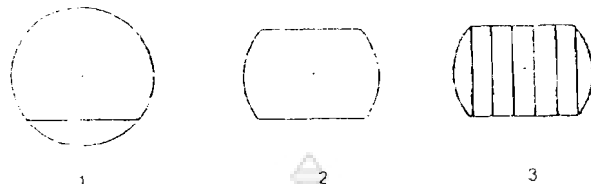
รูปที่ 3.6 การเลื่อยไม้
แบบตามรัศมี

3. เลื่อยพลิก (Plain sawing or round and round) การเลื่อยวิธีนี้เป็นการเลื่อยแบบตัดครุณภาพของไม้แปรรูป โดยเลื่อยจากไม้ซุ่งที่มีขนาดใหญ่โดยการพลิกหมุนไปโดยรอบ เพื่อให้ได้ไม้แปรรูปคุณภาพดีที่สุด หลักเลี้ยงต่านิส่างๆ ของไม้ซุ่ง เช่น ตามรอยๆ ดังรูปที่ 3.7



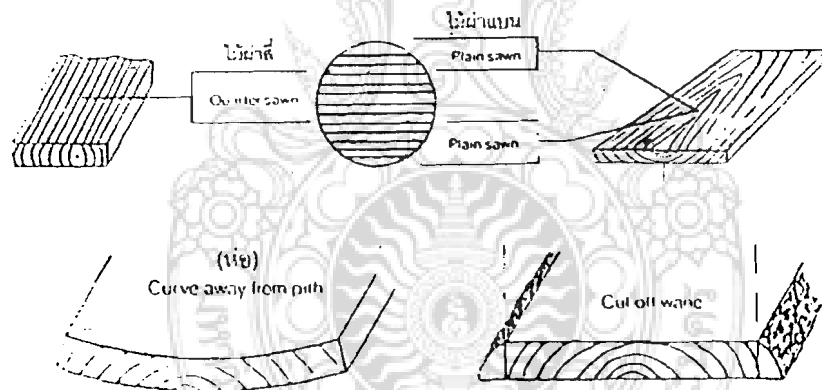
รูปที่ 3.7 การเลื่อยไม้แบบพลิก

4. เลือยแบบเปิดปีกสองข้าง (Cant sawing) เหมาะกับไม้ชุงที่มีขนาดเล็ก ไม้แปรรูปที่ได้หรือปีก ไม่มีการซอยข้างน้อย การเลือยแบบนี้สามารถกำหนดความกว้างของหน้าไม้ได้ตามต้องการ และปริมาณไม้แปรรูปที่ได้ก็ค่อนข้างสูง



รูปที่ 3.8 การเลือยไม้แบบเปิดปีกสองข้าง

ไม้แปรรูปที่ได้จากการเลือยแบบตะในบริเวณกลางไม้ชุง จะเป็นไม้ผ่าสี่ (Quarter sawn board) หมายถึง ไม้แปรรูปที่มีแนววงปีกอียงทำมุมไม่น้อยกว่า 45 องศาตามแนวกว้างของแผ่นไม้ แต่ไม้แปรรูปส่วนใหญ่ที่ได้จะเป็นไม้แบบผ่าแบบ (Plain sawn or flat sawn board) ซึ่งมีแนววงปีกอับตั้งจากกันแนวกว้างของแผ่นไม้ ดังรูปที่ 3.9 แผ่นไม้แบบผ่าแบบเป็นแผ่นไม้ที่มีคุณภาพดีเนื่องจากจะเกิดการบิด การโก่ง และการอน้อยที่สุด



รูปที่ 3.9 ไม้แผ่นที่ได้จากการเลือยแบบตะ

การเลือยแบบตามรัศมีไม้แปรรูปที่ได้ทุกแผ่นจะเป็นไม้ผ่าแบบ (Plain sawn or flat sawn board) ซึ่งแตกต่างไปจากรูปแบบการเลือยแบบตะ ซึ่งจะได้ไม้แปรรูปบางส่วนตรงบริเวณใกล้เส้นผ่าศูนย์กลางเป็นไม้ผ่าสี่ ส่วนการเลือยแบบเปิดปีกสองข้างจะได้ไม้แปรรูปเป็นไม้ผ่าแบบมากกว่าไม้ผ่าสี่

3.3 ข้อกำหนดทั่วไปของการแปรรูปไม้

ข้อกำหนดทั่วไปของการแปรรูปไม้ แสดงไว้ในตารางที่ 3.1 และ 3.2

ตารางที่ 3.1 การเลือยเพื่อความหนาของไม้เบรรูป

ความหนาไม้เบรรูป	เลือยเพื่อขนาดความหนา					
	ขันต่ำ		ขันสูง			
มม.	นิ้ว	มม.	นิ้ว	มม.	นิ้ว	
12-22	$\frac{1}{2} - \frac{7}{8}$	1.5	0.06	3	0.12	
25-44	$1 - \frac{3}{4}$	3	0.12	6	0.24	
50-75	2-3	4.5	0.18	6	0.24	
88-138	$3\frac{1}{2} - 5\frac{1}{2}$	6	0.24	9	0.36	
150-200	6-8	9	0.36	12	0.48	

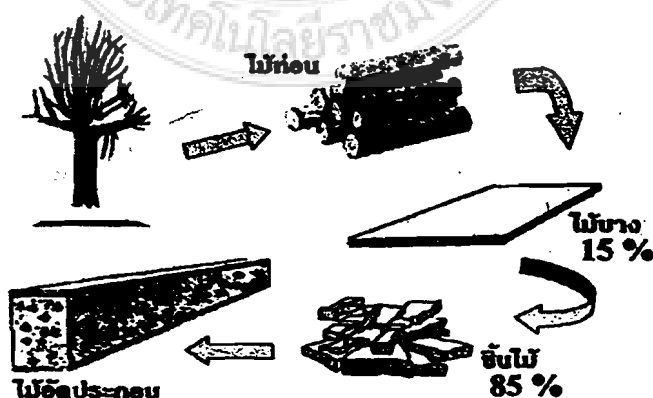
ตารางที่ 3.2 การเลือยเพื่อความกว้างของไม้เบรรูป

ความกว้างไม้เบรรูป		เลือยเพื่อความกว้างขันต่ำ	
มม.	นิ้ว	มม.	นิ้ว
25-125	1-5	6	0.24
150-175	6-7	9	0.36
200-225	8-9	12	0.48
250-400	10-16	15	0.60

อย่างไรก็ตามขนาดของไม้เบรรูปในห้องตลาดนั้น เรายังจะพบเสมอว่าจะไม่มี การเลือยขนาดตามมาตรฐาน เช่น ไม้ขนาดความหนา 1 นิ้ว ผู้ซื้อจะได้ขนาดความหนา 1 นิ้ว พอดี หรือต่ำกว่าขนาดเล็กน้อย ซึ่งนับว่าผู้ซื้อจะถูกเอาเปรียบในเรื่องนี้อยู่เสมอ เนื่องแต่ใน กรณีที่เป็นไม้สักจะได้ไม้เต็มขนาด เมื่อจากไม้สักมีราคาแพงกว่าไม้กระยาลัยชนิดอื่น

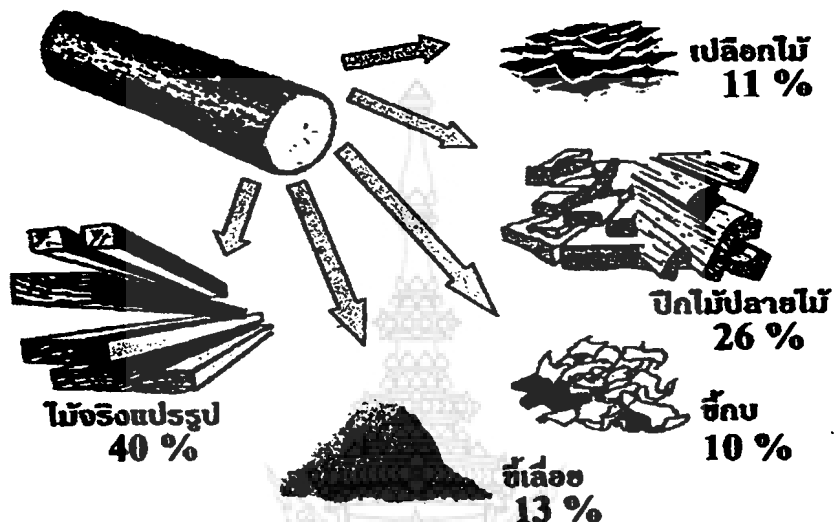
3.4 การใช้ไม้ให้คุ้มค่า

การเบรรูปไม้อาย่างคุ้มค่าที่สุด คือ การที่สามารถใช้ทุกส่วนของไม้ท่อนให้เป็น ประโยชน์ ดังแสดงในรูปที่ 3.10



รูปที่ 3.10 กระบวนการการเบรรูปไม้ให้คุ้มค่า

การแปรรูปไม้ท่อนเป็นไม้แผ่นนั้น ได้ไม้แผ่นแปรรูปเพียงร้อยละ 40 เศษวัสดุที่เหลือใช้ในการผลิตเป็นไม้ประกอบ (Wood Composites) ประเภทอื่นๆ ได้ ส่วนการแปรรูปไม้ท่อนเป็นไม้ขัดนั้น ได้ผลิตภัณฑ์ไม้ขัด 45% เศษวัสดุที่เหลือใช้ในการผลิตเป็นไม้ประกอบ (Wood Composites) ประเภทอื่นๆ ได้ ดังรูปที่ 3.11



รูปที่ 3.11 กระบวนการแปรรูปไม้ให้คุณค่า

3.5 การนำไม้มาใช้เป็นโครงสร้างอย่างปลดภัย

ในการออกแบบอาคารไม้และโครงสร้างไม้ในประเทศไทย วิศวกรรมสถานแห่งประเทศไทยในพระบรมราชูปถัมภ์ ได้จัดทำ “มาตรฐานสำหรับอาคารไม้” ฉบับเมื่อปี พ.ศ. 2517 โดยได้ตัดแปลงมาจากการมาตรฐานของต่างประเทศซึ่งจัดทำโดยใช้ชื่อชุมชนวิศวกรรม และระดับความเสี่ยงที่ยอมรับร่วมกันในประเทศไทยเจ้าของมาตรฐาน แม้จะมีการปรับปรุงมาตรฐานการออกแบบสำหรับประเทศไทยหลายครั้ง มาตรฐานที่ได้ยังคงอิงมาตรฐานในต่างประเทศเป็นหลัก ด้วยเหตุนี้ในการออกแบบตามมาตรฐาน ว.ส.ท. ผู้ใช้จึงไม่อาจทราบถึงระดับความปลอดภัยที่แท้จริงของโครงสร้าง สำหรับประเทศไทย

ดังนั้นการรวมชื่อนุสบทางวิศวกรรมของวัสดุในแต่ละประเทศไทยซึ่งมีความสำคัญ เพื่อการนำชื่อนุสบทางวิศวกรรมที่ทางสถาบันที่จะนำไปใช้งานที่เกี่ยวเนื่องกับการประกอบวิชาชีพ เพื่อให้ได้มาตรฐานที่เหมาะสมกับการใช้งานออกแบบและก่อสร้างอย่างเที่ยงตรงมากที่สุดในประเทศไทยนั้นฯ ยังจะนำไปสู่มาตรฐานคุณภาพที่ดี โดยที่โครงสร้างจะมีความน่าเชื่อถือมาก เป็นการประกันความปลอดภัยจากการวินิจฉัยในการใช้งานอาคารนั้นๆ ส่วนที่เกี่ยวกับความมั่นคง ปลอดภัย ของอาคารโดยตรง คือ น้ำหนักที่กระทำต่อโครงสร้าง และกำลังต้านทานต่อแรงกระทำที่อาจจะเกิดขึ้นใน

อนาคตซึ่งวิศวกรโครงสร้างเป็นผู้คาดคะเนแรงกระทำเหล่านี้ การคาดคะเนแรงกระทำในนี้ถ้าไม่ครอบคลุมอย่างเพียงพอ ก็เป็นเรื่องที่เสี่ยงต่อความปลอดภัยของโครงสร้าง ดังนั้นวิธีวิเคราะห์ความน่าเชื่อถือของโครงสร้างจึงได้ถูกคิดค้นขึ้น

ทฤษฎีความน่าเชื่อถือของโครงสร้างเป็นพุทธิกรรมทางวิทยาศาสตร์ที่สามารถอธิบายได้ตามหลักคณิตศาสตร์สถิติ และทฤษฎีกลศาสตร์ประยุกต์ประกอบกัน วิธีความวิเคราะห์น่าเชื่อถือเริงโครงสร้างสามารถแบ่งออกเป็นวิธีใหญ่ได้ 2 วิธีคือวิธีคำตอบโดยประมาณ (Approximate Methods) และวิธีคำตอบถูกต้อง (Accurate Methods) ความน่าเชื่อถือของโครงสร้างจะเกิดจาก การก่อสร้าง และเกิดจากการใช้สอย โดยมีเงื่อนไขของอายุและสภาพการณ์ต่างๆ เป็นตัวกำหนดสมรรถภาพของโครงสร้าง ในกรอบของความประยุกต์ที่ให้ความปลอดภัยต่อชีวิตและทรัพย์สินทั้งใน การก่อสร้างและการใช้งาน การใช้ทฤษฎีความน่าเชื่อถือของโครงสร้างมาประยุกต์ให้เข้ากับการทำมาตรฐานการประกอบวิชาชีพ ทั้งการออกแบบการก่อสร้างและการบำรุงรักษาจึงมีความจำเป็นอย่างยิ่ง

สถิติกการก่อสร้างโดยทั่วไปจะเกี่ยวข้องกับการคิดราคา เช่น ราคาวัสดุ อัตราการก่อสร้าง การจัดอัตรากำลัง และการจัดอุปกรณ์เครื่องมือ เป็นต้น แต่ในแห่งของความน่าเชื่อถือของโครงสร้าง จะเกี่ยวข้องกับมาตรฐานของวัสดุก่อสร้าง มาตรฐานการออกแบบชิ้นส่วนก่อสร้าง เกณฑ์ความคลาดเคลื่อนในการก่อสร้าง เกณฑ์การยอมรับในการตรวจสอบ การเก็บข้อมูลเกี่ยวกับกำลังวัสดุเป็นที่ทราบกันดีว่าวัสดุ สภาพแวดล้อม เช่นไหการใช้งาน เทคโนโลยี และฝีมือแรงงาน มีการเปลี่ยนแปลงตลอดเวลา ความไม่แน่นอน (Uncertainty) ของน้ำหนักบรรทุก และความต้านทานของโครงสร้าง จึงขึ้นอยู่กับตัวแปรดังกล่าวข้างต้นหลายๆ ตัวประกอบกัน ซึ่งแต่ละตัวแปรสูมจะแสดงคุณลักษณะทางสถิติที่แตกต่างกัน [12] อีกทั้งการแจกแจง (distribution) ของตัวแปรสูมมีผลโดยตรงต่อทั้งวิธีการ และผลวิเคราะห์ความน่าเชื่อถือของโครงสร้าง ดังนั้นจึงมีความจำเป็นอย่างยิ่งที่จะต้องวิเคราะห์คุณสมบัติเชิงสถิติของตัวแปรสูมให้ถูกต้อง เพราะคุณสมบัติเชิงสถิติที่ถูกต้อง และการเลือกใช้วิธีวิเคราะห์ที่เหมาะสม จะส่งผลให้คำตอบของความน่าเชื่อถือของโครงสร้างมีความแม่นยำสูงสุด และเชื่อถือได้ร้อย per cent ทางด้านวิศวกรรมมักมีลักษณะเป็นร้อยละเชิงปริมาณ ดังนั้นภาษาที่ลังการระบุรวมร้อยละที่ได้จากการทดสอบแล้ว จะต้องทำการวิเคราะห์ความน่าจะเป็น (probability) ภายใต้ร้อยละที่มีความยุ่งยากในการคำนวนหรือวิเคราะห์มากขึ้นตามลำดับ ร้อยละทางสถิติที่บันทึกไว้ในทุกกิจกรรมของ การก่อสร้าง จะสามารถใช้ประโยชน์ในการวิเคราะห์ถึงความน่าเชื่อถือของโครงสร้างได้ เกือบทั้งหมด และสำคัญที่มีความจำเป็นอย่างยิ่งคือ

- ลักษณะการกระจายของตัวเลข (Distribution) โดยทั่วไปอาจจะเป็นกราฟรูป Normal Distribution, Lognormal, Beta Distribution หรือรูปแบบอื่น ตามตัวเลขหรือร้อยละที่ควรจะได้

- ค่าเบี่ยงเบนมาตรฐาน (Standard Deviation) เป็นเครื่องชี้บ่งถึงลักษณะการกระจายของตัวเลขเมื่อเปรียบเทียบกับค่าเฉลี่ยซึ่งมีแนวโน้มพุติกรรมเชิงกลุ่มและใช้เป็นครรชนีวัดระดับคุณภาพได้

- สัมประสิทธิ์ความป่วนแปร (COV) เป็นครรชนีชี้บ่งถึงความป่วนแปรที่นำไปสู่การหนัยสำคัญ โดยเฉพาะความน่าจะเป็นและ/ หรือความน่าจะวินิต และในทำนองกลับกันจะนำไปสู่การคำนวณหาความน่าเชื่อถือ ซึ่งเป็นการประกันความปลอดภัยให้ห่างไกลจากการวินิตได้

- การวัดแนวโน้มส่วนกลาง (Measures of Central Tendency) เป็นการหาค่ากลางเพื่อใช้เป็นตัวแทนข้อมูลทั้งหมด มีประโยชน์ในการเปรียบเทียบข้อมูลอื่นๆโดยไม่จำเป็นต้องพิจารณาข้อมูลทั้งหมดของแต่ละชุด การวัดแนวโน้มส่วนกลางที่นิยมกันทั่วไปมี 3 วิธี คือ มัธยมเลขคณิต (Arithmetic Mean) มัธยฐาน (Median) และฐานนิยม (Mode)

- การวัดการกระจาย (Measures of Variation) เป็นการวัดว่าข้อมูลมีการกระจายต่างจากค่าเฉลี่ยของข้อมูลนั้นมากน้อยเพียงใด การวัดการกระจายที่ใช้ในการวิเคราะห์ความน่าเชื่อถือของโครงสร้าง ได้แก่ ส่วนเบี่ยงเบนมาตรฐาน ค่าความแปรป่วน และสัมประสิทธิ์ความแปรผัน

- ความเบี้ยว (Skewness) เมื่อทราบส่วนเบี่ยงเบนมาตรฐาน ค่ามัธยมเลขคณิต และมัธยฐาน แล้ว สามารถคำนวณหาความเบี้ยวจากสูตร

$$\text{ความเบี้ยว} = \frac{3(\text{ค่ามัธยมเลขคณิต} - \text{ค่ามัธยฐาน})}{\text{ส่วนเบี่ยงเบนมาตรฐาน}}$$

นอกจากชี้อ้อมทางสถิติแล้วยังมีความจำเป็นต้องใช้สถิติอ้างอิง โดยการใช้สถิติทดสอบประเภทที่ไม่ใช้พารามิเตอร์ (Nonparametric Test) ซึ่งได้แก่ การทดสอบไคกำลังสอง (Chi-square Test) และการทดสอบโคลโมกรอฟ-สมีเยรอนอฟ (Kolmogorov-Smirnov Test) เพื่อใช้ในการทดสอบการแจกแจง (Type of Distribution) มาตรการออกแบบสามารถแบ่งตามวิธีการวิเคราะห์ความน่าเชื่อถือและการใช้คุณสมบัติทางวิศวกรรมเชิงสถิติออกเป็น 3 ระดับ [14] ดังที่บันทึกในตารางที่ 3.3

ตารางที่ 3.3 ระดับของมาตรฐานการออกแบบ [14]

ระดับมาตรฐาน	รูปแบบ	ลักษณะสำคัญ
1	มาตรฐานเชิงกำหนด (Deterministic Code)	ระดับความเสี่ยงได้ถูกกำหนดແນໄให้ส่วนหน้าในสูตรและขั้นตอนต่างๆ ที่ต้องใช้ออกแบบโดยคณะกรรมการสร้างมาตรฐาน
2	มาตรฐานแบบกึ่งน่าจะเป็น [†] (Semi-probabilistic Code)	<ul style="list-style-type: none"> - กำหนดตัวแปรมาตรฐาน ตัวแปรเสริม และการแจกแจงที่เหมาะสมให้ส่วนหน้า สำหรับแต่ละสภาพการณ์ - กำหนดระดับความน่าจะเกิดความวินิตที่ยอมรับได้ สำหรับสภาพเวชีดจำกัดแต่ละชนิด - การวิเคราะห์ความน่าเชื่อถือโดยวิธี FOSM

ตารางที่ 3.3 ระดับของมาตรฐานการออกแบบ [14] (ต่อ)

ระดับมาตรฐาน	รูปแบบ	ลักษณะสำคัญ
3	มาตรฐานแบบน่าจะเป็นเดิม ยัชรา (Fully probabilistic Code)	- พิจารณาความไม่แน่นอนทั้งหมดตามความเป็นจริง - กำหนดระดับความน่าจะเกิดความวินิจฉัยยอมรับได้ สำหรับสภาวะขีดจำกัดแต่ละชนิด - การวิเคราะห์ความน่าจะเป็นโดยวิธีคำนวณถูกต้อง หรือวิธี ให้คำตอบประมาณที่สามารถให้คำตอบเป็นที่ยอมรับได้ เช่น วิธี Advanced FOSM

การเลือกระดับความปลอดภัยในการกำหนดมาตรฐานการออกแบบควรคำนึงถึงผลกระทบ
การวินิจฉัยของระบบโครงสร้างต่อชีวิต ทรัพย์สิน และความรู้สึกของสาธารณะฯ ดังสรุปในตารางที่
3.4 ระดับความปลอดภัยจากพิจารณาได้ทั้งในระดับโครงสร้าง หรือเฉพาะหน้าตัด หรือเฉพาะที่ ดัง
ตารางที่ 3.5 เมื่อได้ข้อสรุปแล้ววิจัยพิจารณาเลือกค่าความน่าจะวินิจฉัยยอมรับได้ ซึ่งมีความสัมพันธ์
กับด้านความปลอดภัยดังสรุปในตารางที่ 3.6

ตารางที่ 3.4 ระดับความปลอดภัย [14]

ระดับความปลอดภัย	ระดับอันตรายที่อาจเกิดขึ้นได้
1	ไม่เป็นอันตรายต่อชีวิตคน และ/ หรือ มีผลต่อทรัพย์สินน้อย
2	เป็นอันตรายต่อชีวิตคน และ/ หรือ มีผลต่อทรัพย์สินอย่างเห็นได้ชัด
3	เป็นอันตรายต่อชีวิตคนเป็นจำนวนมาก และ/หรือ มีผลต่อทรัพย์สินอย่างรุนแรง, มีผลกระทบ ต่อสาธารณะอย่างกว้างขวาง

ตารางที่ 3.5 ระดับของการตรวจสอบความปลอดภัย [14]

ระดับ	R^*	\geq	S^*
โครงสร้าง	ความด้านทานของโครงสร้าง	\geq	น้ำหนักบรรทุก
หน้าตัด	ความด้านทานของหน้าตัด	\geq	ผลของแรงที่หน้าตัด
เฉพาะสุด	กำลังของวัสดุ	\geq	หน่วยแรงที่เกิดขึ้น

ตารางที่ 3.6 ความสัมพันธ์ระหว่างด้านความปลอดภัย (β) และความน่าจะวินิจฉัย (P_f)

P_f	β	P_f	β
10^{-2}	2.33	10^{-6}	4.75
10^{-3}	3.09	10^{-7}	5.20
10^{-4}	3.72	10^{-8}	5.61
10^{-5}	4.27	10^{-9}	6.00

เนื่องจากคุณสมบัติของวัสดุและน้ำหนักบรรทุกที่ระบบโครงสร้างต้องแบกรับตลอดอายุการใช้งานได้แสดงถึงคุณลักษณะทางสถิติ ดังนั้นจึงอาจนิยามความปลอดภัยของโครงสร้าง เชิงปริมาณในรูปของความน่าเชื่อถือ (Reliability) ว่าเป็นความน่าจะเป็นที่ผลของน้ำหนักบรรทุก (Load Effects = S) จะมีค่าไม่มากเกินกว่าความต้านทานของโครงสร้าง (Structural Resistance = R) ในทางปฏิบัตินิยมใช้พจน์สำหรับความน่าเชื่อถือว่า ความน่าจะวินาศ (Failure probability)

ความน่าเชื่อถือเชิงโครงสร้าง (P_r) คือ ความน่าจะเป็นของเหตุการณ์ที่ความต้านทานของระบบโครงสร้าง (R) จะมีค่ามากกว่าผลของน้ำหนักบรรทุก (S) ตลอดอายุการใช้งาน สามารถเขียนในรูปของสมการทางคณิตศาสตร์ได้ว่า

$$P_s = P_r (R > S) \quad (3.1)$$

ในทางปฏิบัติ เรายิ่งนำเสนอความน่าเชื่อถือเชิงโครงสร้าง (Structural Reliability) ในรูปของพจน์เดิมเดิมของ P_s ได้แก่ ความน่าจะวินาศ (Failure Probability- p_f) ดังแสดงในสมการ (3.2)

$$P_f = P_r (R \leq S) \quad (3.2)$$

สำหรับปัญหาที่ไม่รีบกับเวลา สามารถเขียนความน่าจะวินาศในรูปทั่วไป ดังสมการที่ (3.3)

$$P_f = \int_{D_f} f_x(x) dx \quad (3.3)$$

เมื่อ X เป็นเวกเตอร์ของตัวแปรสุ่ม X_1, X_2, \dots, X_n , $f_x(x)$ เป็นฟังก์ชันความหนาแน่นน่าจะเป็นร่วม (Joint Probability Density Function) ของ X และ D_f เป็นอณาบริเวณที่ระบบโครงสร้างเกิดการวินาศ การคำนวณความน่าจะวินาศดังแสดงในสมการ (3.3) มีองค์ประกอบเพียงสามส่วน ได้แก่ ข้อมูลทางสถิติเงื่อนไขวินาศ (Failure Conditions) และเทคนิคการอินพุต ส่วนของเงื่อนไขการวินาศนั้นไม่เป็นปัญหาแต่อย่างใด เนื่องจากมีอยู่ในตำราด้านกลศาสตร์โครงสร้างทั่วไป

ตามความเป็นจริงแล้วพฤติกรรมของโครงสร้างขึ้นกับตัวแปรหลายตัว และอาจวินาศด้วยเงื่อนไขเดียวกันในรูปแบบต่างๆ เช่น เงื่อนไขด้านการใช้งาน หรือเงื่อนไขด้านความคงทน ดังนั้น การนิยามสภาพวินาศ (Failure State) ของระบบโครงสร้างให้ได้ก็ว่างช้าอย่างขึ้นในรูปของฟังก์ชันสภาพเชิดจำากัด (Limit-State Function) ซึ่งขึ้นกับตัวแปรมูลฐาน (Basic Variables) คือ สภาวะเชิดจำากัด (Limit State) ขององค์อาคารใดๆ ของโครงสร้าง ซึ่งจำแนกออกได้เป็น 3 ชนิด คือ

- 1) สภาวะเชิดจำากัดสำหรับความปลอดภัยของโครงสร้าง ซึ่งอาจหมายถึงการสูญเสียความสมดุลของโครงสร้างหรือองค์อาคาร ได้แก่ การขาดเสียราก (การโกร่งเดาะ, ...) หรือการเกิดกลไกวินาศของโครงสร้าง (การพังทลายห้องน้ำ หรือการพังทลายเพียงบางส่วน เป็นต้น) หรือเกิดการแตกหักของหน้าตัดวิกฤตในรูปแบบต่างๆ เช่นการแตกหักการสูญเสียความคงทน (เช่นโดยการการผูกร่อง) หรือการล้าของวัสดุ (เช่น การแตกหักเนื่องจากการล้า) เป็นต้น

2) ສภาະชັດຈຳກັດດ້ານການໃຊ້ງານໝາຍດີ່ງການເປົ້າຢູ່ນຸ່າທີ່ມາເກີນໄປ (ມີຜລກະທບຕ່ອງ
ຄວາມສາມາດໃນການໃຊ້ງານ) ໄດ້ແກ່ ກາຮເກີດຮອຍແຕກເພີ່ມເຊື່ອ ກາຮແກງ່ງຫົວໜ້າຍ່າງເໜີນໄດ້ຂັດ ກາຮ
ສູງເສີຍຄວາມຄົງທນ (ເຊັ່ນ ໄນສາມາດຮັບຜລຂອງກາຮສິ້ນຜ່ານຂອງນໍ້າ ແລະ/ຫຼື ກາຮແພັງຕັວຂອງນໍ້າ)
ຫຼືຄວາມເສີຍຫາຍທີ່ເໜີນດ້ວຍຕາອຍ່າງຂັດເຈັນ (ເຊັ່ນ ກາຮໂກ່ງຕັວອຍ່າງເໜີນໄດ້ຂັດ)

3) ສປາະຈັດຈຳກັດໃນຮູ່ປະບົນອື່ນຈະເໜີນໄດ້ວ່າໃນກາວິເຄຣະໜ້າມ່າເຖິງຄົງສ້າງ
ຈະມີອົງປະກອບ 3 ສ່ວນ ຂີ່ ສ້ານຂ້ອມຸລ ກາຮກຳນັດສປາະຈັດ ແລະກາຮກຳນັດຄວາມ
ນ່າເຖິງຄົງສ້າງ ໂດຍຈະພບວ່າຂ້ອມຸລທາງວິສະກຽມສໍານັບກາວິເຄຣະໜ້າມ່າເຖິງຄົງສ້າງ
ຈະຕ້ອງມີຈຳນວນນາກ

ດັ່ງນັ້ນຈຶ່ງຕ້ອງມີຮະບົບວິທີກາທີ່ສາມາດວິເຄຣະໜ້າມ່າເຖິງມີຢ່າງມີປະສິກີພາພ ໂດຍທໍາ
ກາຮກຳນັດຊ່ວງແໜ່ງຄວາມເຂື້ອມັນ (Interval of Confidence) ຈຶ່ງປັກຕິຈະໃຮ່ທີ່ຮະດັບໄມ່ນ້ອຍກວ່າຮ້ອຍລະ
99 ລ້າມື່ຄ່ານ້ອຍກວ່າທີ່ກຳນັດຈະຕ້ອງທຳກາຮທດສອບຕັວອຍ່າງເພີ່ມເຕີມແລະເນື່ອຈຳນວນເຂົ້າມຸລທີ່ທດສອນ
ອູ້ນໃຊ່ວ່າງແໜ່ງຄວາມເຂື້ອມັນດັ່ງກ່າວແລ້ວ ຈະນໍາເຂົ້າມຸລທີ່ໄດ້ມາທຳກາວິເຄຣະໜ້າກວະເໜົງຮູ່ປັນທິ
ໂດຍຍອນຮັບເຂົ້າມຸລທີ່ມີຮະດັບຄວາມເຂື້ອມັນ (Level of Confidence) ໄນນ້ອຍກວ່າຮ້ອຍລະ 95 ຈຶ່ງສ້ານ້ອຍ
ກວ່າຮະດັບດັ່ງກ່າວຈະຕ້ອງທຳກາຮທດສອບເພີ່ມເຕີມຈຳກວ່າຈະໄດ້ເຂົ້າມຸລທີ່ມີຮະດັບຄວາມເຂື້ອມັນ



บทที่ 4

อุปกรณ์และวิธีการดำเนินงานวิจัย (Materials and Research Methods)

4.1 อุปกรณ์ที่ใช้ในการดำเนินงานวิจัย ประกอบด้วย

- ไม้พฤกษ์ และไม้จามจุรี จำนวนนิ่งละ 35 ศูนยาศรีกุหลาบ โดยไม้ที่เลือกมาทดสอบ จะต้องมีขนาดเส้นผ่าศูนย์กลางของลำต้นไม่น้อยกว่า 12 มิลลิเมตร ความสูงไม่น้อยกว่า 8 เมตร¹ และนำมาปรับรูปตามขนาดที่กำหนดได้ในมาตรฐาน ASTM [23] ตั้งแสดงในตารางที่ 1 และเลือกเฉพาะส่วนที่อยู่ในสภาพที่เรียบร้อย ตรงไม่บิดข้อไม่มีรอยแตกไม่มีด้านไม้หรือผ่านการใช้งานมาก่อน
- ซอฟต์แวร์ WCCAL [8-10] สำหรับใช้วิเคราะห์ทางสถิติ และเขียนแบบ

4.2 ขั้นตอนและวิธีการ

1. รวบรวมและศึกษาเอกสารและข้อมูลที่เกี่ยวข้อง รวมทั้งทดสอบการใช้ซอฟต์แวร์วิเคราะห์ทางสถิติ
2. การเตรียมตัวอย่างทดสอบ
3. ทดสอบคุณสมบัติทางกายภาพและเชิงกลของไม้พฤกษ์และไม้จามจุรีตามมาตรฐาน ASTM D143 [23]

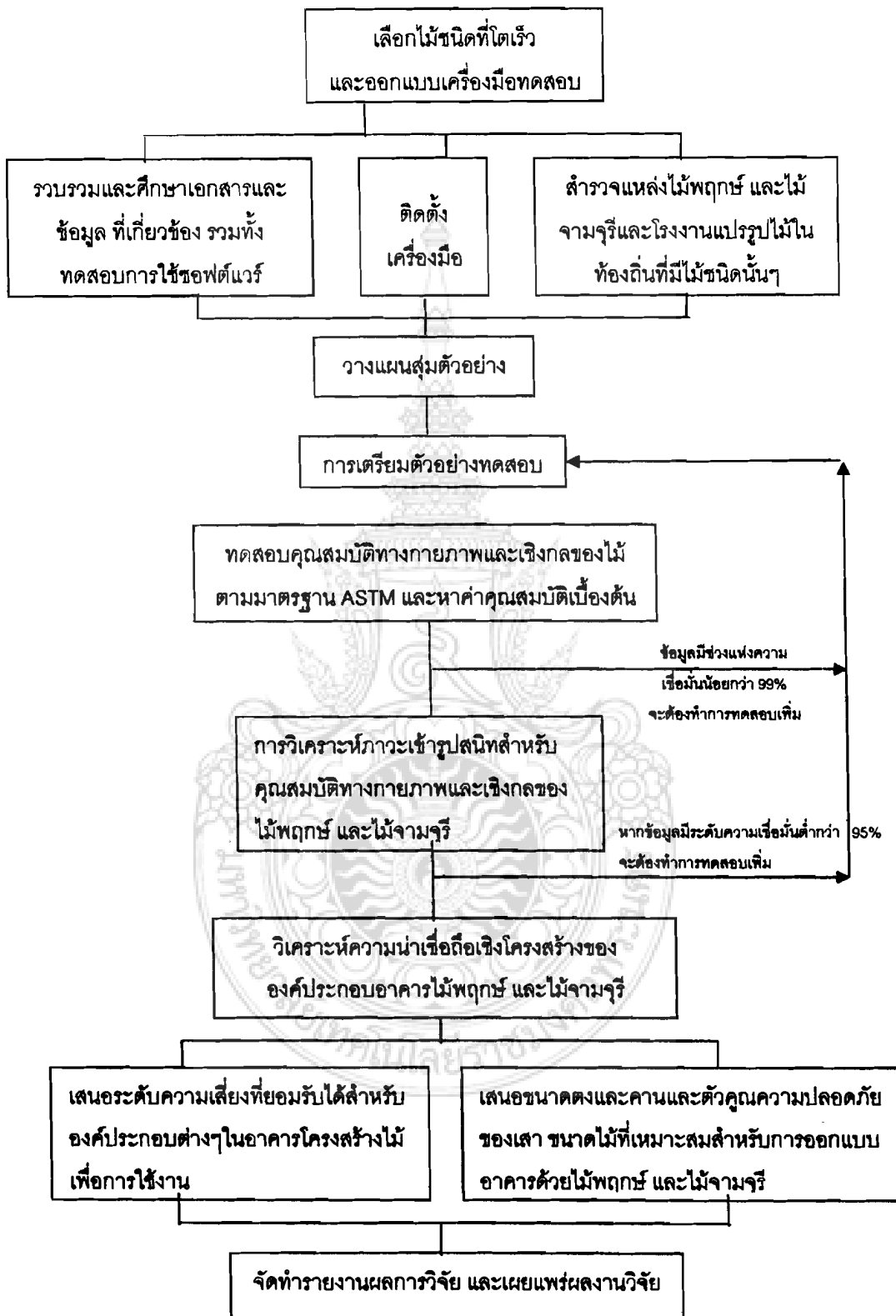
4. วิเคราะห์เชิงสถิติเบื้องต้นและการทดสอบภาวะเข้ารูปสนใจเกี่ยวกับคุณสมบัติทางกายภาพและเชิงกลของไม้พฤกษ์ และไม้จามจุรี

ถ้าข้อมูลมีช่วงแห่งความเชื่อมั่น (Interval of Confidence) น้อยกว่าร้อยละ 99 จะต้องทำการทดสอบตัวอย่างเพิ่มเติมเมื่อจำนวนข้อมูลที่ทดสอบอยู่ในช่วงแห่งความเชื่อมั่นดังกล่าวแล้วจะนำข้อมูลที่ได้มาทำการวิเคราะห์หากภาวะเข้ารูปสนใจ โดยถ้าข้อมูลมีระดับความเชื่อมั่น (Level of Confidence) ต่ำกวาร้อยละ 95 จะต้องทำการทดสอบเพิ่มจนกว่าจะได้ค่าที่ระดับดังกล่าว

5. วิเคราะห์ความไม่เชื่อถือของโครงสร้างขององค์ประกอบอาคารไม้พฤกษ์ และไม้จามจุรี
6. เสนอระดับความเสี่ยงที่ยอมรับได้สำหรับองค์ประกอบต่างๆ ในอาคารโครงสร้างไม้พฤกษ์ และไม้จามจุรี เพื่อการใช้งานทางสถาปัตยกรรม และวิศวกรรม
7. เสนอขนาดที่เหมาะสมของตงและคานและตัวคูณความปลดภัยของเสา สำหรับการออกแบบอาคารด้วยไม้พฤกษ์ และไม้จามจุรี
8. จัดทำรายงานผลการวิจัย และเผยแพร่ผลงานวิจัย

¹ กฤษณะ ทิพย์ปฐกและคณะ, "การศึกษาคุณสมบัติเชิงกลและทางกายภาพของไม้สนประดิษฐ์" โครงการวิศวกรรมศาสตร์ มหาวิทยาลัยรังสิต, 2542.

ผังการดำเนินงาน



4.3 การทดสอบและวิเคราะห์เชิงสถิติคุณสมบัติทางกายภาพและเชิงกล

4.3.1 การเก็บข้อมูล

1. รวมรวมคุณสมบัติเชิงสถิติ เกี่ยวกับน้ำหนักบรรทุกฯ
2. รวมรวมทฤษฎี มาตรฐานการทดสอบ งานวิจัย และเอกสารที่เกี่ยวข้อง
3. รวมรวมข้อมูลทางวิศวกรรม เกี่ยวกับน้ำหนักบรรทุก และข้อมูลทั่วๆ ไปเกี่ยวกับไม้ พฤกษ์ และไม้จำรูร
4. ศึกษาทฤษฎีที่เกี่ยวข้อง มาตรฐานการทดสอบ มาตรฐานการออกแบบ วิธีการใช้ ซอฟต์แวร์วิเคราะห์ทางสถิติ และวิธีการใช้ซอฟต์แวร์วิเคราะห์ความน่าเชื่อถือ

4.3.2 การเตรียมตัวอย่าง

ขนาดของตัวอย่างที่ใช้ในการทดสอบคุณสมบัติทางกายภาพและเชิงกลของไม้เป็นไปตามมาตรฐาน ASTM ดังแสดงในตารางที่ 4.1

ตารางที่ 4.1 ขนาดตัวอย่างการทดสอบคุณสมบัติทางกายภาพ และเชิงกลของไม้

ลำดับ	รายการทดสอบไม้	ขนาดตัวอย่าง ทดสอบ (นิ้ว)	ปริมาตร/ชิ้น (ลบ.ฟุต)
1	การรับแรงตัวของไม้ (Static Bending)	2 × 2 × 30	0.069
2	การรับแรงอัดในแนวชานานกับเสียงของเนื้อไม้ (Compression Parallel to Grain)	2 × 2 × 8	0.019
3	การรับแรงอัดในแนวตั้งจากกับเสียงของเนื้อไม้ (Compression Perpendicular to Grain)	2 × 2 × 6	0.014
4	การรับแรงดึงในแนวชานานกับเสียงของเนื้อไม้ (Tension Parallel to Grain)	1 × 1 × 30	0.017
5	การรับแรงดึงในแนวตั้งจากกับเสียงของเนื้อไม้ (Tension Perpendicular to Grain)	2 × 2 × 2.5	0.006
6	ความเหนียวของเนื้อไม้ (Toughness)	0.79 × 0.79 × 11	0.004
7	ความแข็งของเนื้อไม้ (Hardness)	2 × 2 × 6	0.014
8	การรับแรงเฉือนในแนวชานานกับเสียงของเนื้อไม้ (Shear Parallel to Grain)	2 × 2 × 2.5	0.006
9	การรับแรงซีกของเนื้อไม้ (Cleavage)	2 × 2 × 3.75	0.009
10	หน่วยน้ำหนักจำเพาะ และการทดสอบตัวของเนื้อไม้ (Specific Gravity and Shrinkage in Volume)	2 × 2 × 6	0.014
11	การทดสอบในแนวรัศมี และในแนวปี (Radial and Tangential Shrinkage)	1 × 4 × 1	0.002

4.3.3 การทดสอบคุณสมบัติทางกายภาพและเชิงกล

ไม้พฤกษ์ และไม้จามจุรีที่นำมาใช้ในการทดสอบจะใช้ไม้ที่มีอายุประมาณ 10 - 15 ปี ลักษณะลำต้นตรง สูงมากกว่า 8 เมตร ชิ้นไปโดยน้ำมันที่ทำการสูบน้ำอย่างมาทำการแปรรูปสำหรับการทดสอบ และนำไปอบเพื่อให้เหลือความชื้นที่ร้อยละ 12 แล้วจึงนำมาทดสอบตามมาตรฐาน ASTM [23] โดยในการทดสอบไม้ถ้าผลการทดสอบที่ได้มีช่วงแห่งความเชื่อมั่น (Interval of Confidence) น้อยกว่าร้อยละ 99 จะต้องทำการทดสอบตัวอย่างเพิ่มเติม เมื่อจำนวนชิ้นมูลที่ทดสอบอยู่ในช่วงแห่งความเชื่อมั่นดังกล่าวแล้วจะนำชิ้นมูลที่ได้มาทำการวิเคราะห์หากว่าเข้าอยู่สนิท โดยถ้าชิ้นมูลมีระดับความเชื่อมั่น (Level of Confidence) ต่ำกว่าร้อยละ 95 จะต้องทำการทดสอบเพิ่มจำนวนกว่าจะได้ค่าที่ระดับดังกล่าว

4.3.4 การวิเคราะห์ทางสถิติ

การวิเคราะห์คุณสมบัติทางสถิติของชิ้นมูลทางวิศวกรรมของไม้พฤกษ์และไม้จามจุรี ประกอบไปด้วย ค่าเฉลี่ย (Mean) ส่วนเบี่ยงเบนมาตรฐาน (Standard Deviation) และรูปแบบการแจกแจงต่อเนื่อง (Type of Distribution) ที่เหมาะสม โดยรูปแบบการแจกแจงที่เหมาะสมจะใช้ค่าไคกำลังสอง (Chi – Square) ซึ่งอาศัยหลักการเปรียบเทียบการแจกแจงของชิ้นมูลตัวอย่างกับการแจกแจงที่ต้องการทดสอบ และพิจารณาความคลาดเคลื่อนระหว่างความถี่ของชิ้นมูลตัวอย่างที่เกิดขึ้นจริงกับความถี่ที่เกิดจากการแจกแจงภายใต้สมมติฐานว่าง (Null Hypothesis) ดังสมการที่ 4.1 และจะยอมรับชนิดของการแจกแจงนั้นก็ต่อเมื่อค่าไคกำลังสองมีค่าน้อยกว่าค่าวิกฤติที่ระดับความเชื่อมั่น (Confident Interval) ซึ่งในงานวิจัยนี้ได้กำหนดที่ร้อยละ 95 และการทดสอบโดยโมกโกรอฟ – สมีเยรnof (Kolmogorov – Smirnov) ซึ่งเป็นวิธีการเปรียบเทียบค่าพังก์ชันการแจกแจงสะสม (Cumulative Distribution Function) ของตัวอย่างกับ CDF ของการแจกแจงที่เหมาะสม ดังแสดงในสมการที่ 4.2

$$\chi^2 = \sum_{i=1}^k \frac{(O_i - E_i)^2}{E_i} \quad (4.1)$$

เมื่อ O_i = ความถี่ที่เกิดขึ้นจริง

E_i = ความถี่ที่เกิดจากการสมมติการแจกแจง

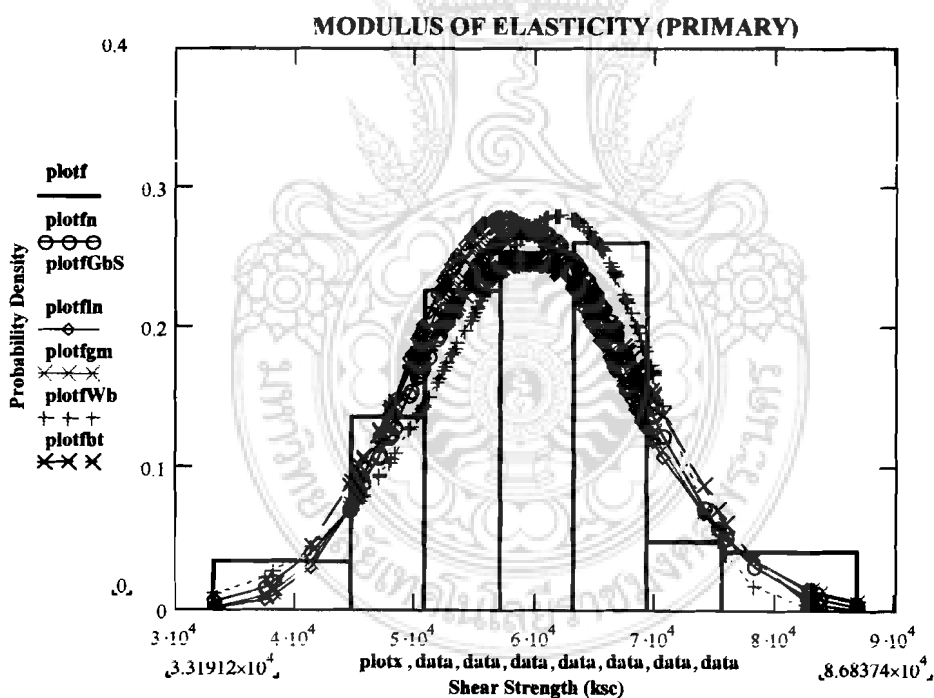
$D = \text{Max } |F(x) - S(x)|$ (4.2)

เมื่อ $F(x)$ = CDF ที่ตำแหน่ง x ของชิ้นมูล

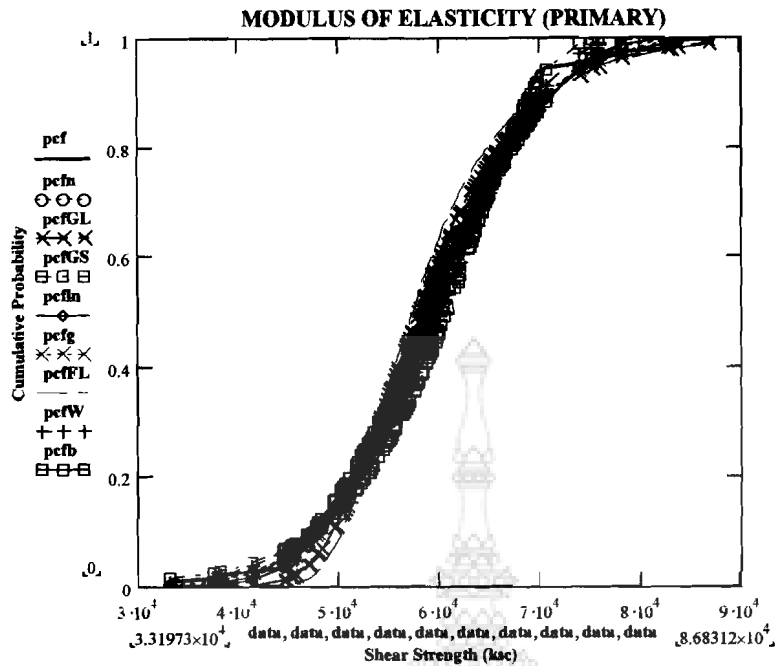
$S(x)$ = CDF ที่ตำแหน่ง x ของการแจกแจงที่คาดไว้

การทดสอบไคกำลังสอง (Chi-square Test) และการทดสอบโคลโมก Rogoff-สมิรโนฟ (Kolmogorov-Smirnov Test) ซึ่งการทดสอบทั้ง 2 ชนิด เป็นการทดสอบที่ใช้พารามิเตอร์ การทดสอบการแจกแจงนีบ้างที่ เรียกว่า การทดสอบภาวะเข้ารูปสนิท (Goodness-of-Fit Test) การทดสอบไคกำลังสองมีข้อจำกัดในเรื่องของความถี่และระดับของข้อมูล กล่าวคือความถี่ที่ควรจะเป็นจําต้องไม่ต่ํากว่า 5 และจำนวนกลุ่มของข้อมูลจะต้องไม่น้อยกว่า 2 ชั้น

เนื่องจากข้อมูลไม่มีความหลากหลาย หลายประเภทมีลักษณะการแจกแจงแบบค่าปลายสุด (Extreme-valued distributions) จึงไม่สามารถใช้โปรแกรมวิเคราะห์ทางสถิติทั่วไป ดังนั้น งานวิจัยนี้ได้พัฒนาซอฟต์แวร์ CESTTEST (Civil Engineering Statistical Test) [12] เพื่อหาคุณสมบัติทางสถิติของข้อมูลทางวิศวกรรมซึ่งไม่ต่างๆ ดังตัวอย่างผลลัพธ์ของค่าโมดูลัสยืดหยุ่นของไม้จามจุรีที่ผ่านการทดสอบไคกำลังสองและโคลโมก Rogoff – สมิรโนฟ ในรูปที่ 4.1 และ 4.2 ตามลําดับ



รูปที่ 4.1 ตัวอย่างผลลัพธ์ของค่าโมดูลัสยืดหยุ่นของไม้จามจุรีที่ผ่านการทดสอบไคกำลังสอง



รูปที่ 4.2 ตัวอย่างผลลัพธ์ของค่าโมดูลัสยึดหยุ่นของไม้จามจุรีที่ผ่านการทดสอบการ
ทดสอบโดยไมโครฟ - สเนย์รอนอฟ

โปรแกรม CESTTEST ให้ค่าทางสถิติที่ใช้ในการวิเคราะห์ความนำเข้าเชือดอันได้แก่ ค่าเฉลี่ย (Mean) ส่วนเบี่ยงเบนมาตรฐาน (Standard Deviation) และคุณภาพแบบการแจกแจงต่อเนื่องที่เหมาะสมซึ่งมี 11 แบบประกอบด้วย การแจกแจงแบบปกติ (Normal Distribution) การแจกแจงเอกรูป (Uniform Distribution) การแจกแจงเลขชี้กำลัง (Exponential Distribution) การแจกแจง雷耶ล (Rayleigh Distribution) การแจกแจงค่าสูงสุดแบบกุมเบล (Gumbel Type I (Largest) Distribution) การแจกแจงค่าต่ำสุดแบบกุมเบล (Gumbel Type I (Smallest) Distribution) การแจกแจงแบบลอกบปรกติ (Lognormal Distribution) การแจกแจงแคมมา (Gamma Distribution) การแจกแจงค่าสูงสุดชนิดที่สองแบบเฟรเชต (Frechet Type II (Largest) Distribution) การแจกแจงค่าต่ำสุดชนิดที่สามแบบไวบูล (Weibull Type III Distribution) และการแจกแจงบีตา (Beta Distribution)

4.4 ขีดจำกัดของสัมประสิทธิ์การเปลี่ยนของความต้านทานเชิงโครงสร้าง (Limit Coefficient of Variation of Structural Resistance)

คุณสมบัติทางสถิติด้านการกระจายตัว (Dispersion) การแจกแจง (Distribution) ของตัวแปรสุ่ม(Random Variable) โดยเฉพาะอย่างยิ่งสัมประสิทธิ์การเปลี่ยน (Coefficient of Variation: CV) มีอิทธิพลและไวต่อการให้ผลคำตوبนของกวิเคราะห์ความนำเข้าเชือดเชิงโครงสร้าง

จากการศึกษาที่ผ่านมาในเรื่องการวิเคราะห์ความน่าเชื่อถือขององค์อาคารไม้เนื้ออ่อนโดยการใช้ข้อมูลทางวิศวกรรมในประเทศไทยพบว่าหน้าตัดของโครงสร้างไม้ที่ออกแบบโดยอาศัยหลักความน่าจะเป็นนั้น มีขนาดหน้าตัดใหญ่ขึ้นอย่างรวดเร็วมากตามการเพิ่มขึ้นของสมบัติที่การแปรงน้ำของไม้ดูดซึมยุ่งชุ่งไม้แนวโน้มความสัมพันธ์ที่เพิ่มขึ้นอย่างรวดเร็ว เช่นนี้เมื่อนำมาซ้ายขวาผลกับระบบโครงสร้างทั่วไปอาจจะทำให้ศึกษาพบถึงข้อจำกัดของสมบัติที่การแปรงน้ำของความต้านทานเริงโครงสร้าง ที่จะทำให้ระบบโครงสร้างยังคงความน่าเชื่อถือ (Reliability) ภายใต้สภาพการแปรงรับน้ำหนักบรรทุก

4.5 การวิเคราะห์ความน่าเชื่อถือเชิงโครงสร้างขององค์อาคาร

4.5.1 แนวความคิดพื้นฐานของความน่าเชื่อถือเชิงโครงสร้าง

ความปลอดภัยเชิงโครงสร้าง (Structural Safety : p_s) อาจนิยามในรูปความน่าเชื่อถือว่าความน่าจะเป็นที่ผลของน้ำหนักบรรทุก (Load Effects : S) จะมีค่าไม่น่าเกินกว่าความต้านทานเริงโครงสร้าง (Structural Resistance : R)

$$p_s = P_r (R-S > 0) \quad (4.3)$$

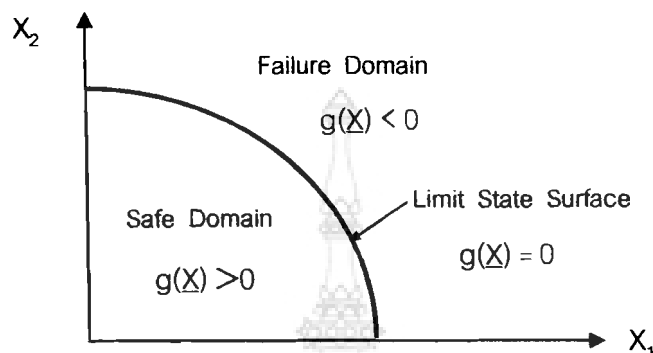
ในทางปฏิบัตินิยมใช้พจน์เติมเต็มสำหรับความน่าเชื่อถือเชิงโครงสร้างได้แก่ความน่าจะเกิดการวินาศ (Failure Probability : P_f) แทนความปลอดภัยเชิงโครงสร้าง

$$\begin{aligned} p_f &= 1 - p_s \\ &= P_r (R-S \leq 0) \end{aligned} \quad (4.4)$$

โดยความเป็นจริงแล้วระบบโครงสร้างประกอบด้วยตัวแปรหลายตัวรวมกัน ซึ่งอาจมีหรือไม่มีความสัมพันธ์ต่อกัน (Correlation) ซึ่งทั้งโครงสร้างอาจวินาศได้ด้วยเงื่อนไขข้อจำกัดได้หลายรูปแบบ เช่น สภาพวิศวกรรมที่จำกัดเชิงประดิษฐ์ (Ultimate Limit States) สภาพวิศวกรรมที่จำกัดด้านการใช้งาน (Serviceability Limit States) เป็นต้น ดังนั้นสภาพวินาศของโครงสร้างจึงอาจสามารถนิยามในรูปของฟังก์ชันสภาพวิศวกรรมที่จำกัดของตัวแปรสุ่ม (X) ได้ดังสมการที่ 4.5

$$g(X) = R - S \quad (4.5)$$

ในกรณีที่ $g(\underline{X}) < 0$ หมายถึงสภาวะวินาศัย และจะหมายถึงสภาวะปลอดภัยในกรณีที่ $g(\underline{X})$ มีค่าอื่น ซึ่งผิวของอาณาบริเวณที่ปลอดภัย (Safe Domain : D_s) และผิวของอาณาบริเวณวินาศัย (Failure Domain : D_f) จะถูกแยกจากกันด้วยสภาวะชีดจำกัด (Limit State) ที่ $g(\underline{X}) = 0$ ดังแสดงในรูปที่ 4.3



รูปที่ 4.3 อาณาบริเวณวินาศัยและปลอดภัยในกรณีตัวแปรสุ่ม 2 ตัว (Ouypornprasert, 1988)

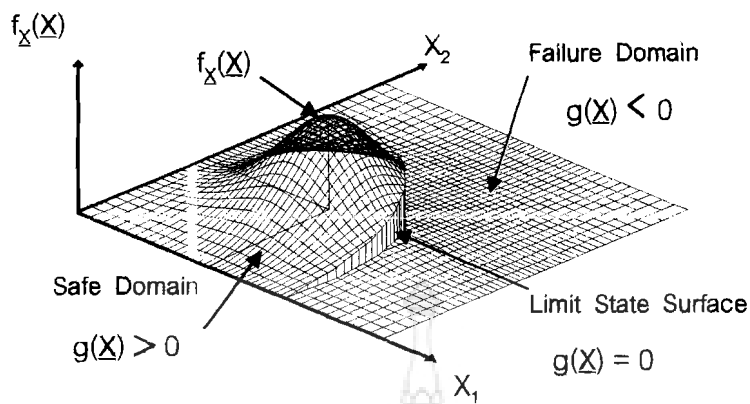
เมื่อ R และ S ถูกนิยามเป็นตัวแปรสุ่มที่เป็นอิสระต่อกัน พังก์ชันความหนาแน่นน่าจะเป็น (Probability Density Function) ถูกแทนด้วย f_R และ f_S ตามลำดับ ความน่าจะเกิดการวินาศัย จึงหาได้จากการหาปริพันธ์ (Integral) ของพังก์ชันความหนาแน่นน่าจะเป็นร่วมบนบริเวณที่เกิดการวินาศัย ดังสมการที่ 4.6

$$\begin{aligned}
 p_f &= P_f(R \leq S) \\
 &= P_f(R - S \leq 0) \\
 &= \int_0^{\infty} f_{RS}(r,s) dr ds
 \end{aligned} \tag{4.6}$$

หาก R และ S ถูกแทนได้มากกว่าสองตัวแปรและพังก์ชันสภาวะชีดจำกัดอาจมีความซับซ้อนขึ้นไปเรื่องเส้นความน่าจะเกิดการวินาศัยอาจอธิบายในรูปกราฟปริพันธ์ได้ดังสมการที่ 4.7

$$P_f = \int_{\Omega_f} f_x(x) dx \tag{4.7}$$

โดยที่ $f_x(x)$ คือ พังก์ชันความหนาแน่นน่าจะเป็นรวมสำหรับตัวแปร X_1, X_2, \dots, X_n ซึ่งในกรณีสองตัวแปรจะหมายถึง การหาปริพันธ์ของพังก์ชันความหนาแน่นน่าจะเป็นร่วมในบริเวณที่เกิดการวินาศัย ดังแสดงในรูปที่ 4.4



รูปที่ 4.4 ปริมาตรรายได้พังก์ชันความหนาแน่นจะเป็นร่วม (Ouypornprasert, 1988)

ในทางปฏิบัติการหาปริมาตรให้ถูกต้องโดยวิธีปริพันธ์สังวัตนาการ (Convolution Integrals) ในรูปแบบหลายมิติอาจไม่สามารถทำได้โดยง่ายเนื่องจากขอบเขตการหาปริพันธ์และพังก์ชันความหนาแน่นจะเป็นร่วมมีความซับซ้อนมาก และจะใช้แก้ปัญหาได้ดีในกรณีมิติดำ ‐ๆ เท่านั้น จึงเป็นเหตุให้มีวิธีการหาค่าปริพันธ์ในรูปเชิงวิเคราะห์หรือตัวเลข โดยรายละเอียดอาจศึกษาเพิ่มเติมในข้างต้น [29]

4.5.2 โอกาสจะเกิดการวินิจฉัยความปลอดภัยและตัวคูณความปลอดภัย

เมื่อ R และ S ถูกพิจารณาให้เป็นตัวแปรสุ่มที่มีการกระจายแบบปกติ ซึ่งอาจแทนคุณลักษณะทางสถิติได้ด้วย $N(\mu_R, \sigma_R)$ และ $N(\mu_S, \sigma_S)$ ตามลำดับ ในกรณีปัญหาสองตัวแปรที่มีความสัมพันธ์ดังสมการที่ 4.5 พังก์ชันสภาวะขีดจำกัดจะมีความสัมพันธ์แบบเชิงเส้น (Linear Relation) และมีการกระจายเป็นแบบปกติ โดยค่าเฉลี่ยของพังก์ชันสภาวะขีดจำกัด (μ_g) และค่าเบี่ยงเบนมาตรฐาน (σ_g) สามารถหาได้จากสมการที่ 4.8 และ 4.9

$$\mu_g = \mu_R - \mu_S \quad (4.8)$$

$$\sigma_g = \sqrt{(\sigma_R)^2 + (\sigma_S)^2} \quad (4.9)$$

ณ ที่สภาวะวินิจฉัย $g(X) = 0$ ความน่าจะเกิดการวินิจฉัยสามารถหาได้จากการกระจายปกติแบบมาตรฐาน (Standard Normal Variate ; β) ดังสมการที่ 4.10

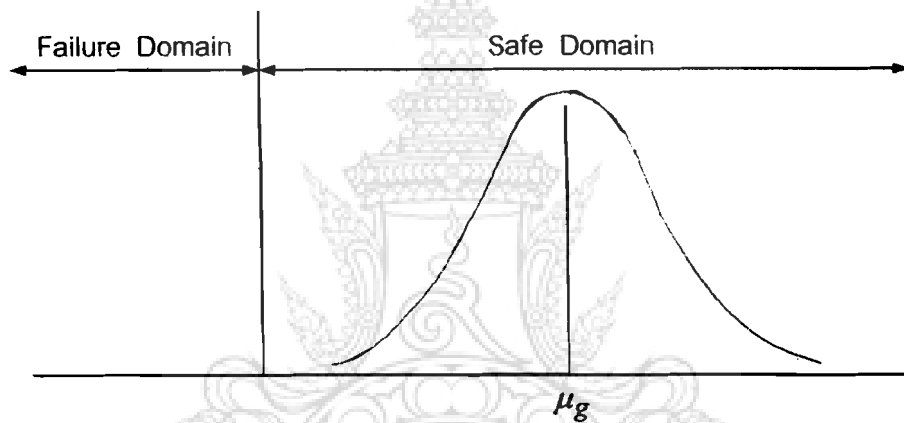
$$p_r = \Phi\left(\frac{0 - \mu_g}{\sigma_g}\right) \quad (4.10)$$

$$p_f = \Phi(-\mu_g/\sigma_g)$$

$$p_f = \Phi(-\beta) \quad (4.11)$$

$$p_f = 1 - \Phi(\beta) \quad (4.12)$$

โดยที่ $\beta = \frac{\mu_g}{\sigma_g}$ คือคราชน์ความปลอดภัย และ $\Phi(0)$ คือ ความน่าจะเป็นสัมของ การแจกแจงปกติแบบมาตรฐาน



รูปที่ 4.5 ระยะห่างระหว่างค่าเฉลี่ยของพังก์รันสภาวะซึ่ดจำกัดกับสภาวะวินบิติ

รูปที่ 4.5 แสดงให้เห็นว่า β มีความหมายเป็นระยะห่างจากค่าเฉลี่ยของพังก์รันสภาวะซึ่ดจำกัดไปยังสภาวะวินบิติ โดยค่า β ที่สูงขึ้นหมายถึงการลดลงของความหนาแน่นได้โครงในขณะบริเวณวินบิติ ซึ่งความหนาแน่นดังกล่าวคือ ความน่าจะวินบิติของระบบโครงสร้าง หรือกล่าวอีกนัยหนึ่งว่าระบบโครงสร้างมีความเสี่ยงลดลงตามการเพิ่มรั้นของ β

สำหรับวิธีการคำนวณความปลอดภัยของระบบโครงสร้าง โดยไม่คำนึงถึงผลของการไม่แน่นอนของวัสดุโครงสร้างและน้ำหนักบรรทุก มักจะพิจารณาให้ R และ S เป็นค่าเริ่มกำหนด หรือค่าคงที่ อัตราส่วนของค่าเฉลี่ย R และ S จะถูกนิยามเป็นตัวคูณความปลอดภัย

$$FS = \frac{\mu_R}{\mu_S} \quad (4.13)$$

4.5.3 ความต้านทานเชิงโครงสร้าง

4.5.3.1 พังก์ชันสภาวะขีดจำกัดและตรรชนิความปลอดภัย

พังก์ชันสภาวะขีดจำกัดของ R และ S ในสมการที่ 4.10 สามารถนิยามความสัมพันธ์ในรูป β ที่แสดงในสมการที่ 4.12 ได้ดังนี้

$$\beta = \frac{\mu_R - \mu_s}{\sqrt{(\sigma_R)^2 + (\sigma_s)^2}} \quad (4.14)$$

โดยที่ μ_R และ σ_R คือ ค่าเฉลี่ยและค่าเบี่ยงเบนมาตรฐานของ R ที่มีการแจกแจงแบบปกติ ส่วน μ_s และ σ_s คือ ค่าเฉลี่ยและค่าเบี่ยงเบนมาตรฐานของ S ที่มีการแจกแจงแบบปกติ

4.5.3.2 ขีดจำกัดของสัมประสิทธิ์การแปรผัน

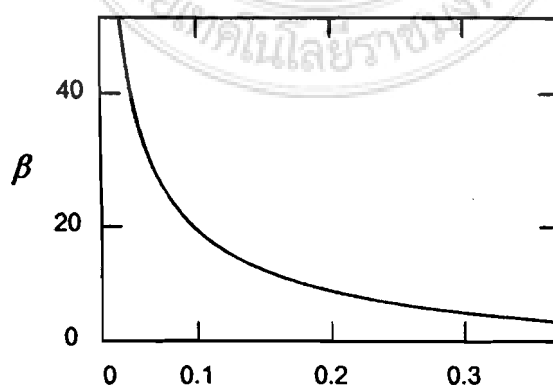
เมื่อพิจารณาให้ S มีการแปรผันน้อยมากจนถือว่าเป็นค่าคงที่ ($\sigma_s \approx 0$) หากแทน

ค่า $\Omega_R = \frac{\sigma_R}{\mu_R}$ ลงในสมการที่ 4.14 และจัดเรียงความสัมพันธ์ใหม่จะได้ดังผลในสมการที่ 4.15

$$\begin{aligned} \beta &= \frac{\mu_R - \mu_s}{\sigma_R} \\ \mu_S &= \mu_R \cdot (1 - \beta \Omega_R) \end{aligned} \quad (4.15)$$

ด้วยข้อเท็จจริงที่น้ำหนักบรรทุกจะไม่เป็นค่าคง สมการที่ 4.15 จึงแสดงให้เห็นว่าจะต้องมีค่าของ Ω_R ที่จะทำให้ผลของพจน์ในวงเล็บมีค่าต่ำสุดที่เป็นไปได้คือ ศูนย์ด้วยเหตุนี้ จึงสามารถเขียนความสัมพันธ์ของผกผันระหว่าง β กับ Ω_R เพื่อนหาค่าขีดจำกัดของ Ω_R ได้ดังสมการที่ 4.16 และรูปที่ 4.6

$$\beta = \frac{1}{\Omega_R} \quad (4.16)$$



รูปที่ 4.6 ความสัมพันธ์ระหว่าง β และ Ω_R ที่มี R แจกแจงแบบปกติ

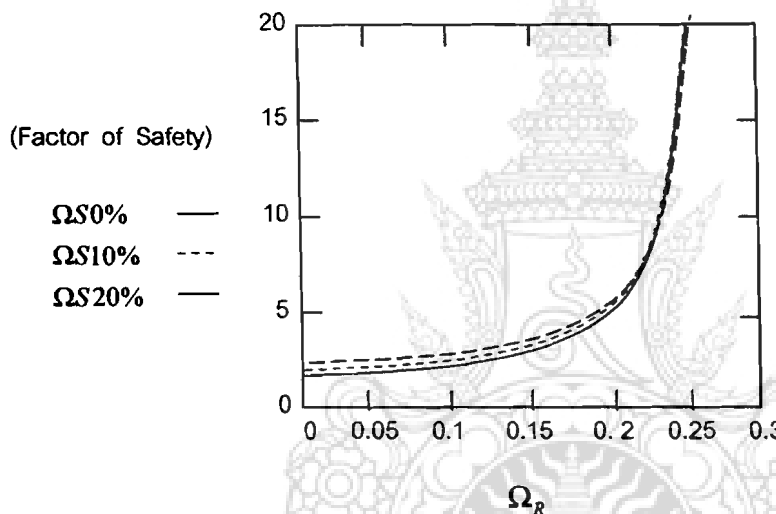
โดยแท้จริงแล้วน้ำหนักบรรทุกที่กระทำต่อโครงสร้างมีการแปรผัน จึงไม่อาจจะละเลย

$$\text{ผลของความไม่แน่นอนนี้ได้ สมการที่ 4.17 เมื่อแทนด้วย } \Omega_R = \frac{\sigma_R}{\mu_R}, \quad \Omega_S = \frac{\sigma_S}{\mu_S}, \text{ และ } FS = \frac{\mu_R}{\mu_S}$$

สามารถจัดเรียงความสัมพันธ์ระหว่าง β , FS, Ω_R และ Ω_S ได้ดังนี้

$$FS - 1 = \beta \sqrt{FS^2 \cdot (\Omega_R)^2 + (\Omega_S)^2} \quad (4.17)$$

จากสมการที่ 4.17 สามารถแสดงความสัมพันธ์ระหว่าง Ω_R และ FS ที่ $\beta = 4.753$ ($P_f = 10^{-6}$) โดย การแปรผัน Ω_S ได้ดังรูปที่ 4.7



รูปที่ 4.7 ความสัมพันธ์ระหว่าง Ω_R และ FS ที่ $P_f = 10^{-6}$

รูปที่ 4.7 แสดงให้เห็นว่า F_s จะมีค่าเพิ่มขึ้นอย่างรวดเร็วตามการเพิ่มขึ้นของ Ω_R ในขณะที่ ผลกระทบของ Ω_S จะลดลงอย่างรวดเร็วตามการเพิ่มขึ้นของ Ω_R และจะหายไปเมื่อ Ω_R เข้า ใกล้ชิดจำกัด โดยความเป็นจริงแล้วทั้ง R และ S อาจมีการแจกแจงแบบไม่ปกติ (Non-normal Distribution) การแจกแจงของ R มักมีลักษณะเฉพาะตามคุณสมบัติของวัสดุ ส่วนการ แจกแจงของ S จะมีลักษณะตามพฤติกรรมของการกระทำ ลักษณะการแจกแจงที่สำคัญได้แก่ การ แจกแจงแบบแgnoma (Gamma Distribution) การแจกแจงแบบไวบูลล์ (Weibull Distribution) และ การแจกแจงแบบลอกปกติ (Lognormal Distribution) เป็นต้น ซึ่งแต่ละชนิดมีการแจกแจงความ น่าจะเป็นแตกต่างกันไปจากการแจกแจงแบบปกติ ดังนั้นจึงจำเป็นต้องแปลงการแจกแจงให้ เทียบเท่ากับการแจกแจงแบบปกติ (Equivalent Normal) เพื่อเป็นประโยชน์ในการหาค่าจำกัด ของ Ω_R ซึ่งจะสามารถนำไปคำนวณความสัมพันธ์เชิงผกผันกับค่า β ในบริภูมิปีกติแบบมาตรฐาน

(Standard Normal Space) ได้โดยวิธีการนี้จะได้ค่ารีดจำกัดของ Ω_R และค่า β ตามขั้นตอน แจกแจง ดังนี้ ที่ระดับความเสี่ยง 10^{-6} การแจกแจงแบบปกติจะให้ค่ารีดจำกัดของ Ω_R เป็น 0.210 ในขณะที่การแจกแจงแบบลอกปีกติจะให้ค่ารีดจำกัดเป็น 0.120 เป็นต้น

4.5.4 การวิเคราะห์ความน่าเชื่อถือเชิงโครงสร้างของไม้จามจุรีและไม้พฤกษ์

การวิจัยนี้ทำการวิเคราะห์ความน่าเชื่อถือขององค์อาคารไม้จามจุรีและไม้พฤกษ์ที่มีความสูงของโครงสร้างไม่เกิน 2 ชั้น และมีความสูงระหว่างชั้น 3.00 เมตร สำหรับการใช้งานของอาคาร 3 ประเภท คือที่พักอาศัย สำนักงาน และโรงเรียน น้ำหนักบรรทุกจรที่ใช้ในการออกแบบตามเทศบัญญัติ คือ 150-250 และ 300 กิโลกรัมต่อตารางเมตร สำหรับอาคารแต่ละประเภทตามลำดับ เมื่อได้ชนิดของการแจกแจงที่เหมาะสมจากโปรแกรม CESTTEST [12] จึงนำไปวิเคราะห์ความน่าเชื่อถือตามรายการคำนวนที่ออกแบบมาตรฐาน ว.ส.ท. 2517 [15] สำหรับอาคารไม้ โดยใช้ซอฟต์แวร์ที่แสดงขั้นตอนการคำนวนหาค่าความน่าจะวินาศีให้เป็นไปตามสภาวะรีดจำกัดของโครงสร้างที่พิจารณา และจะได้ค่าตัวคูณความปลอดภัย Factor of Safety (FS) ซึ่งจะเป็นค่าที่นำไปใช้ออกแบบขนาดหน้าตัดขององค์อาคารไม้ ตง คาน และเสา ในขณะเดียวกันเมื่อใช้ซอฟต์แวร์ WCCAL [8-10] คำนวนออกแบบก็จะให้คำตอบที่ตรงกัน

การวิเคราะห์ข้อมูลขั้นสูงสำหรับตัวแปรสุ่มเพื่อนำไปใช้ในการวิเคราะห์หากความน่าเชื่อถือเชิงโครงสร้าง สามารถทำได้โดยการวิเคราะห์จากการแจกแจงที่เหมาะสมของข้อมูลซึ่งสามารถทำได้ 2 วิธี คือการทดสอบด้วย Probability Paper และการทดสอบสมมติฐานทางสถิติ

การทดสอบการแจกแจงด้วย Probability Paper มีขั้นตอนดังนี้

1. จัดเรียงลำดับตำแหน่งของข้อมูลจากค่าน้อยไปหาค่ามาก
2. หาค่าพังก์ชันการแจกแจงเหมาะสม (Cumulative Distribution Function: CDF)

3. นำค่า CDF และค่าข้อมูลกำหนดลงใน Probability Paper ของการแจกแจงที่ต้องการทดสอบ

4. หากความสัมพันธ์ระหว่าง CDF และค่าข้อมูลสามารถแทนด้วยเส้นตรงแสดงว่าตัวแปรสุ่มนั้นมีการแจกแจงเป็นนิยมเดียวกับการแจกแจงตาม Probability Paper

4.6 พังก์ชันสภาวะรีดจำกัดขององค์อาคาร (Limit State Function)

การวินิจฉัยของโครงสร้างจะเป็นความสัมพันธ์ระหว่างแรงที่จะมากระทำกับโครงสร้าง และกำลังต้านทานของโครงสร้าง โดยที่สภาวะของแรงที่กระทำต่อโครงสร้างแทนด้วย (S) และกำลังต้านทานของโครงสร้างจะแทนด้วย (R) โอกาสที่โครงสร้างจะวินาศีขึ้นอยู่กับการกระจายแรงที่กระทำต่อโครงสร้างขึ้นเกิดจากน้ำหนักบรรทุกที่ระดับน้อยกว่ากำลังของโครงสร้างเสมอ แต่ถ้า

น้ำหนักบรรทุก (S) มีค่ามากกว่ากำลังต้านทานของโครงสร้าง (R) ก็จะทำให้เกิดโอกาสวินาศัยของโครงสร้างได้ รูปแบบพังก์ชันสภาวะเชิงจำกัดโดยทั่วไปแสดงได้ดังนี้

ก. พังก์ชันสภาวะเชิงจำกัดเชิงประดับ (Ultimate Limit State) กรณีของคงและคานรับแรงดัด (Bending)

$$g(X) = R - S \quad (4.18)$$

เมื่อ X คือ ตัวแปรสุ่ม(Random Variable)

และ R คือความต้านทานของโครงสร้าง (Structural Resistance) ขึ้นอยู่กับขนาดขององค์ประกอบที่สามารถรับแรงดัดได้อย่างปลอดภัยดังสมการที่ 4.19

$$R = F_b = \frac{f_r}{FS} \quad (4.19)$$

เมื่อ f_r คือ ค่าโมดูลัสแตกหัก(Modulus of Rupture) ที่ได้จากการทดสอบแรงดัด

FS คือ ตัวคูณความปลอดภัย

และ F_b คือ หน่วยแรงดัดที่ยอมให้ (Allowable Bending Stress)

โดยที่ S คือ ผลของแรงโน้มถ่วง(ไมemenต์ตัด)ที่กระทำต่อโครงสร้าง ดังสมการที่ 4.20

$$S : f_b = \frac{6M}{bd^2} \quad (4.20)$$

โดยที่ f_b คือ หน่วยแรงดัดสูงสุดที่เกิดขึ้นเนื่องจากน้ำหนักบรรทุก

ข. พังก์ชันสภาวะเชิงจำกัดค้านการใช้งาน (Serviceability Limit State)

กรณีของคงและคานรับแรงเฉือน (Shear Strength)

$$g(X) = F_h - f_h \quad (4.21)$$

เมื่อ F_h คือ หน่วยแรงเฉือนนานเสี้ยนที่ยอมให้จากการทดสอบ ; $(\frac{F_h}{FS})$

และ f_h คือ หน่วยแรงเฉือนนานเสี้ยนที่เกิดขึ้นจริง ; $(\frac{3V}{2bd})$

กรณีของคงและคาน เกิดการโค้งตัวในแนวตั้ง (Deflection)

$$g(X) = \Delta_{\text{limit}} - \Delta_{\text{Max}} \quad (4.22)$$

พิจารณา ตงและคานมีฐานรองรับแบบธรรมด้า (Simply Supported)

$$\text{เมื่อ } \Delta_{\text{Limit}} = \text{ พิกัดของการโถ่ตัวที่ยอมให้ } ; \left(\frac{L}{360} \right)$$

$$\text{และ } \Delta_{\text{Max}} = \text{ ค่าการโถ่ตัวมากที่สุดของตงและคานโดยพิจารณาน้ำหนัก
บรรทุกแบบแผ่นกระเจาอยู่มีเส้นอ } ; \frac{5wL^4}{384EI}$$

ค. พังก์ชันสภาวะขีดจำกัดเชิงประดั้ย (Ultimate Limit State)

กรณี ของเสาเมื่อเกิดการโถ่เตะตามสมการของออยเลอร์ (Euler's Formula)

$$g(X) = R - S \quad (4.23)$$

เมื่อ R คือความต้านทานของโครงสร้างขึ้นอยู่กับขนาดขององค์อาคารที่สามารถรับแรงขัดได้อย่างปลอดภัยดังสมการที่ 4.24

$$R = \frac{\pi^2 EI}{L^2} \quad (4.24)$$

เมื่อ R คือ กำลังรับน้ำหนักวิกฤตของเสาที่โถ่เตะในสภาวะอิลาสติก (P_c)

และ S คือ ผลของแรงที่กระทำต่อโครงสร้าง น้ำหนักวิกฤต (P_u) ตามแนวแกนของเสา

หรือพิจารณาให้ R เป็นหน่วยแรงขัดวิกฤตเฉลี่ยสามารถหาได้จากสมการที่ 4.25

$$\frac{P_c}{A} = \frac{\pi^2 E}{12 \left(\frac{L}{d} \right)^2} \quad (4.25)$$

นำพังก์ชันสภาวะขีดจำกัดจำกัดทั้งหมด 4 กรณี ไปประมวลผลนาขนาดองค์อาคารตามขั้นตอนการออกแบบในภาคผนวก ก ซึ่งให้คำศوبเท่ากันเมื่อออกแบบโดยใช้ซอฟต์แวร์ WCCAL [8-10] บนพื้นฐานของข้อมูลทางวิศวกรรมในประเทศไทย

บทที่ 5

ข้อมูลทั่วไปเกี่ยวกับไม้ที่นำมาทดสอบ (General Data of Tested Materials)

5.1 ไม้พุกซ์

5.1.1 คุณสมบัติทั่วไปของไม้

ต้นพุกซ์ ชื่อสามัญ : Indian Walnut, Labbeck Tree

ชื่อวิทยาศาสตร์ : *Albizia lebbeck* (L.) Benth.

ชื่อวงศ์ : LEGUMINOSAE - MIMOSOIDEAE

ชื่ออื่น : มะขามโคก มะขุมป่า (นครราชสีมา) กะซีก ถ่อนนา ตือด (เลย) ก้าไฟ แก้วะ (สุราษฎร์ธานี) ตะโก ก้ามปู พุกซ์ ชุงรัง (ภาคกลาง) จเร (ปราจีนบุรี) จ้าขาม (ภาคเหนือ) กระพี้เขากวาง (เพชรบุรี) พญากระบูก (อรัญประเทศ)

ลักษณะทั่วไป ลำต้น : ไม้ยืนต้นไม้ผลัดใบขนาดกลางถึงขนาดใหญ่ สูงถึง 20-30 เมตร เรือนยอดเป็นรูปปริ่มแบ่งหัวงอเนื้อไม้สัน้ำตาลเข้มเป็นมันเลื่อมมีสีเส้นอ่อนเนื้อยาบสม่ำเสมอแข็งแรงปานกลาง ดอก : เป็นช่อกลม 1-4 ช่อตามง่ามใบ ดอกสีขาวมีกลิ่นหอมกลิ่บเดียงติดกันคล้ายรูปแทrogกลิบดอกติดกันเป็นหลอดปลายแยกเป็นห้าแฉก

ผล : เป็นฝักรูปบรรทัด แบบ บางขนาด 2.3 – 5x 10-30 เซนติเมตร สีเทาอมเหลืองหรือสีฟางข้าว เกลี้ยง เมล็ดจำนวน 4-12 เมล็ด รูปไข่สูมน้ำมักเจนบริเวณรอบเมล็ดเป็นแอง

ใบ : ใบประกอบแบบขนนกสองรั้นปลายคู่ ซึ่งใบแขนงด้านข้าง 2-4 คู่ ซึ่งใบแขนงแต่ละคู่มีใบย่อย 4-9 คู่ ในย่อยรูปร่างรูปขอบขนานหรือรูปรีแกรมรูปไข่กลับขนาด 1-2.5x2.2-4 เซนติเมตร ฐานใบกลม หรือเบี้ยว ปลายใบมนแหลมใบเกลี้ยงห้องใบมีขนละเอียดบริเวณเส้นกลางใบ

การกระจายพันธุ์ : ขึ้นได้ดีในพื้นที่สีอุ่นโกรಮเป็นไม้เบิกนำที่ดี พบขึ้นอยู่ตามป่าเบญจพรรณทั่วทุกภาคของประเทศไทย

การขยายพันธุ์ : รื้นได้ในดินร่วนปนทราย ขยายพันธุ์ด้วยเมล็ด หรือตอนกิง

ประโยชน์ ใช้งาน : ยอดอ่อนและช่อดอกรับประทานได้มีรสมันเนื้อไม้แข็งลายไม้สวยใช้ทำสิ่งปลูกสร้างเครื่องมือทางการเกษตรเปลือกให้น้ำผัดใช้ฟอกหนัง

เปลือก : เปลือกอนอกรุอะสีเทาแก่ หรือสัน้ำตาลอมเหลือง มีรสเผ็ด ใช้รักษาแผลในปาก ลำคอ เหงือก รักษาโรคผิวหนัง รักษาภากลากเกลื่อนและโกรเรื่องอินเดียใช้ทำยารักษาเยื่อตาอักเสบ

ใบอ่อน : ใช้ดับพิษร้อนทำให้เย็นรับประทานได้โดยนำลาภหรือต้มสุกน้ำพิกหรือใช้เป็นผักแกง

เมล็ด : รักษาโรคผิวหนัง รักษาภากลากเกลื่อนและโกรเรื่องอินเดียใช้ทำยารักษาเยื่อตาอักเสบ

5.2 ไม้嫁มจุรี

5.2.1 คุณสมบัติทั่วไปของไม้

ต้น嫁มจุรี ชื่อสามัญ : Rain Tree, Monkey Pod, East Indian Walnut

ชื่อวิทยาศาสตร์ : *Samanea saman* Merill

ชื่อวงศ์ : Mimosaceae

ถิ่นกำเนิด : อเมริกาใต้

ชื่ออื่น: ก้ามปู จำชา จำจุรี รามจุรีสีชมพูและกรัมภร

จำจุรีนำเข้ามาปี ค.ศ. 2443 โดยปีกุกให้สองข้างถนนเจริญประเทศหน้าที่ทำการป่าไม้จังหวัดเชียงใหม่ส่วนทางภาคใต้ เข้าใจกันว่าพระยาธารัชภานุประดิษฐ์(คอชิมบี ณ ระนอง) เป็นผู้นำปีกุกที่จังหวัดยะลา ชาวกระเบื้องเรียกต้น嫁มจุรีตามชื่อท่านว่า “ต้นคอชิมบี”

ลักษณะทั่วไป

ต้น : ไม้ยืนต้นผลัดใบขนาดใหญ่ สูงถึง 24-25 เมตร เป็นต้นสีดำแตกและหลุดล่อนได้เรื่อยๆ ออกดอกในรากลักษณะคล้ายรูปรั่มเมื่อเจริญเต็มที่เรือนยอดจากรากลักษณะ 30 เมตรใบเป็นใบประกอบแบบขนนกซึ่งแตกใบย่อยช้อนสองชั้นสีเขียวเข้มเป็นมันใบย่อยคล้ายรูปไข่แต่เบี้ยวไปซึ่งหนึ่งฝ่าย 2-3.5 เซนติเมตร ผิวใบด้านล่างมีขนลึกน้อยผลัดใบปีกครั้งแต่ใบจะร่วงไม่พร้อมกันหมดทั้งต้นไปที่ล่วงลงมานี้เมื่อหักก็หักอยู่นานๆ จะผุเป็นปุยอินทรีย์อย่างดี ประมาณเดือนกันยายนถึงกุมภาพันธ์嫁มจุรีจะออกดอกเป็นช่อคล้ายรูปทรงปลาลายกิ่งแต่ละช่อมีขนาดเส้นผ่าศูนย์กลาง 4-6 ซม. ประกอบด้วยดอกย่อยหลายดอก

ผล : เป็นฝักแบบทรงขอหนาเป็นสันขึ้นทั้งสองข้างกว้าง 1.5-2 ซม. ยาว 15-20 ซม. เมื่อแก่ มีสีดำหรือน้ำตาลเข้มและแข็งไม่แตกแต่จะหักเป็นท่อนๆ แต่ละฝักมีประมาณ 15-25 เม็ดเมล็ดมีสีน้ำตาลเข้มเกือบดำอยู่ในส่วนเป็นน้ำหนึ่งวิ่งคล้ายรุ้น

การขยายพันธุ์ : เมล็ดใช้ขยายพันธุ์ได้ง่ายรุ่นได้ดีเพาง่ายและมีอัตราการออกสูงเจริญเติบโตเร็ว และทนทานพอกควร พับขึ้นอยู่ตามป่าเบญจพวรรณทั่วทุกภาคของประเทศไทย

ดอก : ช่อจะจุกแน่นประกอบจำนวน 2-3 ช่อ ที่งอกใบใกล้ปลายกิ่งแต่ละช่อประกอบด้วยดอกหลายๆ ดอกรวมกันเป็นกระจุกกลม กลีบเลี้ยง กลีบดอกรอย่างละ 5 กลีบเกสรเพศผู้สีชมพู

ประโยชน์ ใช้งาน : เนื้อไม้มลายสายไหมมีสารต้านรังสี UV ได้ดี ทำเฟอร์นิเจอร์ เครื่องเรือนต่างๆ ต้นใช้เลี้ยงครัว ฝักแกะใช้เป็นอาหารของวัวควายในแห้งใช้ทำปุ๋ย

บทที่ 6

ผลการทดสอบคุณสมบัติทางวิศวกรรมของไม้พูกษ์และไม้จามจุรี
ในบทนี้จะได้นำเสนอผลการทดสอบคุณสมบัติทางวิศวกรรมรวมทั้งการวิเคราะห์คุณสมบัติ ทาง
สถิติเชิงไม้พูกษ์และไม้จามจุรีตามลำดับ

6.1 ไม้พูกษ์ *Albizia lebbeck* (L.) Benth.

ผลการวิเคราะห์คุณสมบัติทางสถิติสำหรับข้อมูลทางวิศวกรรมของไม้พูกษ์ที่ช่วงแห่งความ
เรื่องมั่นคงยัล 99 โดยใช้ซอฟต์แวร์ CESTTEST [12] จำนวน 11 คุณสมบัติดังรายละเอียดใน
ตารางที่ 6.1 พบว่าค่าโมดูลัสยืดหยุ่นชนิดปฐมภูมิ Modulus of Elasticity (Primary) ของไม้พูกษ์มีค่า
85,903 กก./ซม.² ซึ่งค่าที่ได้มากกว่าค่าโมดูลัสยืดหยุ่นของไม้เนื้ออ่อนมากที่มีค่า 78,900 กก./ซม.²
ตามมาตรฐาน ว.ส.ท. ในขณะที่ค่าโมดูลัสแตกหัก Modulus of Rupture (Primary) ของไม้พูกษ์มีค่า
902 กก./ซม.² และจะเห็นว่าความแข็งของเนื้อไม้ในทิศทางตั้งฉากเสี่ยงและสัมผัสวงเสียงจะมีค่าเฉลี่ย¹
ใกล้เคียงกันโดยมีค่า 444 และ 449 กก./กก. ตามลำดับ ส่วนความแข็งในทิศทางขานานเสี่ยงที่ปลาย
ไม้มีค่าสูงกว่าความแข็งในสองทิศทางดังกล่าวซึ่งตั้งโดยมีค่า 631 กก./ซม.² นอกจากนั้นค่าความซึ้ง²
ของเนื้อไม้มีค่าร้อยละ 10.987 และหน่วยน้ำหนักจำเพาะเท่ากับ 0.796

เมื่อพิจารณาค่าสัมประสิทธิ์การแปรผัน (Coefficient of Variation, COV) ซึ่งนิยามจาก
อัตราส่วนของค่าเบี่ยงเบนมาตรฐาน (Standard Deviation) ของร้อยละกับค่าเฉลี่ย (Mean) ของข้อมูลค่า COV นี้เป็นปริมาณไร้มิติ (Dimensionless Quantity) ที่มีผลต่อค่าความน่าไวบาร์ (Probability
of Failure) ของโครงสร้างไม้เป็นอย่างมาก โดยไม้พูกษ์จะมีค่าสัมประสิทธิ์การแปรผันตั้งแต่ 0.066
ถึง 0.211 โดยที่คุณสมบัติการทดสอบค่าความหนาแน่น ความถ่วงจำเพาะและความแข็งขานานเสี่ยง
จะมีค่า COV น้อยที่สุด ในขณะที่ค่าโมดูลัสยืดหยุ่นที่ได้จากการทดสอบดังในแนวทางน้ำเสียงมีค่า COV มาก
ที่สุด โดยปกติค่า COV ที่ยอมรับได้จะมีค่าระหว่าง 0.1 ถึง 0.3 [11,14]

สำหรับรูปแบบการแจกแจงต่อเนื่องที่เหมาะสม โดยพิจารณาการทดสอบภาวะเข้ารูปสนิทด้วย
การทดสอบไก่กำลังสองและการทดสอบ Kolmogorov-Smirnov (Kolmogrov-Smirnov) ที่ระดับ
ความเรื่องมั่นคงยัล 95 ในแต่ละคุณสมบัติทางวิศวกรรมของไม้พูกษ์ สามารถจัดเป็นก่อรุ่นได้ดังนี้

- การแจกแจงปกติ (Normal) ได้แก่ แรงอัดขานานเสี่ยง (ปฐมภูมิ)² และ(ทุติยภูมิ)³ โมดูลัส
ยืดหยุ่น(ปฐมภูมิ)² และ(ทุติยภูมิ)³ ได้จากค่าแรงอัดขานานเสี่ยง ค่าโมดูลัสแตกหัก(ปฐมภูมิ)² และ(ทุติย
ภูมิ)³ โมดูลัสยืดหยุ่น(ทุติยภูมิ)³ ได้จากค่าแรงดึง แรงดึงในแนวทางน้ำเสียง แรงดึงในแนวตั้งจาก
เสียงแรงเสียงขานานเสี่ยง ความแข็งขานานเสี่ยง ความแข็งสัมผัสเสียงและตั้งฉากเสียง ความ
ถ่วงจำเพาะปริมาตรการหนดตัว และความหนาแน่น

2. การแจกแจงค่าสูงสุดชนิดที่หนึ่งแบบกุมเบล (Gumbel Type I-Largest) ได้แก่ มีดูลัสย์เดนยุ่น(ปฐมภูมิ)² ได้จากค่าแรงอัตราชนะเสี้ยน มีดูลัสย์เดนยุ่น (ปฐมภูมิ)² (ทุติยภูมิ)³ ได้จากค่าแรงตัด การทดสอบการจីก្រាតและความหนาแน่น

3. การแจกแจงชนิดที่หนึ่งค่าต่ำสุดแบบกุมเบล Gumbel (Type I- Smallest Values Distribution) ได้แก่ แรงอัตราชนะเสี้ยน (ปฐมภูมิ)² และ(ทุติยภูมิ)³ แรงอัตติ่งจากเสี้ยน ค่าไม่ดูลัสແຕกหัก (ทุติยภูมิ)³ ได้จากค่าแรงตัดและค่าความหนึ่ง

4. การแจกแจงแบบลอกปีกอาทิตย์ (Lognormal Distribution) ได้แก่ มีดูลัสย์เดนยุ่น (ปฐมภูมิ)² และ(ทุติยภูมิ)³ ได้จากค่าแรงอัตราชนะเสี้ยน แรงอัตติ่งจากเสี้ยน มีดูลัสย์เดนยุ่น((ปฐมภูมิ)² ได้จากค่าแรงตัด แรงเฉือนชนะเสี้ยน การจីก្រាត ความแข็งชนะเสี้ยนและសំដែលเสี้ยน ความถ่วงជាបោះ ប្រិមាណទរការណ៍តុវា គ្មាននាយកនៃនៅរក្សមី

5. การแจกแจงგេមមា (Gamma Distribution) ได้แก่ แรงอัตราชนะเสี้ยน (ปฐមภុមិ)² และ(ทุតិយុមិ)³ แรงอัตติ่งจากเสี้ยน มีดูลัสย์เดนยุំ(ปួមុមិ)² និង(ពួមុមិ)³ មិត្តុលសແຕកហក (ពួមុមិ)² និងចិននៅពីតុងជាលើស និងជីវិនានាលើស ការអាទូបារាជីក្រាត គ្មានលើក្រាតលើន និងសំដែលលើន គ្មាននាយកនៃនៅរក្សមី

6. การแจกแจงค่าสูงสุดชนิดที่สองแบบเฟរីម៉ឺត (Frechet Type II – Largest Distribution) ได้แก่ និងចិនពីតុងជាលើស ការអាទូបារាជីក្រាតនិងគ្មាននាយកនៃនៅរក្សមី

7. การแจกแจงត่ำสุดชนิดที่สามแบบไวបូល (Weibull Type III – Smallest Distribution) ได้แก่ និងចិននានាលើស (ពួមុមិ)² และ(ពួមុមិ)³ មិត្តុលសយ័ត្ន(ពួមុមិ)³ ได้จากค่าแรงตัด គ្មានមិត្តុលសແຕកហក(ពួមុមិ)² និង(ពួមុមិ)³ មិត្តុលសយ័ត្នលើន ដើម្បីនិងចិននានាលើស និងជីវិនានាលើស គ្មាននាយកនៃនៅរក្សមី

8. การแจกแจงបីតា (Beta Distribution) ได้แก่ និងចិននានាលើស (ពួមុមិ)² และ(ពួមុមិ)³ មិត្តុលសយ័ត្ន(ពួមុមិ)³ ได้จากค่าនិងចិននានាលើស មិត្តុលសយ័ត្ន(ពួមុមិ)² និង(ពួមុមិ)³ ไดះ ឱកគ្មាននាយកនៃនៅរក្សមី គ្មានមិត្តុលសແຕកហក(ពួមុមិ)² និង(ពួមុមិ)³ មិត្តុលសយ័ត្នលើន ដើម្បីនិងចិននានាលើស គ្មាននាយកនៃនៅរក្សមី

ตารางที่ 6.1 คุณสมบัติทางสถิติสำหรับข้อมูลทางวิศวกรรมของไม้พุดกษ์

รายการทดสอบไม้	หน่วย	ค่าเฉลี่ย (Mean)	จำนวน ตัวอย่าง (คืน)	สปส.การ แปรผัน (COV)	รูปแบบการแจกแจง ต่อเนื่องที่เหมาะสม ¹
1. แรงอัดขานาเสียน (ปฐมภูมิ) ² Compression Parallel to Grain	กก./ซม. ²	565.557	130	0.119	Beta, Weibull, Normal, Gumbel Smallest, Gamma
แรงอัดขานาเสียน (ทุติยภูมิ) ³ Compression Perpendicular to Grain	กก./ซม. ²	773.621	130	0.139	Weibull, Beta, Gumbel Smallest, Normal, Gamma
โมดูลัสยืดหยุ่น (ปฐมภูมิ) ² Modulus of Elasticity	กก./ซม. ²	35,481	130	0.200	Lognormal, Gumbel Largest, Gamma, Normal
โมดูลัสยืดหยุ่น (ทุติยภูมิ) ³ Modulus of Elasticity	กก./ซม. ²	32,259	130	0.201	Gamma, Lognormal, Normal, Beta
2. แรงอัดตั้งจากเสียน Compression Perpendicular to Grain	กก./ซม. ²	465	130	0.195	Gumbel Smallest, Lognormal, Gamma, Frechet Largest
3. การทดสอบแรงดัด โมดูลัสยืดหยุ่น (ปฐมภูมิ) ² Modulus of Elasticity (MOE)	กก./ซม. ²	85,903	130	0.204	Gumbel largest, Lognormal, Gamma, Beta
โมดูลัสแตกหัก (ปฐมภูมิ) ² Modulus of Rupture (MOR)	กก./ซม. ²	902	130	0.162	Normal, Beta, Gamma, Weibull
การทดสอบแรงดัด โมดูลัสยืดหยุ่น (ทุติยภูมิ) ³ Modulus of Elasticity (MOE)	กก./ซม. ²	75,233	130	0.202	Beta, Gamma, Normal, Gumbel largest, Weibull
โมดูลัสแตกหัก (ทุติยภูมิ) ³ Modulus of Rupture (MOR)	กก./ซม. ²	1,027	130	0.170	Weibull, Beta, Gumbel Smallest, Normal
4. แรงดึงในแนวขานาเสียน Tension Parallel to Grain	กก./ซม. ²	1,075	130	0.201	-
4.1 แรงดึงในแนวตั้งจากเสียน (E)	กก./ซม. ²	25,657	130	0.211	Normal, Beta, Weibull
5. แรงดึงในแนวตั้งจากเสียน Tension Perpendicular to Grain	กก./ซม. ²	61	130	0.182	Beta, Normal, Gamma, Rayleigh, Lognormal
6. แรงเฉือนขานาเสียน Shear Parallel to Grain	กก./ซม. ²	253	130	0.171	Normal, Gamma, Lognormal, Beta, Weibull
7. การทดสอบการฉีกขาดของไม้ Cleavage	กก./ซม.	59	130	0.194	Gumbel largest, Lognormal, Rayleigh, Gamma, Frechet Largest
8. ความเหนียว Toughness	กก.-ซม.	536	130	0.139	Gumbel Smallest, Beta, Weibull
9. การทดสอบความแข็งของไม้ ขานาเสียน Parallel to Grain	กก./ซม.	631	130	0.076	Beta, Gamma, Lognormal, Normal
สมมติสเสียน Tangent to Grain	กก./ซม.	449	130	0.101	Normal, Gamma, Lognormal, Beta
ตั้งจากเสียน Perpendicular to Grain	กก./ซม.	444	130	0.104	Beta, Uniform, Rayleigh, Normal

ตารางที่ 6.1 คุณสมบัติทางสถิติสำหรับข้อมูลทางวิศวกรรมของไม้พูกาช (ต่อ)

รายการทดสอบ	หน่วย	ค่าเฉลี่ย (Mean)	จำนวน ตัวอย่าง (คืน)	สปส.การ แปรผัน (COV)	รูปแบบการแจกแจง ต่อเนื่องที่เหมาะสม ¹
10. ความถ่วงจำเพาะ Specific Gravity	-	0.796	130	0.068	Lognormal, Gamma, Beta, Normal
ปริมาตรการหดตัว (%) Shrinkage in volume	ร้อยละ	5.955	130	0.181	Normal, Gamma, Lognormal, Weibull ,Beta
ปริมาณความชื้น (%) Moisture Content	ร้อยละ	10.987	130	0.128	-
ความหนาแน่น Density	กก./ม. ³	834.318	130	0.066	Lognormal, Gamma, Normal, Gumbel largest, Fréchet Largest
11. การทดสอบการหดตัวในแนวรัศมี และแนวสัมผัส					
การหดตัวในแนวสัมผัส (%) Tangential Shrinkage	ร้อยละ	2.399	130	0.154	-
การหดตัวในแนวรัศมี (%) Radial Shrinkage	ร้อยละ	2.593	130	0.187	Beta, Lognormal, Gamma

หมายเหตุ ¹ รูปแบบการแจกแจงต่อเนื่องที่เหมาะสมเรียงตามลำดับจากดีที่สุด

² ขนาดของตัวอย่างที่ใช้จะมีขนาด 5x5 ซม. ยาว 76 ซม. ตามมาตรฐาน ASTM

³ ขนาดของตัวอย่างที่ใช้จะมีขนาด 2.5x2.5 ซม. ยาว 41 ซม. ตามมาตรฐาน ASTM

6.2 ไม้จามจุรี Samanea saman Merrill

ผลการวิเคราะห์คุณสมบัติทางสถิติ สำหรับข้อมูลทางวิศวกรรมของไม้จามจุรีที่ช่วงแห่งความเสื่อมร้อยละ 99 โดยใช้ซอฟต์แวร์ CESTTEST [8-10] จำนวน 11 คุณสมบัติตั้งรายละเอียดในตารางที่ 6.2 พนว่าค่าโมดูลัสยึดหยุ่นชนิดปฐมภูมิ (Modulus of Elasticity (Primary)) ของไม้จามจุรีมีค่า 49,997 กก./ซม.² ซึ่งค่าที่ได้นี้ใกล้เคียงกับค่าโมดูลัสยึดหยุ่นของไม้เนื้ออ่อนมากที่มีค่า 78,900 กก./ซม.² ตามมาตรฐาน ว.ส.ท.[15] ในขณะที่ค่าโมดูลัสแตกหัก (Modulus of Rupture (Primary)) ของไม้จามจุรีมีค่า 392 กก./ซม.² และจะเห็นว่าความแข็งของเนื้อไม้ในพิษทางเส้นสัมผัสเสี้ยนและตั้งจากเสี้ยนจะมีค่าเฉลี่ยใกล้เคียงกันโดยมีค่า 81 และ 92 กก./น.m. ตามลำดับ ส่วนความแข็งในพิษทางขานนเสี้ยนที่ปลายไม้หรือที่ด้านหน้าตัดมีค่าสูงกว่าความแข็งในสองพิษทางดังกล่าวข้างต้น โดยมีค่า 176 กก./น.m. นอกจากนั้นค่าความชื้นของเนื้อไม้มีร้อยละ 14 และค่าความถ่วงจำเพาะเท่ากับ 0.51

เมื่อพิจารณาค่าสัมประสิทธิ์การแปรผัน (Coefficient of Variation, COV) ซึ่งนิยามจากขัตราส่วนของค่าเบี่ยงเบนมาตรฐาน (Standard Deviation) ของข้อมูลกับค่าเฉลี่ย (Mean) ของข้อมูลค่า COV นี้เป็นปริมาณไร้มิติ (Dimensionless Quantity) ที่มีผลต่อค่าความน่าจะวิบัติ (Probability

of Failure) ของโครงสร้างไม้เป็นอย่างมากโดยไม่จำเป็นที่จะมีค่าสัมประสิทธิ์การแปรผันตั้งแต่ 0.086 ถึง 0.214 โดยที่คุณสมบัติการทดสอบค่าความถ่วงจำเพาะและการทดสอบตัวจะมีค่า COV น้อยที่สุด ในขณะที่แรงดึงในแนวนานาเสี้ยนมีค่า COV มากที่สุดโดยปกติค่า COV ที่ยอมรับได้จะมีค่าระหว่าง 0.1 ถึง 0.26 [11,14]

สำหรับรูปแบบการแจกแจงต่อเนื่องที่เหมาะสม โดยพิจารณาการทดสอบภาวะเข้ารูปสนใจด้วย การทดสอบโคกำลังสอง และการทดสอบ Kolmogorov-Smirnov (Kolmogrov-Sminor) ที่ระดับความเชื่อมั่นร้อยละ 95 ในแต่ละคุณสมบัติทางวิศวกรรมของไม้จำเป็นจะต้องเป็นกตุ่มได้ดังนี้

1. การแจกแจงปกติ (Normal) ได้แก่ แรงอัดนานาเสี้ยน (ปฐมภูมิ^2 และ $(\text{ทุติยภูมิ})^3$) มีคุณลักษณะยืนยัน (ปฐมภูมิ^2 และ $(\text{ทุติยภูมิ})^3$) ได้จากค่าแรงอัดนานาเสี้ยน มีคุณลักษณะยืนยัน (ปฐมภูมิ^2 และ $(\text{ทุติยภูมิ})^3$) ได้จากค่าแรงดึง ค่าไม่คุณลักษณะ (ปฐมภูมิ^2 และ $(\text{ทุติยภูมิ})^3$) แรงดึงในแนวตั้งจากเสี้ยน แรงเฉือนนานาเสี้ยน ความแข็งนานาเสี้ยน ความแข็งนานาเสี้ยนและสัมผัสเสี้ยน ความถ่วงจำเพาะ ปริมาณความชื้นและความหนาแน่น
2. การแจกแจงค่าสูงสุดชนิดที่หนึ่งแบบกุมเบล (Gumbel Type I-Largest) ได้แก่ แรงอัดนานาเสี้ยน (ปฐมภูมิ^2 แรงอัดตั้งจากเสี้ยน ค่าไม่คุณลักษณะ (ปฐมภูมิ^2) แรงดึงในแนวนานาเสี้ยน การทดสอบการฉีกขาด ความแข็งสัมผัสเสี้ยนและตั้งจากเสี้ยน
3. การแจกแจงชนิดที่หนึ่งค่าต่ำสุดแบบกุมเบล Gumbel (Type I- Smallest Values Distribution) ได้แก่ แรงอัดนานาเสี้ยน ($\text{ทุติยภูมิ})^3$ มีคุณลักษณะยืนยัน ($\text{ทุติยภูมิ})^3$ ได้จากแรงอัดนานาเสี้ยน ค่าไม่คุณลักษณะ ($\text{ทุติยภูมิ})^3$ ได้จากค่าแรงดึงตั้งจากเสี้ยน แรงเฉือนนานาเสี้ยน และความถ่วงจำเพาะ
4. การแจกแจงแบบลอกปกติ (Lognormal Distribution) ได้แก่ แรงอัดนานาเสี้ยน (ปฐมภูมิ^2 มีคุณลักษณะยืนยัน (ปฐมภูมิ^2) ได้จากค่าแรงอัดนานาเสี้ยน แรงอัดตั้งจากเสี้ยน มีคุณลักษณะยืนยัน (ปฐมภูมิ^2 และ $(\text{ทุติยภูมิ})^3$) ได้จากค่าแรงดึง ค่าไม่คุณลักษณะ (ปฐมภูมิ^2) แรงดึงในแนวนานาเสี้ยน มีคุณลักษณะยืนยัน (ปฐมภูมิ^2 และ $(\text{ทุติยภูมิ})^3$) ได้จากแรงดึงในแนวนานาเสี้ยน การฉีกขาด ความหนานิยาม ความแข็งนานาเสี้ยน สัมผัสเสี้ยนและตั้งจากเสี้ยน ความถ่วงจำเพาะ ปริมาณความชื้นและความหนาแน่น

5. การแจกแจงแกมมา (Gamma Distribution) ได้แก่ แรงอัดนานาเสี้ยน (ปฐมภูมิ^2 มีคุณลักษณะยืนยัน (ปฐมภูมิ^2) ได้จากค่าแรงอัดนานาเสี้ยน แรงอัดตั้งจากเสี้ยน มีคุณลักษณะยืนยัน (ปฐมภูมิ^2 และ $(\text{ทุติยภูมิ})^3$) ได้จากค่าแรงดึง ค่าไม่คุณลักษณะ (ปฐมภูมิ^2 ($\text{ทุติยภูมิ})^3$) แรงดึงในแนวนานาเสี้ยน มีคุณลักษณะยืนยัน (ปฐมภูมิ^2 และ $(\text{ทุติยภูมิ})^3$) ได้จากแรงดึงในแนวนานาเสี้ยน แรงดึงในแนวตั้งจากเสี้ยน แรงเฉือนนานาเสี้ยน การฉีกขาด ความหนานิยาม ความแข็งนานาเสี้ยนและสัมผัสเสี้ยน ความถ่วงจำเพาะ ปริมาณความชื้นและความหนาแน่น ความชื้นและความหนาแน่น

6. การแจกแจงค่าสูงสุดชนิดที่สองแบบเฟรชเชต (Frechet Type II – Largest Distribution)
ได้แก่ แรงอัดตั้งจากเสี้ยน

7. การแจกแจงต่ำสุดชนิดที่สามแบบไวบูลล์ (Weibull Type III – Smallest Distribution)
ได้แก่ แรงอัดข้านเสี้ยน (ทุติยภูมิ)³ โมดูลัสยึดหยุ่น(ปฐมภูมิ)² และ(ทุติยภูมิ)³ ได้จากค่าแรงอัดข้านเสี้ยน โมดูลัสยึดหยุ่น(ปฐมภูมิ)²(ทุติยภูมิ)³ ได้จากค่าแรงตัวตัด ค่าโมดูลัสแตกหัก(ปฐมภูมิ)² (ทุติยภูมิ)³ แรงดึงในแนวข้านเสี้ยน แรงดึงในแนวตั้งจากเสี้ยน แรงเฉือนข้านเสี้ยน ความแข็งข้านเสี้ยนและสมผัสเสี้ยน ความถ่วงจำเพาะ ปริมาณความรื้นและความหนาแน่น

8. การแจกแจงบีตา (Beta Distribution) ได้แก่ แรงอัดข้านเสี้ยน(ปฐมภูมิ)² และ(ทุติยภูมิ)³ โมดูลัสยึดหยุ่น(ปฐมภูมิ)² และ(ทุติยภูมิ)³ ได้จากค่าแรงอัดข้านเสี้ยน โมดูลัสยึดหยุ่น(ปฐมภูมิ)² และ(ทุติยภูมิ)³ ได้จากค่าแรงตัวตัด ค่าโมดูลัสแตกหัก(ทุติยภูมิ)³ แรงดึงในแนวข้านเสี้ยน แรงดึงในแนวตั้งจากเสี้ยน แรงเฉือนข้านเสี้ยน การฉีกขาด ความเหนียว ความแข็งข้านเสี้ยนและตั้งจากเสี้ยน ความถ่วงจำเพาะ ปริมาณความรื้นและความหนาแน่น

ตารางที่ 6.2 คุณสมบัติทางสถิติสำหรับข้อมูลทางวิศวกรรมของไม้จำรูญ

รายการทดสอบไม้	หน่วย	ค่าเฉลี่ย (Mean)	จำนวน ตัวอย่าง (ชิ้น)	สปส.การ แปรผัน (COV)	รูปแบบการแจกแจง ต่อเนื่องที่เหมาะสม ¹
1. แรงอัดข้านเสี้ยน (ปฐมภูมิ) ² Compression Parallel to Grain	กก./ซม. ²	275.84	130	0.202	Gamma, Lognormal, Beta, Normal, Gumbel Largest
แรงอัดข้านเสี้ยน (ทุติยภูมิ) ³ Compression Parallel to Grain	กก./ซม. ²	295	130	0.197	Gumbel Smallest, Weibull, Beta, Normal
โมดูลัสยึดหยุ่น (ปฐมภูมิ) ² Modulus of Elasticity	กก./ซม. ²	18,738	130	0.208	Beta, Normal, Weibull, Gamma, Lognormal
โมดูลัสยึดหยุ่น (ทุติยภูมิ) ³ Modulus of Elasticity	กก./ซม. ²	5,006	130	0.214	Gumbel Smallest, Weibull, Beta, Normal
2. แรงอัดตั้งจากเสี้ยน Compression Perpendicular to Grain	กก./ซม. ²	122	130	0.183	Gumbel largest, Lognormal, Gamma, Frechet Largest
3. การทดสอบแรงตัวตัด โมดูลัสยึดหยุ่น (ปฐมภูมิ) ² Modulus of Elasticity (MOE)	กก./ซม. ²	49,997	130	0.202	Normal, Weibull, Beta, Gamma, Lognormal
โมดูลัสแตกหัก (ปฐมภูมิ) ² Modulus of Rupture (MOR)	กก./ซม. ²	392	130	0.188	Lognormal, Gumbel largest, Gamma, Normal, Weibull
โมดูลัสยึดหยุ่น (ทุติยภูมิ) ³ Modulus of Elasticity (MOE)	กก./ซม. ²	49,361	130	0.189	Normal, Gamma, Lognormal, Beta, Weibull
โมดูลัสแตกหัก (ทุติยภูมิ) ³ Modulus of Rupture (MOR)	กก./ซม. ²	391	130	0.203	Weibull, Normal, Gumbel Smallest, Beta, Gamma

ตารางที่ 6.2 คุณสมบัติทางสัตติสำหรับข้อมูลทางวิศวกรรมของไม้จำปารุ่ง (ต่อ)

รายการทดสอบ	หน่วย	ค่าเฉลี่ย (Mean)	จำนวน ตัวอย่าง (คัน)	สปส.การ แปรผัน (COV)	รูปแบบการแจกแจง ต่อเนื่องที่เหมาะสม ¹
4. แรงดึงในแนวขานานเสียบ Tension Parallel to Grain	กก./ซม. ²	492	130	0.133	Normal, Gamma, Weibull, Lognormal, Beta
4.1 แรงดึงในแนวขานานเสียบ (E)	กก./ซม. ²	14,375	130	0.198	Lognormal, Gumbel largest, Gamma, Rayleigh
5. แรงดึงในแนวตั้งจากเสียบ Tension Perpendicular to Grain	กก./ซม. ²	34	130	0.155	Beta, Weibull, Gumbel Smallest, Normal, Gamma
6. แรงเฉือนขานานเสียบ Shear Parallel to Grain	กก./ซม. ²	129	130	0.171	Weibull, Normal, Gumbel Smallest, Beta, Gamma
7. การทดสอบการฉีกขาดของไม้ Cleavage	กก./ซม.	64	130	0.192	Beta, Gumbel largest, Lognormal, Gamma
8. ความเหนียว Toughness	กก.-ซม.	366	130	0.190	Beta, Gamma, Lognormal
9. การทดสอบความแข็งของไม้ ขานานเสียบ Parallel to Grain	กก./น.m.	176	130	0.131	Beta, Normal, Weibull, Gamma, Lognormal
สัมผัสเสียบ Tangent to Grain	กก./น.m.	81	130	0.183	Lognormal, Gamma, Gumbel largest, Normal
ตั้งจากเสียบ Perpendicular to Grain	กก./น.m.	92	130	0.184	Beta, Gumbel largest, Lognormal
10. การทดสอบค่า ถ.พ. และการทดสอบ ความถ่วงจำเพาะ Specific Gravity	-	0.51	130	0.086	Normal, Gamma, Weibull, Lognormal, Gumbel Smallest
ปริมาณการหดตัว (%) Shrinkage in volume	ร้อยละ	4.707	130	0.149	Normal, Weibull, Gamma, Lognormal, Beta
ปริมาณความชื้น (%) Moisture Content	ร้อยละ	14	130	0.186	Beta, Gamma, Lognormal, Normal, Weibull
ความหนาแน่น Density	กก./น. ³	557	130	0.089	Beta, Normal, Gamma, Lognormal, Weibull
11. การทดสอบการหดตัวในแนวรัศมี และแนวสัมผัส การหดตัวในแนวสัมผัส (%) Tangential Shrinkage	ร้อยละ	0.824	130	0.099	-
การหดตัวในแนวรัศมี (%) Radial Shrinkage	ร้อยละ	0.810	130	0.133	-

หมายเหตุ ¹ รูปแบบการแจกแจงต่อเนื่องที่เหมาะสมเรียงตามลำดับจากดีที่สุด

² ขนาดของตัวอย่างที่ใช้จะมีขนาด 5x5 ซม. ยาว 76 ซม. ตามมาตรฐาน ASTM

³ ขนาดของตัวอย่างที่ใช้จะมีขนาด 2.5x2.5 ซม. ยาว 41 ซม. ตามมาตรฐาน ASTM

6.3 คุณสมบัติเชิงกลสำหรับค่าโมดูลัสยืดหยุ่นของไม้พฤกษ์และไม้จามจุรี

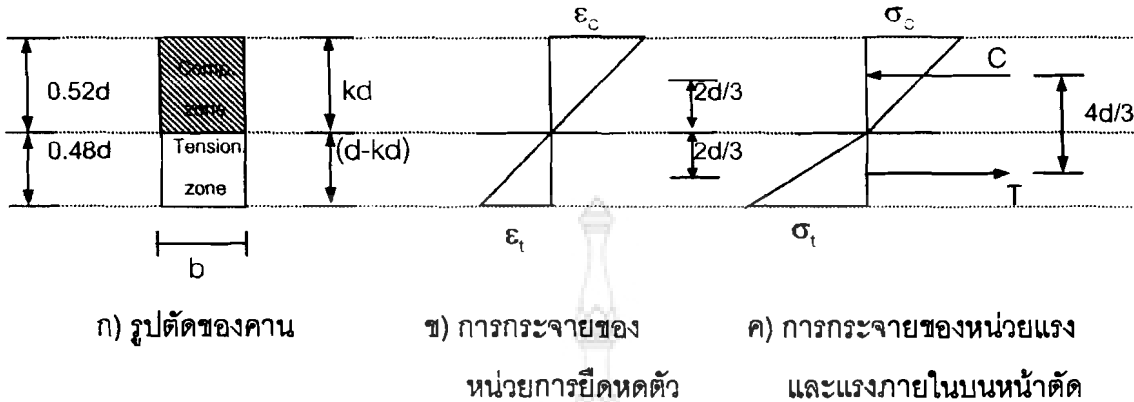
จากการทดสอบและวิเคราะห์ค่าทางสถิติสำหรับคุณสมบัติเชิงกลของไม้พฤกษ์และไม้จามจุรี จากการทดสอบหลายชนิด พบร่วมค่าโมดูลัสยืดหยุ่นที่ได้จากการทดสอบแรงขัดและแรงดึงข้าน เสี้ยนให้ค่าใกล้เคียงกับค่าโมดูลัสยืดหยุ่นที่ได้จากการทดสอบแรงดึง (MOE)

คงหรือค่านี้ที่พิจารณาทำด้วยวัสดุเนื้อเดียวกัน (Homogeneous) เมื่อรับน้ำหนักบรรทุกใช้งานโดยหน่วยแรงที่เกิดขึ้นมีค่าไม่เกินกว่าพิภพด้วยเด่นหยุ่นของวัสดุนั้น คงหรือค่านี้จะมีพฤติกรรมแบบยืดหยุ่น (Elasticity) ซึ่งสามารถคำนวณหาค่าของหน่วยแรงดึง (Flexural Stress) ที่คำแนะนำต่างๆ บนหน้าตัดได้โดยใช้สูตรแรงดึง $f = \frac{My}{I}$ ภายใต้ข้อสมมุติที่ให้รูปแบบของรากทั้งสองก่อนและหลังการรับน้ำหนักเป็นรากที่ตัดยังคงเป็นรากและความสัมพันธ์ระหว่างหน่วยแรงกับหน่วยการยืดหยุ่นตัวเป็นไปตามกฎของอุค ดังนั้นจะได้รูปการกระจายของหน่วยแรงดึงในรากอิลาสติกทั้งส่วนที่อยู่เหนือและใต้แนวแกนสะเทินดังรูปที่ 6.1 (ก) หากพิจารณาเว่าน้ำตัดของรากส่วนโครงสร้างของหงายและค่านี้ประกอบด้วยแรง 2 ชนิด คือ แรงอัดและแรงดึงและอาศัยหลักความสมดุลของแรงภายในบนหน้าตัด ซึ่งเป็นไปตามหลักการของทฤษฎีเส้นตรง (Straight – Line Theory) โดยมีข้อสมมุติฐานที่คำนึงถึงพฤติกรรมยืดหยุ่นของโครงสร้างที่ต้องมีกำลังต้านทานไม่менต์ตัดปลดภัย สามารถพิจารณาได้จากคงหรือค่านี้รูปสี่เหลี่ยมผืนผ้าขนาดกว้าง b ซม. ความลึกทั้งหมด d ซม. ดังรูปที่ 6.1 (ก) ในขณะที่คงหรือค่านี้รับน้ำหนักบรรทุกใช้งานและเกิดโมเมนต์ตัดที่ทำให้หลังคานถูกแรงอัด วัดระยะจากผิวนอกสุดลงมาเท่ากับ $0.58d$ และที่ผิวคานด้านล่างจะทำหน้าที่รับแรงดึงเป็นระยะ $0.42d$ จากระยะ $0.58d$ ลงมา จะได้รูปการกระจายของหน่วยการยืด – หดตัว (Strain Distribution) ตรงหน้าตัดคานซึ่งรับโมเมนต์ตัดมากที่สุด ดังรูปที่ 6.1 (ข) โดยมีค่าเป็นสัดส่วนโดยตรงกับระยะที่ห่างจากแนวแกนสะเทิน โดยให้ (ϵ) เป็นหน่วยการหดตัวสูงสุดของไม้หลังคานและให้ (ϵ_c) เป็นหน่วยการยืดตัวสูงสุดที่ห้องคาน โดยที่ $k d$ เป็นระยะที่วัดจากผิวนอกของคานถึงแนวแกนสะเทินโดยที่หน้าตัดคานจะประกอบด้วยสองส่วนคือส่วนบนของหน้าตัดทำหน้าที่รับแรงอัดและส่วนล่างทำหน้าที่รับแรงดึงซึ่งเกิดจากการกระทำของโมเมนต์ตัด ส่วนการกระจายของหน่วยแรงอัด (Stress Distribution) จะเป็นรูปสามเหลี่ยมมีค่าเป็นสัดส่วนโดยตรงกับการหดตัวตาม (กฎของอุค) ดังรูปที่ 6.1(ค) ให้หน่วยแรงอัดที่ผิวนอกของคานมีค่าเท่ากับ $\sigma_c = \epsilon_c E_c$ กก./ซม.² และหน่วยแรงดึงที่ผิวคานล่างมีค่าเท่ากับ $\sigma_s = \epsilon_s E_s$ กก./ซม.² จากการกระจายของหน่วยแรงในรูปที่ 6.1 (ค) จะมีแรงคู่ช้านภายในกระทำดังจากกับรากและหน้าตัดเพื่อต้านทานโมเมนต์ตัดที่กระทำประกอบด้วยแรงอัด (C) ได้จากการกระจายหน่วยแรงอัดรูปสามเหลี่ยมและแรงดึงในส่วนล่างจากแกนสะเทิน (T) ดังนั้นจะได้

$$\text{แรงอัดภายในส่วนบนทั้งหมด} : C = \frac{1}{2} (kd)(\sigma_c) \quad (6.1)$$

ซึ่งมีค่าเท่ากับ $\frac{1}{3} (kd)$ เมื่อวัดจากผิวนอกของคาน

$$\text{แรงดึงภายในส่วนล่างทั้งหมด} : T = \frac{1}{2} (d-kd)(\sigma_t) \quad (6.2)$$



รูปที่ 6.1 พฤติกรรมการรับแรงของคานไม้ภายใต้น้ำหนักบรรทุก

จากพฤติกรรมการรับแรงของคานไม้ภายใต้น้ำหนักบรรทุก ดังรูปที่ 6.1 สามารถที่จะวิเคราะห์ หาค่าโมดูลัสยืดหยุ่น (E_b) ที่ต้องการได้ พิจารณาจากสมดุลของแรงภายในบนหน้าตัดคานและหา ตำแหน่งแนวแกนสะเทิน (kd) ความสัมพันธ์ของอัตราส่วน Modular Ratio (n) ระหว่างโมดูลัสยืดหยุ่น ของแรงดึงข้างนอกเต็ม $E_{t//}$ กับโมดูลัสยืดหยุ่นของแรงดึงข้างในเต็ม $E_{c//}$ ดังสมการที่ 6.1

$$n = \frac{E_t}{E_c} \quad (6.1)$$

จากรูปตัดคาน รูปที่ 6.1 ก เมื่อกำหนดให้ความแข็งของหน้าตัดคาน ($E_t|_b$) มีค่าเท่ากับผลรวมของ ความแข็งของหน้าตัดคานในส่วนที่รับแรงอัด ($E_c|_c$) รวมกับความแข็งของหน้าตัดคานในส่วนที่รับแรง ดึง ($E_t|_t$) ดังสมการที่ 6.2

$$(E_t|_b) = (E_c|_c) + (E_t|_t) \quad (6.2)$$

และแทนค่าโมเดลเชิงอนุรේียของคานแต่ละส่วนดังสมการที่ 6.3

$$E_b \frac{bd^3}{12} = E_c \frac{b(0.58d)^3}{3} + E_t \frac{b(0.42d)^3}{3} \quad (6.3)$$

จะได้ ค่าโมดูลัสยืดหยุ่นของหน้าตัด (E_b) ที่ต้องการ โดยใช้ค่า $E_{c//}$ และ $E_{t//}$ ดังสมการที่ 6.4

$$E_b, \text{req.} = 4 [(0.58)^3 E_{c//} + (0.42)^3 E_{t//}] \quad (6.4)$$

และเมื่อพิจารณาการสมดุลของแรงภายในบนหน้าตัดคานจากรูปที่ 6.1 ค จะได้

แรงอัดทั้งหมดส่วนบน (C) = แรงดึงทั้งหมดส่วนล่าง (T)

และหาค่า k โดยที่ kd เป็นระยะที่วัดจากผิวนอกของคานถึงแนวแกนสะท้อนซึ่งถือเป็นระยะช่วงแขนของไม้เนนด์จะได้ดังสมการที่ 6.5

$$\frac{1}{2}(d-kd)(\sigma_c) = \frac{1}{2}(d-kd)(\sigma_t) \quad (6.5)$$

$$\frac{1}{2}(kd)(E_c \epsilon_c) = \frac{1}{2}(d-kd)(E_t \epsilon_t)$$

$$(kd)(E_c \epsilon_c) = (d-kd)(E_t \epsilon_t) \quad (6.6)$$

$$\text{จากสามเหลี่ยมคล้ายรูปที่ 16.1 ค) ได้ } \left| \begin{matrix} E_t \\ \hline d & kd \end{matrix} \right| = \frac{E_t}{(d-kd)}(kd) \quad (6.7)$$

แทนค่า ϵ_c ลงในสมการ (6.7) จะได้

$$(kd) \left(E_c \frac{\epsilon_t}{d-kd} (kd) \right) = (d-kd)(E_t \epsilon_t)$$

$$kd = (d-kd)^2 \frac{E_t}{E_c} \quad (6.8)$$

เมื่อ $n = \frac{E_t}{E_c}$ และแทนค่าลงในสมการที่ 6.8 จะได้

$$(kd)^2 = (d-kd)^2(n) \quad (6.9)$$

ให้ $(d)^2$ หารดตลอดจะได้ $k^2 = (1-n)^2$

$$\text{ตั้งนั้นจะได้สมการกำลังสองของค่า } k : k^2 - (1-n)^2 = 0 \quad (6.10)$$

และจากสมการที่ (6.4) นำมาประยุกต์ใช้กับสมการที่ 6.10 จะหาค่าโมดูลัสยีดหยุ่นของหน้าตัด ($E_{t//}$) ที่ต้องการของไม้พูกซ์และไม้จามจุรีได้ โดยนำผลที่ได้จากการทดสอบของ $E_t//$ และ $E_{c//}$ ของไม้ทั้งสองชนิดมาคำนวณตามขั้นตอนดังกล่าวจะได้ค่า ($E_t//$) ที่ต้องการ ใกล้เคียงกับค่าโมดูลัสยีดหยุ่นที่ได้จาก การทดสอบแรงตัวตน (ปฐมภูมิ)² ดังต่อไปนี้

ก) กรณีของไม้พูกซ์จากการทดสอบแรงดึงและแรงอัดข้าน้ำเสี้ยนไม้ชนิด(ปฐมภูมิ)²

- โมดูลัสยีดหยุ่นของแรงดึงข้าน้ำเสี้ยน $E_{t//} = 25,657 \text{ กก./ซม.}^2$

- โมดูลัสยีดหยุ่นของแรงอัดข้าน้ำเสี้ยน $E_{c//} = 35,481 \text{ กก./ซม.}^2$

สำหรับโมดูลัสยึดหยุ่นที่ได้จากการทดสอบแรงดัน (MOE) ให้คุณตัวย 1.2 (กรณีที่ทดสอบโดยใช้้น้ำหนักกด หนึ่งจุดตรงกึ่งกลางคาน) จะได้

$$\text{- โมดูลัสยึดหยุ่นของแรงดัน } E_b = 85,903(1.2) = 103,083.6 \text{ กก./ซม.}^2$$

เมื่อแทนค่า (E_{c}) และ $E_{\text{c}}/\text{ล} \text{ ลงในสมการที่ 6.4 จะได้}$

$$E_b, \text{req.} = 4 [(0.58)^3 35,481 + (0.42)^3 25,657] \quad (6.11)$$

และนำสมการที่ 6.11 ไปประยุกต์ใช้กับสมการที่ 6.10 จะได้ สมการที่ 6.12

$$E_b, \text{req.} = 4 [k^3 \times E_{\text{c}}/\text{l} + (1-k)^3 \times E_{\text{t}}/\text{l}] \quad (6.12)$$

$$\text{ไม้พูกษ์} \quad E_b, \text{req.} = 30,570 \text{ กก./ซม.}^2$$

$$\text{จากการทดสอบแรงดัน} \quad E_b = 103,083.6 \text{ กก./ซม.}^2$$

๙) กรณีของไม้จามจุรีจากการทดสอบแรงดึงและแรงอัดข้านานเสี้ยนไม้ชินิด(ปฐมภูมิ)²

$$\text{- โมดูลัสยึดหยุ่นของแรงดึงข้านานเสี้ยน } E_{\text{t}}/\text{l} = 14,375 \text{ กก./ซม.}^2$$

$$\text{- โมดูลัสยึดหยุ่นของแรงอัดข้านานเสี้ยน } E_{\text{c}}/\text{l} = 18,738 \text{ กก./ซม.}^2$$

$$\text{- โมดูลัสยึดหยุ่นของแรงดัน} \quad E_b = 49,997(1.2) = 59996.4 \text{ กก./ซม.}^2$$

$$E_b, \text{req.} = 4 [k^3 \times E_{\text{c}}/\text{l} + (1-k)^3 \times E_{\text{t}}/\text{l}]$$

$$\text{ไม้จามจุรี} \quad E_b, \text{req.} = 16,560 \text{ กก./ซม.}^2$$

$$\text{จากการทดสอบแรงดัน} \quad E_b = 59,996.4 \text{ กก./ซม.}^2$$

จากการคำนวณและเปรียบเทียบค่าระหว่างโมดูลัสยึดหยุ่นของแรงดึง E_{t}/l และแรงอัดข้านานเสี้ยน E_{c}/l กับค่าโมดูลัสยึดหยุ่นของแรงดัน (E_b) รึว่า E_b จะให้กำลังสูงกว่าค่าที่คาดการไว้ประมาณ 72,000 และ 43,000 กก./ซม.² สำหรับไม้พูกษ์ และ ไม้จามจุรี ตามลำดับ ดังนั้นถ้าหากเพิ่มจำนวนตัวอย่างทดสอบของแรงดึงและแรงอัดข้านานเสี้ยนไม้ ให้มีจำนวนมากขึ้นเพียงพอจะทำให้ค่าโมดูลัสยึดหยุ่นที่ได้มีค่าใกล้เคียงกับค่าโมดูลัสยึดหยุ่นจากการทดสอบแรงดัน (ปฐมภูมิ²)

บทที่ 7

การใช้ประโยชน์จากไม้พฤกษ์และไม้จามจุรี

ในบทนี้จะได้กล่าวถึง การนำไม้พฤกษ์และไม้จามจุรี มาใช้เป็นองค์ประกอบ ตง คาน และเสา ซึ่งทำการออกแบบตามมาตรฐาน ว.ส.ท. 2517 [15] โดยลำดับขั้นตอนการคำนวณออกแบบตามวิธีปกติ ที่ใช้กันอยู่ในปัจจุบัน โดยมีความเรื่อถือแบบสมำเสมอโดยอ้างอิงการใช้ซอฟต์แวร์ WCCAL [8-10] และแนะนำค่าที่ยอมรับได้ รวมทั้งการวิเคราะห์ความน่าเชื่อถือ (Reliability) โดยจะเริ่มจากข้อมูลทางวิศวกรรมในการวิเคราะห์ความน่าเชื่อถือเชิงโครงสร้างซึ่งผลจากการวิเคราะห์องค์อาคาร ไม้พฤกษ์ และไม้จามจุรี สามารถสรุปผลได้ดังนี้

7.1 ข้อมูลเบื้องต้นในการวิเคราะห์ความน่าเชื่อถือเชิงโครงสร้าง

การวิเคราะห์หาขนาดหน้าตัดขององค์อาคารไม้ ตง คาน และเสา ซึ่งทำการออกแบบตามมาตรฐาน ว.ส.ท. 2517 [15] โดยลำดับขั้นตอนการคำนวณออกแบบตามวิธีปกติที่ใช้กันอยู่ในปัจจุบัน ที่ให้ความเรื่อถือแบบสมำเสมอ ซึ่งความต้านทานเชิงโครงสร้างขององค์อาคารไม้ แต่ละประเภท สามารถแบ่งแยกได้ตามสภาวะชีดจำกัด (Limit State) ซึ่งแสดงค่าความน่าเชื่อถือเชิงโครงสร้าง ในรูปของความน่าจะบด็อก (p_u) และชีดจำกัดบนของสัมประสิทธิ์การแปรผัน (Limit cov) ดังแสดงในตารางที่ 7.1

ตารางที่ 7.1 ประเภทของสภาวะชีดจำกัด และชีดจำกัดบน ของสัมประสิทธิ์การแปรผัน

Type of Structural Resistance	(Limit State)	(p_u)	Limit cov.	β
Modulus of Rupture	Ultimate	10^{-6}	0.210	4.753
Shear Strength	Serviceability	10^{-4}	0.269	3.179
Modulus of Elasticity (joist, Beam)	Serviceability	10^{-4}	0.269	3.179
Modulus of Elasticity (Column)	Ultimate	10^{-6}	0.210	4.753

ในการออกแบบขนาดหน้าตัดองค์อาคารไม้ที่มีความเรื่อถือแบบสมำเสมอ สำหรับการทดสอบ และวิเคราะห์นี้ จะเน้นที่ประเภทของการใช้อาคารซึ่งรับน้ำหนักบรรทุกรตามเกณฑ์ญี่ปุ่นกึ่งไทยฯ มี 3 ประเภทคือ ที่พักอาศัย สำนักงาน และโรงเรียน โดยจะใช้ค่าน้ำหนักบรรทุกจรเขี่ยที่จัดเก็บในประเทศไทย เป็นร้อยละสำหรับใช้ออกแบบขนาดหน้าตัดองค์อาคารไม้ ดังแสดงในตารางที่ 7.2

ตารางที่ 7.2 ข้อมูลน้ำหนักบนรากตามเกศบัญญัติที่จัดเก็บในประเทศไทย [18]

ประเภทการ ใช้งานอาคาร	ค่าที่ระบุ (กก./ม. ²)	ข้อมูลที่จัดเก็บ			
		ค่าเฉลี่ย	ค่าเบี่ยงเบน มาตรฐาน	สัมประสิทธิ์ การแปรผัน	ชนิดของ การแจกแจง
ที่พักอาศัย	150	182.4	33.93	0.186	ปกติ
สำนักงาน	250	350	63.85	0.180	ปกติ
โรงเรียน	300	163.3	21.72	0.133	ปกติ

7.1.2 ขั้นตอนการออกแบบโครงสร้างไม้ตามมาตรฐาน ว.ส.ท. [15]

วิธีการออกแบบและคำนวณไม้ที่มีฐานรองรับแบบธรรมด้า (Simply Supported)

ขั้นตอนที่ 1 เตรียมข้อมูลทางวิศวกรรมของไม้และน้ำหนักบรรทุกฯ สำหรับใช้ออกแบบขนาดหน้าตัดของโครงสร้างไม้ กำหนดประเภทการใช้งานโดยใช้ค่าเฉลี่ยของน้ำหนักบรรทุกฯ และคุณสมบัติทางวิศวกรรมของไม้ มีค่าความถ่วงจำเพาะ ค่าโมดูลัสยืดหยุ่น ค่าโมดูลัสแตกหัก กำลังรับแรงเฉือน

ขั้นตอนที่ 2 คำนวนหน้าตัดของโครงสร้างที่ ของพื้นไม้ ผังไม้ ลง คาน และค่าเฉลี่ยของน้ำหนักบรรทุกฯ

ขั้นตอนที่ 3 ออกแบบโดยใช้ทฤษฎีความน่าเชื่อถือเชิงโครงสร้าง กำหนดสภาวะชีดจำกัดของลงและคำนวณเป็นสภาวะชีดจำกัดด้านการใช้งาน และสภาวะชีดจำกัดเชิงประสิย มีค่าความน่าจะเป็น (p_i) เท่ากับ 10^{-4} และ 10^{-6} ตามลำดับและคุณสมบัติทางวิศวกรรมของไม้แทนได้ด้วยการแจกแจงแบบปกติ (Normal Distribution) จะได้ค่าตรูปนิความปลอดภัย (β) เท่ากับ 3.719, 4.753 และชีดจำกัดสัมประสิทธิ์การแปรผัน ($COV; \Omega_R$) เท่ากับ 0.269, 0.21 ตามลำดับ เนื่องจากการโถงตัวของลงและคำนวณเป็นพังก์ชันสภาวะชีดจำกัดที่ควบคุมความน่าจะเป็น Ω_s ตั้งนั้นให้ตรวจสอบค่า COV ของโมดูลัสยืดหยุ่น (Ω_E) และกำลังรับแรงเฉือน (Ω_v) ต้องมีค่าไม่เกิน (Ω_R) จากนั้นคำนวนหาค่าตัวคูณความปลอดภัย (FS) จากสมการที่ 7.1

$$\Omega_s = \frac{\Omega_{LL}}{1 + \frac{DL}{\mu_{LL}}} \quad (7.1)$$

$$\text{และ} \quad FS - 1 = \beta \sqrt{(FS)^2 (\Omega_R)^2 + (\Omega_s)^2} \quad (7.2)$$

นำค่า FS ที่ได้ไปคำนวนหาขนาดหน้าตัดของลงและคำนวณโดยสมมติความกว้าง (b) จะได้ความลึก (d) จากสมการที่ 7.3

$$\frac{L}{360(FS)} = \frac{5WL^4}{384EI} \quad (7.3)$$

โดยที่ $I = \text{ไมเนนต์ของความเฉื่อยเท่ากับ } \frac{bd^3}{12} \text{ ซม.}^4$

ดังนั้นจะเลือกขนาดไม้ที่มีรายตามห้องตลาดเป็นขนาดที่ไสแต่งแล้ว

ขั้นตอนที่ 4 คำนวนหน้าหนักบรรทุกตามขั้นตอนที่ 2 และออกแบบโดยใช้ทฤษฎีความนำเอื้อถือสิ่งร่าง ตรวจสอบกำลังรับแรงดัดของโครงสร้างและค่านี้ ที่สภาวะชีดจำกัดเดิงประดับมีค่าความนำจะวินบิตเท่ากับ 10^{-6} พิจารณาชีดจำกัดสัมประสิทธิ์การแปรผัน (COV; Ω_R) เท่ากับ 0.21 ดังนั้นตรวจสอบค่า COV ของค่าไมคูลัสแตกหัก MOR; (Ω_s) ต้องมีค่าไม่เกิน (Ω_R) จากนั้นคำนวนหาค่าตัวคูณความปลอดภัย (FS) จากสมการที่ 7.4

$$\Omega_s = \frac{\Omega_{LL}}{DL} \cdot \frac{1}{1 + \frac{\mu_{LL}}{\mu_{LL}}} \quad (7.4)$$

และ $FS - 1 = \beta \sqrt{(FS)^2 (\Omega_R)^2 + (\Omega_s)^2} \quad (7.5)$

นำค่า FS ที่ได้ไปคำนวนหน่วยแรงดัดที่ยอมให้ F_b ดังสมการที่ 7.6 $F_b = \frac{f_r}{FS} \quad (7.6)$

โดยเปรียบเทียบกับหน่วยแรงดัดที่เกิดขึ้น σ_u ดังสมการที่ 7.7 $\sigma_u = \frac{MC}{I} \quad (7.7)$

หน่วยแรงดัดที่เกิดขึ้นมีค่าไม่เกินหน่วยแรงที่ยอมให้

ขั้นตอนที่ 5 คำนวนหน้าหนักบรรทุกตามขั้นตอนที่ 2 และออกแบบโดยใช้ทฤษฎีความนำเอื้อถือสิ่งร่าง ตรวจสอบกำลังรับแรงเฉือนของโครงสร้างและค่านี้ ที่สภาวะชีดจำกัดด้านการใช้งานมีค่าความนำจะวินบิตเท่ากับ 10^{-4} พิจารณาชีดจำกัดสัมประสิทธิ์การแปรผัน (COV; Ω_R) เท่ากับ 0.269 และตรวจสอบค่า COV ของกำลังรับแรงเฉือน V; (Ω_s) ต้องมีค่าไม่เกิน (Ω_R) จากนั้นคำนวนหาค่าตัวคูณความปลอดภัย (FS) จากสมการที่ 7.8

$$\Omega_s = \frac{\Omega_{LL}}{DL} \cdot \frac{1}{1 + \frac{\mu_{LL}}{\mu_{LL}}} \quad (7.8)$$

และ $FS - 1 = \beta \sqrt{(FS)^2 (\Omega_R)^2 + (\Omega_s)^2} \quad (7.9)$

นำค่า FS ที่ได้ไปคำนวณหาหน่วยแรงเฉือนที่ยอมให้ F_v ดังสมการที่ 7.6 $F_v = \frac{V}{FS}$ (7.10)

โดยเปรียบเทียบกับหน่วยแรงเฉือนที่เกิดขึ้น f_v ดังสมการที่ 7.11 $f_v = \frac{3V}{2bd}$ (7.11)

ดังนั้นหน่วยแรงเฉือนที่เกิดขึ้นต้องมีค่าไม่เกินหน่วยแรงเฉือนที่ยอมให้

วิธีการออกแบบเสา (Column)

ขั้นตอนที่ 1 เตรียมข้อมูลทางวิศวกรรมของไม้และน้ำหนักบรรทุกจรา สำหรับใช้ออกแบบขนาดหน้าตัดของค่าอาคารไม้ กำหนดประเภทการใช้งานโดยใช้ค่าเฉลี่ยของน้ำหนักบรรทุกจรา และคุณสมบัติทางวิศวกรรมของไม้ มีค่าความถ่วงจำเพาะ ค่าไม่ต្វួលសិទ្ធិយុទ្ធន แรงอัดข้างเสี้ยนไม้

ขั้นตอนที่ 2 คำนวณน้ำหนักบรรทุกคงที่ ของโครงหลังคา พื้นไม้ ผังไม้ ตง คาน เสาและค่าเฉลี่ยของน้ำหนักบรรทุกจรา ได้น้ำหนัก (P_{max}) กระทำตามแนวแกนเสา

ขั้นตอนที่ 3 ออกแบบโดยใช้ทฤษฎีความน่าเชื่อถือเชิงโครงสร้าง พิจารณาให้เสมอสภาวะชีดจำกัดเริงประลัย มีค่าความน่าจะวิบัติ (p_r) เท่ากับ 10^{-6} และคุณสมบัติทางวิศวกรรมของไม้แทนได้ด้วยการแยกแรงแบบปกติ (Normal Distribution) จะได้ค่าตัวชนิดความปลดภัย (β) เท่ากับ 4.753 และชีดจำกัดสัมประสิทธิ์การแปรผัน (COV; Ω_R) เท่ากับ 0.21 เนื่องจากการโก่งเตา (Buckling) ของเสาเป็นพังก์ชันสภาวะชีดจำกัดที่ควบคุมความน่าจะวิบัติ ดังนั้นตรวจสอบค่า COV ของไม้ต្វួលសិទ្ធិយុទ្ធន (Ω_E) ต้องมีค่าไม่เกิน (Ω_R) จากนั้นคำนวนหาค่าตัวคุณความปลดภัย (FS) จากสมการที่ 7.12

$$\Omega_s = \frac{\Omega_u}{1 + \frac{DL}{\mu_u}} \quad (7.12)$$

และ $FS - 1 = \beta \sqrt{(FS)^2 (\Omega_R)^2 + (\Omega_s)^2}$ (7.13)

นำค่า FS ที่ได้ไปคำนวณขนาดหน้าตัดของเสา จากสมการ Euler's Formula สมการที่ 7.14

น้ำหนักวิกฤต $P_a = \frac{\pi^2 EI}{(L_e)^2}$ (7.14)

หรือ หน่วยแรงชัดวิกฤตเฉลี่ย $\frac{P_a}{A} = \frac{\pi^2 E}{12 \frac{L}{d}^2}$ (7.15)

คำนวนหาค่า d จากสมการ 7.14 หรือ 7.15 จะได้ขนาดหน้าตัดเสาที่ต้องการ และเลือกขนาดไม้ที่มีขายตามห้องตลาดเป็นขนาดที่ใส่แต่งแล้ว

ขั้นตอนที่ 4 คำนวณหน้าที่นักบกรทุกตามขั้นตอนที่ 2 และออกแบบโดยใช้ทฤษฎีความนำเอือถือเชิงโครงสร้าง ตรวจสอบการโถงเดาะ (Buckling) ของเสาที่สภาวะซึ่ดจำกัดเชิงประดิษฐ์มีค่าความนำจะวิบติเท่ากับ 10^6 พิจารณาซึ่ดจำกัดสัมประสิทธิ์การแปรผัน (COV; Ω_R) เท่ากับ 0.21 ดังนั้นตรวจสอบค่า COV ของกำลังรับแรงอัดฐานเสียน (Ω_c) ต้องมีค่าไม่เกิน (Ω_R) จากนั้นคำนวณหาค่าตัวคูณความปลอดภัย (FS) จากสมการที่ 7.16

$$\Omega_s = \frac{\Omega_{LL}}{DL} \cdot \frac{1}{1 + \frac{\mu_{LL}}{\Omega_{LL}}} \quad (7.16)$$

และ $FS - 1 = \beta \sqrt{(FS)^2 (\Omega_R)^2 + (\Omega_s)^2} \quad (7.17)$

นำค่า (FS) ไปคำนวณหน่วยแรงอัดที่หน้าตัดวิกฤตที่ยอมให้ $F_{allow} = \frac{F_{test}}{FS}$

โดยเปรียบเทียบกับหน่วยแรงอัดที่เกิดรื้นจริง $\frac{P}{A}$ มีค่าไม่เกินหน่วยแรงอัดที่หน้าตัดวิกฤตที่ยอมให้

7.2 การนำไปใช้พฤกษ์มาใช้เป็นองค์ความไม้

ผลการวิเคราะห์สามารถแบ่งตามประเภทขององค์ความไม้ได้ดังต่อไปนี้

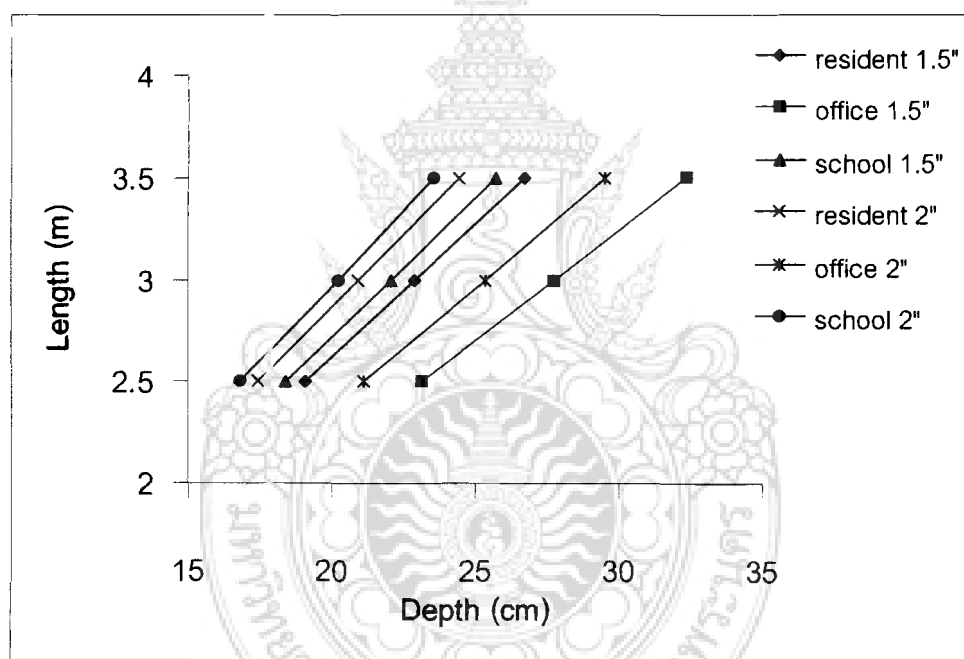
7.2.1 梁 (Joist)

การออกแบบขนาดหน้าตัดของ梁ไม้พฤกษ์ออกแบบตามมาตรฐาน ว.ส.ท.(EIT CODE) [15] โดยใช้ข้อมูลที่ได้ จากการทดสอบและวิเคราะห์คุณสมบัติทางสอดคล้องด้านเชิงกลของไม้พฤกษ์ ที่ช่วงแห่งความเรื่องมันร้อยละ 99 โดยการทดสอบไม้ตู้ลัสรย์ดันมีค่าเท่ากับ 85,903 กก./ซม.² ให้ค่าสัมประสิทธิ์การแปรผันเท่ากับ 0.204 การทดสอบไม้ตู้ลัสรแยกหักมีค่าเท่ากับ 902 กก./ซม.² ให้ค่าสัมประสิทธิ์การแปรผันเท่ากับ 0.162 การทดสอบแรงเฉือนฐานเสียนมีค่าเท่ากับ 253 กก./ซม.² ให้ค่าสัมประสิทธิ์การแปรผันเท่ากับ 0.171 การทดสอบความตึงจำเพาะมีค่าเท่ากับ 0.796 ให้ค่าสัมประสิทธิ์การแปรผันเท่ากับ 0.068 กำหนดค่าความนำจะวิบติเนื่องจากการโถงเดาะที่ตัวของไม้อู่ในพิกัดที่ยอมรับได้ที่ระดับ $p_r = 10^4$ [14] โดยพิจารณาตัวแปรเริ่งกำหนด มีขนาดความกว้างของ梁 2 ขนาดคือ 1½ นิ้ว (3.81 ซม.) และ 2 นิ้ว (5.08 ซม.) ความยาวของ梁 ไม้ 3 ขนาดคือ 2.50, 3.00 และ 3.50 เมตร โดยที่ขนาดและความยาวต้องกล่าว จะผ่านการทดสอบในระยะห่างระหว่าง梁 (Spacing) ที่ระยะ 30 40 และ 50 ซม. ตามลำดับ สำหรับการออกแบบไม้ตามรูปแบบในภาคผนวก (ก) พิจารณาฐานรองรับเป็นแบบช่วงเดียวอ่อนด้า สำหรับบ้านพักอาศัยน้ำหนักบรรทุกอาจมีค่าเฉลี่ย 182.4 กก./ม.² สัมประสิทธิ์การแปร

ผันเท่ากับ 0.186 อาคารสำนักงาน น้ำหนักบรรทุกจะมีค่าเฉลี่ย 350 กก./ม^2 สัมประสิทธิ์การแปรผันเท่ากับ 0.180 และโรงเรียน น้ำหนักบรรทุกจะมีค่าเฉลี่ย 163.3 กก./ม^2 สัมประสิทธิ์การแปรผันเท่ากับ 0.133 พื้นไม้พฤกษ์มีความหนาคงที่เท่ากับ 1 นิ้ว (2.54 ซม.)

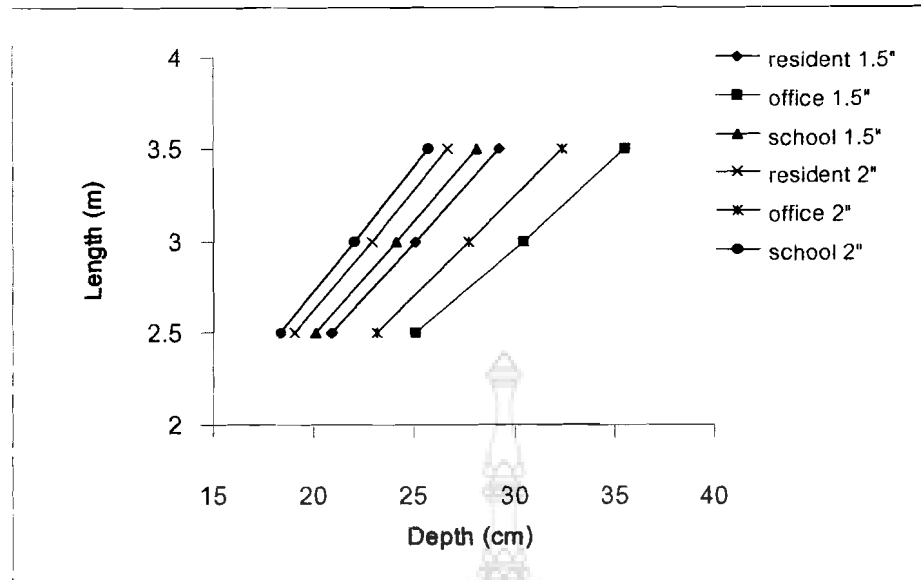
จากการนำเอาข้อมูลดังกล่าวมาออกแบบหน้าตัด ตงไม้พฤกษ์เป็นขนาดที่ใช้แต่งแล้วรายละเอียดขั้นตอนการออกแบบแสดงในภาคผนวก ก) พบว่า

ก. ในกรณีที่พิจารณาขนาดความกว้าง $1\frac{1}{2}$ นิ้ว (3.81 ซม.) 2 นิ้ว (5.04 ซม.) และระยะเรียงของตงไม้เท่ากับ 30 ซม. ที่ความยาวต่างมากที่สุดเท่ากับ 3.5 เมตร ซึ่งเมื่อแบ่งตามประเภทการใช้งานของน้ำหนักบรรทุก จะพักอาศัย สำนักงาน และโรงเรียน จะได้ขนาดตงไม้ที่ใส่แต่งแล้ว ($2-1\frac{1}{2}" \times 5"$, $2-2" \times 5\frac{1}{2}"$, $(2-1\frac{1}{2}" \times 6\frac{1}{2}"$, $2-2" \times 6"$), ($2-1\frac{1}{2}" \times 5\frac{1}{2}"$, $2-2" \times 5"$) ตามลำดับ ดังรูปที่ 7.1 และตารางที่ 7.3



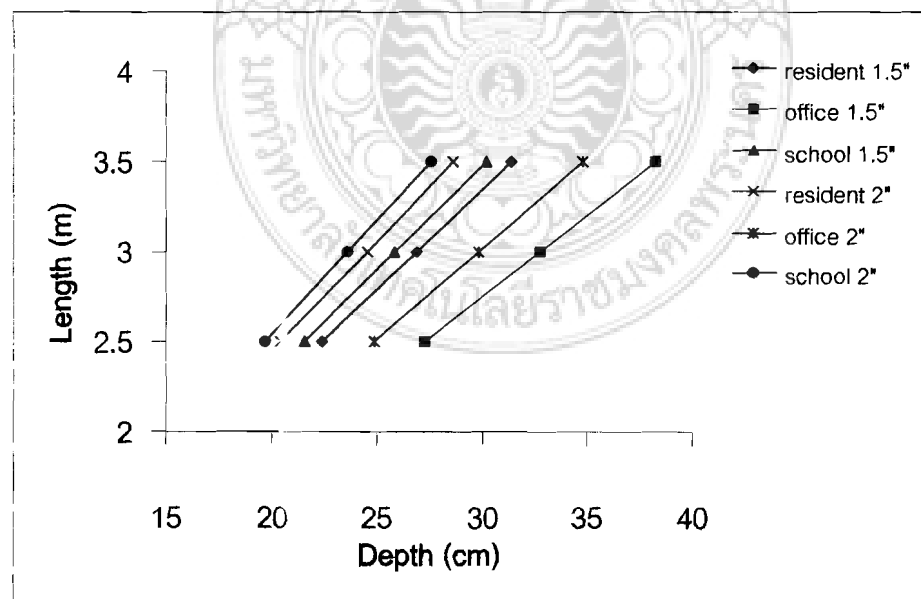
รูปที่ 7.1 ความสัมพันธ์ระหว่างความยาวกับความลึกของตงไม้ ตามประเภทของอาคาร สำหรับตงไม้พฤกษ์ที่ระยะเรียง 30 ซม.

ข. ในกรณีที่พิจารณาขนาดความกว้าง $1\frac{1}{2}$ นิ้ว (3.81 ซม.) 2 นิ้ว (5.04 ซม.) และระยะเรียงของตงไม้เท่ากับ 40 ซม. ที่ความยาวต่างมากที่สุดเท่ากับ 3.5 เมตร ซึ่งเมื่อแบ่งตามประเภทการใช้งานของน้ำหนักบรรทุก ที่พักอาศัย สำนักงาน และโรงเรียน จะได้ขนาดตงไม้ที่ใส่แต่งแล้ว ($2-1\frac{1}{2}" \times 6"$, $2" \times 5\frac{1}{2}"$), ($2-1\frac{1}{2}" \times 7\frac{1}{2}"$, $2-2" \times 6\frac{1}{2}"$), ($2-1\frac{1}{2}" \times 6"$, $2-2" \times 5\frac{1}{2}"$) ตามลำดับ ดังรูปที่ 7.2 และตารางที่ 7.3



รูปที่ 7.2 ความสัมพันธ์ระหว่างความยาวกับความลึกของตงไม้ ตามประเภทของอาคาร สำหรับตงไม้พูกซ์ ที่ระยะเรียง 40 ซม.

ค. ในกรณีที่พิจารณาขนาดความกว้าง $1\frac{1}{2}$ นิ้ว (3.81 ซม.) 2 นิ้ว (5.04 ซม.) และระยะเรียงของตงไม้เท่ากับ 50 ซม. ที่ความยาวตงมากที่สุดเท่ากับ 3.5 เมตร ซึ่งเมื่อแบ่งตามประเภทการใช้งานของน้ำหนักบรรทุกจรา ที่พักอาศัย สำนักงาน และโรงเรียน จะได้ขนาดตงไม้ที่ใสแต่งแล้ว ($2-1\frac{1}{2}'' \times 6\frac{1}{2}''$, $2-2'' \times 6''$, $(2-1\frac{1}{2}'' \times 8'', 2-2'' \times 7'')$, $(2-1\frac{1}{2}'' \times 6'', 2-2'' \times 5\frac{1}{2}'')$) ตามลำดับ ดังรูปที่ 7.3 และตารางที่ 7.3



รูปที่ 7.3 ความสัมพันธ์ระหว่างความยาวกับความลึกของตงไม้ ตามประเภทของอาคาร สำหรับตงไม้พูกซ์ ที่ระยะเรียง 50 ซม.

ตารางที่ 7.3 ขนาดหน้าตัดคง(คู่)ไม้พูกซ์ แบ่งตามประเภทของน้ำหนักบอร์ด

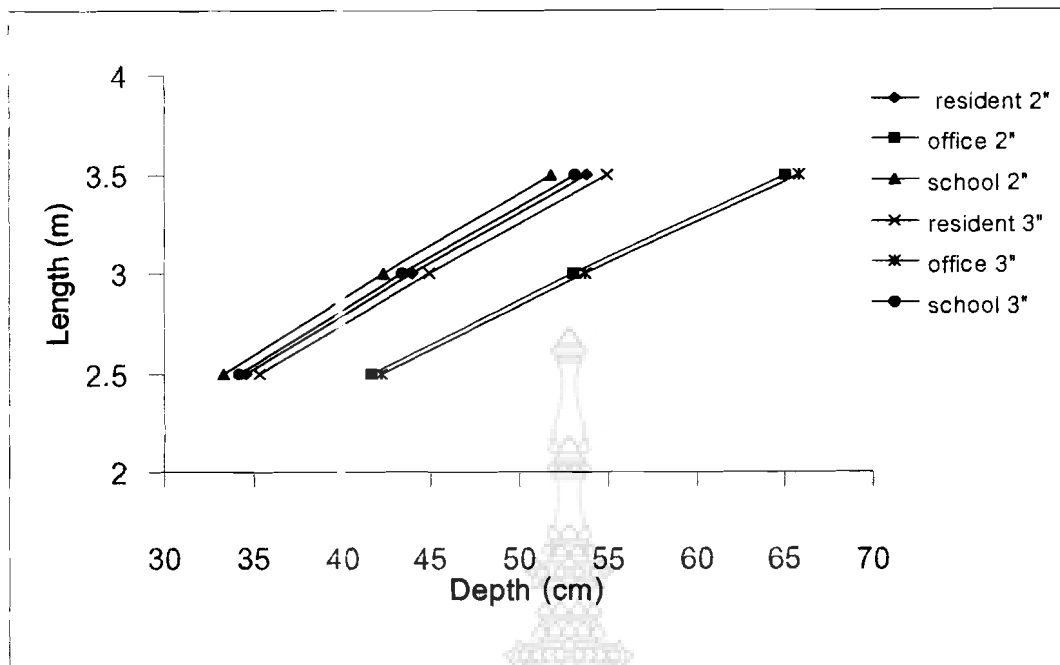
ประเภทของวัสดุ	ความยาวตั้ง (เมตร)	ระยะเรียงตั้ง (ซม.)	จำนวน (ห้อง)	ขนาดหน้าตัดที่ต้องการ ไม้หนา 1½ นิ้ว	ขนาดหน้าตัดที่ต้องการ ไม้หนา 2 นิ้ว
อาคารพักอาศัย	2.5	30	2	1½" x 4"	2"x 3½"
		40	2	1½" x 4½"	2"x 4"
		50	2	1½" x 4½"	2"x 4½"
	3	30	2	1½" x 5"	2"x 4½"
		40	2	1½" x 5"	2"x 5"
		50	2	1½" x 5½"	2"x 5"
	3.5	30	2	1½" x 5½"	2"x 5"
		40	2	1½" x 6"	2"x 5½"
		50	2	1½" x 6½"	2"x 6"
อาคารสำนักงาน	2.5	30	2	1½" x 5"	2"x 4½"
		40	2	1½" x 5½"	2"x 5"
		50	2	1½" x 5½"	2"x 5"
	3	30	2	1½" x 5½"	2"x 5"
		40	2	1½" x 6½"	2"x 5½"
		50	2	1½" x 6½"	2"x 6"
	3.5	30	2	1½" x 6½"	2"x 6"
		40	2	1½" x 7½"	2"x 6½"
		50	3	1½" x 8"	2" x 7"
โรงเรียน	2.5	30	2	1½" x 4"	2"x 3½"
		40	2	1½" x 4"	2"x 4"
		50	2	1½" x 4½"	2"x 4"
	3	30	2	1½" x 4½"	2"x 4"
		40	2	1½" x 5"	2"x 4½"
		50	2	1½" x 5½"	2"x 5"
	3.5	30	2	1½" x 5½"	2"x 5"
		40	2	1½" x 6"	2"x 5½"
		50	2	1½" x 6"	2"x 5½"

หมายเหตุ : ขนาดที่แนะนำเป็นขนาดภายหลังการตัดสีแล้ว (Dressed dimensions)

7.2.2 คานไม้ (Beam)

การออกแบบขนาดหน้าตัดคานไม้พฤกษ์ออกแบบตามมาตรฐาน ว.ส.ท. (EIT CODE) [15] โดยใช้ข้อมูลที่ได้ จากการทดสอบและวิเคราะห์คุณสมบัติทางสอดคล้องของไม้พฤกษ์ ที่ช่วงแห่งความเรื่องมั่นร้อยละ 99 โดยการทดสอบไม้ดูลัสเปิดอยู่มีค่าเท่ากับ 85903 กก./ซม.^2 ให้ค่าสัมประสิทธิ์การแปรผันเท่ากับ 0.204 การทดสอบไม้ดูลัสแทกหักมีค่าเท่ากับ 902 กก./ซม.^2 ให้ค่าสัมประสิทธิ์การแปรผันเท่ากับ 0.162 การทดสอบแรงเฉือนนานาสียืนมีค่าเท่ากับ 253 กก./ซม.^2 ให้ค่าสัมประสิทธิ์การแปรผันเท่ากับ 0.171 การทดสอบความถ่วงจำเพาะมีค่าเท่ากับ 0.796 ให้ค่าสัมประสิทธิ์การแปรผันเท่ากับ 0.068 กำหนดค่าความนำจัจวิตดีเนื่องจากการโถ่ตัวของคานไม้ กำลังรับแรงดัด และกำลังรับแรงเฉือน ให้อยู่ในพิกัดที่ยอมรับได้ที่ระดับ ($p_r = 10^4$) ($p_r = 10^6$) และ ($p_r = 10^4$) [14] ตามลำดับ โดยพิจารณาตัวแปรเชิงกำหนด มีขนาดความกว้างของตรงและคานไม้อย่างละ 2 ขนาดคือ 1½ นิ้ว (3.81 ซม.) 2 นิ้ว (5.04 ซม.) และ 3 นิ้ว (7.62 ซม.) ตามลำดับ ความยาวของคานไม้ 3 ขนาดคือ 2.50 3.00 และ 3.50 เมตร โดยที่ขนาดและความยาวตั้งที่กล่าวมา จะผ่านการทดสอบในระยะห่างระหว่างตัวค่า (Spacing) ที่ระยะ 30 40 และ 50 ซม. ตามลำดับ สำหรับการออกแบบคานไม้ ตามรูปแบบในภาคผนวก (ก) พิจารณาฐานรองรับเป็นแบบช่วงเดียวหรือมาตราสำหรับบ้านพักอาศัย มีค่าเฉลี่ยน้ำหนักบรรทุกจร 182.4 กก./ม.² สัมประสิทธิ์การแปรผันเท่ากับ 0.186 อาคารสำนักงาน มีค่าเฉลี่ยน้ำหนักบรรทุกจร 350 กก./ม.² สัมประสิทธิ์การแปรผันเท่ากับ 0.180 และ อาคารโรงเรียน มีค่าเฉลี่ยน้ำหนักบรรทุกจร 163.3 กก./ม.² สัมประสิทธิ์การแปรผันเท่ากับ 0.133 มีความหนาของพื้นไม้พฤกษ์คงที่ เท่ากับ 1นิ้ว (2.54 ซม.) และจากการนำเอาข้อมูลดังที่กล่าวมาทำการออกแบบขนาดหน้าตัดของคานไม้พฤกษ์ซึ่งเป็นขนาดที่ใส่แต่งแล้ว รายละเอียดของรั้นตอนการออกแบบแสดงไว้ในภาคผนวก ก พบว่า

ในการถือที่พิจารณาขนาดหน้าตัดคานหนา 2 นิ้ว (5.04 ซม.) และ 3 นิ้ว (7.62 ซม.) ระยะเรียงช่องตงไม้เท่ากับ 30 40 และ 50 ซม. ความยาวคาน 2.50 3.00 และ 3.50 เมตร ซึ่งแบ่งตามประเภทการใช้งานของน้ำหนักบรรทุกจรของ อาคารที่พักอาศัย อาคารสำนักงาน และโรงเรียน ตัวอย่างเช่น พิจารณาขนาดคานหนา 2 นิ้ว (5.08 ซม.) และ 3 นิ้ว (7.62 ซม.) ความยาวคาน 3.50 เมตร จะได้ขนาดหน้าตัดของคานไม้ (คานคู่) ที่ใส่แต่งแล้วโดยเลือกให้ขนาดที่มีรายตามท้องตลาดคือ 2-2"x11", 2-2"x13", 2-2"x10½" และ 2-3"x11", 2-3"x13", 2-3"x10½" ตามลำดับ ตั้งรูปที่ 7.4 และตารางที่ 7.4



รูปที่ 7.4 ความสัมพันธ์ระหว่างความยาวกับความลึกของคานไม้ แบ่งตามประเภทหน้าบ้านกับการใช้งานของอาคาร

ตารางที่ 7.4 ขนาดหน้าตัดของคานไม้พูกช์ (คานคู่) แบ่งตามประเภทของหน้าบ้านกับรากฐาน

ประเภทของคาน อาคาร	ความยาวคาน (ม.)	จำนวน (ห้อง)	หน้าตัดที่ต้องการ (ไม้หนา 2 นิ้ว)	หน้าตัดที่ต้องการ (ไม้หนา 3 นิ้ว)
พักอาศัย	2.5	2	2"x7"	3"x7"
	3.0	2	2"x9"	3"x9"
	3.5	2	2"x11"	3"x11"
สำนักงาน	2.5	2	2"x 8½"	3"x 8½"
	3.0	2	2"x10½"	3"x11"
	3.5	2	2"x13"	3"x13"
โรงเรียน	2.5	2	2"x 7"	3"x7"
	3.0	2	2"x 8½"	3"x9"
	3.5	2	2"x10½"	2"x10½"

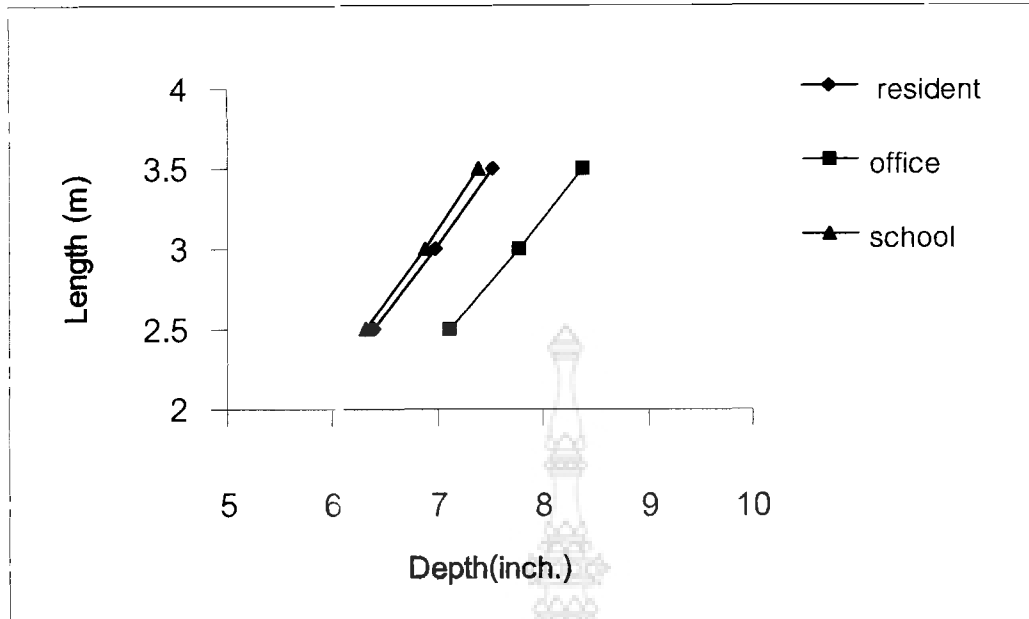
หมายเหตุ : ขนาดที่แนะนำเป็นขนาดภายในหลังการตัดไส้แล้ว (Dressed dimensions)

: ระยะเรียงของตงเท่ากับ 0.50 เมตร

7.2.3 เสาไม้ (Column)

การออกแบบขนาดหน้าตัดคานไม้พฤกษ์ออกแบบตามมาตรฐาน ว.ส.ท. (EIT CODE) [15] โดยใช้ร้อมูลที่ได้จากการทดสอบและวิเคราะห์คุณสมบัติทางสัตติทางด้านเริงกลของไม้พฤกษ์ ที่ช่วงแห่งความเรื้อรังร้อยละ 99 โดยการทดสอบในครุลส์ยีดหยุ่นมีค่าเท่ากับ $85,903 \text{ กก./ซม.}^2$ ให้ค่าสมประสิทธิ์การแปรผันเท่ากับ 0.204 การทดสอบแรงอัดข่านเสี้ยนมีค่าเท่ากับ 565.56 กก./ซม.^2 ให้ค่าสมประสิทธิ์การแปรผันเท่ากับ 0.119 การทดสอบความถ่วงจำเพาะมีค่าเท่ากับ 0.796 ให้ค่าสมประสิทธิ์การแปรผันเท่ากับ 0.068 กำหนดค่าความน่าจะบิดเนื่องจากการโก่งตัว (Buckling) ของเสาไม้ ให้อยู่ในพิกัดที่ยอมรับได้ที่ระดับ ($p_r = 10^6$) [14] ตามลำดับ โดยพิจารณาตัวแปรเริงกำหนดโดยให้ขนาดความกว้างของตงและคานไม้อย่างละ 2 ขนาดคือ $1\frac{1}{2}$ นิ้ว (3.81 ซม.) 2 นิ้ว (5.04 ซม.) และ 3 นิ้ว (7.62 ซม.) ตามลำดับ ความยาวของตงและคานไม้ 3 ขนาดคือ 2.50 3.00 และ 3.50 เมตร โดยที่ขนาดและความยาวดังกล่าว จะผ่านการทดสอบในระยะห่างระหว่างตงไม้ (Spacing) ที่ระยะ 30 40 และ 50 ซม. ตามลำดับ สำหรับการออกแบบเสาไม้ ตามรูปแบบในภาคผนวก (ก) กำลังการรับน้ำหนักของเสาโดย วิเคราะห์ได้ตามแนวทางที่ Leonhard Euler ได้เสนอไว้โดยการนำสมการ (Euler's Formula) มาใช้ในการคำนวณขนาดหน้าตัดเสาไม้ โดยแนะนำค่าตัวคุณความปลอดภัย Factor of Safety (F.S.) เท่ากับ 25 ให้จากการเปรียบเทียบกับค่าความน่าจะบิดของเสาไม้เนื่องจากการโก่งตัว (Buckling) ที่ช่วงการรับน้ำหนักระยะสั้นเนื่องจากแรงอัดที่ยอมรับได้ที่ระดับ 10^6 ($p_r=10^6$) โดยแบ่งประเภทการใช้น้ำหนักบรรทุกฯ ตามเกณฑ์ญี่ปุ่น เป็นที่พักอาศัย มีค่าเฉลี่ยน้ำหนักบรรทุกฯ 182.4 กก./ม.² สมประสิทธิ์การแปรผันเท่ากับ 0.186 อาคารสำนักงานมีค่าเฉลี่ยน้ำหนักบรรทุกฯ 350 กก./ม.² สมประสิทธิ์การแปรผันเท่ากับ 0.180 และโรงเรียน มีค่าเฉลี่ยน้ำหนักบรรทุกฯ 163.3 กก./ม.² สมประสิทธิ์การแปรผันเท่ากับ 0.133 ความหนาของพื้นไม้พฤกษ์คงที่ เท่ากับ 1 นิ้ว (2.54 ซม.) และนำเอาข้อมูลดังที่กล่าวมาทำการออกแบบขนาดหน้าตัดของเสาไม้พฤกษ์ ซึ่งเป็นขนาดที่ใส่แต่งแล้ว (Dressed Dimension) รายละเอียดของรั้นตอนการออกแบบแสดงไว้ในภาคผนวก ก พนกว่า

ในกรณีที่พิจารณาขนาดหน้าตัดคานกว้าง 2 นิ้ว (5.04 ซม.) 3 นิ้ว (7.62 ซม.) และระยะเริงของตงไม้เท่ากับ 30 40 และ 50 ซม. ความยาวคานที่ 2.50 3.00 และ 3.50 เมตร ซึ่งแบ่งตามประเภทการใช้งานของน้ำหนักบรรทุกฯ ของอาคารที่พักอาศัย อาคารสำนักงาน และโรงเรียน ตัวอย่างเช่น หากพิจารณาคานกว้าง 3 นิ้ว (7.62 ซม.) ความยาว คานเท่ากับ 3.50 เมตร เมื่อคำนวณออกแบบแล้ว จะได้ขนาดหน้าตัดของเสาไม้ที่ใส่แต่งแล้วโดยเลือกใช้ขนาดที่มีรายตามห้องตลาด คือ (5"x5"), (6"x6") (7"x7"), (8"x8") และ (9"x9") ตามลำดับ ตั้งรูปที่ 7.5 และตารางที่ 7.5



รูปที่ 7.5 ความสัมพันธ์ระหว่างความยาวของคานกับขนาดเสาไม้ แบ่งตามประเภท
น้ำหนักการใช้งานของอาคาร

ตารางที่ 7.5 ขนาดน้ำตัดของเสาไม้พฤกษ์ แบ่งตามประเภทของน้ำหนักบรรทุกจร

ประเภทของค่าอาคาร	ความสูงเสา (ม.)	ความยาวคาน (ม.)	น้ำตัดที่คำนวณได้ (คานไม้หนา 2 นิ้ว)	ขนาดน้ำตัดที่เลือกใช้ (คานไม้หนา 3 นิ้ว)
พักอาศัย	3.00	2.5	6½" x 6½"	6½" x 6½"
		3.0	7" x 7"	7" x 7"
		3.5	7½" x 7½"	7½" x 7½"
สำนักงาน	3.00	2.5	7½" x 7½"	7½" x 7½"
		3.0	8" x 8"	8" x 8"
		3.5	8½" x 8½"	8½" x 8½"
โรงเรียน	3.00	2.5	6½" x 6½"	6½" x 6½"
		3.0	7" x 7"	7" x 7"
		3.5	7½" x 7½"	7½" x 7½"

หมายเหตุ : ความสูงอาคารไม่เกิน 2 ชั้น ความสูงจากพื้นถึงพื้น 3.00 ม.

: ขนาดที่แนะนำเป็นขนาดภายนอกหลังการต่อไม้แล้ว (Dressed dimensions)

: ระยะเรียงของตงไม้ 0.50 ม. และความหนาของคานไม้ 2" และ 3"

7.2.4 สรุปผลการวิเคราะห์ (Discussion) การนำไม้พูกษ์มาใช้เป็นองค์อาคาร

7.2.4.1 วิจารณ์ผลการวิเคราะห์

จากการวิเคราะห์ความน่าจะบด (p_r) ขององค์อาคารไม้ในส่วนของตงหรือคานจะเห็นว่าเมื่อทำการออกแบบองค์อาคารไม้ตามมาตรฐาน ว.ส.ท. (2517)[15] จะทำให้เกิดค่าความน่าจะบดเมื่อขนาดตงหรือคานที่ได้มีค่าลดลง เมื่อระยะเรียงของตงหรือคานมีค่าเพิ่มขึ้น อันเนื่องมาจาก เมื่อระยะเรียง (Spacing) มีค่าเพิ่มขึ้นจะทำให้น้ำหนักที่กระทำกับตงหรือคานเพิ่มขึ้น (ขนาดพื้นที่ในการรับน้ำหนักเพิ่มขึ้น) เพื่อให้ค่าการโถงตัว (Deflection) อยู่ในพิกัดที่ระดับที่ยอมรับได้ (1 ใน 360 เท่าต่อหน่วยความยาว ในกรณีของน้ำหนักที่กระทำเป็นแบบสม่ำเสมอ (Uniform)) จึงต้องเพิ่มขนาดความลึกของตงหรือคานให้อยู่ในพิกัดที่กำหนด ในขณะที่ขนาดความลึกของตงหรือคานที่คำนวณได้ ไม่มีรายในท้องตลาด จึงจำเป็นต้องใช้ขนาดที่ใหญ่กว่า ซึ่งมีรายในท้องตลาด ทำให้น้ำหนักที่กระทำกับตงหรือคานเพิ่มขึ้นตาม จากค่าการโถงตัวที่มีค่าเพิ่มขึ้นทำให้ค่าความน่าจะบดของตงและคานจึงเพิ่มขึ้นตามไปด้วย สำหรับเสาที่เป็นเดียวกันเมื่อพื้นที่เพิ่มมากขึ้นมีผลทำให้น้ำหนักบรรทุกเพิ่มขึ้นตามและส่งผลให้ขนาดน้ำตัดเสาเพิ่มขึ้นด้วยเช่นกัน

7.2.4.2 ข้อแนะนำการใช้งาน

เนื่องไม้พูกษ์มีสีสวยงามและมีความเหมาะสมในการใช้เป็นองค์ประกอบของโครงสร้าง ของอาคาร จากผลการวิเคราะห์ความน่าเสื่อมขององค์อาคารไม้ในส่วนของตง คาน และเสา ซึ่งออกแบบตามมาตรฐาน ว.ส.ท. (2517) [15] เพื่อรับน้ำหนักบรรทุกตามเกณฑ์อยู่ดี 3 ประเภท คือ ที่พักอาศัย อาคารสำนักงาน และโรงเรียน ในรูปของค่าความน่าจะบด (p_r) [14] โดยแยกตามประเภทขององค์อาคาร ดังแสดงในตารางที่ 7.6

ตารางที่ 7.6 ขนาดที่เหมาะสมของไม้พูกษ์ในการใช้เป็นองค์อาคารส่วนต่างๆ

ชนิดของ องค์ประกอบ	ค่าความ น่าจะบด (p _r)	ขนาดน้ำตัดองค์อาคารส่วนต่างๆ		
		ที่พักอาศัย	สำนักงาน	โรงเรียน
ตง	10^{-4}	2-1½"X6" 2- 2"X5½" @ 0.50	2-1½"X8" 2- 2"X7" @ 0.50	2-1½"X6" 2- 2"X5½" @ 0.50
คาน	10^{-4}	2- 2"X11"	2- 2"X13"	2- 2"X10½"
		2- 3"X11"	2- 3"X13"	2- 3"X10½"
เสา	10^{-6}	7½" X 7½"	8½"X8½"	7½" X 7½"

หมายเหตุ : ความสูงอาคารไม้เกิน 2 ชั้น ระยะระหว่างเสา 3.50 ม. ความสูงพื้นถึงพื้น 3.00 ม.

: ขนาดที่แนะนำเป็นขนาดภายนอกหลังการแต่งไส้แล้ว (Dressed dimensions)

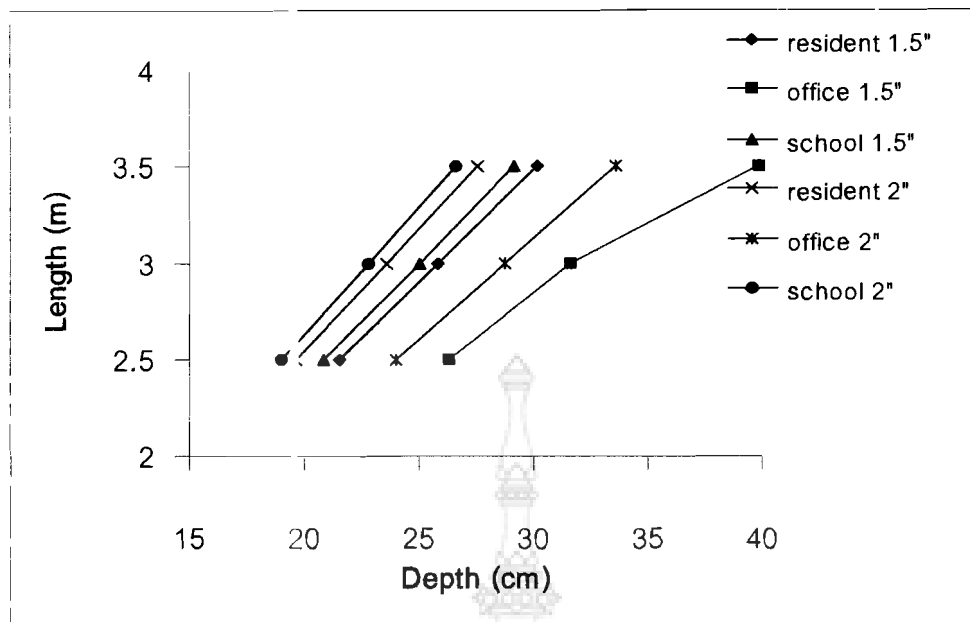
7.3 การนำไม้จามจุรีมาใช้เป็นองค์อาคารไม้

ผลการวิเคราะห์สามารถแบ่งตามประเภทขององค์อาคารไม้ได้ดังต่อไปนี้

7.3.1 椽ไม้ (Joist)

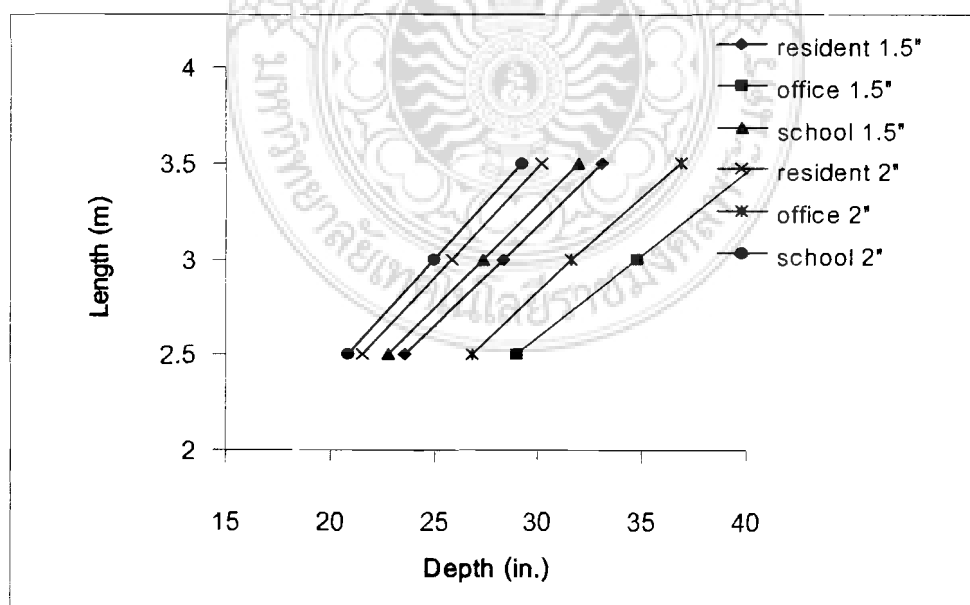
การออกแบบขนาดหน้าตัดของตงไม้จามจุรีออกแบบตามมาตรฐาน ว.ส.ท.(EIT CODE) โดยใช้ข้อมูลที่ได้จากการทดสอบและวิเคราะห์คุณสมบัติทางสถิติทางด้านเชิงกลของไม้จามจุรี ที่ช่วงแห่งความเรื้อรังร้อยละ 99 โดยการทดสอบโมดูลัสยึดหยุ่นมีค่าเท่ากับ $49,997 \text{ กก./ซม.}^2$ ให้ค่าสัมประสิทธิ์การแปรผันเท่ากับ 0.202 การทดสอบโมดูลัสแตกหักมีค่าเท่ากับ 392 กก./ซม.^2 ให้ค่าสัมประสิทธิ์การแปรผันเท่ากับ 0.188 การทดสอบแรงเฉือนนานเฉียนมีค่าเท่ากับ 129 กก./ซม.^2 ให้ค่าสัมประสิทธิ์การแปรผันเท่ากับ 0.171 การทดสอบความถ่วงจำเพาะมีค่าเท่ากับ 0.51 ให้ค่าสัมประสิทธิ์การแปรผันเท่ากับ 0.086 กำหนดค่าความนำร่องวัสดุเนื่องจากการโถงตัวของตงไม้จามจุรีในพิกัดที่ยอมรับได้ที่ระดับ ($p_r = 10^4$) [14] โดยพิจารณาตัวแปรเชิงกำหนด มีขนาดความกว้างของตงไม้ 2 ขนาดคือ $1\frac{1}{2}$ นิ้ว (3.81 ซม.) และ 2 นิ้ว (5.08 ซม.) ความยาวของตงไม้ 3 ขนาดคือ 2.50, 3.00 และ 3.50 เมตรโดยที่ขนาดและความยาวดังกล่าว จะผ่านการทดสอบในระยะห่างระหว่างตงไม้ (Spacing) ที่ระยะ 30, 40 และ 50 ซม. ตามลำดับ สำหรับการออกแบบตงไม้ ตามรูปแบบในภาคผนวก (ก) พิจารณาฐานรองรับ เป็นแบบช่วงเดียวธรรมด้าสำหรับบ้านพักอาศัย มีค่าเฉลี่ยน้ำหนักบรรทุกจร 182.4 กก./ม. 2 สัมประสิทธิ์การแปรผันเท่ากับ 0.186 อาคารสำนักงาน มีค่าเฉลี่ยน้ำหนักบรรทุกจร 350 กก./ม. 2 สัมประสิทธิ์การแปรผันเท่ากับ 0.180 และอาคารโรงเรียน มีค่าเฉลี่ยน้ำหนักบรรทุกจร 163.3 กก./ม. 2 สัมประสิทธิ์การแปรผันเท่ากับ 0.133 มีความหนาของพื้นไม้พักทุกชั้นที่เท่ากับ 1 นิ้ว (2.54 ซม.) จากการนำเอาข้อมูลดังกล่าวมาออกแบบขนาดหน้าตัดตงไม้จามจุรีเป็นขนาดที่ใส่แต่งแล้วรายละเอียดขั้นตอนการออกแบบแสดงในภาคผนวก ก. พบว่า

ก. ในกรณีที่พิจารณาขนาดความกว้าง $1\frac{1}{2}$ นิ้ว (3.81 ซม.) 2 นิ้ว (5.04 ซม.) และระยะเรียงช่องตงไม้เท่ากับ 30 ซม. ที่ความยาวตั้งมากที่สุดเท่ากับ 3.5 เมตร ซึ่งเมื่อแบ่งตามประเภทการใช้งาน ช่องน้ำหนักบรรทุกจรของอาคารที่พักอาศัย อาคารสำนักงาน และโรงเรียนจะได้ขนาดตงไม้ที่ใส่แต่ง แล้ว ($1\frac{1}{2}" \times 6"$, $2" \times 5\frac{1}{2}"$), ($1\frac{1}{2}" \times 7\frac{1}{2}"$, $2" \times 7"$), ($1\frac{1}{2}" \times 6\frac{1}{2}"$, $2" \times 5\frac{1}{2}"$) ตามลำดับดังรูปที่ 7.6 และตารางที่ 7.7



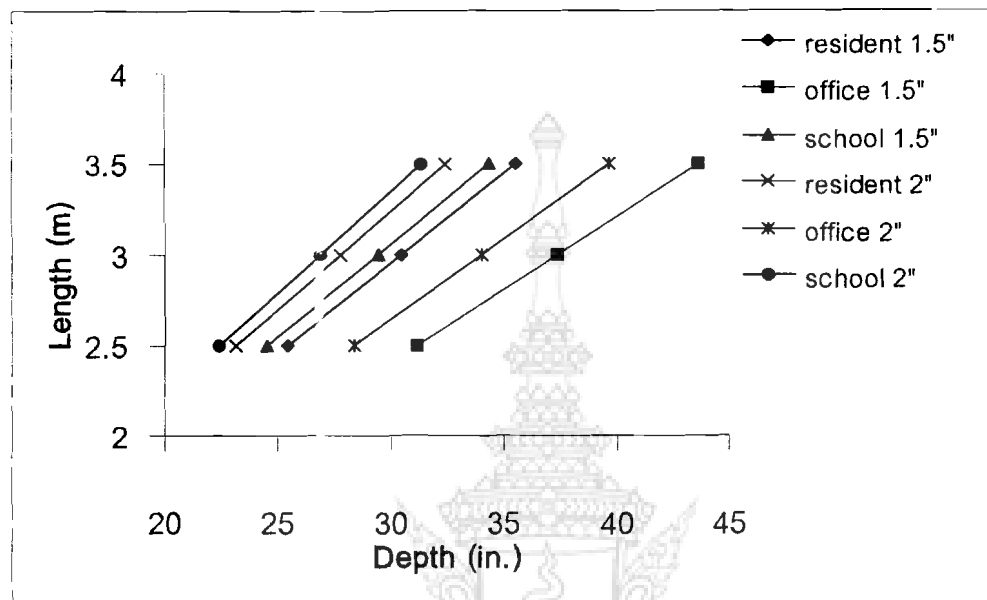
รูปที่ 7.6 ความสัมพันธ์ระหว่างความยาวกับความลึกของตงไม้ ตามประเภทของอาคาร
สำหรับตงไม้พุกซึ่งที่ระยะเรียง 30 ซม.

๑. ในกรณีที่พิจารณาขนาดความกว้าง $1\frac{1}{2}$ นิ้ว (3.81 ซม.) 2 นิ้ว (5.04 ซม.) และระยะเรียงของตงไม้เท่ากับ 40 ซม. ที่ความยาวตงมากที่สุดเท่ากับ 3.5 เมตร ซึ่งเมื่อแบ่งตามประเภทการใช้งานของน้ำหนักบรรทุกๆ ที่พักอาศัย สำนักงาน และโรงเรียนได้ขนาดตงไม้ที่ใส่แต่งแล้ว ($1\frac{1}{2}'' \times 7''$, $2'' \times 6''$), ($1\frac{1}{2}'' \times 8''$, $2'' \times 7\frac{1}{2}''$), ($1\frac{1}{2}'' \times 6\frac{1}{2}''$, $2'' \times 6''$) ตามลำดับ ดังรูปที่ 7.7 และตารางที่ 7.7



รูปที่ 7.7 ความสัมพันธ์ระหว่างความยาวกับความลึกของตงไม้ ตามประเภทของอาคาร
สำหรับตงไม้พุกซึ่งที่ระยะเรียง 40 ซม.

ค. ในกรณีที่พิจารณาขนาดความกว้าง $1\frac{1}{2}$ นิ้ว (3.81 ซม.) 2 นิ้ว (5.04 ซม.) และระยะเรียงช่องตงไม่เท่ากับ 50 ซม. ที่ความยาวตงมากที่สุดเท่ากับ 3.5 เมตร ซึ่งเมื่อแบ่งตามประเภทการใช้งานของน้ำหนักบรรทุกจร ที่พักอาศัย สำนักงานและโรงเรียนจะได้ขนาดตงไม่เท่ากันดังรูปที่ 7.8 และตารางที่ 7.7



รูปที่ 7.8 ความสัมพันธ์ระหว่างความยาวกับความลึกของตงไม้ ตามประเภทของอาคาร สำหรับตงไม้พูกซ์ ที่ระยะเรียง 50 ซม.

ตารางที่ 7.7 ขนาดหน้าตัดตงไม้ตามจรี แบ่งตามประเภทของน้ำหนักบรรทุกจร

ประเภทของตัวอาคาร	ความยาวตง (เมตร)	ระยะเรียงตง (ซม.)	จำนวน (ห้อง)	หน้าตัดที่ต้องการ (ไม่นหาน $1\frac{1}{2}$ นิ้ว)	หน้าตัดที่ต้องการ (ไม่นหาน 2 นิ้ว)
อาคารพักอาศัย	2.5	30	2	$1\frac{1}{2}'' \times 4\frac{1}{2}''$	$2'' \times 4''$
		40	2	$1\frac{1}{2}'' \times 5''$	$2'' \times 4\frac{1}{2}''$
		50	2	$1\frac{1}{2}'' \times 5\frac{1}{2}''$	$2'' \times 5''$
	3	30	2	$1\frac{1}{2}'' \times 5\frac{1}{2}''$	$2'' \times 5''$
		40	2	$1\frac{1}{2}'' \times 6''$	$2'' \times 5\frac{1}{2}''$
		50	2	$1\frac{1}{2}'' \times 6\frac{1}{2}''$	$2'' \times 5\frac{1}{2}''$
	3.5	30	2	$1\frac{1}{2}'' \times 6''$	$2'' \times 5\frac{1}{2}''$
		40	2	$1\frac{1}{2}'' \times 7''$	$2'' \times 6''$
		50	2	$1\frac{1}{2}'' \times 7\frac{1}{2}''$	$2'' \times 6\frac{1}{2}''$

ตารางที่ 7.7 ขนาดหน้าตัดคงไม้จามจุรี แบ่งตามประเภทของน้ำหนักบรรทุกจร (ต่อ)

ประเภทของศักดิ์	ความยาวตัด (เมตร)	ระยะเรียงตง (ซม.)	จำนวน (ห้อง)	หน้าตัดที่ต้องการ (ไม้หนา $1\frac{1}{2}$ นิ้ว)	หน้าตัดที่ต้องการ (ไม้หนา 2 นิ้ว)
อาคารสำนักงาน	2.5	30	2	$1\frac{1}{2}'' \times 5\frac{1}{2}''$	$2'' \times 5''$
		40	2	$1\frac{1}{2}'' \times 6''$	$2'' \times 5\frac{1}{2}''$
		50	2	$1\frac{1}{2}'' \times 6\frac{1}{2}''$	$2'' \times 6''$
	3	30	2	$1\frac{1}{2}'' \times 6\frac{1}{2}''$	$2'' \times 6''$
		40	2	$1\frac{1}{2}'' \times 7''$	$2'' \times 6\frac{1}{2}''$
		50	2	$1\frac{1}{2}'' \times 7\frac{1}{2}''$	$2'' \times 7''$
	3.5	30	2	$1\frac{1}{2}'' \times 7\frac{1}{2}''$	$2'' \times 7''$
		40	2	$1\frac{1}{2}'' \times 8''$	$2'' \times 7\frac{1}{2}''$
		50	2	$1\frac{1}{2}'' \times 9''$	$2'' \times 8''$
อาคารโรงเรียน	2.5	30	2	$1\frac{1}{2}'' \times 4\frac{1}{2}''$	$2'' \times 4''$
		40	2	$1\frac{1}{2}'' \times 5''$	$2'' \times 4\frac{1}{2}''$
		50	2	$1\frac{1}{2}'' \times 5''$	$2'' \times 4\frac{1}{2}''$
	3	30	2	$1\frac{1}{2}'' \times 5''$	$2'' \times 5''$
		40	2	$1\frac{1}{2}'' \times 5\frac{1}{2}''$	$2'' \times 5''$
		50	2	$1\frac{1}{2}'' \times 6''$	$2'' \times 5\frac{1}{2}''$
	3.5	30	2	$1\frac{1}{2}'' \times 6\frac{1}{2}''$	$2'' \times 5\frac{1}{2}''$
		40	2	$1\frac{1}{2}'' \times 6\frac{1}{2}''$	$2'' \times 6''$
		50	2	$1\frac{1}{2}'' \times 7''$	$2'' \times 6\frac{1}{2}''$

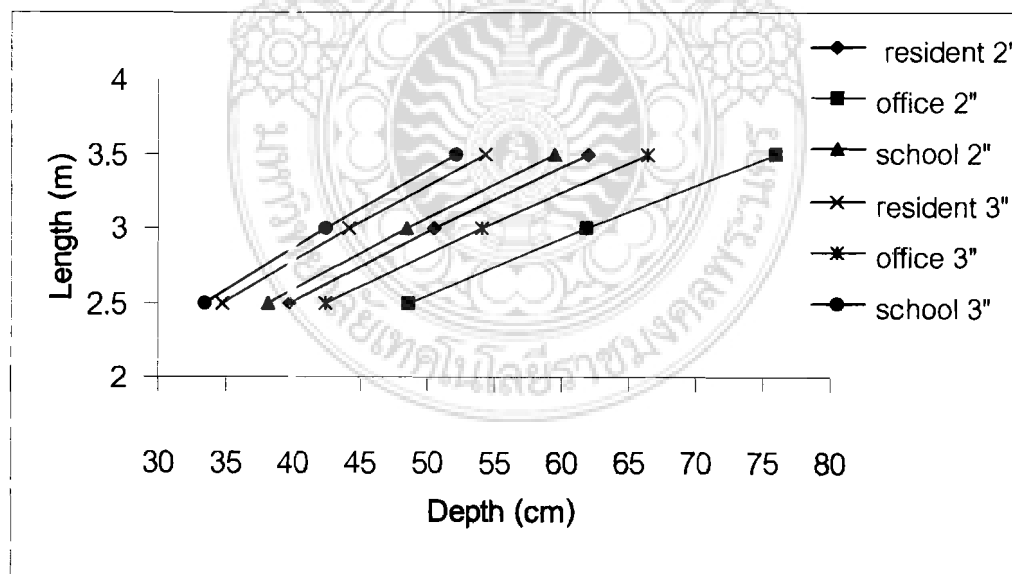
หมายเหตุ : ขนาดที่แน่นำเป็นขนาดภายนอกการตั้งไว้แล้ว (Dressed dimensions)

7.3.2 คานไม้ (Beam)

การออกแบบขนาดหน้าตัดคานไม้พักษ์ออกแบบตามมาตรฐาน ว.ส.ท. (EIT CODE) [15] โดยใช้ร้อยละที่ได้จากการทดสอบและวิเคราะห์คุณสมบัติทางสอดคล้องไม้จามจุรี ที่ช่วงแห่งความเรื้อรังอยู่ละ 99 โดยการทดสอบไม้ตู้ล็อสตีย์ดยุนเมื่อค่าเท่ากับ $54,692$ กก./ซม.² ให้ค่าสมประสิทธิ์การแปรผันเท่ากับ 0.208 การทดสอบไม้ตู้ล็อสแตกหักเมื่อค่าเท่ากับ 384.325 กก./ซม.² ให้ค่าสมประสิทธิ์การแปรผันเท่ากับ 0.177 การทดสอบแรงเฉือนขนาดเสี้ยนเมื่อค่าเท่ากับ 51.658 กก./ซม.² ให้ค่าสมประสิทธิ์การแปรผันเท่ากับ 0.193 การทดสอบความถ่วงจำเพาะเมื่อค่าเท่ากับ 0.368 ให้ค่าสมประสิทธิ์การแปรผันเท่ากับ 0.083 กำหนดค่าความนำจะวินิตเนื่องจากกราฟกล่องตัวของคานไม้ กำลังรับแรงตัด และกำลังรับแรงเฉือน ให้อยู่ในพิกัดที่ยอมรับได้ที่ระดับ ($p_t = 10^4$), ($p_t = 10^6$) และ ($p_t = 10^7$)

[14] ตามลำดับ โดยพิจารณาตัวแปรเชิงกำหนด มีขนาดความกว้างของตงและคานไม้อย่างละ 2 ขนาดคือ $1\frac{1}{2}$ นิ้ว (3.81 ซม.) 2 นิ้ว (5.04 ซม.) และ 3 นิ้ว (7.62 ซม.) ตามลำดับ ความยาวของคานไม้ใช้ 3 ขนาดคือ 2.50, 3.00 และ 3.50 เมตร โดยที่ขนาดและความยาวดังที่กล่าวมา จะผ่านการทดสอบในระยะห่างระหว่างตงไม้ (Spacing) ที่ระยะ 30 40 และ 50 ซม. ตามลำดับ สำหรับการออกแบบคานไม้ตามรูปแบบในภาคผนวก (ก) พิจารณาฐานรองรับเป็นแบบช่วงเดียวธรรมชาติ สำหรับบ้านพักอาศัย มีค่าเฉลี่ยน้ำหนักบรรทุกจร 182.4 กก./ม.² สัมประสิทธิ์การแปรผันเท่ากับ 0.186 อาคารสำนักงาน มีค่าเฉลี่ยน้ำหนักบรรทุกจร 350 กก./ม.² สัมประสิทธิ์การแปรผันเท่ากับ 0.180 และโรงเรียน มีค่าเฉลี่ยน้ำหนักบรรทุกจร 163.3 กก./ม.² สัมประสิทธิ์การแปรผันเท่ากับ 0.133 มีความหนาของพื้นไม้พูกซ์คงที่เท่ากับ 1 นิ้ว (2.54 ซม.) และจากการนำเอาข้อมูลดังที่กล่าวมาทำการออกแบบหาขนาดหน้าตัดของคานไม้ตามอธิบายเป็นขนาดที่ใส่แต่งแล้ว รายละเอียดของขั้นตอนการออกแบบแสดงไว้ในภาคผนวก ก) พบว่า

ในกรณีที่พิจารณาขนาดหน้าตัดคานกว้าง 2 นิ้ว (5.04 ซม.) 3 นิ้ว (7.62 ซม.) และระยะเรียงของตงไม้เท่ากับ 50 ซม. ความยาวคาน 3.50 เมตร ซึ่งเมื่อแบ่งตามประเภทการใช้งานของน้ำหนักบรรทุกจรของอาคารที่พักอาศัย อาคารสำนักงานและโรงเรียนแล้วจะได้ขนาดหน้าตัดของคานไม้ (คานคู่) ที่ใส่แต่งแล้วโดยเลือกใช้ขนาดที่มีข่ายตามท้องตลาดคือ (2"x12½", 3"x11"), (2"x15", 3"x13½"), (2"x12"), (3"x10½") ตามลำดับ ดังรูปที่ 7.9 และตาราง ที่ 7.8



รูปที่ 7.9 ความสัมพันธ์ระหว่างความยาวกับความลึกของคานไม้ แบ่งตามประเภทน้ำหนักการใช้งานของอาคาร

ตารางที่ 7.8 ขนาดหน้าตัดของคานไม้จามจุรี (คานคู่) แบ่งตามประเภทของน้ำหนักบรรทุกจร

ประเภทของคาน อาคาร	ความยาวคาน (ซม.)	จำนวน (ห่อ)	หน้าตัดที่ต้องการ (ไม้หนา 2 นิ้ว)	หน้าตัดที่ต้องการ (ไม้หนา 3 นิ้ว)
พักอาศัย	2.5	2	2"x8"	3"x7"
	3.0	2	2"x10"	3"x9"
	3.5	2	2"x12½"	3"x11"
สำนักงาน	2.5	2	2"x10"	3"x8½"
	3.0	2	2"x12½"	3"x11"
	3.5	2	2"x15"	3"x13½"
โรงเรียน	2.5	2	2"x8"	3"x7"
	3.0	2	2"x10"	3"x8½""
	3.5	2	2"x12"	3"x10½""

หมายเหตุ : ขนาดที่แนะนำเป็นขนาดภายนอกหลังการแต่งไสแล้ว (Dressed dimensions)

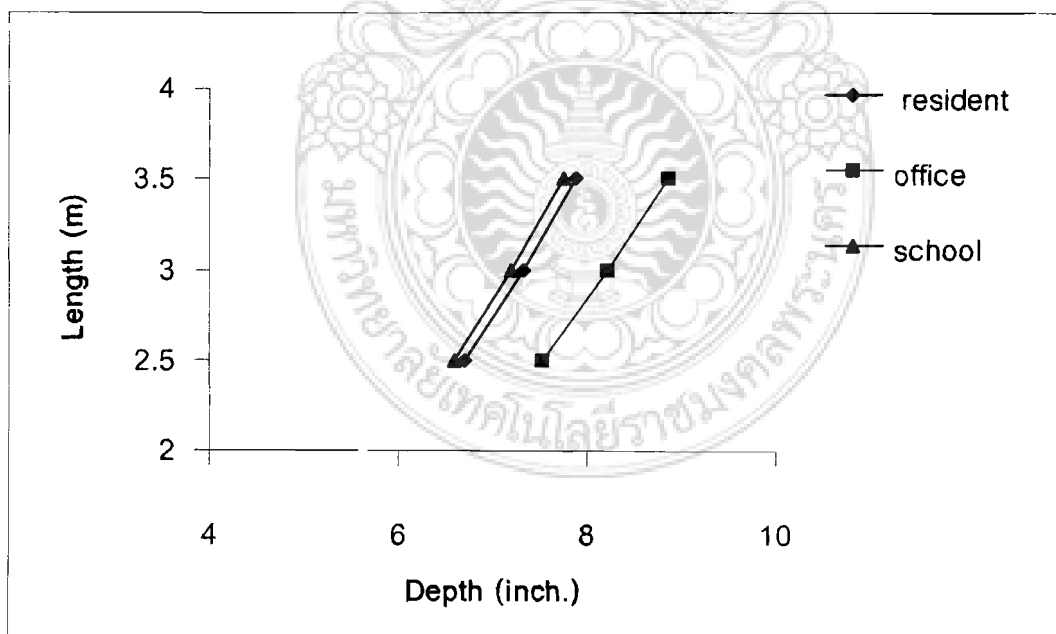
: ระยะเรียงของตง 0.50 เมตร

7.3.3 เสาไม้ (Column)

การออกแบบขนาดหน้าตัดคานไม้พฤกษ์ออกแบบตามมาตรฐาน ว.ส.ท. (EIT CODE) โดยให้ข้อมูลที่ได้ จากการทดสอบและวิเคราะห์คุณสมบัติทางสถิติทางด้านเชิงกลของไม้จามจุรี ที่ช่วงแห่งความเรื่องมันร้อยละ 99 โดยการทดสอบในครุลลส์ยืดหยุ่นมีค่าเท่ากับ 49,997 กก./ซม.² ให้ค่าสมประสิทธิ์การแปรผันเท่ากับ 0.202 การทดสอบในครุลลส์แทกนั้มีค่าเท่ากับ 392 กก./ซม.² ให้ค่าสมประสิทธิ์การแปรผันเท่ากับ 0.188 การทดสอบแรงเฉือนนานเดี่ยวนมีค่าเท่ากับ 129 กก./ซม.² ให้ค่าสมประสิทธิ์การแปรผันเท่ากับ 0.171 การทดสอบความถ่วงจำเพาะมีค่าเท่ากับ 0.51 ให้ค่าสมประสิทธิ์การแปรผันเท่ากับ 0.086 กำหนดค่าความนำร่องวิบัติเนื่องจากการโก่งตัว (Buckling) ของเสาไม้ ให้อยู่ในพิกัดที่ยอมรับได้ที่ระดับ ($p_r = 10^6$) [14] ตามลำดับ โดยพิจารณาตัวแปรเริงกำหนด โดยให้ขนาดความกว้างของตงและคานไม้อายุ่ละ 2 ขนาดคือ 1½ นิ้ว (3.81 ซม.) 2 นิ้ว (5.04 ซม.) และ 3 นิ้ว (7.62 ซม.) ตามลำดับ ความยาวของตงและคานไม้ 3 ขนาดคือ 2.50, 3.00 และ 3.50 เมตร โดยที่ขนาดและความยาวตั้งก่อนๆ จะผ่านการทดสอบในระยะห่างระหว่างตงไม้ (Spacing) ที่ระยะ 30 40 และ 50 ซม. ตามลำดับ สำหรับการออกแบบเสาไม้ ตามรูปแบบในภาคผนวก (ก) และ (ข) กำลังการรับน้ำหนักของเสาโดยคู่ วิเคราะห์ได้ตามแนวทางที่ Leonhard Euler ได้เสนอไว้โดยการนำสมการ (Euler's Formula) มาใช้ในการคำนวณหาขนาดหน้าตัดเสาไม้ โดยแนะนำค่าตัวคูณความปลอดภัย Factor of Safety

(FS) เท่ากับ 25 ได้จากการเปรียบเทียบกับค่าความน่าจะวินาศีของเสาไม้ เมื่อจากการโก่งเดาะ (Bucking) ที่ช่วงการรับน้ำหนักจะยืนตัวเนื่องจากแรงอัดที่ยอมรับได้ที่ระดับ 10^{-6} ($p_r = 10^{-6}$) โดยแบ่งประเภทการใช้น้ำหนักบรรทุกตามเทคนิคญี่ปุ่น เป็นที่พอกอาศัยมีค่าเฉลี่ยน้ำหนักบรรทุกจร 182.4 กก./ม.² สัมประสิทธิ์การแปรผันเท่ากับ 0.186 อาคารสำนักงานมีค่าเฉลี่ยน้ำหนักบรรทุกจร 350 กก./ม.² สัมประสิทธิ์การแปรผันเท่ากับ 0.180 และโรงเรียนมีค่าเฉลี่ยน้ำหนักบรรทุกจร 163.3 กก./ม.² สัมประสิทธิ์การแปรผันเท่ากับ 0.133 มีความหมายของพื้นไม้พฤกษ์คงที่เท่ากับ 1 นิ้ว (2.54 ซม.) และจากการนำเอาข้อมูลดังที่กล่าวมา ใช้เป็นข้อมูลสำหรับการออกแบบขนาดหน้าตัดของเสาไม้ตามที่ริชี่งเป็นขนาดที่ใส่แต่งแล้ว (Dressed Dimension) รายละเอียดของขั้นตอนการออกแบบแสดงไว้ในภาคผนวก ก) พบว่า

ในกรณีที่พิจารณาขนาดหน้าตัดคานกว้าง 2 นิ้ว (5.04 ซม.) 3 นิ้ว (7.62 ซม.) และระยะเรียงของตงไม้เท่ากับ 30 40 และ 50 ซม. ความยาวคานที่ 2.50 3.00 และ 3.50 เมตร ซึ่งเมื่อแบ่งตามประเภทการใช้งานของน้ำหนักบรรทุกจรของ อาคารที่พอกอาศัย อาคารสำนักงานและโรงเรียนแล้วจะได้ขนาดหน้าตัดของเสาไม้ที่ใส่แต่งแล้วเมื่อระยะเรียงตง 0.50 ม. โดยจะใช้ขนาดที่มีข่ายตามห้องตลาดคือ (8"x8", 8"x8"), (9"x9", 9"x9"), (8"x8", 8"x8") ตามลำดับ ดังรูปที่ 7.10 และตารางที่ 7.9



รูปที่ 7.10 ความสัมพันธ์ระหว่างความยาวของคานกับขนาดเสาไม้ แบ่งตามประเภทน้ำหนักการใช้งานของอาคาร

ตารางที่ 7.9 ขนาดหน้าตัดของเสาไม้จามจุรี แบ่งตามประเภทของน้ำหนักบรรทุกฯ

ประเภทองค์อาคาร	ความสูงเสา (ม.)	ความยาวคาน (ม.)	หน้าตัดที่ต้องการ (ไม้คานหนา 2 นิ้ว)	หน้าตัดที่ต้องการ (ไม้คานหนา 3 นิ้ว)
พักอาศัย	3.00	2.5	7"x7"	7"x7"
		3.0	7½" x 7½"	7½" x 7½"
		3.5	8" x 8"	8" x 8"
สำนักงาน	3.00	2.5	7½" x 7½"	7½" x 7½"
		3.0	8½" x 8½"	8½" x 8½"
		3.5	9" x 9"	9" x 9"
โรงเรียน	3.00	2.5	7"x7"	7"x7"
		3.0	7½" x 7½"	7½" x 7½"
		3.5	8" x 8"	8" x 8"

หมายเหตุ : ความสูงอาคารไม่เกิน 2 ชั้น ความสูงจากพื้นถึงพื้น 3.00 ม.

: ขนาดที่แนะนำเป็นขนาดภายนอกหลังการแต่งไส้แล้ว (Dressed dimensions)

7.3.4 สรุปผลวิจารณ์ (Discussion) การนำไม้จามจุรีมาใช้เป็นองค์อาคาร

7.3.4.1 วิจารณ์ผลการวิเคราะห์

จากการวิเคราะห์ความน่าจะวิบัติ (P_f) ขององค์อาคารไม้ในส่วนของตงหรือคานจะเห็นว่าเมื่อทำการออกแบบองค์อาคารไม้ตามมาตรฐาน ว.ส.ท.(2517) [15] จะทำให้ค่าความน่าจะวิบัติของขนาด ตงหรือคานที่ได้มีค่าลดลง เมื่อระยะเรียงของตงหรือคานมีค่าเพิ่มขึ้น อันเนื่องมาจาก เมื่อระยะเรียง (Spacing) มีค่าเพิ่มขึ้นจะทำให้น้ำหนักที่กระทำกับตงหรือคานเพิ่มขึ้น (ขนาดพื้นที่ในการรับน้ำหนัก เพิ่มขึ้น) เพื่อให้ค่าการโงงตัว (Deflection) อยู่ในพิกัดที่ระดับที่ยอมรับได้ (1 ใน 360 เท่าต่อหน่วย ความยาว ในกรณีของน้ำหนักที่กระทำเป็นแบบสม่ำเสมอ (Uniform)) จึงต้องเพิ่มขนาดความลึกของ ตงหรือคานให้อยู่ในพิกัดที่กำหนด ในขณะที่ขนาดความลึกของตงหรือคานที่คำนวณได้ ไม่มีรายใน ห้องคลาด จึงจำเป็นต้องใช้ขนาดที่ใหญ่กว่า ซึ่งมีรายในห้องคลาด ทำให้น้ำหนักที่กระทำกับตงหรือ คานเพิ่มขึ้นตาม จากค่าการโงงตัวที่มีค่าเพิ่มขึ้นทำให้ค่าความน่าจะวิบัติของตงและคานจึงเพิ่มขึ้น ตามไปด้วย สำหรับเสา ก็เช่นเดียวกันเมื่อพื้นที่เพิ่มมากขึ้นมีผลทำให้น้ำหนักบรรทุกเพิ่มขึ้นตาม และ ส่งผลให้ขนาดหน้าตัดเสาเพิ่มขึ้นด้วยเช่นกัน

7.3.4.2 ข้อแนะนำการใช้งาน

เนื้อไม้จามจุรีมีสีสวยงามและมีความเหมาะสมในการใช้เป็นองค์ประกอบของโครงสร้าง ของอาคาร จากผลการวิเคราะห์ความนำเข้าดีอีขององค์อาคารไม้ในส่วนของตง คาน และเสา ซึ่งออกแบบตามมาตรฐาน ว.ส.ท. (2517) เพื่อรับน้ำหนักบรรทุกจากตามเทคนิคญี่ปุ่น 3 ประเภท คือ ที่พักอาศัย อาคารสำนักงาน และโรงเรียน ในรูปของค่าความนำเข้าวิบัติ (p_i) [14] โดยแยกตามประเภทขององค์อาคาร ดังแสดงในตารางที่ 7.10

ตารางที่ 7.10 ขนาดที่เหมาะสมของไม้จามจุรีในการใช้เป็นองค์อาคารส่วนต่างๆ

ชนิดของ องค์ประกอบ	ค่าความ นำเข้าวิบัติ (p_i)	ขนาดหน้าตัดองค์อาคารส่วนต่างๆ		
		ที่พักอาศัย	สำนักงาน	โรงเรียน
ตง	10^{-4}	2-1½" X 7½"	2-1½" X 9"	2-1½" X 7"
		2-2" X 6½" @ 0.50	2- 2" X 8" @ 0.50	2-2" X 6½" @ 0.50
		2 - 2" X 12½"	2 - 2" X 15"	2 - 2" X 12"
คาน	10^{-4}	2 - 3" X 11"	2 - 3" X 13½"	2 - 3" X 10½"
		8" X 8"	9" X 9"	8" X 8"
เสา	10^{-6}			

หมายเหตุ : ความสูงอาคารไม้เกิน 2 ชั้น ระยะระหว่างเสา 3.50 ม. ความสูงพื้นถึงพื้น 3.00 ม.

: ขนาดที่แนะนำเป็นขนาดภายนอกหลังการแต่งไส้แล้ว (Dressed dimensions)

บทที่ 8

สรุปผลการวิจัยและข้อเสนอแนะ (Conclusion and Recommendation)

8.1 สรุปผลการวิจัย

งานวิจัยนี้ได้ทำการวิเคราะห์ความน่าเสี่ยงขององค์กรอาคารไม้รังประกอบด้วย ตง คาน และ เสา สำหรับอาคารที่พักอาศัย อาคารสำนักงาน และอาคารโรงเรียน โดยนำเสนอผลการวิจัยในรูปแบบของกรณีที่ไม่เป็นอย่างที่คาดการณ์ไว้ โดยนำเสนอผลการทดสอบคุณสมบัติทางกายภาพ และเชิงกลของไม้พฤกษ์และไม้จามจุรีด้วยซอฟต์แวร์ CESTTEST (Civil Engineering Statistical TEST) [12] เพื่อหาคุณสมบัติทางสถิติของข้อมูลทางวิศวกรรมของไม้ทั้งสองชนิดในภาคผนวก ๑ และออกแบบขนาดหน้าตัดองค์กรอาคาร ตัวแปรที่นำมาพิจารณาประกอบด้วย ระยะเรียงตง ความกว้างของตง คาน และเสา ความยาวของตง คาน และเสา ตัวแปรสูมที่พิจารณาได้แก่ มิครัสตีย์เดนยุน และหนันก บรรทุกๆ สมมติให้มีการแยกแบบปกติ การวิเคราะห์ความน่าเสี่ยงถือใช้ค่าจำกัดด้านการโถงตัว สำหรับตง และคาน โดยกำหนดค่าความน่าจะวินิจฉัยเป็น 10^{-4} สำหรับเสาใช้เงื่อนไขการโถงเดา (Buckling) โดยกำหนดค่าความน่าจะวินิจฉัยเป็น 10^{-6} ออกแบบขนาดหน้าตัดขององค์กรอาคารไม้ด้วยวิธี ปกติที่ใช้กันในปัจจุบันในภาคผนวก ๑ และ ๒ ซึ่งได้คำตอบตรงกันเมื่อใช้ซอฟต์แวร์ WCCAL [8-10] รวมถึงชาร์ตออกแบบองค์กรอาคารโดยอัตราส่วนปลดล็อก ๗๙ [9] ซึ่งเป็นชาร์ตที่ใช้ได้ง่ายและสะดวกต่อการใช้งาน ผลการศึกษาได้ข้อสรุปดังต่อไปนี้คือ

1. ตัวแปรเรืองน้ำจะเป็นที่มีผลต่อขนาดหน้าตัดมากที่สุด คือ ต้นประสิทธิ์การแปรผันของ มิครัสตีย์เดนยุน และสัมประสิทธิ์การแปรผันของหนันกบรรทุกๆ ตามลำดับ
2. จากการศึกษาตัวแปรเรืองกำหนดพบร่วมกับความกว้างของตงและคานเพิ่มขึ้น จะส่งผลให้ ความลึกของตงและคานลดลง ในขณะที่ระยะเรียงตง ความยาวของตงและคาน ค่าเฉลี่ยของหนันก บรรทุกๆ เพิ่มขึ้น จะทำให้ ความลึกของตงและคาน เพิ่มขึ้นด้วย
3. เมื่อพิจารณากรณีของตงและคานในสภาวะชีดจำกัดด้านการใช้งาน ($p_r = 10^{-4}$) จะเป็น ค่าที่ควบคุมพิกัดการโถงตัวของตงและคาน เมื่อเทียบกับหน่วยแรงดึงดูดที่ยอมให้สภาวะชีดจำกัดเดิง ประตาย ($p_r = 10^{-6}$) และในทำนองเดียวกันกรณีของเสาในสภาวะชีดจำกัดเดิงประตาย ($p_r = 10^{-6}$) จะ ให้เป็นค่าควบคุมการโถงเดา(Buckling) ของเสา
4. ขั้นตอนการออกแบบขนาดหน้าตัดขององค์กรอาคารไม้ด้วยวิธีปกติที่ใช้กันอยู่ในปัจจุบัน สำหรับหน้าตัดไม้และตัวคุณสมบัติทางกายภาพ FS คำตอบที่ได้มีค่าเท่ากับผลที่ได้จากการใช้ซอฟต์แวร์ WCCAL และชาร์ตสำหรับออกแบบค่า FS ภาคผนวก ๑

5. สามารถหาอัตราส่วนปลอดภัย (Safety Factor, FS) จากความสัมพันธ์แบบกำลังสอง (Quadratic) ซึ่งความสัมพันธ์ดังกล่าวอยู่ในรูปสัมประสิทธิ์การแปรผันของความต้านทานเชิงโครงสร้าง (COV_R) สัมประสิทธิ์การแปรผันของแรงที่กระทำต่อโครงสร้าง (COV_S) อัตราส่วนปลอดภัย (FS) และตัวนี้ ความปลอดภัย β โดยเมื่อ COV_R และ COV_S เพิ่มขึ้น จะทำให้ FS เพิ่มขึ้นด้วย

6. อัตราส่วนปลอดภัยของโครงสร้างนั้นไม่ได้ขึ้นอยู่กับ ประเภทขององค์อาคาร ความลึก ความยาว ระยะเรียงหรือคุณสมบัติเชิงกลของไม้ แต่จะขึ้นอยู่กับคุณสมบัติทางสถิติของไม้ และ คุณสมบัติทางสถิติของแรงที่กระทำต่อโครงสร้างเท่านั้น

7. ผลที่ได้จากการทดสอบคุณสมบัติทางกายภาพและเชิงกลของไม้พฤกษ์และไม้จามจุรี เมื่อเปรียบเทียบกับเกณฑ์ในการจำแนกในตามมาตรฐานของ ว.ส.ท. [15] ซึ่งจัดอยู่ในเกณฑ์ของไม้ เนื้ออ่อนมาก ดังนั้นในการนำไปส่องชนิดนี้ไปรั้งงานโครงสร้างจำเป็นต้องใช้ร้อมูลนี้ประกอบแบบ

8. วิธีการออกแบบองค์อาคารนี้ ได้ครอบคลุมข้อมูลทางวิศวกรรมในประเทศไทย ดังนั้น สามารถทำการออกแบบองค์อาคารไม้ได้ตามวิธีการที่ได้จัดทำไว้ในภาคผนวก ก และ ข หรือใช้ชาร์ต สำหรับออกแบบ กรณีไม้ที่ทราบคุณสมบัติเชิงกล และคุณสมบัติทางสถิติแล้ว

9. จากการที่ได้ศึกษาพฤติกรรมของคงและคำนวณเมื่อต้องรับแรงกระทำชนิดไมเมนต์ด้ พบว่าค่าโมดูลสยีดหยุ่นที่ได้จากการทดสอบแรงอัดและแรงดึงข้านานเสี้ยวนี้มีค่าใกล้เคียงกันมากกับ ค่าโมดูลสยีดหยุ่นที่ได้จากการทดสอบแรงดัด (MOE) โดยใช้ทฤษฎีเส้นตรงเป็นไปตามกฎของอุค ได้ จากการกระจายของหน่วยการยืด – หดตัวและการกระจายของหน่วยแรงอัด

8.2 ข้อแนะนำสำหรับการใช้งานทั่วไป

เมื่อนำคุณสมบัติของไม้พฤกษ์และไม้จามจุรีมาเปรียบเทียบกับไม้เนื้อแข็งที่นิยมใช้เป็น โครงสร้างเดิมจะเห็นว่าเนื้อไม้ที่มีคุณสมบัติไม่ต้องไปกว่าไม้อ่อนๆดังรายละเอียดแสดงในตารางที่ 8.1

ตารางที่ 8.1 การเปรียบเทียบคุณสมบัติของไม้ที่นิยมใช้เป็นโครงสร้างกับไม้พฤกษ์และไม้จามจุรี

ชนิดของไม้	ความ ถ่วงจำเพาะ	ความแข็ง (กก.)	ความหนา (กก.-ม.)	ความแข็งแรงของเนื้อไม้ (กก./ซม. ²)	โมดูลสยีดหยุ่น ค่าเฉลี่ย (กก./ซม. ²)
สัก	0.83	493	1.95	1,034	108,800
เต็ง	1.01	964	6.10	1,732	175,100
รัง	1.00	755	3.42	1,352	143,100
มะค่าไม้	0.85	807	3.80	1,229	101,700
ประดู่	1.07	926	3.20	1,334	119,000

ที่ 8.1 การเปรียบเทียบคุณสมบัติของไม้ที่นิยมใช้เป็นโครงสร้างกับไม้พฤกษ์และไม้จามจุรี

ชนิดของไม้	ความถ่วงจำเพาะ	ความแข็ง (กก.)	ความหนึ่ง (กก.-ม.)	ความแข็งแรงของเนื้อไม้ (กก./ซม. ²)	โมดูลัสยืดหยุ่นค่าเฉลี่ย (กก./ซม. ²)
ตะเคียนทอง	0.82	625	4.70	1,172	120,200
ทูเรียน	0.465	389	2.52	993	115,853
มะ愧	0.468	335	2.50	471	89,444
กระท้อน	0.506	392	2.50	522	74,338
ไม้สีเดียว	0.342	263	1.91	389	67,550
ไม้กระบอก	0.851	474	5.18	375	57,628
ไม้พฤกษ์	0.796	444	5.36	902	85,903
ไม้จามจุรี	0.510	92	3.66	392	49,997

ไม้พฤกษ์มีสีเทาแก่ๆหรือสีน้ำตาลเข้มปนเหลือง เสี้ยนตรง เนื้อหยาน มีความแข็งปานกลาง ส่วนไม้จามจุรีเนื้อไม้มีสีเหลืองอ่อนเป็นไม้เนื้ออ่อนและน้ำหนักเบาหากนำนำไปใช้เป็นองค์ประกอบของโครงสร้างขนาดหน้าตัดจะต้องใหญ่กว่าไม้ประграфท์เนื่อแข็ง แต่มีร่องได้เปรียบคือเป็นไม้ที่ปักก แล้วโดยเร็วสามารถนำมาใช้งานได้เร็วกว่าและหาได้ง่าย จากผลการวิเคราะห์ความนำเข้าดีขององค์อาคารไม้ในส่วนของตง คาน และเสา ร่องออกแบบตามมาตรฐาน ว.ส.ท. เพื่อรับน้ำหนักบรรทุก ตามมาตรฐานภูมิศาสตร์ 3 ประграфท์ คือ ที่พักอาศัย สำนักงาน และโรงเรียน ในรูปของค่าความนำจะบันทึก (p_r) ด้วยซอฟต์แวร์ WCCAL (Wood Components CALibration) [8-10] ได้ขนาดหน้าตัดของตง คานและเสาไม้ ดังแสดงในตารางที่ 8.2 และ 8.3 โดยอาคารจะต้องมีความสูงไม่เกิน 2 ชั้น มีระยะระหว่างเสา 3.50 ม. ความสูงพื้นถึงพื้น 3.00 ม. และขนาดที่แนะนำเป็นขนาดภายนอกหลังการตัดไส แล้ว (Dressed dimensions) ซึ่งเป็นขนาดที่เหมาะสมของตง คาน และเสา แต่ตัวคุณภาพของไม้พฤกษ์จะคงอยู่

ตารางที่ 8.2 ขนาดที่เหมาะสมของไม้พฤกษ์ในการใช้เป็นองค์อาคารส่วนต่างๆ

ชนิดขององค์ประกอบ	ขนาดหน้าตัดขององค์อาคารส่วนต่างๆ		
	ที่พักอาศัย	สำนักงาน	โรงเรียน
ตง	2-1½" X 6"	2-1½" X 8"	2-1½" X 6"
	2-2" X 5½"	2-2" X 7"	2-2" X 5½"
	@ 0.50	@ 0.50	@ 0.50
คาน	2 - 2" X 11"	2 - 2" X 13"	2 - 2" X 10½"
	2 - 3" X 11"	2 - 3" X 13"	2 - 3" X 10½"
เสา	7½" X 7½"	8½" X 8½"	7½" X 7½"

ตารางที่ 8.3 ขนาดที่เหมาะสมของไม้จามจุรีในการใช้เป็นองค์อาคารส่วนต่างๆ

ชนิดของ องค์ประกอบ	ขนาดหน้าตัดองค์อาคารส่วนต่างๆ		
	ที่พักอาศัย	สำนักงาน	โรงเรียน
บก	2-1½" X 7½"	2-1½" X 9"	2-1½" X 7"
	2-2" X 6½"	2- 2" X 8"	2- 2" X 6½"
	@ 0.50 ม.	@ 0.50 ม.	@ 0.50 ม.
คาน	2- 2" X 12½"	2- 2" X 15"	2- 2" X 12"
	2- 3" X 11"	2- 3" X 13½"	2- 3" X 10½"
เสา	8" X 8"	9" X 9"	8" X 8"

8.3 ข้อเสนอแนะ

- เนื่องจากข้อมูลทางวิศวกรรมต่างๆอาจมีการแยกแบบไม่ป्रกติ จึงควรมีการรวมรวมข้อมูลทางวิศวกรรมและวิเคราะห์หาคุณสมบัติทางสถาปัตย รวมถึงชนิดของการแยกแบบที่เหมาะสมสำหรับข้อมูลทางวิศวกรรมแต่ละประเภท
- ควรมีการทดสอบคุณสมบัติ ทางวิศวกรรมของไม้ในประเทศไทยและวิเคราะห์คุณสมบัติทางสถาปัตยของไม้เนื้ออ่อนนิดที่ให้เร็วที่สามารถนำมาใช้งานในโครงสร้าง ทดสอบไม้เนื้อแข็งที่กำลังจะหมดไปจากป่า และสามารถนำมาใช้เป็นองค์อาคารไม้ได้อย่างประยัต และปลอดภัย
- ในการออกแบบองค์อาคารไม้ควรศึกษาวิธีการออกแบบตามชั้นตอน และหากต้องการความสะดวกรวดเร็ว ควรใช้ชาร์ตออกแบบองค์อาคารไม้โดยอาศัยเครื่องจำกด้านกำลัง ร่วมกับชาร์ตออกแบบองค์อาคารไม้โดยอาศัยไม้ดูลัสซีดหยุ่น เพื่อตรวจสอบความถูกต้องในการออกแบบ
- ขนาดหน้าตัดที่ได้จากการออกแบบโดยชาร์ตออกแบบ และซอฟต์แวร์ WCCAL [8-10] ถ้าหากขนาดหน้าตัดที่ได้เล็กเกินไป เสนอให้ใช้ขนาดเล็กที่สุดที่มีการจำหน่ายอยู่ในห้องตลาด หรือเสนอให้มีการผลิตขนาดหน้าตัดเพิ่มขึ้นมา เพื่อเป็นประยัตในการใช้ทรัพยากร แต่หากขนาดหน้าตัดที่ได้ในญี่เกินไป ควรใช้ไม้ประสานกาว (Glued laminated wood) ในการก่อสร้าง
- ควรมีการศึกษาเพิ่มเติมในส่วนของประเภทขององค์อาคารที่เป็นโครงรั้อนมุน
- ใช้ข้อมูลทางวิศวกรรมของไม้เนื้ออ่อนไปศึกษาในการใช้เป็นโครงสร้างที่รับแรงเฉือน
- ใช้ข้อมูลทางวิศวกรรมของไม้เนื้ออ่อนไปศึกษาและออกแบบโครงสร้างที่ต้องด้านทานแรงแผ่นดินไหว เพราะโครงสร้างไม้มีความยืดหยุ่นได้ดีกว่าโครงสร้างคอนกรีตและเหล็ก

บรรณานุกรม

1. กองค้นคว้า, กรมป่าไม้. ไม้และของป่าบางชนิดในประเทศไทย. ฉบับพิมพ์ครั้งที่ 3, สมาคมป่าไม้แห่งประเทศไทย, กรุงเทพฯ, 2526.
2. เกศนี ระมิงค์วงศ์, ภาควิชาพืชสวน คณะเกษตรศาสตร์ มหาวิทยาลัยเชียงใหม่. กุมภาพันธ์ 2528. น้ำผลเมืองร้อน.
3. คณะอนุกรรมการการศึกษาความน่าเรื่อถือของโครงสร้าง คณะกรรมการวิชาการสาขาวิชากรรณิยชา วิศวกรรมสารแห่งประเทศไทย ในพระบรมราชูปถัมภ์. การสัมมนาทางวิชาการ การออกแบบโครงสร้างโดยอาศัยทฤษฎีความน่าจะเป็น.
4. จกรพันธ์ แสงสุวรรณ, การวิเคราะห์ความน่าเรื่อถือของแผ่นดินคอนกรีตเสริมเหล็กสองทางที่ออกแบบตามมาตรฐาน ว.ส.ท., การประชุมวิชาการวิศวกรรมโยธาแห่งชาติ ครั้งที่ 7, วันที่ 17-18 พฤษภาคม 2544 จุฬาลงกรณ์มหาวิทยาลัย.
5. ณรงค์ โภนาณนท์, ศรี เจริญตรัตนทร, ฝ่ายวิจัยขั้นพื้นฐาน กองวิจัยผลิตผลป่าไม้ กรมป่าไม้ กระทรวงเกษตรและสหกรณ์. กรกฎาคม 2523. ไม้เนื้อแข็งของประเทศไทย.
6. บุญนา เกี่ยวข้อง และมุยรี ดวงเพชร. "ศูนย์อปภบดีการทดสอบเชิงกลของไม้." พิมพ์ครั้งที่ 2, ภาควิชาวัสดุภัณฑ์ คณะวนศาสตร์, มหาวิทยาลัยเกษตรศาสตร์, 2542.
7. พงศ์ โสนิ และคณะ, กลสมบัติของไม้ไทย, กรมป่าไม้ กระทรวงเกษตรและสหกรณ์, กรุงเทพฯ, เลขที่ ร.144, 2516.
8. นพดล ชายบัญญา, การวิเคราะห์ความน่าเรื่อถือขององค์อาคารไม้เนื้อช่อนโดยใช้ข้อมูลทางวิศวกรรมในประเทศไทย, วิทยานิพนธ์ปริญญาวิศวกรรมศาสตรบัณฑิต, สาขาวิชากรรณิยชา (โครงสร้าง), บัณฑิตวิทยาลัยมหาวิทยาลัยรังสิต, 2545.
9. มงคลกร ศรีวิชัย และคณะ, รายงานออกแบบองค์อาคารไม้โดยอาศัยขีดจำกัดด้านกำลัง, ปริญญา นิพนธ์ ภาควิชาสาขาวิชากรรณิยชา วิศวกรรมศาสตรบัณฑิต, วิทยาลัยวิศวกรรมศาสตร์ มหาวิทยาลัยรังสิต, 2546.
10. อัปสร ฉุพรม และคณะ, รายงานออกแบบองค์อาคารไม้โดยไม่ดูถูกขีดจำกัดด้านกำลัง, ปริญญา นิพนธ์ ภาควิชาสาขาวิชากรรณิยชา วิศวกรรมศาสตรบัณฑิต, วิทยาลัยวิศวกรรมศาสตร์ มหาวิทยาลัยรังสิต, 2546.
11. วินัย อวยพรประเสริฐ. ความน่าเรื่อถือและความปลดภัยทางโครงสร้าง. เอกสารประกอบการสอนวิชา CEN 618 Structural Safety and Reliability.
12. วินัย อวยพรประเสริฐ. "การทดสอบสภาพเสารูปนิทั่มรับการ нагрузкแข็งต่อเนื่องที่ใช้กันอย่างสมัยในงานวิศวกรรมโยธา" วิทยาลัยวิศวกรรมศาสตร์ มหาวิทยาลัยรังสิต

13. วินัย อวยพรประเสริฐ."ทิศทางการวิจัยด้านความน่าเชื่อถือของโครงสร้างในประเทศไทย" การประชุมวิชาการวิศวกรรมโยธาแห่งชาติครั้งที่ 5, 2542, เล่มที่ 2, หน้า GEN25-GEN30.
14. วินัย อวยพรประเสริฐ."การปรับเทียบมาตรฐานการออกแบบอาคารสำหรับประเทศไทยตามทฤษฎีความน่าเชื่อถือของโครงสร้าง"บทความทางวิชาการ, RSU JET,VOL.4 NO.2, 2000.
15. วิศวกรรมสถานแห่งประเทศไทยในพระบรมราชูปถัมภ์, มาตรฐานสำหรับอาคารไม้, คณะกรรมการวิชาการสาขาวิศวกรรมโยธา 2515-16,2517.
16. สุรีย์ ภูมิภานุ คณะอนั德 คำคง (บรรณาธิการ). "ไม้โตเรืองประสงค์พื้นเมืองของประเทศไทย". คณะกรรมการประสานงานวิจัยและพัฒนาทรัพยากรป่าไม้และไม้โตเรืองประสงค์
17. สุธี วิสุทธิเทพกุล. การแปลรูปไม้. เล่มที่ ๗ กลุ่มพัฒนาอุตสาหกรรมป่าไม้ ส่วนวิจัยและพัฒนาผลิตผลป่าไม้ สำนักวิชาการป่าไม้ กรมป่าไม้, กรุงเทพฯ, 2542.
18. สุชาติ จะไชยชนะ. การวิเคราะห์ค่าตัวคูณสำหรับน้ำหนักบรรทุกในงานคอนกรีตเสริมเหล็กตามสภาพก่อสร้างในเขตกรุงเทพมหานคร. วิทยานิพนธ์ปริญญาวิศวกรรมศาสตร์มหาบัณฑิต สาขา วิศวกรรมโยธา บัณฑิตมหาวิทยาลัย จุฬาลงกรณ์มหาวิทยาลัย 2531.
19. สำนักงานส่งเสริมการปลูกป่าเอกชน กรมป่าไม้. 2535. ระเบียบ กฎกระทรวงและพระราชบัญญัติ สำนປा พ.ศ.2535. กรมป่าไม้ กระทรวงเกษตรและสหกรณ์.
20. สำนักงานนโยบายและแผนสิ่งแวดล้อม, กระทรวงวิทยาศาสตร์ เทคโนโลยี และสิ่งแวดล้อม. นโยบายและแผนการส่งเสริมและรักษาคุณภาพสิ่งแวดล้อมแห่งชาติ พ.ศ. 2540-2559. หน้า22-23
21. สมภพ ประ堪นุรักษ์, พร้อมจิต ภารัมพ์, มนูชา บุญราช. 2542.กายวิภาคและสัณฐานวิทยาของพืช. ภาควิชานาสซพุษศาสตร์ คณะนาสซศาสตร์ มหาวิทยาลัยมหิดล กรุงเทพมหานคร.
22. American Institute of Timber Construction. Timber Construction Manual. 2nd ed. Englewood, Colorado, 1974
23. ASTM Standard, Annual Book of ASTM Standard: Volume 04.10 (WOOD), 1998.
24. Arthur J. Eames, Laurence H. MacDaniels. 1953. An Introduction to Plant Anatomy, 2nd ed., McGraw-Hill Book Company, U.S.A.
25. Carl L. Wilson, Walter E. Loomis, Taylor A. Steeves. 1971. Botany, 5th ed., Holt, Rinehart and Winston, Inc., U.S.A.
26. C.C. Bajza, M.G. Bowden. 1964. Your Texas Geography. W.S. Benson & Company, Publishers.
27. Comite European Du Beton, Bulletin D' Information No, 112, Munich, March, 1976.
28. Katherine Esau. 1977. Anatomy of Seed Plants, 2nd ed., John Wiley & Sons, U.S.A.

29. W. Ouypomprasert, Methods to Calculate Structural Reliability. Internal Working Report No. 18 : iNstitute of Engineering Mechanics, University of Innsbruck, Austria, 1988.
30. W. Ouypornprasert. Towards Calibration of Building Design Codes for ASEAN Countries, in the Proceeding of CAFEO-19 (The 19th Conference of The ASEAN Federation of Engineering Organisation), 22-24 October 2001 at the Center Point Hotel, Gadong, Bander Seri Begawan, Negara Brunei Darussalam, page 217-225.
31. W. Ouypornprasert. and T. Jirayut, Algorithms for Determination of Allowable Holding Loads for nails and Screws Based on Probability Theory, International Journal of Materials Structural Reliability.2(2003):89-99.
32. P. Ngamcharoen and W. Ouypornprasert, Asymptotic Coefficient of Variation of Structural Response against Target Reliability, International Journal of Materials Structural Reliability.1(2004) : 59 – 74.



ภาคผนวก ก

ตัวอย่างการคำนวณออกแบบองค์อาคารไม้ คง คานและเสา
ตามมาตรฐาน ว.ส.ท. สำหรับอาคารไม้



ภาคผนวก ก

ตัวอย่างการออกแบบองค์อาคารไม้ คง คานและเสาไม้ตามมาตรฐาน ว.ส.ท.

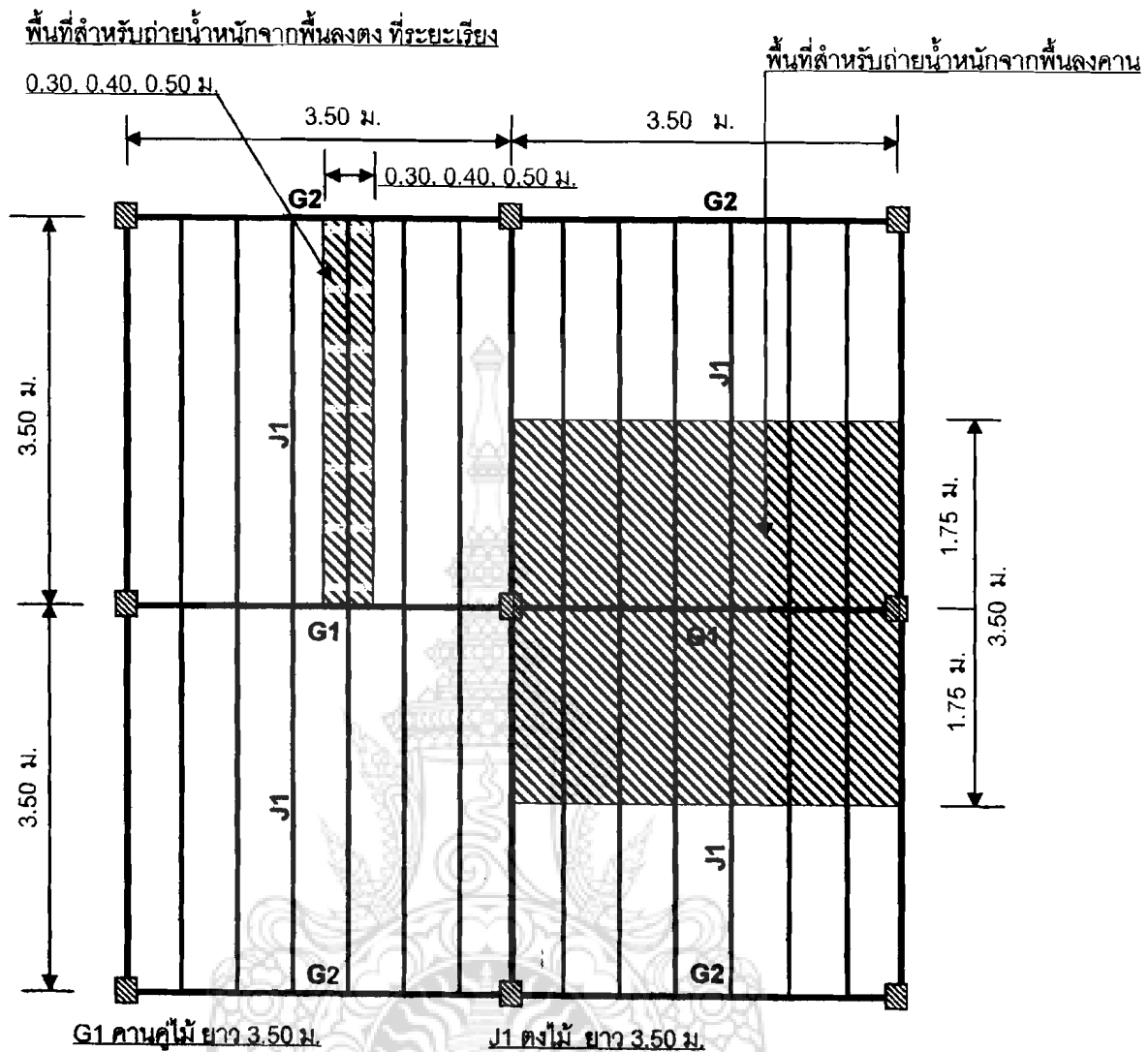
ก.1 ทั่วไป

ในภาคผนวกนี้จะได้กล่าวถึงวิธีการออกแบบแบบโดยการนำไม้พฤกษ์และไม้จามจุรี มาใช้เป็นองค์อาคาร คง คาน และเสา ซึ่งทำการออกแบบตามมาตรฐาน ว.ส.ท. 2517 สำหรับอาคารไม้ [15] โดยมีการค้านวนออกแบบตามวิธีปกติที่ใช้กันอยู่ในปัจจุบัน และอ้างอิงการใช้ซอฟต์แวร์ WCCAL [8-10] รวมถึงการใช้ ชาร์ตสำหรับหากา FS ซึ่งมีความเชื่อถือแบบสมำเสมอ [9] และแนะนำคำที่ยอมรับได้รวมทั้งการวิเคราะห์ความน่าเชื่อถือ (Reliability) โดยจะเริ่มจากข้อมูลเบื้องต้นทางสถิติของตัวแปรสูน 2 ตัวแปร คือ โมดูลลส์ยึดหยุ่น และน้ำหนักบรรทุกจำพวกมุติให้มีการแจกแจงแบบปกติ ต่อจากนั้นพิจารณาสภาพภาวะเชิดจำากัดของโครงสร้างของคง คาน และเสา ให้สำหรับการวิเคราะห์ความน่าเชื่อถือ เทิงโครงสร้างซึ่งจะให้ค่า FS และทำการออกแบบตามมาตรฐานของ ว.ส.ท. สำหรับอาคารไม้ได้ขนาดหน้าตัดขององค์อาคารไม้พฤกษ์และไม้จามจุรีตามตารางในภาคผนวก ก และได้แนะนำตัวอย่างการออกแบบ คง คาน และเสา ดังต่อไปนี้

ก.2 ออกแบบตามมาตรฐาน ว.ส.ท. สำหรับอาคารไม้โดยวิธีปกติ

ข้อมูลที่ใช้ในการออกแบบคง คาน และเสา โดยไม้พฤกษ์

ข้อมูลที่ต้องการไม้คูลลส์ยึดหยุ่นมีค่าเท่ากับ 85,903 กก./ซม.² ให้ค่าสัมประสิทธิ์การแปรผันเท่ากับ 0.204 โมดูลลส์แตกหักมีค่าเท่ากับ 902 กก./ซม.² ให้ค่าสัมประสิทธิ์การแปรผันเท่ากับ 0.162 แรงเฉือนนานเสียนมีค่าเท่ากับ 253 กก./ซม.² ให้ค่าสัมประสิทธิ์การแปรผันเท่ากับ 0.171 แรงอัดนานเสียนมีค่าเท่ากับ 565.55 กก./ซม.² ให้ค่าสัมประสิทธิ์การแปรผันเท่ากับ 0.119 ความถ่วงจำเพาะเท่ากับ 0.796 ให้ค่าสัมประสิทธิ์การแปรผันเท่ากับ 0.068 สำหรับน้ำหนักบรรทุกจำพวกมีค่าเฉลี่ย 182 กก./ม.² สัมประสิทธิ์การแปรผันเท่ากับ 0.186 อาคารสำนักงาน มีค่าเฉลี่ย 350 กก./ม.² สัมประสิทธิ์การแปรผันเท่ากับ 0.180 และโรงเรียนมีค่าเฉลี่ย 163.3 กก./ม.² สัมประสิทธิ์การแปรผันเท่ากับ 0.133 ความหนาของเพ้นน์ไม้พฤกษ์คงที่ เท่ากับ 1 นิ้ว (2.54 ซม.) พิจารณาตัวแปรเริงกำหนด โดยให้ขนาดความกว้างของคง คานไม้อาย่างละ 2 ขนาดคือ 1½" 2" และ 3" ความยาวของคง คานไม้ 3 ขนาดคือ 2.50, 3.00 และ 3.50 เมตร โดยที่ขนาดและความยาวดังที่กล่าวมา จะผ่านการทดสอบในระยะห่างระหว่างตงไม้ (Spacing) ที่ระยะ 30 40 และ 50 ซม. ตามลำดับ และความสูงของเสาเท่ากับ 3.00 เมตร สูง 2 ชั้น ขนาดหน้าตัดของคง คาน และเสาไม้พฤกษ์ ซึ่งเป็นขนาดที่ใส่แต่งแล้ว (Dressed Dimension) พิจารณาลักษณะการวางโครงสร้างขององค์อาคารไม้ดังรูปที่ ก1



รูปที่ ก.1 การถ่ายน้ำหนักจากพื้นลงคงและคาน

ตัวอย่างการคำนวณออกแบบไม้ (joist)

อาคารที่พักอาศัย (ค่าเฉลี่ย) $LL_1 = 182.4$ กก./ม².

ความถ่วงจำเพาะ $G = 0.796$

มีดูลัสแตกหัก (MOR) : $fr = 902$ กก./ซม²

มีดูลัสยืดหยุ่น (MOE) : $E = 85,903 \times 1.2 = 103,083.6$ กก./ซม²

ความหนาพื้น 1 นิ้ว $t = 0.0254$ ม.

สมมุติความหนาและความลึกของคงไม้ $bj = 3.81$ ซม. $dj = 15.24$ ซม

ระยะห่างของคง และความยาวคง $S = 0.50$ ม. $L = 3.50$ ม.

$$\text{น้ำหนักบรรทุกคงที่ของพื้นไม้ + ต่ำมี } DL = (G \times 1000) \left[t \times S + \left(\frac{bj}{100} \times \frac{dj}{100} \right) \right]$$

จะได้น้ำหนักคงไม้ขนาด $2'' \times 6''$ $DL = 15.749$ กก./ม.

น้ำหนักบรรทุกจรพักอาศัย $LL = LL_1 \times S = 91.2$ กก./ม.

น้ำหนักที่กระทำบนตง $W = LL + DL = 106.949$ กก./ม.

Step 1 คำนวณหาขนาดหน้าตัดของตงไม้

ความนำจะวิบัติในสภาวะขีดจำกัดด้านการใช้งาน ($p_f = 10^4$)

ค่าตัวแปรนี้ความปลดล็อกภัย β จากตารางความนำจะเป็นแบบปกติ

$$\beta = -qnorm(p_f, 0, 1) \quad \beta = 3.179$$

$$\text{ขีดจำกัดของสมมประสิทธิ์การแปรผัน} \quad \Omega = \frac{1}{\beta} = 0.269$$

$$\text{สมมประสิทธิ์การแปรผันของน้ำหนักบรรทุกคง} \quad \Omega_{LL} = 0.186$$

$$\text{สมมประสิทธิ์การแปรผันของโมดูลัสยืดหยุ่น (MOE)} \quad \Omega_E = 0.21$$

$$\text{สมมุติให้อัตราส่วนของน้ำหนักบรรทุกคงที่ต่อน้ำหนักบรรทุกคง} \quad \frac{DL}{LL} = 0.173$$

$$\text{สมมประสิทธิ์การแปรผันจากผลของน้ำหนักบรรทุก} \quad \Omega_s = \frac{\Omega_{LL}}{1 + \frac{DL}{LL}}$$

$$\text{คำนวณหาค่าตัวคูณความปลดล็อกภัย (FS)} \quad FS := 1$$

$$f(FS) := \beta \cdot \sqrt{(FS)^2 \cdot (\Omega_E)^2 + (\Omega_s)^2} + 1 - FS$$

$$rx := \text{root}(f(FS), FS) \quad rx = 4.361$$

$$\text{กำหนดให้ค่าตัวคูณความปลดล็อกภัย (FS)} \quad FS := rx$$

Step 2 คำนวณออกแบบขนาดหน้าตัดของตงไม้

$$\text{ความยาวตงไม้} \quad L = 3.5 \quad \text{ม.}$$

$$\text{เลือกขนาดตงไม้หนา } 1\frac{1}{2}'' \quad bj = 3.81 \quad \text{ม.}$$

$$dj1 := \left[\frac{\frac{5W}{100} \cdot (L \cdot 100)^4 \cdot 360 \cdot FS}{384E \cdot \left(\frac{bj}{12} \right) \cdot (L \cdot 100)} \right] \quad dj1 = 30.521 \quad \text{มม.}$$

จะได้ความลึกที่ต้องการ $depth := \frac{dj1}{(2.54)}$ $\text{ceil}(depth) = 13$ นิ้ว

$$dj2 := \text{ceil}(depth) \cdot (2.54) \quad dj2 = 33.02 \quad \text{มม.}$$

ใช้ตั้งคู่ $dj3 := \left(\frac{dj2}{2.54} \cdot \frac{1}{2} \right)$ $dj3 = 6.5$ นิ้ว

เลือกไม้ที่มีรายตามห้องตลาดขนาดไม่น้อยกว่า $2-1\frac{1}{2} \times 6\frac{1}{2}$

Step. 3 คำนวณค่า FS ของจากการโึงตัวของตนไม้

$$\text{น้ำหนักบรรทุกคงที่ของพื้นไม้ + คงไม้ } DL = (G \times 1000) \left[t \times S + \frac{bj}{100} \times \frac{dj2}{100} \right]$$

$$= 22.488 \quad \text{กก./ม.}$$

น้ำหนักบรรทุกรถ $L = 91.20$ กก./ม.

น้ำหนักกระทำบนคงไม้ $W1 = LL + DL_1 = 111.323$ กก./ม.

สมมุติให้อัตราส่วนของน้ำหนักบรรทุกคงที่ต่อน้ำหนักบรรทุกรถ $\frac{DL_1}{LL} = 0.221$

สมการปรับเปลี่ยนจากผลของน้ำหนักบรรทุก $\Omega_{S1} = \frac{\Omega_{LL}}{1 + \frac{DL_1}{LL}}$

$$f(FS) = \beta \times \sqrt{(FS)^2 \times (\Omega_E)^2 + (\Omega_S)^2} + 1 - FS$$

$$rx = \text{root}(f(FS,FS)) \quad rx = 4.343$$

$$\text{กำหนดให้ค่าตัวคูณความปลอดภัย (FS) } \quad FS = rx$$

Step. 4 ตรวจสอบกำลังรับแรงด้านของตงไม้

ความน่าจะวิบัติในสภาวะซึ่งจำกัดเชิงประดิษฐ์ ($p_f = 10^{-6}$)

ค่าดัชนีความปลอดภัย β จากตารางความน่าจะเป็นแบบปกติ

$$\beta = -qnorm(p_f, 0, 1) \quad \beta = 4.753$$

$$\text{จีดจำกัดของสัมประสิทธิ์การแปรผัน} \quad \Omega = \frac{1}{\beta} = 0.21$$

$$\Omega_{\text{DE}} = 0.186$$

$$\text{สมมุติฐานที่ 3: } \Omega_R = 0.162$$

สมมุติให้อัตราส่วนของน้ำหนักบรรทุกคงที่ต่อน้ำหนักบรรทุกจร ณ $\frac{DL}{U} = 0.221$

$$\Omega_{S2} := \frac{DL1}{1 + \frac{L1}{DL2}}$$

คำนวณหาค่าตัวคุณความปลอดภัย (FS) FS := 1

$$f(FS) := \beta \cdot \sqrt{(FS)^2 \cdot (\Omega_R)^2 + (\Omega_{S2})^2} + 1 - FS$$

`rx := root(f(FS),FS)` `rx = 4.663`

กำหนดให้ค่าตัวคงความปลอดภัย (FS) $FS := rx$

ค่าไมโครลัฟต์เดกหัก (MOR) ได้จากการทดสอบ $f_r = 902 \text{ กก./ซม}^2$

ค่านิรย่างดัดที่ยอมให้ $F_b = \frac{f_r}{FS} = 193.423 \text{ กก./ซม}^2$

ค่าไมเมนต์ดัดมากที่สุด $M_{max} = \frac{W_1 \times L^2}{8} \approx 170.464 \text{ กก.-ม}$

ขนาดตันไม้ $b_j = 3.81 \quad d_{j2} = 33.02 \quad C = \frac{d_{j2}}{2} = 16.51 \text{ ซม.}$

หน่วยแรงดัดที่เกิดขึ้น $\sigma_{act} = \frac{M_{max} \times 100 \times C}{b_j \times (d_{j2})^3} = 24.621 \text{ กก./ซม}^2$

หน่วยแรงดัดที่เกิดขึ้นต้องไม่เกินหน่วยแรงดัดที่ยอมให้ $(\sigma_{act} \leq F_b) \quad \text{ok}$

Step. 5 ตรวจสอบกำลังรับแรงเฉือนของตันไม้

ความน่าจะวินาศในสภาวะเข็คจำกัดด้านการใช้งาน ($p_f = 10^{-4}$)

ค่าตรรษน์ความปลดภัย β จากตารางความน่าจะเป็นแบบปกติ

$$\beta = -qnorm(p_f, 0, 1) \quad \beta = 3.719$$

รีดจำกัดของสมประสิทธิ์การแปรผัน $\Omega = \frac{1}{\beta}$

สมประสิทธิ์การแปรผันของน้ำหนักบรรทุกจร $\Omega_{LL} = 0.186$

สมประสิทธิ์การแปรผันของหน่วยแรงเฉือน $\Omega_V = 0.171$

สมมติให้อัตราส่วนของน้ำหนักบรรทุกคงที่ต่อน้ำหนักบรรทุกจร $\frac{DL}{LL} = 0.221$

สมประสิทธิ์การแปรผันจากผลของน้ำหนักบรรทุก $\Omega_{S3} = \frac{\Omega_{LL}}{1 + \frac{DL}{LL}}$

คำนวนหาตัวคูณความปลดภัย (FS) $FS = 1$

$$f(FS) = \beta \times \sqrt{(FS)^2 \times (\Omega_V)^2 + (\Omega_{S3})^2} + 1 - FS$$

$r_x = \text{root}(f(\text{FS}, \text{FS}))$	$r_x = 2.975$	
กำหนดให้ตัวคุณความปลอดภัยที่หน้าตัดวิกฤต	$\text{FS} = r_x$	
หน่วยแรงเฉือนที่ได้จากการทดสอบ	$V = 253$	กก./ซม ²
หน่วยแรงเฉือนที่ยอมให้	$F_v = \frac{V}{\text{FS}}$	กก./ซม ²
หน่วยแรงเฉือนที่ยอมให้	$F_v = 85.051$	กก./ซม ²
แรงเฉือนที่เกิดขึ้น	$V_{\max} = \frac{W_1 \times L}{2}$	กก
ขนาดตงไม้ที่หน้าตัดวิกฤต	$b_j = 3.81$	ซม.
หน่วยแรงเฉือนที่เกิดขึ้นจริง	$f_{v_{act}} = \frac{3}{2} \frac{V_{\max}}{(b_j \times d_{j1})}$	กก./ซม ²
	$f_{v_{act}} = 3.017$	กก./ซม ²
ตั้งนั้นหน่วยแรงเฉือนที่เกิดขึ้นจริงต้องมีค่าน้อยกว่าหน่วยแรงเฉือนที่ยอมให้ ($f_{v_{act}} \leq F_v$)		กก./ซม ²
เลือกความหนาตงไม้	$b_j = \frac{b_{j1}}{2.54} = 1.5$	นิ้ว
ให้ความลึกที่ต้องการ	$\text{depth} = \frac{d_{j1}}{2 \times 2.54} = 6.5$	นิ้ว
สรุปเลือกขนาดไม้ที่มีชายตามห้องตลาด		2 - 1½" x 6½"

ตัวอย่างการออกแบบบานาน (Beam)

อาคารที่พักอาศัย (ค่าเฉลี่ย) $LL_1 = 182$ กก./ m^2 .

ความถ่วงจำเพาะ $G = 0.796$

โมดูลัสแทรกหัก (MOR) : $f_r = 902$ กก./ mm^2

โมดูลัสยึดหยุ่น (MOE) : $E = 85903 \times 1.2 = 1.031 \times 10^5$ กก./ mm^2

ความหนาพื้น 1 นิ้ว $t = 0.0254$ ม.

สมมุติความหนาและความลึกของตงไม้ $b_j = (3.81)$ ม. $d_j = 32$ ม.

ระยะห่างของตง และความยาวคาน $S_j = 0.50$ ม. $L = 3.50$ ม.

$$\text{จำนวนตงไม้} n = \left(\frac{L}{S_j} + 1 \right) = 8 \text{ ห้อง}$$

$$\text{น้ำหนักบรรทุกคงที่ของพื้นไม้ + ตงไม้ } DL_1 = \frac{1}{L} (G \times 1000) \left[(t \times S_j \times L) + \left(\frac{b_j}{100} \times \frac{d_j}{100} \times L \times n \right) \right]$$

$$\text{จะได้น้ำหนัก } DL = 87.748 \text{ กก./ม.}$$

$$\text{สมมุติขนาดคาน(คู่)ไม้ (2" x 8") } bm = 5.08 \text{ dm} = 20 \text{ มม.}$$

$$\text{น้ำหนักคานไม้ } DL_2 = \left[(G \times 1000) \times \left(\frac{bm}{100} \times \frac{dm}{100} \right) \right] = 16.175 \text{ กก./ม.}$$

$$\text{น้ำหนักบรรทุกคงที่ } DL = DL_1 + DL_2 = 103.923 \text{ กก./ม.}$$

$$\text{น้ำหนักบรรทุกเฉพาะอาศัย } LL = LL_1 \times 2 \times \frac{L}{2} = 637 \text{ กก./ม.}$$

$$\text{น้ำหนักบรรทุกแผ่นปูนคานไม้ } W = LL + DL = 740.923 \text{ กก./ม.}$$

Step. 1 คำนวณหาตัวคูณความปลดภัย (FS)

ความน่าจะเป็นที่ในสภาวะชีดจำ กดต้านการใช้งาน ($p_f = 10^{-4}$)

ค่าตรวจสอบความปลดภัย β จากตารางความน่าจะเป็นแบบปกติ

$$\beta = -qnorm(p_f, 0, 1) \quad \beta = 3.179$$

$$\text{ชีดจำ กดของสัมประสิทธิ์การแปรผัน} \quad \Omega = \frac{1}{\beta}$$

สมประสิทธิ์การแบร์ผันของน้ำหนักบรรทุกๆ $\Omega_{LL} = 0.186$

สมประสิทธิ์การแบร์ผันของโมดูลัสยืดหยุ่น (MOE) $\Omega_E = 0.204$

สมมุติให้อัตราส่วนของน้ำหนักบรรทุกคงที่ต่อน้ำหนักบรรทุกๆ $\frac{DL}{LL} = 0.163$

สมประสิทธิ์การแบร์ผันจากผลของน้ำหนักบรรทุกๆ $\Omega_S = \frac{\Omega_{LL}}{1 + \frac{DL_1}{LL}}$

คำนวณหาตัวคูณความปลอดภัย (FS) $FS = 1$

$$f(FS) = \beta \times \sqrt{(FS)^2 \times (\Omega_E)^2 + (\Omega_S)^2} + 1 - FS$$

$$rx = \text{root}(f(FS), FS) \quad rx = 4.362 \quad (\text{for Deflection})$$

กำหนดให้ค่าตัวคูณความปลอดภัย (FS) ที่หน้าตัดวิกฤต $FS = rx$

Step. 2 ออกแบบขนาดหน้าตัดของคานไม้

ความยาวคานไม้ $L = 3.50$ ม.

เลือกความหนาของคานไม้ $2"$ $bm = 5.08$ ซม.

$$d_{m1} = \frac{\frac{5W}{100} \times (L \times 100)^4 \times 360 \times FS}{384E \times \frac{bm}{12} \times (L \times 100)} = 52.995 \text{ ซม.}$$

$$\text{ได้ความลึกที่ต้องการ} \quad dm_2 = \frac{dm_1}{2 \times 2.54} = 10.5 \text{ นิ้ว}$$

เลือกขนาดไม้ที่มีรายตามห้องตลาด $2 - 2" \times 10\frac{1}{2}"$

Step. 3 คำนวณปรับแก้ค่า FS เนื่องจากเปลี่ยนขนาดคานไม้

น้ำหนักบรรทุกคงที่ของพื้นไม้ + ลงไม้ $DL_1 = 87.748$ กก./ม.

$$\text{น้ำหนักบรรทุกคงที่ของคาน} \quad DL_3 = (G \times 1000)(2) \times \frac{bm}{100} \times \frac{dm_2}{100} = 43.138 \text{ กก./ม}$$

น้ำหนักบรรทุกคงที่ $DL_4 = DL_1 + DL_3 = 130.886$ กก./ม.

น้ำหนักบรรทุกจราพกอาทัย $LL = 637$ กก./ม.

น้ำหนักบรรทุกແມ່ເລີຍບນຄານ $W = LL + DL_4 = 767.886$ กก./ม.

สมມຸດໃຫ້ອັດຮາສ່ວນຂອງນ້ຳນັກບຣຽກຈະທີ່ຕ່ອນ້ຳນັກບຣຽກຈະ $\frac{DL_4}{LL} = 0.345$

ສົມປະສິທິກົດໃຫ້ອັດຮາສ່ວນຂອງນ້ຳນັກບຣຽກ $\Omega_{S1} = \frac{\Omega_{LL}}{1 + \frac{DL_1}{LL}}$

ຄໍານວນຫາຕັ້ງຄຸນຄວາມປລອດກັຍ (FS) $FS = 1$

$$f(FS) = \beta \times \sqrt{(FS)^2 \times (\Omega_E)^2 + (\Omega_{S1})^2} + 1 - FS$$

$rx = \text{root}(f(FS), FS)$ $rx = 4.373$ (for deflection)

ກຳນົດໄຫ້ຕັ້ງຄຸນຄວາມປລອດກັຍທີ່ໜ້າຕັດວິກຖຸ $FS = rx$

Step. 4 ຕຽບສອນກຳລັງຮັບແຮງດັດຂອງຄານໄຟ

ຄວາມນໍາຈະວິບຕີໃນສກວະນີຕົວຈຳກັດເສີງປະລັຍ $(p_f = 10^{-6})$

ຄ່າຕຽບນີ້ຄວາມປລອດກັຍ β ຈາກຕາງຄວາມນໍາຈະເປັນແບບປາກຕີ

$\beta = -qnorm(p_f, 0, 1)$ $\beta = 4.753$

ຫຼັດຈຳກັດຂອງສົມປະສິທິກົດໃຫ້ອັດຮາສ່ວນ $\Omega_E = \frac{1}{\beta}$

ສົມປະສິທິກົດໃຫ້ອັດຮາສ່ວນຂອງນ້ຳນັກບຣຽກຈະ $\Omega_{LL} = 0.186$

ສົມປະສິທິກົດໃຫ້ອັດຮາສ່ວນໂນມື້ລັດສະຕິກັກ (MOR) $\Omega_R = 0.162$

ສົມມຸດໃຫ້ອັດຮາສ່ວນຂອງນ້ຳນັກບຣຽກຈະທີ່ຕ່ອນ້ຳນັກບຣຽກຈະ $\frac{DL_4}{LL} = 0.205$

ສົມປະສິທິກົດໃຫ້ອັດຮາສ່ວນຈາກຜລຂອງນ້ຳນັກບຣຽກ $\Omega_{S2} = \frac{\Omega_{LL}}{1 + \frac{DL_4}{LL}}$

คำนวณหาค่าตัวคูณความปลอดภัย (FS) ค่าเริ่มต้น FS = 1

$$r(FS) = \beta \times \sqrt{(FS)^2 \times (\Omega_R)^2 + (\Omega_{S_2})^2} + 1 - FS$$

$$rx = \text{root}(f(FS, FS)) \quad rx = 4.671 \quad (\text{for bending})$$

กำหนดให้ตัวคูณความปลอดภัยที่หน้าตัดวิกฤต FS = rx

ค่าไมโครลัสแตกหัก (MOR) ได้จากการทดสอบ $f_r = 902 \text{ กก./ซม}^2$

ค่าน้ำยแรงดัดที่ยอมให้ $F_b = \frac{f_r}{FS} = 193.117 \text{ กก./ซม}^2$

ค่าไมเมเนตต์ดมากที่สุด $M_{max} = \frac{W_1 \times L^2}{8} = 1,176 \text{ กก.-ม}$

ขนาดคานไม้ $b_j = 5.08 \quad dm_1 = 53.34 \quad C = \frac{d_{m2}}{2} = 26.67 \text{ ซม.}$

หน่วยแรงดัดที่เกิดขึ้น $\sigma_{act} = \frac{M_{max} \times 100 \times C}{bm \times (dm_2)^3} = 48.812 \text{ กก./ซม}^2$

หน่วยแรงดัดที่เกิดขึ้นไม่เกินหน่วยแรงดัดที่เกิดขึ้น $(\sigma_{act} \leq F_b)$ ok

Step. 5 ตรวจสอบกำลังรับแรงเฉือนของคานไม้

ความน่าจะเป็นติดในสภาวะชีดจำกัดด้านการใช้งาน ($p_f = 10^{-4}$)

ค่าธรรมนิความปลอดภัย β จากตารางความน่าจะเป็นแบบปรกติ

$\beta = -qnorm(p_f, 0, 1) \quad \beta = 3.179$

ชีดจำกัดของสมประสิทธิ์การแปรผัน $\Omega = \frac{1}{\beta} = 0.269$

สมประสิทธิ์การแปรผันของน้ำหนักบรรทุกรถ $\Omega_{LL} = 0.186$

สมประสิทธิ์การแปรผันของหน่วยแรงเฉือน $\Omega_V = 0.171$

สมมุติให้อัตราส่วนของน้ำหนักบรรทุกคงที่ต่ออัตราหนักบรรทุกราก $\frac{DL_4}{LL}$

สมประสงค์ให้การแปรผันจากผลของน้ำหนักบรรทุก $\Omega_{S3} = \frac{\Omega_{LL}}{1 + \frac{DL_4}{LL}}$

คำนวณหาตัวคูณความปลอดภัย (FS) ค่าเริ่มต้น $FS = 1$

$$f(FS) = \beta \times \sqrt{(FS)^2 \times (\Omega_v)^2 + (\Omega_{S3})^2} + 1 - FS$$

$$rx = \text{root}(f(FS, FS)) \quad rx = 2.98 \quad (\text{for Shear})$$

กำหนดให้ตัวคูณความปลอดภัยที่หน้าตัดวิกฤต $FS = rx$

หน่วยแรงเฉือนที่ได้จากการทดสอบ $V = 129 \text{ กก./ซม}^2$

หน่วยแรงเฉือนที่ยอมให้ $Fv = \frac{V}{FS} \text{ กก./ซม}^2$

$$Fv = 43.289 \text{ กก./ซม}^2$$

ค่าแรงเฉือนสูงสุด $V_{max} = \frac{WxL}{2} \text{ กก.}$

$$V_{max} = 1,344 \text{ กก.}$$

ขนาดคงไม่ทิ้งหน้าตัดวิกฤต $bm = 5.08 \quad dm_1 = 64.86 \text{ ซม.}$

หน่วยแรงเฉือนที่เกิดขึ้นจริง (คานคู่) $f_{v_{act}} = \frac{3}{2} \frac{V_{Max}}{(bm \times dm_2)} \text{ กก./ซม}^2$

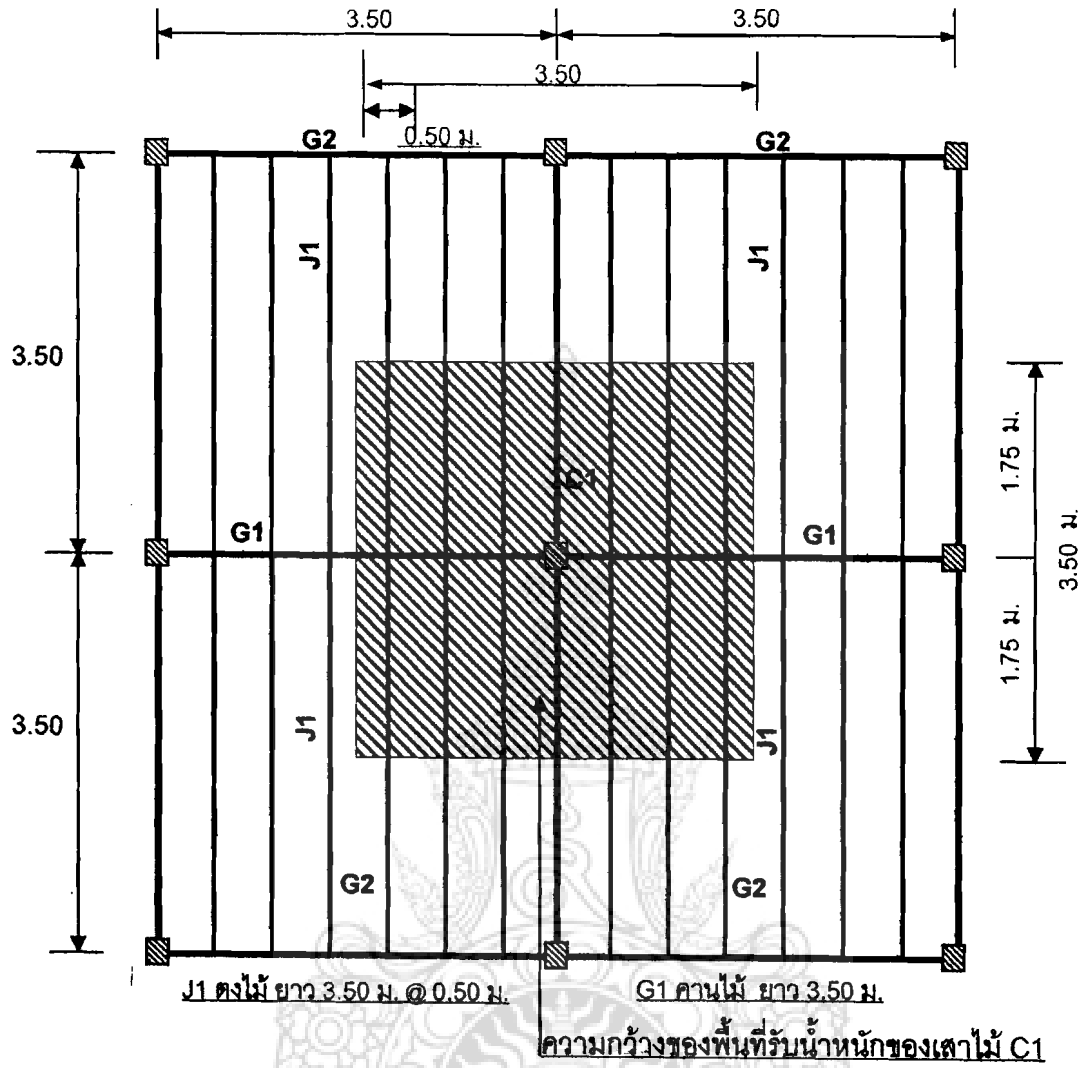
$$f_{v_{act}} = 7.439 \text{ กก./ซม}^2$$

ตั้งนั้นหน่วยแรงเฉือนที่เกิดขึ้นจริงมีค่าน้อยกว่าหน่วยแรงเฉือนที่ยอมให้ ($f_{v_{act}} \leq Fv$) กก./ซม^2

เลือกความหนาคานไม้ $bm_1 = \frac{b_m}{2.54} = 2 \text{ นิ้ว}$

ได้ความลึกที่ต้องการคานคู่ $d_{eq} = \frac{d_{m1}}{2 \times 2.54} = 10.50 \text{ นิ้ว}$

สรุปเลือกใช้คานไม้ขนาด $2 - 2" \times 10\frac{1}{2}"$



รูปที่ ก.2 การถ่ายน้ำหนักจากหลังคา – พื้นลงเสาขันล่าง

ตัวอย่างการออกแบบเสาขันล่าง (Column)

อาคารที่พักอาศัย (ค่าเฉลี่ย)	$LL_1 = 182$	กก./ม ² .
ความถ่วงจำเพาะ	$G = 0.796$	
โมดูลัสแทกหัก (MOR) :	$F_a = 565$	กก./ซม ²
โมดูลัสยึดหยุ่น (MOE) :	$E = 85903 \times 1.2 = 1.031 \times 10^5$	กก./ซม ²
ความยาวช่วงเสา	$L_c = 3.50$	ม.
พื้นที่ถ่ายน้ำหนักลงเสา	$A_{col} = (L_c)^2$	ม. ²

น้ำหนักบนรากทุกคงที่ : หลังคา

กระเบื้องลอนคู่ + โครงหลังคาไม้ + ฝ้าเพดาน+ โครงเครื่ารฝ้าไม้

$$\text{จะได้น้ำหนัก} \quad DL_{\text{roof}} = 15+25+25 = 65 \quad \text{กก./ม}^2.$$

$$\text{พื้นไม้หนา 1"} \quad DL_{\text{floor}} = 0.0254 \times G \times 1000 = 20.218 \quad \text{กก./ม}^2.$$

น้ำหนักบนรากทุกคงที่ : ตง- คาน- เสา

$$\text{ระยะห่างระหว่างตง} \quad S_j = 0.50 \quad \text{ม.} \quad \text{จำนวนตง} \quad N = \frac{L_c}{S_j} + 1 = 8 \quad \text{ท่อน}$$

$$\text{สมมุติฐานตง(คู่)ไม้} \quad b_j = 3.81 \quad d_j = 2(18) \quad \text{ซม.}$$

$$\text{น้ำหนักตงไม้} \quad DL_{\text{joist}} = \left[(G \times 1000) \times \left(\frac{b_j}{100} \times \frac{d_j}{100} \times L_c \times n \right) \right]$$

$$\text{สมมุติฐานคาน(คู่)ไม้} \quad b_m = 5.08 \quad d_m = 30.48(2) \quad \text{ซม.}$$

$$\text{น้ำหนักคาน(คู่)ไม้} \quad DL_{\text{beam}} = \left[(G \times 1000) \times \left(\frac{b_m}{100} \times \frac{d_m}{100} \times L_c \right) \right] \quad \text{กก./ม.}$$

$$\text{สมมุติฐานเสาไม้ 5"} \times 5" \quad C = 5 \times 2.54 \quad \text{ซม.} \quad H = 3.00 \quad \text{ม.}$$

$$\text{น้ำหนักเสาไม้} \quad DL_{\text{col}} = \left[(G \times 1000) \times \left(\frac{C}{100} \right)^2 \times H \times 2 \right] \quad \text{กก.}$$

$$\text{ตง- คาน- เสา} \quad DL_1 = (DL_{\text{joist}} + DL_{\text{beam}} + DL_{\text{col}}) \quad \text{กก}$$

$$= 469.01 \quad \text{กก}$$

$$\text{น้ำหนักบนรากทุกคงที่ หลังคาและพื้น} \quad DL_2 = (DL_{\text{roof}} + DL_{\text{floor}}) \times A_{\text{col}} \quad \text{กก}$$

$$= 1044 \quad \text{กก}$$

$$\text{น้ำหนักบนรากทุกคงที่ทั้งหมด} \quad P_{\text{dl}} = DL_1 + DL_2 = 1513 \quad \text{กก}$$

$$\text{น้ำหนักบนรากทุกๆ} \quad PLL = (LL_1) \times A_{\text{col}} = 2229 \quad \text{กก}$$

$$\text{น้ำหนักบนรากหลังเสา} \quad P = P_{\text{dl}} + PLL = 3742 \quad \text{กก}$$

Step. 1 คำนวณหาขนาดหน้าตัดของเสาไม้สีเหลี่ยมจัตุรัส

ความนำ่จะวิบติในสภาวะซึ่ดจำกัดเชิงประดิษฐ์ ($p_f = 10^6$)

ค่าธรรมนิความปลดภัย β จากตารางความนำ่จะเป็นแบบปกติ

$$\beta = -qnorm(p_f, 0, 1) \quad \beta = 4.753$$

ชีดจำกัดของสมมประสิทธิ์การแปรผัน

$$\Omega = \frac{1}{\beta} = 0.21$$

สมมประสิทธิ์การแปรผันของน้ำหนักบรรทุกจร

$$\Omega_{LL} = 0.186$$

สมมประสิทธิ์การแปรผันของโมดูลัสยืดหยุ่น (MOE)

$$\Omega_E = 0.204$$

สมมุติให้อัตราส่วนของน้ำหนักบรรทุกคงที่ต่ออัตราส่วนของน้ำหนักบรรทุกจร

$$\frac{DL}{LL}$$

สมมประสิทธิ์การแปรผันจากผลของน้ำหนักบรรทุก

$$\Omega_S = \frac{\Omega_{LL}}{1 + \frac{Pdl}{Pll}}$$

คำนวณหาตัวคูณความปลดภัย (FS)

$$FS = 1$$

$$f(FS) = \beta \times \sqrt{(FS)^2 \times (\Omega_E)^2 + (\Omega_S)^2} + 1 - FS$$

$$rx = root(f(FS), FS) \quad rx = 33.144$$

กำหนดให้ตัวคูณความปลดภัยที่หน้าตัดกว้างๆ

$$FS = rx$$

Step. 2 ออกแบบขนาดหน้าตัดของ杆 (ตรวจสอบการโถงตัวของเสา)

ความยาวเสาไม้ $H = 3.50$ ม.

ค่าโมดูลัสยืดหยุ่น (MOE) $E = 1.031 \times 10^5$ กก./ซม.²

ค่าโมดูลัสยืดหยุ่น (MOE) ที่ยอมให้ $E_{allow} = \frac{E}{FS} = 3.11 \times 10^3$ กก./ซม.²

ขนาดหน้าตัดเสาไม้ที่ต้องการ $d_{req} = \left[\frac{12 \times P \times (H \times 100)^2}{\pi^2 \times E_{allow}} \right]^{\frac{1}{4}}$ ซม.

$$d_{req} = 19 \text{ ซม}$$

น้ำหนักเสาไม้ที่ต้องการ $DL_{col} = \left[(G \times 1000) \times \left(\frac{d}{100} \right)^2 \times H \times 2 \right] = 197.202 \text{ กก}$

น้ำหนักบรรทุกคงที่ ตง-คาน-เสา $DL_3 = (DL_j + DL_m + DL_{col} + DL_2) = 589.18 \text{ กก}$

น้ำหนักบรรทุกลงเสา C1 $DL_{NEW} = (DL_3 + DL_2) = 1633 \text{ กก}$

น้ำหนักบรรทุกจร $LL = 2.229 \text{ กก}$

ถ่ายน้ำหนักบรรทุกลงเสา $Pcr = DL_{NEW} + LL = 3,863 \text{ กก}$

พื้นที่น้ำตัดเสาที่ต้องการ $A = d^2 = 412.902 \text{ ซม}^2$

สมประสิทธิ์การแปรผันของน้ำหนักบรรทุกจร $\Omega_{LL} = 0.186$

สมประสิทธิ์การแปรผันของกำลังรับแรงขัด (Comp.II) $\Omega_{fa} = 0.119$

สมมุติให้อัตราส่วนของน้ำหนักบรรทุกคงที่ต่อน้ำหนักบรรทุกจร $\frac{DL_{NEW}}{LL}$

สมประสิทธิ์การแปรผันจากผลของน้ำหนักบรรทุก $\Omega_s = \frac{\Omega_{LL}}{1 + \frac{DL_{NEW}}{LL}}$

คำนวณหาตัวคูณความปลอดภัย (FS) $FS = 1$

$$f(FS) = \beta \times \sqrt{(FS)^2 \times (\Omega_{fa})^2 + (\Omega_{s_1})^2} + 1 - FS$$

$r_x = \text{root}(f(FS), FS)$ $r_x = 2.507$

กำหนดให้ตัวคูณความปลอดภัยที่น้ำตัดวิกฤต $FS = r_x$

หน่วยแรงขัดฐานเสียนที่ได้จากการทดสอบ $Fa = 565 \text{ กก./ซม}^2$

หน่วยแรงขัดฐานเสียนที่ยอมให้ $Fa_{allow} = \frac{Fa}{FS}$

$Fa_{allow} = 225.351 \text{ กก./ซม}^2$

หน่วยแรงที่หน้าตัดวิกฤต (Critical Section) $\frac{P_{cr}}{A} = 9.355$ กก./ ซม²

หน่วยแรงที่หน้าตัดวิกฤต (Critical Section) ที่เกิดขึ้นน้อยกว่าหน่วยแรงอัดข้าน้ำเสี้ยนที่ยอมให้

$$\left(\frac{P_{cr}}{A} \right) \leq F_{allow}$$

กก./ ซม²

ขนาดตัวนํ้าหนักของเสาที่ต้องการ $d = \frac{d}{2.54} = 8$ นิ้ว

เลือกใช้เสาไม้ขนาด 8" x 8"



ภาคผนวก ข

การหาค่าอัตราส่วนปลอดภัย Factor of Safety (FS)
สำหรับการออกแบบองค์อาคารไม้



ภาคผนวก ฯ

การนาค่าอัตราส่วนปลอดภัย (FS) Factor of Safety สำหรับการออกแบบ

๑.๑ ทั่วไป

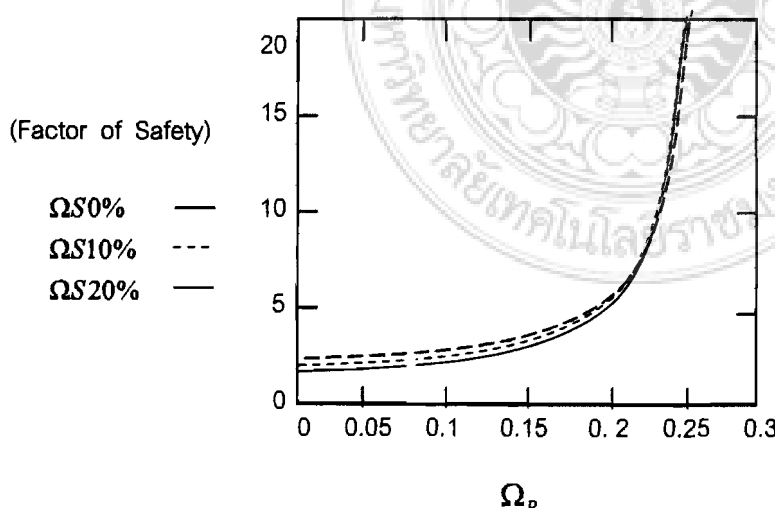
การนาค่าอัตราส่วนความปลอดภัยจากค่าสัมประสิทธิ์ความต้านทานเชิงโครงสร้าง (Ω_R) และค่าสัมประสิทธิ์การแปรผันของแรงที่กระทำต่อโครงสร้าง (Ω_S) จะเป็นตัวที่กำหนดค่าอัตราส่วนความปลอดภัย (FS) ของการออกแบบ และยังพบว่า สมประสิทธิ์การแปรผันของแรงที่กระทำต่อโครงสร้าง นาได้จากสมการ (๑.๑) รายละเอียดในบทที่ ๔ ข้อ 4.5 เพื่อใช้ในการศึกษาค่าอัตราส่วนปลอดภัย ดังแสดงในรูปที่ ๑

$$\Omega_S = \frac{\Omega_{LL}}{1 + \left(\frac{DL}{\mu_{LL}} \right)} \quad (๑.๑)$$

และความสัมพันธ์ระหว่างค่าสัมประสิทธิ์ความต้านทานเชิงโครงสร้าง (Ω_R) และค่าสัมประสิทธิ์การแปรผันของแรงที่กระทำต่อโครงสร้าง (Ω_S) เทียนได้ดังสมการที่ (๑.๒)

$$FS - 1 = \beta \sqrt{(FS)^2 (\Omega_R)^2 + (\Omega_S)^2} \quad (๑.๒)$$

โดยที่ FS คืออัตราส่วนความปลอดภัยของโครงสร้าง β คือค่าตัวนิความปลอดภัย Ω_{LL} คือสัมประสิทธิ์การแปรผันของน้ำหนักบรรทุกจร DL คือน้ำหนักบรรทุกคงที่ของโครงสร้าง μ คือค่าเฉลี่ยของน้ำหนักบรรทุกจร

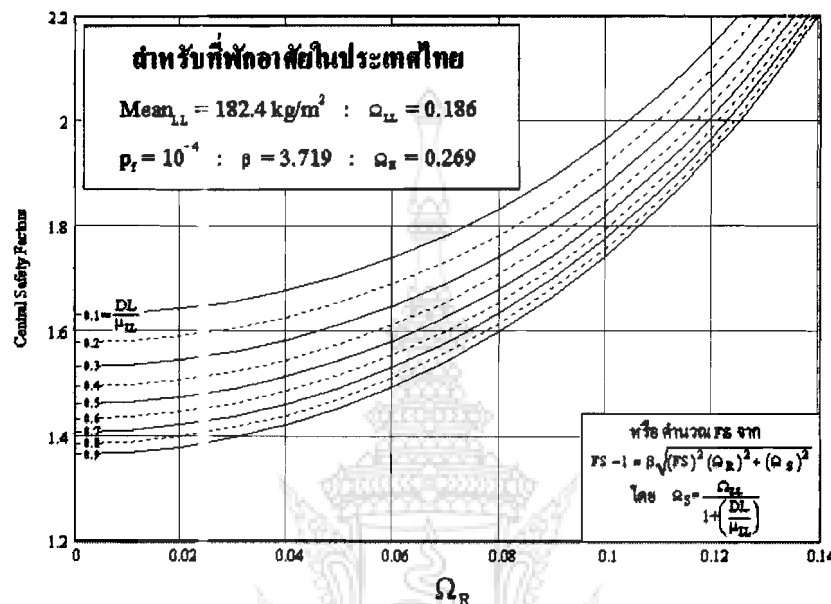


รูปที่ ๑ ความสัมพันธ์ระหว่างค่า (Ω_R) และ FS ที่ $p_r = 10^{-6}$ [31,32]

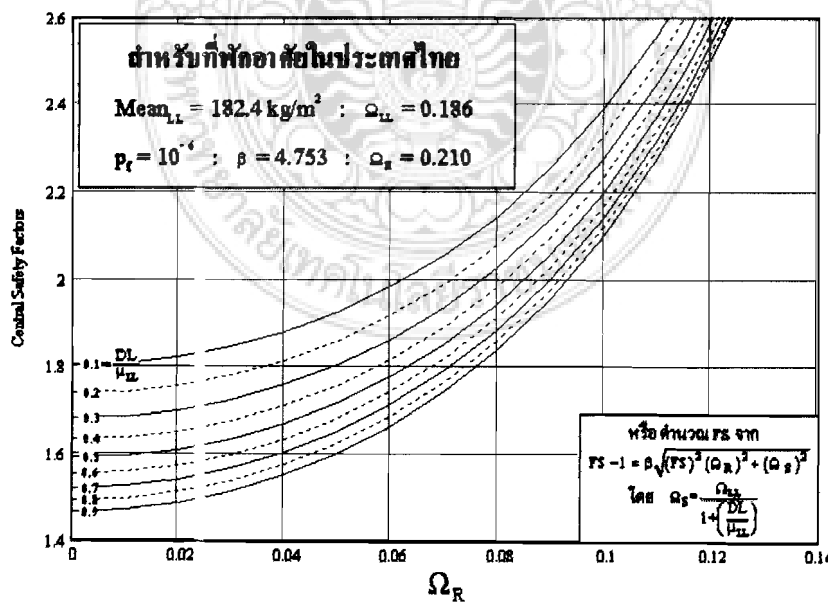
แสดงให้เห็นว่า FS จะมีค่าเพิ่มขึ้นอย่างรวดเร็วตามการเพิ่มขึ้นของ Ω_R ในขณะที่ผลกราฟของ Ω_S จะลดลงอย่างรวดเร็วตามการเพิ่มขึ้นของ Ω_R และจะหายไปเมื่อ Ω_R เข้าใกล้จุดจำกัด

ข.2 ชาร์ตออกแบบค่าความไม่แน่นอนค่าไม่ดูลัลส์ยีดหยุ่น (MOE)

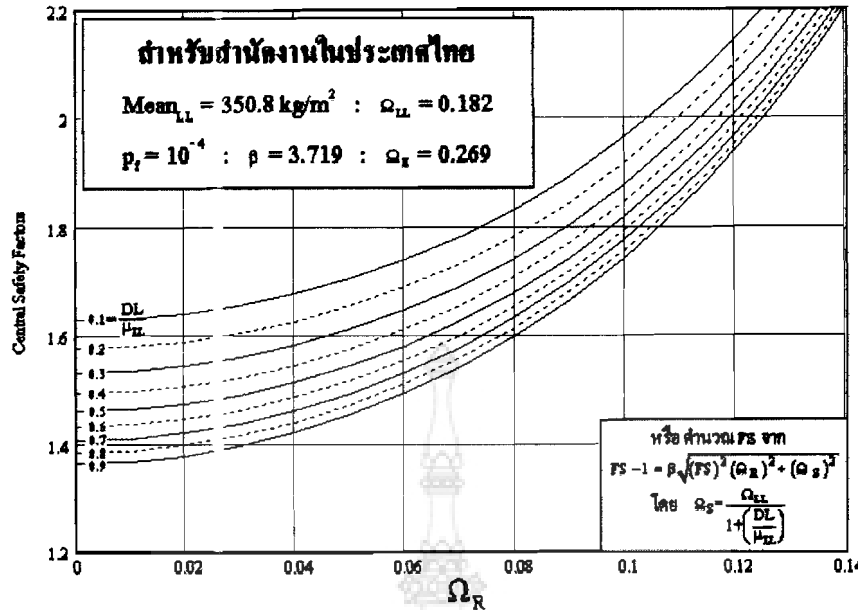
เพื่อให้สะดวกในการนำไปใช้งานได้มีการพัฒนาชาร์ตออกแบบ โดยมีการนำเสนอดังรูปแบบของชาร์ตออกแบบค่าความไม่แน่นอนค่าอัคติค่าส่วนปลดตัว FS ซึ่งได้แบ่งแยกประเภทขององค์อาคารและความน่าจะเป็นที่ ข 2 – ข 7



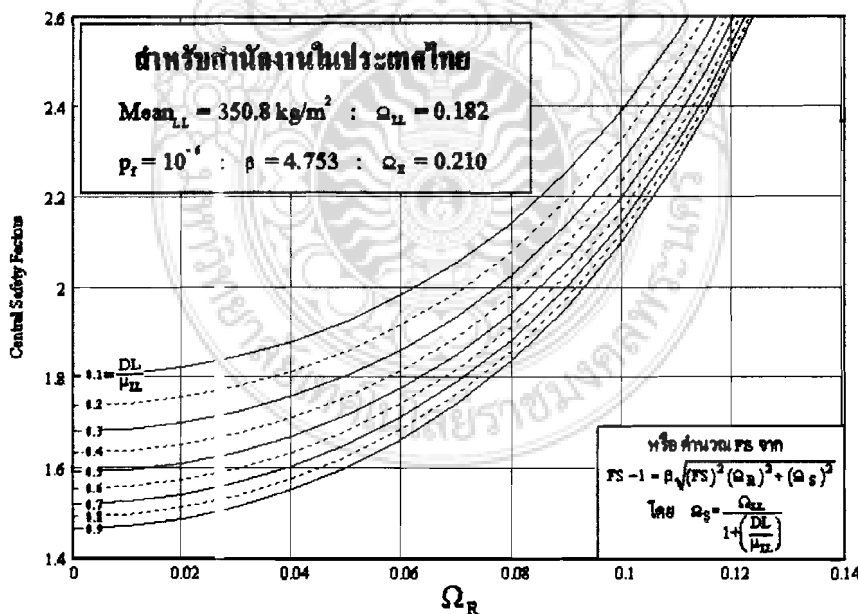
รูปที่ ข 2 ชาร์ตออกแบบค่าความไม่แน่นอนค่าไม่ดูลัลส์ยีดหยุ่นที่ความน่าจะเป็น $p_f = 10^{-4}$
 สำหรับค่าอัคติค่าส่วนปลดตัว FS ในประเทศไทย (มกค ครรภะ 2546)



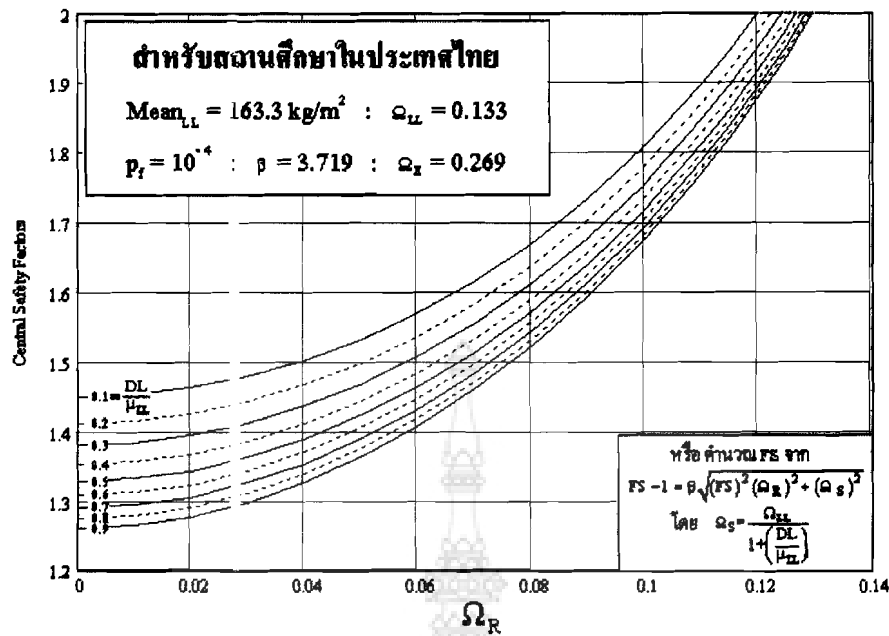
รูปที่ ข 3 ชาร์ตออกแบบค่าความไม่แน่นอนค่าไม่ดูลัลส์ยีดหยุ่นที่ความน่าจะเป็น $p_f = 10^{-6}$
 สำหรับค่าอัคติค่าส่วนปลดตัว FS ในประเทศไทย (มกค ครรภะ 2546)



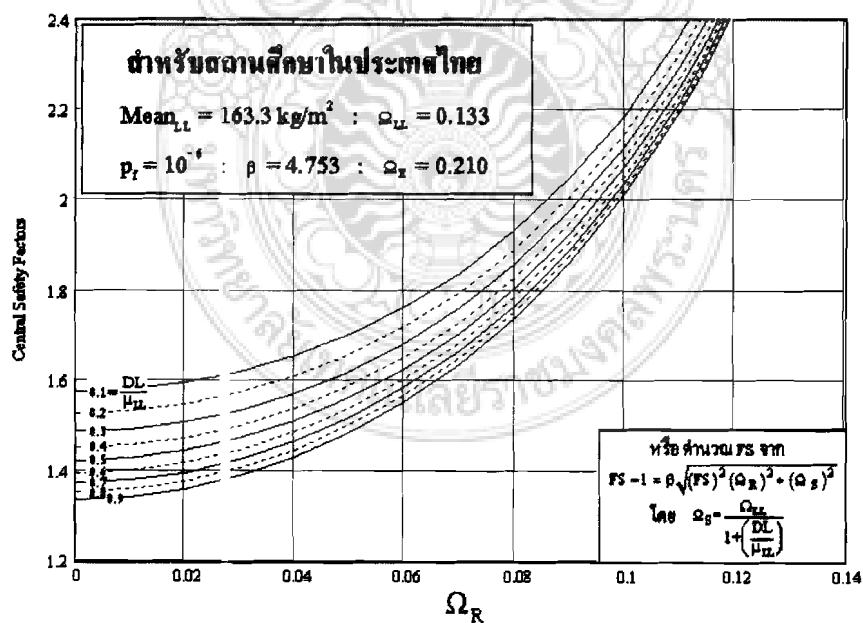
รูปที่ ๔ ขาร์ดออกแบบองค์อาคารไม้มีโดยใช้ค่าโมดูลัสยืดหยุ่น ที่ความน่าจะเป็น $p_i = 10^{-4}$
สำหรับสำนักงานในประเทศไทย (มกclgr และคณะ,2546)



รูปที่ ๕ ขาร์ดออกแบบองค์อาคารไม้มีโดยใช้ค่าโมดูลัสยืดหยุ่น ที่ความน่าจะเป็น 10^{-6}
สำหรับสำนักงานในประเทศไทย (มกclgr และคณะ,2546)

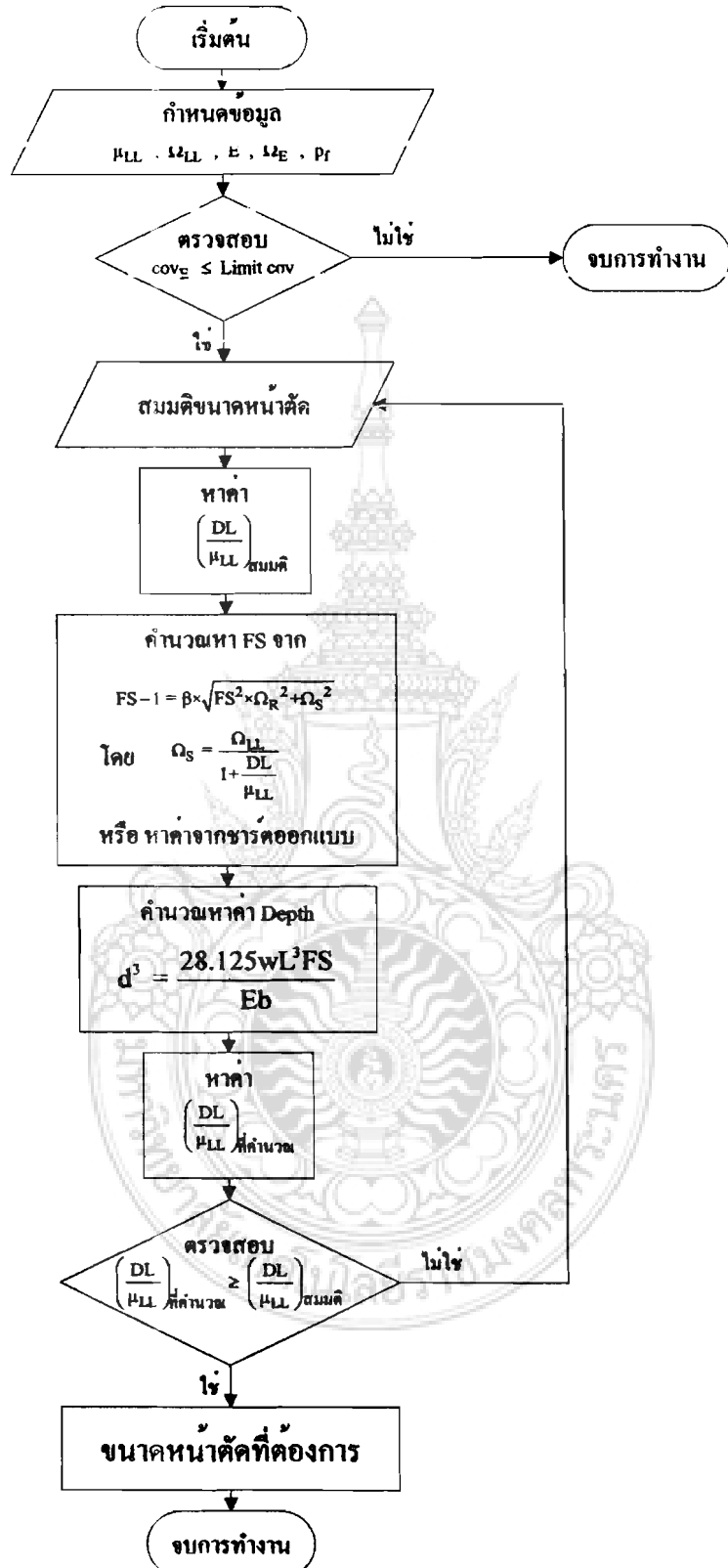


รูปที่ ๖ ขาร์ตออกแบบของค่าอาคารไม่ได้ใช้ค่าโมดูลัสยืดหยุ่น ที่ความน่าจะวินาศ $p_f = 10^{-4}$
สำหรับโรงเรียนในประเทศไทย (มงคลกรและคณะ, 2546)

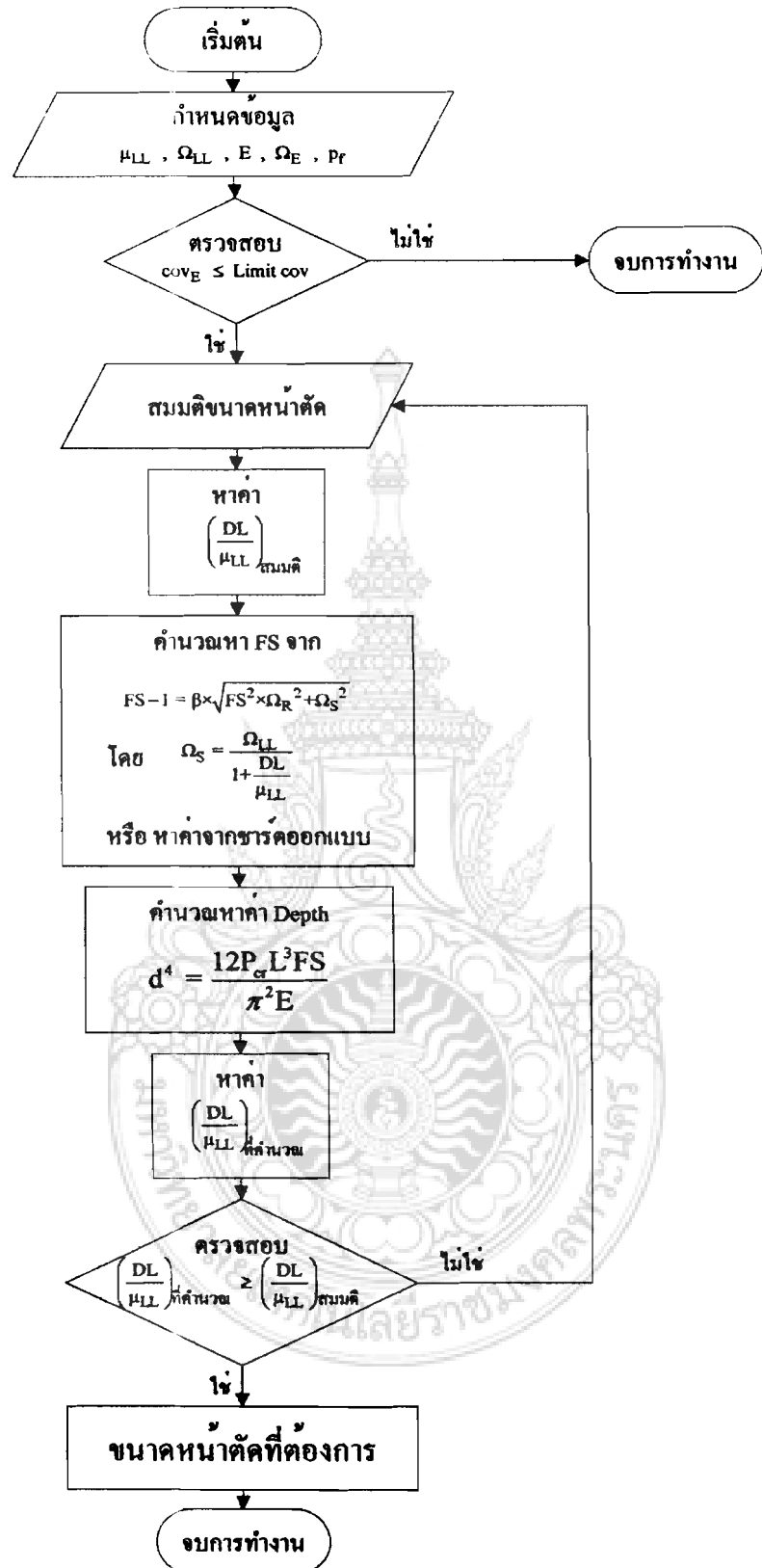


รูปที่ ๗ ขาร์ตออกแบบของค่าอาคารไม่ได้ใช้ค่าโมดูลัสยืดหยุ่น ที่ความน่าจะวินาศ $p_f = 10^{-6}$
สำหรับโรงเรียนในประเทศไทย (มงคลกรและคณะ, 2546)

ข. 3 ขั้นตอนการออกแบบโครงสร้างไม้โดยใช้ค่าอัตราส่วนปจดภัย



รูปที่ ข 8 Flow Chart การออกแบบโครงสร้างไม้ในสภาพเชื้อกำกัดด้านการอยู่ตัว
กรณีออกแบบคงและคาน [9]



รูปที่ ๙ Flow Chart การออกแบบของโครงสร้างไม้ในสภาวะชีดกำกัดด้านการโถงเดาะ
กรณีออกแบบเสาไม้ [9]

ข.4 การออกแบบองค์อาคารไม้โดยทุกภูมิความน่าเชื่อถือเชิงโครงสร้าง

ข.4.1 วิธีการออกแบบองค์อาคารไม้โดยทุกภูมิความน่าเชื่อถือเชิงโครงสร้าง

จากชาร์ตออกแบบองค์อาคารไม้โดยอาศัยทุกภูมิความน่าเชื่อถือเชิงโครงสร้าง สามารถสรุปวิธีการออกแบบได้ดังนี้คือ

- ตรวจสอบค่าคงทนของสัมประสิทธิ์การแปรผัน (Limit cov) ของไม้คูลล์สีย์ดหยุ่นต้องไม่เกิน 0.269 ในกรณีของตงและคาน และไม่เกิน 0.210 ในกรณีของเสา หรือสามารถตรวจสอบจากตารางที่ ข.1 ดังนี้

ตารางที่ ข.1 ค่าสัมประสิทธิ์การแปรผันเทียบกับค่าความน่าจะวินาศและค่าตัวน้ำความปลดภัย

P_r	10^{-4}	10^{-5}	10^{-8}	10^{-8}
β	3.719	4.265	4.753	5.612
COV_E	0.269	0.230	0.210	0.178

- กำหนดค่าทางสถิติของน้ำหนักบรรทุกเฉพาะจากลักษณะขององค์อาคาร ได้แก่ ที่พักอาศัย สำนักงาน และโรงเรียน ซึ่งสามารถใช้ค่าตามตารางที่ ข.2 ดังนี้

ตารางที่ ข.2 ข้อมูลทางวิศวกรรมในประเทศไทย (สุชาติ, 2533)

ประเภทอาคาร	ค่าที่ระบุ (kg/m ²)	ค่าเฉลี่ย (kg/m ²)	สัมประสิทธิ์ การแปรผัน	ค่าเฉลี่ย/ค่าระบุ
ที่พักอาศัย	150	182.4	0.186	1.216
สำนักงาน	250	350.8	0.182	1.400
โรงเรียน	300	163.3	0.133	0.544

- กำหนดความยาวของตงและคาน ความกว้างของตงและคาน ระยะเรียงของตง ค่าความน่าเชื่อถือเชิงโครงสร้าง และค่า COV_E

- เลือกชาร์ตออกแบบ ตามที่ได้กำหนด
- กำหนดชนิดของไม้ที่จะนำมาใช้งาน จากนั้นนำค่าไม้คูลล์สีย์ดหยุ่นไป plag เส้นตัดกับเส้น COV_E บนชาร์ตออกแบบ ก็จะได้ความลึกของน้ำตัด ซึ่งจะต้องนำความลึกของน้ำตัดที่ได้ไปเปลี่ยนขนาดน้ำตัดให้เหมาะสมกับขนาดหน้าตัดไม้ที่มีจำนวนตามท้องตลาด

๔.2 ตัวอย่างการหาค่าอัตราส่วนปลดภัย FS โดยทฤษฎีความน่าเชื่อถือ เชิงโครงสร้างโดยใช้ไม้พูกซ์

ตัวอย่างการนำชาร์ตออกแบบองค์อาคารไม้ โดยทฤษฎีความน่าเชื่อถือเชิงโครงสร้างมาใช้ใน การออกแบบองค์อาคารไม้พูกซ์ ในกรณีเคราะห์ความน่าเชื่อถือเชิงโครงสร้าง กำหนดให้น้ำหนักบรรทุกๆ และค่าโมดูลลส์ยืดหยุ่นเป็นตัวแปรสูง และสมมุติให้มีการแจกแจงแบบปกติ ค่าทางสถิติของน้ำหนักบรรทุกๆ สำหรับที่พักอาศัย สำนักงาน และโรงเรียน ใช้ค่าตามที่กำหนดในตารางที่ ๑.๑ ในขณะที่ค่าโมดูลลส์ยืดหยุ่นของไม้พูกซ์ เท่ากับ $69,150 \text{ กก./ซม.}^2$ สัมประสิทธิ์การแบร์เพนของโมดูลลส์ยืดหยุ่น เท่ากับ ๐.๒๑ ความถ่วงจำเพาะของไม้ เท่ากับ ๐.๘๕๑

การออกแบบเพื่อหาความลึกของคงและคาน โดยกำหนดให้ มีระยะเบียงคง ๓๐ ซม. ตั้งมีความหนา ๒ นิ้ว และคาน (คู่) ๓ นิ้ว คงและคานยาว ๓.๕๐ เมตร พิจารณาจากขีดจำกัดด้านการโถงตัว โดยค่าความน่าจะวินัยเท่ากับ $p_r = 10^{-4}$ ในขณะที่การออกแบบเพื่อหาขนาดของเสาหน้าตัดสี่เหลี่ยมจตุรัส พิจารณาจากสูตรกำลังการโถงเดาของอยเลอร์ โดยค่าความน่าจะวินัยเท่ากับ $p_r = 10^{-6}$

๔.๓ การออกแบบองค์อาคารไม้โดยใช้ค่าอัตราส่วนปลดภัย (FS)

จากชาร์ตออกแบบองค์อาคารไม้โดยอาศัยค่าอัตราส่วนปลดภัยสามารถศึกษาขั้นตอนการคำนวณได้จากภาคผนวก ก และสามารถสรุปวิธีการออกแบบได้ดังนี้คือ

๑. ตรวจสอบขีดจำกัดบนของสัมประสิทธิ์การแบร์เพน (limit cov) ของโมดูลลส์ยืดหยุ่น ต้องไม่เกิน ๐.๒๖๙ ในกรณีของคงและคาน และ ๐.๒๑๐ ในกรณีของเสา หรือใช้ข้อมูลจากตารางที่ ๑.๑
๒. กำหนดค่าทางสถิติของน้ำหนักบรรทุกๆ จาก平均ของอากาศ ได้แก่ ที่พักอาศัย สำนักงาน และโรงเรียน รึ่งสามารถใช้ค่าตามตารางที่ ๑.๒
๓. สมมติหน้าตัดองค์อาคาร คำนวณประมาณผลของน้ำหนักบรรทุก เนื่องจากน้ำหนักบรรทุกๆ ที่หารด้วยน้ำหนักบรรทุกฯ ที่ขนาดหน้าตัดสมมติ
๔. หาค่าอัตราส่วนปลดภัยได้จาก ชาร์ตออกแบบองค์อาคารไม้โดยอาศัยค่าอัตราส่วนปลดภัย หรือหาค่าอัตราส่วนปลดภัยได้จาก สมการ (๑.๑) และ (๑.๒)
๕. นำค่า FS ที่ได้ไปหารค่าโมดูลลส์ยืดหยุ่น จะได้ค่าโมดูลลส์ยืดหยุ่นที่ยอมให้ จากนั้นนำไปคำนวณออกแบบตามปกติ ก็จะได้ขนาดหน้าตัดออกแบบ
๖. ขนาดหน้าตัดที่ได้ไปหารค่าผลของน้ำหนักบรรทุก จะกันนั้นตรวจสอบว่า ผลของน้ำหนักบรรทุกที่ได้มีค่ามากกว่าที่สมมติ แสดงว่าขนาดหน้าตัดที่คำนวณได้เป็นขนาดหน้าตัดวิกฤต หากผลของน้ำหนักบรรทุกที่ได้มีค่าน้อยกว่าที่สมมติ ให้ทำการคำนวณตั้งแต่ ข้อ ๔ ถึง ข้อ ๕ อีกครั้ง
๗. ขนาดหน้าตัดวิกฤตที่ได้จะต้องเปลี่ยนขนาดหน้าตัดให้เหมาะสมกับขนาดหน้าตัดของไม้ที่มีจำนวนผ่ายตามท้องตลาด

๔.๔ ตัวอย่างการ核算ค่าอัตราส่วนความปลอดภัย (FS)

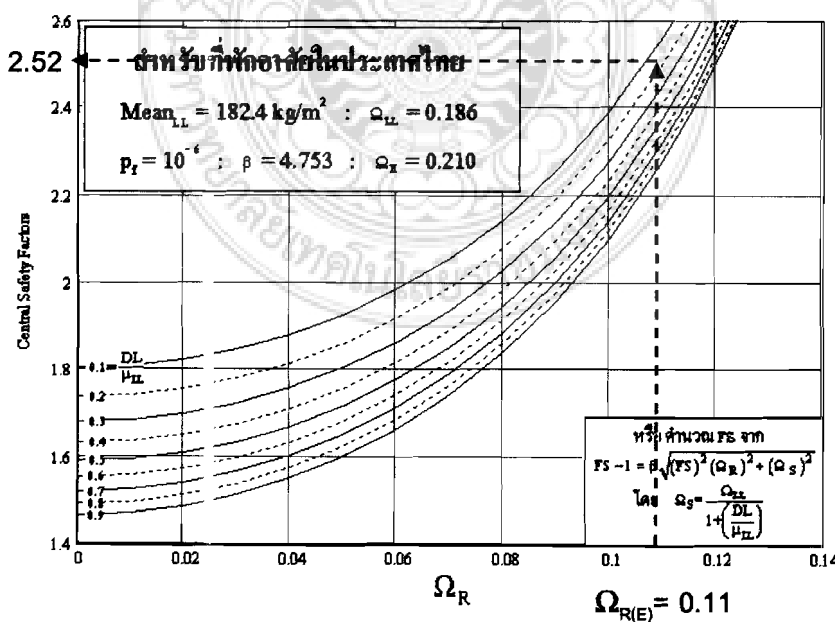
ในการนีการออกแบบ คาน และเสาไม้พูกซ์ ให้ค่าเฉลี่ยน้ำหนักบรรทุกเท่ากับ 182.4 กก./ม^2 ให้ค่าสัมประสิทธิ์การแปรผันเท่ากับ 0.186 ค่าโมดูลัสยืดหยุ่นของไม้พูกซ์เท่ากับ $85,903 \text{ กก./ซม}^2$ ให้ค่าสัมประสิทธิ์การแปรผันของโมดูลัสยืดหยุ่น (Ω_E) เท่ากับ 0.11 (สมมุติ) กำลังรับแรงดดของไม้พูกซ์ เท่ากับ 902 กก./ซม^2 ให้ค่าสัมประสิทธิ์การแปรผันของกำลังรับแรงดด (Ω_b) = 0.162 กำลังรับแรงเฉือนเท่ากับ 253 กก./ซม^2 ให้ค่าสัมประสิทธิ์การแปรผันของกำลังรับแรงเฉือน (Ω_s) = 0.171 และความถ่วงจำเพาะเท่ากับ 0.796 พิจารณาสภาพว่าขีดจำกัดด้านการใช้งานของการโถงตัวของตงแต่ด้านความน่าจะวินิจฉัย $p_f = 10^{-4}$ มีขีดจำกัดของสัมประสิทธิ์การแปรผัน (Limit COV.) ของค่าโมดูลัสยืดหยุ่นและกำลังรับแรงเฉือนจะต้องมีค่าไม่เกิน $\Omega_R = 0.269$ ในขณะที่สภาพว่าขีดจำกัดเรื่องประดับของการโถงเดาของเสาและกำลังรับแรงดดของตง-คานความน่าจะวินิจฉัย $p_f = 10^{-6}$ มีขีดจำกัดของสัมประสิทธิ์การแปรผัน (Limit COV.) จะต้องมีค่าไม่เกิน $\Omega_R = 0.21$

ดังนั้นจากการตรวจสอบเมื่อ $(p_f = 10^{-4})$; $\Omega_E < \Omega_R = 0.269$

และ $(p_f = 10^{-6})$; $\Omega_b, \Omega_E < \Omega_R = 0.21$

หากน้ำหนักบรรทุกคงที่ คำนวณได้จากน้ำหนักพื้นหนา 1" รวมน้ำหนักตงไม้ จะได้น้ำหนักบรรทุกคงที่ $DL = 15 \text{ กก./ม}$. และน้ำหนักบรรทุกจรบนดง $LL = 182.4(0.50) = 91.2 \text{ ตัน/ม}$.

ดังนั้น พิจารณาจากรูปที่ ๑๐ กรณีของตง - คาน มีขีดจำกัดกำลังรับแรงดดที่ $(p_f = 10^{-6})$ สมมุติ $\Omega_{R(E)} = 0.11$ ลากเส้นตรงตั้งจากจากแกน X ตัดกับเส้น $\frac{DL}{LL} = 0.164$ และลากเส้นชันแนกแกน Xไปตัดกับแกน Y จะได้ค่า $FS=2.52$ นำค่าที่ได้ไปคำนวณออกแบบตามขั้นตอนที่ ๕-๗ (๔.๓)



รูปที่ ๑๐ ขาวร์ตออกแบบของค์อาคารไม้โดยใช้ค่าโมดูลัสยืดหยุ่นที่ความน่าจะวินิจฉัย $p_f = 10^{-6}$
สำหรับที่พักอาศัยในประเทศไทย (มงคลกรและคณะ, ๒๕๔๖)

ภาคผนวก ค

ตารางขนาดขององค์อาคารไม้ ตง คาน และเสา

ไม้พฤกษ์และไม้จามจุรี



ตารางภาคผนวก ค

ขนาดขององค์อาคารไม้พฤกษ์และไม้จามจุรีจากการออกแบบ

ค.1 ทั่วไป

ในภาคผนวก ค นี้ได้นำเสนอข้อมูลที่ได้จากการออกแบบโดยใช้ไม้พฤกษ์และไม้จามจุรี มาใช้เป็นองค์อาคารทรง คาน และเสา ซึ่งทำการออกแบบตามมาตรฐาน ว.ส.ท. 2517 [15] สำหรับอาคารไม้ โดยวิธีคำนวณถูกต้อง (Accurate Method) ออกแบบด้วยวิธีปรกติที่ใช้กันอยู่ในปัจจุบัน โดยมีหารือ น้ำเสื้อถือแบบสม่ำเสมอ WCCAL [8-10] และแนะนำค่า FS ที่ยอมรับได้ ผลการวิเคราะห์และออกแบบขนาดขององค์อาคาร ไม้พฤกษ์และไม้จามจุรีให้ข้อมูลที่ได้จากการทดสอบและวิเคราะห์ คุณสมบัติทางสอดคล้องกับความต้องการที่ต้องการ ได้ค่าสัมประสิทธิ์การ แปรผันของไม้ ที่ค่าต่างๆ ค่าเฉลี่ยและค่าสัมประสิทธิ์การแปรผันของน้ำหนักบรรทุกของที่พักอาศัย สำนักงาน และโรงเรียน และพิจารณาความต้านทานของโครงสร้างขององค์อาคารไม้ แต่ละประเภท สามารถแบ่งแยกได้ตามสภาวะขีดจำกัด (Limit State) ซึ่งแสดงค่าความน่าเสื่อมเสียของโครงสร้างในรูป ของความน่าจะบด(p_r) ตัวอย่างเช่นกำหนดค่าความน่าจะบดเนื่องจากการโกร่งตัวของตงไม้อญี่ปุ่นพิกัด ที่ยอมรับได้ที่ระดับ ($p_r = 10^4$) และ ($p_r = 10^6$) สำหรับการโกร่งเดาของเสาไม้เป็นต้น สำหรับตัวแปร เริงกำหนดที่ใช้ในการออกแบบ เช่นขนาดความหนาของตง และคาน ใช้ค่า 1½", 2", 3" ในขณะที่ด้าน ที่แคบที่สุดของเสาใช้ขนาดตัวอย่างเช่น 7½"x7½", 8"x8" และ 9"x9" เป็นต้น ความยาวของตงและ คานใช้ขนาด 2.5, 3.0 และ 3.5 เมตร ในขณะที่ความสูงของเสาไว้ 3.00 เมตร โดยมีระยะเรียงของตง เท่ากับ 0.30, 0.40 และ 0.50 เมตร ซึ่งได้ผลการวิเคราะห์และออกแบบขนาดขององค์อาคารไม้ โดย ขนาดนี้ที่แนะนำเป็นขนาดภายนอกหลังการแต่งไส้เส้า (Dressed dimensions) ซึ่งมีจำนวนตาม ท้องตลาดสามารถสรุปผลได้ดังตารางที่ ค.1- ค.12

ตารางที่ ค 1 ขนาดหน้าตัดองค์อาคาร คงไม้พักกษ์

ข้อมูลที่ใช้ออกแบบ	ประเภท	LL (kg/m ²)	ความยาว (เมตร)	ระยะเรียง ของตง (ซม.)	ความกว้าง (b) (ซม.)	ลึก (d) (ซม.)	ขนาด (d) (นิ้ว)	Factor of Safety (FS)		
								deflection	bending	shear
LL = 182 กก/ม ²	หัวกอล์ฟ	150	2.5	30	3.81	19.11	2 - 4"	5	5	3
p _f = 10 ⁻⁶					5.08	17.49	2-3½	5	5	3
p _f = 10 ⁻⁴				40	3.81	20.92	2-4½	5	5	3
COV _{LL} = 0.186					5.08	19.11	2 - 4"	5	5	3
COV _E = 0.204				50	3.81	22.4	2-4½	5	5	3
COV _R = 0.162					5.08	20.5	2-4½	5	5	3
COV _V = 0.171				30	3.81	22.93	2 - 5"	5	5	3
E = 85,903 กก/ซม ²					5.08	20.98	2-4½	5	5	3
f _r = 902 กก/ซม ²				40	3.81	25.1	2 - 5"	5	5	3
G = 0.796					5.08	22.93	2 - 5"	5	5	3
β = 4.753				50	3.81	26.95	2-5½	5	5	3
β = 3.719					5.08	24.59	2 - 5"	5	5	3
				30	3.81	26.75	2-5½	5	5	3
					5.08	24.48	2 - 5"	5	5	3
				40	3.81	29.29	2 - 6"	5	5	3
					5.08	26.75	2-5½	5	5	3
				50	3.81	31.44	2-6½	5	5	3
					5.08	28.69	2 - 6"	5	5	3

หมายเหตุ : ขนาดหน้าตัดที่คำนวนได้สามารถควบคุมพิกัดการโถงตัว(Deflection) ที่ความกว้างจั่วบีติ $p_f = 10^{-4}$

ตารางที่ ค 2 ขนาดหน้าตัดองค์อาคาร ลงไม้พุกช์

ข้อมูลที่ใช้ออกแบบ	ประเภท	LL (kg/m ²)	ความยาว (เมตร)	ระยะเรียง ของตง (ซม.)	ความกว้าง (b) (ซม.)	ลึก (d) (ซม.)	ขนาด (d) (นิ้ว)	Factor of Safety (FS)		
								deflection	bending	shear
LL = 350.8 กก/m ²	ผู้รับ荷重	250	2.5	30	3.81	3.81	23.15	2 - 5"	5	5
p _f = 10 ⁻⁶					5.08	5.08	21.12	2-4½	5	5
p _f = 10 ⁻⁴				40	3.81	3.81	25.14	2-5½	5	5
COV _{LL} = 0.180					5.08	5.08	23.16	2 - 5"	5	5
COV _E = 0.204				50	3.81	3.81	27.32	2-5½	5	5
COV _R = 0.162					5.08	5.08	24.89	2 - 5"	5	5
COV _v = 0.171				30	3.81	3.81	27.79	2-5½	5	5
E = 85,903 กก/ซม ²					5.08	5.08	25.35	2 - 5"	5	5
f _r = 902 กก/ซม ²				40	3.81	3.81	30.49	2-6½	5	5
G = 0.796					5.08	5.08	27.79	2-5½	5	5
β = 4.753				50	3.81	3.81	32.78	2-6½	5	5
β = 3.719					5.08	5.08	29.86	2 - 6"	5	5
				30	3.81	3.81	32.42	2-6½	5	5
					5.08	5.08	29.57	2 - 6"	5	5
				40	3.81	3.81	35.58	2-7½	5	5
					5.08	5.08	32.42	2-6½	5	5
				50	3.81	3.81	38.26	2 - 8"	5	5
					5.08	5.08	34.84	2 - 7"	5	5

หมายเหตุ : ขนาดหน้าตัดที่คำนวณได้สามารถควบคุมพิกัดการโค้งงอ (Deflection) ที่ความกว้างวิบติ p_f = 10⁻⁴

ตารางที่ ค3 ขนาดหน้าตัดองค์อาคาร ทางไม้พุกษ์

ข้อมูลที่ใช้ออกแบบ	ประเภท	LL (kg/m ²)	ความเยาว์ (เมตร)	ระยะเรียง ช่องตง (ซม.)	ความกว้าง (b) (ซม.)	ลึก (d) (ซม.)	ขนาด (d) (นิ้ว)	Factor of Safety (FS)		
								deflection	bending	shear
LL = 163.3 กก/ม ²	โครงสร้าง	300	2.5	30	3.81	3.81	18.4	2 - 4"	5	5
p _f = 10 ⁻⁶					5.08	5.08	16.86	2-3½	5	5
p _f = 10 ⁻⁴				40	3.81	3.81	20.13	2 - 4"	5	5
COV _{LL} = 0.133					5.08	5.08	18.41	2 - 4"	5	5
COV _E = 0.204				50	3.81	3.81	21.6	2-4½	5	5
COV _R = 0.162					5.08	5.08	19.73	2 - 4"	5	5
COV _V = 0.171				30	3.81	3.81	22.08	2-4½	5	5
E = 85,903 กก/ซม ²					5.08	5.08	20.23	2 - 4"	5	5
f _r = 902 กก/ซม ²				40	3.81	3.81	24.16	2 - 5"	5	5
G = 0.796					5.08	5.08	22.08	2-4½	5	5
β = 4.753				50	3.81	3.81	25.92	2-5½	5	5
β = 3.719					5.08	5.08	23.67	2 - 5"	5	5
				30	3.81	3.81	25.76	2-5½	5	5
					5.08	5.08	23.61	2 - 5"	5	5
				40	3.81	3.81	28.18	2 - 6"	5	5
					5.08	5.08	25.76	2-5½	5	5
				50	3.81	3.81	30.25	2 - 6"	5	5
					5.08	5.08	27.62	2-5½	5	5

หมายเหตุ : ขนาดหน้าตัดที่คำนวนได้สามารถควบคุมพิกัดการโค้งตัว(Deflection) ที่ความกว้างจะวินบติ $p_f = 10^{-4}$

ตารางที่ ก 4 ขนาดหน้าตัดองค์อาคาร คานไม้พักกษ์

ข้อมูลที่ใช้ออกแบบ	ประเภท	LL (kg/m ²)	ความยาว (เมตร)	ระยะเรียง ช่องตง (ซม.)	ความกว้าง (b) (ซม.)	ลึก (d) (ซม.)	ขนาด (d) (นิ้ว)	Factor of Safety (FS)		
								deflection	bending	shear
LL = 182 kg/m ²	ห้องครัวด้วย	150	2.5	30	5.08	35.41	2 - 7"	5	5	3
p _f = 10 ⁻⁶					7.62	36.6	2-7½	5	5	3
p _f = 10 ⁻⁴				40	5.08	34.9	2 - 7"	5	5	3
cov _{LL} = 0.186					7.62	35.84	2-7½	5	5	3
cov _E = 0.204				50	5.08	34.61	2 - 7"	5	5	3
cov _R = 0.162					7.62	35.4	2 - 7"	5	5	3
cov _v = 0.171				30	5.08	45.02	2 - 9"	5	5	3
E = 85903 kg/cm ²					7.62	46.5	2-9½	5	5	3
F _r = 902 kg/cm ²				40	5.08	44.35	2 - 9"	5	5	3
G = 0.796					7.62	45.54	2 - 9"	5	5	3
β = 4.753				50	5.08	43.97	2 - 9"	5	5	3
β = 3.719					7.62	44.96	2 - 9"	5	5	3
				30	5.08	55.16	2 - 11"	5	5	3
					7.62	56.97	2-11½	5	5	3
				40	5.08	54.34	2 - 11"	5	5	3
					7.62	55.78	2 - 11"	5	5	3
				50	5.08	53.85	2 - 11"	5	5	3
					7.62	55.05	2 - 11"	5	5	3

หมายเหตุ : ขนาดหน้าตัดที่คำนวณได้สามารถควบคุมพิกัดการโค้งงอ (Deflection) ที่ความกว้างวิบาก p_f = 10⁻⁴

ตารางที่ ค 5 ขนาดหน้าตัดองค์อาคาร คานไม้พักษ์

ข้อมูลที่ใช้ออกแบบ	ประเภท	LL (kg/m ²)	ความยาว (เมตร)	ระยะเรียง ช่องดง (ซม.)	ความกว้าง (b) (ซม.)	ลึก (d) (ซม.)	ขนาด (d) (นิ้ว)	Factor of Safety (FS)		
								deflection	bending	shear
LL = 350.8 kg/m ²	สำนักงาน	250	2.5	30	5.08	42.26	2-8½	5	5	3
p _f = 10 ⁻⁶					7.62	43.08	2-8½	5	5	3
p _f = 10 ⁻⁴				40	5.08	42.91	2-8½	5	5	3
cov _{LL} = 0.180					7.62	42.56	2-8½	5	5	3
cov _E = 0.204				50	5.08	41.69	2-8½	5	5	3
cov _R = 0.162					7.62	42.25	2-8½	5	5	3
cov _v = 0.171			3.0	30	5.08	53.78	2 - 11"	5	5	3
E = 85903 kg/cm ²					7.62	54.83	2 - 11"	5	5	3
F _r = 902 kg/cm ²				40	5.08	53.33	2-10½	5	5	3
G = 0.796					7.62	54.15	2 - 11"	5	5	3
β = 4.753				50	5.08	53.06	2-10½	5	5	3
β = 3.719					7.62	53.74	2 - 11"	5	5	3
			3.5	30	5.08	65.97	2 - 13"	5	5	3
					7.62	67.24	2-13½	5	5	3
				40	5.08	65.41	2 - 13"	5	5	3
					7.62	66.4	2-13½	5	5	3
				50	5.08	65.07	2 - 13"	5	5	3
					7.62	65.89	2 - 13"	5	5	3

หมายเหตุ : ขนาดหน้าตัดที่คำนวนได้สามารถควบคุมพิกัดการโง่งตัว(Deflection) ที่ความกว้างจั่วบดี $p_f = 10^{-4}$

ตารางที่ ค 6 ขนาดหน้าตัดองค์อาคาร คานไม้พักกษ์

ข้อมูลที่ใช้ออกแบบ	ประเภท	LL (kg/m ²)	ความยาว (เมตร)	ระยะเรียง ของตง (ซม.)	ความกว้าง (b) (ซม.)	ลึก (d) (ซม.)	ขนาด (d) (นิ้ว)	Factor of Safety (FS)		
								deflection	bending	shear
LL = 163.3 kg/m ²	โครงสร้าง	300	2.5	30	5.08	34.24	2 - 7"	5	5	3
p _f = 10 ⁻⁶					7.62	35.52	2 - 7"	5	5	3
p _f = 10 ⁻⁴				40	5.08	33.69	2 - 7"	5	5	3
cov _{LL} = 0.133					7.62	34.72	2 - 7"	5	5	3
cov _E = 0.204				50	5.08	33.36	2 - 7"	5	5	3
cov _R = 0.162					7.62	34.23	2 - 7"	5	5	3
cov _v = 0.171				30	5.08	43.52	2 - 9"	5	5	3
E = 85903 kg/cm ²					7.62	45.12	2 - 9"	5	5	3
F _r = 902 kg/cm ²				40	5.08	42.79	2-8½	5	5	3
G = 0.796					7.62	44.08	2 - 9"	5	5	3
B = 4.753				50	5.08	42.37	2-8½	5	5	3
B = 3.719					7.62	43.45	2 - 9"	5	5	3
			3.5	30	5.08	53.32	2-10½	5	5	3
					7.62	55.27	2 - 11"	5	5	3
				40	5.08	52.41	2-10½	5	5	3
					7.62	53.97	2 - 11"	5	5	3
				50	5.08	51.87	2-10½	5	5	3
					7.62	53.19	2-10½	5	5	3

หมายเหตุ : ขนาดหน้าตัดที่คำนวณได้สามารถควบคุมพิกัดการโค้งงอ (Deflection) ที่ความสูงจะวินบิต $p_f = 10^{-4}$

ตารางที่ ค 7 ขนาดหน้าตัดองค์อาคาร เสาไม้พฤกษ์

ข้อมูลที่ใช้ออกแบบ	ประเภท	LL (kg/m ²)	ความยาว (เมตร)	ระยะเรียง ของตง (ซม.)	ความกว้าง (b) (ซม.)	ด้านแคบของเสา (d)		Factor of Safety (FS)
						(ซม.)	(นิ้ว)	
LL = 182	พักอาศัย	182.4	2.5	30	5.08	16.417	6½"	33
p _f = 10 ⁻⁶					7.62	16.487	6½"	33
p _f = 10 ⁻⁴				40	5.08	16.304	6½"	33
cov _{LL} = 0.186					7.62	16.36	6½"	33
cov _E = 0.204				50	5.08	16.235	6½"	33
cov _{f_a} = 0.119					7.62	16.25	6½"	33
E = 85,903 kg/cm ²				30	5.08	17.901	7"	33
F _s = 565 kg/cm ²					7.62	17.75	7"	33
G = 0.796				40	5.08	17.77	7"	33
B = 4.753					7.62	17.83	7"	33
B = 3.719				50	5.08	17.69	7"	33
					7.62	17.76	7"	33
			3.5	30	5.08	19.27	7½"	33
					7.62	19.33	7½"	33
				40	5.08	19.13	7½"	33
					7.62	19.19	7½"	33
				50	5.08	19.05	7½"	33
					7.62	19.11	7½"	33

หมายเหตุ : ขนาดหน้าตัดที่คำนวนได้สามารถควบคุมพิกัดการโก่งเดา (Bucking) ที่ความกว้างจั่วบติ $p_f = 10^{-6}$

ตารางที่ ค 8 ขนาดหน้าตัดองค์อาคาร เสาไม้พุกช์

ข้อมูลที่ใช้ออกแบบ	ประเภท	LL (kg/m ²)	ความยาว (เมตร)	ระยะเรียง ของดง (ซม.)	ความกว้าง (b) (ซม.)	ด้านแคบของเสา (d)		Factor of Safety (FS)
						(ซม.)	(นิ้ว)	
LL = 350.8 kg/m ²	เสาไม้พุกช์	250	2.5	30	5.08	18.21	7½"	33
p _f = 10 ⁻⁶					7.62	18.25	7½"	33
p _f = 10 ⁻⁴				40	5.08	18.12	7½"	33
cov _{LL} = 0.180					7.62	18.16	7½"	33
cov _E = 0.204				50	5.08	18.07	7½"	33
cov _{fa} = 0.119					7.62	18.12	7½"	33
E = 85,903 kg/cm ²				30	5.08	19.88	8"	33
F _a = 565 kg/cm ²					7.62	19.92	8"	33
G = 0.796				40	5.08	19.79	8"	33
β = 4.753					7.62	19.83	8"	33
β = 3.719				50	5.08	19.73	8"	33
					7.62	19.77	8"	33
			3.5	30	5.08	21.43	8½"	33
					7.62	21.47	8½"	33
				40	5.08	21.33	8½"	33
					7.62	21.37	8½"	33
				50	5.08	21.27	8½"	33
					7.62	21.31	8½"	33

หมายเหตุ : ขนาดหน้าตัดที่คำนวณได้สามารถควบคุมพิกัดการโก่งเตา (Bucking) ที่ความกว้างจั่วบัว $p_t = 10^{-6}$

ตารางที่ ค 9 ขนาดหน้าตั้ตองค์อาคาร เสาไม้พฤกษ์

ข้อมูลที่ใช้ออกแบบ	ประเภท	LL (kg/m ²)	ความยาว (เมตร)	ระยะเรียง ช่องตง (ซม.)	ความกว้าง (b) (ซม.)	ด้านแคบของเสา (d)		Factor of Safety (FS)
						(ซม.)	(นิ้ว)	
LL = 163.3 kg/m ²	โครงสร้าง	300	2.5	30	5.08	16.16	6½"	33
p _f = 10 ⁻⁶					7.62	16.23	6½"	33
p _f = 10 ⁻⁴				40	5.08	16.05	6½"	33
cov _{LL} = 0.133					7.62	16.11	6½"	33
cov _E = 0.204				50	5.08	15.97	6½"	33
cov _{ta} = 0.119					7.62	16.04	6½"	33
E = 85,903 kg/cm ²				30	5.08	17.62	7"	33
F _a = 565 kg/cm ²					7.62	17.68	7"	33
G = 0.796				40	5.08	17.48	7"	33
B = 4.753					7.62	17.55	7"	33
B = 3.719				50	5.08	17.41	7"	33
					7.62	17.47	7"	33
				30	5.08	18.97	7½"	33
					7.62	19.02	7½"	33
				40	5.08	18.83	7½"	33
					7.62	18.88	7½"	33
				50	5.08	18.74	7½"	33
					7.62	18.79	7½"	33

หมายเหตุ : ขนาดหน้าตัดที่คำนวณได้สามารถควบคุมพิกัดการโก่งเดา (Bucking) ที่ความกว้างจั่วบัด p_f = 10⁻⁶

ตารางที่ ๑๐ ขนาดหน้าตัดองค์อาคาร คงไม้จามจุรี

ข้อมูลที่ใช้ออกแบบ	ประเภท	LL (kg/m ²)	ความเยาว์ (เมตร)	ระยะเรียง ของตง (ซม.)	ความกว้าง (b) (ซม.)	ลึก (d) (ซม.)	ขนาด (d) (นิ้ว)	Factor of Safety (FS)		
								deflection	bending	shear
LL = 182 กก/ม ²	ห้องครัว	182.4	2.5	30	3.81	21.58	2 - 4½"	5	10	3
p _f = 10 ⁻⁶					5.08	19.7	2 - 4"	5	10	3
p _f = 10 ⁻⁴			40	3.81	23.67	2 - 5"	5	10	3	
COV _{LL} = 0.186				5.08	21.58	2 - 4½"	5	10	3	
COV _E = 0.202			50	3.81	25.43	2 - 5½"	5	10	3	
COV _R = 0.188				5.08	23.18	2 - 5"	5	10	3	
COV _V = 0.171			30	3.81	25.89	2 - 5½"	5	10	3	
E = 49,997 กก/ซม ²				5.08	23.64	2 - 5"	5	10	3	
f _c = 392 กก/ซม ²			40	3.81	28.4	2 - 6"	5	10	3	
G = 0.51				5.08	25.89	2 - 5½"	5	10	3	
β = 4.753			50	3.81	30.52	2 - 6½"	5	10	3	
β = 3.719				5.08	27.81	2 - 5½"	5	10	3	
			3.5	30	3.81	30.21	2 - 6"	5	10	3
				5.08	27.58	2 - 5½"	5	10	3	
				40	3.81	33.13	2 - 7"	5	10	3
					5.08	30.21	2 - 6"	5	10	3
				50	3.81	35.61	2 - 7½"	5	10	3
					5.08	32.45	2 - 6¼"	5	10	3

หมายเหตุ : ขนาดหน้าตัดที่คำนวนได้สามารถควบคุมพิกัดการโค้งงอ (Deflection) ที่ความกว้างจั่ว p_f = 10⁻⁴

ตารางที่ ค 11 ขนาดหน้าตัดองค์อาคาร ตงไม้จามจุรี

ข้อมูลที่ใช้ออกแบบ	ประเภท	LL (kg/m ²)	ความยาว (เมตร)	ระยะเรียง ของตง (ซม.)	ความกว้าง (b) (ซม.)	ลึก (d) (ซม.)	ขนาด (d) (นิ้ว)	Factor of Safety (FS)		
								deflection	bending	shear
LL = 350.8 กก./m ²	ผู้รับน้ำหนัก	250	3.0	30	3.81	26.38	2 - 5½"	5	10	3
p _f = 10 ⁻⁶					5.08	24.03	2 - 5"	5	10	3
p _f = 10 ⁻⁴				40	3.81	28.98	2 - 6"	5	10	3
COV _{LL} = 0.180					5.08	26.87	2 - 5½"	5	10	3
COV _E = 0.202				50	3.81	31.18	2 - 6½"	5	10	3
COV _R = 0.188					5.08	28.38	2 - 6"	5	10	3
COV _V = 0.171				30	3.81	31.67	2 - 6½"	5	10	3
E = 49,997 กก./ซม. ²					5.08	28.84	2 - 6"	5	10	3
f _t = 392 กก./ซม. ²				40	3.81	34.78	2 - 7"	5	10	3
G = 0.51					5.08	31.66	2 - 6½"	5	10	3
β = 4.753				50	3.81	37.42	2 - 7½"	5	10	3
β = 3.719					5.08	34.05	2 - 7"	5	10	3
				30	3.81	39.94	2 - 7½"	5	10	3
					5.08	33.65	2 - 7"	5	10	3
				40	3.81	40.58	2 - 8"	5	10	3
					5.08	36.94	2 - 7½"	5	10	3
				50	3.81	43.66	2 - 9"	5	10	3
					5.08	39.73	2 - 8"	5	10	3

หมายเหตุ : ขนาดหน้าตัดที่คำนวณได้สามารถควบคุมพิกัดการโค้งงอ (Deflection) ที่ความกว้างจั่ว p_f = 10⁻⁴

ตารางที่ ค 12 ขนาดหน้าตัดองค์อาคาร ตงไม้สามจุรี

ข้อมูลที่ใช้ออกแบบ	ประเภท	LL (kg/m ²)	ความเยาว์ (เมตร)	ระยะเรียง ของหง (ซม.)	ความกว้าง (b) (ซม.)	ลึก (d) (ซม.)	ขนาด (d) (นิ้ว)	Factor of Safety (FS)		
								deflection	bending	shear
LL = 163.3 กก/m ²	โครงสร้าง	300	3.0	30	3.81	20.87	2 - 4½"	5	10	3
p _f = 10 ⁻⁶					5.08	19.06	2 - 4"	5	10	3
p _f = 10 ⁻⁴				40	3.81	22.87	2 - 5"	5	10	3
COV _{LL} = 0.133					5.08	20.87	2 - 4½"	5	10	3
COV _E = 0.202				50	3.81	24.58	2 - 5"	5	10	3
COV _R = 0.188					5.08	22.41	2 - 4½"	5	10	3
COV _V = 0.171				30	3.81	25.04	2 - 5"	5	10	3
E = 49,997 กก/㎟					5.08	22.87	2 - 5"	5	10	3
f _c = 392 กก/㎟				40	3.81	27.45	2 - 5½"	5	10	3
G = 0.51					5.08	25.04	2 - 5"	5	10	3
β = 4.753				50	3.81	29.51	2 - 6"	5	10	3
β = 3.719					5.08	26.89	2 - 5½"	5	10	3
				30	3.81	29.22	2 - 6"	5	10	3
					5.08	26.69	2 - 5½"	5	10	3
				40	3.81	32.03	2 - 6½"	5	10	3
					5.08	29.22	2 - 6"	5	10	3
				50	3.81	34.42	2 - 7"	5	10	3
					5.08	31.37	2 - 6½"	5	10	3

หมายเหตุ : ขนาดหน้าตัดที่คำนวณได้สามารถควบคุมพิกัดการโค้งดัว (Deflection) ที่ความกว้างจั่ว p_f = 10⁻⁴

ตารางที่ ค 13 ขนาดหน้าตัดองค์อาคาร คานไม้จามจุรี

ข้อมูลที่ใช้ออกแบบ	ประเภท	LL (kg/m ²)	ความยาว (เมตร)	ระยับเรียง ของตง (ซม.)	ความกว้าง (b) (ซม.)	ลึก (d) (ซม.)	ขนาด (d) (นิ้ว)	Factor of Safety (FS)		
								deflection	bending	shear
LL = 182 kg/m ²	ผู้ออกแบบ	150	2.5	30	5.08	40.27	2 - 8"	4.5	10	3
p _f = 10 ⁻⁶					7.62	35.56	2 - 7"	4.5	10	3
p _f = 10 ⁻⁴				40	5.08	39.96	2 - 8"	4.5	10	3
cov _{LL} = 0.186					7.62	35.02	2 - 7"	4.5	10	3
cov _E = 0.202				50	5.08	39.79	2 - 8"	4.5	10	3
cov _R = 0.188					7.62	34.86	2 - 7"	4.5	10	3
cov _s = 0.171				30	5.08	51.24	2 - 10½"	4.5	10	3
E = 49,997 กก/ซม ²					7.62	44.87	2 - 9"	4.5	10	3
f _r = 392 กก/ซม ²				40	5.08	50.85	2 - 10½"	4.5	10	3
G = 0.51					7.62	44.53	2 - 9"	4.5	10	3
β = 4.753				50	5.08	50.62	2 - 10"	4.5	10	3
β = 3.719					7.62	44.33	2 - 9"	4.5	10	3
				30	5.08	62.84	2 - 12½"	4.5	10	3
					7.62	55.02	2 - 11"	4.5	10	3
				40	5.08	62.35	2 - 12½"	4.5	10	3
					7.62	54.59	2 - 11"	4.5	10	3
				50	5.08	62.07	2 - 12½"	4.5	10	3
					7.62	54.34	2 - 11"	4.5	10	3

หมายเหตุ : ขนาดหน้าตัดที่คำนวณได้สามารถทนความดันพิษกัดการโก่งตัว (Deflection) ที่ความกว้างจั่วบาน p_f = 10⁻⁴

ตารางที่ ค 14 ขนาดหน้าตัดองค์อาคาร คานไม้จามจุรี

ข้อมูลที่ใช้ออกแบบ	ประเภท	LL (kg/m ²)	ความเยาว์ (มตร)	ระยะเรียง ของตง (ซม.)	ความกว้าง (b) (ซม.)	ลึก (d) (ซม.)	ขนาด (d) (นิ้ว)	Factor of Safety (FS)			
								deflection	bending	shear	
LL = 350.8 kg/m ²	คานบาน้ำ	250	3.0	2.5	30	5.08	48.95	2 - 10"	4.5	10	3
p _f = 10 ⁻⁶					7.62	42.83	2 - 8½"	4.5	10	3	
p _f = 10 ⁻⁴				40	5.08	48.74	2 - 10"	4.5	10	3	
cov _{LL} = 0.180					7.62	42.65	2 - 8½"	4.5	10	3	
cov _E = 0.202				50	5.08	48.63	2 - 10"	4.5	10	3	
cov _R = 0.188					7.62	42.55	2 - 8½"	4.5	10	3	
cov _s = 0.171				30	5.08	62.36	2 - 12½"	4.5	10	3	
E = 49,997 กก./ม ²					7.62	54.55	2 - 11"	4.5	10	3	
f _r = 392 กก./ม ²				40	5.08	62.09	2 - 12½"	4.5	10	3	
G = 0.51					7.62	54.31	2 - 11"	4.5	10	3	
β = 4.753				50	5.08	61.94	2 - 12½"	4.5	10	3	
β = 3.719					7.62	54.18	2 - 11"	4.5	10	3	
				30	5.08	76.52	2 - 15½"	4.5	10	3	
					7.62	66.93	2 - 13½"	4.5	10	3	
				40	5.08	76.19	2 - 15"	4.5	10	3	
					7.62	66.63	2 - 13½"	4.5	10	3	
				50	5.08	76.01	2 - 15"	4.5	10	3	
					7.62	66.47	2 - 13½"	4.5	10	3	

หมายเหตุ : ขนาดหน้าตัดที่คำนวนได้สามารถควบคุมพิกัดการโง่งตัว(Deflection) ที่ความกว้างจามจุรี p_f = 10⁻⁴

ตารางที่ ค 15 ขนาดหน้าตัดองค์อาคาร คานไม้จามจุรี

ข้อมูลที่ใช้ออกแบบ	ประเภท	LL (kg/m ²)	ความยาว (เมตร)	ระยะเรียง ช่องตง (ซม.)	ความกว้าง (b) (ซม.)	ลึก (d) (ซม.)	ขนาด (d) (นิ้ว)	Factor of Safety (FS)		
								deflection	bending	shear
LL = 182.4 kg/m ²	โครงสร้าง	300	2.5	30	5.08	38.73	2-8"	4.5	10	3
p _f = 10 ⁻⁶					7.62	33.94	2-7"	4.5	10	3
p _f = 10 ⁻⁴				40	5.08	38.4	2-8"	4.5	10	3
cov _{LL} = 0.186					7.62	33.66	2-7"	4.5	10	3
cov _E = 0.202				50	5.08	38.2	2-8"	4.5	10	3
cov _R = 0.188					7.62	33.51	2-7"	4.5	10	3
cov _s = 0.171				30	5.08	49.27	2-10"	4.5	10	3
E = 49,997 กก/㎟					7.62	42.56	2-8½"	4.5	10	3
f _r = 392 กก/㎟				40	5.08	48.84	2-10"	4.5	10	3
G = 0.51					7.62	42.78	2-8½"	4.5	10	3
β = 4.753				50	5.08	48.58	2-10"	4.5	10	3
β = 3.719					7.62	42.57	2-8½"	4.5	10	3
				30	5.08	60.42	2-12"	4.5	10	3
					7.62	52.91	2-10½"	4.5	10	3
				40	5.08	59.87	2-12"	4.5	10	3
					7.62	52.44	2-10½"	4.5	10	3
				50	5.08	59.56	2-12"	4.5	10	3
					7.62	52.16	2-10½"	4.5	10	3

หมายเหตุ : ขนาดหน้าตัดที่คำนวณได้สามารถควบคุมพิกัดการโค้งงอ (Deflection) ที่ความกว้างจั่วบดี $p_f = 10^{-4}$

ตารางที่ ก 16 ขนาดหน้าตัดของค่าอาคาร เสาไม้จามจุรี

ข้อมูลที่ใช้ออกแบบ	ประเภท	LL (kg/m ²)	ความยาว (เมตร)	ระยะเรียง ของตง (ซม.)	ความกว้าง (b) (ซม.)	ด้านแคนบของเสา (d)		Factor of Safety (FS)
						(ซม.)	(นิ้ว)	
LL = 182	เสาโครงสร้าง	150	2.5	30	5.08	17.15	7"	25
$p_t = 10^{-6}$					7.62	17.19	7"	25
$p_t = 10^{-4}$				40	5.08	17.06	7"	25
$cov_{LL} = 0.186$					7.62	17.11	7"	25
$cov_E = 0.202$				50	5.08	17.02	7"	25
$cov_{fa} = 0.202$					7.62	17.07	7"	25
$E = 49,997$				30	5.08	18.72	7½"	25
$F_s = 275.84$					7.62	18.77	7½"	25
$G = 0.51$				40	5.08	18.63	7½"	25
$\beta = 4.753$					7.62	18.67	7½"	25
$\beta = 3.719$				50	5.08	18.57	7½"	25
					7.62	18.62	7½"	25
				30	5.08	20.18	8"	25
					7.62	20.22	8"	25
				40	5.08	20.08	8"	25
					7.62	20.12	8"	25
				50	5.08	20.02	8"	25
					7.62	20.06	8"	25

หมายเหตุ : ขนาดหน้าตัดที่คำนวณได้สามารถควบคุมพิกัดการโถงเดาะ (Bucking) ที่ความกว้างจั่ว $p_t = 10^{-6}$

ตารางที่ ค 17 ขนาดหน้าตัดองค์อาคาร เสาไม้จามจุรี

ข้อมูลที่ใช้ออกแบบ	ประเภท	LL (kg/m ²)	ความยาว (เมตร)	ระยะเรียง ของตง (ซม.)	ความกว้าง (b) (ซม.)	ด้านแคนบของเสา (d)		Factor of Safety (FS)
						(ซม.)	(นิ้ว)	
LL = 350.8	kg/m ²	250	2.5	30	5.08	19.18	7½"	25
p _f = 10 ⁻⁶					7.62	19.21	7½"	25
p _f = 10 ⁻⁴				40	5.08	19.12	7½"	25
cov _{LL} = 0.180					7.62	19.16	7½"	25
cov _E = 0.202				50	5.08	19.09	7½"	25
cov _{tg} = 0.202					7.62	19.12	7½"	25
E = 49,997				30	5.08	20.97	8½"	25
F _o = 275.84					7.62	21.01	8½"	25
G = 0.51				40	5.08	20.91	8½"	25
B = 4.753					7.62	20.93	8½"	25
B = 3.719				50	5.08	20.87	8½"	25
					7.62	20.91	8½"	25
			3.0	30	5.08	22.62	9"	25
					7.62	22.65	9"	25
			3.5	40	5.08	22.55	9"	25
					7.62	22.58	9"	25
				50	5.08	22.51	9"	25
					7.62	22.54	9"	25

หมายเหตุ : ขนาดหน้าตัดที่คำนวณได้สามารถควบคุมพิกัดการก่อร่องเดา (Bucking) ที่ความกว้างจั่วบิต $p_f = 10^{-6}$

ตารางที่ ค 18 ขนาดหน้าตัดองค์อาคาร เสาไม้จามจุรี

ข้อมูลที่ใช้ออกแบบ	ประเภท	LL (kg/m ²)	ความยาว (เมตร)	ระยะเรียง ของตง (ซม.)	ความกว้าง (b) (ซม.)	ด้านแคบของเสา (d)		Factor of Safety (FS)
						(ซม.)	(นิ้ว)	
LL = 163.3	โครงสร้าง	300	2.5	30	5.08	16.86	7"	25
p _f = 10 ⁻⁶					7.62	16.91	7"	25
p _f = 10 ⁻⁴				40	5.08	16.77	7"	25
cov _{LL} = 0.133					7.62	16.82	7"	25
cov _E = 0.202				50	5.08	16.72	7"	25
cov _{fa} = 0.202					7.62	16.76	7"	25
E = 49,997				30	5.08	18.41	7½"	25
F _s = 275.84					7.62	18.45	7½"	25
G = 0.51				40	5.08	18.31	7½"	25
B = 4.753					7.62	18.35	7½"	25
B = 3.719				50	5.08	18.25	7½"	25
					7.62	18.29	7½"	25
				30	5.08	19.83	8"	25
					7.62	19.87	8"	25
				40	5.08	19.73	8"	25
					7.62	19.77	8"	25
				50	5.08	19.67	8"	25
					7.62	19.71	8"	25

หมายเหตุ : ขนาดหน้าตัดที่คำนวนได้สามารถควบคุมพิกัดการโก่งเดา (Bucking) ที่ความนำ้จะวินต์ p_f = 10⁻⁶

ภาคผนวก ง

การวิเคราะห์คุณสมบัติทางสถิติของข้อมูลทางวิศวกรรม
ของไม้พฤกษ์



ภาคผนวก ง

การวิเคราะห์คุณสมบัติทางสัตติของข้อมูลทางวิศวกรรมของไม้พูกษ์

4.1 ทั่วไป

ในภาคผนวกนี้จะได้นำเสนอผลการทดสอบคุณสมบัติทางวิศวกรรม รวมทั้งการวิเคราะห์คุณสมบัติทางสัตติของไม้พูกษ์ ประกอบไปด้วย ค่าเฉลี่ย (Mean) ส่วนเบี่ยงเบนมาตรฐาน (Standard Deviation) และรูปแบบการแจกแจงต่อเนื่อง (Type of Distribution) ที่เหมาะสม โดยรูปแบบการแจกแจงที่เหมาะสมจะใช้ค่าไคกำลังสอง (Chi – Square) และการทดสอบโคลมินโกรอฟ – สเมียร์โนฟ (Kolmogorov – Smirnov) ซึ่งเป็นวิธีการเปลี่ยนเทียบค่าพังก์ชันการแจกแจงสะสม (Cumulative Distribution Function) ของตัวอย่างกับ CDF ของการแจกแจงที่เหมาะสม การทดสอบไคกำลังสอง (Chi-square Test) และการทดสอบโคลมินโกรอฟ-สเมียร์โนฟ (Kolmogolov-Smirnov Test) ซึ่งการทดสอบทั้ง 2 ชนิด เป็นการทดสอบที่ใช้พารามิเตอร์ การทดสอบการแจกแจงนี้เรียกว่า การทดสอบภาวะเข้ารูปสนิท (Goodness-of-Fit Test) การทดสอบไคกำลังสองมีข้อจำกัดในเรื่องของความถี่ และระดับของข้อมูล กล่าวคือความถี่ที่ควรจะเป็นจะต้องไม่ต่ำกว่า 5 และจำนวนกลุ่มของข้อมูลจะต้องไม่น้อยกว่า 2 ชั้น

เนื่องจากข้อมูลไม่มีความหลากหลายมากเท่าที่มีลักษณะการแจกแจงแบบค่าปลายสุด (Extreme-valued distributions) จึงไม่สามารถใช้โปรแกรมวิเคราะห์ทางสัตติทั่วไป ดังนั้นงานวิจัยนี้ได้พัฒนาซอฟต์แวร์ CESTTEST (Civil Engineering Statistical Test) [12] เพื่อหาคุณสมบัติทางสัตติของข้อมูลทางวิศวกรรมของไม้ดังต่อไปนี้

คุณสมบัติทางวิศวกรรมของไม้พูกษ์จำนวน 11 ชนิด ประกอบด้วย 1. แรงอัดนานาเสียง (ป্রุนภูมิ)² (Compression Parallel to Grain) แรงอัดนานาเสียง (ทุติยภูมิ)³ โมดูลัสยืดหยุ่น (ป্রุนภูมิ)² (Modulus of Elasticity) โมดูลัสยืดหยุ่น (ทุติยภูมิ)³ 2. แรงอัดตั้งจากเสียง (Compression Perpendicular to Grain) 3. การทดสอบแรงตัด (ป্রุนภูมิ)² ประกอบด้วยโมดูลัสยืดหยุ่น (Modulus of Elasticity; MOE) โมดูลัสแตกหัก (Modulus of Rupture; MOR) การทดสอบแรงตัด (ทุติยภูมิ)³ ประกอบด้วยโมดูลัสยืดหยุ่น (Modulus of Elasticity ; MOE) โมดูลัสแตกหัก (Modulus of Rupture ; MOR) 4. แรงดึงในแนวนานาเสียง (Tension Parallel to Grain) 5. แรงดึงในแนวตั้งจากเสียง (Tension Perpendicular to Grain) 6. แรงเฉือนนานาเสียง (Shear Parallel to Grain) 7. การทดสอบการฉีกขาดของไม้ (Cleavage) 8. ความเหนียว (Toughness) 9. การทดสอบความแข็งของไม้ (Hardness) นานาเสียง (Parallel to Grain) สัมผัสเสียง (Tangent to Grain) ตั้งฉากเสียง (Perpendicular to Grain) 10. การทดสอบความถ่วงจำเพาะ (Specific Gravity) ปริมาตรการหดตัว % (Shrinkage in Volume)

ปริมาณความชื้น % (Moisture Content) ความหนาแน่น (Density) 11.การทดสอบการหดตัวในแนวสัมผัส % (Tangential Shrinkage) และการหดตัวในแนวรัศมี % (Radial Shrinkage)

ง. 2 การวิเคราะห์ค่าทางสถิติของไม้พูกษ์

ง. 2.1 การทดสอบแรงอัดข้านเสียน

แรงอัดข้านเสียน (ปฐมภูมิ)² (Compression Parallel to Grain)

ของไม้พูกษ์จำนวน 130 ตัวอย่าง แสดงในตารางที่ ง. 1

ตารางที่ ง. 1 แรงอัดข้านเสียน (ปฐมภูมิ)² ของไม้พูกษ์

532.10	530.90	582.60	504.80	469.80	473.40	496.40	560.20	409.40	431.80
500.60	451.60	582.60	421.40	417.30	568.50	452.30	526.60	491.70	500.30
463.40	508.00	513.10	489.50	612.90	404.70	654.40	404.60	478.60	569.80
559.10	503.10	546.80	617.40	507.30	588.50	649.00	555.00	640.80	610.70
543.10	553.80	558.30	628.20	583.50	691.90	493.20	580.50	649.30	608.30
596.80	657.70	622.40	606.10	600.00	636.40	627.80	592.80	622.10	590.40
583.30	606.20	534.80	631.30	603.50	605.80	638.10	520.30	534.20	545.70
655.90	524.50	567.50	627.40	618.80	611.60	627.90	609.20	647.70	508.6
506.80	519.70	471.60	585.60	576.30	574.90	581.60	520.40	639.40	675.20
643.60	498.60	630.00	483.10	576.80	541.30	624.40	584.70	501.40	548.70
550.30	485.10	493.00	604.90	686.50	615.40	571.30	543.80	581.40	643.20
728.50	475.80	500.10	598.50	624.00	642.20	606.10	528.00	618.50	505.70
589.70	517.00	582.80	537.90	555.40	616.70	598.30	676.50	656.90	678.90

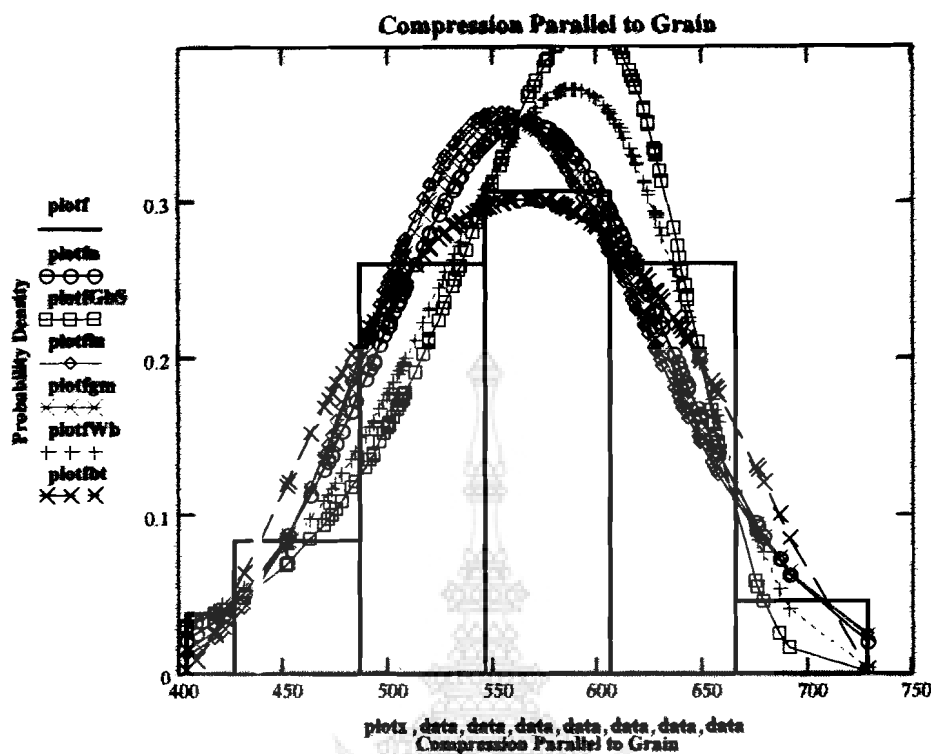
จากการวิเคราะห์ด้วยซอฟต์แวร์ CESTTEST พบร่วมค่าเฉลี่ย และส่วนเบี่ยงเบนมาตรฐานเป็น 565.55 และ 67.80 กก./ซม.² ตามลำดับโดยจะเห็นว่าจำนวนข้อมูล 130 ตัวอย่าง มีจำนวนมากกว่า ข้อมูลที่ต้องการ N_{req} ซึ่งมีค่าเท่ากับ 38 สำหรับช่วงแห่งความเชื่อมั่นร้อยละ 99 ($t = 2.567$) นอกจากนั้นซอฟต์แวร์ CESTTEST ได้แนะนำให้มีการแบ่งช่วงข้อมูลออกเป็น 6 ชั้น โดยมีชีดจำกัดช่วงและความถี่จากค่าสังเกตในแต่ละช่วงซึ่งมีค่าวิกฤติสำหรับระดับชั้นเสรี (Degree of Freedom, f) เท่ากับ $6-3 = 3$ ที่ระดับความเชื่อมั่น $\alpha = 0.95$ มีค่าเท่ากับ 7.814 ค่าความถี่จากข้อมูลเมื่อเปรียบเทียบค่าความถี่ที่คำนวนจากความถี่จากการแยกจงที่ผ่านการทดสอบไปกำลังสองพบว่า ค่าความถี่ของข้อมูลผ่านการทดสอบไปกำลังสองมี 2 ชนิดได้แก่การแยกจงต่ำสุดชนิดที่สามแบบไนน์ส์ การแยกจงปกติ และการแยกจงชนิดที่หนึ่งค่าต่ำสุดแบบกุมเบล แสดงในตารางที่ ง. 2

ตารางที่ ง.2 การเปรียบเทียบความถี่ของข้อมูลเทียบกับความถี่ที่ได้จากการแจกแจงที่ผ่านการทดสอบไคกำลังสอง สำหรับค่าแรงอัดขนาดเสี้ยน (ปฐมภูมิ)² ของไม้พูกซ์

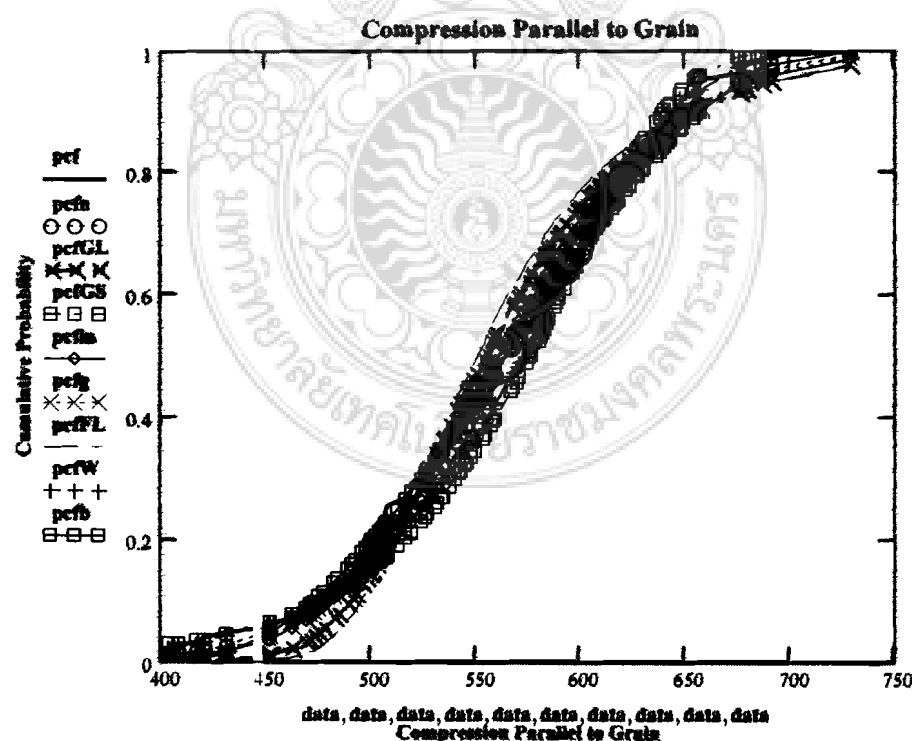
ขั้นที่	กำลังแห่งขั้ด (ksc)	ความถี่จากข้อมูล	ความถี่ Weibull	ความถี่ Normal	ความถี่ Gumbel
1	404.54 - 427	5	4.617	2.665	5.202
2	427 - 486.75	11	11.758	13.267	10.239
3	486.75 - 546.5	34	29.092	34.680	26.675
4	546.5 - 606.25	40	46.131	43.741	49.206
5	606.25 - 666	34	32.732	26.643	35.630
6	666 - 728.55	6	5.610	7.948	3.045
Chi-Square Error ค่าวิกฤติ 7.814			1.799	5.275	6.738

จากการทดสอบ K-S (Kolmogorov-Sminov Test) พบร่วมกับค่าความแตกต่างสูงสุด (Maxdif) มี 5 ชนิด เป็นการแจกแจงบีตา การแจกแจงต่ำสุดชนิดที่สามแบบไวนูล์ การแจกแจงปกติ การแจกแจงชนิดที่หนึ่งค่าสูงสุดแบบกุมเบล และการแจกแจงแกรมมา มีค่าเท่ากับ 0.06 0.065 0.071 0.079 และ 0.086 ตามลำดับ ซึ่งให้ค่าต่ำกว่าเมื่อเปรียบเทียบกับค่าวิกฤติเท่ากับ 0.119

จะเห็นได้ว่าค่ากำลังรับแรงอัดในแนวขนาดเสี้ยน (ปฐมภูมิ)² ของไม้พูกซ์ การแจกแจงต่ำสุด ชนิดที่สามแบบไวนูล์ มีค่าความคลาดเคลื่อนจากการทดสอบไคกำลังสองต่ำที่สุด ในขณะที่การแจกแจงบีตา มีค่าความคลาดเคลื่อนจากการทดสอบ K-S ต่ำที่สุด จึงจากล่าวได้ว่าการแจกแจงต่ำสุด ชนิดที่สามแบบไวนูล์ และการแจกแจงบีตา มีภาวะเส้ารูปสนใจกับข้อมูลมากที่สุดเนื่องจากให้ความคลาดเคลื่อนน้อยที่สุดและมีค่าน้อยกว่าค่าวิกฤติ จากการทดสอบ Chi-Square Test ในขณะที่ การแจกแจงต่ำสุดชนิดที่สามแบบไวนูล์ การแจกแจงชนิดที่หนึ่งค่าต่ำสุดแบบกุมเบล และการแจกแจงปกติสามารถยอมรับให้ใช้แทนข้อมูลได้เนื่องจากมีความคลาดเคลื่อนน้อยกว่าค่าวิกฤติทั้งสอง การทดสอบ และจากการภาพแสดงความสอดคล้องระหว่างข้อมูลค่ากำลังรับแรงอัดขนาดเสี้ยน (ปฐมภูมิ)² ของไม้พูกซ์ที่ผ่านการทดสอบภาวะเส้ารูปสนิท Chi-Square Test และการทดสอบ Kolmogorov-Sminov Test สามารถแสดงได้ในรูปที่ ง.1 และ ง.2 ตามลำดับ



รูปที่ 4.1 การเปรียบเทียบระหว่างความถี่สัมพัทธ์ของค่าแรงดันงานเสื่อม (ปัตมภูมิ)² ของน้ำพุกษ์กับฟังก์ชันความหนาแน่นของความน่าจะเป็นที่ผ่านการทดสอบไก่กำลังสอง



รูปที่ 4.2 การเปรียบเทียบระหว่างความถี่สะสมของค่าแรงดันงานเสื่อม (ปัตมภูมิ)² กับฟังก์ชันการแจกแจงที่ผ่านการทดสอบ K-S

แรงอัดข้านานเสี่ยน(ทุติยภูมิ)³ (Compression Parallel to Grain)

ของไม้พุดกซ์จำนวน 130 ตัวอย่าง แสดงในตารางที่ ง.3

ตารางที่ ง.3 แรงอัดข้านานเสี่ยน (ทุติยภูมิ)³ ของไม้พุดกซ์

594.03	639.89	603.28	590.56	621.39	549.71	602.51	648.75	623.44	639.57
664.32	702.27	570.32	872.26	692.72	725.22	851.44	869.15	796.80	525.44
731.57	782.64	954.16	628.72	519.26	623.31	773.20	652.61	555.10	871.49
763.58	743.17	898.85	859.17	871.87	758.19	890.37	819.74	917.34	697.70
837.20	879.20	835.28	868.02	718.50	881.12	993.65	733.92	859.94	851.46
774.00	739.31	859.94	841.82	758.58	923.90	901.94	665.71	660.64	822.54
797.50	979.39	963.60	795.97	789.02	927.38	745.09	869.18	739.31	644.13
857.62	629.10	882.29	646.43	631.02	816.00	917.34	848.37	767.82	911.57
821.39	940.86	686.51	757.81	897.70	704.24	792.50	827.95	772.83	598.27
923.52	729.30	679.20	824.66	721.20	717.73	583.63	836.82	811.38	691.14
886.91	817.15	865.71	833.73	872.26	843.36	842.59	868.34	798.27	733.15
819.26	701.94	851.84	804.05	643.74	877.66	748.94	800.19	779.39	864.18
733.92	694.99	888.06	823.33	688.45	856.46	700.78	670.34	810.99	872.26

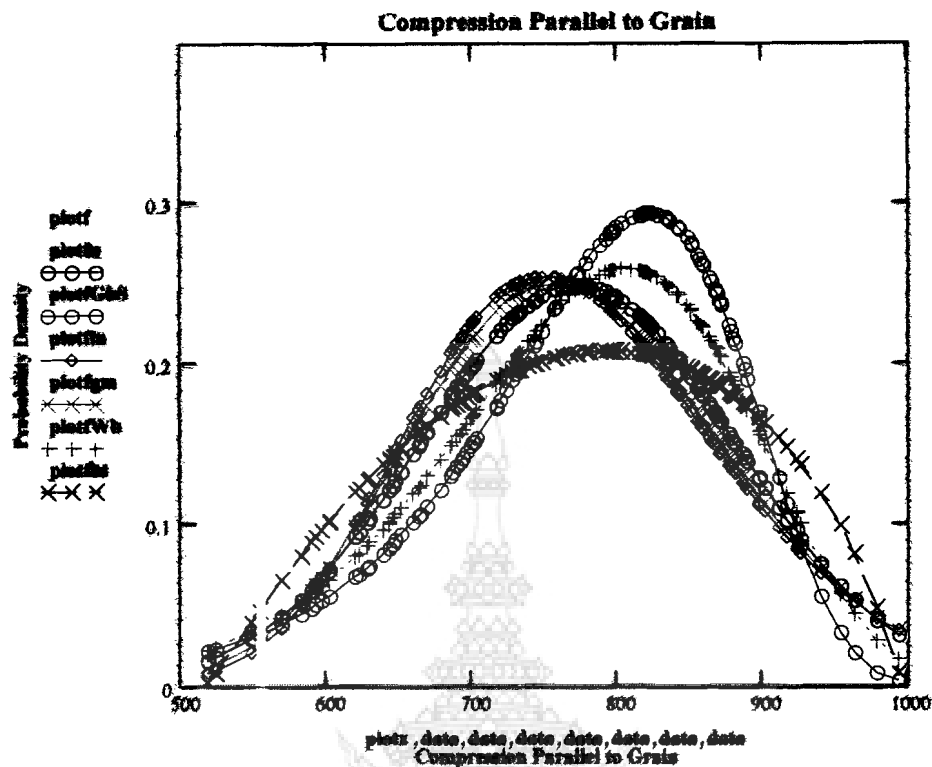
จากการวิเคราะห์ด้วยซอฟต์แวร์ CESTTEST พบว่าค่าเฉลี่ย และส่วนเบี่ยงเบนมาตรฐานเป็น 773.62 และ 108.277 กก./ซม.² ตามลำดับ โดยจะเห็นว่าจำนวนชั้นมูล 130 ตัวอย่างนี้ จำนวนมากกว่าชั้นมูลที่ต้องการ N_{req} ซึ่งมีค่าเท่ากับ 52 สำหรับช่วงแห่งความเชื่อมันร้อยละ 99 ($t=2.567$) นอกจากนั้นซอฟต์แวร์ CESTTEST ได้แนะนำให้มีการแบ่งช่วงชั้นมูลออกเป็น 7 ชั้น โดยมีชีดจำกัดช่วงและความถี่จากค่าสังเกตในแต่ละช่วง ซึ่งมีค่าิกฤติสำหรับระดับชั้นเสรี (Degree of Freedom, f) เท่ากับ $7-3 = 4$ ที่ระดับความเชื่อมั่น $\alpha = 0.95$ มีค่าเท่ากับ 9.487 ค่าความถี่จากชั้นมูล เมื่อเปรียบเทียบค่าความถี่ที่คำนวนจากความถี่จากการแจกแจงที่ผ่านการทดสอบໄค์กำลังสอง พบว่า ค่าความถี่ของชั้นมูลผ่านการทดสอบໄค์กำลังสองมี 1 ชนิดได้แก่การแจกแจงบีตา แสดงในตารางที่ ง.4

ตารางที่ ๔.4 การเปรียบเทียบความถี่ของข้อมูลเทียบกับความถี่ที่ได้จากการแจกแจงที่ผ่านการทดสอบไปกำลังสอง สำหรับค่าแรงอัดขนาดเสี้ยน (ทุติยภูมิ)³ ของไม้พฤกษ์

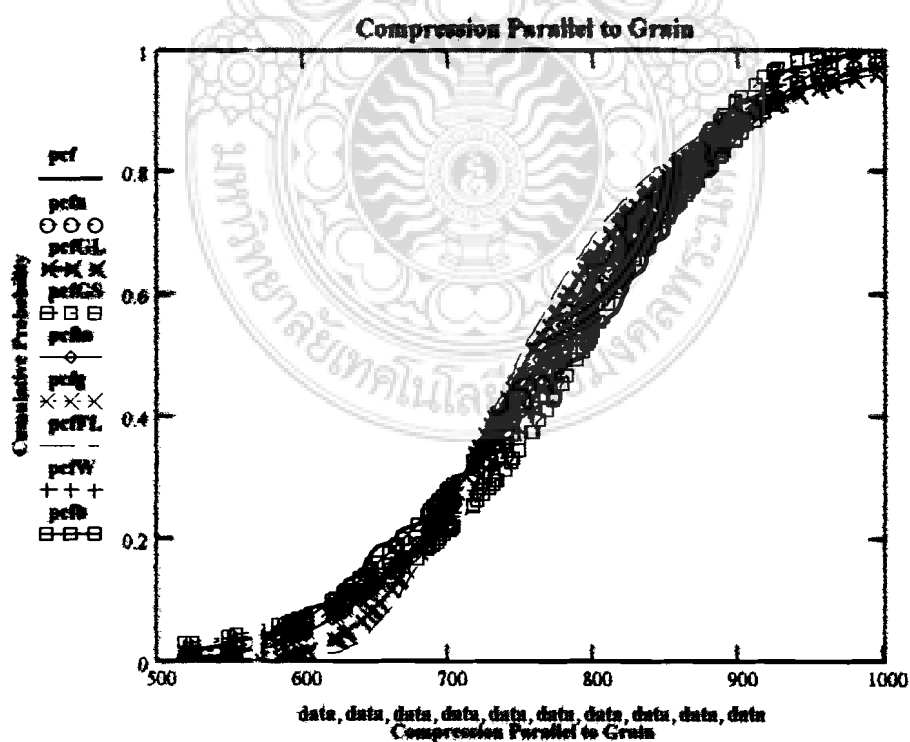
ขั้นที่	กำลังแรก (ksc)	ความถี่จากข้อมูล	ความถี่ Beta
1	519.19 - 587	6	5.687
2	587 - 654.6	18	15.519
3	654.6 - 722.2	18	22.551
4	722.2 - 789.8	22	26.371
5	789.8 - 857.4	30	26.504
6	857.4 - 925	30	22.164
7	925 - 993.71	6	11.200
Chi-Square Error ค่าวิกฤติ 9.487			7.702

จากการทดสอบ K-S (Kolmogorov - Sminov Test) พบว่าค่าความแตกต่างสูงสุด (Maxdif) มี 5 ชนิด เป็น การแจกแจงต่ำสุดชนิดที่สามแบบไนบูลล์ การแจกแจงบีตา การแจกแจงชนิดที่หนึ่งค่าต่ำสุดแบบบุมเบล การแจกแจงปรากติ และการแจกแจงแกมมา มีค่าเท่ากับ 0.058 0.059 0.081 0.083 และ 0.097 ตามลำดับ ซึ่งให้ค่าต่ำกว่าเมื่อเปรียบเทียบกับค่าวิกฤติเท่ากับ 0.119

จะเห็นได้ว่าค่ากำลังรับแรงอัดในแนวขนาดเสี้ยน (ทุติยภูมิ)³ ของไม้พฤกษ์ การแจกแจงบีตา มีค่าความคลาดเคลื่อนจากการทดสอบไปกำลังสองต่ำที่สุด ในขณะที่การแจกแจงต่ำสุดชนิดที่สามแบบไนบูลล์ มีค่าความคลาดเคลื่อนจากการทดสอบ K-S ต่ำที่สุด จึงอาจกล่าวได้ว่าการแจกแจงบีตาและ การแจกแจงต่ำสุดชนิดที่สามแบบไนบูลล์ มีภาวะเข้ารูปสนิทกับข้อมูลมากที่สุด เนื่องจากให้ความคลาดเคลื่อนน้อยที่สุดและมีค่าน้อยกว่าค่าวิกฤติ จากการทดสอบ Chi-Square Test ในขณะที่ การแจกแจงบีตา ก็สามารถยอมรับให้ใช้แทนข้อมูลได้ เนื่องจากมีความคลาดเคลื่อนน้อยกว่าค่าวิกฤติ ทั้งสองการทดสอบ และจากการภาพแสดงความสอดคล้องระหว่างข้อมูลค่ากำลังรับแรงอัดขนาดเสี้ยน ชนิดทุติยภูมิ³ ของไม้พฤกษ์ที่ผ่านการทดสอบภาวะเข้ารูปสนิท Chi-Square Test และการทดสอบ Kolomogorov-Sminov Test สามารถแสดงได้ในรูปที่ ๔.3 และ ๔.4 ตามลำดับ



รูปที่ 4.3 การเมรยนพืชบะนว่างความถี่สัมพัทธของอัตรานามเสื้บานนิต (ทุติยภูมิ)³ จะเป็นพหุกษกับพืชกรีนความหนาแน่นของความน่าจะเป็นที่ผ่านการทดสอบไก่กำลังดอง



รูปที่ 4.4 การเมรยนพืชบะนว่างความถี่สะสมของค่าอัตรานามเสื้บัน (ทุติยภูมิ)³ กับพืชกรีนการแยกแยะที่ผ่านการทดสอบ K-S

แรงอัดข้านานเสียน (ปฐมภูมิ)² ใช้ค่าโมดูลัสยืดหยุ่น (Modulus of Elasticity) ของไม้พูกษ์จำนวน 130 ตัวอย่าง แสดงในตารางที่ ง.5

ตารางที่ ง.5 แรงอัดข้านานเสียน สำหรับค่าโมดูลัสยืดหยุ่น (ปฐมภูมิ)² ของไม้พูกษ์

40310.61	38751.82	43477.61	45890.91	37584.00	33104.90	46830.19	51394.50	34369.05	28452.99
36347.37	35370.79	35742.33	39754.72	40125.00	39755.24	26922.62	31159.76	43513.27	43885.96
22066.67	51836.73	43854.70	39796.75	36304.72	36451.22	24601.50	23940.83	26887.64	22345.10
37777.03	34937.50	30892.66	27078.95	30017.75	26272.32	38590.31	31511.63	33549.74	32872.66
29677.54	29774.19	32421.69	27920.00	34122.81	50137.68	39649.40	49025.00	36076.31	30722.22
30605.13	31772.95	32082.47	25682.20	38709.68	33494.74	37819.28	23430.83	32067.01	30910.99
42785.16	39881.58	33635.22	24280.77	30948.72	40119.21	28486.61	30426.90	39865.67	33894.41
33095.07	31787.88	33579.88	30754.90	38675.00	21921.15	38759.26	36698.80	34822.58	36589.93
30353.41	32995.58	32673.08	33655.17	44330.77	45992.00	31956.04	29401.13	41519.48	50388.06
29658.99	37488.72	32642.49	39880.66	49724.14	39827.84	33569.89	46776.00	31427.35	33457.32
34457.78	46902.44	49797.98	34369.32	49746.38	31558.97	30715.05	33339.06	35451.22	41766.23
38544.97	35348.39	29075.58	26021.74	29573.46	29594.47	33120.22	48540.54	47367.26	39083.02
22422.05	20763.05	24590.72	33409.94	35602.56	36581.90	38873.82	44506.58	30133.03	52223.08

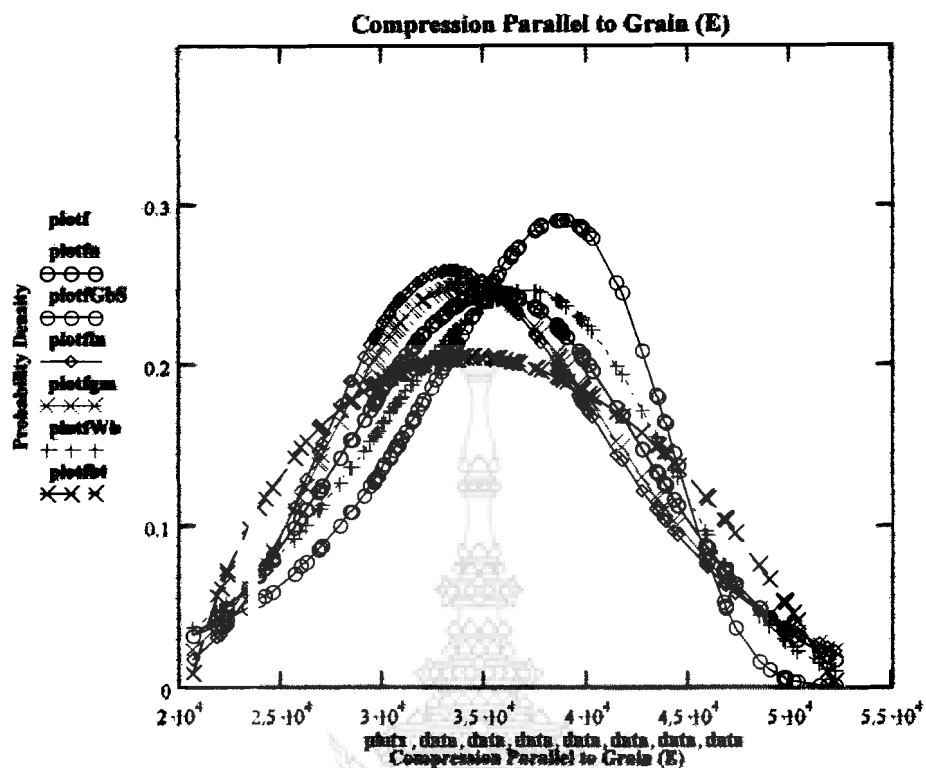
จากการวิเคราะห์ด้วยซอฟต์แวร์ CESTTEST พบว่าค่าเฉลี่ย และส่วนเบี่ยงเบนมาตรฐานเป็น 3.548×10^4 และ 7.251×10^3 กก./ซม.² ตามลำดับ โดยจะเห็นว่าจำนวนข้อมูล 130 ตัวอย่างมีจำนวนมากกว่าข้อมูลที่ต้องการ N_{req} ซึ่งมีค่าเท่ากับ 111 สำหรับช่วงแห่งความเรื่อมั่นร้อยละ 99 ($t=2.567$) นอกจากนั้นซอฟต์แวร์ CESTTEST ได้แนะนำให้มีการแบ่งช่วงข้อมูลออกเป็น 7 ชั้น โดยมีชีดจำกัดช่วงและความถี่จากค่าสังเกตในแต่ละช่วง ซึ่งมีค่าวิกฤติสำหรับระดับชั้นเสรี (Degree of Freedom, f) เท่ากับ 7-3 = 4 ที่ระดับความเรื่อมั่น $\alpha = 0.95$ มีค่าเท่ากับ 9.487 ค่าความถี่จากข้อมูลเมื่อเปรียบเทียบค่าความถี่ที่คำนวณจากความถี่จากการแจกแจงที่ผ่านการทดสอบໄคอกำลังสองพบว่าค่าความถี่ของข้อมูลไม่มีการแจกแจงชนิดใดผ่านการทดสอบໄคอกำลังสอง แสดงในตารางที่ ง.6

ตารางที่ 4.6 การเปรียบเทียบความถี่ของข้อมูลเทียบกับความถี่ที่ได้จากการแจกแจงที่ผ่านการทดสอบไคกำลังสอง สำหรับแรงอัดขนาดเสียงให้ค่าไม่คูณสัญดหยุ่น (ปฐมภูมิ)² ของไม้พูกษ์

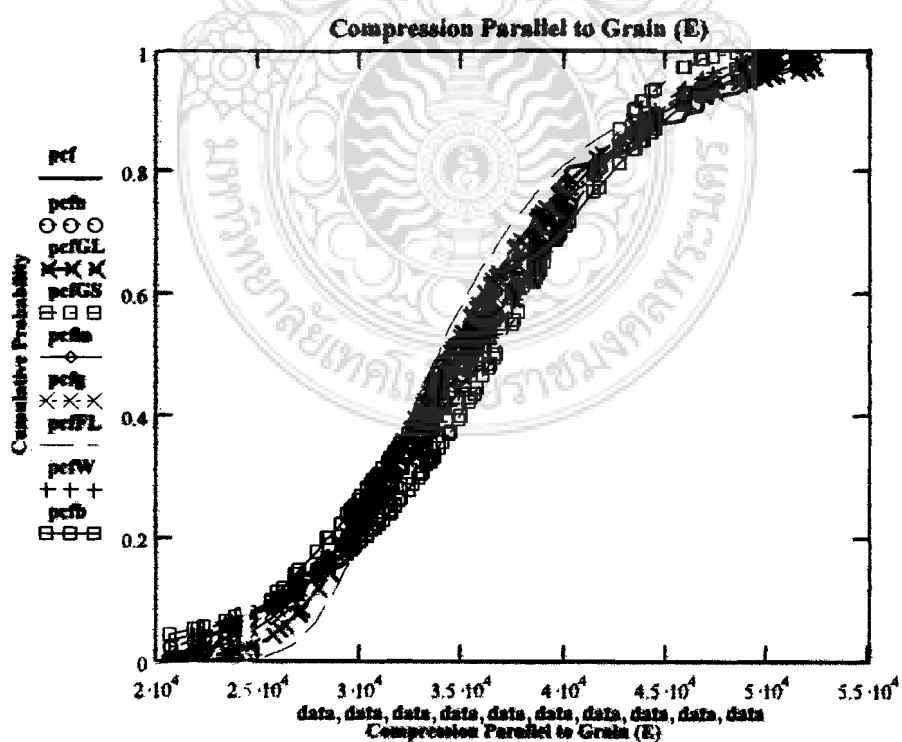
ขั้นที่	กำลังแรก $\times 10^4$ (ksc)	ความถี่จากข้อมูล	ความถี่
1	2.075 – 2.53	10	-
2	2.53 – 2.978	16	-
3	2.978 – 3.426	39	-
4	3.426 – 3.874	25	-
5	3.874 – 4.322	18	-
6	4.322 – 4.77	12	-
7	4.77 – 5.22	10	-
Chi-Square Error			-
ศักยภาพ 9.487			-

จากการทดสอบ K-S (Kolmogorov-Smirnov Test) พบร่วมกับความแตกต่างสูงสุด (Maxdif) มี 5 ชนิด เป็นการแจกแจงแบบลอกปกติ การแจกแจงชนิดที่หนึ่งค่าสูงสุดแบบกุมเบล การแจกแจง gamma การแจกแจงปกติและการแจกแจงบิตามีค่าเป็น 0.048, 0.055, 0.059, 0.084 และ 0.088 ซึ่งให้ค่าต่ำกว่าเมื่อเปรียบเทียบกับค่าวิกฤติเท่ากับ 0.111 ตามลำดับ

จะเห็นได้ว่าค่าไม่คูณสัญดหยุ่นของกำลังรับแรงอัดในแนวขนาดเสียงของไม้พูกษ์ (ปฐมภูมิ)² ไม่มีการแจกแจงชนิดใด มีความคลาดเคลื่อนต่ำกว่าค่าวิกฤตจากการทดสอบไคกำลังสอง ในขณะที่ การแจกแจงแบบลอกปกติ มีความคลาดเคลื่อนจากการทดสอบ K-S ต่ำที่สุดเมื่อเทียบการทดสอบเดียว จึงอาจกล่าวได้ว่าการแจกแจงแบบลอกปกติ มีภาวะเร้ารูปสนใจทั้งข้อมูลมากที่สุดเนื่องจากให้ความคลาดเคลื่อนน้อยที่สุดและมีค่าน้อยกว่าค่าวิกฤต และจากการฟั่งความสอดคล้องระหว่าง ข้อมูลค่ากำลังรับแรงอัดในแนวขนาดเสียงของไม้พูกษ์ (ปฐมภูมิ)² สำหรับค่าไม่คูณสัญดหยุ่นของไม้พูกษ์ที่ผ่านการทดสอบภาวะเร้ารูปสนใจที่ไคกำลังสองและการทดสอบ K-S สามารถแสดงได้ในรูปที่ 4.5 และ 4.6 ตามลำดับ



รูปที่ 4.5 การเปรียบเทียบระหว่างความถี่สัมพัทธ์ของค่าโมดูลัสยืดหยุ่น ($\text{ปอนด์}/\text{นิ้ว}^2$) ของไนท์กับฟังก์ชันความหนาแน่นของความน่าจะเป็นที่ผ่านการทดสอบไคล์กำลังสอง



รูปที่ 4.6 การเปรียบเทียบระหว่างความถี่สะสมของค่าโมดูลัสยืดหยุ่น ($\text{ปอนด์}/\text{นิ้ว}^2$) กับฟังก์ชันความน่าจะเป็นที่ผ่านการทดสอบ K-S

แรงอัคชนาณเสียน (ทุติยภูมิ)³ ใช้ค่าโมดูลัสยืดหยุ่น (Modulus of Elasticity) ของไม้พูกซ์จำนวน 130 ตัวอย่าง แสดงในตารางที่ ง.7

ตารางที่ ง.7 สำหรับค่าโมดูลัสยืดหยุ่น (ทุติยภูมิ)³ ของไม้พูกซ์

20001.08	25906.40	38671.79	20648.95	30311.80	34357.00	27638.17	35067.68	24544.88	25179.84
26154.33	27648.50	22453.54	34340.79	27272.44	28551.81	33521.26	34218.58	31370.08	24201.08
28801.89	30812.60	37565.35	26571.85	24424.00	21986.77	30440.94	39440.00	44055.87	42305.24
49583.38	34405.93	30671.86	36874.16	36633.28	46514.85	32495.18	32273.39	30991.35	25650.59
41445.54	36941.18	32885.04	29128.05	47269.47	40233.79	39430.48	30078.69	34260.40	25801.70
33076.92	33005.00	32947.74	40865.24	27848.85	34603.15	28724.08	28571.33	23180.35	32901.76
33936.34	39175.68	36089.89	36054.08	48705.19	33722.76	40058.49	31492.17	37528.53	23172.35
29071.73	24837.36	31736.98	18056.76	26625.49	29890.11	27465.39	20641.56	41729.57	31873.01
50703.21	33722.72	30376.64	43681.34	33621.57	42170.06	32215.28	31815.76	40890.58	38106.50
38320.33	32467.34	35936.51	31027.66	31770.93	39220.11	20265.00	33075.73	35743.44	25503.17
39418.31	34048.00	32545.56	32315.04	34340.79	36195.71	32283.22	36484.71	28818.48	18102.52
20899.59	26588.48	32889.58	31780.55	27162.19	33664.88	26843.87	32794.75	31902.80	27876.65
32331.28	29574.13	33013.53	32036.11	22065.64	32441.82	33258.27	23520.56	33932.72	34340.79

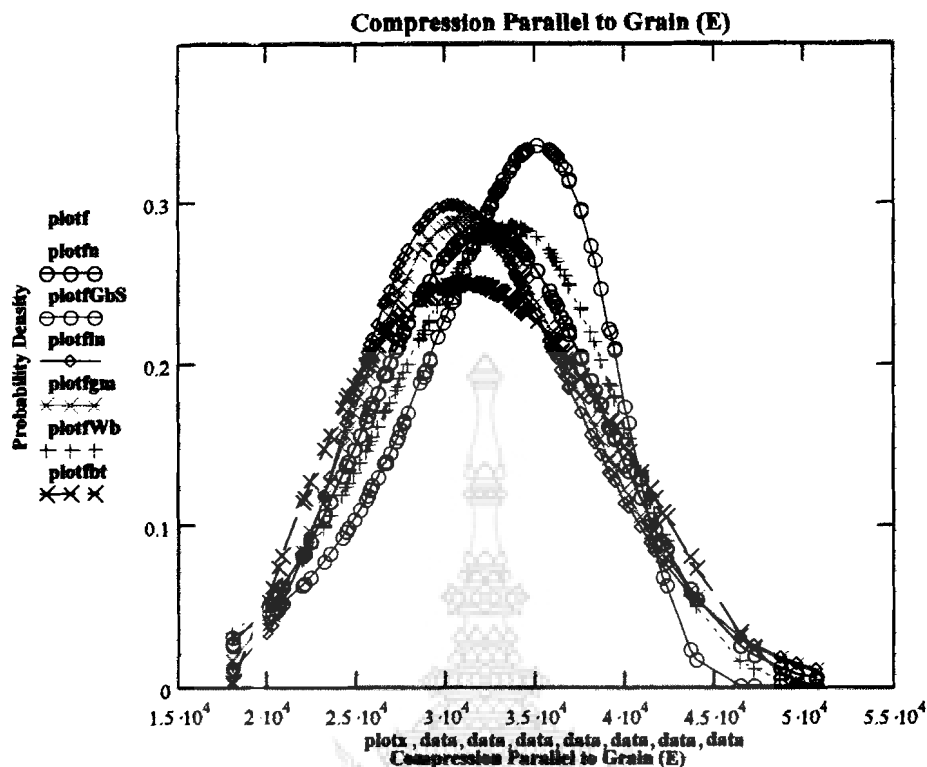
จากการวิเคราะห์ด้วยซอฟต์แวร์ CESTTEST พบว่าค่าเฉลี่ย และส่วนเบี่ยงเบนมาตรฐานเป็น 3.225×10^4 และ 6.491×10^3 กก./ซม.² ตามลำดับ โดยจะเห็นว่าจำนวนข้อมูล 130 ตัวอย่าง มีจำนวนมากกว่าข้อมูลที่ต้องการ (k_{req}) ซึ่งมีค่าเท่ากับ 107 สำหรับช่วงแห่งความเรื่องมั่นร้อยละ 99 ($t=2.567$) นอกจากนั้นซอฟต์แวร์ CESTTEST ได้แนะนำให้มีการแบ่งช่วงข้อมูลออกเป็น 7 ชั้น โดยมีรีดจำกัดช่วงและความถี่จากค่าสังเกตในแต่ละช่วง ซึ่งมีค่าวิกฤติสำหรับดับชั้นเสรี (Degree of Freedom, f) เท่ากับ 7-3=4 ที่ระดับความเชื่อมั่น $\alpha = 0.95$ มีค่าเท่ากับ 9.487 ค่าความถี่จากข้อมูลเมื่อเปรียบเทียบค่าความถี่ที่คำนวณจากความถี่จากการแจกแจงที่ผ่านการทดสอบให้กำลังสองมี 2 ชนิด ได้แก่ การแจกแจงแบบแกมมา และการแจกแจงปกติ แสดงในตารางที่ ง.8

ตารางที่ ง.8 การเปรียบเทียบความถี่ของข้อมูลเทียบกับความถี่ที่ได้จากการแจกแจงที่ผ่านการทดสอบไคกำลังสอง แรงอัตราชนะเสียนสำหรับค่าไมดูลส์ยีดหยุ่น (ทุติยภูมิ)³ ของไมพักช์

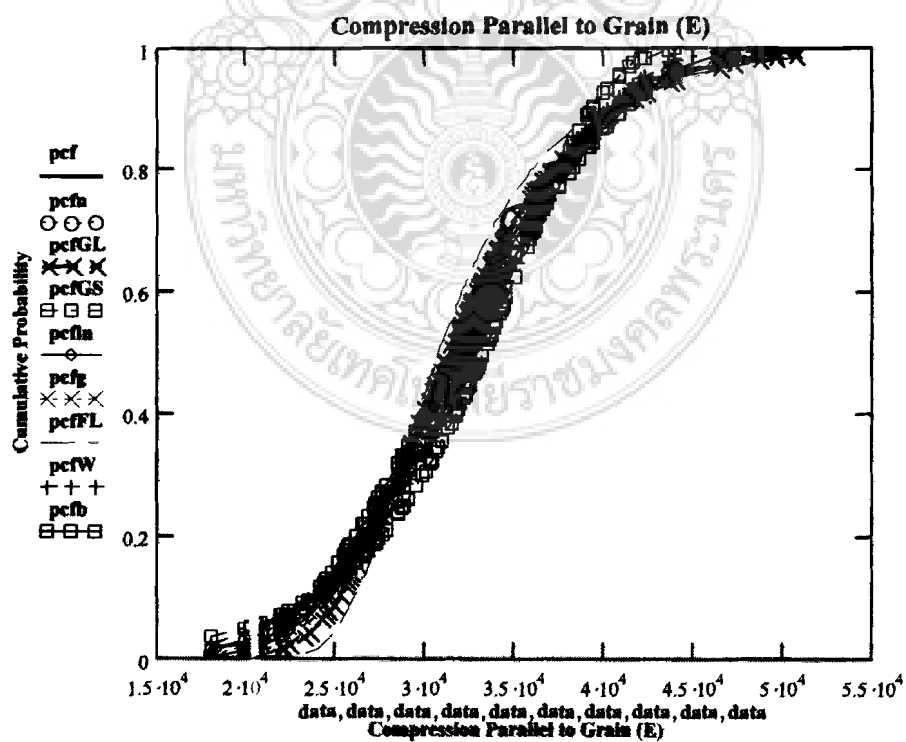
ขั้นที่	กำลังรับแรงอัตต์ $\times 10^4$ (ksc)	ความถี่จากข้อมูล	ความถี่ Gamma	ความถี่ Normal
1	1.805 – 2.280	10	7.696	9.429
2	2.280 – 2.744	19	23.153	20.330
3	2.744 – 3.208	31	36.196	33.807
4	3.208 – 3.672	43	32.471	34.453
5	3.672 – 4.163	16	19.057	21.518
6	4.163 – 4.6	6	8.011	8.232
7	4.6 – 5.07	5	2.592	1.937
Chi-Square Error ค่าวิกฤติ 9.488			8.824	9.338

จากการทดสอบ K-S (Kolomogorov-Sminov Test) พบร่วมกับความแตกต่างสูงสุด (Maxdif) มี 4 ชนิดเป็น การแจกแจงแบบแกรมมา การแจกแจงแบบลอกปรงติ การแจกแจงปรงติ และการแจกแจงปีต้า มีค่าเป็น 0.079, 0.091, 0.093 และ 0.095 ซึ่งให้ค่าต่ำกว่าเมื่อเปรียบเทียบกับค่าวิกฤติ เท่ากับ 0.119 ตามลำดับ

จะเห็นได้ว่าค่าไมดูลส์ยีดหยุ่น (ทุติยภูมิ)³ ของกำลังรับแรงอัตต์ในแนวชนะเสียนของไมพักช์ การแจกแจงแกรมมามีค่าความคลาดเคลื่อนจากการทดสอบไคกำลังสองต่ำที่สุด ในขณะที่การแจกแจงแกรมมา มีค่าความคลาดเคลื่อนจากการทดสอบ K-S ต่ำที่สุดเช่นเดียวกัน จึงอาจกล่าวได้ว่าการแจกแจงแกรมมามีภาวะเข้ารูปสนิทกับข้อมูลมากที่สุดเนื่องจากให้ความคลาดเคลื่อนน้อยที่สุดและมีค่าน้อยกว่าค่าวิกฤต จากการทดสอบไคกำลังสอง ในขณะที่การแจกแจงแบบแกรมมา และการแจกแจงปรงติ ก็สามารถยอมรับให้ใช้แทนข้อมูลได้เนื่องจากมีความคลาดเคลื่อนน้อยกว่าค่าวิกฤตทั้งสองของการทดสอบ และจากการแสดงความสอดคล้องระหว่างข้อมูลค่าไมดูลส์ยีดหยุ่น (ทุติยภูมิ)³ ของกำลังรับแรงอัตต์ ชนะเสียนของไมพักช์ที่ผ่านการทดสอบภาวะเข้ารูปให้กำลังสอง และการทดสอบ K-S (Kolomogorov-Sminov Test) สามารถแสดงได้ในรูปที่ ง.7 และ ง.8 ตามลำดับ



รูปที่ 4.7 การเปรียบเทียบระหว่างความถี่สัมพัทธ์ของค่าไม้ครุลส์ยิดหยุน (ทุติยภูมิ)³ ของไม้พุดกษ์กับพิงกี้ชั้นความหนาแน่นของความน่าจะเป็นที่ผ่านการทดสอบไปกำลังสอง



รูปที่ ๓.๘ การเปรียบเทียบระหว่างความถี่สะสมของค่าไม่ดูดซึมยืนยัน (ทุติยภูมิ)³ กับพัฟฟ์ชั้นการแยกจดที่ฝ่ายการทดสอบ K-S

ง.2.2 การทดสอบค่าแรงอัดตั้งจากเส้น (Compression Perpendicular to Grain)
ของไม้พูกซ์จำนวน 130 ตัวอย่าง แสดงในตารางที่ ง.9

ตารางที่ ง.9 ค่าแรงอัดตั้งจากเส้นของไม้พูกซ์

382.00	498.20	321.40	432.00	445.00	295.20	280.70	290.00	289.50	423.90
354.70	318.90	487.20	509.80	397.80	314.00	310.50	300.30	498.30	444.90
387.40	486.20	327.20	510.70	387.60	461.20	397.00	500.90	459.30	461.90
505.10	424.50	490.30	429.30	412.50	437.00	439.30	543.90	473.80	537.00
470.70	458.90	465.40	405.60	527.40	545.20	463.00	584.60	482.70	444.60
723.50	419.40	381.73	472.90	542.30	848.97	465.30	531.50	410.40	603.20
401.10	518.52	399.50	539.25	545.20	630.30	384.80	389.90	457.60	454.00
622.30	558.40	469.80	491.20	488.90	520.30	630.20	412.80	480.90	478.70
407.30	466.80	475.20	431.80	478.80	456.80	400.50	413.60	470.40	643.40
404.30	430.80	380.10	496.50	383.10	480.90	382.40	427.50	530.50	409.00
506.30	497.90	390.70	460.60	449.00	455.90	604.90	499.00	589.90	505.00
627.00	610.10	497.90	441.90	511.20	431.07	426.70	458.40	400.90	397.20
457.01	421.06	502.56	432.97	586.71	770.92	401.25	575.58	382.65	439.95

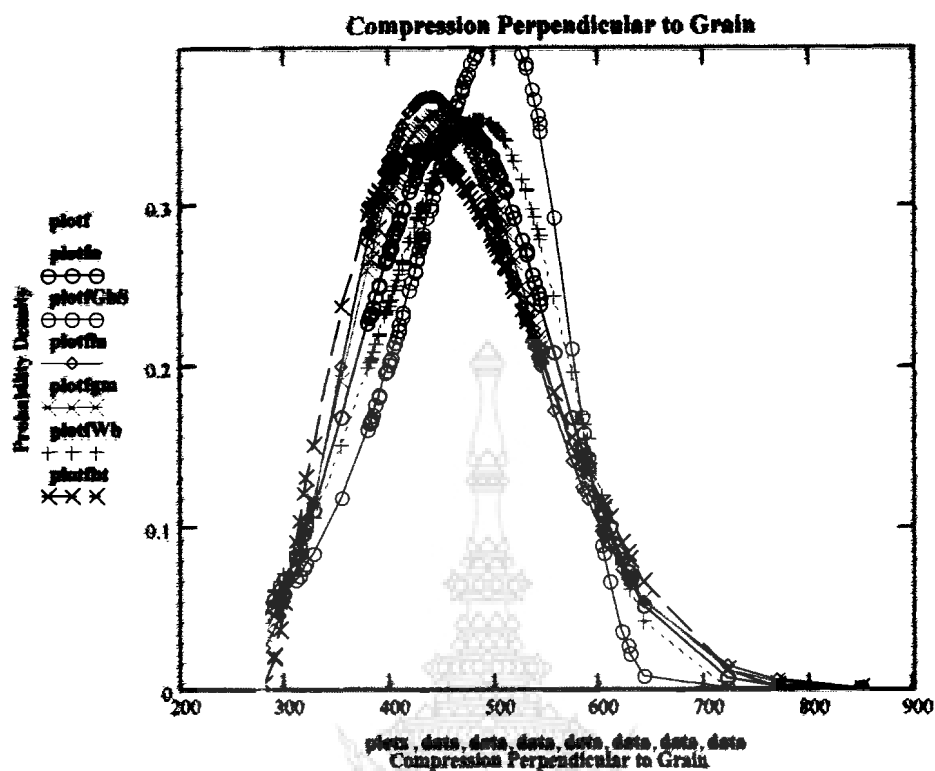
จากการวิเคราะห์ด้วยซอฟต์แวร์ CESTTEST พบว่าค่าเฉลี่ย และส่วนเบี่ยงเบนมาตรฐานมีค่าเป็น 465.30 และ 91.18 กก./ซม.² ตามลำดับ โดยจะเห็นว่าจำนวนข้อมูล 130 ตัวอย่างมีจำนวนมากกว่าข้อมูลที่ต้องการ (n_{req}) ซึ่งมีค่าเท่ากับ 102 สำหรับช่วงแห่งความเชื่อมั่นร้อยละ 99 ($t=2.567$) นอกจากนี้ซอฟต์แวร์ CESTTEST ได้แนะนำให้มีการแบ่งช่วงข้อมูลออกเป็น 6 ชั้น โดยมีรีดจำกัดช่วงและความถี่จากค่าสังเกตในแต่ละช่วง ซึ่งมีค่าวิกฤติสำหรับระดับขั้นเริ่ม (Degree of Freedom, ν) เท่ากับ $6-3=3$ ที่ระดับความเชื่อมั่น $\alpha = 0.95$ มีค่าเท่ากับ 7.814 ค่าความถี่จากข้อมูลเมื่อเปรียบเทียบค่าความถี่ที่คำนวณจากความถี่จากการแจกแจงที่ผ่านการทดสอบไปกำลังสอง พบว่าค่าความถี่ของข้อมูลไม่มีการแจกแจงชนิดใดผ่านการทดสอบไปกำลังสอง แสดงในตารางที่ ง.10

ตารางที่ ง.10 การเปรียบเทียบความถี่ของข้อมูลเทียบกับความถี่ที่ได้จากการแจกแจงที่ผ่านการทดสอบไปกำลังสอง สำหรับค่าแรกอัตติ้งจากเสียงของไม้พุกษ์

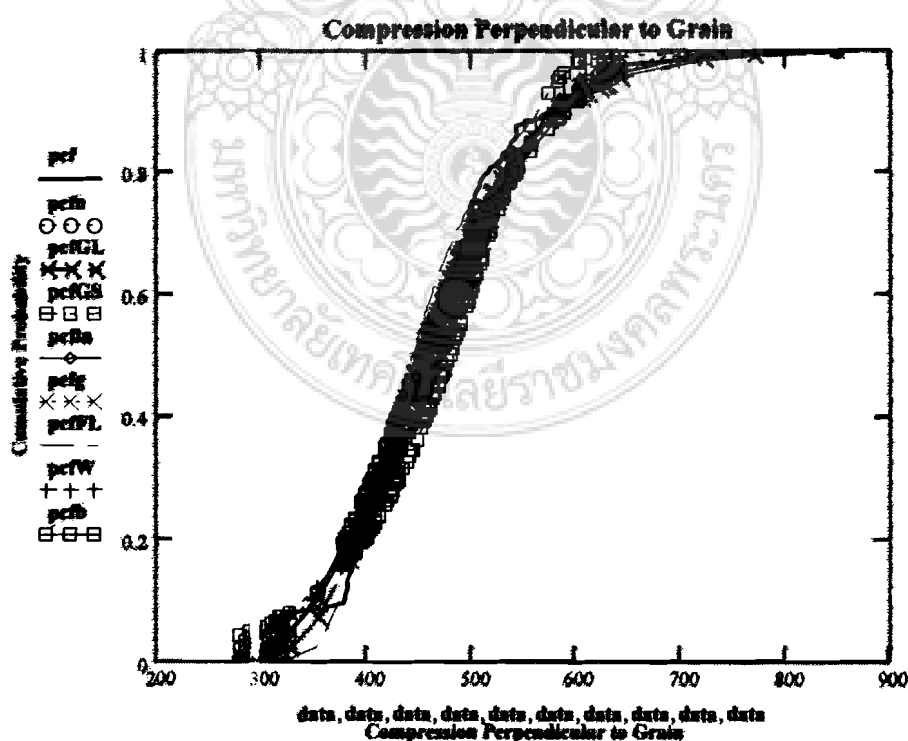
ชั้นที่	กำลังแรกอัตติ้งจากเสียง (ksc)	ความถี่จากข้อมูล	ความถี่
1	280.619 - 306	5	-
2	306 - 386.5	13	-
3	386.5 - 467	55	-
4	467 - 547.5	41	-
5	547.5 - 628	10	-
6	628 - 849	6	-
Chi-Square Error			
ค่าวิกฤติ 7.814			

จากการทดสอบ K-S (Kolmogorov - Smirnov Test) พบร่วมค่าความแตกต่างสูงสุด (Maxdif) ณ 5 ชนิดเป็นการแจกแจงชนิดที่หนึ่งค่าสูงสุดแบบกุมเบล การแจกแจงแบบลอกปกติ การแจกแจงแบบแกรมมา การแจกแจงค่าสูงสุดชนิดที่สองแบบเฟอร์เรอร์ และการแจกแจงแบบปกติ ให้ค่าเป็น 0.065, 0.080, 0.083, 0.098 และ 0.099 ซึ่งให้ค่าต่ำกว่าค่าเฉลี่ยของเบรียบเทียบกับค่าวิกฤติเท่ากับ 0.119 ตามลำดับ

จะเห็นได้ว่าค่ากำลังรับแรงอัตติ้งจากเสียงของไม้พุกษ์ ไม่มีการแจกแจงชนิดใด มีค่าความคลาดเคลื่อนต่ำกว่าค่าวิกฤตจากการทดสอบไปกำลังสอง ในขณะที่การแจกแจงชนิดที่หนึ่งค่าสูงสุดแบบกุมเบล มีค่าความคลาดเคลื่อนจากการทดสอบ K-S ต่ำที่สุด จึงอาจกล่าวได้ว่าการแจกแจงของชนิดที่หนึ่งค่าสูงสุดแบบกุมเบล มีภาวะเข้ารูปสนใจทั้งบัวร่องมากที่สุดเนื่องจากให้ความคลาดเคลื่อนน้อยที่สุดและมีค่าน้อยกว่าค่าวิกฤต จากการทดสอบไปกำลังสองไม่มีการแจกแจงชนิดใด ยอมรับให้ใช้แทนข้อมูลได้เนื่องจากมีความคลาดเคลื่อนน้อยมากกว่าค่าวิกฤต และจากการแสดงความสมดคล่องระหว่างข้อมูลค่ากำลังรับแรงอัตติ้งจากเสียง ของไม้พุกษ์ที่ผ่านการทดสอบภาวะเข้ารูปสนใจที่ไปกำลังสองและการทดสอบ K-S สามารถแสดงได้ในรูปที่ ง.9 และ ง.10 ตามลำดับ



รูปที่ 4.9 การเปรียบเทียบระหว่างความถี่ที่มีพื้นที่ของค่าแรงอัตติ้งจากเส้นของไม้กฤษณา กับพังก์กันความหนาแน่นของความกว้างจะเป็นที่ผ่านการทดสอบโดยกำลังสอง



รูปที่ 4.10 การเปรียบเทียบระหว่างความถี่สะสมของค่าแรงอัตติ้งจากเส้นกับพังก์กันการแยกน้ำที่ผ่านการทดสอบ K-S

4.2.3 การทดสอบแรงตัวดัด (Modulus of Elasticity) MOE

การทดสอบแรงตัวดัดโมดูลัสยืดหยุ่น (ปฐมภูมิ) ของไม้พฤกษ์จำนวน 130 ตัวอย่าง
แสดงในตารางที่ ง.11

ตารางที่ ง.11 ค่าการทดสอบแรงตัวดัดโมดูลัสยืดหยุ่น (ปฐมภูมิ)² ของไม้พฤกษ์

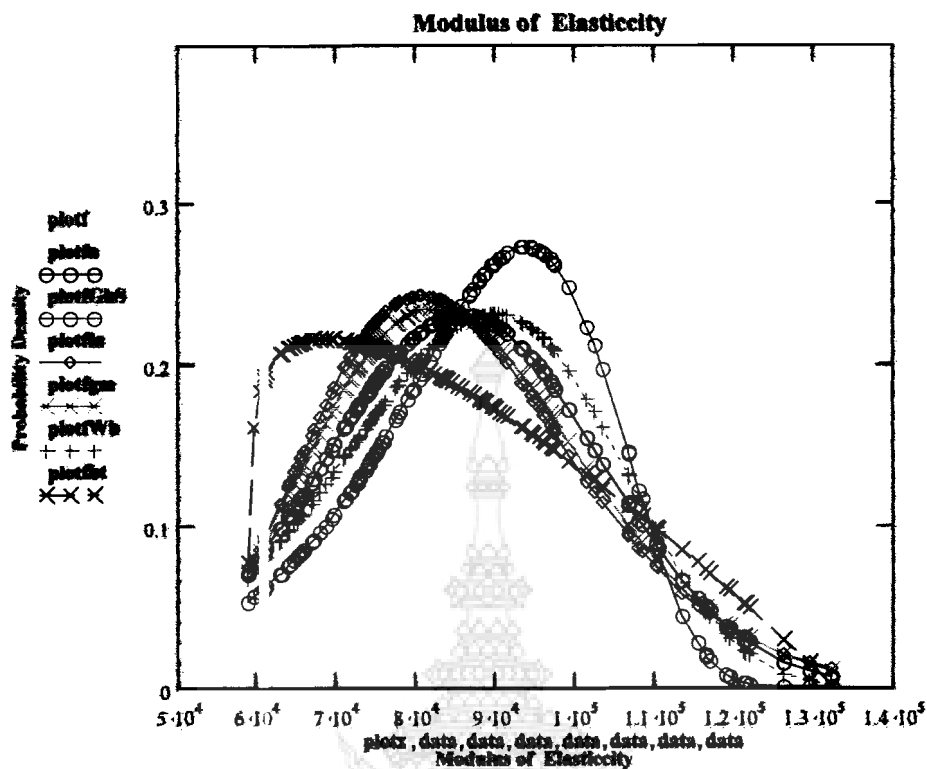
75490	67165	89671	65897	67856	74839	75194	90922	78909	129478
75030	126409	126398	76256	89936	86765	117146	83646	84071	94790
79477	73585	122115	106664	102517	101599	122132	72611	132476	96169
85142	74516	88078	75860	108433	78052	88567	72481	96033	89887
93254	71020	77488	69757	88459	64238	95378	121560	82960	79660
94411	72744	88835	86668	63052	74533	103544	82263	64027	71210
99355	108097	68614	116665	64759	85739	73897	110467	89555	80355
60973	63000	83264	106745	78060	88832	121417	83431	66818	84575
83811	96950	97256	59702	73003	90543	119511	89950	77681	65523
78878	60282	115514	74268	110180	87202	95967	97335	87862	83311
73059	80823	76215	75011	88720	85848	93567	91520	72910	64236
58784	113654	65172	81677	75489	65708	71989	74084	97557	74787
79415	116474	77426	71802	69318	75768	60831	88571	119116	61254

จากการวิเคราะห์ด้วยซอฟต์แวร์ CESTTEST พบว่าค่าเฉลี่ย และส่วนเบี่ยงเบนมาตรฐานเป็น 8.590×10^4 และ 1.753×10^4 กก./ซม.² ตามลำดับ โดยจะเห็นว่าจำนวนชุดมูล 130 ตัวอย่าง มีจำนวนมากกว่าชุดมูลที่ต้องการ (n_{req}) ซึ่งมีค่าเท่ากับ 111 สำหรับช่วงแห่งความเรื่องมั่นร้อยละ 99 ($t=2.639$) นอกจากนั้นซอฟต์แวร์ CESTTEST ได้แนะนำให้มีการแบ่งช่วงชุดมูลออกเป็น 7 ชั้น โดยมีชีดจำกัดช่วงและความถี่จากค่าสังเกตในแต่ละช่วง ซึ่งมีค่าวิกฤติสำหรับระดับขั้นเรือ (Degree of Freedom, f) เท่ากับ $7-3 = 4$ ที่ระดับความเชื่อมั่น $\alpha = 0.95$ มีค่าเท่ากับ 9.487 ค่าความถี่จากชุดมูลเมื่อเปรียบเทียบค่าความถี่ที่คำนวณจากความถี่จากการแจกแจงที่ผ่านการทดสอบໄคอกำลัง พบว่าค่าความถี่ของชุดมูลไม่มีการแยกชนิดใดผ่านการทดสอบໄคอกำลังสอง แสดงในตารางที่ ง.12

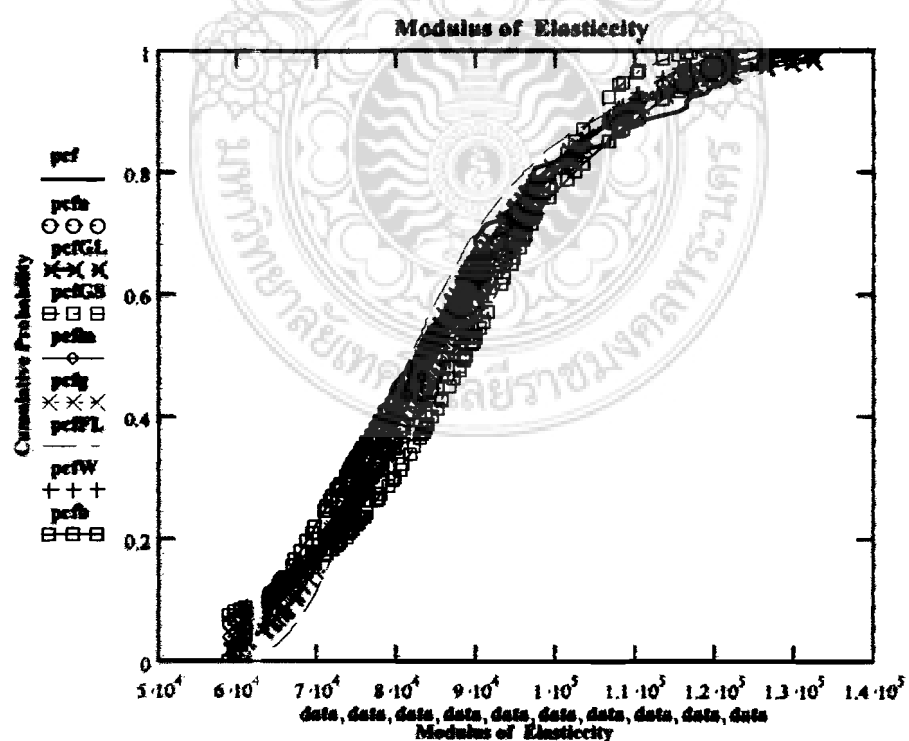
ตารางที่ ง.12 การเปรียบเทียบความถี่ของข้อมูลเทียบกับความถี่ที่ได้จากการแจกแจงที่ผ่านการทดสอบไคกำลังสอง สำหรับค่าการทดสอบแรงดันโน้มถ่วงสี่เหลี่ยม (ปฐมภูมิ)² ของไม้พูกษ์

ขั้นที่	กำลังแรงตัวคูณ $\times 10^4$ (ksc)	ความถี่จากข้อมูล	ความถี่
1	5.877 - 7	22	-
2	7 – 8.02	37	-
3	8.02- 90.4	31	-
4	90.4 – 10.01	16	-
5	10.01 – 10.11	9	-
6	10.11 – 12.10	7	-
7	12.10 – 13.24	8	-
Chi-Square Error ค่าวิกฤติ 9.487			-

จากการทดสอบ K-S (Kolmogorov-Smirnov Test) พบร่วมค่าความแตกต่างสูงสุด (Maxdif) มี 5 ชนิดเป็น การแจกแจงชนิดที่หนึ่งค่าสูงสุดแบบกุมเบล การแจกแจงแบบลอกปรกติ การแจกแจงแบบแแกมมา การแจกแจงแบบบีตา และการแจกแจงค่าสูงสุดชนิดที่สองแบบเฟอร์เรต มีค่าเป็น 0.056, 0.064, 0.076, 0.079 และ 0.085 ซึ่งให้ค่าต่ำกว่าเมื่อเปรียบเทียบกับค่าวิกฤติเท่ากับ 0.119 ตามลำดับ จะเห็นได้ว่าไม่การแจกแจงชนิดใด มีค่าความคลาดเคลื่อนจากการทดสอบไคกำลังสองต่ำที่สุด ในขณะที่การแจกแจงชนิดที่หนึ่งค่าสูงสุดแบบกุมเบล มีค่าความคลาดเคลื่อนจากการทดสอบ K-S ต่ำที่สุด จึงอาจกล่าวได้ว่าการแจกแจงชนิดที่หนึ่งค่าสูงสุดแบบกุมเบล มีภาวะเข้ารูปสนใจทั่วไปมากที่สุด เมื่อจากให้ความคลาดเคลื่อนน้อยที่สุดและมีค่าน้อยกว่าค่าวิกฤติ จากการทดสอบไคกำลังสองในขณะที่ไม่มีการแจกแจงชนิดใดยอมรับให้แทนข้อมูลได้เนื่องจากมีความคลาดเคลื่อนมากกว่าค่าวิกฤติ และจากการแสดงความสอดคล้องระหว่างข้อมูลค่าโน้มถ่วงสี่เหลี่ยม ชนิดปฐมภูมิ ของกำลังรับแรงตัว ของไม้พูกษ์ที่ผ่านการทดสอบภาวะเข้ารูปสนใจที่ไคกำลังสองและการทดสอบ K-S สามารถแสดงได้ในรูปที่ ง.11 และ ง.12 ตามลำดับ



รูปที่ 4.11 การเปรียบเทียบระหว่างความถี่สัมพัทธ์ของค่าการทดสอบในดูดซึ่งน้ำ(ปฐมนิรมิ)² ของไม้พุดกษ์กับฟังก์ชันความหนาแน่นของความกว้างที่อาจเป็นที่ผ่านการทดสอบໄกกำลังสอง



รูปที่ 4.12 การเปรียบเทียบระหว่างความถี่สะสมของค่าการทดสอบในดูดซึ่งน้ำ(ปฐมนิรมิ)² กับฟังก์ชันการแจกแจงที่ผ่านการทดสอบ K-S

การทดสอบโมดูลัสแตกหัก(ปฐมภูมิ)² (Modulus of Rupture) MOR ของไม้พูกซ์
จำนวน 130 ตัวอย่าง แสดงในตารางที่ ง.13

ตารางที่ ง.13 ค่าการทดสอบแรงดันโมดูลัสแตกหัก (ปฐมภูมิ)² ของไม้พูกซ์

858.74	943.23	933.74	983.46	885.18	756.11	768.52	768.52	883.54	839.84
791.01	885.01	848.96	870.54	745.39	941.22	841.84	859.65	772.40	1165.84
880.61	1005.17	1017.44	987.50	425.40	376.47	1346.94	937.68	598.98	748.53
948.86	927.44	1028.57	859.83	984.24	1095.93	593.35	1022.29	1025.35	965.11
934.73	821.40	987.98	981.47	775.98	919.16	896.27	1212.02	763.05	970.84
801.21	1043.97	997.57	923.10	933.74	943.41	1026.91	793.54	963.26	832.74
1104.83	1012.53	853.98	1079.53	744.55	986.06	855.10	1022.15	1062.22	1060.36
876.67	862.17	1021.79	851.49	883.48	870.77	1072.01	876.88	903.73	893.93
970.84	851.90	901.22	704.14	836.95	683.62	1191.75	1090.69	865.32	1004.00
997.97	878.31	1156.13	813.51	856.23	1084.82	804.90	1036.80	1159.18	963.15
986.30	1058.54	837.57	827.49	757.36	904.91	925.96	765.36	899.34	812.21
873.10	949.88	677.15	736.38	827.90	856.44	896.78	660.72	903.81	717.84
919.38	1121.97	801.21	693.37	860.52	950.66	658.10	860.69	1327.86	874.87

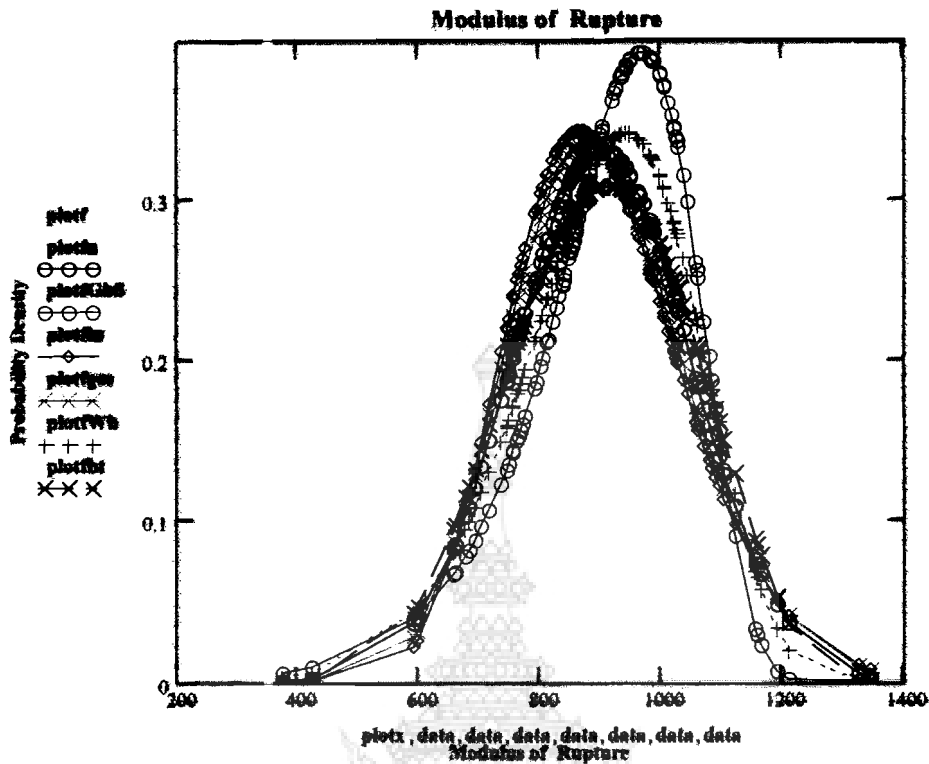
จากการวิเคราะห์ด้วยซอฟต์แวร์ CESTTEST พบว่าค่าเฉลี่ย และส่วนเบี่ยงเบนมาตรฐานเป็น 902.539 และ 147.01 กก./ซม.² ตามลำดับ โดยจะเห็นว่าจำนวนข้อมูล 130 ตัวอย่างมีจำนวนมากกว่า ข้อมูลที่ต้องการ (n_{req}) ซึ่งมีค่าเท่ากับ 70 สำหรับช่วงแห่งความเชื่อมั่นร้อยละ 99 ($t=2.639$) นอกจานั้นซอฟต์แวร์ CESTTEST ได้แนะนำให้มีการแบ่งช่วงข้อมูลออกเป็น 6 ชิ้น โดยมีรีดจำกัด ช่วงและความถี่จากค่าสังเกตในแต่ละช่วง ซึ่งมีค่าอิกรุติสำหรับระดับชั้นเสรี (Degree of Freedom, f) เท่ากับ $6-3 = 3$ ที่ระดับความเชื่อมั่น $\alpha = 0.95$ มีค่าเท่ากับ 7.814 ค่าความถี่จากข้อมูลนี้จะเปรียบเทียบ ค่าความถี่ที่คำนวนจากการถอดแบบที่ผ่านการทดสอบไปกำลังมี 3 ชนิด ได้แก่ การแจก แจงถอกปรกติ การแจกแจงแกมนา การแจกแจงปรกติ แสดงในตารางที่ ง.14

ตารางที่ ง.14 การเปรียบเทียบความถี่ของข้อมูลเทียบกับความถี่ที่ได้จากการแจกแจงที่ผ่านการทดสอบไคกำลังสอง สำหรับค่าการทดสอบแรงดันโน้มูลสแตกหัก (ปฐมภูมิ)² ของไม้พฤกษ์

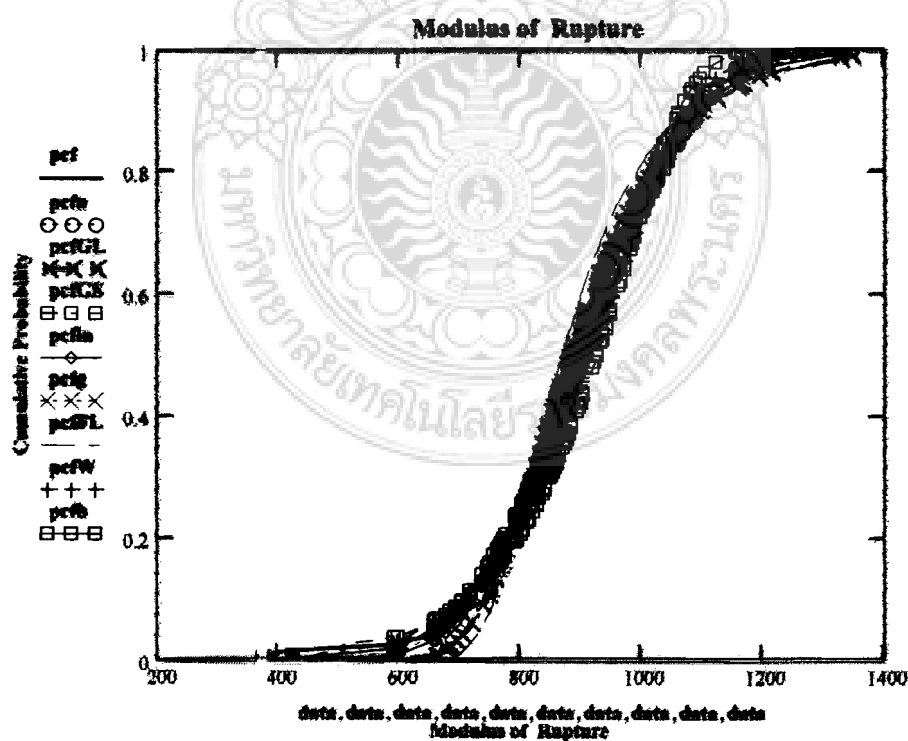
ขั้นที่	หน่วยang (ksc)	ความถี่จาก ข้อมูล	ความถี่ lognormal	ความถี่ gamma	ความถี่ normal
1	376.34 -660	5	4.151	4.981	6.434
2	660 - 782.5	18	23.351	22.527	20.489
3	782.5 - 905	49	42.558	41.172	38.944
4	905 - 1027	38	35.391	36.246	38.435
5	1027 - 1115	13	17.104	17.996	19.695
6	1115 - 1347	7	6.754	6.607	5.839
Chi-Square Error			3.561	3.893	5.730
ค่าวิกฤติ 9.487					

จากการทดสอบ K-S (Kolmogorov-Sminov Test) พบร่วมค่าความแตกต่างสูงสุด (Maxdif) มี 5 ชนิดเป็นการแจกแจงแบบปกติ การแจกแจงแบบบีตา การแจกแจงแบบแกรมมา การแจกแจงต่ำสุดชนิดที่สามแบบไนมูลส์และการแจกแจงปกติ มีค่าเป็น 0.046, 0.070, 0.079, 0.092 และ 0.098 ซึ่งให้ค่าต่ำกว่าเมื่อเปรียบเทียบกับค่าวิกฤติเท่ากับ 0.119 ตามลำดับ

จะเห็นได้ว่าค่าโน้มูลสแตกหักนิดปฐมภูมิของไม้พฤกษ์ การแจกแจงลอกปกติมีค่าความคลาดเคลื่อนจากการทดสอบไคกำลังสองต่ำที่สุด ในขณะที่การแจกแจงแบบปกติมีค่าความคลาดเคลื่อนจากการทดสอบ K-S ต่ำที่สุด จึงอาจกล่าวได้ว่าการแจกแจงแบบปกติ และการแจกแจงลอกปกติมีภาวะเร้ารูปสนิทกับข้อมูลมากที่สุดเนื่องจากให้ความคลาดเคลื่อนน้อยที่สุด และมีค่าน้อยกว่าค่าวิกฤติ การทดสอบไคกำลังสองในขณะที่การแจกแจงลอกปกติ การแจกแจงปกติ และการแจกแจงแกรมมา สามารถยอมรับให้ใช้แทนข้อมูลได้เนื่อง จากร่วมค่าความคลาดเคลื่อนน้อยกว่าค่าวิกฤติ ทั้งสองการทดสอบ และจากการฟัสดงความสอดคล้องระหว่างข้อมูลค่าโน้มูลสแตกหักนิดปฐมภูมิ ของกำลังรับแรงดันของไม้พฤกษ์ที่ผ่านการทดสอบภาวะเร้ารูปสนิทไคกำลังสองและ การทดสอบ K-S สามารถแสดงได้ในรูปที่ ง.13 และ ง.14 ตามลำดับ



รูปที่ 9.13 การนับยันเชื่อมร่วม ร่วงความเสี่ยงที่สัมภาระของสำราญติดเชื้อไม่ถูกต้องและลักลอบ(ปฐมภูมิ)² ของไม้พุกกาญจน์บีบหังกันความหนาแน่นของความน่าจะเป็นที่ผ่านการทดสอบโดยกำลังของ



รูปที่ 4.14 การเปรียบเทียบระหว่างความตื้นดัชนีของท่าทางทดสอบมิตรภาพเด็กหัดเดิน(ปฐมภูมิ)²
กับพัฒนาการเด็กนักเรียนในช่วงที่ฝึกการเดิน K-S

การทดสอบโมดูลัสยืดหยุ่น (ทุติยภูมิ)³ (Modulus of Elastisity) MOE ของไม้พฤกษ์
จำนวน 130 ตัวอย่าง แสดงในตารางที่ ง.15

ตารางที่ ง.15 ค่าการทดสอบโมดูลัสยืดหยุ่น (ทุติยภูมิ)³ ของไม้พฤกษ์

83350	99774	90955	91326	94882	85206	79703	83098	92096	108005
80130	71786	83368	102931	89978	78979	104166	105373	106695	88946
103555	66812	108829	103095	86566	103116	94566	82529	101871	86917
66693	59952	99680.00	106669	60155	59465	52572	70508	68746	73239
82908	88275	64253.00	81857	79209	58082	79063	82197	72053	70884
82557	52080	62871.00	71100	81108	53619	57137	84627	79937	74924
79094	55936	92434.00	97228	61543	69249	65637	81145	70028	70622
78878	66533	67842.00	65252	54789	61561	88544	78417	58312	60200
75490	56890	87774.00	54485	62000	63767	75395	86910	59870	55962
56239	89323	91556.00	70698	91719	64682	73152	65968	69416	74101
52839	79179	53248.00	61882	86691	57244	63124	59052	68385	54059
55597	86046	77792	90858	79296	63927	54458	69179	62201	59825
83966	63714	63409	72658	57792	52617	70278	59825	64272	73268

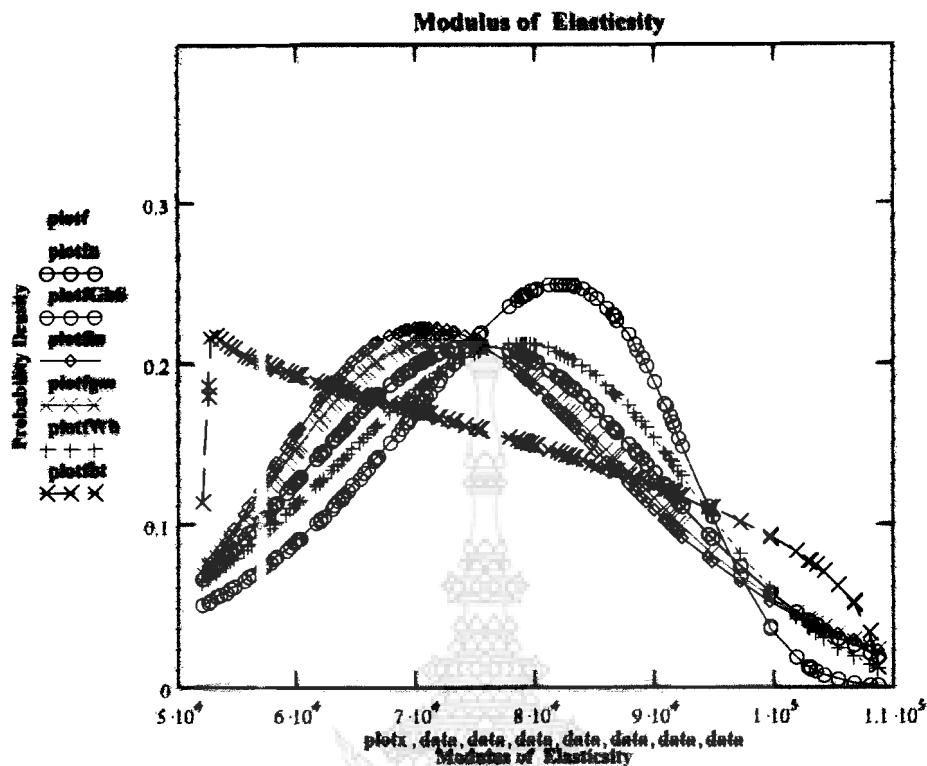
จากการวิเคราะห์ด้วยซอฟต์แวร์ CESTTEST พบว่าค่าเฉลี่ย และส่วนเบี่ยงเบนมาตรฐานเป็น 7.523×10^4 และ 1.520×10^4 กก./ซม.² ตามลำดับ โดยจะเห็นว่าจำนวนข้อมูล 130 ตัวอย่างมีจำนวนมากกว่าข้อมูลที่ต้องการ g_{req} ซึ่งมีค่าเท่ากับ 108 สำหรับช่วงแห่งความเชื่อมั่นร้อยละ 99 ($t=2.576$) นอกจากนั้นซอฟต์แวร์ CESTTEST ได้แนะนำให้มีการแบ่งช่วงข้อมูลออกเป็น 7 ชั้น โดยมีรีดจำกัดช่วงและความถี่จากค่าสังเกตในแต่ละช่วง ซึ่งมีค่าวิกฤติสำหรับระดับชั้นเสรี (Degree of Freedom, f) เท่ากับ $7-3 = 4$ ที่ระดับความเชื่อมั่น $\alpha = 0.95$ มีค่าเท่ากับ 9.487 ค่าความถี่จากข้อมูลเมื่อเปรียบเทียบค่าความถี่ที่คำนวนจากความถี่จากการแยกช่วงที่ผ่านการทดสอบไปกำลังสอง 1 ชนิดได้แก่ การแยกแบบบีตา แสดงในตารางที่ ง.16

ตารางที่ ๔.16 การเปรียบเทียบความถี่ของข้อมูลเทียบกับความถี่ที่ได้จากการแจกแจงที่ผ่านการทดสอบไคกำลังสอง สำหรับค่าการทดสอบโมตูลส์ยีดหยุ่น (ทุติยภูมิ)² ของไม้พูกษ์

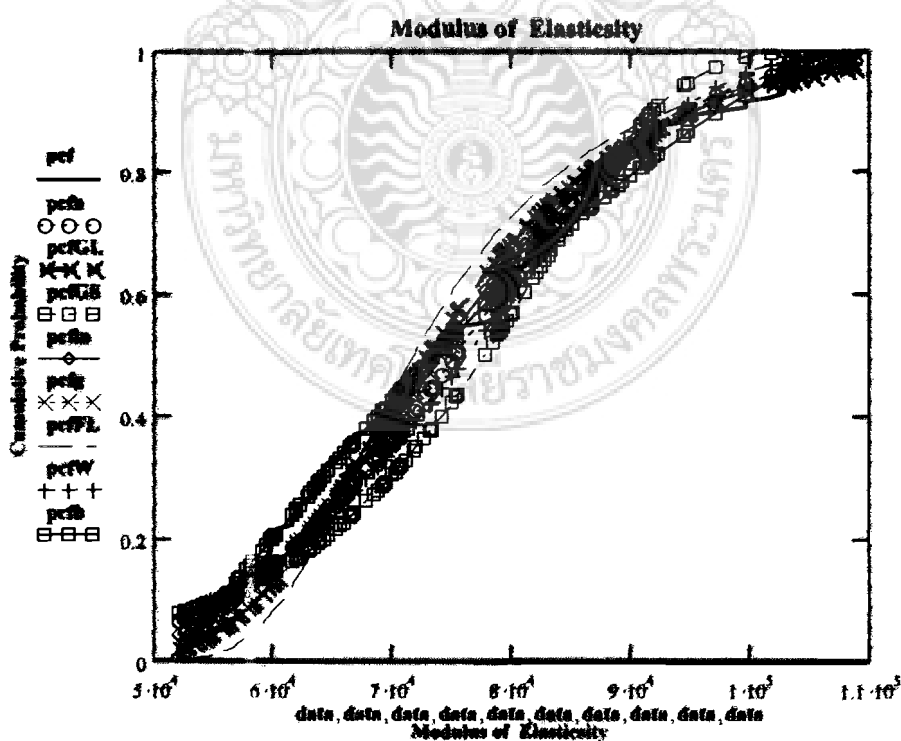
ขั้นที่	กำลังแปรเดด $\times 10^4$ (ksc)	ความถี่จาก ข้อมูล	ความถี่
			Beta
1	5.207 - 6.02	27	26.876
2	6.02 - 6.83	22	23.852
3	6.83 - 7.64	22	21.603
4	7.64 - 8.45	23	19.295
5	8.45 - 9.26	20	16.699
6	9.26 - 10.07	5	13.475
7	10.07 -10.09	11	8.198
Chi-Square Error ค่าวิกฤติ 9.487			6.976

จากการทดสอบ K-S(Kolmogorov - Smirnov Test) พบร่วมค่าความแตกต่างสูงสุด (Maxdif) มี 5 ชนิดเป็นการแจกแจงบีตา การแจกแจงแกมมา การแจกแจงปกติ การแจกแจงชนิดที่หนึ่งค่าสูงสุดแบบบุนเบล และการแจกแจงตัวสุดชนิดที่สามแบบไวบูลส์ มีค่าเป็น 0.046, 0.070, 0.079, 0.092 และ 0.098 ซึ่งให้ค่าต่ำกว่าเมื่อเปรียบเทียบกับค่าวิกฤตเท่ากับ 0.119 ตามลำดับ

จะเห็นได้ว่าค่าโมตูลส์ยีดหยุ่นทุติยภูมิของไม้พูกษ์ การแจกแจงบีตานี้ค่าความคลาดเคลื่อนจากการทดสอบไคกำลังสองต่ำที่สุด ในขณะที่การแจกแจงบีต้าให้ค่าความคลาดเคลื่อนจากการทดสอบ K-S ต่ำที่สุดเช่นเดียวกัน จึงอาจกล่าวได้ว่าการแจกแจงบีตานี้มีภาวะเข้ารูปสนิทกับข้อมูลมากที่สุดเนื่องจากให้ความคลาดเคลื่อนน้อยที่สุดและมีค่าน้อยกว่าค่าวิกฤต จากการทดสอบไคกำลังสองในขณะที่การแจกแจงแบบบีต้า ก็สามารถยอมรับให้ใช้แทนข้อมูลได้เนื่องจากมีความคลาดเคลื่อนน้อยกว่าค่าวิกฤตทั้งสองการทดสอบ และจากการแสดงความสอดคล้องระหว่างข้อมูลค่าโมตูลส์ยีดหยุ่นทุติยภูมิของไม้พูกษ์ที่ผ่านการทดสอบภาวะเข้ารูปสนิทไคกำลังสอง การทดสอบ K-S สามารถแสดงได้ในรูปที่ ๔.15 และ ๔.16 ตามลำดับ



รูปที่ 4.15 การเปรียบเทียบระหว่างความถี่ในการทดสอบในสูตรคีลล์บัน (ทับเบิลกัม)³ ระหว่างน้ำพุกรดกับฟังก์ชันความน่าจะเป็นที่ผ่านการทดสอบให้กำลังสอง



รูปที่ 4.16 การเปรียบเทียบระหว่างความถี่สะสมของผลการทดสอบในสูตรคีลล์บัน กับฟังก์ชันการแจกแจงที่ผ่านการทดสอบ K-S

การทดสอบโมดูลัสแตกหัก(ทุติยภูมิ)³ (Modulus of Rupture ; MOR) ของไม้พูกซ์
จำนวน 130 ตัวอย่าง แสดงในตารางที่ ง.17

ตารางที่ ง.17 ค่าการทดสอบโมดูลัสแตกหัก (ทุติยภูมิ)³ ของไม้พูกซ์

1053.64	1124.57	1003.83	1095.95	971.32	1008.91	602.65	1123.80	1098.77	1215.16
1091.32	640.95	1105.75	1224.56	568.71	716.93	963.51	1322.09	1168.51	1079.15
1120.66	647.32	974.87	1031.36	711.72	1089.69	1196.27	856.23	1250.72	1252.37
951.62	783.24	991.48	1158.00	987.86	781.05	772.41	1165.52	951.80	1115.10
1123.95	1188.21	966.40	973.19	857.38	1003.76	791.06	1029.45	1213.67	1081.66
1251.27	1231.37	1245.86	1201.67	1443.67	1211.88	1169.84	1164.20	1051.98	1036.14
1081.14	1067.60	864.61	863.42	738.64	1163.62	737.25	943.76	820.36	1167.38
825.27	928.21	750.08	966.90	1070.64	1070.64	1002.39	1161.10	766.87	944.16
1167.10	993.27	947.74	1374.36	1217.51	948.07	1119.03	1098.36	1102.56	1018.45
1128.63	850.16	1145.53	1038.11	907.12	1267.99	1126.94	1118.28	776.65	886.21
1218.05	1280.69	870.32	1193.36	858.63	1133.90	1138.33	1115.89	913.26	756.19
839.47	775.31	1339.44	1198.38	849.72	934.31	1197.46	1217.66	1043.69	1028.53
793.90	1044.05	1132.74	890.66	1318.61	900.94	1017.84	1155.44	918.87	1099.99

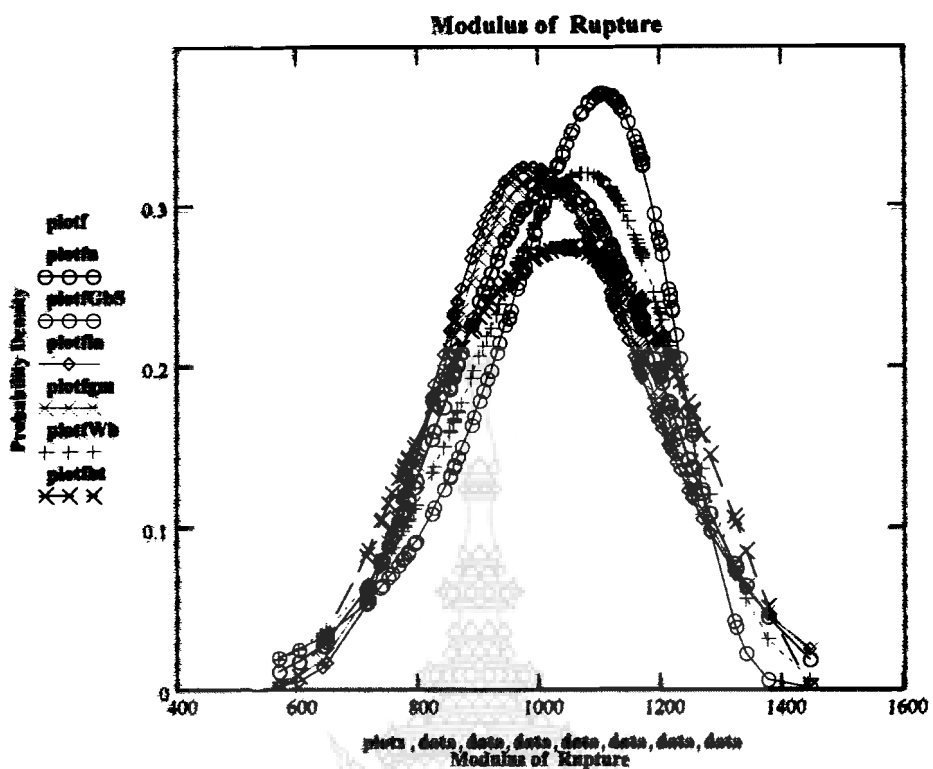
จากการวิเคราะห์ด้วยซอฟต์แวร์ CESTTEST พบว่าค่าเฉลี่ย และส่วนเบี่ยงเบนมาตรฐานเป็น 1.027×10^3 และ 174.756 กก./ซม.² ตามลำดับ โดยจะเห็นว่าจำนวนข้อมูล 130 ตัวอย่าง มีจำนวนมากกว่าข้อมูลที่ต้องการ (n_{eq}) ซึ่งมีค่าเท่ากับ 77 สำหรับช่วงแห่งความเชื่อมั่นร้อยละ 99 ($t=2.576$) นอกจากนั้นซอฟต์แวร์ CESTTEST ได้แนะนำให้มีการแบ่งช่วงข้อมูลออกเป็น 6 ชั้น โดยมีขีดจำกัดช่วงและความถี่จากค่าสังเกตในแต่ละช่วง ซึ่งมีค่าวิกฤติสำหรับระดับชั้นเสรี (Degree of Freedom, f) เท่ากับ 6-3=3 ที่ระดับความเชื่อมั่น $\alpha = 0.95$ มีค่าเท่ากับ 7.814 ค่าความถี่จากข้อมูลเมื่อเปรียบเทียบค่าความถี่ที่คำนวณจากความถี่จากการแจกแจงที่ผ่านการทดสอบได้กำลังสอง 4 ชนิดได้แก่ การแจกแจงตัวสุนัขที่สามแบบไวนูล์ การแจกแจงบีตา การแจกแจงชันนิตที่หนึ่งค่าต่ำสุดแบบกุมเบลและการแจกแจงแบบปกติ แสดงในตารางที่ ง.18

ตารางที่ ๔.18 การเปรียบเทียบความถี่ของข้อมูลเทียบกับความถี่ที่ได้จากการแจกแจงที่ผ่านการทดสอบไปกำลังสอง สำหรับค่าการทดสอบโมดูลัสแทกหัก (ทุติยภูมิ)³ ของไม้พฤกษ์

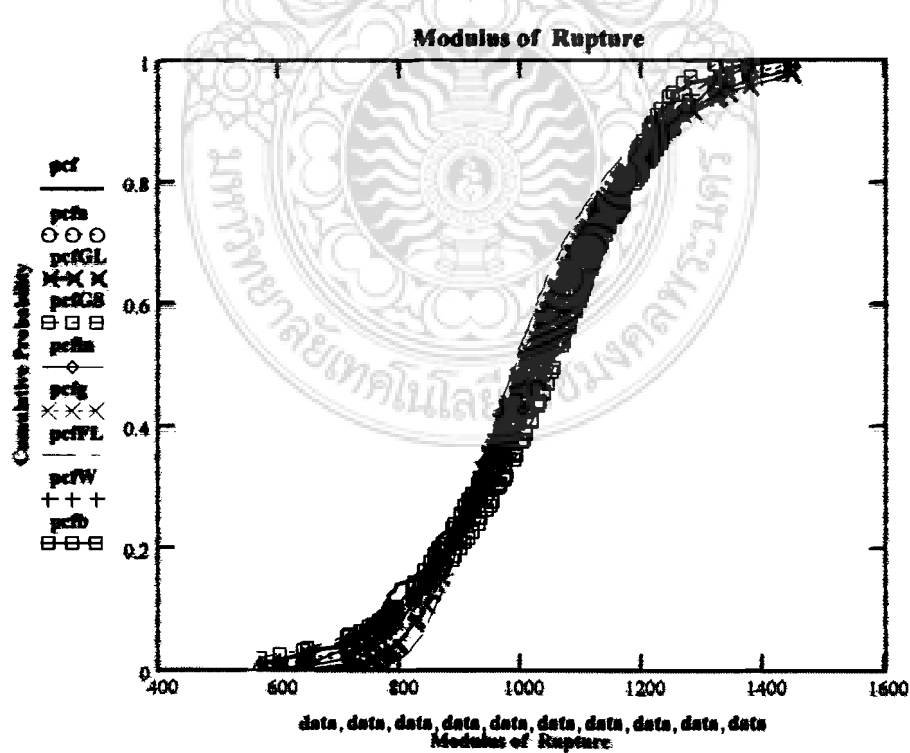
ชั้นที่	โมดูลัสแทกหัก (ksc)	ความถี่จากข้อมูล	ความถี่ Weibull	ความถี่ Beta	ความถี่ Gumbel	ความถี่ Normal
1	568.572 - 720	6	6.819	5.073	7.432	5.114
2	720 - 857.5	19	14.617	19.300	11.954	16.417
3	857.5 - 995	27	29.980	31.544	27.139	33.939
4	995 - 1132	39	40.615	35.06	44.910	38.963
5	1132 - 1270	33	29.369	27.46	33.927	24.847
6	1270 - 1443	6	8.418	11.559	4.635	9.602
Chi-Square Error ค่าวิกฤติ 9.48773			2.916	5.062	5.634	6.004

จากการทดสอบ K-S (Kolmogorov-Sminov Test) พบร่วมกับความแตกต่างสูงสุด (Maxdif) มี 5 ชนิดเป็นการแจกแจงต่ำสุดชนิดที่สามแบบไวนูลล์ การแจกแจงแบบบีตา การแจกแจงชนิดที่หนึ่งค่าต่ำสุดแบบกุมเบล การแจกแจงปรกติและการแจกแจงแบบแคนนอน มีค่าเป็น 0.042, 0.056, 0.060, 0.070 และ 0.090 ซึ่งให้ค่าต่ำกว่าเมื่อเปรียบเทียบกับค่าวิกฤติเท่ากับ 0.119 ตามลำดับ

จะเห็นได้ว่าค่าโมดูลัสแทกหักชนิดทุติยภูมิของไม้พฤกษ์ การแจกแจงต่ำสุดชนิดที่สามแบบไวนูลล์ มีค่าความคลาดเคลื่อนจากการทดสอบไปกำลังสองต่ำที่สุด ในขณะที่การแจกแจงต่ำสุดชนิดที่สามแบบไวนูลล์ มีค่าความคลาดเคลื่อนจากการทดสอบ K-S ต่ำที่สุดเช่นเดียวกัน จึงอาจกล่าวได้ว่า การแจกแจงต่ำสุดชนิดที่สามแบบไวนูลล์มีภาวะเข้ารูปสนิทกับข้อมูลมากที่สุด เนื่องจากให้ความคลาดเคลื่อนน้อยที่สุดและมีค่าน้อยกว่าค่าวิกฤติจากห้องส่องการทดสอบ จากการทดสอบไปกำลังสองในขณะที่การแจกแจงแบบบีตา การแจกแจงชนิดที่หนึ่งค่าสูงสุดแบบกุมเบล การแจกแจงแบบปรกติ ก็สามารถยอมรับให้ใช้แทนข้อมูลได้เนื่องจากมีความคลาดเคลื่อนน้อยกว่าค่าวิกฤติห้องส่องการทดสอบ และ จากราฟแสดงความสอดคล้องระหว่างข้อมูลค่าโมดูลัสแทกหักชนิดทุติยภูมิของไม้พฤกษ์ที่ผ่านการทดสอบภาวะเข้ารูปสนิทไปกำลังสองของการทดสอบ K-S สามารถแสดงได้ในรูปที่ ๔.17 และ ๔.18 ตามลำดับ



รูปที่ 4.17 การเปลี่ยนเทียบระหว่างความถี่สัมพัทธ์ของค่าการทดสอบไม่ต่อสักแตกหักของไม้ พฤกษ์กับพังก์รุนความหนาแน่นของความไม่จำเป็นที่ผ่านการทดสอบให้กำลังดัง



**รูปที่ ๔.๑๘ การเปรียบเทียบระหว่างความถี่สะสมของค่าการทดสอบแบ่งตัวคงที่สั้น
แยกหักกันพังก์ซึ่นการแจกแจงที่ฝ่านการทดสอบ K-S**

ง 2.4 การทดสอบแรงตึงในแนวขานาเนี้ยน (Tension Parallel to Grain)

ของไม้พูกซ์จำนวน 130 ตัวอย่าง แสดงในตารางที่ ง.19

ตารางที่ ง.19 แรงดึงในแนวขานาเนี้ยนของไม้พูกซ์

781.50	790.50	1116.70	1020.50	872.70	831.80	733.90	1239.90	1270.00	1254.90
1260.40	1254.90	832.90	957.70	732.30	1059.10	782.10	798.70	831.00	1270.90
732.30	727.70	1254.90	720.40	1254.90	745.30	1254.90	1205.20	1235.20	868.40
1297.80	1241.20	709.50	1255.80	1296.50	1247.00	883.60	1254.90	1254.90	707.40
1254.90	1175.00	1024.40	1260.40	1282.20	1240.30	1430.80	1498.10	1174.20	1210.10
1076.10	1254.90	1295.00	1046.90	716.10	1291.10	1257.50	1100.00	1254.90	1238.20
1274.50	1254.90	836.10	1254.90	1274.60	784.00	996.10	1283.00	1254.90	938.10
1082.70	1089.80	1069.60	1246.60	1191.70	833.40	764.60	1223.20	936.50	1254.90
914.40	1278.30	1250.30	1039.50	1262.00	936.20	1209.10	864.50	1203.50	889.10
905.10	637.00	1283.10	827.30	1254.90	705.50	1237.60	822.70	1210.20	1214.20
1214.30	1254.90	1232.50	1166.10	1266.10	1204.40	1386.10	980.20	704.00	732.20
770.50	974.90	723.80	1222.00	1254.90	1268.60	1201.80	1229.70	1251.10	868.10
808.20	706.20	1221.90	874.30	770.90	1233.21	1254.90	1254.90	1254.90	882.60

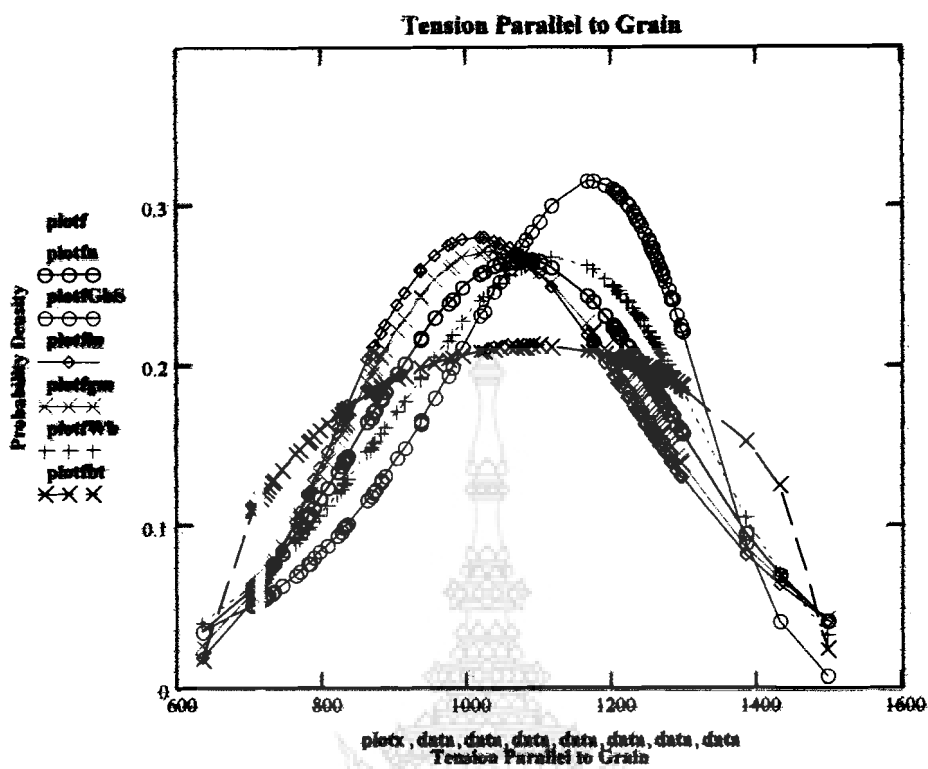
จากการวิเคราะห์ด้วยซอฟต์แวร์ CESTTEST พบว่าค่าเฉลี่ย และส่วนเบี่ยงเบนมาตรฐานเป็น 1.075×10^3 และ 216.517 กก./ซม.² ตามลำดับ โดยจะเห็นว่าจำนวนข้อมูล 130 ตัวอย่าง มีจำนวนมากกว่าข้อมูลที่ต้องการ (n_{req}) ซึ่งมีค่าเท่ากับ 107 สำหรับช่วงแห่งความเชื่อมั่นร้อยละ 99 ($t=2.567$) นอกจากนี้ซอฟต์แวร์ CESTTEST ได้แนะนำให้มีการแบ่งช่วงข้อมูลออกเป็น 6 ชั้น โดยมีชีดจำกัดช่วงและความถี่จากค่าสังเกตในแต่ละช่วง ซึ่งมีค่าวิกฤติสำหรับระดับชั้นเสรี (Degree of Freedom, f) เท่ากับ 6-3=3 ที่ระดับความเชื่อมั่น $\alpha = 0.95$ มีค่าเท่ากับ 7.814 ค่าความถี่จากข้อมูลเมื่อเปรียบเทียบค่าความถี่ที่คำนวณจากความถี่จากการแจกแจงที่ผ่านการทดสอบให้กำลังสองพบว่าค่าความถี่ของข้อมูลไม่มีการแจกแจงชนิดใดผ่านการทดสอบให้กำลังสอง แสดงในตารางที่ ง.20

ตารางที่ ๔.20 การเปรียบเทียบความถี่ของข้อมูลเทียบกับความถี่ที่ได้จากการแจกแจงที่ผ่านการทดสอบไปกำลังสอง สำหรับค่าแรงดึงในแนวขานานเสี้ยนของไม้พฤกษ์

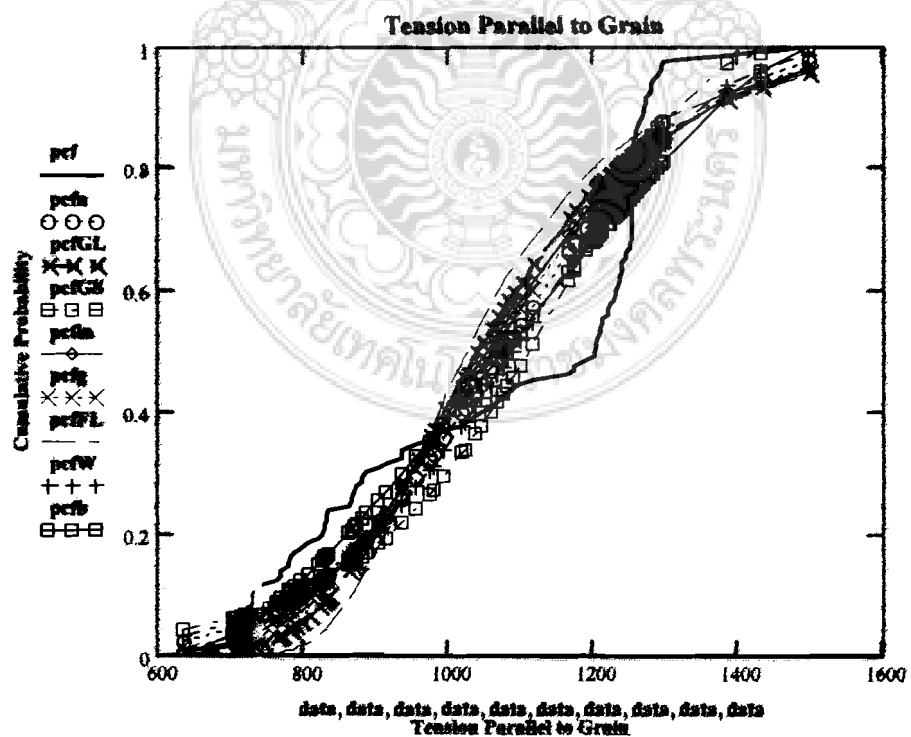
ขั้นที่	กำลังแรงดึง (ksc)	ความถี่จากข้อมูล	ความถี่
			Frechet Type-II Largest
1	636.855 - 710	6	-
2	710 - 855	25	-
3	855 - 1000	17	-
4	1000 - 1145	11	-
5	1145 - 1290	64	-
6	1290 - 1498	7	-
Chi-Square Error			-
ค่าวิกฤติ 7.814			

จากการทดสอบ K-S(Kolomogorov - Smirnov Test) พบร่วมค่าความแตกต่างสูงสุด (Maxdif) ไม่มีการแจกแจงชนิดใดให้ค่าต่ำกว่าเมื่อเปรียบเทียบกับค่าวิกฤติเท่ากับ 0.119

จะเห็นได้ว่าค่าแรงดึงในแนวขานานเสี้ยนของไม้พฤกษ์ ไม่มีการแจกแจงชนิดใด มีค่าความคลาดเคลื่อนต่ำกว่าค่าวิกฤติที่ได้จากการทดสอบไปกำลังสอง ในขณะเดียวกันไม่มีการแจกแจงชนิดใดมีค่าความคลาดเคลื่อนต่ำกว่าค่าวิกฤติที่ได้จากการทดสอบ K-S เท่าเดียวกัน จึงอาจกล่าวได้ว่าไม่มีการแจกแจงชนิดใดมีภาวะเข้ารูปสนใจกับข้อมูล เนื่องจากข้อมูลการแจกแจงให้ความคลาดเคลื่อนมากกว่าค่าวิกฤตจากทั้งสองการทดสอบ และจากการแสดงความสอดคล้องระหว่างข้อมูลค่าแรงดึงในแนวขานานเสี้ยนของไม้พฤกษ์ ที่ผ่านการทดสอบภาวะเข้ารูปสนใจก็ไปกำลังสอง การทดสอบ K-S สามารถแสดงได้ในรูปที่ ๔.19 และ ๔.20 ตามลำดับ



รูปที่ 4.19 การเปรียบเทียบระหว่างความถี่สัมพัทธ์ของค่าแรงตึงในแนวราวน้ำเส้นของไม้พูกซ์ กับฟังก์ชันความน่าจะเป็นของความน่าจะเป็นที่ผ่านการทดสอบไปกำลังสอง



รูปที่ 4.20 การเปรียบเทียบระหว่างความถี่สะสมของค่าแรงตึงในแนวราวน้ำเส้นกับฟังก์ชันการแจกแจงที่ผ่านการทดสอบ K-S

การทดสอบแรงตึงในแนวขานาเสียน(E) (Tension Parallel to Grain)
ของไม้พูกซ์จำนวน 130 ตัวอย่าง แสดงในตารางที่ ง.21

ตารางที่ ง.21 แรงตึงในแนวขานาเสียนของไม้พูกซ์ (ค่าไม้ดูลัสยีดหยุ่น E)

19464.29	27556.18	28270.89	31594.43	23522.91	23630.68	26950.31	40417.32	39811.91	25454.36
35939.39	25454.36	27398.03	32137.58	33104.71	26477.50	23346.27	23757.94	35361.70	30129.67
22555.08	27254.68	25454.36	33176.47	25454.36	37265.00	25454.36	33019.18	35412.24	25541.18
36710.78	23084.34	28886.26	27061.88	29600.46	29761.34	33218.05	25454.36	25454.36	18185.63
25454.36	23129.92	24103.53	17344.42	28813.48	13643.05	20039.22	29783.30	19376.24	29573.36
21695.56	25454.36	16160.08	25977.67	19374.21	16120.57	22455.36	27295.29	25454.36	15951.31
18578.72	25454.36	29860.71	25454.36	34712.12	23543.54	30743.83	28991.87	25454.36	29875.80
29262.16	25285.38	21784.11	24932.00	15297.82	20426.47	18258.24	32194.65	27303.21	25454.36
25613.45	31655.25	29780.29	18430.85	26700.85	22613.53	21414.89	23239.25	20690.48	26461.31
24136.00	27456.90	32452.95	29028.07	25454.36	25124.48	27409.84	22980.45	27710.09	15789.34
15790.64	25454.36	23599.67	32123.97	29055.66	24047.95	26604.61	31216.56	20465.12	24503.88
18285.26	15852.03	27520.91	26931.82	25454.36	23362.80	13878.46	33404.21	25284.84	20188.37
19616.50	26059.04	29596.72	17734.28	24629.39	30374.63	25454.36	25454.36	25454.36	16135.28

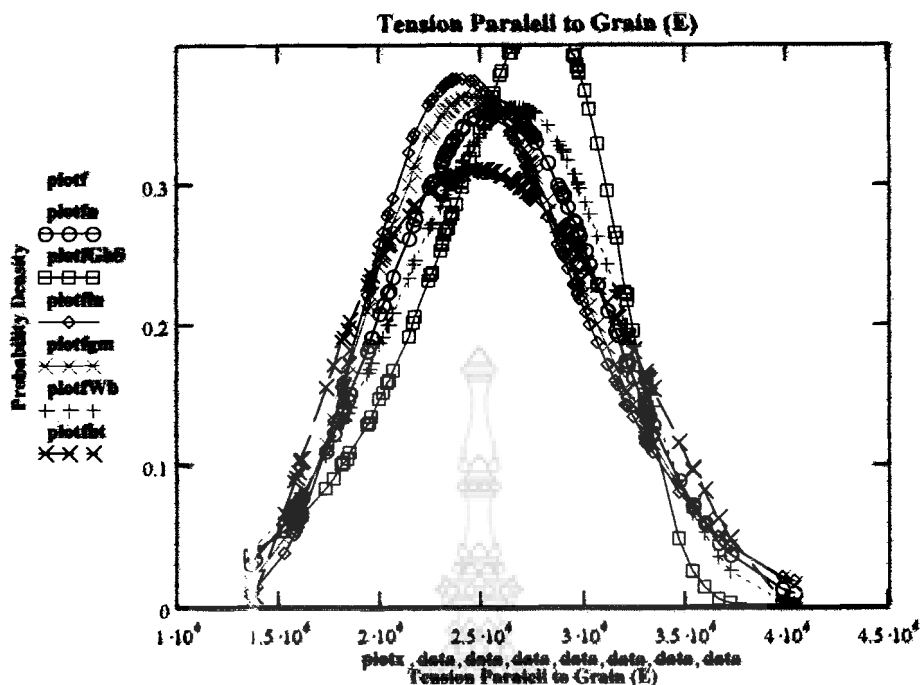
จากการวิเคราะห์ด้วยซอฟต์แวร์ CESTTEST พบว่าค่าเฉลี่ย และส่วนเบี่ยงเบนมาตรฐานเป็น 2.567×10^4 และ 5.435×10^3 กก./ซม.² ตามลำดับ โดยจะเห็นว่าจำนวนชุดมูล 130 ตัวอย่าง มีจำนวนมากกว่าข้อมูลที่ต้องการ (k_{req}) ซึ่งมีค่าเท่ากับ 119 สำหรับช่วงแห่งความเชื่อมั่นร้อยละ 99 ($t=2.576$) นอกจากนี้ซอฟต์แวร์ CESTTEST ได้แนะนำให้มีการแบ่งช่วงชุดมูลออกเป็น 6 ชั้น โดยมีอัตราต่อช่วงและความถี่จากค่าสังเกตในแต่ละช่วง ซึ่งมีค่าวิถุติสำหรับระดับชั้นเรี๊ย (Degree of Freedom, f) เท่ากับ $6-3 = 3$ ที่ระดับความเชื่อมั่น $\alpha = 0.95$ มีค่าเท่ากับ 7.814 ค่าความถี่จากชุดมูลเมื่อเปรียบเทียบค่าความถี่ที่คำนวณจากความถี่จากการแจกแจงที่ผ่านการทดสอบโดยกำลังสองจำนวน 2 ชนิดได้แก่ การแจกแจงแบบปกติ และการแจกแจงแบบแอกม่า แสดงในตารางที่ ง.22

ตารางที่ ง.22 การเปรียบเทียบความถี่ของข้อมูลเทียบกับความถี่ที่ได้จากการแจกแจงที่ผ่านการทดสอบไปกำลังสอง สำหรับค่าแรงดึงในแนวตั้งจากเสียงของน้ำพุกษ์(ค่าไมครูลัสยีดหยุ่น E)

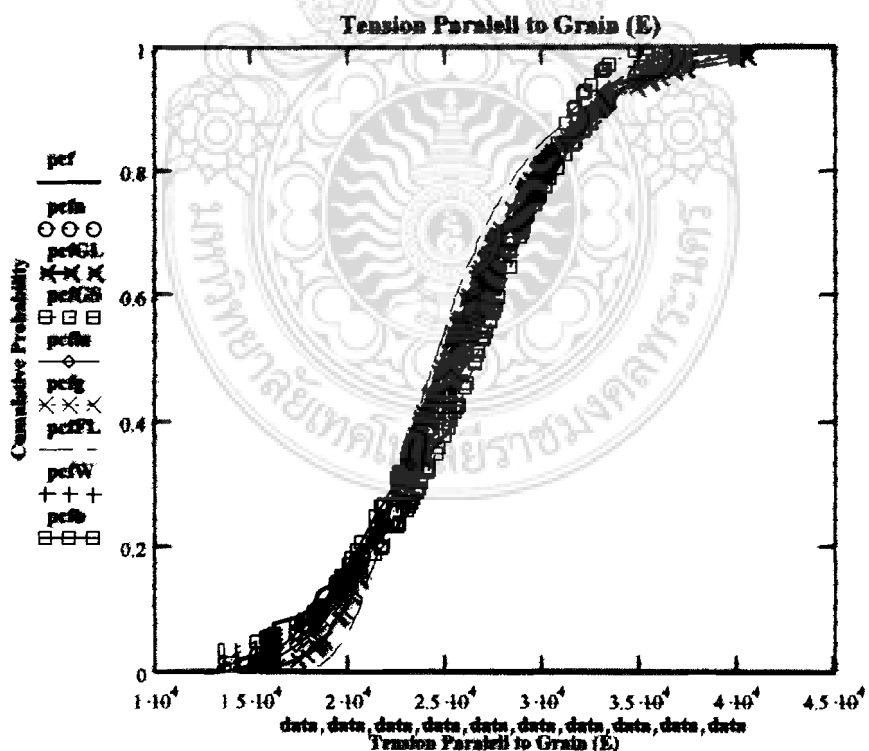
ขั้นที่	กำลังแรงดึง $\times 10^4$ (ksc)	ความถี่จาก ข้อมูล	ความถี่ Nomal	ความถี่ Gamma
1	1.363 – 1.59	6	4.718	2.825
2	1.59 – 2.075	20	19.105	21.236
3	2.075 – 2.56	47	40.623	44.049
4	2.56 – 3.045	36	40.985	38.021
5	3.045 – 3.53	14	19.622	17.558
6	3.53 – 4.042	7	4.514	5.210
Chi-Square Error ค่าวิกฤติ 7.814			4.976	5.278

จากการทดสอบ K-S (Kolmogorov-Smirnov Test) พบร่วมกับความแตกต่างสูงสุด (Maxdif) มี 4 ชนิดเป็น การแจกแจงปกติ การแจกแจงแบบบีตา การแจกแจงต่ำสุดชนิดที่สามแบบไนโอลล์ และการแจกแจงแบบแกรมมามีค่าเป็น 0.080, 0.096, 0.097 และ 0.108 ซึ่งให้ค่าต่ำกว่าเมื่อเปรียบเทียบกับค่าวิกฤติเท่ากับ 0.119 ตามลำดับ

จะเห็นได้ว่าค่าแรงดึงในแนวตั้งจากเสียงของน้ำพุกษ์(ค่าไมครูลัสยีดหยุ่นE) การแจกแจงปกติมีค่าความคลาดเคลื่อนจากการทดสอบไปกำลังสองต่ำที่สุด ในขณะที่การแจกแจงปกติมีค่าความคลาดเคลื่อนจากการทดสอบ K-S ต่ำที่สุด เช่นเดียวกัน จึงอาจกล่าวได้ว่าการแจกแจงปกติมีภาวะเข้ากับข้อมูลมากที่สุด เมื่อจากให้ความคลาดเคลื่อนน้อยที่สุดและมีค่าน้อยกว่าค่าวิกฤติ จากการทดสอบไปกำลังสอง ในขณะที่การแจกแจงแบบแกรมมา ก็สามารถยอมรับให้ใช้แทนข้อมูลได้เนื่องจากมีความคลาดเคลื่อนน้อยกว่าค่าวิกฤติทั้งสองการทดสอบและจากการแสดงความสอดคล้องระหว่างข้อมูลค่าแรงดึงในแนวตั้งจากเสียงของน้ำพุกษ์ (ค่าไมครูลัสยีดหยุ่นE) ที่ผ่านการทดสอบภาวะเข้ากับข้อมูลไปกำลังสอง และการทดสอบ K-S สามารถแสดงได้ในรูปที่ ง.21 และ ง.22 ตามลำดับ



รูปที่ 4.21 การเปรียบเทียบระหว่างความถี่สัมพัทธิของค่า(Ε)แรงตึงในแนวขานานเสื่อนช่องไม้พุดกษ์กับพื้นที่ความหนาแน่นของความน่าจะเป็นที่ผ่านการทดสอบໄคกำลังสอง



รูปที่ 4.22 การเปรียบเทียบระหว่างความถี่สะสมของค่า(Ε)แรงตึงในแนวขานานเสื่อนช่องไม้พุดกษ์กับพื้นที่การแจกแจงที่ผ่านการทดสอบ K-S

ง 2.5 การทดสอบแรงตึงในแนวตั้งจากเสียง (Tension Perpendicular to Grain)
ของไม้พูกซ์จำนวน 130 ตัวอย่าง แสดงในตารางที่ ง.23

ตารางที่ ง.23 แรงดึงในแนวตั้งจากเสียงของไม้พูกซ์

46.04	43.83	68.71	69.17	58.01	59.64	67.78	39.81	49.13	46.32
52.91	56.37	58.98	53.20	46.22	53.15	48.98	68.31	54.99	65.31
86.48	67.52	54.90	49.09	44.79	60.47	51.09	54.56	50.92	44.99
54.41	55.16	59.54	69.92	58.33	47.13	78.94	73.05	74.28	62.57
53.88	60.21	79.50	71.24	55.87	67.71	48.02	66.99	56.88	68.49
50.45	76.49	65.20	68.70	59.17	61.32	55.21	65.92	65.16	57.89
69.66	84.68	83.62	68.72	59.45	63.63	76.28	57.15	68.63	67.65
79.62	70.93	66.84	71.55	59.79	75.00	73.36	73.98	52.13	45.39
46.12	59.11	66.25	48.40	85.95	44.05	56.68	49.33	65.64	47.23
46.28	72.10	77.74	70.86	47.45	46.47	46.22	48.40	56.21	73.18
57.95	65.33	86.49	60.89	69.97	72.68	60.21	54.22	58.56	79.21
47.66	56.88	86.14	44.27	47.08	66.48	50.60	58.11	76.24	52.72
63.50	60.36	77.34	62.22	52.42	62.15	54.90	67.41	74.42	62.56

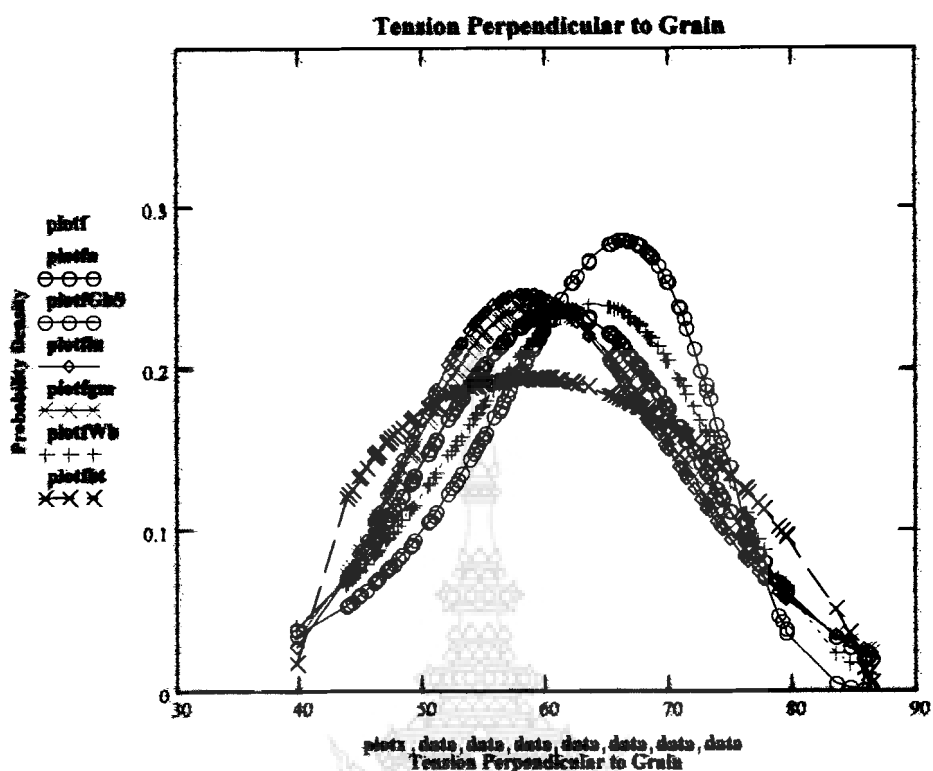
จากการวิเคราะห์ด้วยซอฟต์แวร์ CESTTEST พบว่าค่าเฉลี่ย และส่วนเบี่ยงเบนมาตรฐานเป็น 61.307 และ 11.193 กก./ซม.² ตามลำดับ โดยจะเห็นว่าจำนวนชิ้นอยู่ 130 ตัวอย่าง มีจำนวนมากกว่าข้อมูลที่ต้องการ (n_{req}) ซึ่งมีค่าเท่ากับ 88 สำหรับช่วงแห่งความเชื่อมั่นร้อยละ 99 ($t=2.576$) นอกจากนี้ซอฟต์แวร์ CESTTEST ได้แนะนำให้มีการแบ่งชิ้นอยู่เป็น 7 ชิ้น โดยมีขีดจำกัดช่วงและความถี่จากค่าสังเกตในแต่ละช่วง ซึ่งมีค่าวิกฤติสำหรับระดับชั้นเสรี (Degree of Freedom, f) เท่ากับ $7-3 = 4$ ที่ระดับความเชื่อมั่น $\alpha = 0.95$ มีค่าเท่ากับ 9.487 ค่าความถี่จากชิ้นอยู่เมื่อเปรียบเทียบค่าความถี่ที่คำนวณจากความถี่จากการแจกแจงที่ผ่านการทดสอบให้กำลังสองจำนวน 5 ชนิด ได้แก่ การแจกแจงบีตา การแจกแจงปีร์สัน การแจกแจงแบบแกมมา การแจกแจงเวลลีฟี และการแจกแจงตัวสุธรรมิตที่สามแบบไวนูลล์ แสดงในตารางที่ ง.24

ตารางที่ ง.24 การเปรียบเทียบความถี่ของข้อมูลเทียบกับความถี่ที่ได้จากการแจกแจงที่ผ่านการทดสอบไปกำลังสอง สำหรับค่าแรงดึงในตั้งจากเสียงของไม้พฤกษ์

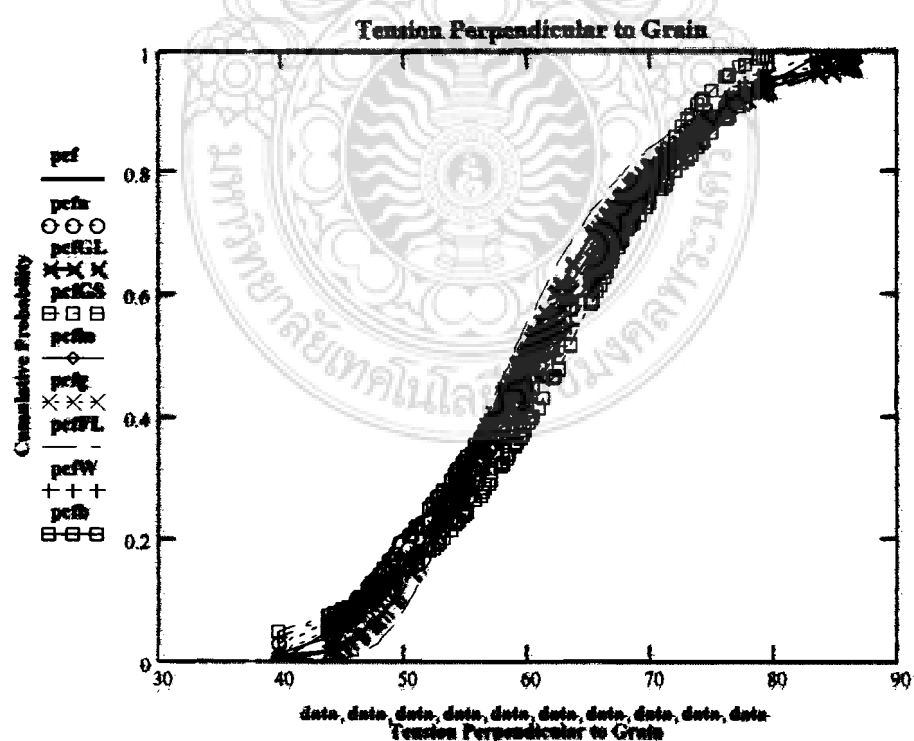
ขั้นที่	กำลังแรงดึง (ksc)	ความถี่จากข้อมูล	ความถี่ Beta	ความถี่ Normal	ความถี่ Gamma	ความถี่ Rayleigh	ความถี่ Weibull
1	39.80 – 46.5	14	13.48	12.08	10.78	9.59	13.29
2	46.5 – 53.16	21	22.34	18.25	20.61	24.60	15.87
3	53.16 – 59.82	30	25.07	27.79	29.81	30.32	25.13
4	59.82 – 66.48	19	24.57	30.01	29.13	27.03	30.77
5	66.48 – 73.14	25	21.51	22.98	20.72	19.05	26.56
6	73.14 – 79.8	15	15.94	12.47	11.34	10.98	14.09
7	79.8 – 86.49	6	7.07	4.81	5.00	5.29	3.83
Chi-Square Error ค่าวิกฤติ 9.487			3.11	5.91	6.74	8.35	8.52

จากการทดสอบ K-S (Kolmogorov-Smirnov Test) พบร่วมกับความแตกต่างสูงสุด (Maxdif) มี 5 ชนิดเป็นการแจกแจงแบบบivariate การแจกแจงแบบปกติ การแจกแจงแกรมมา การแจกแจงเรลลี การแจกแจงแบบลอกปีกติ มีค่าเป็น 0.043, 0.060, 0.061, 0.067 และ 0.066 ซึ่งให้ค่าต่ำกว่าเมื่อเปรียบเทียบกับค่าวิกฤติเท่ากับ 0.119 ตามลำดับ

จะเห็นได้ว่าค่าแรงดึงในแนวตั้งจากเสียงของไม้พฤกษ์การแจกแจงแบบบivariate มีค่าความคลาดเคลื่อนจากการทดสอบไปกำลังสองต่ำที่สุด ในขณะที่การแจกแจงแบบบivariate มีค่าความคลาดเคลื่อนจากการทดสอบ K-S ต่ำที่สุดเป็นเดียวgan จึงอาจกล่าวได้ว่าการแจกแจงแบบบivariate มีภาวะเข้ารูปสนิท กับข้อมูลมากที่สุด เนื่องจากให้ความคลาดเคลื่อนน้อยที่สุดและมีค่าน้อยกว่าค่าวิกฤติ จากการทดสอบไปกำลังสองในขณะที่ การแจกแจงแบบปีกติ การแจกแจงแกรมมา การแจกแจงเรลลี และการแจกแจงต่ำสุดชนิดที่สามแบบไวนบูลล์ ก็สามารถยอมรับให้ใช้แทนข้อมูลได้เนื่องจากมีความคลาดเคลื่อนน้อยกว่าค่าวิกฤติทั้งสองการทดสอบ และจากการแสดงความสอดคล้องระหว่างข้อมูลค่าแรงดึงในแนวตั้งจากเสียงของไม้พฤกษ์ ที่ผ่านการทดสอบภาวะเข้ารูปสนิทไปกำลังสอง และการทดสอบ K-S สามารถแสดงได้ในรูปที่ ง.23 และ ง.24 ตามลำดับ



รูปที่ 4.23 การเปรียบเทียบระหว่างความถี่สัมพัทธ์ของค่าแรงตึงในแนวตั้งจากเสียงของน้ำ พฤกษ์กับฟังก์ชันความหนาแน่นของความน่าจะเป็นที่ผ่านการทดสอบโดยกำลังสอง



รูปที่ 4.24 การเปรียบเทียบระหว่างความถี่สะสมของค่าแรงตึงในแนวตั้งจากเสียงกับฟังก์ชันการแจกแจงที่ผ่านการทดสอบ K-S

ง 2.6 การทดสอบแรงเฉือนขานานเสียน (Shear Parallel to Grain)

จำนวน 130 ตัวอย่างแสดงในตารางที่ ง.25

ตารางที่ ง.25 การทดสอบแรงเฉือนขานานเสียน

273.7	235.9	269.3	259.60	166.30	318.80	304.3	296.9	254.8	314
128.1	227.2	310.80	291.6	335.8	326.6	245.9	182.7	282.70	355.5
269.9	247.3	197.20	237.6	295.4	192.8	219.30	249.50	205.30	267.90
262.60	260.20	227.20	268.20	204.80	228.20	230.00	180.10	257.90	293.30
261.20	215.80	342.60	203.00	269.70	230.80	248.60	309.60	204.70	287.60
201.60	241.80	262.30	222.90	252.20	348.80	192.90	199.30	350.70	230.00
187.10	202.70	274.90	213.20	248.30	299.20	294.80	250.50	211.70	210.9
286.10	199.80	335.60	282.60	294.30	196.70	261.50	290.50	287.60	311.80
262.90	275.60	203.10	251.40	309.80	204.60	292.70	251.90	181.90	262.10
271.90	215.20	262.90	317.40	248.50	243.40	259.90	224.20	221.20	299.20
308.60	342.20	211.60	224.20	270.90	252.10	213.00	244.90	206.10	187.00
269.30	216.00	232.30	224.20	254.10	247.40	200.50	224.40	256.40	280.20
268.60	259.70	247.60	240.10	263.10	259.10	269.40	250.10	213.00	303.90

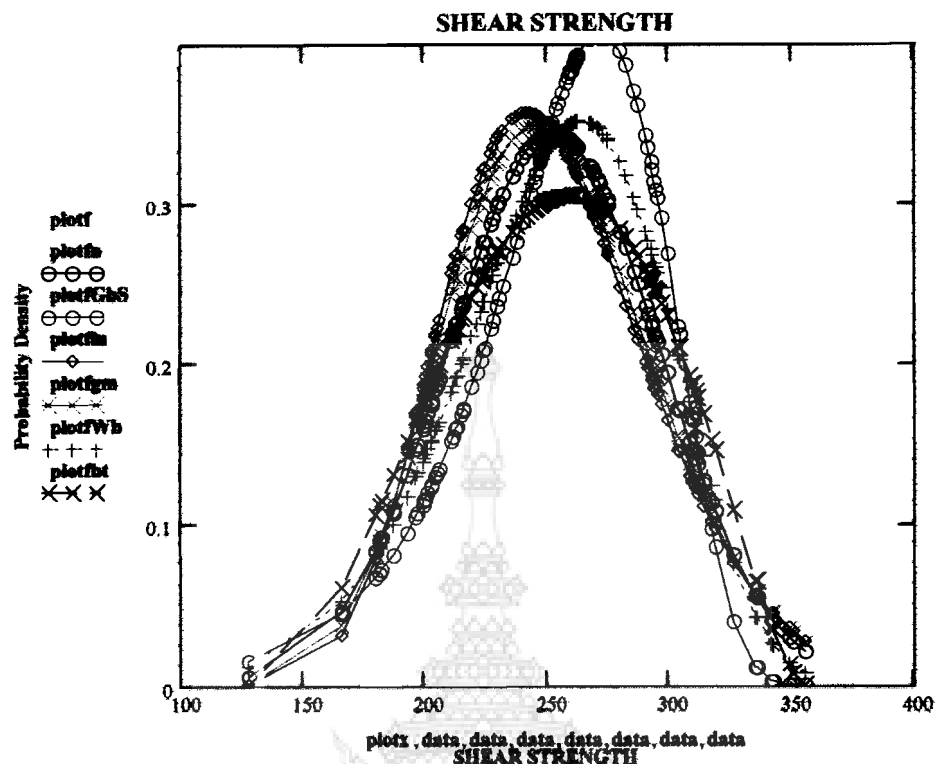
จากการวิเคราะห์ด้วยซอฟต์แวร์ CESTTEST พบว่าค่าเฉลี่ย และส่วนเบี่ยงเบนมาตรฐานเป็น 253 และ 43.41 กก./ซม.² ตามลำดับ โดยจะเห็นว่าจำนวนข้อมูล 130 ตัวอย่าง มีจำนวนมากกว่า ข้อมูลที่ต้องการ (n_{req}) ซึ่งมีค่าเท่ากับ 78 สำหรับช่วงแห่งความเรื่อมั่นร้อยละ 99($t=2.567$) นอกจากนั้น ซอฟต์แวร์ CESTTEST ได้แนะนำให้มีการแบ่งช่วงข้อมูลออกเป็น 6 ชั้น โดยมีขีดจำกัดช่วงและความถี่จากค่าสังเกตในแต่ละช่วง ซึ่งมีค่าิกฤติสำหรับระดับขั้นเสรี (Degree of Freedom, f) เท่ากับ 6-3=3 ที่ระดับความเชื่อมั่น $\alpha = 0.95$ มีค่าเท่ากับ 7.814 ค่าความถี่จากข้อมูลเมื่อเปรียบเทียบ ค่าความถี่ที่คำนวณจากความถี่จากการแจกแจงที่ผ่านการทดสอบไปแล้วสองจำนวน 2 ชนิด มีการแจกแจงแบบลอกปากติ และ การแจกแจงแบบแกมมา แสดงในตารางที่ ง.26

ตารางที่ ง.26 การเปรียบเทียบความถี่ของข้อมูลเทียบกับความถี่ที่ได้จากการแจกแจงที่ผ่านการทดสอบไคกำลังสอง สำหรับค่าการทดสอบแรงเรื่อนฐานเสียง

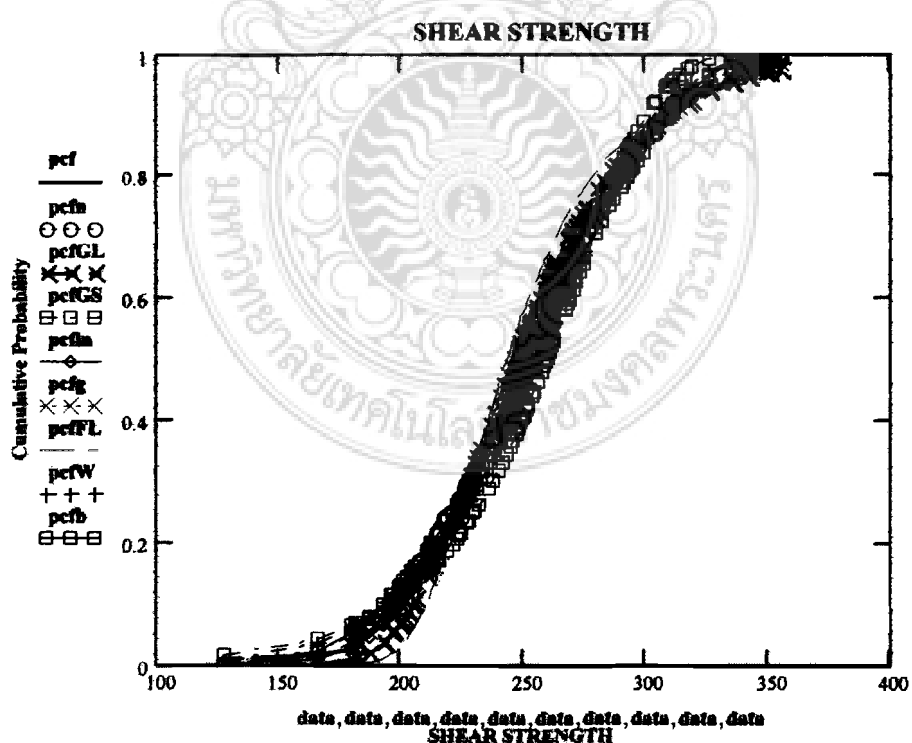
ชั้นที่	กำลังแรงเรื่อน (ksc)	ความถี่จาก ข้อมูล	ความถี่ Lognormal	ความถี่ Gamma
1	128.06 - 185	5	5.177	6.099
2	185 - 222.5	29	27.54	26.36
3	222.5 - 260	40	44.87	43.68
4	260 - 297.5	36	32.90	34.05
5	297.5 - 335	13	14.10	14.83
6	335 - 355.53	7	2.97	2.95
Chi-Square Error ค่าวิกฤติ 7.814			6.435	6.666

จากการทดสอบ K-S (Kolmogorov - Smirnov Test) พบร่วมค่าความแตกต่างสูงสุด (Maxdif) มี 5 ชนิดเป็นการแจกแจงแบบปกติ การแจกแจงแบบแกรมมา การแจกแจงแบบลอกปีร์กติ การแจกแจงแบบบีต้า และการแจกแจงค่าต่ำสุดชนิดที่สามแบบไวนิลล์มีค่าเป็น 0.049, 0.054, 0.065, 0.073 และ 0.078 ซึ่งให้ค่าต่ำกว่าเมื่อเปรียบเทียบกับค่าวิกฤติเท่ากับ 0.119 ตามลำดับ

จะเห็นได้ว่าค่าแรงเรื่อนฐานเสียงของไม้พุกซ์ การแจกแจงแบบลอกปีร์กติ มีค่าความคลาดเคลื่อนจากการทดสอบไคกำลังสองต่ำที่สุด ในขณะเดียวกันการแจกแจงปีร์กติมีค่าความคลาดเคลื่อนจากการทดสอบ K-S ต่ำที่สุด จึงอาจกล่าวได้ว่าการแจกแจงแบบลอกปีร์กติ การแจกแจงปีร์กติมีภาวะเชื้อรูปสนิทกับข้อมูลมากที่สุด เนื่องจากให้ความคลาดเคลื่อนน้อยที่สุดและมีค่าน้อยกว่าค่าวิกฤตจากห้องทดลองการทดสอบ จากการทดสอบไคกำลังสองในขณะที่การแจกแจงแบบแกรมมาก สามารถยอมรับให้ใช้แทนข้อมูลได้ เนื่องจากมีความคลาดเคลื่อนน้อยกว่าค่าวิกฤต และกราฟแสดงความสอดคล้องระหว่างข้อมูลค่าแรงเรื่อนฐานเสียงของไม้พุกซ์ ที่ผ่านการทดสอบภาวะเชื้อรูปสนิทไคกำลังสอง การทดสอบ K-S สามารถแสดงได้ในรูปที่ ง.25 และ ง.26 ตามลำดับ



รูปที่ 4.25 การเปรียบเทียบระหว่างความถี่สัมพัทธิ์ของค่าการทดสอบแรงเฉือนขนาดเส้นผ่านศูนย์กลางกับพังก์ชันความหนาแน่นของความน่าจะเป็นที่ฝ่ายการทดสอบได้กำลังสอง



รูปที่ 4.26 การเปรียบเทียบระหว่างความถี่สะสมของค่าการทดสอบแรงเฉือนขนาดเส้นผ่านศูนย์กลางกับพังก์ชันการแจกแจงที่ฝ่ายการทดสอบ K-S

ง 2.7 การทดสอบการฉีกขาดของไม้ (Cleavage)

จำนวน 130 ตัวอย่าง แสดงในตารางที่ ง.27

ตารางที่ ง.27 การทดสอบการฉีกขาดของไม้พฤกษ์

69.00	47.00	61.78	42.98	41.54	61.78	54.80	52.20	55.70	55.80
75.74	62.40	63.70	78.16	52.14	59.60	47.32	63.22	56.96	44.92
50.22	74.78	55.20	59.84	57.80	51.12	55.60	52.80	44.20	70.80
46.36	51.18	62.74	52.80	61.80	44.48	82.96	55.52	50.22	56.00
89.72	70.92	64.80	88.74	48.40	44.92	44.80	67.08	47.32	71.88
80.08	64.80	43.96	59.84	50.22	66.60	71.90	50.20	51.40	55.40
61.06	56.48	58.40	72.90	50.22	55.04	49.02	50.70	62.40	37.68
44.44	56.00	50.40	57.92	84.42	75.74	77.52	63.26	79.12	62.76
80.56	50.70	77.88	88.74	57.68	54.06	53.58	81.04	75.60	61.80
47.32	89.72	62.50	61.30	73.34	59.14	48.28	56.72	59.14	53.84
58.18	46.86	50.48	42.76	59.36	53.66	55.96	47.10	70.40	59.84
79.60	56.72	54.98	50.46	55.70	55.76	51.42	69.00	62.98	71.40
71.88	56.48	48.74	66.60	59.62	63.90	61.78	49.02	44.44	73.40

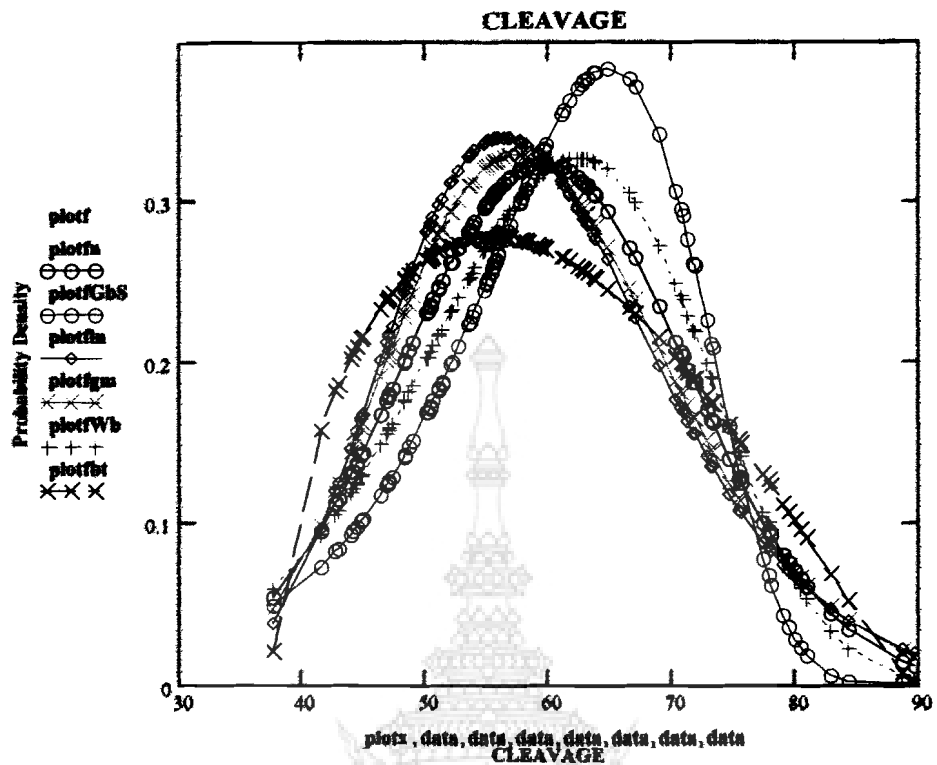
จากการวิเคราะห์ด้วยซอฟต์แวร์ CESTTEST พบว่าค่าเฉลี่ย และส่วนเบี่ยงเบนมาตรฐานเป็น 59.71 และ 11.63 กก./ซม.². ตามลำดับ โดยจะเห็นว่าจำนวนร้อยละ 130 ตัวอย่าง มีจำนวนมากกว่า ร้อยละที่ต้องการ (η_{req}) ซึ่งมีค่าเท่ากับ 101 สำหรับช่วงแห่งความเชื่อมั่นร้อยละ 99 ($t=2.576$) นอกจากนั้นซอฟต์แวร์ CESTTEST ได้แนะนำให้มีการแบ่งช่วงร้อยละออกเป็น 6 ชั้น โดยมีขีดจำกัด ช่วงและความถี่จากค่าสังเกตในแต่ละช่วง ซึ่งมีค่าวิกฤติสำหรับระดับชั้นเสรี (Degree of Freedom, f) เท่ากับ 6-3=3 ที่ระดับความเชื่อมั่น $\alpha = 0.95$ มีค่าเท่ากับ 7.814 ค่าความถี่จากชั้นร้อยละเมื่อยับเทียบ ค่าความถี่ที่คำนวณจากความถี่จากการแจกแจงที่ผ่านการทดสอบโดยกำลังสอง มี 3 ชนิด ได้แก่ การแจกแจงชนิดที่หนึ่งค่าสูงสุดแบบกุมเบล การแจกแจงเรลี การแจกแจงลอกปีกติ แสดงในตารางที่ ง.28

ตารางที่ ง.28 การเปรียบเทียบความถี่ของข้อมูลเทียบกับความถี่ที่ได้จากการแจกแจงที่ผ่านการทดสอบโดยกำลังสอง สำหรับค่าการทดสอบการฉีกขาดของไม้พฤกษ์

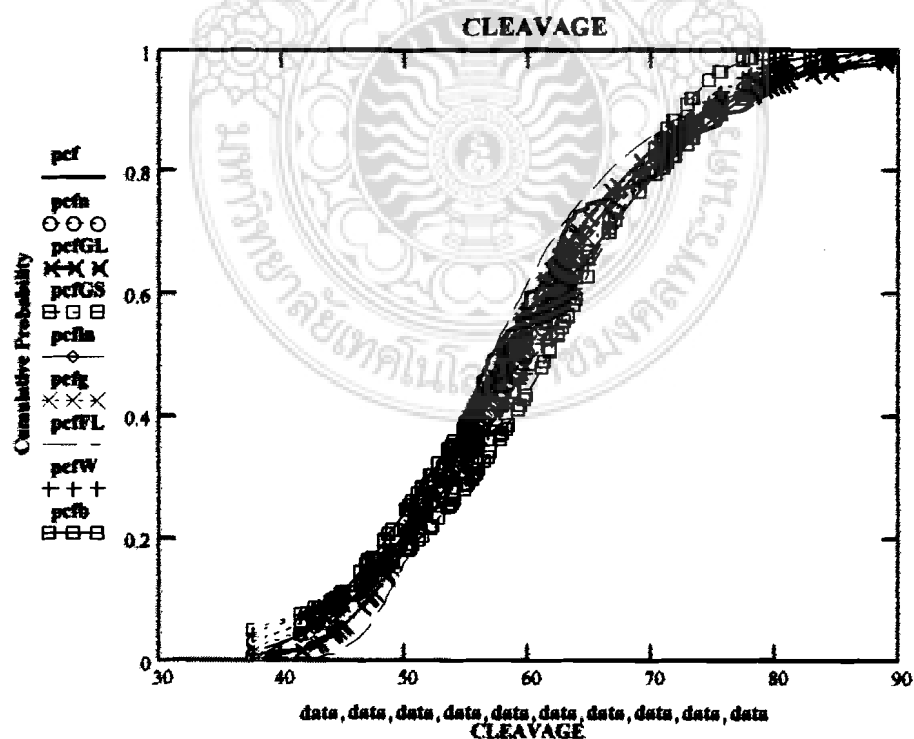
ขั้นที่	กำลังแรงดึง (ksc)	ความถี่จากข้อมูล	ความถี่ Beta
1	37.67 – 44.1	5	5.63
2	44.1 – 53.57	37	37.43
3	53.57 – 63.05	49	45.04
4	63.05 – 72.52	18	25.25
5	72.52 - 82	15	10.51
6	82 – 89.72	6	3.46
Chi-Square Error ค่าวิกฤติ 7.814			6.26

จากการทดสอบ K-S (Kolmogorov-Smirnov Test) พบร่วมกับค่าความแตกต่างสูงสุด (Maxdif) มี 5 ชนิดเป็น การแจกแจงชนิดที่หนึ่งค่าสูงสุดแบบกุมเบล การแจกแจงแบบลอกปีร์กติ การแจกแจง เรลีฟี การแจกแจงแบบแกรมมา และการแจกแจงค่าสูงสุดชนิดที่สองแบบเพอร์เซต มีค่าเป็น 0.048, 0.061, 0.069, 0.073 และ 0.085 ซึ่งให้ค่าต่ำกว่าเมื่อเปรียบเทียบกับค่าวิกฤติเท่ากับ 0.119 ตามลำดับ

จะเห็นได้ว่าค่าการฉีกขาดของไม้พฤกษ์ การแจกแจงชนิดที่หนึ่งค่าสูงสุดแบบกุมเบลมีค่าความคลาดเคลื่อนจากการทดสอบโดยกำลังสองต่ำที่สุด ในขณะเดียวกันการแจกแจงชนิดที่หนึ่งค่าสูงสุดแบบกุมเบลก็ให้ค่าความคลาดเคลื่อนจากการทดสอบ K-S ต่ำที่สุดเช่นเดียวกัน จึงอาจกล่าวได้ว่าการแจกแจงชนิดที่หนึ่งค่าสูงสุดแบบกุมเบล มีภาวะเข้ารูปสนใจกับข้อมูลมากที่สุด เนื่องจากให้ความคลาดเคลื่อนน้อยที่สุดและมีค่าน้อยกว่าค่าวิกฤติทั้งสองการทดสอบ จากการทดสอบ K-S ในขณะที่ การแจกแจงแบบลอกปีร์กติ การแจกแจง เรลีฟี การแจกแจงแบบแกรมมา และการแจกแจงค่าสูงสุดชนิดที่สองแบบเพอร์เซต ก็สามารถยอมรับให้ใช้แทนข้อมูลได้เนื่องจากมีความคลาดเคลื่อนน้อยกว่าค่าวิกฤติทั้งสองการทดสอบ และจากการทดสอบพบความสอดคล้องระหว่างข้อมูลค่าการฉีกขาดของไม้พฤกษ์ที่ผ่านการทดสอบภาวะเข้ารูปสนใจกับกำลังสองและการทดสอบ K-S สามารถแสดงได้ในรูปที่ ง.27 และ ง.28 ตามลำดับ



รูปที่ 4.27 การเปรียบเทียบระหว่างความถี่สัมพัทธ์ของค่าการทดสอบการฉีกขาดของน้ำพุกซึ่งกับพื้นกรันด์ความหนาแน่นของความน่าจะเป็นที่ฝ่านการทดสอบให้กำลังสอง



รูปที่ 4.28 การเปรียบเทียบระหว่างความถี่สะสมของค่าการทดสอบการฉีกขาดของน้ำพุกซึ่งกับพื้นกรันด์การแจกแจงที่ฝ่านการทดสอบ K-S

ง 2.8 ค่าการทดสอบความเหนียว (Toughness)

จำนวน 130 ตัวอย่าง แสดงในตารางที่ ง.27

ตารางที่ ง.29 ค่าการทดสอบความเหนียว

608.53	592.40	423.81	492.73	592.40	286.44	248.88	618.77	322.76	498.35
603.26	439.44	597.88	586.83	407.82	603.26	557.43	638.01	374.81	544.98
586.83	469.63	357.79	551.25	581.15	575.37	484.18	469.63	532.14	248.88
575.37	557.43	512.15	439.44	498.35	544.98	525.57	469.63	597.88	518.91
538.61	575.37	551.25	586.83	613.70	557.43	551.25	512.15	569.49	563.51
491.31	506.68	439.44	454.72	563.51	608.53	586.83	557.43	592.40	604.32
512.15	563.51	498.35	454.72	469.63	597.88	563.51	525.57	608.53	551.25
512.15	484.18	538.61	569.49	551.25	557.43	525.57	593.51	563.51	551.25
618.77	586.83	608.53	638.01	525.57	518.91	518.91	544.98	558.65	569.49
582.29	616.76	551.25	575.37	563.51	597.88	618.77	608.53	586.83	563.51
575.37	551.25	563.51	638.01	592.40	608.53	586.83	597.88	570.67	512.15
563.51	484.18	469.63	551.25	447.13	544.98	525.57	423.81	374.81	563.51
569.49	544.98	505.30	498.35	391.48	512.15	586.83	608.53	597.88	563.51

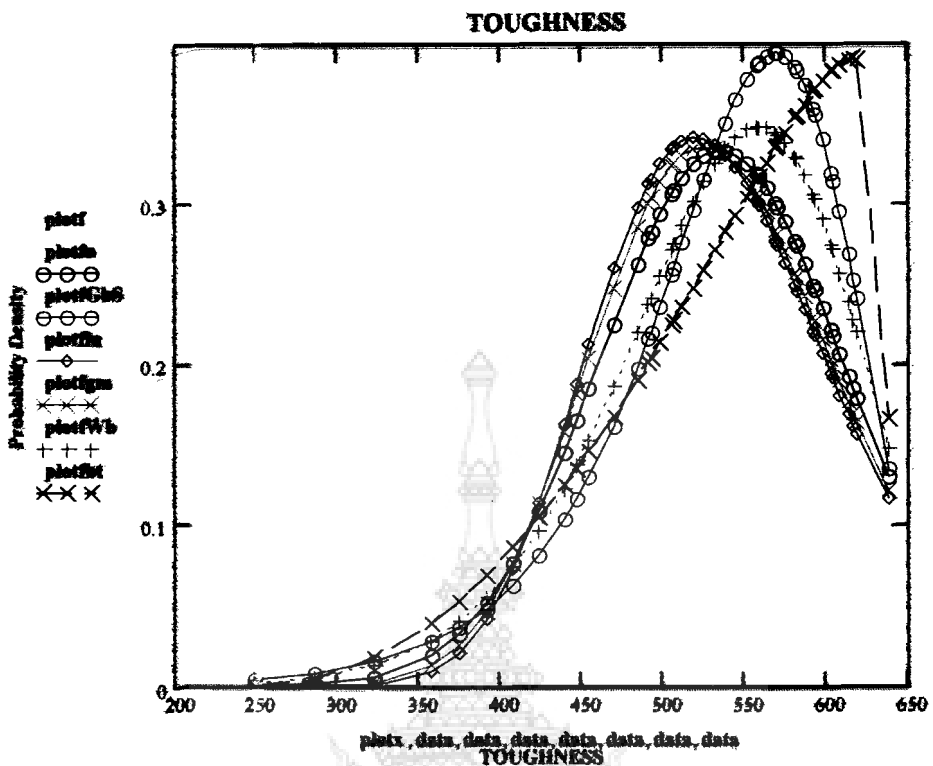
จากการวิเคราะห์ด้วยซอฟต์แวร์ CESTTEST พบว่าค่าเฉลี่ย และส่วนเบี่ยงเบนมาตรฐานเป็น 535.60 และ 74.707 กก./ซม.². ตามลำดับ โดยจะเห็นว่าจำนวนชุดมูล 130 ตัวอย่างมีจำนวนมากกว่า ชุดมูลที่ต้องการ (n_{req}) ซึ่งมีค่าเท่ากับ 52 สำหรับช่วงแห่งความเชื่อมั่นร้อยละ 99 ($t=2.576$) นอกจากนั้นซอฟต์แวร์ CESTTEST ได้แนะนำให้มีการแบ่งช่วงชุดมูลออกเป็น 6 ชั้น โดยมีขีดจำกัด ช่วงและความถี่จากค่าสังเกตในแต่ละช่วง ซึ่งมีค่าวิกฤติสำหรับระดับชั้นเริ่ม (Degree of Freedom, f) เท่ากับ 6-3=3 ที่ระดับความเชื่อมั่น $\alpha = 0.95$ มีค่าเท่ากับ 7.814 ค่าความถี่จากชุดมูลเมื่อเปรียบเทียบค่าความถี่ที่คำนวนจากความถี่จากการแจกแจงที่ผ่านการทดสอบให้กำลังสอง 1 ชนิด ได้แก่ การแจกแจงชนิดที่หนึ่งค่าต่ำสุดแบบกุมเบล แสดงในตารางที่ ง.30

ตารางที่ ง.30 การเปรียบเทียบความถี่ของข้อมูลเทียบกับความถี่ที่ได้จากการแจกแจงที่ผ่านการทดสอบไปกำลังสอง สำหรับค่าการทดสอบความเหนียา

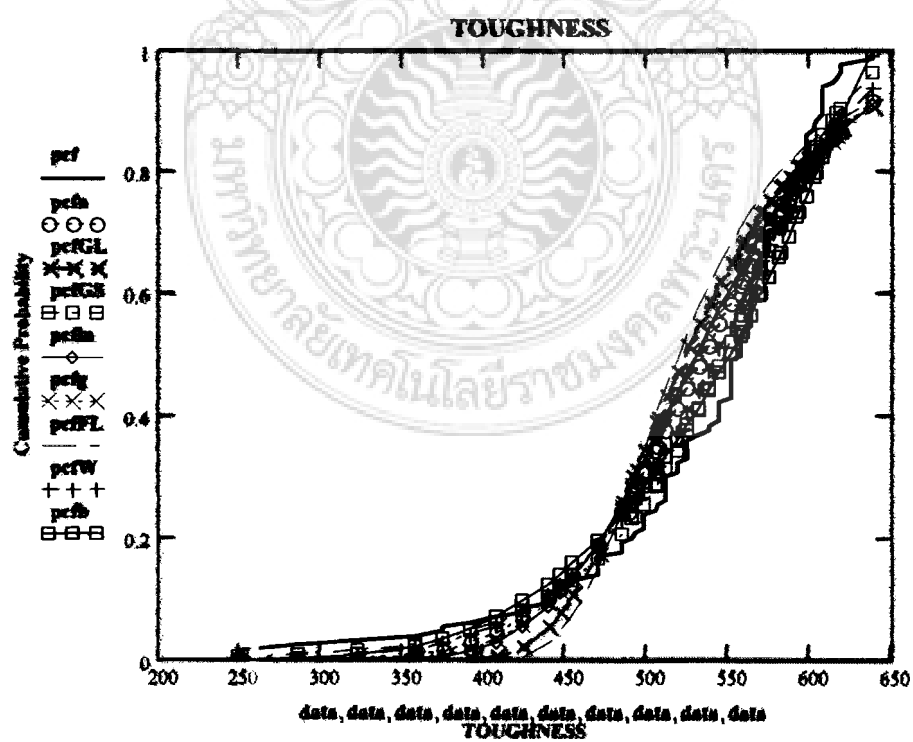
ขั้นที่	ความเหนียา (ksc)	ความถี่จากข้อมูล	ความถี่ Gumbel
1	248.81 - 367	6	3.975
2	367 - 429.5	5	7.311
3	429.5 - 492	15	19.033
4	492 - 554.5	38	39.881
5	554.5 - 617	60	46.377
6	617 - 638.07	6	8.432
Chi-Square Error ค่าวิกฤติ 7.814			6.145

จากการทดสอบ K-S (Kolmogorov- Smirnov Test) พบว่าค่าความแตกต่างสูงสุด (Maxdif) มี 3 ชนิดเป็นการแจกแจงชนิดที่หนึ่งค่าต่ำสุดแบบกุมเบล การแจกแจงแบบบีตา และการแจกแจงต่ำสุดชนิดที่สามแบบไวนูลมีค่าเป็น 0.090, 0.115 และ 0.117 ซึ่งให้ค่าต่ำกว่าเมื่อเปรียบเทียบกับค่าวิกฤติเท่ากับ 0.119 ตามลำดับ

จะเห็นได้ว่าค่าความเหนียาของไม้พูกซ์ การแจกแจงชนิดที่หนึ่งค่าต่ำสุดแบบกุมเบล มีค่าความคลาดเคลื่อนจากการทดสอบไปกำลังสองต่ำที่สุด ในขณะที่การแจกแจงชนิดที่หนึ่งค่าต่ำสุดแบบกุมเบลมีค่าความคลาดเคลื่อนจากการทดสอบ K-S ต่ำที่สุดเรื่องเดียวกัน จึงอาจกล่าวได้ว่าการแจกแจงชนิดที่หนึ่งค่าต่ำสุดแบบกุมเบลมีภาวะเข้าชูปสนิทกับข้อมูลมากที่สุด เนื่องจากให้ความคลาดเคลื่อนน้อยที่สุดและมีค่าน้อยกว่าค่าวิกฤต จากการทดสอบ K-S ในขณะที่การแจกแจงแบบบีตา และการแจกแจงต่ำสุดชนิดที่สามแบบไวนูลมี ที่สามารถยอมรับให้ใช้แทนข้อมูลได้เนื่องจากมีความคลาดเคลื่อนน้อยกว่าค่าวิกฤติทั้งสองการทดสอบและจากราฟแสดงความสอดคล้องระหว่างข้อมูลค่าความเหนียาของไม้พูกซ์ ที่ผ่านการทดสอบภาวะเข้าชูปสนิทไปกำลังสองการทดสอบ K-S สามารถแสดงได้ในรูปที่ ง.29 และ ง.30 ตามลำดับ



รูปที่ 4.29 การเปลี่ยนเทียบระหว่างความถี่สูงทั้งสองค่าการภาคตอบความเห็นว่าของไม้พูกกษ์กับฟังกรีนความเห็นว่าของความมั่นใจเป็นที่ฝ่านภาคตอบไปกำลังมอง



รูปที่ 4.30 การเปรียบเทียบระหว่างความถี่สะสมของค่าการคาดคะเนความเหลื่อมล้ำไม่พอดกับฟังก์ชันการแจกแจงที่ผ่านการคาดคะเน K-S

ง 2.9 การทดสอบความแข็งของไม้ (Hardness)

การทดสอบความแข็งของไม้ขานานเสี่ยน (Parallel to Grain)

จำนวน 130 ตัวอย่าง แสดงในตารางที่ ง.31

ตารางที่ ง.31 ค่าการทดสอบความแข็งของไม้ขานานเสี่ยน

655.00	626.00	672.00	689.00	650.00	684.00	570.00	628.00	591.00	546.00	645.00
620.00	651.00	665.00	551.00	592.00	710.00	585.00	684.00	591.00	645.00	696.00
632.00	580.00	582.00	595.00	697.00	650.00	688.00	696.00	564.00	587.00	706.00
575.00	672.00	711.00	649.00	566.00	554.00	653.00	728.00	679.00	582.00	599.00
645.00	636.00	654.00	732.00	625.00	565.00	659.00	588.00	575.00	663.00	648.00
710.00	632.00	587.00	635.00	644.00	668.00	598.00	555.00	662.00	654.00	721.00
585.00	556.00	577.00	568.00	706.00	648.00	650.00	668.00	622.00	657.00	715.00
668.00	552.00	558.00	662.00	689.00	665.00	654.00	639.00	655.00	669.00	565.00
574.00	659.00	585.00	654.00	565.00	624.00	588.00	639.00	647.00	725.00	683.00
597.00	552.00	571.00	568.00	654.00	658.00	569.00	627.00	657.00	611.00	589.00
657.00	568.00	591.00	587.00	661.00	629.00	648.00	683.00	569.00	712.00	629.00
653.00	628.00	568.00	624.00	583.00	596.00	669.00	658.00	655.00		

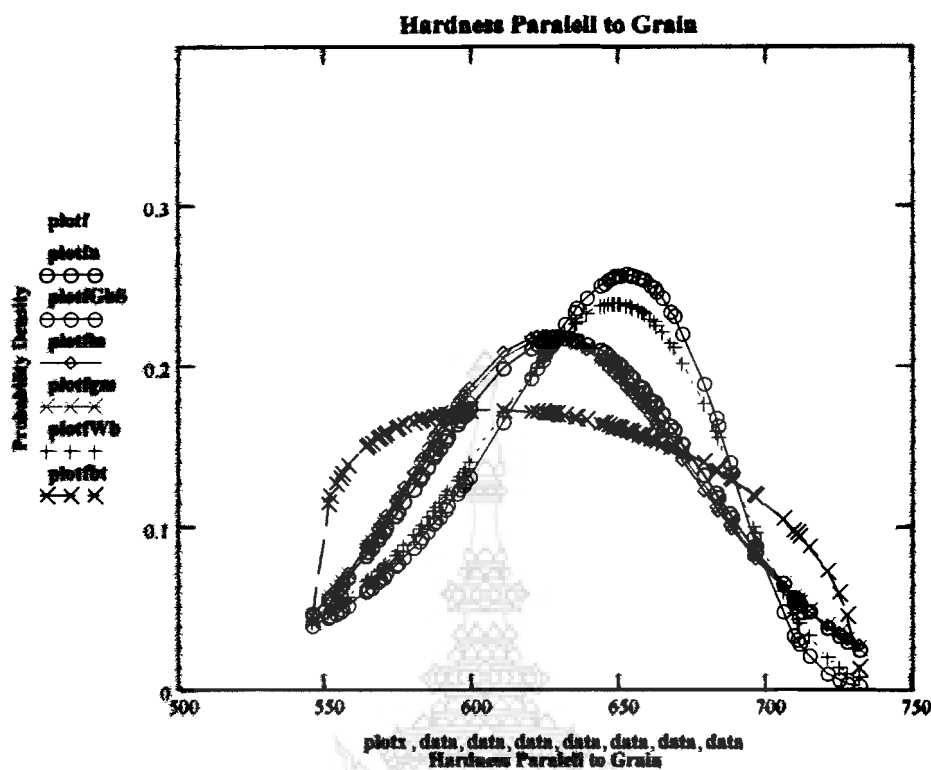
จากการวิเคราะห์ด้วยซอฟต์แวร์ CESTTEST พบว่าค่าเฉลี่ย และส่วนเบี่ยงเบนมาตรฐานเป็น 631.096 และ 48.327 กก./น.m ตามลำดับ โดยจะเห็นว่าจำนวนข้อมูล 130 ตัวอย่าง มีจำนวนมากกว่าข้อมูลที่ต้องการ (n_{eq}) ซึ่งมีค่าเท่ากับ 16 สำหรับช่วงแห่งความเชื่อมั่นร้อยละ 99 ($t=2.567$) นอกจากนี้ซอฟต์แวร์ CESTTEST ได้แนะนำให้มีการแบ่งช่วงข้อมูลออกเป็น 7 ชั้น โดยมีขั้ดจำกัดช่วงและความถี่จากค่าสังเกตในแต่ละช่วง ซึ่งมีค่าิกติสำหรับระดับชั้นเสรี (Degree of Freedom, f) เท่ากับ $7-3 = 4$ ที่ระดับความเชื่อมั่น $\alpha = 0.95$ มีค่าเท่ากับ 9.487 ค่าความถี่จากข้อมูลเมื่อเปรียบเทียบค่าความถี่ที่คำนวนจากความถี่จากการแจกแจงที่ผ่านการทดสอบโดยกำลังสอง พบว่าค่าความถี่ของข้อมูลไม่มีการแจกแจงชนิดใดผ่านการทดสอบโดยกำลังสอง แสดงในตารางที่ ง.32

ตารางที่ ง.32 การเปรียบเทียบความถี่ของชื่อムูลเทียบกับความถี่ที่ได้จากการแจกแจงที่ผ่านการทดสอบไปกำลังสอง สำหรับค่าการทดสอบความแข็งข่านเสียงของไม้พุกซ์

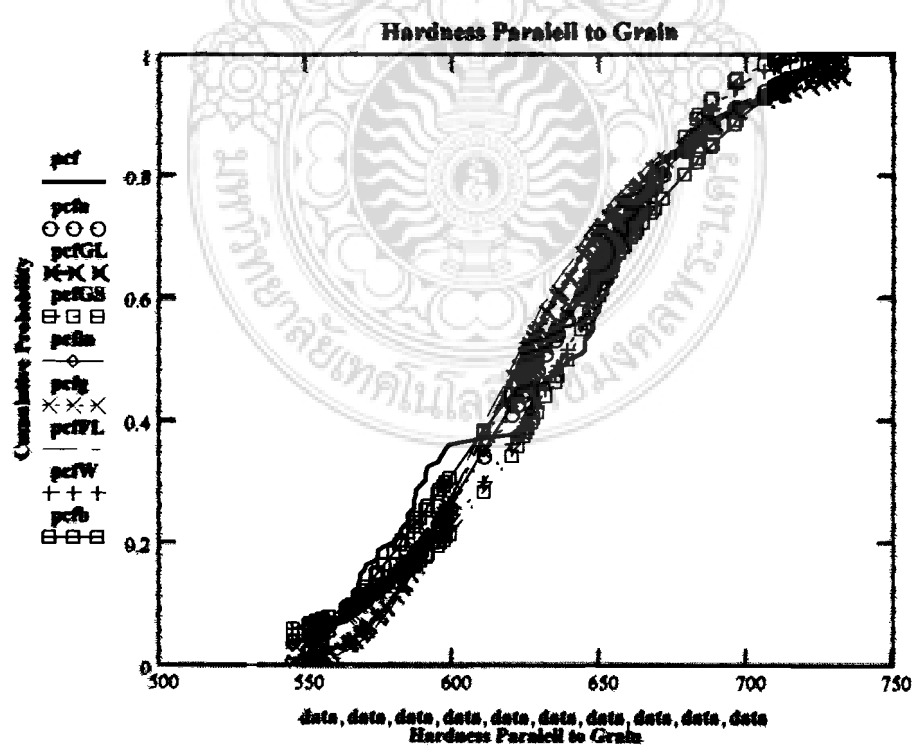
ชั้นที่	ความถี่ (kg)	ความถี่จากชื่อムูล	ความถี่
1	545.97 - 573	21	-
2	573 - 599.4	26	-
3	599.4 - 625.8	6	-
4	625.8 - 652.2	25	-
5	652.2 - 678.6	30	-
6	678.6 - 705	11	-
7	705 - 732.02	11	-
Chi-Square Error			-
ค่าวิกฤติ 9.487			

จากการทดสอบ K-S (Kolmogorov-Smirnov Test) พบร่วมค่าความแตกต่างสูงสุด (Maxdif) มี 4 ชนิดเป็นการแจกแจงบีตา การแจกแจงแกรมมา การแจกแจงแบบลอกปีราก และการแจกแจงปีราก มีค่าเป็น 0.088, 0.111, 0.112 และ 0.113 ซึ่งให้ค่าต่ำกว่าเมื่อเปรียบเทียบกับค่าวิกฤติเท่ากับ 0.119 ตามลำดับ

จะเห็นได้ว่าค่าความแข็งข่านเสียงของไม้พุกซ์ ไม่มีการแจกแจงชนิดใดมีความคลาดเคลื่อนต่ำกว่าค่าวิกฤตจากการทดสอบไปกำลังสองต่ำที่สุด ในขณะเดียวกันการแจกแจงบีตาภีมีค่าความคลาดเคลื่อนจาก การทดสอบ K-S ต่ำที่สุด จึงอาจกล่าวได้ว่าการแจกแจงบีตามีภาวะเข้ารูป สนิทกับชื่อムูลมากที่สุด เมื่อจากให้ความคลาดเคลื่อนน้อยที่สุดแล้วมีค่าน้อยกว่าค่าวิกฤต จากการทดสอบ K-S ในขณะที่ การแจกแจงแกรมมา การแจกแจงแบบลอกปีราก และการแจกแจงปีราก ก สามารถยอมรับให้ใช้แทนชื่อムูลได้เนื่องจากมีความคลาดเคลื่อนน้อยกว่าค่าวิกฤตจากการทดสอบ และจากการทดสอบภาวะเข้ารูปสนิทไปกำลังสองและการทดสอบ K-S สามารถแสดงได้ในรูปที่ ง.31 และ ง.32 ตามลำดับ



รูปที่ 4.31 การเปรียบเทียบระหว่างความถี่สัมพัทธ์ของค่าการทดสอบความแข็งข่านเสี้ยนของไม้พุดกรุงกับพื้นฐานความหนาแน่นของความน่าจะเป็นที่ผ่านการทดสอบໄก์กำลังสอง



รูปที่ 4.32 การเปรียบเทียบระหว่างความถี่สะสมของค่าการทดสอบความแข็งข่านเสี้ยนของไม้พุดกรุงกับพื้นฐานการแจกแจงที่ผ่านการทดสอบ K-S

การทดสอบความแข็งสัมผัสเสี่ยน ของไม้ (Tangent to Grain) จำนวน 130 ตัวอย่าง
แสดงในตารางที่ ง.33

ตารางที่ ง.33 ค่าการทดสอบความแข็งสัมผัสเสี่ยนของไม้พฤกษ์

381.00	397.00	485.00	442.00	382.00	462.00	460.00	515.00	454.00	452.00	432.00
440.00	379.00	387.00	510.00	462.00	517.00	430.00	507.00	470.00	513.00	487.00
370.00	447.00	460.00	453.00	372.00	475.00	503.00	435.00	485.00	498.00	403.00
394.00	426.00	395.00	376.00	466.00	522.00	381.00	495.00	387.00	464.00	458.00
412.00	452.00	469.00	377.00	392.00	516.00	493.00	485.00	521.00	446.00	410.00
468.00	535.00	546.00	458.00	380.00	506.00	525.00	440.00	435.00	419.00	420.00
498.00	378.00	449.00	464.00	458.00	377.00	456.00	516.00	455.00	446.00	396.00
488.00	460.00	453.00	464.00	373.00	428.00	438.00	435.00	437.00	446.00	458.00
392.00	388.00	394.00	367.00	455.00	459.00	424.00	448.00	413.00	426.00	467.00
541.00	532.00	429.00	485.00	422.00	527.00	455.00	470.00	456.00	514.00	446.00
389.00	387.00	415.00	433.00	548.00	440.00	391.00	501.00	468.00	427.00	509.00
458.00	418.00	468.00	395.00	462.00	438.00	458.00	519.00	432.00		

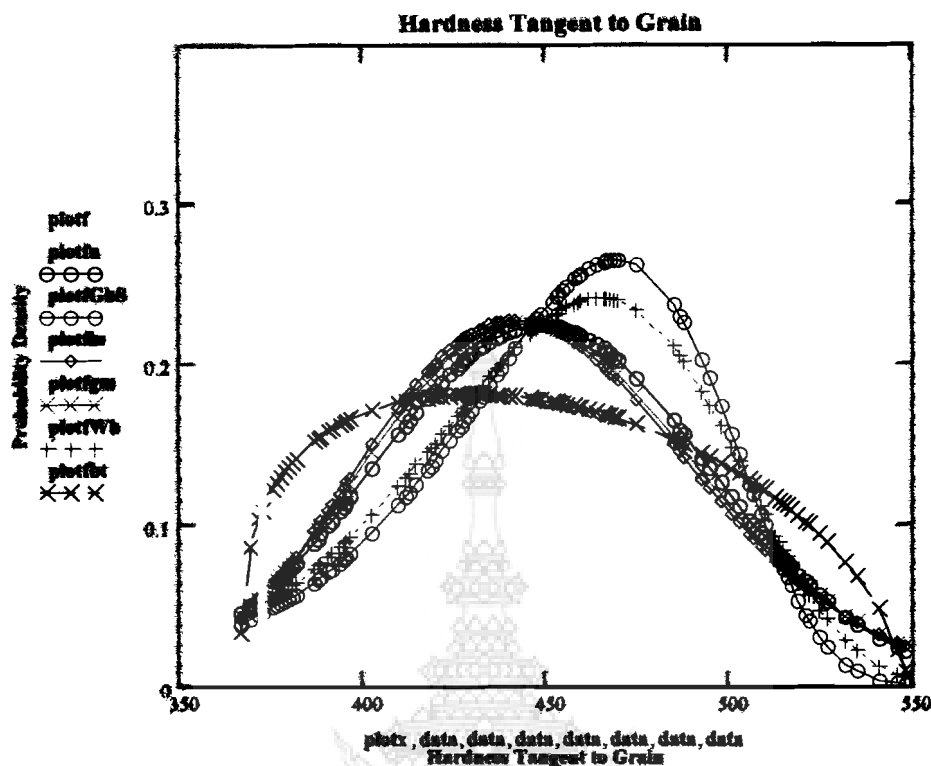
จากการวิเคราะห์ด้วยซอฟต์แวร์ CESTTEST พบว่าค่าเฉลี่ย และส่วนเบี่ยงเบนมาตรฐานเป็น 449.023 และ 45.70 กก./มม ตามลำดับ โดยจะเห็นว่าจำนวนชุดมูล 130 ตัวอย่าง มีจำนวนมากกว่า ชุดมูลที่ต้องการ (t_{req}) ซึ่งมีค่าเท่ากับ 27 สำหรับช่วงแห่งความเชื่อมันร้อยละ 99 ($t=2.576$) นอกจานี้ซอฟต์แวร์ CESTTEST ได้แนะนำให้มีการแบ่งช่วงชุดมูลออกเป็น 7 ชั้น โดยมีขั้ดจำกัด ช่วงและความถี่จากค่าสังเกตในแต่ละช่วง ซึ่งมีค่าวิกฤติสำหรับระดับชั้นเสรี (Degree of Freedom, f) เท่ากับ $7-3 = 4$ ที่ระดับความเชื่อมั่น $\alpha = 0.95$ มีค่าเท่ากับ 9.487 ค่าความถี่จากชุดมูลเมื่อ เปรียบเทียบค่าความถี่ที่คำนวนจากความถี่จากการแยกแจงที่ผ่านการทดสอบไปกำลังสอง พบว่า ค่าความถี่ของชุดมูลไม่มีการแยกแจงชนิดใดผ่านการทดสอบไปกำลังสอง แสดงในตารางที่ ง.34

ตารางที่ ง.34 การเปรียบเทียบความถี่ของข้อมูลเทียบกับความถี่ที่ได้จากการแจกแจงที่ผ่านการทดสอบไคกำลังสอง สำหรับค่าการทดสอบความเรียงสมัพสตีเยนของไม้พูกซ์

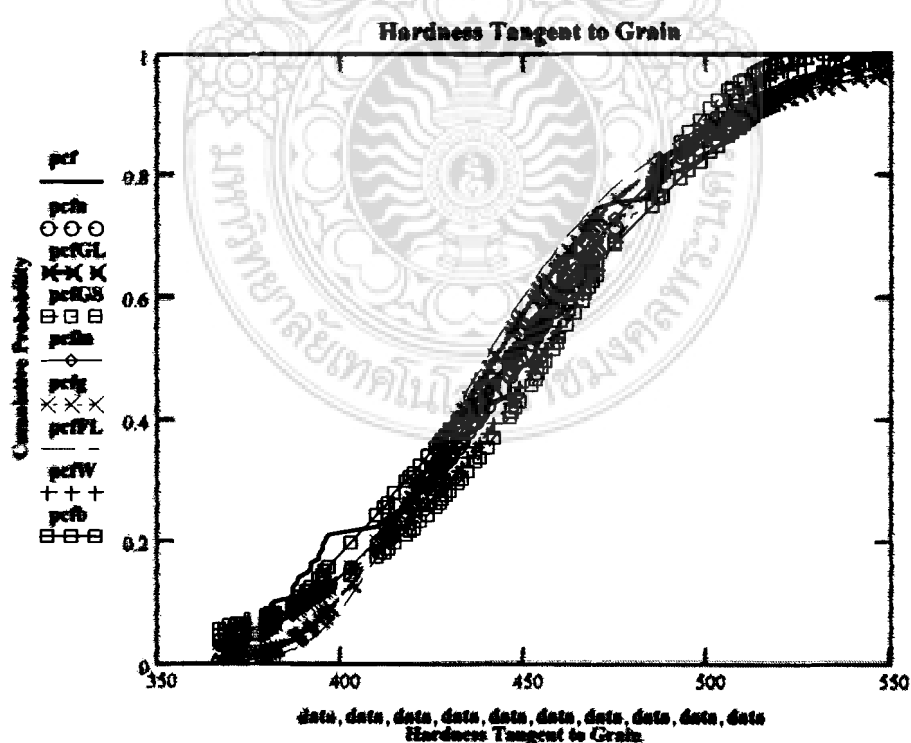
ขั้นที่	กำลังแรก (ksc)	ความถี่จากข้อมูล	ความถี่
1	366.97 - 393	21	-
2	393 - 418.8	12	-
3	418.8 - 444.6	23	-
4	444.6 - 470.4	41	-
5	470.4 - 496.2	9	-
6	496.2 - 522	16	-
7	522 - 548.02	8	-
Chi-Square Error			-
ค่าวิกฤติ 9.48773			

จากการทดสอบ K-S (Kolmogorov-Smirnov Test) พบร่วมกันความแตกต่างสูงสุด (Maxdif) มี 4 ชนิดเป็นการแจกแจงปกติ การแจกแจงแกรมมา การแจกแจงแบบลอกปีกติ และการแจกแจงแกรมนามีค่าเป็น 0.080, 0.082, 0.085 และ 0.090 ซึ่งให้ค่าต่ำกว่าเมื่อเปรียบเทียบกับค่าวิกฤติเท่ากับ 0.119

จะเห็นได้ว่าความเรียงสมัพสตีเยนของไม้พูกซ์ ไม่มีการแจกแจงชนิดใดมีความคลาดเคลื่อนต่ำกว่าค่าวิกฤตจากการทดสอบไคกำลังสองต่ำที่สุด ในขณะเดียวกันการแจกแจงปกติ ก็มีความคลาดเคลื่อนจากการทดสอบ K-S ต่ำที่สุด จึงอาจล่าวได้ว่าการแจกแจงปกติ มีภาวะเข้าสูญเสียกับข้อมูลมากที่สุด เนื่องจากให้ความคลาดเคลื่อนน้อยที่สุดและมีค่าน้อยกว่าค่าวิกฤติ จากการทดสอบ K-S ในขณะที่การแจกแจงแกรมมา การแจกแจงแบบลอกปีกติ และการแจกแจงแกรมมา ก็สามารถยอมรับให้ใช้แทนข้อมูลได้ เนื่องจากมีความคลาดเคลื่อนน้อยกว่าค่าวิกฤติจากทั้งสองการทดสอบ และจากการแสดงความสอดคล้องระหว่างข้อมูลค่าความเรียงสมัพสตีเยนของไม้พูกซ์ ที่ผ่านการทดสอบภาวะเข้าสูญเสียพนิพิคกำลังสองและการทดสอบ K-S สามารถแสดงได้ในรูปที่ ง.33 และ ง.34 ตามลำดับ



รูปที่ 4.33 การเปรียบเทียบระหว่างความถี่สัมพัทธ์ของค่าการทดสอบความแข็งสัมผัสเสี้ยนของไม้พุดกรย์กับพังก์กับความหนาแน่นของความน่าจะเป็นที่ฝ่านการทดสอบໄค์กำลังสอง



รูปที่ 4.34 การเปรียบเทียบระหว่างความถี่สะสมของค่าการทดสอบความแข็งสัมผัสเสี้ยนของไม้พุดกรย์กับพังก์กับการแจกแจงที่ฝ่านการทดสอบ K-S

ค่าการทดสอบความแข็งตั้งจากเสียง (Perpendicular to Grain)

จำนวน 130 ตัวอย่าง แสดงในตารางที่ ง.35

ตารางที่ ง.35 ค่าการทดสอบความแข็งตั้งจากเสียงของไม้พูกุซช์

465.00	398.00	521.00	388.00	375.00	354.00	496.00	423.00	454.00	442.00	433.00
479.00	387.00	395.00	410.00	511.00	432.00	455.00	397.00	484.00	501.00	467.00
458.00	441.00	380.00	425.00	428.00	520.00	459.00	460.00	479.00	482.00	444.00
474.00	451.00	384.00	512.00	392.00	421.00	428.00	496.00	396.00	452.00	516.00
399.00	411.00	457.00	488.00	481.00	452.00	455.00	472.00	385.00	495.00	385.00
391.00	503.00	511.00	498.00	389.00	391.00	505.00	520.00	489.00	396.00	376.00
453.00	487.00	386.00	379.00	429.00	451.00	510.00	487.00	450.00	511.00	455.00
388.00	395.00	465.00	421.00	481.00	382.00	514.00	498.00	495.00	417.00	465.00
391.00	495.00	423.00	449.00	489.00	432.00	528.00	424.00	388.00	461.00	397.00
473.00	435.00	513.00	366.00	436.00	393.00	496.00	391.00	466.00	425.00	441.00
374.00	494.00	489.00	416.00	390.00	368.00	496.00	455.00	432.00	361.00	516.00
381.00	509.00	489.00	410.00	385.00	422.00	458.00	446.00	396.00	324.34	436.88

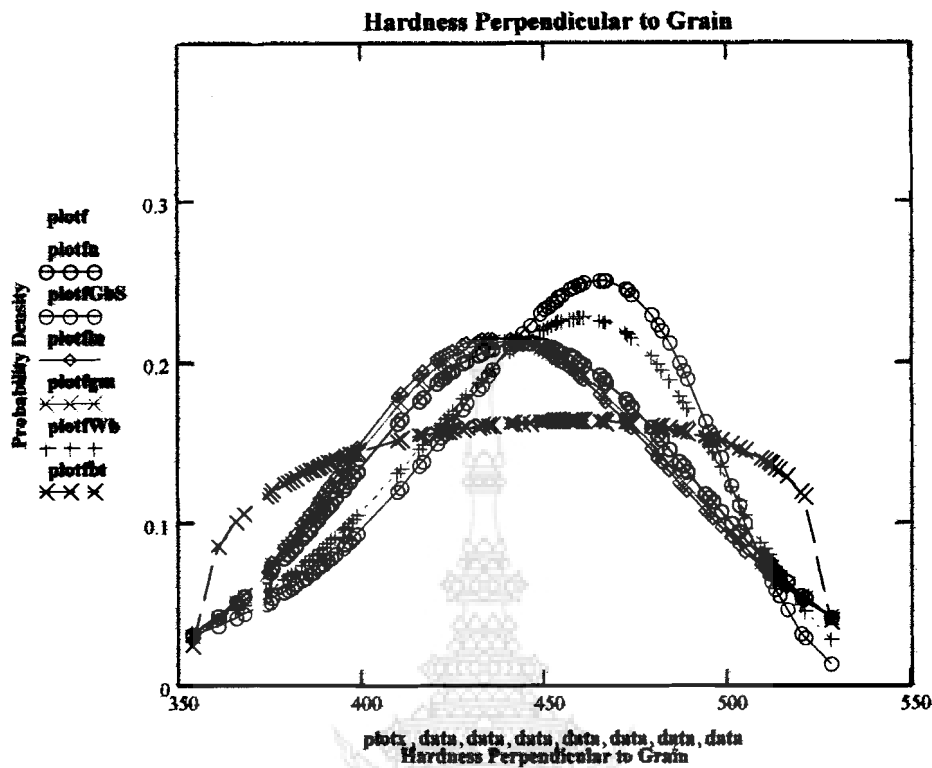
จากการวิเคราะห์ด้วยซอฟต์แวร์ CESTTEST พนวค่าเฉลี่ย และส่วนเบี่ยงเบนมาตรฐานเป็น 444.09 และ 46.402 กก./มม ตามลำดับ โดยจะเห็นว่าจำนวนข้อมูล 130 ตัวอย่าง มีจำนวนมากกว่า ข้อมูลที่ต้องการ (n_{req}) ซึ่งมีค่าเท่ากับ 29 สำหรับช่วงแห่งความเชื่อมั่นร้อยละ 99 ($t=2.567$) นอกจากนั้นซอฟต์แวร์ CESTTEST ได้แนะนำให้มีการแบ่งช่วงข้อมูลออกเป็น 7 ชั้น โดยมีจุดจำกัดช่วงและความถี่จากค่าสังเกตในแต่ละช่วง ซึ่งมีค่าวิกฤติสำหรับระดับชั้นเสรี (Degree of Freedom, f) เท่ากับ $7-3=4$ ที่ระดับความเชื่อมั่น $\alpha = 0.95$ มีค่าเท่ากับ 9.487 ค่าความถี่จากข้อมูลเมื่อเปรียบเทียบ ค่าความถี่ที่คำนวณจากความถี่จากการแยกช่วงที่ผ่านการทดสอบไปกำลังสองพบว่าค่าความถี่ของข้อมูลไม่มีการแยกช่วงนิดใดผ่านการทดสอบไปกำลังสอง แสดงในตารางที่ ง.36

ตารางที่ ง.36 การเปรียบเทียบความถี่ของข้อมูลเทียบกับความถี่ที่ได้จากการแจกแจงที่ผ่านการทดสอบไปคำลั่งสอง สำหรับค่าการทดสอบความแย้งตั้งจากเสียงของไม้พุกษ์

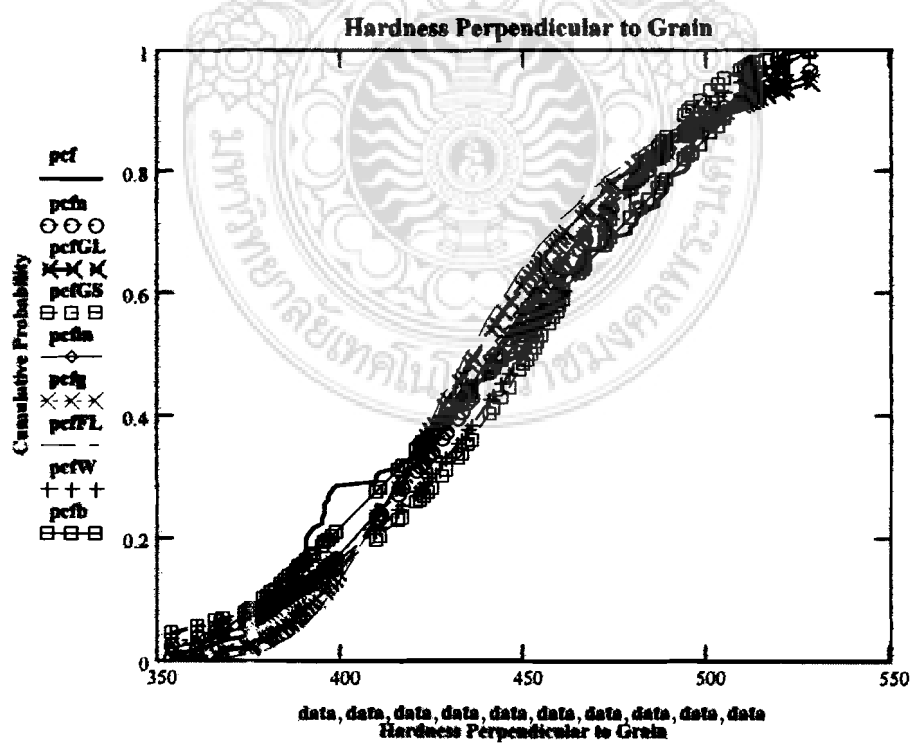
ขั้นที่	กำลังแรงดัน (kg)	ความถี่จากข้อมูล	ความถี่
1	353.97 - 379	7	-
2	379 - 403.8	30	-
3	403.8 -428.6	15	-
4	428.6 - 453.4	19	-
5	453.4 - 478.2	19	-
6	478.2 - 503	24	-
7	503 - 528.02	16	-
Chi-Square Error ค่าวิกฤติ 9.487		-	

จากการทดสอบ K-S (Kolmogorov-Sminov Test) พบว่าค่าความแตกต่างสูงสุด (Maxdif) มี 4 ชนิดเป็นการแจกแจงแบบบีตา การแจกแจงเอกภูป การแจกแจงเรลีฟ และการแจกแจงปกติ และ มีค่าเป็น 0.075, 0.082, 0.101 และ 0.119 ซึ่งให้ค่าต่ำกว่าเมื่อเปรียบเทียบกับค่าวิกฤติเท่ากับ 0.119 ตามลำดับ

จะเห็นได้ว่าความแย้งตั้งจากเสียงของไม้พุกษ์ ไม่มีการแจกแจงชนิดใดมีค่าความคลาดเคลื่อนต่ำกว่าค่าวิกฤตจากการทดสอบไปคำลั่งสองต่ำที่สุด ในขณะเดียวกันการแจกแจงแบบบีตานี้ค่าความคลาดเคลื่อนจากการทดสอบ K-S ต่ำที่สุด จึงอาจกล่าวได้ว่าการแจกแจงแบบบีตานี้ภาวะเข้ารูป สนิทกับข้อมูลมากที่สุด เมื่องจากให้ความคลาดเคลื่อนน้อยที่สุดและมีค่าน้อยกว่าค่าวิกฤต จากการทดสอบ K-S ในขณะที่การแจกแจงบีตา การแจกแจงเอกภูป การแจกแจงเรลีฟ และการแจกแจงปกติ ก็สามารถยอมรับให้ใช้แทนข้อมูลได้เนื่องจากมีความคลาดเคลื่อนน้อยกว่าค่าวิกฤตทั้งสองการทดสอบและจากกราฟแสดงความสอดคล้องระหว่างข้อมูลค่าความแย้งตั้งจากเสียงของไม้พุกษ์ ที่ผ่านการทดสอบภาวะเข้ารูปสนิทไปคำลั่งสองและการทดสอบ K-S สามารถแสดงได้ในรูปที่ ง.35 และ ง.36 ตามลำดับ



รูปที่ 4.35 การเปรียบเทียบระหว่างความถี่สัมพัทธ์ของค่าการทดสอบความแข็งตั้งฉากเสี้ยนของไนพักกอร์กับฟังก์ชันความหนาแน่นของความน่าจะเป็นที่ผ่านการทดสอบไปกำลังสอง



รูปที่ 4.36 การเปรียบเทียบระหว่างความถี่สะสมของค่าการทดสอบความแข็งตั้งฉากเสี้ยนของไนพักกอร์กับฟังก์ชันการแจกแจงที่ผ่านการทดสอบ K-S

ง 2.10 การทดสอบค่าความถ่วงจำเพาะและการทดสอบตัว

การทดสอบความถ่วงจำเพาะ (Specific Gravity) จำนวน 130 ตัวอย่าง

แสดงในตารางที่ ง.37

ตารางที่ ง.37 ค่าการทดสอบค่าความถ่วงจำเพาะของน้ำพุกษ์

0.83	0.78	0.81	0.83	0.73	0.78	0.77	0.80	0.75	0.80
0.85	0.75	0.76	0.76	0.86	0.85	0.69	0.81	0.81	0.75
0.90	0.74	0.71	0.80	0.81	0.69	0.80	0.84	0.76	0.88
0.82	0.77	0.81	0.82	0.72	0.80	0.78	0.80	0.72	0.81
0.87	0.74	0.77	0.77	0.85	0.84	0.69	0.81	0.81	0.75
0.90	0.73	0.70	0.79	0.78	0.68	0.82	0.82	0.76	0.88
0.73	0.82	0.76	0.95	0.89	0.93	0.75	0.79	0.81	0.78
0.90	0.87	0.80	0.65	0.83	0.83	0.89	0.78	0.79	0.82
0.74	0.88	0.81	0.80	0.80	0.78	0.75	0.77	0.77	0.91
0.72	0.76	0.77	0.83	0.75	0.82	0.75	0.75	0.80	0.78
0.87	0.85	0.73	0.82	0.80	0.80	0.86	0.82	0.88	0.77
0.85	0.89	0.83	0.75	0.80	0.76	0.80	0.80	0.74	0.76
0.82	0.74	0.88	0.81	0.80	0.80	0.78	0.75	0.77	0.77

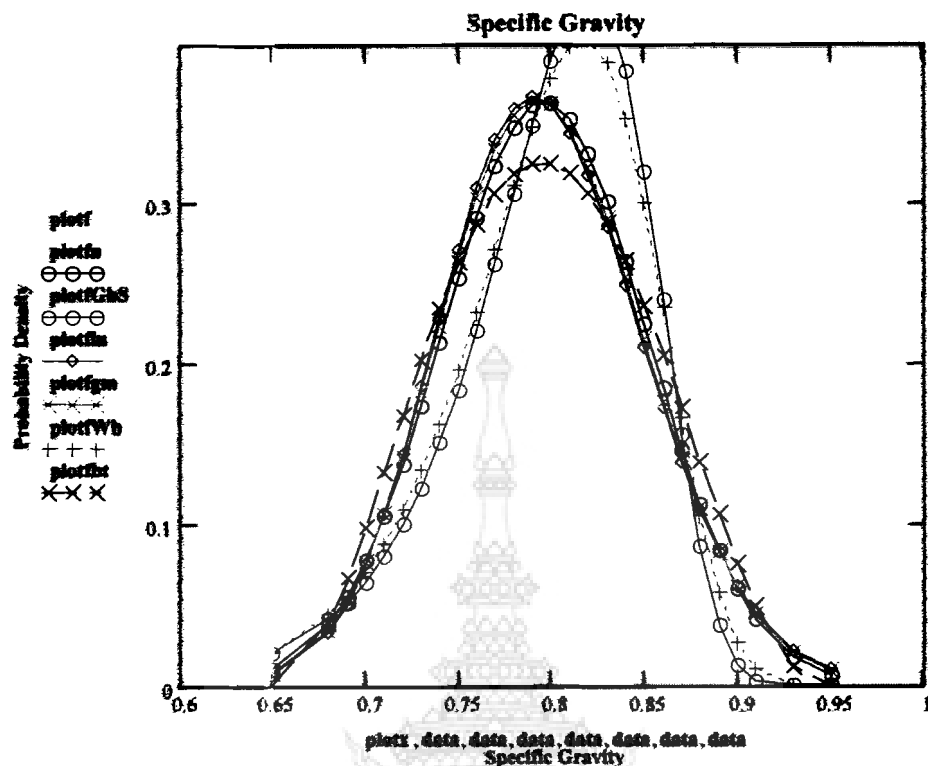
จากการวิเคราะห์ด้วยซอฟต์แวร์ CESTTEST พบว่าค่าเฉลี่ย และส่วนเบี่ยงเบนมาตรฐานเป็น 0.796 และ 0.054 ตามลำดับ โดยจะเห็นว่าจำนวนข้อมูล 130 ตัวอย่าง มีจำนวนมากกว่าข้อมูลที่ต้องการ (n_{req}) ซึ่งมีค่าเท่ากับ 13 สำหรับช่วงแห่งความเชื่อมั่นร้อยละ 99 ($t=2.576$) นอกจากนั้น ซอฟต์แวร์ CESTTEST ได้แนะนำให้มีการแบ่งช่วงข้อมูลออกเป็น 6 ชั้น โดยมีคิดจำกัดช่วงและความถี่จากค่าสังเกตในแต่ละช่วง ซึ่งมีค่าวิกฤติสำหรับระดับชั้นเสรี (Degree of Freedom, f) เท่ากับ $6-3=3$ ที่ระดับความเชื่อมั่น $\alpha = 0.95$ มีค่าเท่ากับ 7.814 ค่าความถี่จากข้อมูลเมื่อเปรียบเทียบค่าความถี่ที่คำนวณจากความถี่จากการแจกแจงที่ผ่านการทดสอบไปกำลังสอง พบว่ามีการแจกแจง 4 ชนิด ได้แก่ การแจกแจงปกติ การแจกแจงแกรมมา การแจกแจงลอกปีกติและการแจกแจงบีตา แสดงในตารางที่ ง.38

ตารางที่ ๔.๓๘ การเปรียบเทียบความถี่ของข้อมูลเทียบกับความถี่ที่ได้จากการแจกแจงที่ผ่านการทดสอบไปกำลังสอง สำหรับค่าการทดสอบความถ่วงจำเพาะของไม้พฤกษ์

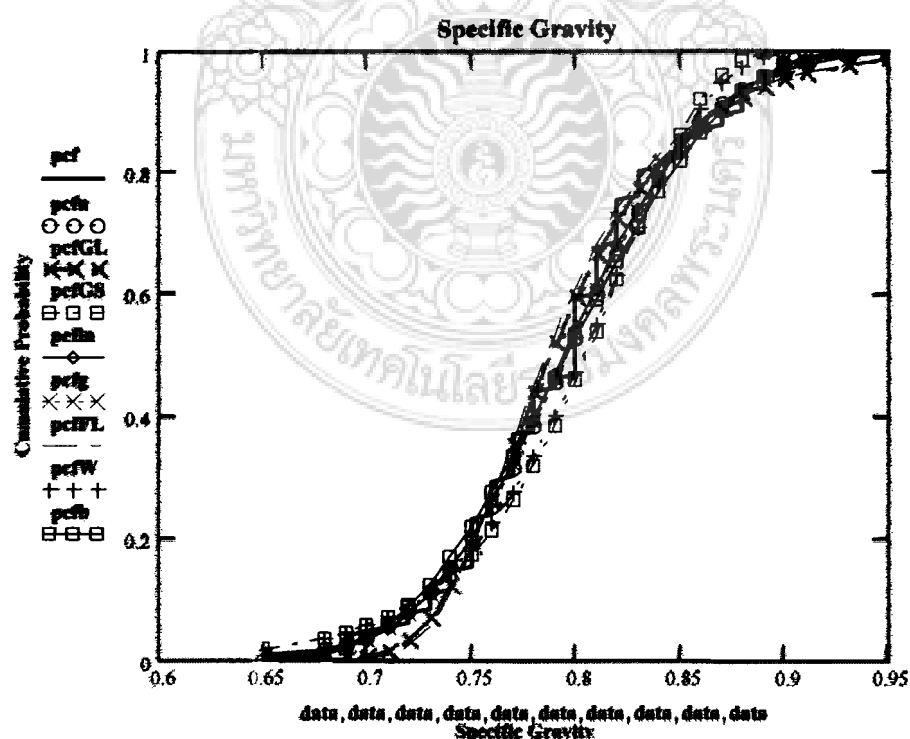
ขั้นที่	ความถ่วงจำเพาะ (ksc)	ความถี่จากข้อมูล	ความถี่ Normal	ความถี่ Gamma	ความถี่ Lognormal	ความถี่ Beta
1	0.649 - 0.695	5	4.148	3.604	3.323	3.314
2	0.695 - 0.745	14	18.465	19.077	19.341	21.769
3	0.745 - 0.795	41	41.145	42.262	42.869	39.130
4	0.795 - 0.845	46	41.993	40.989	40.535	39.086
5	0.845 - 0.895	18	19.632	18.952	18.591	22.356
6	0.895 - 0.950	6	4.295	4.622	4.748	4.343
Chi-Square Error			2.449	3.000	3.487	6.423
ค่าวิกฤติ 7.814						

จากการทดสอบ K-S (Kolmogorov - Smirnov Test) พบว่าค่าความแตกต่างสูงสุด (Maxdif) มี 4 ชนิดเป็นการแจกแจงลอกปกติ การแจกแจงแกมมา การแจกแจงบีตา และการแจกแจงปกติ มีค่าเป็น 0.075, 0.079, 0.099 และ 0.086 ซึ่งให้ค่าต่ำกว่าเมื่อเปรียบเทียบกับค่าวิกฤติเท่ากับ 0.119 ตามลำดับ

จะเห็นได้ว่าค่าความถ่วงจำเพาะของไม้พฤกษ์ การแจกแจงปกติมีค่าความคลาดเคลื่อนต่ำกว่าค่าวิกฤตจากการทดสอบไปกำลังสองต่ำที่สุด ในขณะเดียวกันการแจกแจงลอกปกติ มีค่าความคลาดเคลื่อนต่ำกว่าค่าวิกฤตจากการทดสอบ K-S ต่ำที่สุด จึงอาจกล่าวได้ว่าการแจกแจงลอกปกติ และการแจกแจงปกติมีภาวะเข้ารูปสนิทกับข้อมูลมากที่สุด เนื่องจากให้ความคลาดเคลื่อนน้อยที่สุด และมีค่าน้อยกว่าค่าวิกฤตทั้งสองการทดสอบ จากการทดสอบ K-S ในขณะที่การแจกแจงแกมมา การแจกแจงบีตาและการแจกแจงปกติ ก็สามารถยอมรับให้ใช้แทนข้อมูลได้เนื่องจากมีความคลาดเคลื่อนน้อยกว่าค่าวิกฤติจากทั้งสองการทดสอบ จากกราฟแสดงความสอดคล้องระหว่างข้อมูลค่าความถ่วงจำเพาะของไม้พฤกษ์ ที่ผ่านการทดสอบภาวะเข้ารูปสนิทไปกำลังสองและการทดสอบ K-S สามารถแสดงได้ในรูปที่ ๔.๓๗ และ ๔.๓๘ ตามลำดับ



รูปที่ 4.37 การเปรียบเทียบระหว่างความถี่สัมพัทธ์ของค่าการทดสอบความถ่วงจำเพาะของ ฝ้ายดูกซ์กับฟังก์ชันความหนาแน่นของความน้ำจะเป็นที่ผ่านการทดสอบไคกำลังสอง



รูปที่ 4.38 การเปรียบเทียบระหว่างความถี่สะสมของค่าการทดสอบความถ่วงจำเพาะของไม้ พุดกซ์กับฟังก์ชันการแจกแจงที่ผ่านการทดสอบ K-S

ค่าการหดสอบปริมาตรการหดตัว (Shrinkage in volume)

จำนวน 130 ตัวอย่าง แสดงในตารางที่ ง.39

ตารางที่ ง.39 ค่าการหดสอบปริมาตรการหดตัวของไม้พฤกษ์

5.64	6.85	5.78	5.73	7.62	5.03	4.35	5.53	7.00	5.83
5.61	7.07	5.36	4.59	5.79	5.89	4.91	3.97	6.96	5.35
4.61	7.80	4.03	5.36	7.57	7.04	6.19	6.60	5.41	7.85
5.93	5.70	4.52	4.70	5.37	7.79	5.75	6.10	3.29	5.99
7.57	5.35	7.80	6.00	4.80	4.12	5.47	3.84	6.74	4.78
5.45	5.82	3.51	3.90	3.36	5.08	7.73	3.44	4.11	8.78
6.52	6.07	5.25	6.32	6.37	7.33	5.23	5.45	6.00	7.14
6.36	6.70	6.01	6.28	5.70	6.49	6.15	6.23	5.12	6.95
5.99	6.61	6.05	5.66	4.87	7.15	7.12	5.77	6.88	6.86
4.98	8.40	6.22	6.54	6.51	6.42	5.24	5.98	5.15	7.08
5.40	5.20	7.02	6.22	6.04	6.60	5.40	5.92	6.93	7.18
6.12	4.57	4.85	6.97	5.35	7.02	6.31	5.87	5.59	7.38
6.95	5.99	6.61	6.05	5.66	4.87	7.15	7.12	5.77	6.88

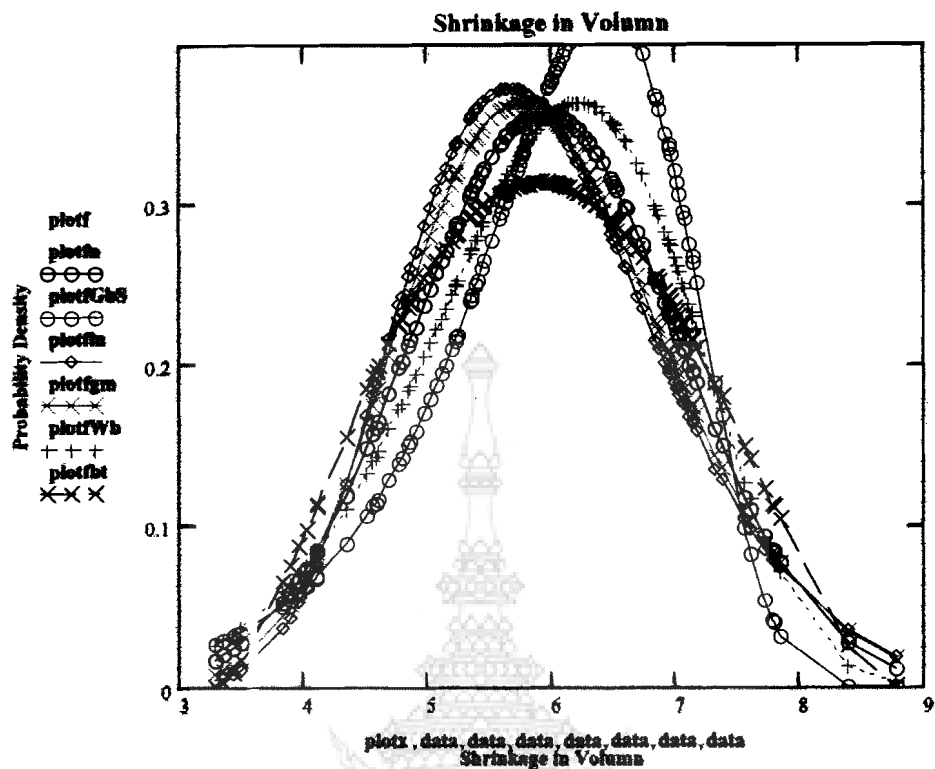
จากการวิเคราะห์ด้วยซอฟต์แวร์ CESTTEST พบว่าค่าเฉลี่ย และส่วนเบี่ยงเบนมาตรฐานเป็น 5.955 และ 1.083 ตามลำดับ โดยจะเห็นว่าจำนวนข้อมูล 130 ตัวอย่าง มีจำนวนมากกว่าข้อมูลที่ต้องการ (n_{req}) ซึ่งมีค่าเท่ากับ 88 สำหรับช่วงแห่งความเชื่อมั่นร้อยละ 99 ($t=2.576$) นอกจากนั้น ซอฟต์แวร์ CESTTEST ได้แนะนำให้มีการแบ่งช่วงข้อมูลออกเป็น 6 ชั้น โดยมีจุดจำกัดช่วงและความถี่จากค่าสังเกตในแต่ละช่วง ซึ่งมีค่าิกตุติสำหรับระดับชั้นเสรี (Degree of Freedom, f) เท่ากับ 6-3=3 ที่ระดับความเชื่อมั่น $\alpha=0.95$ มีค่าเท่ากับ 7.814 ค่าความถี่จากข้อมูลนี้อเมริกันที่เทียบค่าความถี่ที่คำนวณจากความถี่จากการแจกแจงที่ผ่านการหดสอบไปกำลังสองกำลัง พบร่วมกับการแยก 4 ชนิด ได้แก่ การแจกแจงปกติ การแจกแจงต่ำสุดชนิดที่สามแบบไวนูล์ การแจกแจงบีตา และการแจกแจงแกมมา แสดงในตารางที่ ง.40

ตารางที่ ง.40 การเปรียบเทียบความถี่ของข้อมูลเทียบกับความถี่ที่ได้จากการแจกแจงที่ผ่านการทดสอบไคกำลังสอง สำหรับค่าการทดสอบปริมาณารหตัวของไม้พฤกษ์

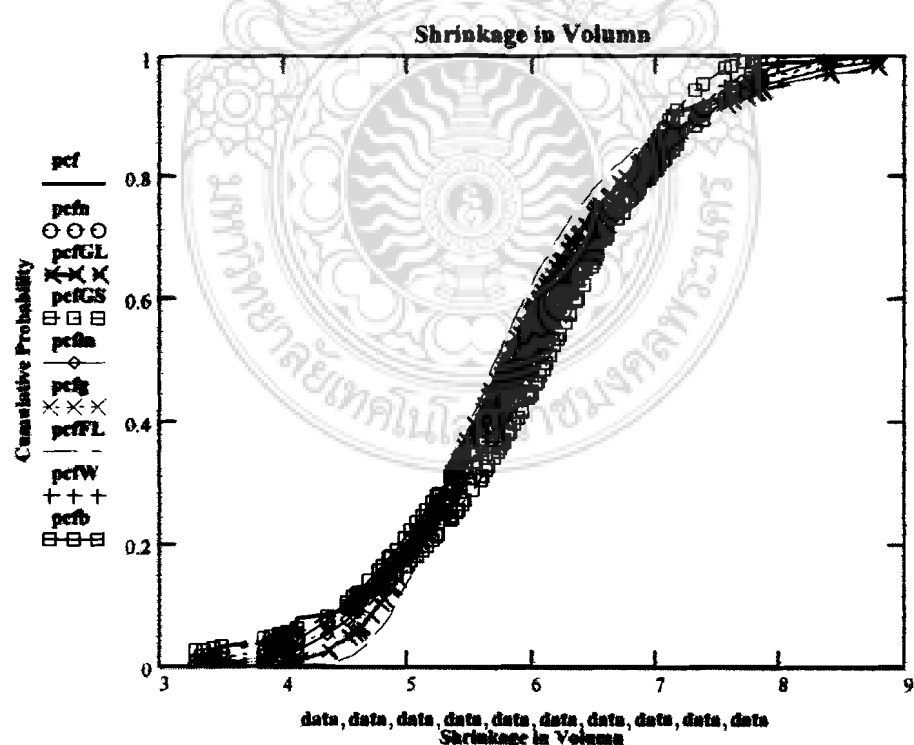
ขั้นที่	ปริมาณารหตัว %	ความถี่จากข้อมูล	ความถี่ Normal	ความถี่ Weibull	ความถี่ Beta	ความถี่ Gamma
1	3.28 – 3.87	5	3.523	5.052	2.196	2.058
2	3.87 – 4.84	13	16.246	14.982	20.256	17.395
3	4.84 – 5.81	39	38.510	34.392	37.061	41.90
4	5.81 – 6.78	40	42.946	45.534	38.788	40.891
5	6.78 – 7.76	27	22.543	25.965	25.310	20.342
6	7.76 – 8.78	6	5.637	4.011	6.387	6.148
Chi-Square Error ค่าวิกฤติ 7.814			2.380	2.579	6.453	7.715

จากการทดสอบ K-S (Kolmogorov - Smirnov Test) พบร่วมกับความแตกต่างสูงสุด (Maxdif) มี 5 ชนิดการแจกแจงปกติ การแจกแจงแกรมมา การแจกแจงต้าสุกนิดที่สามแบบ การแจกแจงแบบ ลอกปกติ และการแจกแจงแบบบีตา มีค่าเป็น 0.041, 0.056, 0.058, 0.060 และ 0.065 ซึ่งให้ค่าต่ำกว่าเมื่อเปรียบเทียบกับค่าวิกฤติเท่ากับ 0.119 ตามลำดับ

จะเห็นได้ว่าค่าปริมาณารหตัวของไม้พฤกษ์ การแจกแจงปกติมีค่าความคลาดเคลื่อนต่ำกว่าค่าวิกฤตจากการทดสอบไคกำลังสองต่ำที่สุด ในขณะเดียวกันการแจกแจงปกติมีค่าความคลาดเคลื่อนต่ำกว่าค่าวิกฤตจากการทดสอบ K-S ต่ำที่สุด จึงอาจกล่าวได้ว่าการแจกแจงปกติ มีภาวะเข้ากันสนิทกับข้อมูลมากที่สุด เนื่องจากให้ความคลาดเคลื่อนจากการทดสอบน้อยที่สุดและมีค่าน้อยกว่าค่าวิกฤต จากการทดสอบ K-S ในขณะที่การแจกแจงแกรมมา การแจกแจงต้าสุกนิดที่สามแบบ การแจกแจงแบบลอกปกติ และการแจกแจงแบบบีتاที่สามารถยอมรับให้ใช้แทนข้อมูลได้ เนื่องจากมีความคลาดเคลื่อนน้อยกว่าค่าวิกฤติจากที่สองการทดสอบและ จากราฟแสดงความสอดคล้องระหว่างข้อมูล ค่าความถ่วงจำเพาะของไม้พฤกษ์ ที่ผ่านการทดสอบภาวะเข้ากันสนิทไคกำลังสองและ การทดสอบ K-S สามารถแสดงได้ในรูปที่ ง.39 และ ง.40 ตามลำดับ



รูปที่ 4.39 การเปรียบเทียบระหว่างความถี่สัมพัทธ์ของค่าการหดตัวบนปริมาตรการหดตัวของไม้พุกยาร์กับพังก์ชันความหนาแน่นของความน่าจะเป็นที่ผ่านการทดสอบไปกำลังสอง



รูปที่ 4.40 การเปรียบเทียบระหว่างความถี่สะสมของค่าการหดตัวบนปริมาตรการหดตัวของไม้พุกยาร์กับพังก์ชันการแจกแจงที่ผ่านการทดสอบ K-S

ค่าการทดสอบปริมาณความซึ้น% (Shrinkage in volume)

จำนวน 130 ตัวอย่าง แสดงในตารางที่ ง.41

ตารางที่ ง.41 การทดสอบปริมาณความซึ้นของไม้พูกษ์

10.84	11.88	10.53	10.42	12.14	4.05	9.64	10.13	12.48	10.65
11.34	11.55	11.27	10.47	8.52	10.89	10.77	10.49	10.91	11.37
10.45	11.34	10.54	10.27	8.12	11.66	11.26	11.15	10.53	15.63
10.84	11.88	10.53	10.42	12.14	4.05	9.64	10.13	12.48	10.65
11.34	11.55	11.27	10.47	8.52	10.89	10.77	10.49	10.91	11.37
10.45	11.34	10.54	10.27	8.12	11.66	11.26	11.15	10.53	15.63
12.02	12.02	10.94	8.86	11.90	11.53	11.11	10.72	10.31	11.04
11.45	12.03	10.58	11.76	11.25	9.59	10.50	11.65	10.82	10.97
11.12	11.26	11.26	12.23	10.25	10.02	13.65	11.03	11.84	11.51
11.41	13.16	12.69	12.32	12.41	11.16	10.75	13.32	11.57	10.39
10.27	10.69	13.21	11.44	10.72	11.13	10.77	12.03	10.98	9.57
10.18	9.67	10.86	11.64	9.35	10.58	10.48	10.59	11.48	12.06
10.97	11.12	11.26	11.26	12.23	10.25	10.02	13.65	11.03	11.84

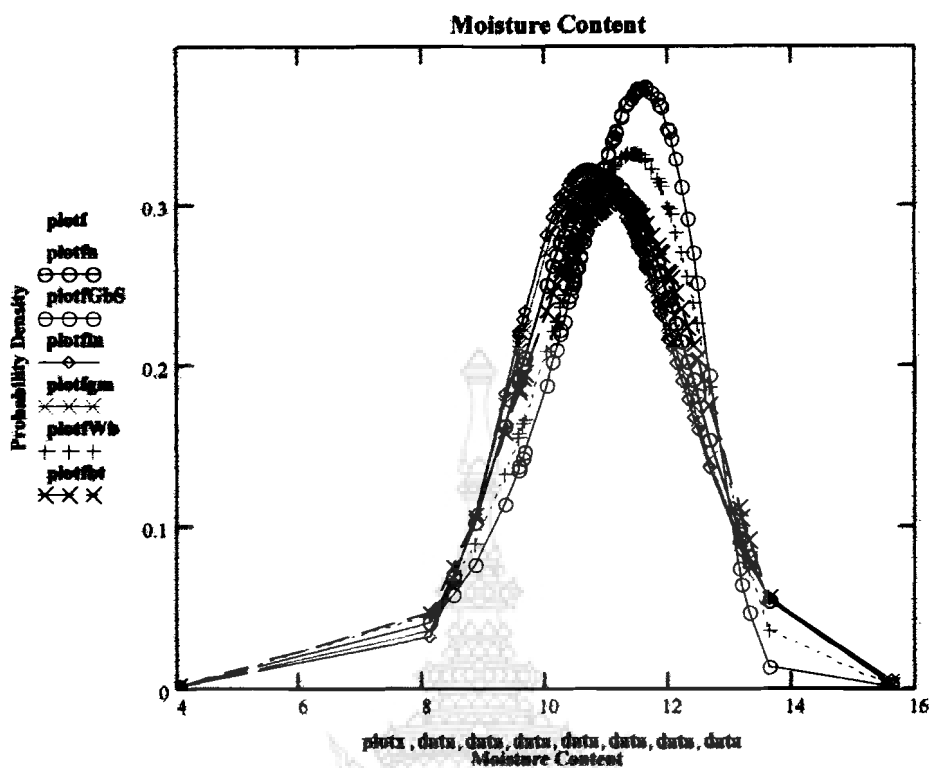
จากการวิเคราะห์ด้วยซอฟต์แวร์ CESTTEST พบว่าค่าเฉลี่ย และส่วนเบี่ยงเบนมาตรฐานเป็น 10.987 และ 1.417 ตามลำดับ โดยจะเห็นว่าจำนวนชุดข้อมูล 130 ตัวอย่าง มีจำนวนมากกว่าชุดที่ต้องการ (n_{req}) ซึ่งมีค่าเท่ากับ 44 สำหรับช่วงแห่งความเชื่อมั่นร้อยละ 99 ($t=2.576$) นอกจากนั้น ซอฟต์แวร์ CESTTEST ได้แนะนำให้มีการแบ่งช่วงข้อมูลออกเป็น 6 ชั้น โดยมีชิดจำากัดช่วงและความถี่จากค่าสังเกตในแต่ละช่วงซึ่งมีค่าวิกฤติสำหรับระดับชั้นเสรี (Degree of Freedom, f) เท่ากับ $6-3=3$ ที่ระดับความเชื่อมั่น $\alpha = 0.95$ มีค่าเท่ากับ 7.814 ค่าความถี่จากชุดข้อมูลเมื่อเปรียบเทียบ ค่าความถี่ที่คำนวณจากความถี่จากการแจกแจงที่ผ่านการทดสอบไปกำลัง พบร่วมกับความถี่ของชุดข้อมูลไม่มีการแจกแจงชนิดใดผ่านการทดสอบไปกำลังสอง แสดงในตารางที่ ง.42

ตารางที่ ง.42 การเปรียบเทียบความถี่ของข้อมูลเทียบกับความถี่ที่ได้จากการแจกแจงที่ผ่านการทดสอบโดยกำลังสอง สำหรับค่าการทดสอบปริมาณความชี้ของไม้พุกช์

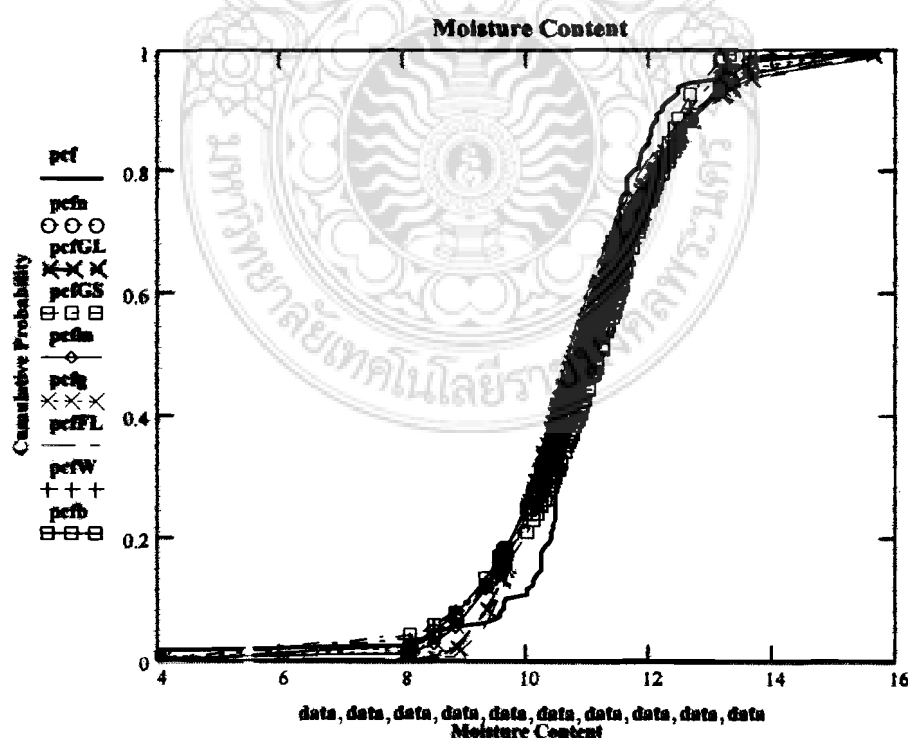
ขั้นที่	ปริมาณความชี้%	ความถี่จากข้อมูล	ความถี่
1	4.04 – 8.6	6	-
2	8.60 – 9.725	7	-
3	9.725 – 10.85	43	-
4	10.85 – 11.975	53	-
5	11.975 – 13.10	14	-
6	13.10 – 15.631	7	-
Chi-Square Error ค่าวิกฤติ 7.814			=

จากการทดสอบ K-S (Kolmogorov-Smirnov Test) พบร่วมค่าความแตกต่างสูงสุด (Maxdif) ไม่มีการแจกแจงชนิดใดให้ค่าต่ำกว่าเมื่อเปรียบเทียบกับค่าวิกฤติเท่ากับ 0.119

จะเห็นได้ว่าค่าปริมาณความชี้ของไม้พุกช์ไม่มีการแจกแจงชนิดใดมีค่าความคลาดเคลื่อนต่ำกว่าค่าวิกฤตจากการทดสอบโดยกำลังสอง ในขณะเดียวกันไม่มีการแจกแจงชนิดใดมีความคลาดเคลื่อนต่ำกว่าค่าวิกฤตจากการทดสอบ K-S เข่นเดียวกัน จึงอาจกล่าวได้ว่าไม่มีการแจกแจงชนิดใดมีภาวะเข้ารูปสนิทกับข้อมูลมากที่สุด เมื่อจากให้ความคลาดเคลื่อนจากการทดสอบน้อยที่สุดและมีค่ามากกว่าค่าวิกฤต และจากการทดสอบความสมดคล่องระหว่างข้อมูล ค่าปริมาณความชี้ของไม้พุกช์ ที่ผ่านการทดสอบภาวะเข้ารูปสนิทโดยกำลังสองและการทดสอบ K-S สามารถแสดงได้ในรูปที่ ง.41 และ ง.42 ตามลำดับ



รูปที่ 4.41 การเปรียบเทียบระหว่างความถี่สัมพัทธ์ของค่าปริมาณความชื้นของไม้พุดกษ์ กับฟังก์ชันความหนาแน่นของความชื้นจะเป็นที่ผ่านการทดสอบไปกำลังสอง



รูปที่ 4.42 การเปรียบเทียบระหว่างความถี่สะสมของค่าปริมาณความชื้นของไม้พุดกษ์กับฟังก์ชันการแจกแจงที่ผ่านการทดสอบ K-S

การทดสอบความหนาแน่น (Density)
จำนวน 130 ตัวอย่างแสดงในตารางที่ ง.43

ตารางที่ ง.43 ค่าการทดสอบความหนาแน่นของน้ำพุกช์

868.43	820.61	849.74	867.22	762.08	773.03	810.90	836.60	787.44	837.88
894.48	780.03	799.28	805.37	880.80	894.15	730.81	864.18	843.29	795.70
945.99	762.98	755.72	835.14	810.02	715.96	838.99	872.82	802.01	941.58
853.66	819.52	851.42	868.93	764.58	774.57	811.44	835.49	787.95	840.64
896.25	781.57	798.76	802.72	881.96	891.20	729.84	863.61	843.84	795.18
945.99	763.48	748.76	836.78	813.21	719.26	842.31	879.72	803.06	939.09
770.25	863.61	797.75	972.34	931.41	962.20	796.34	825.16	845.60	812.08
946.69	912.52	838.62	681.90	874.36	858.51	923.88	822.23	827.83	853.44
779.72	914.45	854.48	850.67	843.09	804.27	800.59	804.20	809.29	946.91
763.00	795.81	819.33	875.26	787.16	860.51	784.31	801.36	847.84	806.88
908.80	897.21	776.39	862.63	838.04	831.05	901.90	866.87	917.10	783.32
882.89	931.12	880.87	784.53	828.41	785.96	829.03	837.98	780.97	788.22
853.44	779.72	914.45	854.48	850.67	843.09	804.27	800.59	804.20	809.29

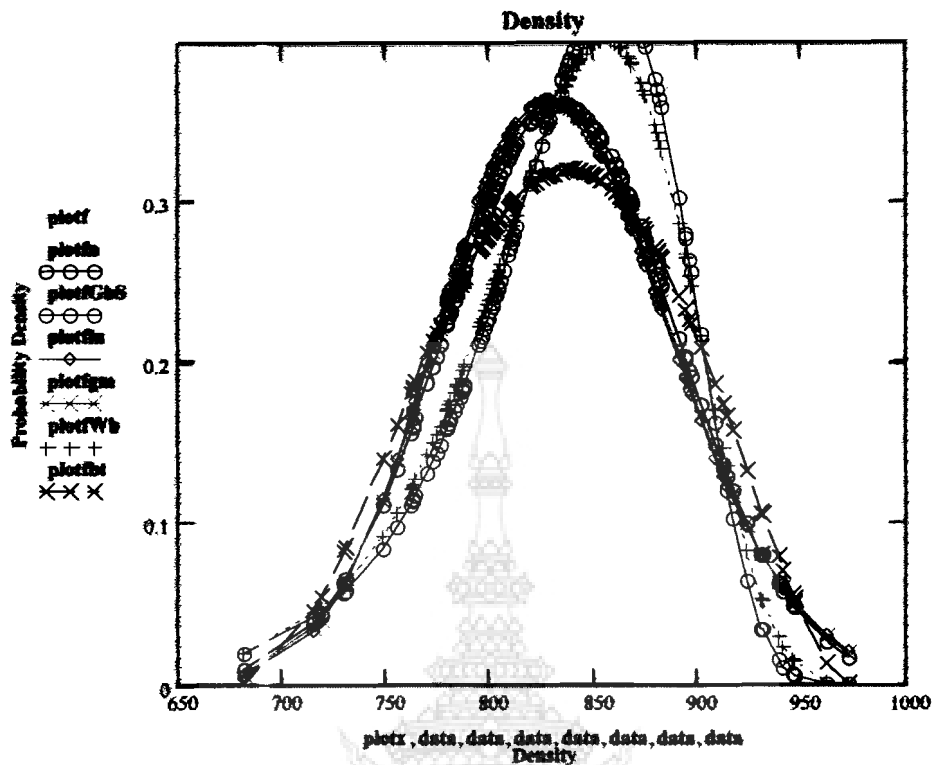
จากการวิเคราะห์ด้วยซอฟต์แวร์ CESTTEST พบว่าค่าเฉลี่ย และส่วนเบี่ยงเบนมาตรฐานเป็น 834.31 และ $55.88 \text{ กก}/\text{ม}^3$ ตามลำดับ โดยจะเห็นว่าจำนวนข้อมูล 130 ตัวอย่าง มีจำนวนมากกว่า ข้อมูลที่ต้องการ (t_{req}) ซึ่งมีค่าเท่ากับ 12 สำหรับช่วงแห่งความเชื่อมั่นร้อยละ 99 ($t=2.576$) nokจากนั้นซอฟต์แวร์ CESTTEST ได้แนะนำให้มีการแบ่งช่วงข้อมูลออกเป็น 6 ชิ้น โดยมีชีดจำกัด ช่วงและความถี่จากค่าสังเกตในแต่ละช่วง ซึ่งมีค่าวิกฤติสำหรับระดับชั้นเสรี (Degree of Freedom, f) เท่ากับ $6-3=3$ ที่ระดับความเชื่อมั่น $\alpha = 0.95$ มีค่าเท่ากับ 7.814 ค่าความถี่จากช่วงข้อมูลเมื่อเปรียบเทียบ ค่าความถี่ที่คำนวณจากความถี่จากการแยกแจงที่ผ่านการทดสอบไปกำลังสอง 3 ชนิด การแยกแจง ลอกปรกติ การแจกแจงแกมมา และการแจกแจงปรกติ แสดงในตารางที่ ง.44

ตารางที่ ๔.44 การเปรียบเทียบความถี่ของข้อมูลเทียบกับความถี่ที่ได้จากการแจกแจงที่ผ่านการทดสอบไคกำลังสอง สำหรับค่าการทดสอบความหนาแน่นของน้ำพุกษ์

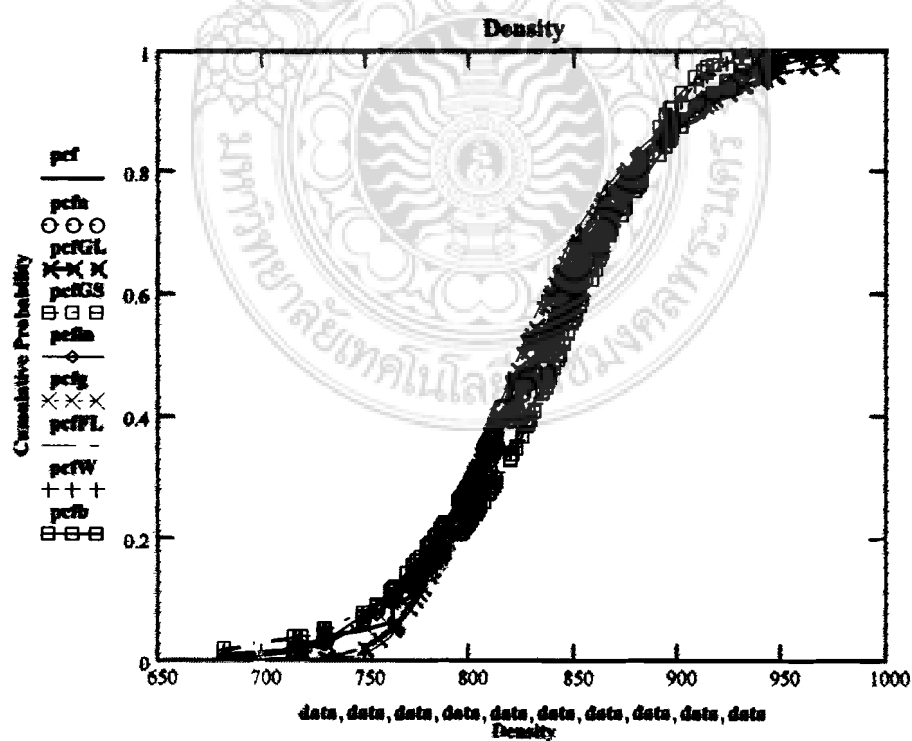
ขั้นที่	ความหนาแน่น กก./ม. ³	ความถี่จากข้อมูล	ความถี่ Lognormal	ความถี่ Gamma	ความถี่ Normal
1	681.84 - 740	5	5.102	5.397	5.945
2	740 - 790.75	24	23.654	23.242	22.370
3	790.75 - 841.5	45	44.585	44.133	43.33
4	841.5 - 892.25	35	37.167	37.705	38.858
5	892.25 - 943	15	15.434	15.686	16.127
6	943 - 972.39	6	2.740	2.672	2.491
Chi-Square Error ค่าวิกฤติ 7.814			4.025	4.437	5.738

จากการทดสอบ K-S (Kolmogorov-Smirnov Test) พบร่วมกับค่าความแตกต่างสูงสุด (Maxdif) มี 5 ชนิดเป็นการแจกแจงลอกปรากติ การแจกแจงแกมมา การแจกแจงปรากติ การแจกแจงชนิดที่หนึ่งค่าสูงสุดแบบกุมเบลและการแจกแจงค่าสูงสุดชนิดที่สองแบบเฟรเซต มีค่าเป็น 0.059, 0.063, 0.070, 0.076 และ 0.089 ซึ่งให้ค่าต่ำกว่าเมื่อเปรียบเทียบกับค่าวิกฤติเท่ากับ 0.119 ตามลำดับ

จะเห็นได้ว่าค่าความหนาแน่นของน้ำพุกษ์ การแจกแจงป्रากติมีค่าความคลาดเคลื่อนต่ำกว่าค่าวิกฤตจากการทดสอบไคกำลังสอง ในขณะเดียวกันการแจกแจงป्रากติมีค่าความคลาดเคลื่อนต่ำกว่าค่าวิกฤตจากการทดสอบ K-S ต่ำที่สุดเช่นเดียวกัน จึงอาจกล่าวได้ว่าการแจกแจงป्रากติมีภาวะเข้ารูปนิทกนข้อมูลมากที่สุด เนื่องจากให้ความคลาดเคลื่อนจากการทดสอบน้อยที่สุดและมีค่าน้อยกว่าค่าวิกฤต จากการทดสอบ K-S ในขณะที่การแจกแจงแกมมา การแจกแจงปรากติ การแจกแจงชนิดที่หนึ่งค่าสูงสุดแบบกุมเบลและการแจกแจงค่าสูงสุดชนิดที่สองแบบเฟรเซต ก็สามารถยอมรับให้ใช้แทนข้อมูลได้เนื่องจากมีความคลาดเคลื่อนน้อยกว่าค่าวิกฤติจากทั้งสองการทดสอบและ จากการทดสอบความสมดุลลักษณะระหว่างข้อมูลค่าความหนาแน่นของน้ำพุกษ์ ที่ผ่านการทดสอบภาวะเข้ารูปนิทไคกำลังสองและการทดสอบ K-S สามารถแสดงได้ในรูปที่ ๔.43 และ ๔.44 ตามลำดับ



รูปที่ 4.43 การเปรียบเทียบระหว่างความถี่สัมพัทธ์ของค่าความหนาแน่นของไม้พุดกษ์กับฟังก์ชันความหนาแน่นของความน่าจะเป็นที่ฝ่ายการทดสอบได้กำลังสอง



รูปที่ 4.44 การเปรียบเทียบระหว่างความถี่สะสมของค่าความหนาแน่นของไม้พุดกษ์กับฟังก์ชันการแจกแจงที่ฝ่ายการทดสอบ K-S

ง 2.11 การทดสอบตัวในแนวรัศมีและในแนวเส้นสัมผัส

การทดสอบการทดสอบตัวในแนวเส้นสัมผัส (Tangential Shrinkage)

จำนวน 130 ตัวอย่าง แสดงในตารางที่ ง.45

ตารางที่ ง.45 การทดสอบการทดสอบตัวในแนวเส้นสัมผัสของไม้พูกษ์

1.80	2.20	2.33	2.38	2.00	2.05	2.31	2.32	2.41	1.60
2.31	3.19	2.05	2.45	1.99	2.40	2.71	2.38	2.42	2.31
2.33	2.82	2.02	2.37	2.37	1.98	2.35	2.00	2.43	2.00
2.41	2.01	2.27	2.37	1.98	1.98	1.89	2.39	2.71	2.26
2.69	2.61	2.26	2.35	2.40	2.30	1.92	2.82	2.67	2.71
1.99	2.40	2.69	2.40	2.41	2.66	2.28	2.40	2.60	2.24
2.27	2.29	2.65	2.38	1.98	2.38	2.80	2.39	2.82	2.27
2.33	1.99	3.15	2.29	1.99	1.91	2.33	2.00	1.99	2.31
2.80	1.55	2.40	2.01	3.04	1.98	3.20	3.53	2.80	2.00
2.34	2.70	2.38	2.80	2.00	2.80	1.92	2.97	3.14	2.80
3.00	1.92	2.38	2.00	2.96	2.40	3.00	2.80	2.40	3.02
3.05	1.97	3.03	2.01	2.01	2.81	2.68	2.67	2.31	1.95
2.39	2.40	2.64	2.23	2.40	2.26	2.07	3.19	2.40	2.59

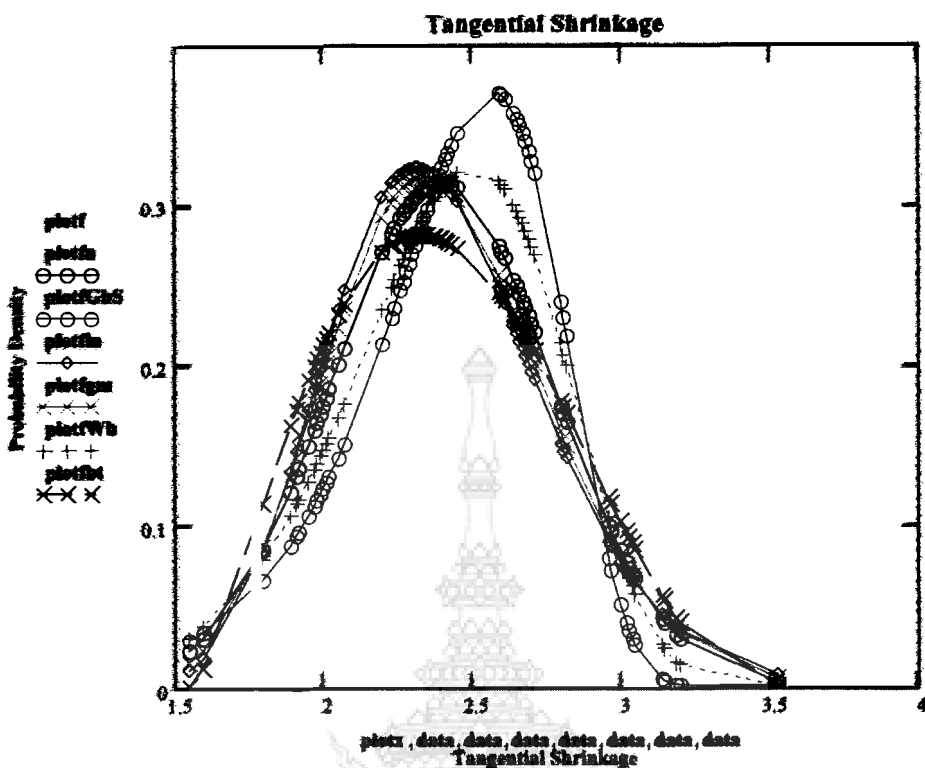
จากการวิเคราะห์ด้วยซอฟต์แวร์ CESTTEST พบว่าค่าเฉลี่ย และส่วนเบี่ยงเบนมาตรฐานเป็น 2.399 และ 0.370 ตามลำดับ โดยจะเห็นว่าจำนวนข้อมูล 130 ตัวอย่าง มีจำนวนมากกว่าข้อมูลที่ต้องการ (n_{req}) ซึ่งมีค่าเท่ากับ 63 สำหรับช่วงแห่งความเชื่อมั่นร้อยละ 99 ($t=2.576$) นอกจากนั้น ซอฟต์แวร์ CESTTEST ได้แนะนำให้มีการแบ่งช่วงข้อมูลออกเป็น 6 ชั้น โดยมีชีดจำากัดช่วงและความถี่จากค่าสังเกตในแหล่งช่วง ซึ่งมีค่าิกติสำหรับระดับชั้นเสรี (Degree of Freedom, f) เท่ากับ $6-3=3$ ที่ระดับความเชื่อมั่น $\alpha = 0.95$ มีค่าเท่ากับ 7.814 ค่าความถี่จากชั้นเมื่อเปรียบเทียบ ค่าความถี่ที่คำนวนจากความถี่จากการแยกแจงที่ผ่านการทดสอบไปกำลัง พบร่วมกับความถี่ของข้อมูลไม่มีการแยกแจงชนิดใดผ่านการทดสอบไปกำลังสอง แสดงในตารางที่ ง.46

ตารางที่ ๔.๔๖ การเปรียบเทียบความถี่ของข้อมูลเทียบกับความถี่ที่ได้จากการแจกแจงที่ผ่านการทดสอบไปคำลังสอง สำหรับค่าการทดสอบการทดสอบตัวในแนวเส้นสัมผัสของไม้พูกษ์

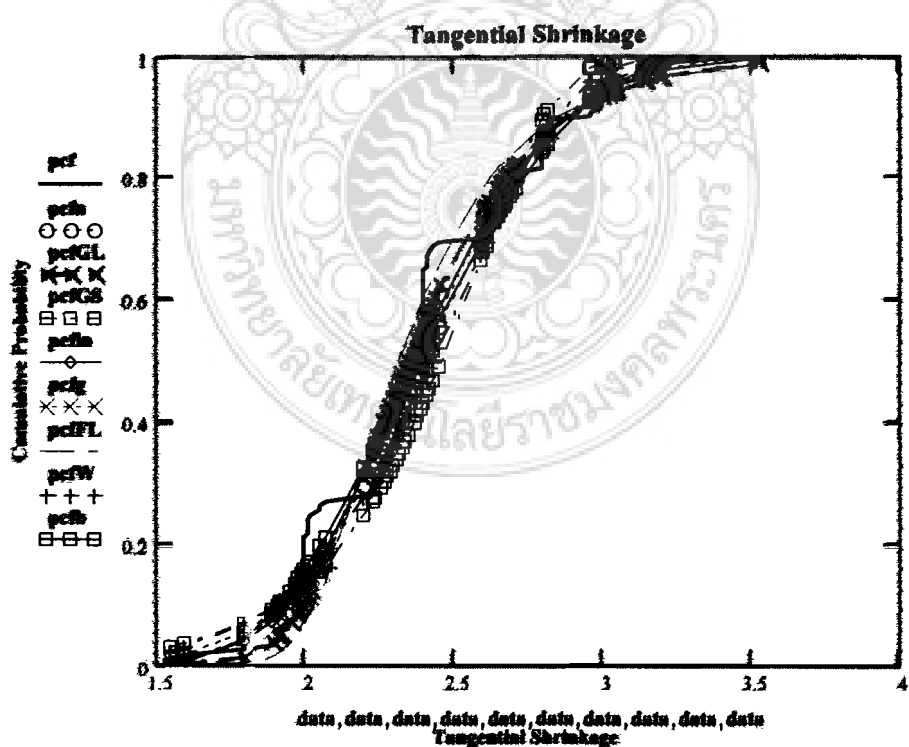
ขั้นที่	การตัด	ความถี่จากข้อมูล	ความถี่ normal
1	1.549 - 1.92	5	-
2	1.92 – 2.212	31	-
3	2.212 – 2.505	54	-
4	2.505 – 2.797	15	-
5	2.797 – 3.09	19	-
6	3.09 – 3.530	6	-
Chi-Square Error ค่าวิกฤติ 7.814			-

จากการทดสอบ K-S (Kolmogorov-Smirnov Test) พบว่าค่าความแตกต่างสูงสุด (Maxdif) ไม่มีการแจกแจงชนิดใดให้ค่าต่ำกว่าเมื่อเปรียบเทียบกับค่าวิกฤติเท่ากับ 0.119

จะเห็นได้ว่าค่าการทดสอบตัวในแนวเส้นสัมผัสของไม้พูกษ์ ไม่มีการแจกแจงชนิดใดมีค่าความคลาดเคลื่อนจากการทดสอบไปคำลังสองต่ำที่สุด ในขณะเดียวกันไม่มีการแจกแจงชนิดใดมีค่าความคลาดเคลื่อนจากการทดสอบ K-S ต่ำที่สุดเช่นเดียวกัน จึงอาจกล่าวได้ว่าไม่มีการแจกแจงชนิดใดมีภาวะเข้ารูปสนใจกับข้อมูลมากที่สุด เนื่องจากให้ความคลาดเคลื่อนมากกว่าค่าวิกฤติทั้งสองการทดสอบ และจากการแสดงความสอดคล้องระหว่างข้อมูล การทดสอบตัวในแนวเส้นสัมผัสของไม้พูกษ์ที่ผ่านการทดสอบภาวะเข้ารูปสนใจก็ไปคำลังสองและการทดสอบ K-S สามารถแสดงได้ในรูปที่ ๔.๔๕ และ ๔.๔๖ ตามลำดับ



รูปที่ 4.45 การเปรียบเทียบระหว่างความถี่ตื้นพื้นที่ของค่าการหดตัวในแนวสัมผัสของไนพักก์กับพังก์ชันความหนาแน่นของความน่าจะเป็นที่ฝ่ายการหดลองไก่กำลังสอง



รูปที่ 4.46 การเปรียบเทียบระหว่างความถี่สะสมของค่าการหดตัวในแนวสัมผัสของไนพักก์กับพังก์ชันการแจกแจงที่ฝ่ายการหดลอง K-S

ค่าการทดสอบการหดตัวในแนวรัศมี (Radial Shrinkage)
จำนวน 130 ตัวอย่าง แสดงในตารางที่ ง.47

ตารางที่ ง.47 ค่าการทดสอบการหดตัวในแนวรัศมีของไม้พุกซ์

2.20	3.28	2.31	2.71	2.33	2.36	1.98	2.38	1.99	2.00
2.00	2.31	2.79	2.39	2.79	2.81	3.08	2.70	2.00	2.71
2.02	2.37	2.44	2.31	2.80	2.70	2.69	2.80	2.39	2.00
2.86	2.52	3.05	2.78	2.03	2.39	3.11	2.48	2.71	1.98
3.20	1.92	1.96	2.44	2.80	3.07	2.50	3.16	3.54	2.39
2.44	3.11	2.06	3.25	2.34	3.53	2.78	2.82	2.26	2.24
2.29	3.05	1.96	2.40	2.83	2.43	2.02	3.27	3.23	3.20
3.14	2.80	2.00	3.61	2.04	1.98	3.10	2.82	2.81	2.33
2.42	3.52	2.02	2.42	2.69	2.42	3.48	3.57	2.00	2.40
2.81	2.38	2.42	2.00	3.20	2.80	2.07	2.71	1.92	3.48
2.29	3.47	2.81	3.20	2.07	2.46	3.10	2.02	2.81	2.35
3.10	2.38	3.08	2.43	3.21	2.08	2.41	2.78	2.01	3.15
3.24	2.02	2.37	1.89	2.02	1.92	2.08	3.75	3.36	1.95

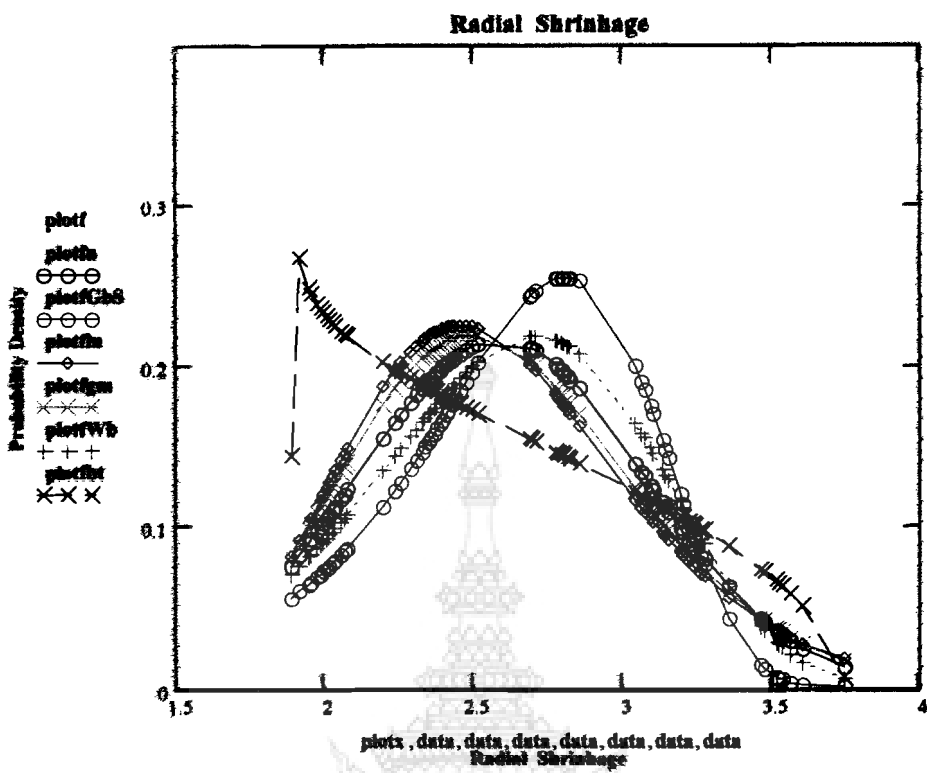
จากการวิเคราะห์ด้วยซอฟต์แวร์ CESTTEST พนว่าค่าเฉลี่ย และส่วนเบี่ยงเบนมาตรฐานเป็น 2.593 และ 0.486 ตามลำดับ โดยจะเห็นว่าจำนวนชุดข้อมูล 130 ตัวอย่าง มีจำนวนมากกว่าชุดข้อมูลที่ต้องการ (n_{req}) ซึ่งมีค่าเท่ากับ 93 สำหรับช่วงแห่งความเชื่อมั่นร้อยละ 99 ($t=2.576$) นอกจากนั้น ซอฟต์แวร์ CESTTEST ได้แนะนำให้มีการแบ่งช่วงข้อมูลออกเป็น 7 ชั้น โดยมีจุดจำกัดช่วงและความถี่จากค่าสังเกตในแต่ละช่วง ซึ่งมีค่าวิกฤติตามรูประดับชั้นเสรี (Degree of Freedom, f) เท่ากับ 7-3=4 ที่ระดับความเชื่อมั่น $\alpha = 0.95$ มีค่าเท่ากับ 9.487 ค่าความถี่จากชุดข้อมูลนี้อ่อนไหวยิบ ค่าความถี่ที่คำนวณจากความถี่จากการแจกแจงที่ผ่านการทดสอบไปกำลังสอง พนว่าค่าความถี่ของชุดข้อมูลไม่มีการแจกแจงชนิดใดผ่านการทดสอบไปกำลังสอง แสดงในตารางที่ ง.48

ตารางที่ ๔.48 การเปรียบเทียบความถี่ของข้อมูลเทียบกับความถี่ที่ได้จากการแจกแจงที่ผ่านการทดสอบไคกำลังสอง สำหรับค่าการทดสอบความหนาแน่นของไม้พุกซ์

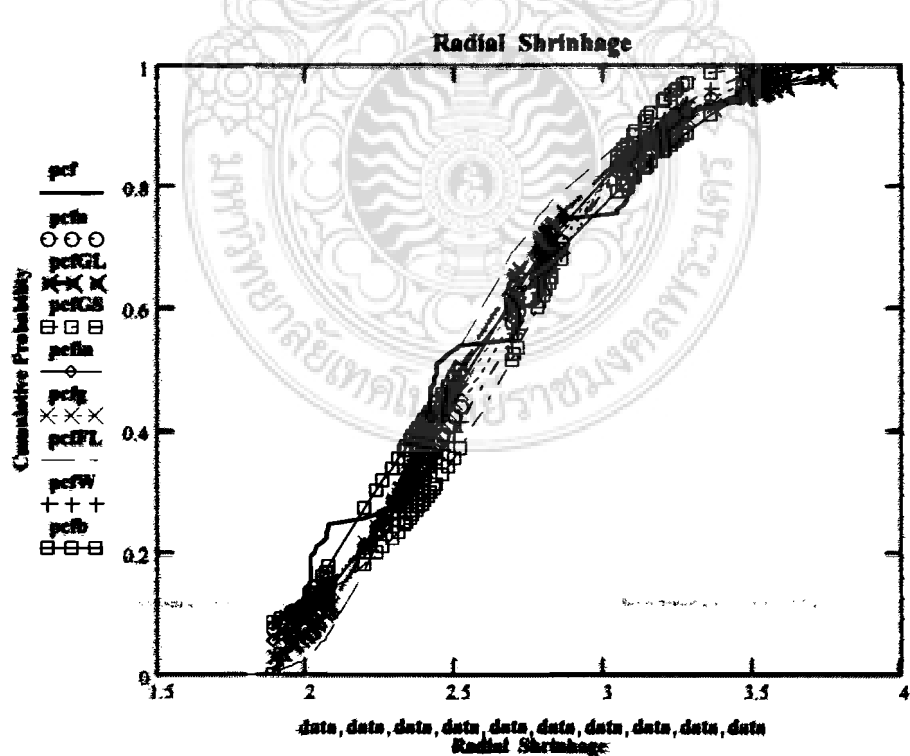
ขั้นที่	การทดสอบ %	ความถี่จากข้อมูล	ความถี่
1	1.889 – 2.16	32	-
2	2.16 – 2.424	29	-
3	2.424 – 2.688	9	-
4	2.688 – 2.952	27	-
5	2.952 – 3.216	18	-
6	3.216 – 3.48	7	-
7	3.48 – 3.75	8	-
Chi-Square Error			-
ค่าอิฐติ 9.487			-

จากการทดสอบ K-S (Kolmogorov– Smirnov Test) พบร่วมค่าความแตกต่างสูงสุด (Maxdif) มี 3 ชนิดเป็นการแจกแจงบีต้า การแจกแจงลอกปรกติและการแจกแจงแกนนามีค่าเป็น 0.070, 0.109, 0.110 ซึ่งให้ค่าต่ำกว่าเมื่อเปรียบเทียบกับค่าวิกฤติเท่ากับ 0.119 ตามลำดับ

จะเห็นได้ว่าค่าการทดสอบในแนวรัศมีของไม้พุกซ์ ไม่มีความถี่การแจกแจงชนิดใดมีความคลาดเคลื่อนต่ำกว่าค่าวิกฤตจากการทดสอบไคกำลังสอง ในขณะที่การแจกแจงบีต้ามีค่าความคลาดเคลื่อนจากการทดสอบ K-S ต่ำที่สุด จึงอาจกล่าวได้ว่าการแจกแจงบีต้ามีภาวะเข้ารูปสนิทกับข้อมูลมากที่สุดเนื่องจากให้ความคลาดเคลื่อนและมีค่าน้อยกว่าค่าวิกฤต การทดสอบ K-S ในขณะที่การแจกแจงลอกปรกติและการแจกแจงแกนนามีสามารถยอมรับให้ใช้แทนข้อมูลได้เนื่องจากมีความคลาดเคลื่อนน้อยกว่าค่าวิกฤตทั้งสองของการทดสอบ และจากการภาพแสดงความสอดคล้องระหว่างข้อมูลการทดสอบในแนวรัศมีของไม้พุกซ์ ที่ผ่านการทดสอบภาวะเข้ารูปสนิทไคกำลังสองและการทดสอบ K-S สามารถแสดงได้ในรูปที่ ๔.47 และ ๔.48 ตามลำดับ



รูปที่ 4.47 การเปรียบเทียบระหว่างความถี่สัมพัทธ์ของค่าการหดตัวในแนวรัศมีของน้ำพุกษ์ กับพื้นที่รับความหนาแน่นของความน่าจะเป็นที่ผ่านการทดสอบไก่กำลังสอง



รูปที่ 4.48 การเปรียบเทียบระหว่างความถี่สะสมของค่าการหดตัวในแนวรัศมีของน้ำพุกษ์ กับพื้นที่รับความแยกแยะที่ผ่านการทดสอบ K-S

ภาคผนวก ๔

การวิเคราะห์คุณสมบัติทางสถิติของข้อมูลทางวิศวกรรม
ของไม้จามจุรี



ภาคผนวก ๗

การวิเคราะห์คุณสมบัติทางสัตติของข้อมูลทางวิศวกรรมของไม้จามจุรี

๗.๑ ทั่วไป

ในภาคผนวกนี้จะได้นำเสนอผลการทดสอบคุณสมบัติทางวิศวกรรม รวมทั้งการวิเคราะห์คุณสมบัติทางสัตติของไม้จามจุรี ประกอบไปด้วย ค่าเฉลี่ย (Mean) ส่วนเบี่ยงเบนมาตรฐาน (Standard Deviation) และรูปแบบการแจกแจงต่อเนื่อง (Type of Distribution) ที่เหมาะสม โดยรูปแบบการแจกแจงที่เหมาะสมจะใช้ค่าไคกำลังสอง (Chi – Square) และการทดสอบโคลโน่กอฟ – สเมียรอนอฟ (Kolmogorov – Smirnov) ซึ่งเป็นวิธีการเปรียบเทียบค่าพังก์ชันการแจกแจงสะสม (Cumulative Distribution Function) ของตัวอย่างกับ CDF ของการแจกแจงที่เหมาะสม การทดสอบไคกำลังสอง (Chi-square Test) และการทดสอบโคลโน่กอฟ-สเมียรอนอฟ (Kolmogolov-Smirnov Test) ซึ่งการทดสอบทั้ง 2 ชนิด เป็นการทดสอบที่ใช้พารามิเตอร์ การทดสอบการแจกแจงนี้เรียกว่า การทดสอบภาวะเข้ารูปสนิทดี (Goodness-of-Fit Test) การทดสอบไคกำลังสองมีข้อจำกัดในเรื่องของความถี่และระดับของข้อมูล กล่าวคือความถี่ที่ควรจะเป็นจะต้องไม่ต่ำกว่า 5 และจำนวนกลุ่มของข้อมูลจะต้องไม่น้อยกว่า 2 ชั้น

เนื่องจากข้อมูลไม่มีความหลากหลายประเททมีลักษณะการแจกแจงแบบค่าปลายสุด (Extreme-valued distributions) จึงไม่สามารถใช้โปรแกรมวิเคราะห์ทางสัตติทั่วไป ดังนั้นงานวิจัยนี้ได้พัฒนาซอฟต์แวร์ CESTTEST (Civil Engineering Statistical Test) [12] เพื่อหาคุณสมบัติทางสัตติของข้อมูลทางวิศวกรรมของไม้ดังต่อไปนี้

คุณสมบัติทางวิศวกรรมของไม้จามจุรีจำนวน 11 ชนิด ประกอบด้วย 1. แรงอัดชนานาเสียง (ปฐมภูมิ)² (Compression Parallel to Grain) แรงอัดชนานาเสียง (ทุติยภูมิ)³ โมดูลัสยืดหยุ่น (ปฐมภูมิ)² (Modulus of Elasticity) โมดูลัสยืดหยุ่น (ทุติยภูมิ)³ 2. แรงอัดตั้งจากเสียง (Compression Perpendicular to Grain) 3. การทดสอบแรงตัด (ปฐมภูมิ)² ประกอบด้วยโมดูลัสยืดหยุ่น (Modulus of Elasticity; MOE) โมดูลัสแตกหัก (Modulus of Rupture; MOR) การทดสอบแรงตัด (ทุติยภูมิ)³ ประกอบด้วยโมดูลัสยืดหยุ่น (Modulus of Elasticity ; MOE) โมดูลัสแตกหัก (Modulus of Rupture ; MOR) 4. แรงดึงในแนวชนานาเสียง (Tension Parallel to Grain) 5. แรงดึงในแนวตั้งจากเสียง (Tension Perpendicular to Grain) 6. แรงเฉือนชนานาเสียง (Shear Parallel to Grain) 7. การทดสอบการฉีกขาด ของไม้ (Cleavage) 8. ความเหนียว (Toughness) 9. การทดสอบความแข็งของไม้ (Hardness) ชนานาเสียง (Parallel to Grain) สมผัสเสียง (Tangent to Grain) ตั้งจากเสียง (Perpendicular to Grain) 10. การทดสอบความถ่วงจำเพาะ (Specific Gravity) ปริมาตรการหดตัว % (Shrinkage in Volume)

ปริมาณความชื้น % (Moisture Content) ความหนาแน่น (Density) 11.การทดสอบการหดตัวในแนวสัมผัส % (Tangential Shrinkage) และการหดตัวในแนวรัศมี % (Radial Shrinkage)

๗. 2 การวิเคราะห์ค่าทางสถิติของไม้จามจุรี

๗. 2.1 การทดสอบแรงอัดขานาเสียน

แรงอัดขานาเสียน (ปั๊มน้ำมัน)² (Compression Parallel to Grain)

ของไม้จามจุรีจำนวน 130 ตัวอย่าง แสดงในตารางที่ ๗. ๑

ตารางที่ ๗. ๑ แรงอัดขานาเสียน (ปั๊มน้ำมัน)² ของไม้จามจุรี

307.10	314.90	282.80	321.70	266.30	257.60	351.00	276.98	293.10	332.30
290.80	269.00	196.70	246.72	351.60	254.80	259.50	319.30	239.90	219.30
291.30	323.60	302.60	249.30	220.00	297.10	256.83	299.40	260.50	137.60
288.40	284.10	272.40	343.10	187.70	281.80	220.80	227.40	150.70	213.50
255.40	332.30	290.80	265.40	309.70	303.00	277.00	300.10	328.60	270.10
306.70	265.70	196.90	275.10	319.70	296.50	260.80	277.20	222.00	304.70
342.70	237.70	292.70	311.83	224.80	364.80	371.70	285.20	368.10	288.70
231.70	277.60	571.90	210.50	257.20	287.30	238.30	341.60	257.90	316.30
387.80	297.00	223.30	205.90	285.00	315.00	283.50	210.90	270.30	472.60
344.00	326.60	248.20	298.70	305.10	285.00	229.60	223.80	300.30	240.10
167.60	289.20	254.40	265.60	145.20	274.00	251.60	227.80	290.90	280.30
312.20	282.60	288.60	253.00	240.70	283.30	252.00	237.20	274.40	262.20
266.80	160.50	233.00	286.40	259.00	272.70	231.50	248.20	249.10	271.30

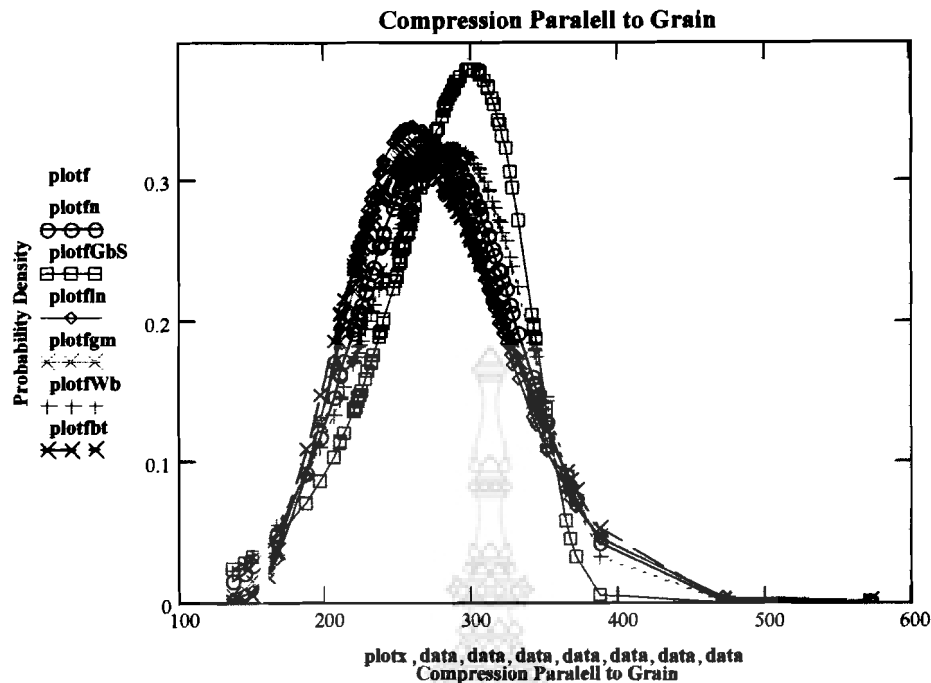
จากการวิเคราะห์ด้วยซอฟต์แวร์ CESTTEST พบว่าค่าเฉลี่ย และส่วนเบี่ยงเบนมาตรฐานเป็น 275.84 และ 55.63 กก./ซม.² ตามลำดับโดยจะเห็นว่าจำนวนข้อมูล 130 ตัวอย่าง มีจำนวนมากกว่า ข้อมูลที่ต้องการ N_{req} ซึ่งมีค่าเท่ากับ 108 สำหรับช่วงแห่งความเชื่อมั่นร้อยละ 99 ($t=2.567$) นอกจากนั้น ซอฟต์แวร์ CESTTEST ได้แนะนำให้มีการแบ่งช่วงข้อมูลออกเป็น 6 ชั้น โดยมีรีติจาร์ดช่วงและความถี่ จากค่าสังเกตในแต่ละช่วงซึ่งมีค่าวิกฤติสำหรับระดับรั้งเสรี (Degree of Freedom, f) เท่ากับ $6-3 = 3$ ที่ระดับความเชื่อมั่น $\alpha = 0.95$ มีค่าเท่ากับ 7.814 ค่าความถี่จากข้อมูลเมื่อเปรียบเทียบค่าความถี่ที่คำนวณจากความถี่จากการแจกแจงที่ผ่านการทดสอบไปกำลังสอง มี 3 ชนิด ได้แก่ การแจกแจงต่ำสุดชนิดที่สามแบบไบบูล์ส์ การแจกแจงปกติ และการแจกแจงชนิดที่หนึ่งค่าต่ำสุดแบบกุมเบล แสดงในตารางที่ ๗. ๒

ตารางที่ จ.2 การเปรียบเทียบความถี่ของข้อมูลเทียบกับความถี่ที่ได้จากการแจกแจงที่ผ่านการทดสอบไคกำลังสอง สำหรับค่าแรงอัดหนานเดี้ยน (ปฐมภูมิ)² ของไม้จามจุรี

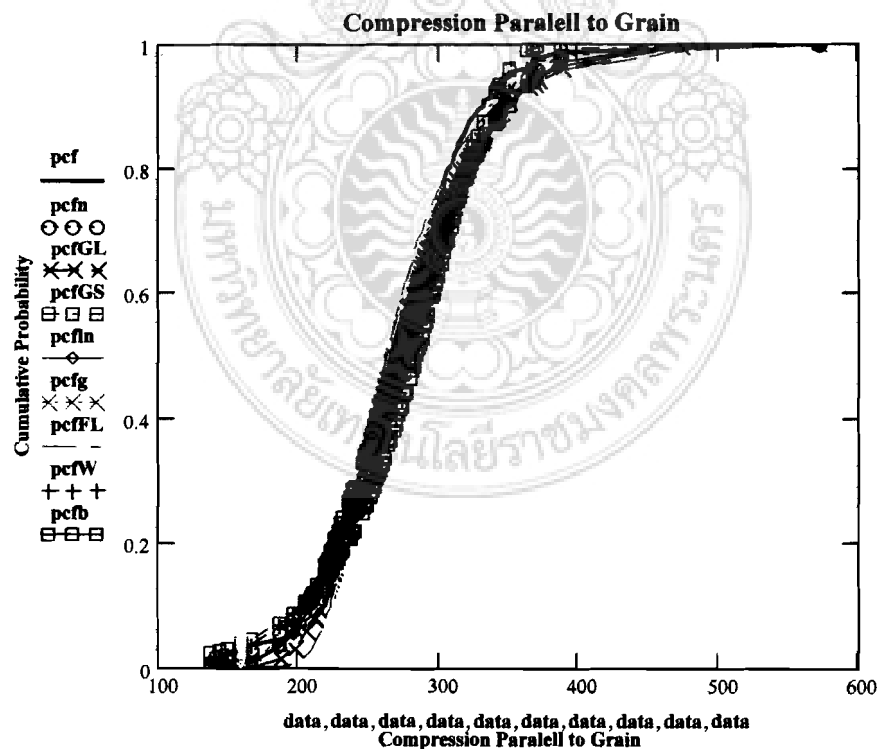
ขั้นที่	กำลังแรงอัตต์ (ksc)	ความถี่จากข้อมูล	ความถี่
1	137.55 -178	5	-
2	178 - 223	11	-
3	223 - 268	40	-
4	268 - 313	51	-
5	313 - 358	17	-
6	358 - 571.945	6	-
Chi-Square Error			-
ค่าวิกฤติ 7.814			

จากการทดสอบ K-S (Kolmogorov-Smirnov Test) พบร่วมกับความแตกต่างสูงสุด (Maxdif) มี 5 ชนิด เป็นการแจกแจงแกนมา การแจกแจงลอกปกติ การแจกแจงบีตา การแจกแจงปรกติและการแจกแจงค่าสูงสุดชนิดที่หนึ่งแบบกุมเบล มีค่าเท่ากับ 0.073, 0.080, 0.086, 0.087 และ 0.091 ซึ่งให้ค่าต่ำกว่าเมื่อเปรียบเทียบกับค่าวิกฤติเท่ากับ 0.119

จะเห็นได้ว่าค่ากำลังรับแรงอัตต์ในแนวขานานเดี้ยนของไม้จามจุรี ไม่มีการแจกแจงชนิดใดมีค่าความคลาดเคลื่อนต่ำกว่าค่าวิกฤตจากการทดสอบไคกำลังสอง ในขณะที่การแจกแจงแกนมา มีค่าความคลาดเคลื่อนจากการทดสอบ K-S ต่ำที่สุด จึงอาจกล่าวได้ว่าการแจกแจงแกนมา มีภาวะเข้ารูปสนิทกับข้อมูลมากที่สุด เมื่อจากให้ความคลาดเคลื่อนน้อยที่สุดและมีค่าน้อยกว่าค่าวิกฤต จากการทดสอบ K-S ในขณะที่การแจกแจงลอกปกติ การแจกแจงบีตา การแจกแจงปรกติและการแจกแจงค่าสูงสุดชนิดที่หนึ่งแบบกุมเบล สามารถยอมรับให้ใช้แทนข้อมูลได้ เมื่อจากมีความคลาดเคลื่อนน้อยกว่าค่าวิกฤตทั้งสองการทดสอบและจากภาพแสดงความสอดคล้องระหว่างข้อมูล ค่ากำลังรับแรงอัตต์ในแนวขานานเดี้ยนชนิดปฐมภูมิ ของไม้จามจุรีที่ผ่านการทดสอบภาวะเข้ารูปสนิทไคกำลังสองและการทดสอบ K-S สามารถแสดงได้ในรูปที่ จ.1 และ จ.2 ตามลำดับ



รูปที่ ๑.๑ การเปรียบเทียบระหว่างความถี่สัมพัทธ์ของค่าแรงอัดข่านเสี้ยน (ปฐมภูมิ^2) ของไม้จามจุรีกับพังก์ชันความหนาแน่นของความน่าจะเป็นที่ผ่านการทดสอบโดยกำลังสอง



รูปที่ ๑.๒ การเปรียบเทียบระหว่างความถี่สะสมของค่าแรงอัดข่านเสี้ยน (ปฐมภูมิ^2) ของไม้จามจุรีกับพังก์ชันการแจกแจงที่ผ่านการทดสอบ K-S

แรงอัดขนานเสียน(ทุติยภูมิ)³ (Compression Parallel to Grain)
ของไม้จำรูปจำนวน 130 ตัวอย่าง แสดงในตารางที่ จ.3

ตารางที่ จ.3 แรงอัดขนานเสียน (ทุติยภูมิ)³ ของไม้จำรูป

313.10	293.18	276.88	308.10	315.02	287.66	298.53	247.58	323.12	281.09
266.08	261.73	234.86	317.36	264.93	214.45	165.12	180.53	128.13	222.54
264.16	200.58	303.44	205.58	240.27	291.90	256.06	242.96	199.81	177.84
196.62	276.78	313.78	353.86	341.90	297.10	319.92	284.50	300.75	290.45
296.51	328.42	179.28	341.90	348.46	292.98	325.31	321.31	271.78	322.26
309.31	296.05	329.90	310.48	294.10	326.85	281.41	213.97	322.21	360.80
303.76	303.38	347.31	358.10	316.83	374.29	343.46	292.98	293.28	368.50
281.41	373.12	313.78	283.33	291.81	231.70	230.54	302.99	379.30	308.00
315.31	200.86	321.87	284.11	408.19	324.30	357.71	335.74	301.44	213.58
351.55	304.99	380.83	366.96	326.50	354.62	380.06	404.72	227.46	232.08
359.63	360.02	269.84	305.68	109.54	327.26	346.91	343.46	312.62	309.92
269.46	341.14	178.51	141.52	350.00	377.74	190.85	308.38	259.06	363.49
322.26	288.74	297.66	341.14	311.86	343.46	340.37	304.14	322.03	346.14

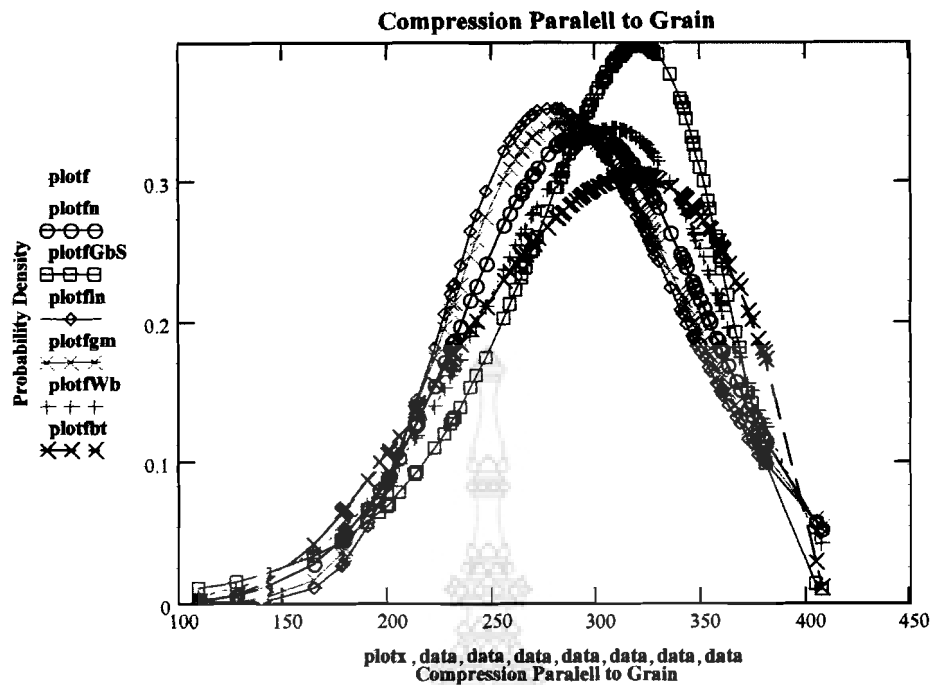
จากการวิเคราะห์ด้วยซอฟต์แวร์ CESTTEST พบว่าค่าเฉลี่ย และส่วนเบี่ยงเบนมาตรฐานเป็น 295.116 และ 58.314 กก./ซม.² ตามลำดับ โดยจะเห็นว่าจำนวนข้อมูล 130 ตัวอย่างมีจำนวนมากกว่า ข้อมูลที่ต้องการ N_{req} ซึ่งมีค่าเท่ากับ 104 สำหรับช่วงแห่งความเชื่อมั่นร้อยละ 99 ($t=2.567$) นอกจากนั้น ซอฟต์แวร์ CESTTEST ได้แนะนำให้มีการแบ่งช่วงข้อมูลออกเป็น 6 ชั้น โดยมีรีตจำกัดช่วงและความถี่ จากค่าสังเกตในแต่ละช่วง ซึ่งมีค่าวิกฤติสำหรับระดับชั้นเสรี (Degree of Freedom, f) เท่ากับ 6-3=3 ที่ระดับความเชื่อมั่น $\alpha = 0.95$ มีค่าเท่ากับ 7.814 ค่าความถี่จากข้อมูลเมื่อเปรียบเทียบค่าความถี่ที่คำนวนจากความถี่จากการแยกช่วงที่ผ่านการทดสอบไปกำลังสอง 1 ชนิดได้แก่การแยกช่วงชนิดที่หนึ่งค่าต่ำสุดแบบกุมเบล แสดงในตารางที่ จ.4

ตารางที่ ๔. การเปรียบเทียบความถี่ของข้อมูลเทียบกับความถี่ที่ได้จากการแจกแจงที่ผ่านการทดสอบไคกำลังสอง สำหรับค่าແเรอัคชันนิสต์ (ทุติยภูมิ)³ ของนิจามวี

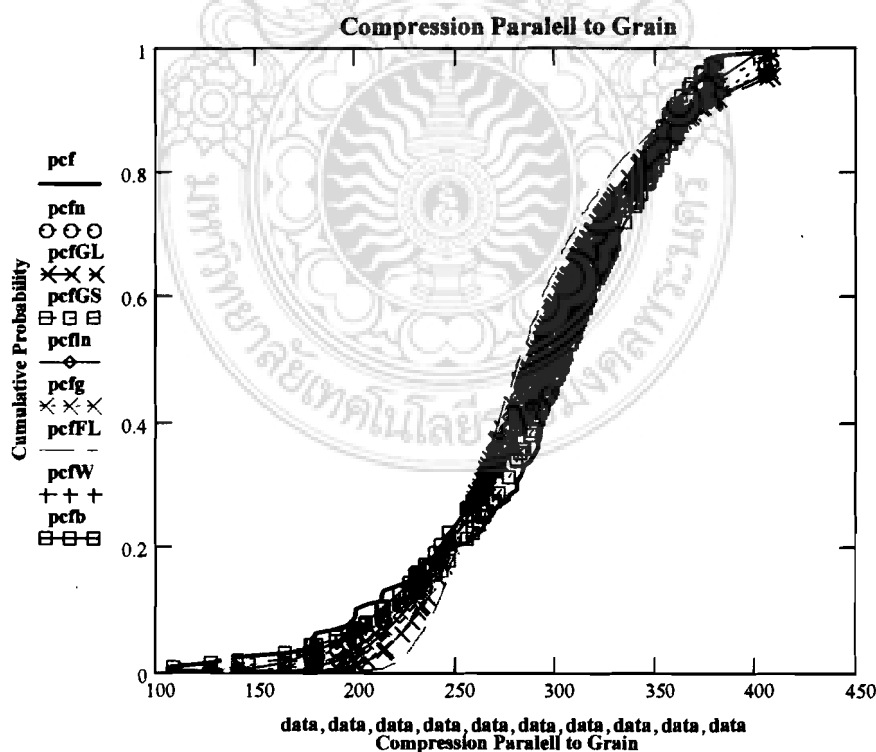
ขั้นที่	กำลังแรหด (ksc)	ความถี่จากข้อมูล	ความถี่
1	109.49 -179	6	5.565
2	179 - 228.25	13	10.179
3	228.25 - 277.5	18	25.462
4	277.5 - 326.75	56	46.633
5	326.75 - 376	31	37.496
6	376 -408.23	6	4.521
Chi-Square Error ผาเริกฤติ 7.814			6.494

จากการทดสอบ K-S (Kolmogorov - Smirnov Test) พบร่วมค่าความแตกต่างสูงสุด (Maxdif) มี 3 ชนิดการแจกแจงชนิดที่หนึ่งค่าต่ำสุดแบบกุมเบล การแจกแจงต่ำสุดชนิดที่สามแบบไวนูล์ และการแจกแจงปีต้ามีค่าเป็น 0.051, 0.089 และ 0.097 ซึ่งให้ค่าต่ำกว่าเมื่อเปรียบเทียบกับค่าวิกฤติเท่ากับ 0.119

จะเห็นได้ว่าค่ากำลังรับແเรอัคชันนิสต์ของนิจามวี มีการแจกแจงชนิดที่หนึ่งค่าต่ำสุดแบบกุมเบลมีค่าต่ำกว่าค่าวิกฤติที่ได้จากการทดสอบไคกำลังสอง ในขณะที่การแจกแจงชนิดที่หนึ่งค่าต่ำสุดแบบกุมเบล มีค่าความคลาดเคลื่อนต่ำกว่าค่าวิกฤตจากการทดสอบ K-S เป็นเดียวกัน จึงอาจกล่าวได้ว่าการแจกแจงชนิดที่หนึ่งค่าต่ำสุดแบบกุมเบลมีภาวะเข้ารูปสนใจกับข้อมูลมากที่สุด เนื่องจากให้ความคลาดเคลื่อนน้อยที่สุดและมีค่าน้อยกว่าค่าจากการทดสอบ K-S ในขณะที่การแจกแจงต่ำสุดชนิดที่สามแบบไวนูล์ และการแจกแจงปีต้าสามารถยอมรับให้ใช้แทนข้อมูลได้ เนื่องจากมีความคลาดเคลื่อนน้อยกว่าค่าวิกฤตทั้งสองการทดสอบและจากการทดสอบพบความสอดคล้องระหว่างข้อมูลค่ากำลังรับແเรอัคชันนิสต์ (ทุติยภูมิ³) ของนิจามวีที่ผ่านการทดสอบภาวะเข้ารูปไคกำลังสองและการทดสอบ K-S สามารถแสดงได้ในรูปที่ ๔.๓ และ ๔.๔ ตามลำดับ



รูปที่ 4.3 การเปรียบเทียบระหว่างความถี่สัมพัทธ์ของแรงอัดข้าน้ำเสี้ยน (ทุติยภูมิ)³ ของไม้
จำรูญกับฟังก์ชันความหนาแน่นของความน่าจะเป็นที่ผ่านการทดสอบໄค์กำลังสอง



รูปที่ 4.4 การเปรียบเทียบระหว่างความถี่สะสมของค่าแรงอัดข้าน้ำเสี้ยน (ทุติยภูมิ)³
ของไม้จำรูญกับฟังก์ชันการแจกแจงที่ผ่านการทดสอบ K-S

แรงอัคขนานเสียน (ปฐมภูมิ)² ใช้ค่าโมดูลัสยืดหยุ่น (Modulus of Elasticity) ของไม้จำรีจำนวน 130 ตัวอย่าง แสดงในตารางที่ ๔.๕

ตารางที่ ๔.๕ แรงอัคขนานเสียน สำหรับค่าโมดูลัสยืดหยุ่น (ปฐมภูมิ)² ของไม้จำรี

17959.06	21277.03	16346.82	22496.50	22107.84	13010.10	18670.21	16127.88	19410.60	22924.37
17518.07	24234.23	16529.41	14944.29	23010.53	22156.52	19222.22	23137.68	16544.83	19756.76
20552.63	22013.61	17291.43	18604.48	15172.41	22766.36	14510.17	20722.22	23258.93	16000.00
13771.43	20586.96	19934.07	24834.78	27202.90	19569.44	23741.94	22969.70	17688.78	23206.52
20404.76	21861.84	22509.80	17693.33	24776.00	21562.50	22156.86	21649.57	23876.29	21267.72
24934.96	10219.23	25571.43	16877.30	21172.19	21164.06	18237.76	21160.31	12613.64	17511.49
20158.82	13429.38	21681.48	19930.89	14887.42	21158.62	22043.10	19013.33	26292.86	26486.24
13981.04	13475.73	23840.24	16445.31	10329.32	20970.80	14530.49	21757.96	20148.44	19404.91
23791.41	25826.09	13787.44	19995.15	16473.99	21575.34	17608.70	13389.16	23710.53	22317.92
20975.61	21317.83	17356.64	17993.98	18833.33	20212.77	17197.49	16993.75	13527.03	11712.20
16983.33	22593.75	12848.48	15532.16	14823.92	11464.44	16025.48	13890.24	22186.92	15532.16
14823.92	15464.44	16025.48	13890.24	22186.92	17302.47	20272.73	17024.10	18150.94	12047.62
14587.88	15826.82	12115.38	16733.03	17703.23	15068.97	14191.49	13275.51	14562.50	19351.35

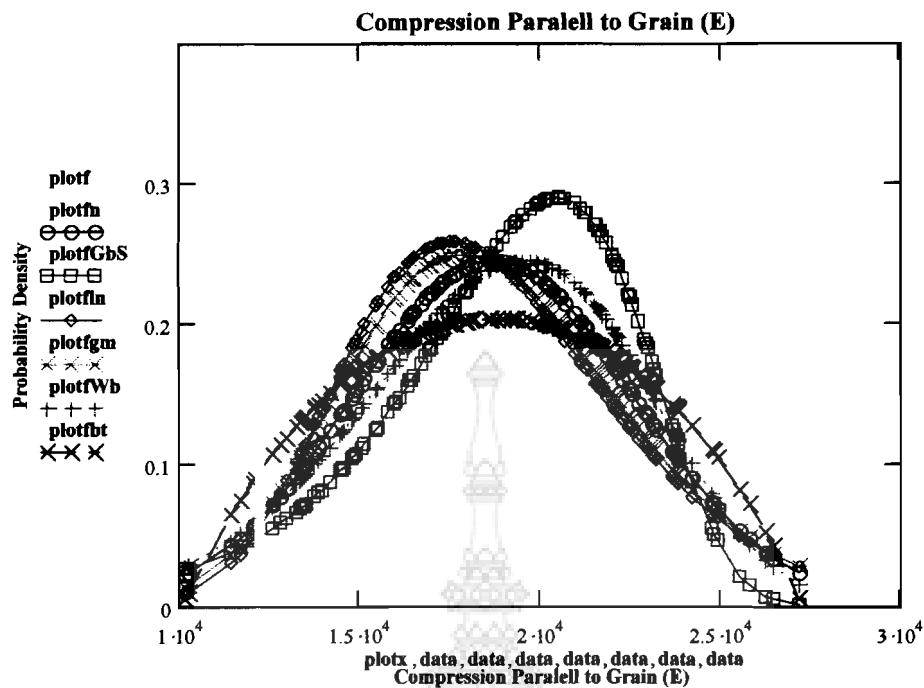
จากการวิเคราะห์ด้วยซอฟต์แวร์ CESTTEST พบว่าค่าเฉลี่ย และส่วนเบี่ยงเบนมาตรฐานเป็น 1.874×10^4 และ 3.899×10^3 กก./ซม.² ตามลำดับ โดยจะเห็นว่าจำนวนชิ้นมูล 130 ตัวอย่างมีจำนวนมากกว่าชิ้นมูลที่ต้องการ N_{req} ซึ่งมีค่าเท่ากับ 115 สำหรับช่วงแห่งความเรื่องมั่นร้อยละ 99 ($t=2.567$) นอกจากนั้นซอฟต์แวร์ CESTTEST ได้แนะนำให้มีการแบ่งชิ้นมูลออกเป็น 7 ชิ้น โดยมีชีดจำกัดช่วงและความถี่จากค่าสังเกตในแต่ละช่วง ซึ่งมีค่าวิกฤติสำหรับระดับชิ้นเสรี (Degree of Freedom, f) เท่ากับ $7-3 = 4$ ที่ระดับความเชื่อมั่น $\alpha = 0.95$ มีค่าเท่ากับ 9.487 ค่าความถี่จากชิ้นมูลเมื่อเปรียบเทียบค่าความถี่ที่คำนวณจากความถี่จากการแยกแจงที่ผ่านการทดสอบไปกำลังสองมี 1 ชนิด ได้แก่ การแยกแจงเป็นตาแสลงในตารางที่ ๔.๖

ตารางที่ จ.6 การเปรียบเทียบความถี่ของข้อมูลเทียบกับความถี่ที่ได้จากการแจกแจงที่ผ่านการทดสอบไคกำลังสอง สำหรับแรงอัดข้านานเสี้ยนใช้ค่าโมดูลส์ยีดหยุ่น (ปฐมภูมิ)² ของไม้จำรูญ

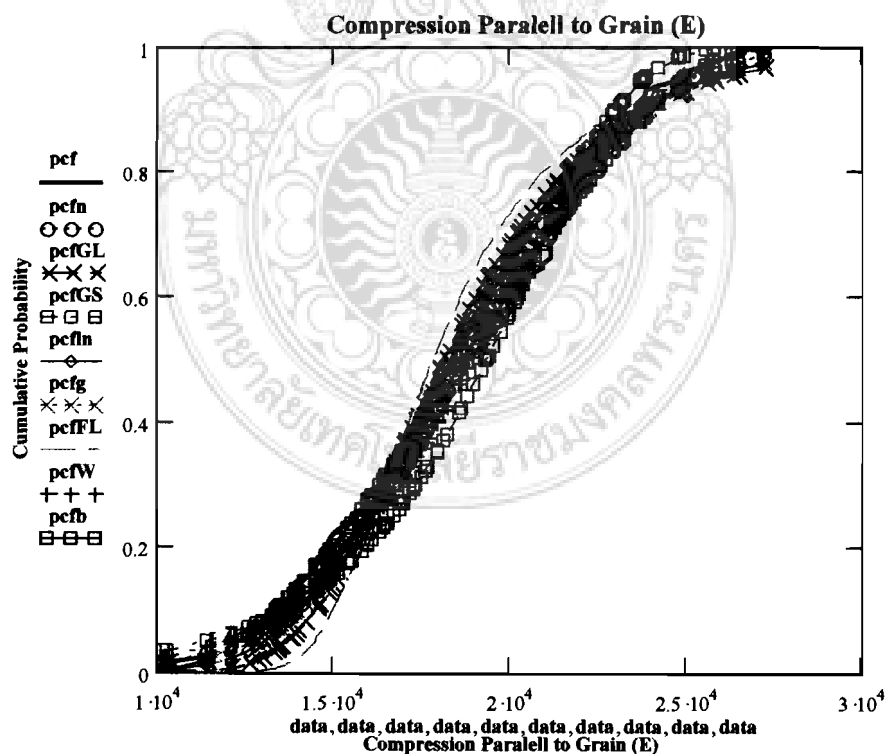
ขั้นที่	กำลังแรงดัน $\times 10^4$ (ksc)	ความถี่จากข้อมูล	ความถี่ Beta
1	1.021 – 1.27	7	8.292
2	1.27 – 1.51	22	18.606
3	1.51 – 1.75	23	24.407
4	1.75 – 1.99	20	26.377
5	1.99 – 2.23	33	24.629
6	2.23 – 2.47	17	18.99
7	2.47 – 2.72	8	8.022
Chi-Square Error			5.555
ค่าวิกฤติ 9.487			

จากการทดสอบ K-S (Kolmogorov-Smirnov Test) พบว่าค่าความแปรปรวนสูงสุด (Maxdif) มี 5 ชนิดเป็น การแจกแจงแบบบีต้า การแจกแจงแบบปกติ การแจกแจงต่ำสุดชนิดที่สามแบบไนนูลล์ การแจกแจงแบบแกรมมา และการแจกแจงแบบลอกปีร์กติ มีค่าเป็น 0.040, 0.071, 0.072, 0.086 และ 0.095 ซึ่งให้ค่าต่ำกว่าเมื่อเปรียบเทียบกับค่าวิกฤติเท่ากัน 0.119 ตามลำดับ.

จะเห็นได้ว่าค่าโมดูลส์ยีดหยุ่นของกำลังรับแรงอัดในแนวข้านานเสี้ยนของไม้จำรูญ การแจกแจงบีต้ามีค่าความคลาดเคลื่อนจากการทดสอบไคกำลังสองต่ำที่สุด ในขณะที่การแจกแจงแบบบีต้ามีค่าความคลาดเคลื่อนจากการทดสอบ K-S ต่ำที่สุดเป็นเดียวกัน จึงอาจกล่าวได้ว่าการแจกแจงแบบบีต้ามีภาวะเข้ารูปสนใจกับข้อมูลมากที่สุดเนื่องจากให้ความคลาดเคลื่อนน้อยที่สุดและมีค่าน้อยกว่าค่าวิกฤติ จากการทดสอบ K-S ในขณะที่การแจกแจงแบบปกติ การแจกแจงต่ำสุดชนิดที่สามแบบไนนูลล์ การแจกแจงแบบแกรมมา และการแจกแจงแบบลอกปีร์กติ ก็สามารถยอมรับให้เป็นแทนข้อมูลได้ เนื่องจากมีความคลาดเคลื่อนน้อยกว่าค่าวิกฤติทั้งสองการทดสอบ และจากการทดสอบพบว่าค่าโมดูลส์ยีดหยุ่นของไม้จำรูญที่ผ่านการทดสอบภาวะเข้ารูปสนใจกำลังรับแรงอัดข้านานเสี้ยน สำหรับค่าโมดูลส์ยีดหยุ่นของไม้จำรูญที่ผ่านการทดสอบภาวะเข้ารูปสนใจกำลังสองและการทดสอบ K-S สามารถแสดงได้ในรูปที่ จ.5 และ จ.6 ตามลำดับ



รูปที่ จ.5 การเปรียบเทียบระหว่างความถี่สัมพัทธ์ของค่าไมดูลัสยีดหยุ่น ($\text{ปอนด์}/\text{นิ้ว}^2$) ของไม้
จำรูป กับพังก์ชันความหนาแน่นของความน่าจะเป็นที่ผ่านการทดสอบภาคกำลังสอง



รูปที่ จ.6 การเปรียบเทียบระหว่างความถี่สะสมของค่าไมดูลัสยีดหยุ่น ($\text{ปอนด์}/\text{นิ้ว}^2$)
กับพังก์ชันการแจกแจงที่ผ่านการทดสอบ K-S

แรงอัดข้านานเสียน (ทุติยภูมิ)³ ใช้ค่าโมดูลัสยืดหยุ่น (Modulus of Elasticity) ของไม้จามจุรีจำนวน 130 ตัวอย่าง แสดงในตารางที่ ๑.๗

ตารางที่ ๑.๗ สำหรับค่าโมดูลัสยืดหยุ่น (ทุติยภูมิ)³ ของไม้จามจุรี

5191.68	5253.98	3607.16	5362.70	3592.06	6809.22	5583.77	3219.63	5362.33	3242.08
4334.34	5772.02	4888.86	5323.14	4623.05	5953.08	4510.70	5309.12	3376.24	4346.30
5567.15	5913.89	3816.86	6320.36	5237.17	4302.08	5217.00	6144.95	5256.53	5230.59
4359.73	4604.75	3349.47	4012.31	5975.71	2293.91	3990.00	4213.69	5772.59	4359.49
4478.14	5547.57	2133.33	5381.94	4891.62	5385.11	5459.87	4807.00	5305.81	5633.79
3996.02	5277.26	6688.62	5294.58	5983.48	5714.98	6849.68	5504.93	5411.89	4626.73
3547.29	5800.83	4176.00	4971.37	4408.35	4994.62	5698.06	5024.41	5117.83	4705.67
2141.61	2245.01	5429.50	6317.19	6717.33	5535.22	5459.14	6581.38	5747.91	5556.34
5334.94	6679.05	5754.07	4743.02	2286.79	6429.28	6752.63	5905.47	3629.41	4739.81
5829.09	5542.07	6221.89	4882.81	5904.88	4698.39	4859.41	6662.63	4703.79	6441.49
2198.24	4629.03	5490.83	5459.79	3620.84	4037.76	3374.48	4441.28	5308.05	6084.02
6564.79	4481.27	5931.21	4347.81	4726.69	2278.31	5871.85	4301.75	5343.65	5757.68
4593.75	5920.42	5977.23	4447.33	5518.29	4821.08	5547.13	5172.49	4846.51	5583.46

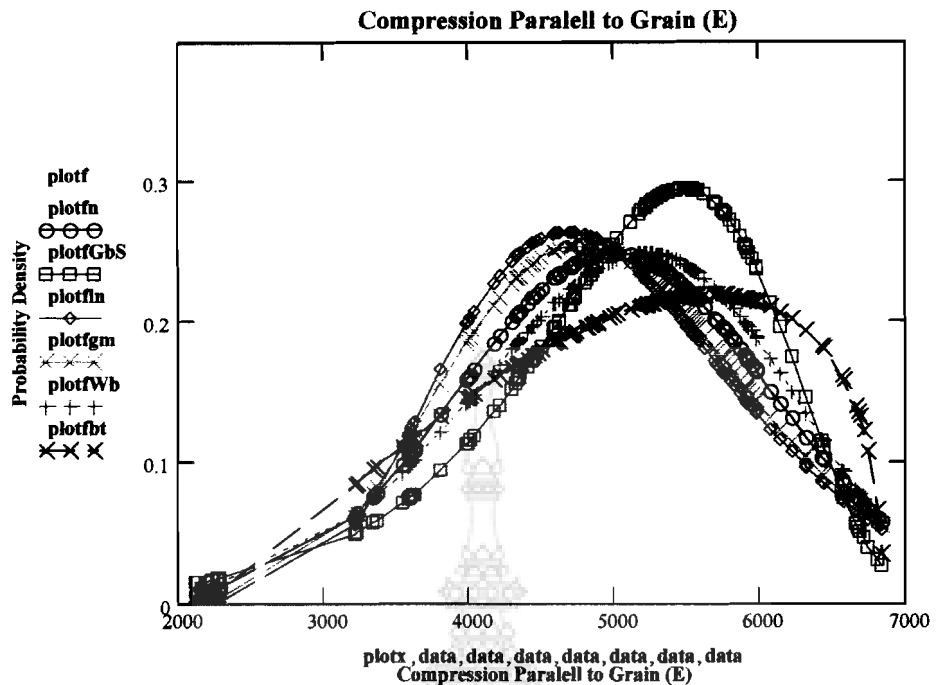
จากการวิเคราะห์ด้วยซอฟต์แวร์ CESTTEST พบว่าค่าเฉลี่ย และส่วนเบี่ยงเบนมาตรฐานเป็น 5.001×10^3 และ 1.074×10^3 กก./ซม.² ตามลำดับ โดยจะเห็นว่าจำนวนชั้นมูล 130 ตัวอย่าง มีจำนวนมากกว่าชั้นมูลที่ต้องการ (t_{req}) ซึ่งมีค่าเท่ากับ 122 สำหรับช่วงแห่งความเชื่อมั่นร้อยละ 99 ($t=2.567$) นอกจากนั้นซอฟต์แวร์ CESTTEST ได้แนะนำให้มีการแบ่งช่วงชั้นมูลออกเป็น 7 ชั้น โดยมีรีดจำกัดช่วงและความถี่จากค่าสังเกตในแต่ละช่วง ซึ่งมีค่าวิกฤติสำหรับระดับชั้นเสรี (Degree of Freedom, f) เท่ากับ 7-3=4 ที่ระดับความเชื่อมั่น $\alpha = 0.95$ มีค่าเท่ากับ 9.487 ค่าความถี่จากชั้นมูลเมื่อเปรียบเทียบค่าความถี่ที่คำนวณจากความถี่จากการแจกแจงที่ผ่านการทดสอบไปกำลังสองมี 2 ชนิด ได้แก่ การแจกแจงชนิดที่หนึ่งค่าสูงสุดแบบกุมเบล และการแจกแจงตัวสุคันธิตที่สามแบบไวนบูล์ แสดงในตารางที่ ๑.๘

ตารางที่ จ.8 การเปรียบเทียบความถี่ของข้อมูลเทียบกับความถี่ที่ได้จากการแจกแจงที่ผ่านการทดสอบไคกำลังสอง แรงอัดขนานาเสี้ยนสำหรับค่าไมครูลัสยีดหยุ่น (ทุติยภูมิ)³ ของไม้จามจุรี

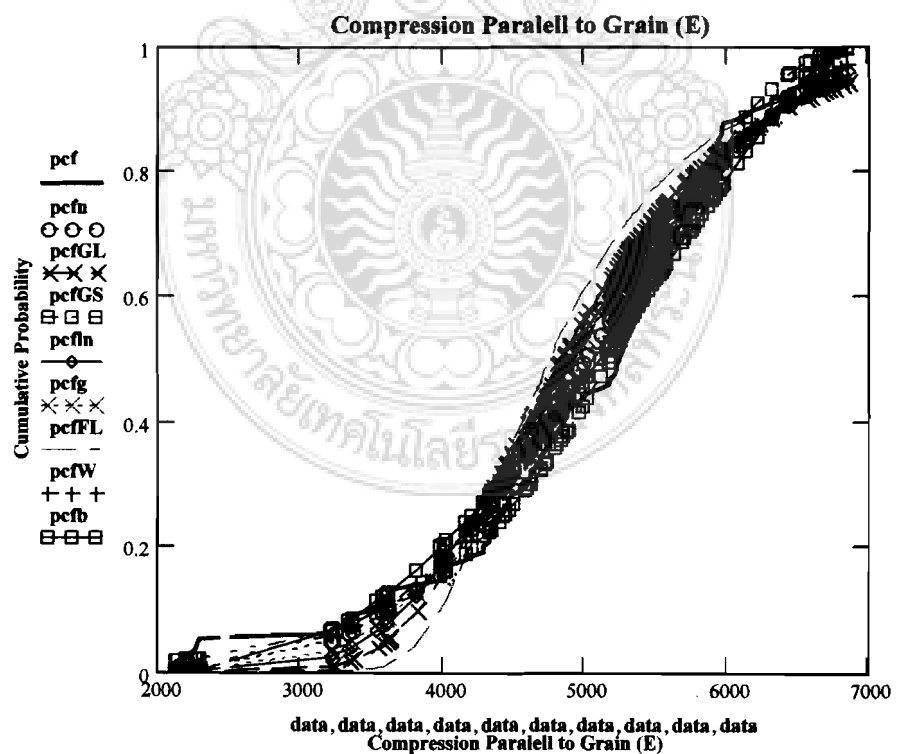
รั้นที่	กำลังรับแรงซัด $\times 10^3$ (ksc)	ความถี่จากข้อมูล	ความถี่ Gumbel	ความถี่ Weibull
1	2.132 – 2.81	7	5.192	3.723
2	2.81 – 3.482	5	6.108	7.695
3	3.482 – 4.154	10	12.572	16.032
4	4.154 – 4.826	28	23.456	26.085
5	4.826 – 5.498	34	35.318	31.825
6	5.498 – 6.17	32	33.693	26.792
7	6.17 – 6.85	14	20.342	17.834
Chi-Square Error ค่ากิกติ 9.488			2.474	7.399

จากการทดสอบ K-S (Kolmogorov-Sminov Test) พบร่วมกับความแตกต่างสูงสุด (Maxdif) มี 4 ชนิดเป็นการแจกแจงค่าสูงสุดชนิดที่หนึ่งแบบกุมเบล การแจกแจงต่ำสุดชนิดที่สามแบบไวบูล์ การแจกแจงบีตาและการแจกแจงปрагติ มีค่าเป็น 0.049, 0.076, 0.095 และ 0.100 ซึ่งให้ค่าต่ำกว่าเมื่อเปรียบเทียบกับค่าวิกฤติเท่ากับ 0.119 ตามลำดับ

จะเห็นได้ว่าค่าไมครูลัสยีดหยุ่นชนิดทุติยภูมิของกำลังรับแรงอัดในแนวขนานาเสี้ยนของไม้จามจุรี การแจกแจงค่าสูงสุดชนิดที่หนึ่งแบบกุมเบล มีความคลาดเคลื่อนจากการทดสอบไคกำลังสองต่ำที่สุดในขณะที่การแจกแจงค่าสูงสุดชนิดที่หนึ่งแบบกุมเบล มีความคลาดเคลื่อนจากการทดสอบ K-S ต่ำที่สุดเช่นเดียวกัน จึงอาจกล่าวได้ว่าการแจกแจงค่าสูงสุดชนิดที่หนึ่งแบบกุมเบล มีภาวะเข้ารูปสนิท กับข้อมูลมากที่สุดเนื่องจากให้ความคลาดเคลื่อนน้อยที่สุดและมีค่าน้อยกว่าค่าวิกฤติ จากการทดสอบ K-S ในขณะที่การแจกแจงต่ำสุดชนิดที่สามแบบไวบูล์ การแจกแจงบีตาและการแจกแจงปрагติก สามารถยอมรับให้ใช้แทนข้อมูลได้ เนื่องจากมีความคลาดเคลื่อนน้อยกว่าค่าวิกฤติทั้งสองการทดสอบ และจากกราฟแสดงความสอดคล้องระหว่างข้อมูลค่ากำลังรับแรงอัดขนานาเสี้ยน สำหรับค่าไมครูลัส ยีดหยุ่นของไม้จามจุรีที่ผ่านการทดสอบภาวะเข้ารูปสนิทไคกำลังสองและการทดสอบ K-S แสดงได้ในรูปที่ จ.7 และ จ.8 ตามลำดับ



รูปที่ จ.7 การเปรียบเทียบระหว่างความถี่สัมพัทธ์ของค่าไมโครลัสสีดหยุ่น (ทุติยภูมิ)³ ของไม้
จากจุรภัณฑ์พงษ์ชั้นความหนาแน่นของความน่าจะเป็นที่ผ่านการทดสอบได้กำลังสอง



รูปที่ จ.8 การเปรียบเทียบระหว่างความถี่สะสมของค่าไมโครลัสสีดหยุ่น (ทุติยภูมิ)³
กับพังค์ชั้นการแจกแจงที่ผ่านการทดสอบ K-S

๔.2.2 การทดสอบค่าแรงอัดตั้งจากเส้น (Compression Perpendicular to Grain)

ของไม้ตามรูปจำนวน 130 ตัวอย่าง แสดงในตารางที่ ๔.๙

ตารางที่ ๔.๙ ค่าแรงอัดตั้งจากเส้นของไม้ตามรูป

135.62	106.70	109.47	131.24	101.88	146.20	107.66	120.96	131.01	141.36
122.08	125.81	130.78	111.19	109.63	129.09	120.07	130.59	114.75	120.45
116.45	113.11	105.12	100.18	111.36	118.04	131.84	115.79	131.94	126.01
117.83	133.86	110.82	104.36	101.62	145.00	126.62	144.73	94.15	130.10
194.25	113.07	127.77	108.29	129.14	130.00	126.10	105.42	142.70	165.44
132.68	104.26	121.78	110.26	163.32	131.91	128.54	112.09	144.63	107.75
145.50	169.87	116.31	139.24	134.90	105.73	121.03	119.39	128.85	159.18
130.97	118.01	116.79	125.75	139.18	118.33	118.62	110.72	108.91	130.22
142.26	109.76	122.30	92.22	103.22	115.93	116.94	128.85	122.12	107.64
118.62	116.11	114.00	53.98	135.23	118.73	119.70	100.24	102.14	75.65
98.96	129.20	44.44	108.37	117.00	134.26	107.65	117.02	76.23	190.78
92.32	137.02	94.84	136.25	113.05	127.96	130.76	119.10	145.02	106.35
128.43	171.86	110.62	112.16	142.32	120.06	106.96	218.20	100.02	132.59

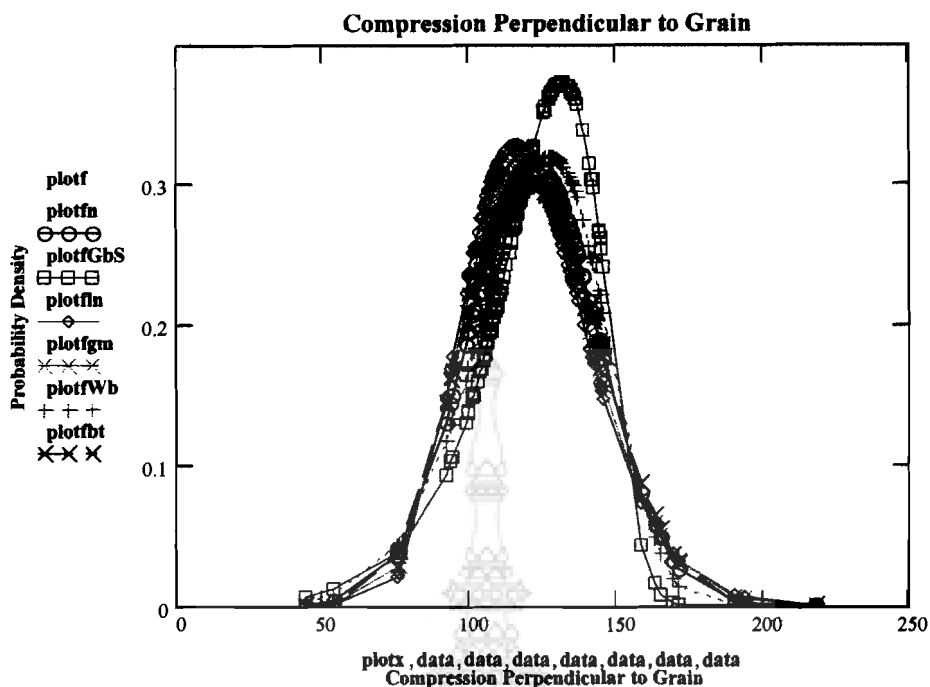
จากการวิเคราะห์ด้วยซอฟต์แวร์ CESTTEST พบว่าค่าเฉลี่ย และส่วนเบี่ยงเบนมาตรฐานมีค่าเป็น 122.060 และ 23.396 กก./ซม.² ตามลำดับ โดยจะเห็นว่าจำนวนข้อมูล 130 ตัวอย่างมีจำนวนมากกว่าข้อมูลที่ต้องการ (n_{req}) ซึ่งมีค่าเท่ากับ 89 สำหรับช่วงแห่งความเชื่อมั่นร้อยละ 99 ($t=2.567$) นอกจากนี้ซอฟต์แวร์ CESTTEST ได้แนะนำให้มีการแบ่งช่วงข้อมูลออกเป็น 6 ชั้น โดยมีขีดจำกัดช่วงและความถี่จากค่าสังเกตในแต่ละช่วง ซึ่งมีค่าิกกุติสำหรับระดับชั้นเสรี (Degree of Freedom, f) เท่ากับ $7-3=4$ ที่ระดับความเชื่อมั่น $\alpha = 0.95$ มีค่าเท่ากับ 7.814 ค่าความถี่จากข้อมูลเมื่อเปรียบเทียบค่าความถี่ที่คำนวณจากความถี่จากการแจกแจงที่ผ่านการทดสอบไปกำลังสอง พบร่วมกันว่าความถี่ของข้อมูลไม่มีการแจกแจงชนิดใดผ่านการทดสอบไปกำลังสอง แสดงในตารางที่ ๔.๑๐

ตารางที่ ๔.10 การเปรียบเทียบความถี่ของข้อมูลเทียบกับความถี่ที่ได้จากการแจกแจงที่ผ่านการทดสอบไคกำลังสอง สำหรับค่าแรงอัดตั้งจากเสียงของไม้จามจุรี

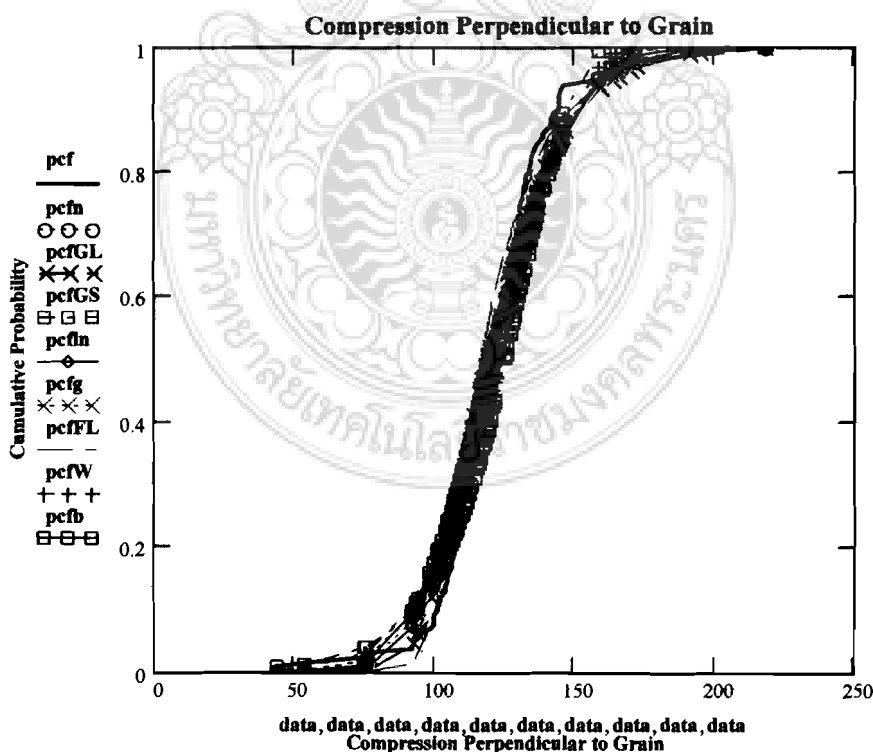
ชั้นที่	กำลังรับแรงอัด (ksc)	ความถี่จากข้อมูล	ความถี่
1	44.422 – 93	6	-
2	93 – 110.75	31	-
3	110.75 -128.5	46	-
4	128.5 – 146.25	39	-
5	146.25 – 146	2	-
6	146 – 218.217	6	-
Chi-Square Error			-
ค่าวิกฤติ 7.814			

จากการทดสอบ K-S (Kolmogorov - Smirnov Test) พบว่าค่าความแตกต่างสูงสุด (Maxdif) มี 5 ชนิดเป็นการแจกแจงชนิดที่หนึ่งแบบกุมเบล การแจกแจงลอกปกติ การแจกแจงแกมมา การแจกแจงค่าสูงสุดชนิดที่สองแบบเพรเซ็ต และการแจกแจงแบบปกติให้ค่าเป็น 0.085, 0.088, 0.093, 0.099 และ 0.110 ซึ่งให้ค่าต่ำกว่าเมื่อเปรียบเทียบกับค่าวิกฤติเท่ากับ 0.119 ตามลำดับ

จะเห็นได้ว่าค่ากำลังรับแรงอัดในแนวตั้งจากเสียงของไม้จามจุรี ไม่มีการแจกแจงชนิดใดมีค่าความคลาดเคลื่อนต่ำกว่าค่าวิกฤตจากการทดสอบไคกำลังสองต่ำที่สุด ในขณะที่การแจกแจงชนิดที่หนึ่งแบบกุมเบลมีค่าความคลาดเคลื่อนจากการทดสอบ K-S ต่ำที่สุด จึงอาจกล่าวได้ว่าการแจกแจงชนิดที่หนึ่งแบบกุมเบลมีภาวะเข้าวูปสนใจกับข้อมูลมากที่สุด เนื่องจากให้ความคลาดเคลื่อนน้อยที่สุด และมีค่าร้อยกว่าค่าวิกฤต จากการทดสอบ K-S ในขณะที่การแจกแจงลอกปกติ การแจกแจงแกมมา การแจกแจงค่าสูงสุดชนิดที่สองแบบเพรเซ็ต และการแจกแจงแบบปกติก็สามารถยอมรับให้ใช้แทนข้อมูลได้เนื่องจากมีความคลาดเคลื่อนน้อยกว่าค่าวิกฤตทั้งสองการทดสอบ และจากการแสดงความสอดคล้องระหว่างข้อมูลค่ากำลังรับแรงอัดตั้งจากเสียงของไม้จามจุรี ที่ผ่านการทดสอบภาวะเข้าวูปสนใจในการทดสอบ K-S สามารถแสดงได้ในรูปที่ ๔.9 และ ๔.10 ตามลำดับ



รูปที่ 7.9 การเปรียบเทียบระหว่างความถี่สัมพัทธ์ของค่าแรงอัดตั้งจากเสียงไม้จำจรี กับพังก์ชันความน่าแห่งของความน่าจะเป็นที่ผ่านการทดสอบโดยกำลังสอง



รูปที่ 7.10 การเปรียบเทียบระหว่างความถี่สะสมของค่าแรงอัดตั้งจากเสียงกับพังก์ชันการแจกแจงที่ผ่านการทดสอบ K-S

จ.2.3 การทดสอบแรงดั้ง (Modulus of Elasticity) MOE

การทดสอบแรงดั้งโมดูลัสยืดหยุ่น (ปฐมภูมิ) ของไม้จำชูรีจำนวน 130 ตัวอย่าง
แสดงในตารางที่ จ.11

ตารางที่ จ.11 ค่าการทดสอบแรงดั้งโมดูลัสยืดหยุ่น (ปฐมภูมิ)² ของไม้จำชูรี

52698	56009	45948	41141	48690	51459	45938	46374	52977	41286
39257	53699	51927	43895	56113	32594	53202	43269	35302	47644
43216	36288	50052	38951	60604	53647	36083	45902	40596	47147
38064	49930	53690	57807	38316	46153	60172	62360	59087	41711
26828	63089	45705	62458	56257	40144	56310	35151	59659	54154
34701	43386	45583	63244	56572	42028	52757	35758	57035	46639
67750	55287	46469	61195	69117	52252	49918	66701	65977	50505
51832	57160	40375	64596	65437	55513	50119	45147	54639	34584
48828	64628	69015	59055	60776	74095	53672	40563	31423	45877
40806	35296	70207	50967	51587	38198	47677	63462	51087	56594
50371	47476	51658	53685	53862	59942	58884	51517	53132	38548
29400	39381	58835	48124	32547	48218	75011	50117	58574	35102
60549	26725	59411	49600	48479	48312	37316	45495	51366	43046

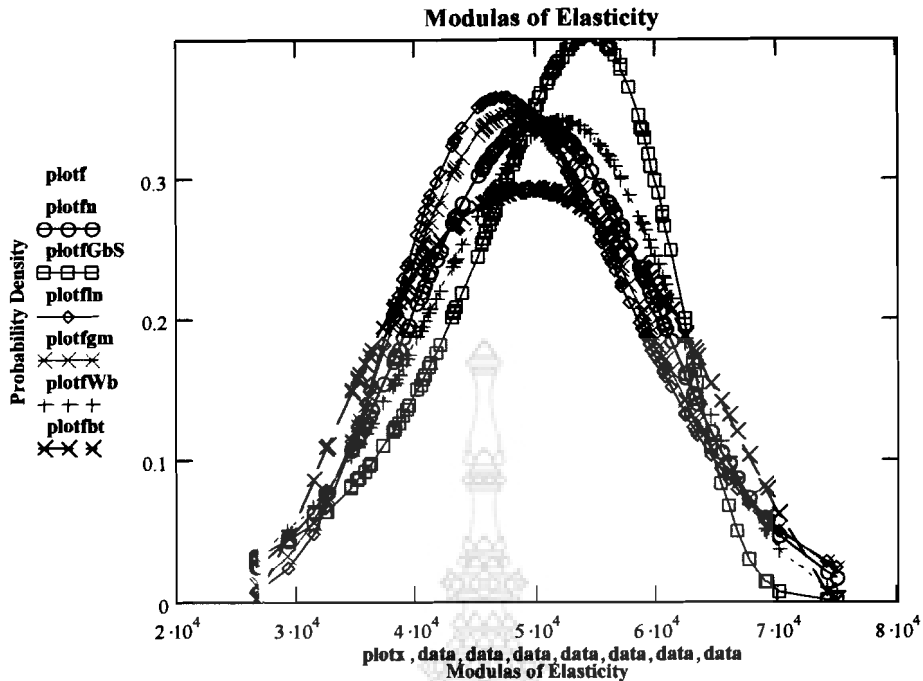
จากการวิเคราะห์ด้วยซอฟต์แวร์ CESTTEST พบว่าค่าเฉลี่ย และส่วนเบี่ยงเบนมาตรฐานเป็น 4.999×10^4 และ 1.012×10^4 กก./ซม.² ตามลำดับ โดยจะเห็นว่าจำนวนข้อมูล 130 ตัวอย่าง มีจำนวนมากกว่าข้อมูลที่ต้องการ (n_{req}) ซึ่งมีค่าเท่ากับ 109 สำหรับช่วงแห่งความเรื่องมั่นร้อยละ 99 ($t=2.639$) นอกจากนั้นซอฟต์แวร์ CESTTEST ได้แนะนำให้มีการแบ่งช่วงข้อมูลออกเป็น 6 ชั้น โดยมีชีดจำกัดช่วงและความถี่จากค่าสังเกตในแต่ละช่วง ซึ่งมีค่าวิกฤติสำหรับระดับชั้นเสรี (Degree of Freedom, f) เท่ากับ 6-3 = 3 ที่ระดับความเชื่อมั่น $\alpha=0.95$ มีค่าเท่ากับ 7.814 ค่าความถี่จากข้อมูลเมื่อเปรียบเทียบค่าความถี่ที่คำนวณจากความถี่จากการแจกแจงที่ผ่านการทดสอบไปกำลังสอง มี 4 ชนิด ได้แก่ การแจกแจงแบบบีตา การแจกแจงแบบปกติ การแจกแจงต้าสุคานิดที่สามแบบไวนูล์ และการแจกแจงแบบแกมมา แสดงในตารางที่ จ.12

ตารางที่ จ.12 การเปรียบเทียบความถี่ของข้อมูลเทียบกับความถี่ที่ได้จากการแจกแจงที่ผ่านการทดสอบไคกำลังสอง สำหรับค่าการทดสอบแรงดันไมโครลัลส์ยีดหยุ่น (ปฐมภูมิ)² ของไม้จามจุรี

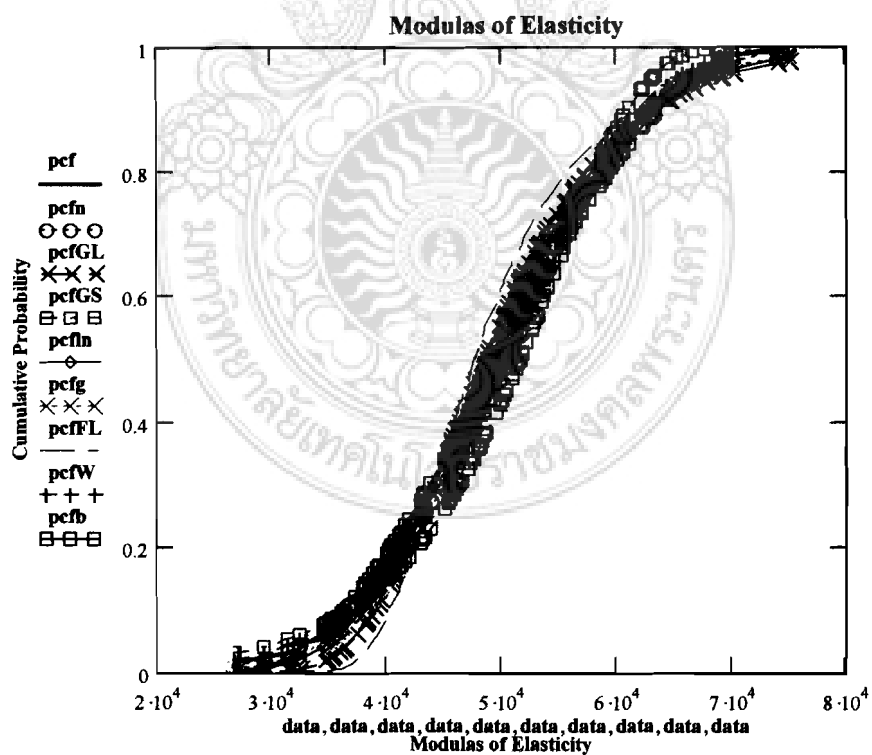
ขั้นที่	กำลังแรงดัน $\times 10^4$ (ksc)	ความถี่จากข้อมูล	ความถี่ Beta	ความถี่ normal	ความถี่ Weibull	ความถี่ Gamma
1	2.671 – 3.26	6	4.603	5.580	7.032	3.724
2	3.26 – 4.125	23	24.211	19.624	17.964	21.924
3	4.125 – 4.99	31	36.331	39.293	36.049	42.352
4	4.99 – 5.855	41	35.615	39.600	42.217	36.917
5	5.855 – 6.72	23	23.405	20.087	22.718	17.971
6	6.72 – 7.501	6	5.831	4.936	3.826	5.361
Chi-Square Error			2.092	3.063	3.543	6.420
ค่าวิกฤติ 7.814						

จากการทดสอบ K-S (Kolmogorov-Smirnov Test) พบว่าค่าความแตกต่างสูงสุด (Maxdif) มี 5 ชนิดเป็นการแจกแจงปกติ การแจกแจงค่าสูงสุดชนิดที่สองแบบเฟอร์เซ็ต การแจกแจงแบบบีตา การแจกแจงแบบแกนมา และการแจกแจงลอกปกติมีค่าเป็น 0.035, 0.051, 0.053, 0.054 และ 0.067 ซึ่งให้ค่าต่ำกว่าเมื่อเปรียบเทียบกับค่าวิกฤติเท่ากับ 0.119 ตามลำดับ

จะเห็นได้ว่าค่าไมโครลัลส์ยีดหยุ่นชนิดปฐมภูมิของกำลังรับแรงดันไม้จามจุรี การแจกแจงแบบบีตา มีความคลาดเคลื่อนจากการทดสอบไคกำลังสองต่ำที่สุด ในขณะที่การแจกแจงแบบบีตานี้ค่าความคลาดเคลื่อนจากการทดสอบ K-S ต่ำที่สุด จึงอาจกล่าวได้ว่าการแจกแจงปกติและการแจกแจงบีตา มีภาวะเข้ารูปสนิทกับข้อมูลมากที่สุด เนื่องจากให้ความคลาดเคลื่อนน้อยที่สุดและมีค่าน้อยกว่าค่าวิกฤติ จากการทดสอบ K-S ในขณะที่การแจกแจงค่าสูงสุดชนิดที่สองแบบเฟอร์เซ็ต การแจกแจงแบบบีตา การแจกแจงแบบแกนมา และการแจกแจงลอกปกติก็สามารถยอมรับให้แทนข้อมูลได้เนื่องจาก มีความคลาดเคลื่อนน้อยกว่าค่าวิกฤติทั้งสองการทดสอบ และจากราฟแสดงความสอดคล้องระหว่าง ข้อมูลค่าไมโครลัลส์ยีดหยุ่น ชนิดปฐมภูมิ ของกำลังรับแรงดัน ของไม้จามจุรีที่ผ่านการทดสอบภาวะเข้ารูป สนิทไคกำลังสอง การทดสอบ K-S สามารถแสดงได้ในรูปที่ จ.11 และ จ.12 ตามลำดับ



รูปที่ จ.11 การเปรียบเทียบระหว่างความถี่สัมพัทธ์ของค่าการทดสอบโมดูลลสีดหยุ่น(ปฐมภูมิ)² ของไม้จามจุรีกับฟังก์ชันความหนาแน่นของความน่าจะเป็นที่ผ่านการทดสอบໄค์กำลังสอง



รูปที่ จ.12 การเปรียบเทียบระหว่างความถี่สะสมของค่าการทดสอบโมดูลลสีดหยุ่น(ปฐมภูมิ)² กับฟังก์ชันการแจกแจงที่ผ่านการทดสอบ K-S

การทดสอบโมดูลัสแตกหัก(ปฐมภูมิ)² (Modulus of Rupture) MOR ของไม้จำเขียว
จำนวน 130 ตัวอย่าง แสดงในตารางที่ จ.13

ตารางที่ จ.13 ค่าการทดสอบแรงต้านโมดูลัสแตกหัก (ปฐมภูมิ)² ของไม้จำเขียว

421.317	389.215	389.994	396.077	330.811	403.253	410.339	378.845	378.238	367.888
379.749	444.354	351.828	361.988	583.276	502.487	497.409	328.172	350.911	408.343
440.118	410.339	332.150	352.696	546.745	284.094	417.823	434.374	417.991	283.225
381.696	446.973	446.287	475.227	417.793	367.294	402.519	462.233	472.262	352.838
432.748	341.562	496.259	412.688	440.860	372.101	544.897	326.969	474.327	508.250
436.688	409.952	355.733	323.573	535.205	412.240	562.462	238.356	355.943	424.547
366.780	434.005	347.568	322.056	568.339	327.807	328.350	474.718	438.961	538.499
443.845	371.229	337.509	373.277	350.151	438.802	352.160	309.720	436.072	330.909
347.807	423.978	581.421	296.790	263.597	330.271	301.674	413.895	354.777	417.937
487.451	322.782	510.241	341.701	384.888	361.885	378.206	315.417	428.874	365.157
372.861	389.735	480.146	399.502	332.991	435.811	345.251	403.795	367.019	376.313
333.018	212.940	418.208	357.318	395.785	396.461	432.494	325.724	389.887	448.333
299.814	126.929	304.731	424.137	305.827	334.661	399.544	435.456	317.117	330.867

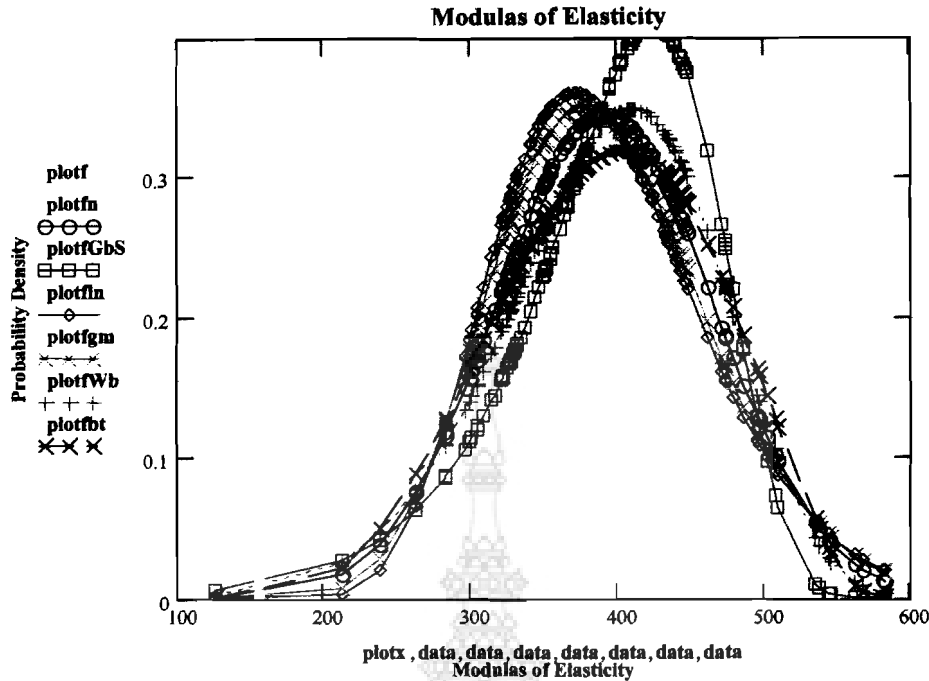
จากการวิเคราะห์ด้วยซอฟต์แวร์ CESTTEST พบว่าค่าเฉลี่ย และส่วนเบี่ยงเบนมาตรฐานเป็น 392.59 และ 74.092 กก./ซม.² ตามลำดับ โดยจะเห็นว่าจำนวนข้อมูล 130 ตัวอย่างมีจำนวนมากกว่า ข้อมูลที่ต้องการ(n_{req}) ซึ่งมีค่าเท่ากับ 95 สำหรับช่วงแห่งความเชื่อมั่นร้อยละ 99 ($t=2.639$) นอกจากนั้น ซอฟต์แวร์ CESTTEST ได้แนะนำให้มีการแบ่งช่วงข้อมูลออกเป็น 6 ชั้น โดยมีชุดจำกัดช่วงและความถี่ จากค่าสังเกตในแต่ละช่วงซึ่งมีค่าวิกฤติสำหรับระดับชั้นเสรี (Degree of Freedom, f) เท่ากับ 6-3=3 ที่ระดับความเชื่อมั่น $\alpha = 0.95$ มีค่าเท่ากับ 7.814 ค่าความถี่จากข้อมูลเมื่อเปรียบเทียบค่าความถี่ที่ คำนวณจากความถี่จากการแจกแจงที่ผ่านการทดสอบไปกำลังมี 3 ชนิดได้แก่ การแจกแจงแบบลอก ปกติ การแจกแจงแบบแกนมา และการแจกแจงชนิดที่หนึ่งค่าสูงสุดแบบกุมเบลแสดงในตารางที่ จ.14

ตารางที่ ๔.14 การเปรียบเทียบความถี่ของข้อมูลเทียบกับความถี่ที่ได้จากการแจกแจงที่ผ่านการทดสอบไคกำลังสอง สำหรับค่าการทดสอบแรงดันโนมูลสแตกหัก (ปฐมภูมิ)² ของไม้จามจุรี

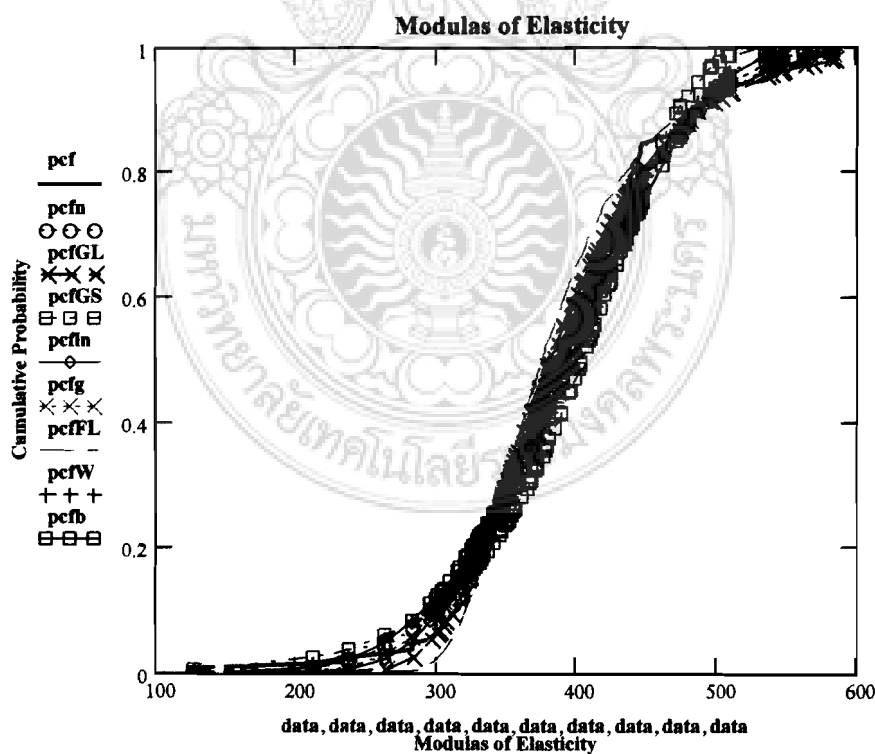
ขั้นที่	หน่วยแรง (ksc)	ความถี่จาก ข้อมูล	ความถี่ Lognormal	ความถี่ gamma	ความถี่ Gumbel
1	126.86 – 284	5	6.602	7.668	3.284
2	284 – 348.25	31	31.378	29.781	35.495
3	348.25 – 412.5	45	45.195	44.211	48.555
4	412.5 – 476.75	34	30.070	31.412	26.725
5	476.75 – 541	9	12.159	12.801	10.466
6	541 – 583.34	6	2.833	2.755	2.813
Chi-Square Error			5.266	6.154	7.519
ค่าวิกฤติ 7.814					

จากการทดสอบ K-S (Kolmogorov-Smirnov Test) พบร่วมกับความแตกต่างสูงสุด (Maxdif) มี 5 ชนิดเป็น การแจกแจงแบบลอกปกติ การแจกแจงชนิดที่หนึ่งค่าสูงสุดแบบกุมเบล การแจกแจงแบบแกรมมา การแจกแจงปрагติและการแจกแจงค่าต่ำสุดชนิดที่สามแบบไวนูลล์มีค่าเป็น 0.057, 0.059 0.063, 0.072 และ 0.082 ซึ่งให้ค่าต่ำกว่าเมื่อเปรียบเทียบกับค่าวิกฤติเท่ากับ 0.119 ตามลำดับ

จะเห็นได้ว่าค่าโนมูลสแตกหักชนิดปฐมภูมิของไม้จามจุรี การแจกแจงแบบลอกปกติมีค่าความคลาดเคลื่อนจากการทดสอบไคกำลังสองต่ำที่สุด ในขณะที่การแจกแจงแบบลอกปกติมีค่าความคลาดเคลื่อนจากการทดสอบ K-S ต่ำที่สุดเป็นเดียวกัน จึงอาจกล่าวได้ว่าการแจกแจงแบบลอกปกติมีภาวะเข้ากับชนิดปฐมภูมิมากที่สุดเนื่องจากให้ความคลาดเคลื่อนน้อยที่สุด และมีค่าน้อยกว่าค่าวิกฤติ จากการทดสอบ K-S ในขณะที่การแจกแจงชนิดที่หนึ่งค่าสูงสุดแบบกุมเบล การแจกแจงแบบแกรมมา การแจกแจงปragติและการแจกแจงค่าต่ำสุดชนิดที่สามแบบไวนูลล์ ก็สามารถยอมรับได้ ใช้แทนข้อมูลได้เนื่องจากมีความคลาดเคลื่อนน้อยกว่าค่าวิกฤติทั้งสองการทดสอบและจากการภาพแสดงความสมดคล้องระหว่างข้อมูลค่าโนมูลสแตกหักชนิดปฐมภูมิ ของกำลังรับแรงดันของไม้จามจุรีที่ผ่านการทดสอบภาวะเข้ากับชนิดไคกำลังสองและการทดสอบ K-S สามารถแสดงได้ในรูปที่ ๔.13 และ ๔.14 ตามลำดับ



รูปที่ 4.13 การเปรียบเทียบระหว่างความถี่สัมพัธ์ของค่าการทดสอบโมดูลัสแทกหัก(ปฐมภูมิ)² ของไม้จามจุรีกับฟังก์ชันความหนาแน่นของความน่าจะเป็นที่ผ่านการทดสอบภาคกำลังสอง



รูปที่ 4.14 การเปรียบเทียบระหว่างความถี่สะสมของค่าการทดสอบโมดูลัสแทกหัก(ปฐมภูมิ)² กับฟังก์ชันการแจกแจงที่ผ่านการทดสอบ K-S

การทดสอบโมดูลัสยืดหยุ่น (ทุติยภูมิ)³ (Modulus of Elastisity) MOE ของไม้จามจุรี
จำนวน 130 ตัวอย่าง แสดงในตารางที่ จ.15

ตารางที่ จ.15 ค่าการทดสอบโมดูลัสยืดหยุ่น (ทุติยภูมิ)³ ของไม้จามจุรี

43425	44947	44715	49240	39481	54165	50755	49230	47404	48233
52600	47410	52232	55567	58669	43122	51736	37617	51471	45478
38727	45928	48450	45463	48146	53681	43592	48771	48180	46644
67705	67283	67353	75569	54183	48121	58662	47871	63583	36637
60941	73932	42146	34056	60011	62559	69013	53517	55360	42358
50710	43791	60832	75881	47500	54693	42223	45401	46963	53867
49321	39296	41792	30573	46470	36592	52596	42774	23504	36697
35819	56561	56879	53344	40249	51438	46886	58277	47826	33927
64358	32692	56228	45522	46553	55740	50556	57567	51732	47110
68330	51078	24900	50719	54265	34295	45536	45536	44420	49893
50025	47075	45825	54126	48339	41188	34647	43262	52614	51529
49053	42628	60942	49738	43909	56176	42658	52347	49521	60429
54595	46908	46778	55706	37436	56559	43297	50140	55506	38409

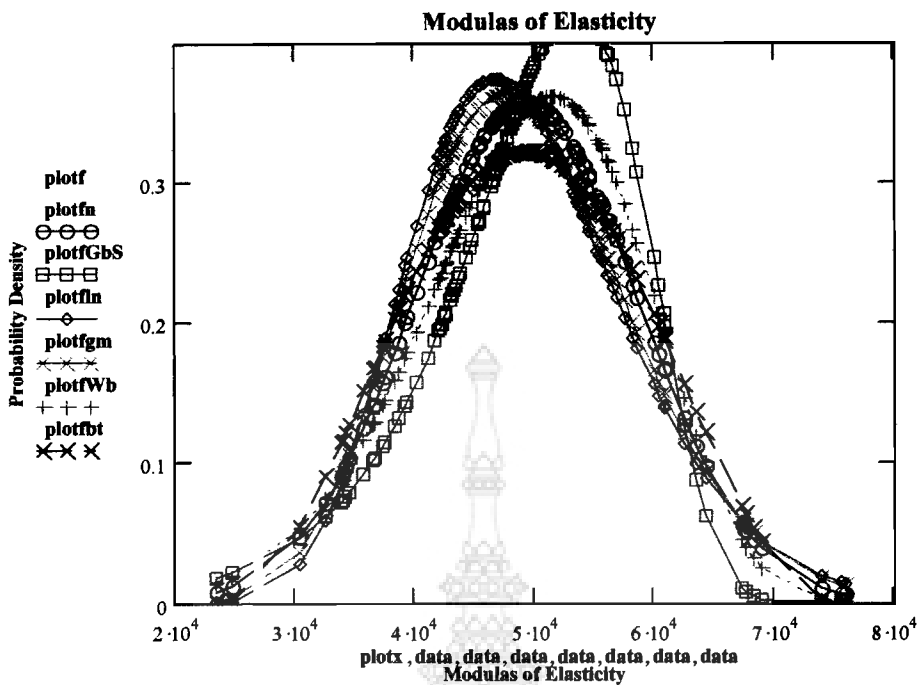
จากการวิเคราะห์ด้วยซอฟต์แวร์ CESTTEST พบว่าค่าเฉลี่ย และส่วนเบี่ยงเบนมาตรฐานเป็น 4.936×10^4 และ 9.327×10^3 กก./ซม.² ตามลำดับ โดยจะเห็นว่าจำนวนข้อมูล 130 ตัวอย่างมีจำนวนมากกว่าข้อมูลที่ต้องการ n_{req} ซึ่งมีค่าเท่ากับ 95 สำหรับช่วงแห่งความเชื่อมั่นร้อยละ 99 ($t=2.576$) นอกจากนี้ซอฟต์แวร์ CESTTEST ได้แนะนำให้มีการแบ่งช่วงข้อมูลออกเป็น 6 ชั้น โดยมีชีดจำกัดช่วงและความถี่จากค่าสังเกตในแต่ละช่วง ซึ่งมีค่าวิกฤติสำหรับระดับชั้นเสรี (Degree of Freedom, f) เท่ากับ 6-3=3 ที่ระดับความเชื่อมั่น $\alpha = 0.95$ มีค่าเท่ากับ 7.814 ค่าความถี่จากข้อมูลเมื่อเปรียบเทียบค่าความถี่ที่คำนวณจากการแยกแบบกลุ่ม 2 ชนิด ได้แก่ การแจกแจงแบบลอกปรกติ และการแจกแจงแบบแกมมาแสดงในตารางที่ จ.16

ตารางที่ จ.16 การเปรียบเทียบความถี่ของข้อมูลเทียบกับความถี่ที่ได้จากการแจกแจงที่ผ่านการทดสอบไคกำลังสอง สำหรับค่าการทดสอบไม่ดูลัสรีดหยุ่น (ทุติยภูมิ)² ของไม้จามจุรี

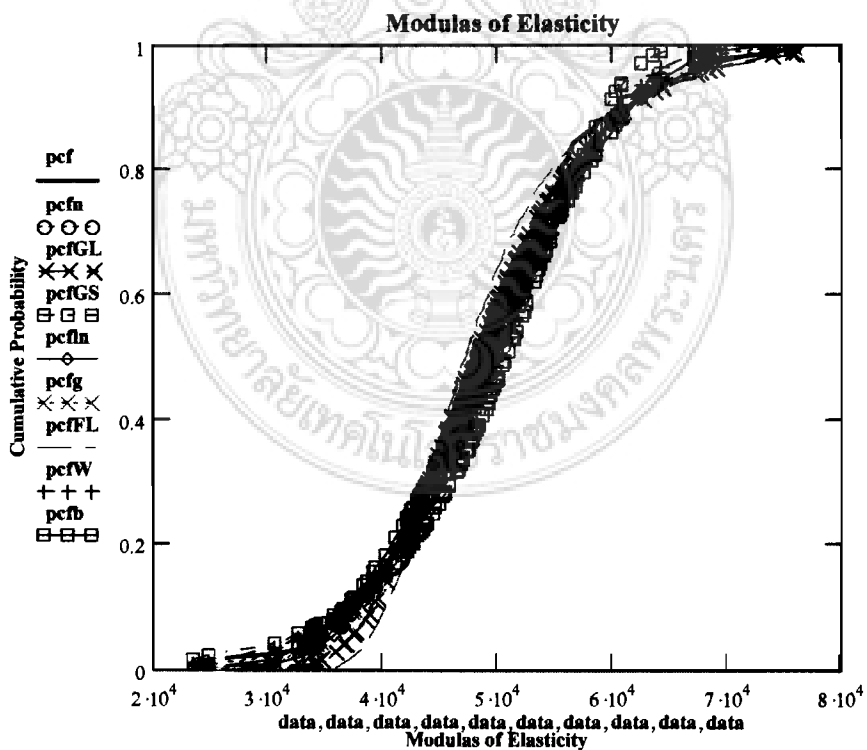
ขั้นตี่	กำลังแรงดัน $\times 10^4$ (ksc)	ความถี่จากข้อมูล	ความถี่ Lognormal	ความถี่ Gamma
1	2.349 – 3.40	5	3.760	4.745
2	3.40 – 4.237	19	26.842	25.751
3	4.237 – 5.075	54	46.813	45.334
4	5.075 – 5.912	36	33.707	34.982
5	5.912 – 6.75	10	13.829	14.603
6	6.75 – 7.588	6	3.951	3.803
Chi-Square Error			6.080	6.189
ค่าวิกฤติ 7.814				

จากการทดสอบ K-S(Kolmogorov - Smirnov Test) พบว่าค่าความแตกต่างสูงสุด (Maxdif) มี 5 ชนิดเป็นการแจกแจงปกติ การแจกแจงแบบแกรมมา การแจกแจงแบบลอกปกติ การแจกแจงแบบบีตา และการแจกแจงต่ำสุดชนิดที่สามแบบไวนูลล์ มีค่าเป็น 0.058, 0.062, 0.069, 0.077 และ 0.082 ซึ่งให้ค่าต่ำกว่าเมื่อเปรียบเทียบกับค่าวิกฤตเท่ากับ 0.119 ตามลำดับ

จะเห็นได้ว่าค่าไม่ดูลัสรีดหยุ่นทุติยภูมิของไม้จามจุรี การแจกแจงแบบลอกปกติมีค่าความคลาดเคลื่อนจากการทดสอบไคกำลังสองต่ำที่สุด ในขณะที่การแจกแจงปกติให้ค่าความคลาดเคลื่อนจากการทดสอบ K-S ต่ำที่สุด จึงอาจกล่าวได้ว่าการแจกแจงปกติและการแจกแจงแบบลอกปกติมีภาวะเข้ารูปสนใจกับข้อมูลมากที่สุดเนื่องจากให้ความคลาดเคลื่อนน้อยที่สุดและมีค่าน้อยกว่าค่าวิกฤต การทดสอบ K-S ในขณะที่การแจกแจงแบบแกรมมา การแจกแจงแบบลอกปกติ การแจกแจงแบบบีตา และการแจกแจงต่ำสุดชนิดที่สามแบบไวนูลล์ ก็สามารถยอมรับให้ใช้แทนข้อมูลได้เนื่องจากมีความคลาดเคลื่อนน้อยกว่าค่าวิกฤตทั้งสองการทดสอบและจากการภาพแสดงความสอดคล้องระหว่างข้อมูลค่าไม่ดูลัสรีดหยุ่น ชนิดทุติยภูมิ ของไม้จามจุรีที่ผ่านการทดสอบภาวะเข้ารูปนิทไคกำลังสอง การทดสอบ K-S สามารถแสดงได้ในรูปที่ จ.15 และ จ.16 ตามลำดับ



รูปที่ 4.15 การเปรียบเทียบระหว่างความถี่สัมพัทธ์ของค่าการทดสอบไมดูลัสยีตหุ่น (ทุติยภูมิ)³ ของไม้จามจุรีกับฟังก์ชันความหนาแน่นของความน่าจะเป็นที่ผ่านการทดสอบไคลกำลังสอง



รูปที่ 4.16 การเปรียบเทียบระหว่างความถี่สะสมของค่าการทดสอบไมดูลัสยีตหุ่น กับฟังก์ชันการแจกแจงที่ผ่านการทดสอบ K-S

การทดสอบโมดูลัสแตกหัก(ทุติยภูมิ)³ (Modulus of Rupture ; MOR) ของไม้จำเขียว
จำนวน 130 ตัวอย่าง แสดงในตารางที่ จ.17

ตารางที่ จ.17 ค่าการทดสอบโมดูลัสแตกหัก (ทุติยภูมิ)³ ของไม้จำเขียว

424.191	427.508	482.247	341.578	349.456	357.504	412.771	379.529	402.820	437.771
343.830	386.116	392.572	413.057	325.222	389.423	378.474	409.059	436.016	351.994
413.928	355.802	383.350	401.761	346.298	465.324	462.055	383.957	469.010	387.866
315.059	415.973	423.646	463.225	387.012	487.559	338.964	394.007	472.945	431.192
426.577	475.202	417.961	374.322	404.571	386.130	457.118	393.279	526.510	403.532
309.366	450.080	392.248	407.320	326.080	450.319	403.765	463.340	545.562	520.171
391.180	376.882	393.343	247.579	300.640	413.692	369.895	376.753	281.938	406.484
171.512	428.622	425.176	209.412	521.572	263.609	506.124	170.450	480.760	173.879
443.528	253.743	511.586	226.545	353.369	371.000	243.816	305.787	519.381	311.273
437.651	544.599	374.297	443.029	481.929	280.865	299.192	481.538	436.956	351.246
403.264	441.298	361.702	479.824	314.572	349.781	446.758	372.460	428.385	382.998
210.253	354.749	407.432	361.327	480.314	355.761	479.274	320.885	409.756	318.965
411.030	628.228	258.571	345.776	387.573	477.946	372.769	451.060	371.396	403.031

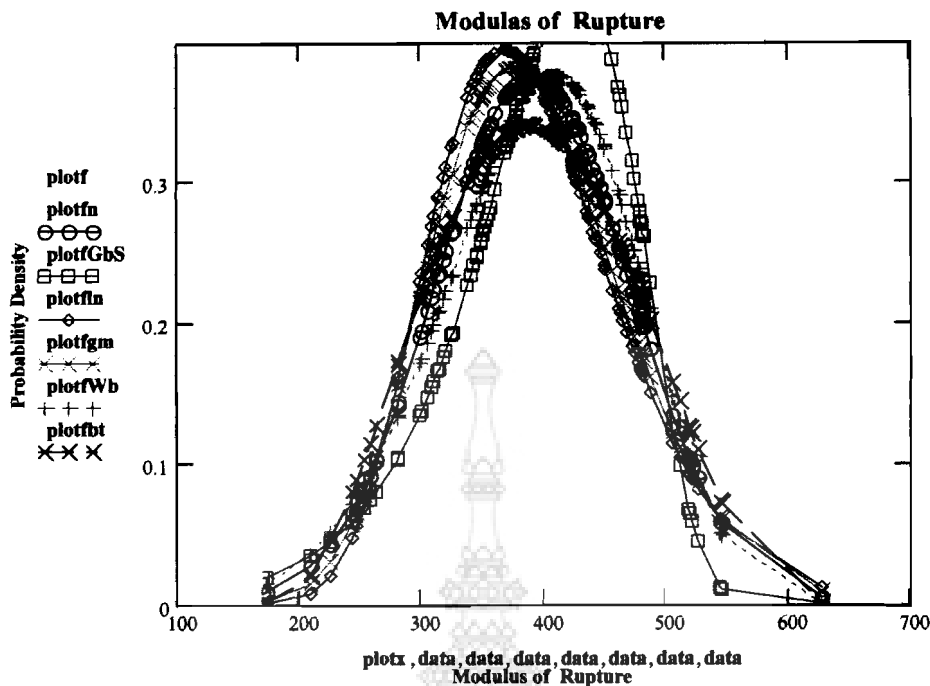
จากการวิเคราะห์ด้วยซอฟต์แวร์ CESTTEST พบว่าค่าเฉลี่ย และส่วนเบี่ยงเบนมาตรฐานเป็น 391.85 และ 79.614 กก./ซม.² ตามลำดับ โดยจะเห็นว่าจำนวนข้อมูล 130 ตัวอย่าง มีจำนวนมากกว่าข้อมูลที่ต้องการ (t_{req}) ซึ่งมีค่าเท่ากับ 110 สำหรับช่วงแห่งความเชื่อมั่นร้อยละ 99 ($t=2.576$) นอกจากนั้นซอฟต์แวร์ CESTTEST ได้แนะนำให้มีการแบ่งช่วงข้อมูลออกเป็น 6 ชั้น โดยมีรีดจำกัดช่วงและความถี่จากค่าสังเกตในแต่ละช่วง ซึ่งมีค่าวิกฤติสำหรับระดับชั้นเสรี (Degree of Freedom, f) เท่ากับ 6-3=6 ที่ระดับความเชื่อมั่น $\alpha = 0.95$ มีค่าเท่ากับ 7.814 ค่าความถี่จากข้อมูลเมื่อเปรียบเทียบค่าความถี่ที่คำนวณจากความถี่จากการแจกแจงที่ผ่านการทดสอบໄค์กำลังสองพบว่าไม่มีค่าความถี่การแจกแจงจากข้อมูลนินดี้ได้ผ่านการทดสอบໄค์กำลังสอง แสดงในตารางที่ จ.18

ตารางที่ ๑.๑๘ การเปรียบเทียบความถี่ของข้อมูลเทียบกับความถี่ที่ได้จากการแจกแจงที่ผ่านการทดสอบไคกำลังสอง สำหรับค่าการทดสอบโมดูลสแตกหัก ของไม้จามจุรี

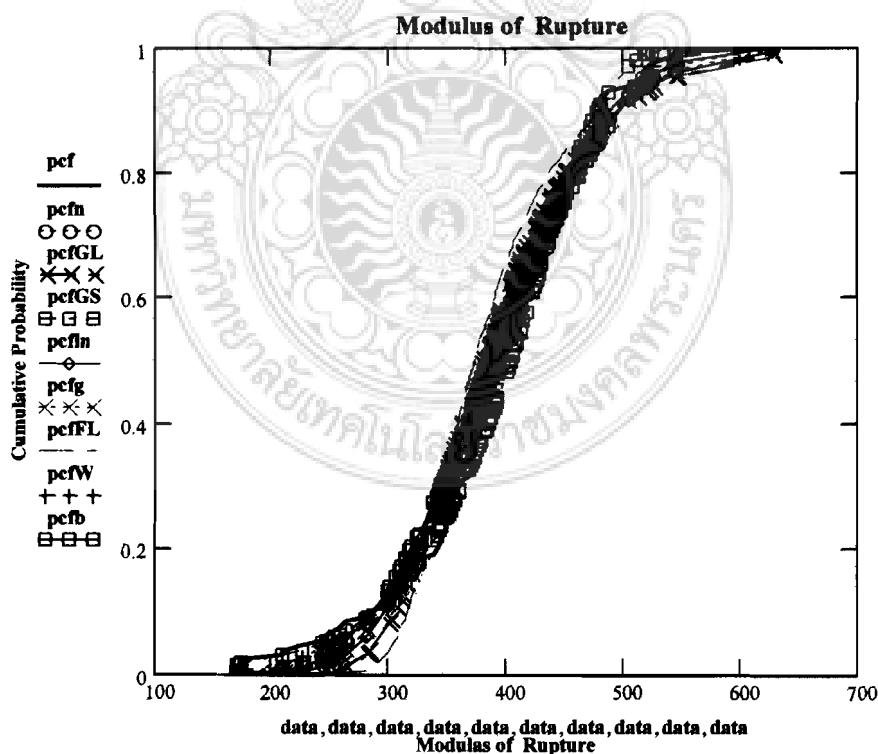
ขั้นที่	กำลังแรงตัด (ksc)	ความถี่จากข้อมูล	ความถี่
1	170.375 – 219	5	-
2	219 – 294	8	-
3	294 – 369	27	-
4	369 – 444	60	-
5	444 – 519	23	-
6	519 – 628.303	7	-
Chi-Square Error			-
ค่าวิกฤติ 7.814			

จากการทดสอบ K-S (Kolmogorov-Smirnov Test) พบร่วมค่าความแตกต่างสูงสุด (Maxdif) มี 5 ชนิดเป็นการแจกแจงต่ำสุดชนิดที่สามแบบไนโวลด์ การแจกแจงแบบปกติ การแจกแจงชนิดที่หนึ่งค่าต่ำสุดแบบกุมเบล การแจกแจงแบบบีตา และการแจกแจงแบบแกมมา มีค่าเป็น 0.054, 0.075, 0.087, 0.088 และ 0.100 ซึ่งให้ค่าต่ำกว่าเมื่อเปรียบเทียบกับค่าวิกฤติเท่ากับ 0.119 ตามลำดับ

จะเห็นได้ว่าค่าโมดูลสแตกหักชนิดทุติยภูมิของไม้จามจุรี ไม่มีการแจกแจงชนิดใดมีค่าความคลาดเคลื่อนต่ำกว่าค่าวิกฤตจากการทดสอบไคกำลังสองต่ำที่สุด ในขณะที่การแจกแจงต่ำสุดชนิดที่สามแบบไนโวลด์มีค่าความคลาดเคลื่อนจากการทดสอบ K-S ต่ำที่สุด จึงอาจกล่าวได้ว่าการแจกแจงต่ำสุดชนิดที่สามแบบไนโวลด์มีภาวะเข้ารูปสนิทกับข้อมูลมากที่สุด เนื่องจากให้ความคลาดเคลื่อนน้อยที่สุดและมีค่าน้อยกว่าค่าวิกฤตจากการทั้งสองการทดสอบ จากการทดสอบ K-S ในขณะที่การแจกแจงแบบปกติ การแจกแจงชนิดที่หนึ่งค่าต่ำสุดแบบกุมเบล การแจกแจงแบบบีตา และการแจกแจงแบบแกมมากสามารถยอมรับให้ใช้แทนข้อมูลได้เนื่องจากมีความคลาดเคลื่อนน้อยกว่าค่าวิกฤติทั้งสองการทดสอบ และจากการแฟลเดอร์ความสอดคล้องระหว่างข้อมูลค่าโมดูลสแตกหักชนิดทุติยภูมิ ของไม้จามจุรีที่ผ่านการทดสอบภาวะเข้ารูปสนิทไคกำลังสอง การทดสอบ K-S สามารถแสดงได้ในรูปที่ ๑.๑๗ และ ๑.๑๘ ตามลำดับ



รูปที่ 4.17 การเปรียบเทียบระหว่างความถี่สัมพัทธ์ของค่าการทดสอบโมดูลัสแตกหักของไม้ตามชุรีกับพังก์ชนิดความหนาแน่นของความน่าจะเป็นที่ผ่านการทดสอบໄค์กำลังสอง



รูปที่ 4.18 การเปรียบเทียบระหว่างความถี่สะสมของค่าการทดสอบแรงตัดโมดูลัสแตกหักกับพังก์ชนิดการแยกแจงที่ผ่านการทดสอบ K-S

๔.2.4 การทดสอบแรงตึงในแนวขันนาเสี่ยน (Tension Parallel to Grain)

ของไม้จำรีจำนวน 130 ตัวอย่าง แสดงในตารางที่ ๔.19

ตารางที่ ๔.19 ค่าแรงดึงในแนวขันนาเสี่ยนของไม้จำรี

551.12	529.95	472.22	593.76	598.75	446.01	524.65	545.29	548.32	566.89
468.14	517.69	517.32	533.51	328.37	420.94	492.01	564.80	543.27	533.51
388.33	474.14	414.50	384.33	515.67	410.88	355.96	500.10	420.67	459.28
624.24	623.23	509.14	533.23	473.58	509.12	429.28	467.07	408.47	571.61
563.67	368.71	545.49	347.76	525.67	501.17	478.45	503.48	438.68	451.25
454.27	542.39	615.74	451.75	543.25	489.05	457.56	422.38	562.18	464.83
488.41	484.54	514.24	463.88	551.72	583.69	426.50	465.33	428.90	456.94
481.02	301.68	665.18	456.92	570.18	443.18	538.69	516.93	531.11	467.43
491.17	544.08	505.45	484.82	475.21	496.33	482.73	528.63	454.02	665.77
490.13	508.91	475.92	522.39	329.93	499.42	492.37	530.43	506.81	457.32
503.62	482.27	432.99	598.56	432.68	508.41	495.53	396.38	562.11	550.94
522.95	493.94	600.12	509.50	411.21	527.35	354.50	493.44	470.77	436.25
460.43	495.43	500.72	498.85	387.67	472.55	534.83	501.43	513.79	556.14

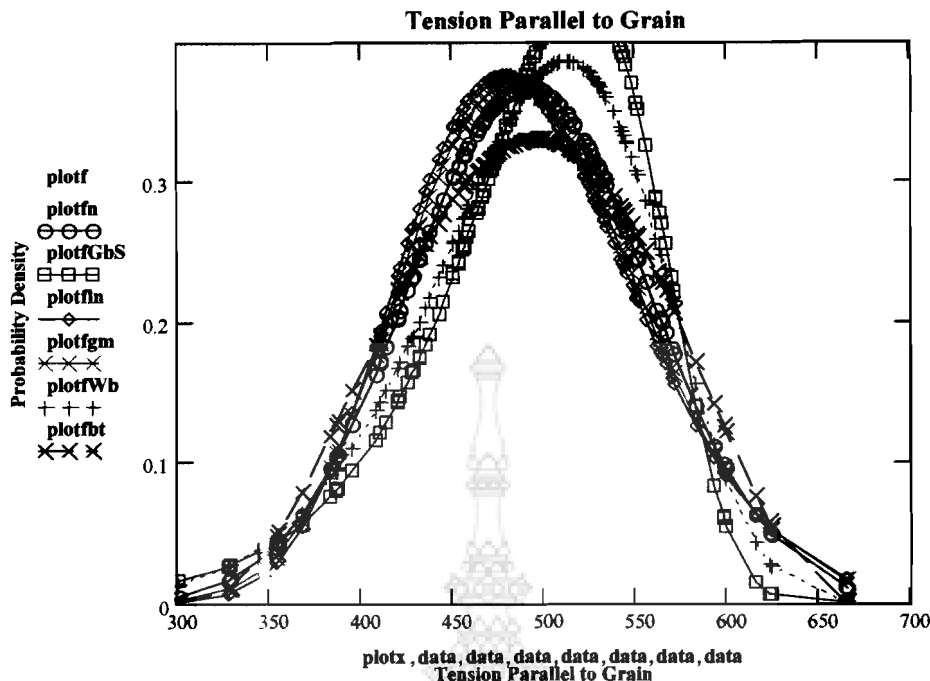
จากการวิเคราะห์ด้วยซอฟต์แวร์ CESTTEST พบว่าค่าเฉลี่ย และส่วนเบี่ยงเบนมาตรฐานเป็น 492.159 และ 65.769 กก./ซม.² ตามลำดับ โดยจะเห็นว่าจำนวนข้อมูล 130 ตัวอย่าง มีจำนวนมากกว่าข้อมูลที่ต้องการ (n_{req}) ซึ่งมีค่าเท่ากับ 47 สำหรับช่วงแห่งความเชื่อมั่นร้อยละ 99 ($t=2.567$) นอกจากนั้นซอฟต์แวร์ CESTTEST ได้แนะนำให้มีการแบ่งช่วงข้อมูลออกเป็น 6 ชั้น โดยมีขีดจำกัดช่วงและความถี่จากค่าสังเกตในแต่ละช่วง ซึ่งมีค่าิกฤติสำหรับระดับชั้นเสรี (Degree of Freedom,f) เท่ากับ $6-3=3$ ที่ระดับความเชื่อมั่น $\alpha = 0.95$ มีค่าเท่ากับ 7.814 ค่าความถี่จากข้อมูลเมื่อเปรียบเทียบค่าความถี่ที่คำนวณจากความถี่จากการแจกแจงที่ผ่านการทดสอบໄโคกำลังสองจำนวน 2 ชนิด ได้แก่ การแจกแจงต่ำสุดชนิดที่สามแบบไวนูลล์และการแจกแจงปกติ แสดงในตารางที่ ๔.20

ตารางที่ จ.20 การเปรียบเทียบความถี่ของข้อมูลเทียบกับความถี่ที่ได้จากการแจกแจงที่ผ่านการทดสอบไคกำลังสอง สำหรับค่าแรงดึงในแนวขานานเสี้ยนของไม้จามจุรี

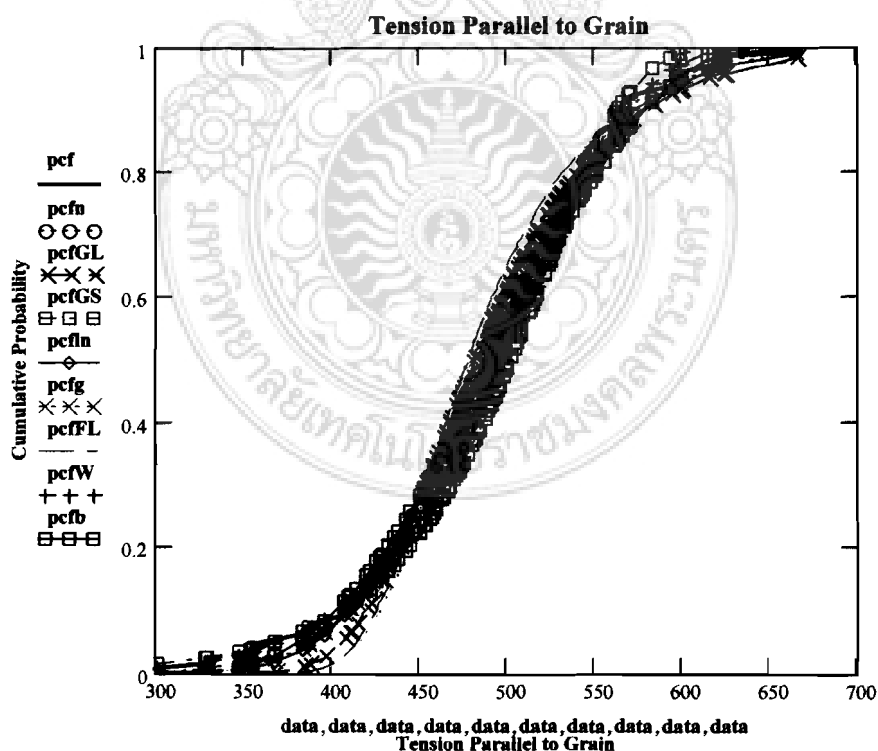
ขั้นที่	กำลังแรงดึง (ksc)	ความถี่จากข้อมูล	ความถี่ Weibull	ความถี่ Normal
1	301.619 – 356	6	4.322	2.497
2	356 – 416.75	9	12.480	13.853
3	416.75 – 477.5	35	31.714	37.184
4	477.5 – 538.25	51	48.240	45.041
5	538.25 – 599	23	29.486	24.645
6	599 – 665.83	6	3.715	6.239
Chi-Square Error ค่าวิกฤติ 7.814			4.946	7.646

จากการทดสอบ K-S(Kolmogorov - Smirnov Test) พบร่วมกับความแตกต่างสูงสุด (Maxdif) มี 5 ชนิดเป็นการแจกแจงปกติ การแจกแจงแกนนา การแจกแจงต่ำสุดชนิดที่สามแบบไนบูลล์ การแจกแจงลอกปกติ และการแจกแจงบีต้ามีค่าเป็น 0.051, 0.060, 0.064, 0.065 และ 0.067 ซึ่งให้ค่าต่ำกว่าเมื่อเปรียบเทียบกับค่าวิกฤติเท่ากับ 0.119 ตามลำดับ

จะเห็นได้ว่าค่าแรงดึงในแนวขานานเสี้ยนของไม้จามจุรี การแจกแจงต่ำสุดชนิดที่สามแบบไนบูลล์มีค่าความคลาดเคลื่อนจากการทดสอบไคกำลังสองต่ำที่สุด ในขณะที่การแจกแจงปกติมีค่าความคลาดเคลื่อนจากการทดสอบ K-S ต่ำที่สุด จึงอาจกล่าวได้ว่าการแจกแจงต่ำสุดชนิดที่สามแบบไนบูลล์และการแจกแจงปกติมีภาวะเข้ารูปสนิทกับข้อมูลมากที่สุด เนื่องจากให้ความคลาดเคลื่อนน้อยที่สุดและมีค่าน้อยกว่าค่าวิกฤติ จากการทดสอบ K-S ในขณะที่การแจกแจงแกนนา การแจกแจงต่ำสุดชนิดที่สามแบบไนบูลล์ การแจกแจงลอกปกติ และการแจกแจงบีต้าสามารถยอมรับให้ใช้แทนข้อมูลได้เนื่องจากมีความคลาดเคลื่อนน้อยกว่าค่าวิกฤติทั้งสองการทดสอบ และจากการแสดงความสอดคล้องระหว่างข้อมูลค่าแรงดึงในแนวขานานเสี้ยนของไม้จามจุรี ที่ผ่านการทดสอบภาวะเข้ารูปสนิทไคกำลังสอง การทดสอบ K-S สามารถแสดงได้ในรูปที่ จ.19 และ จ.20 ตามลำดับ



รูปที่ จ.19 การเปรียบเทียบระหว่างความถี่สัมพثธ์ของค่าแรงดึงในแนวขันน้ำเสียนของไม้ตามจริง กับฟังก์ชันความหนาแน่นของความน่าจะเป็นที่ผ่านการทดสอบโดยกำลังสอง



รูปที่ จ.20 การเปรียบเทียบระหว่างความถี่สะสมของค่าแรงดึงในแนวขันน้ำเสียนกับ พังก์ชันการแจกแจงที่ผ่านการทดสอบ K-S

การทดสอบแรงตึงในแนวขานานเสี่ยน (E) (Tension Parallel to Grain)
ของไม้จำปาราก จำนวน 130 ตัวอย่าง แสดงในตารางที่ จ.21

ตารางที่ จ.21 แรงดึงในแนวขานานเสี่ยนของไม้จำปาราก (ค่าโมดูลลส์ยีดหยุ่น E)

13121.79	15725.39	14223.56	13194.57	11975.10	18279.28	15995.32	17819.93	17630.76	15703.42
10266.25	26014.69	16370.89	12793.98	16753.81	14220.83	12269.60	13708.72	17356.84	16672.33
14172.75	18377.44	14392.36	13438.23	13021.89	20340.46	20457.75	11238.11	18450.43	13917.57
10634.37	15698.41	21302.92	16715.58	17035.21	15107.43	13758.86	21327.39	19267.30	12903.25
15193.14	15235.89	14317.22	15319.67	15148.90	12916.67	10401.11	11416.73	13333.72	14463.14
15398.98	18079.66	18110.07	15795.39	11861.36	11426.47	13740.40	12760.57	16781.62	12769.99
13454.71	11846.85	21337.74	15209.21	14443.04	17959.77	16094.19	11349.59	16885.64	12944.60
11032.48	10123.56	13119.85	16318.63	15838.21	15177.35	14250.93	13153.38	11157.80	14382.42
13530.97	12337.52	10686.14	14871.78	15580.50	12958.93	14807.58	12893.33	10225.57	14696.88
11614.47	10874.20	12897.69	12408.27	12265.06	11073.52	13753.38	21132.86	13302.10	17864.10
14944.18	10089.32	11305.12	12927.81	12954.48	11198.54	13958.50	15014.37	16729.32	11289.76
12540.79	10622.29	13827.56	9017.70	17205.65	12350.04	13129.53	11720.70	13566.91	13464.38
12278.26	13723.71	15696.59	14628.99	14684.60	18977.84	14074.56	11370.37	11443.00	12063.78

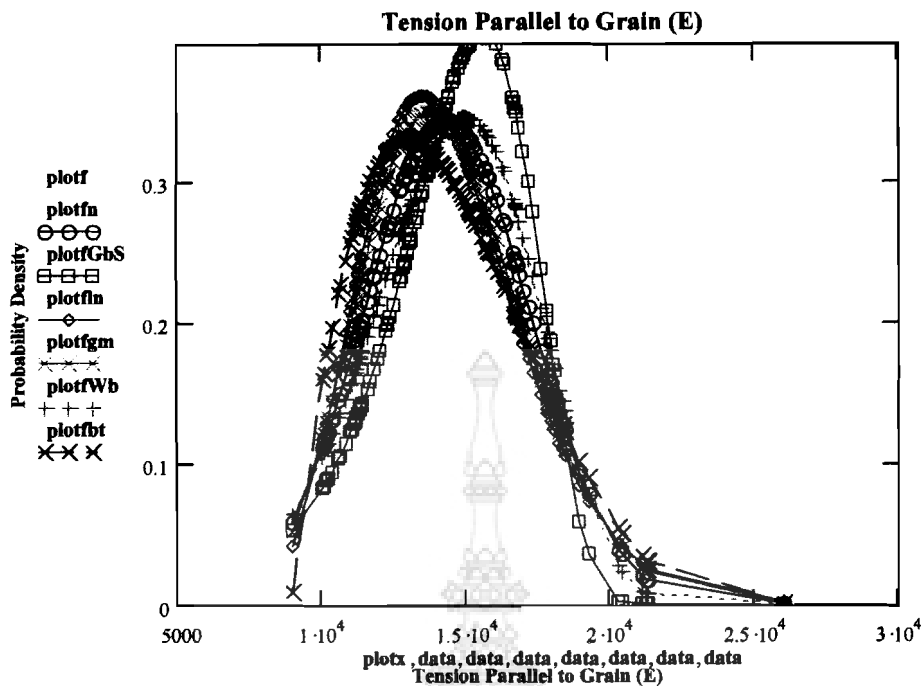
จากการวิเคราะห์ด้วยซอฟต์แวร์ CESTTEST พบร่วมค่าเฉลี่ย และส่วนเบี่ยงเบนมาตรฐานเป็น 1.437×10^4 และ 2.85×10^3 กก./ซม.² ตามลำดับ โดยจะเห็นว่าจำนวนชุดมูล 130 ตัวอย่าง มีจำนวนมากกว่าชุดมูลที่ต้องการ (n_{req}) ซึ่งมีค่าเท่ากับ 105 สำหรับช่วงแห่งความเรื่อมั่นร้อยละ 99 ($t=2.576$) นอกจากนั้นซอฟต์แวร์ CESTTEST ได้แนะนำให้มีการแบ่งชุดมูลออกเป็น 6 ชั้น โดยมีขีดจำกัดช่วงและความถี่จากค่าสังเกตในแต่ละช่วง ซึ่งมีค่าวิกฤติสำหรับระดับชั้นเสรี (Degree of Freedom, f) เท่ากับ $6-3=3$ ที่ระดับความเชื่อมั่น $\alpha = 0.95$ มีค่าเท่ากับ 7.814 ค่าความถี่จากชุดมูลเมื่อเปรียบเทียบค่าความถี่ที่คำนวณจากความถี่จากการแยกแจงที่ผ่านการทดสอบไปกำลังสองจำนวน 3 ชนิด ได้แก่ การแยกแจงชนิดที่หนึ่งค่าสูงสุดแบบกุมเบลการแยกแจงแบบลอกปากติและการแยกแจงเรียลตี้ และในตารางที่ จ.22

ตารางที่ จ.22 การเปรียบเทียบความถี่ของข้อมูลเทียบกับความถี่ที่ได้จากการแจกแจงที่ผ่านการทดสอบไปกำลังสอง สำหรับค่าแรงดึงในแนวราวนี้เดี่ยวน่องไม้จามจุรี(ค่าโมดูลลส์ยืดหยุ่น E)

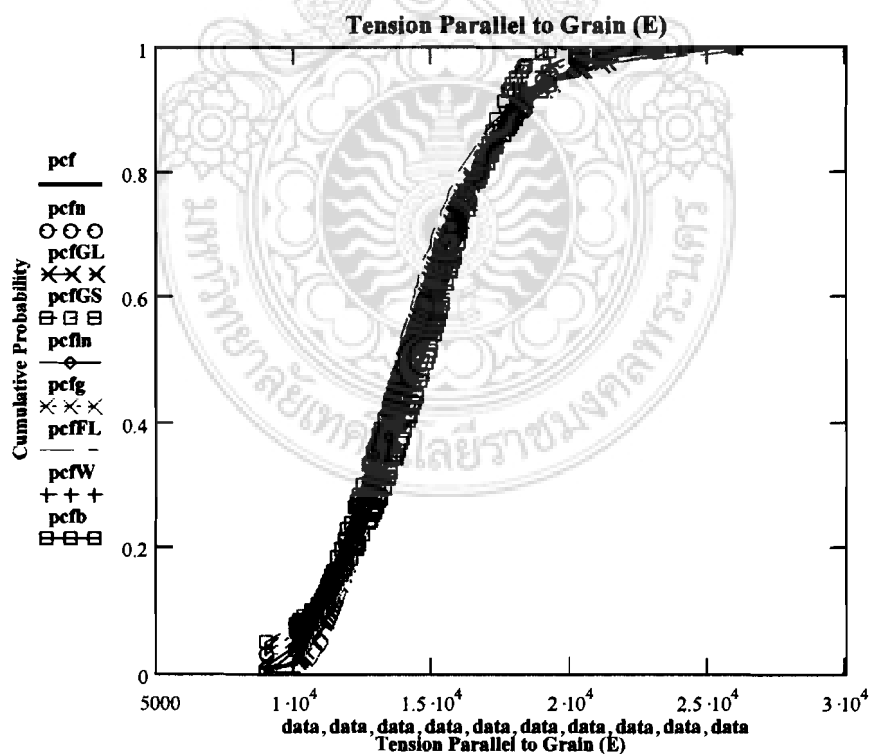
ขั้นที่	กำลังแรงดึง $\times 10^4$ (ksc)	ความถี่จาก ข้อมูล	ความถี่ Gumbel	ความถี่ Lognormal	ความถี่ Rayleigh
1	0.901 - 1.04	5	4.583	7.931	6.370
2	1.04 - 1.287	33	38.641	33.951	35.721
3	1.287 - 1.535	53	47.249	44.833	42.615
4	1.535 - 1.782	23	24.903	28.104	28.383
5	1.782 - 2.03	9	9.614	11.017	12.334
6	2.03 - 2.60	7	4.615	4.041	4.508
Chi-Square Error ค่าวิกฤติ 7.814			2.978	6.059	6.331

จากการทดสอบ K-S (Kolmogorov-Smirnov Test) พบว่าค่าความแตกต่างสูงสุด (Maxdif) มี 5 ชนิดเป็นการแจกแจงแบบลอกปกติ การแจกแจงชนิดที่หนึ่งค่าสูงสุดแบบกุมเบล การแจกแจงแบบแกรมมา การแจกแจงเรย์ลีฟ และการแจกแจงแบบปกติมีค่าเป็น 0.041, 0.046, 0.053, 0.055, และ 0.080 ซึ่งให้ค่าต่ำกว่าเมื่อเปรียบเทียบกับค่าวิกฤติเท่ากับ 0.119 ตามลำดับ

จะเห็นได้ว่าค่าแรงดึงในแนวตั้งจากเดี่ยวน่องไม้จามจุรี การแจกแจงชนิดที่หนึ่งค่าสูงสุดแบบกุมเบลมีค่าความคลาดเคลื่อนจากการทดสอบไปกำลังสองต่ำที่สุด ในขณะที่การแจกแจงลอกปกติ มีค่าความคลาดเคลื่อนจากการทดสอบ K-S ต่ำที่สุด จึงอาจกล่าวได้ว่าการแจกแจงชนิดที่หนึ่งค่าสูงสุดแบบกุมเบลและการแจกแจงลอกปกติมีภาวะเข้ารูปสนิทกับข้อมูลมากที่สุด เนื่องจากให้ความคลาดเคลื่อนน้อยที่สุดและมีค่าน้อยกว่าค่าวิกฤติ จากการทดสอบ K-S ในขณะที่การแจกแจงชนิดที่หนึ่งค่าสูงสุดแบบกุมเบล การแจกแจงแบบแกรมมา การแจกแจงเรย์ลีฟและการแจกแจงแบบปกติก็สามารถยอมรับให้ใช้แทนข้อมูลได้เนื่องจากมีความคลาดเคลื่อนน้อยกว่าค่าวิกฤติทั้งสองการทดสอบ และจากการแสดงความสอดคล้องระหว่างข้อมูลค่าแรงดึงในแนวตั้งจากเดี่ยวน่องไม้จามจุรี ที่ผ่านการทดสอบภาวะเข้ารูปสนิทไปกำลังสองและการทดสอบ K-S สามารถแสดงได้ในรูปที่ จ.21 และ จ.22 ตามลำดับ



รูปที่ 7.21 การเปรียบเทียบระหว่างความถี่สัมพัทธ์ของค่าแรงดึงในแนวขันน้ำเสียนของไม้จามจุรี กับพังก์ชันความหนาแน่นของความน่าจะเป็นที่ผ่านการทดสอบโดยกำลังสอง



รูปที่ 7.22 การเปรียบเทียบระหว่างความถี่สะสมของค่าแรงดึงในแนวขันน้ำเสียนของไม้ พฤกษ์กับพังก์ชันการแจกแจงที่ผ่านการทดสอบ K-S

๔.2.5 การทดสอบแรงตึงในแนวตั้งจากเสียง (Tension Perpendicular to Grain)
ของไม้จำปารากำลังจำนวน 130 ตัวอย่าง แสดงในตารางที่ ๔.23

ตารางที่ ๔.23 แรงตึงในแนวตั้งจากเสียงของไม้จำปารี

29.32	28.67	32.60	34.04	34.02	27.85	29.69	37.57	30.87	36.83
31.54	31.91	32.92	32.79	28.40	34.94	22.61	31.26	40.59	22.77
41.52	32.82	26.33	26.51	23.45	30.70	33.16	29.95	34.11	17.87
42.06	31.84	44.32	30.07	38.40	35.51	39.74	30.76	38.33	29.73
37.86	38.25	40.20	37.59	38.50	40.97	33.76	28.43	38.94	34.76
39.97	33.74	30.15	31.46	32.29	40.04	39.47	28.17	30.26	42.46
32.35	36.25	34.89	22.43	39.68	33.49	39.62	32.81	28.93	33.09
36.06	38.21	39.78	30.84	40.78	29.93	39.00	38.95	41.59	36.55
28.82	28.75	39.52	39.94	36.87	31.46	34.04	28.73	31.10	38.83
28.81	35.92	37.86	34.73	38.40	28.77	40.37	21.91	37.67	40.79
37.61	28.25	39.29	42.11	31.96	35.07	35.78	29.30	35.55	33.98
25.83	34.13	41.09	33.70	34.36	30.71	29.27	25.19	35.84	40.07
26.30	43.50	37.87	39.71	30.00	25.88	38.10	34.80	34.31	41.91

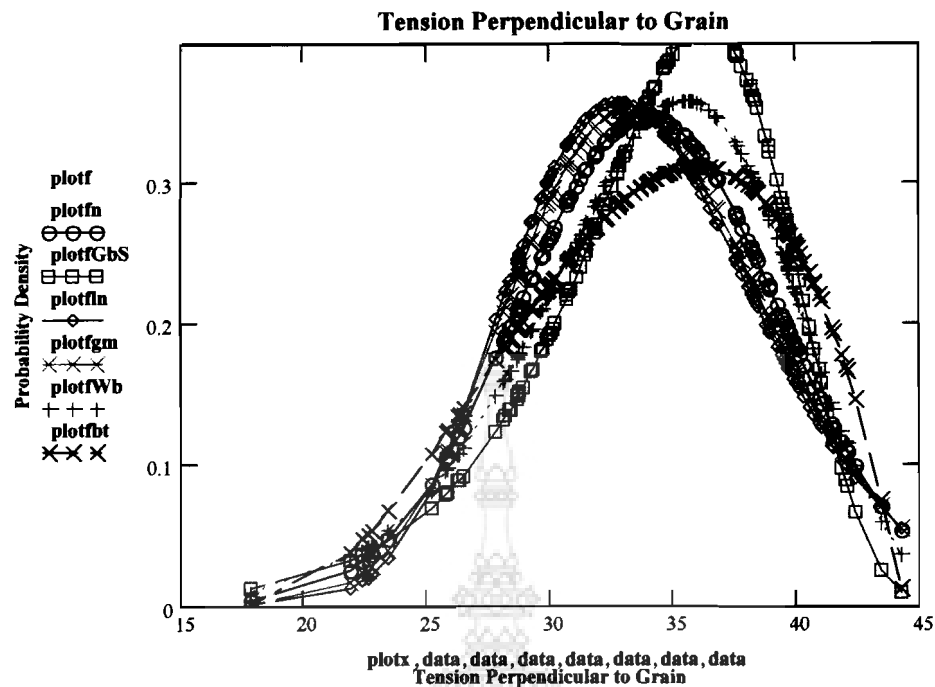
จากการวิเคราะห์ด้วยซอฟต์แวร์ CESTTEST พบว่าค่าเฉลี่ย และส่วนเบี่ยงเบนมาตรฐานเป็น 34.043 และ 5.298 กก./ซม.² ตามลำดับ โดยจะเห็นว่าจำนวนช้อนมูล 130 ตัวอย่าง มีจำนวนมากกว่า ข้อมูลที่ต้องการ (n_{eq}) ซึ่งมีค่าเท่ากับ 64 สำหรับช่วงแห่งความเชื่อมันร้อยละ 99 ($t=2.576$) นอกจากนั้นซอฟต์แวร์ CESTTEST ได้แนะนำให้มีการแบ่งช่วงช้อนมูลออกเป็น 6 ชิ้น โดยมีคิดจำกัด ช่วงและความถี่จากค่าสังเกตในแต่ละช่วง ซึ่งมีค่าวิกฤติสำหรับระดับขั้นเสรี (Degree of Freedom, f) เท่ากับ $6-3=3$ ที่ระดับความเชื่อมั่น $\alpha = 0.95$ มีค่าเท่ากับ 7.814 ค่าความถี่จากช้อนมูลเมื่อเปรียบเทียบ ค่าความถี่ที่คำนวณจากความถี่จากการแยกแจงที่ผ่านการทดสอบไปกำลังสองจำนวน 2 ชนิด ได้แก่ การแยกแจงตัวสุตชนิดที่สามแบบใบบุล็อก และการแยกแจงเปิดต้าแสดงในตารางที่ ๔.24

ตารางที่ จ.24 การเปรียบเทียบความถี่ของข้อมูลเทียบกับความถี่ที่ได้จากการแจกแจงที่ผ่านการทดสอบโดยกำลังสอง สำหรับค่าแรงดึงในตั้งจากเสียงของไม้จามจุรี

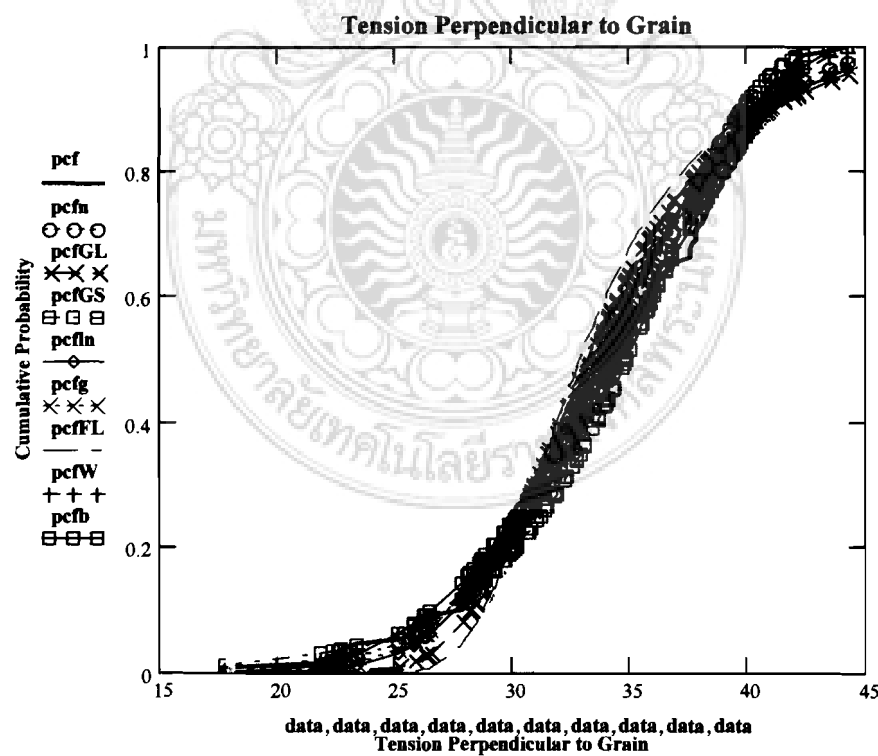
ขั้นที่	กำลังแรงดึง (ksc)	ความถี่จากข้อมูล	ความถี่ Weibull	ความถี่ Beta
1	17.865 – 23.2	5	4.309	3.285
2	23.2 – 27.825	7	12.018	15.168
3	27.825 – 32.45	38	29.262	29.881
4	32.45 – 37.075	35	44.814	39.349
5	37.075 – 41.7	39	32.477	34.477
6	41.7 – 44.32	6	5.836	7.836
Chi-Square Error ค่าวิกฤติ 7.814			8.279	9.003

จากการทดสอบ K-S (Kolmogorov-Smirnov Test) พบร่วมกับความแตกต่างสูงสุด (Maxdif) มี 5 ชนิดการแจกแจงแบบบีตา การแจกแจงต่ำสุดชนิดที่สามแบบไนบูลล์ การแจกแจงชนิดที่หนึ่งค่าต่ำสุดแบบกุมเบล การแจกแจงแบบปกติ และการแจกแจงแบบแกรมมากมีค่าเป็น 0.047, 0.069, 0.082, 0.085 และ 0.095 ซึ่งให้ค่าต่ำกว่าเมื่อเปรียบเทียบกับค่าวิกฤติเท่ากับ 0.119 ตามลำดับ

จะเห็นได้ว่าค่าแรงดึงในแนวตั้งจากเสียงของไม้จามจุรี การแจกแจงต่ำสุดชนิดที่สามแบบไนบูลล์มีค่าความคลาดเคลื่อนจากการทดสอบโดยกำลังสองต่ำที่สุด ในขณะที่การแจกแจงแบบบีตา มีค่าความคลาดเคลื่อนจากการทดสอบ K-S ต่ำที่สุด จึงอาจกล่าวได้ว่าการแจกแจงแบบบีตาและการแจกแจงต่ำสุดชนิดที่สามแบบไนบูลล์มีภาวะเข้ารูปสนิทกับข้อมูลมากที่สุด เนื่องจากให้ความคลาดเคลื่อนน้อยที่สุดและมีค่าน้อยกว่าค่าวิกฤติ จากการทดสอบ K-S ในขณะที่การแจกแจงต่ำสุดชนิดที่สามแบบไนบูลล์ การแจกแจงชนิดที่หนึ่งค่าต่ำสุดแบบกุมเบล การแจกแจงแบบปกติ และการแจกแจงแบบแกรมมากสามารถรับให้เรียงแบบข้อมูลได้เนื่องจากมีความคลาดเคลื่อนน้อยกว่าค่าวิกฤติทั้งสองการทดสอบและจากการทดสอบพบว่าความสอดคล้องระหว่างข้อมูลค่าแรงดึงในแนวตั้งจากเสียงของไม้จามจุรี ที่ผ่านการทดสอบภาวะเข้ารูปสนิทโดยกำลังสอง และการทดสอบ K-S สามารถแสดงได้ในรูปที่ จ.23 และ จ.24 ตามลำดับ



รูปที่ 4.23 การเปรียบเทียบระหว่างความถี่สัมพัทธ์ของค่าแรงดึงในแนวตั้งจากเสียงของไม้
ตามจุรีกับพังก์ชันความหนาแน่นของความน่าจะเป็นที่ผ่านการทดสอบโคกำลังสอง



รูปที่ 4.24 การเปรียบเทียบระหว่างความถี่สะสมของค่าแรงดึงในแนวตั้งจากเสียงกับ
พังก์ชันการแจกแจงที่ผ่านการทดสอบ K-S

๑.๒.๖ การทดสอบแรงเฉือนขนานเส้น (Shear Parallel to Grain)

จำนวน 130 ตัวอย่างแสดงในตารางที่ ๑.๒๕

ตารางที่ ๑.๒๕ การทดสอบแรงเฉือนขนานเส้น

81.20	81.90	189.50	139.70	164.20	151.00	79.70	171.30	132.50	108.80
146.10	171.20	90.40	136.20	142.10	175.40	175.40	169.90	151.10	151.60
77.70	92.50	70.10	114.30	134.90	163.20	166.80	113.80	84.10	137.20
125.30	117.30	123.80	123.60	144.30	131.10	145.20	125.50	131.40	128.30
98.90	115.00	131.80	132.50	116.50	142.70	130.70	148.10	112.40	137.30
156.60	134.00	154.60	138.50	120.40	101.50	124.30	126.80	98.90	103.70
124.60	124.60	86.60	96.60	127.00	148.00	142.20	124.60	124.30	136.90
137.70	144.30	148.50	119.20	127.50	142.50	127.90	142.70	152.60	126.30
161.90	125.50	110.20	123.30	137.40	134.60	107.90	112.70	112.00	90.20
139.00	146.90	127.80	131.20	128.00	153.70	122.60	143.20	124.60	156.90
114.30	109.20	137.70	137.70	144.60	119.60	129.20	149.40	106.30	109.70
160.90	141.40	148.50	130.90	133.60	119.90	135.30	138.10	119.60	111.60
136.20	131.40	138.10	147.20	96.20	117.70	161.20	123.30	105.30	129.50

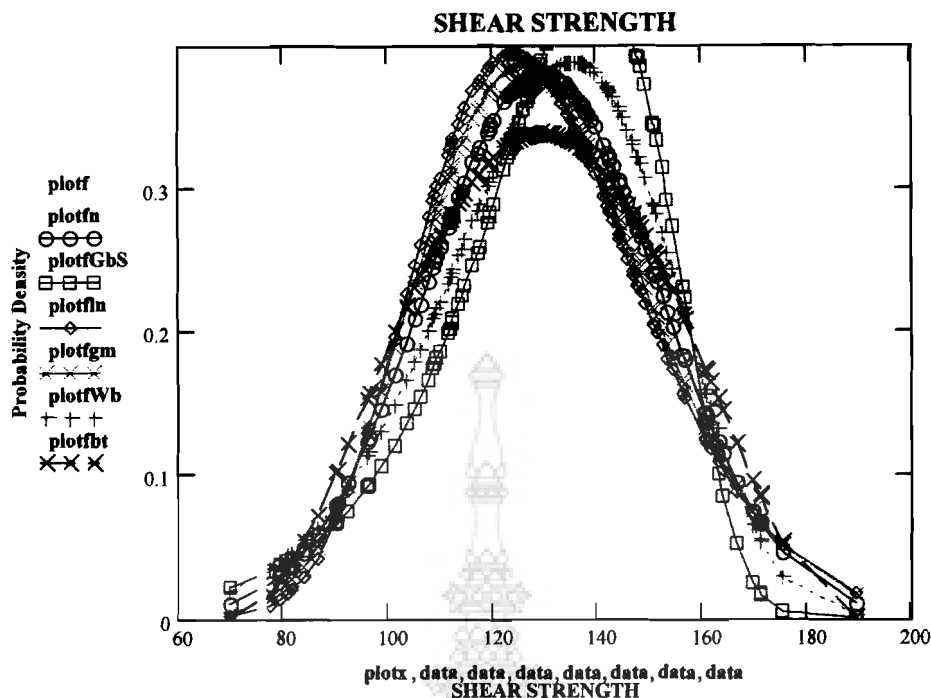
จากการวิเคราะห์ด้วยซอฟต์แวร์ CESTTEST พบร่วมค่าเฉลี่ย และส่วนเบี่ยงเบนมาตรฐานเป็น 129.712 และ 22.186 กก./ซม.² ตามลำดับ โดยจะเห็นว่าจำนวนชุดมูล 130 ตัวอย่าง มีจำนวนมากกว่าชุดมูลที่ต้องการ (n_{req}) ซึ่งมีค่าเท่ากับ 78 สำหรับซึ่งแห่งความเชื่อมั่นร้อยละ 99 ($t=2.567$) นอกจากนั้นซอฟต์แวร์ CESTTEST ได้แนะนำให้มีการแบ่งชุดมูลออกเป็น 6 ชุด โดยมีขั้ดจำกัดซึ่งและความถี่จากค่าสังเกตในแต่ละช่วง ซึ่งมีค่าวิกฤติสำหรับระดับชั้นเสรี (Degree of Freedom, f) เท่ากับ 6-3=3 ที่ระดับความเชื่อมั่น $\alpha =0.95$ มีค่าเท่ากับ 7.814 ค่าความถี่จากชุดมูลเมื่อเปรียบเทียบค่าความถี่ที่คำนวณจากความถี่จากการแยกแจงที่ผ่านการทดสอบไปกำลังสองจำนวน 2 ชนิด มีการแยกแจงค่าต่ำสุดชนิดที่สามแบบไวนูลล์และการแยกแจงปกติ แสดงในตารางที่ ๑.๒๖

ตารางที่ จ.26 การเปรียบเทียบความถี่ของข้อมูลเทียบกับความถี่ที่ได้จากการแจกแจงที่ผ่านการทดสอบไคกำลังสอง สำหรับค่าการทดสอบแรงเรื่อนฐานน้ำเสีย

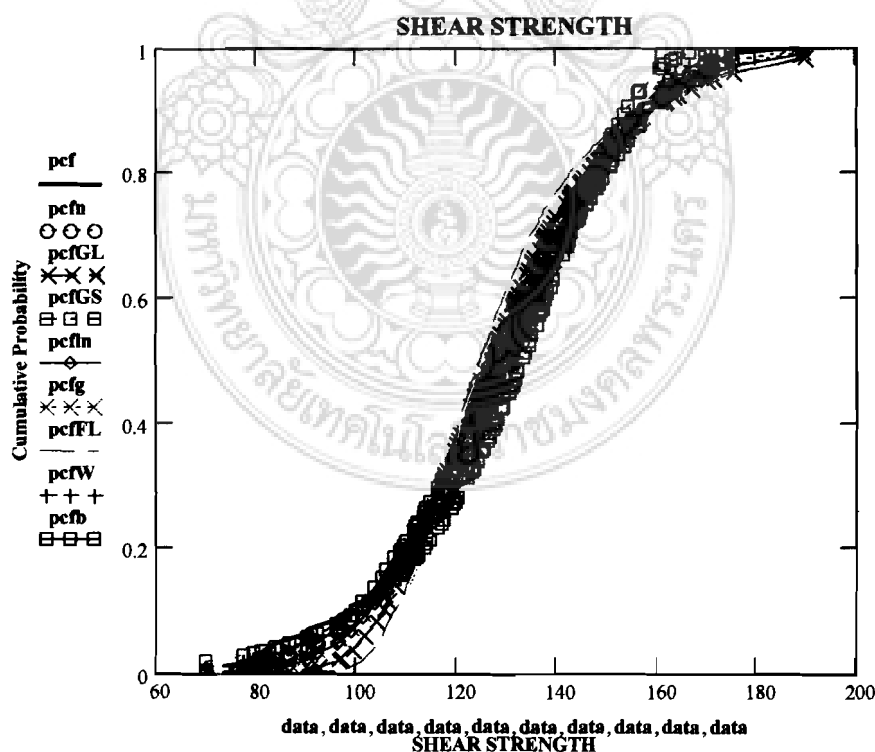
ขั้นที่	กำลังแรงเรื่อน (ksc)	ความถี่จากข้อมูล	ความถี่ Weibull	ความถี่ Normal
1	7.078 – 83	5	3.807	2.345
2	83 – 104.25	11	13.304	14.115
3	104.25 – 125.5	35	34.152	38.795
4	125.5 – 146.75	52	48.556	45.847
5	146.75 – 168	21	26.899	23.320
6	168 – 189.52	6	3.250	5.103
Chi-Square Error ค่าวิภาคติ 7.814			4.658	5.278

จากการทดสอบ K-S (Kolmogorov - Smirnov Test) พบว่าค่าความแตกต่างสูงสุด (Maxdif) มี 5 ชนิดเป็นการแจกแจงค่าต่ำสุดชนิดที่สามแบบไวนูล์ การแจกแจงแบบปกติ การแจกแจงชนิดที่หนึ่งค่าสูงสุดแบบกุมเบล การแจกแจงบีตาและการแจกแจงแอกนามามีค่าเป็น 0.058, 0.071, 0.079, 0.083 และ 0.092 ซึ่งให้ค่าต่ำกว่าเมื่อเปรียบเทียบกับค่าวิภาคติเท่ากับ 0.119 ตามลำดับ

จะเห็นได้ว่าค่าแรงเรื่อนฐานน้ำเสียของไม้จามจุรีการแจกแจงค่าต่ำสุดชนิดที่สามแบบไวนูล์ มีค่าความคลาดเคลื่อนจากการทดสอบไคกำลังสองต่ำที่สุด ในขณะเดียวกันการแจกแจงค่าต่ำสุดชนิดที่สามแบบไวนูล์ มีค่าความคลาดเคลื่อนจากการทดสอบ K-S ต่ำที่สุดเช่นเดียวกัน จึงอาจกล่าวได้ว่าการแจกแจงค่าต่ำสุดชนิดที่สามแบบไวนูล้มีภาวะเข้ารูปสนใจกับข้อมูลมากที่สุด เมื่อจากให้ความคลาดเคลื่อนน้อยที่สุดและมีค่าน้อยกว่าค่าวิภาคติ จากการทดสอบ K-S ในขณะที่การแจกแจงแบบปกติ การแจกแจงชนิดที่หนึ่งค่าสูงสุดแบบกุมเบล การแจกแจงบีตาและการแจกแจงแอกนามาก็สามารถยอมรับให้ใช้แทนข้อมูลได้ เมื่อจากมีความคลาดเคลื่อนน้อยกว่าค่าวิภาคติ กราฟแสดงความสอดคล้องระหว่างข้อมูลค่าแรงเรื่อนฐานน้ำเสียของไม้จามจุรี ที่ผ่านการทดสอบภาวะเข้ารูปนิทไคกำลังสอง การทดสอบ K-S สามารถแสดงได้ในรูปที่ จ.25 และ จ.26 ตามลำดับ



รูปที่ 4.25 การเปรียบเทียบระหว่างความถี่สัมพัทธ์ของค่าการทดสอบแรงเฉือนข่านเสี้ยนของไม้จามจุรีกับฟังก์ชันความหนาแน่นของความน่าจะเป็นที่ผ่านการทดสอบได้กำลังสอง



รูปที่ 4.26 การเปรียบเทียบระหว่างความถี่สะสมของค่าการทดสอบแรงเฉือนข่านเสี้ยนของไม้จามจุรีกับฟังก์ชันการแจกแจงที่ผ่านการทดสอบ K-S

๔.2.7 การทดสอบการฉีกขาดของไม้ (Cleavage)

จำนวน 130 ตัวอย่าง แสดงในตารางที่ ๔.27

ตารางที่ ๔.27 การทดสอบการฉีกขาดของไม้ตามจริง

76.00	73.12	74.52	68.78	72.60	70.46	65.16	67.82	58.62	80.74
59.62	74.08	82.04	65.42	59.54	62.98	52.38	58.28	50.24	65.42
57.32	82.04	71.42	56.54	57.46	55.02	73.36	52.64	60.64	52.38
78.94	57.02	57.98	69.82	59.20	56.28	54.68	86.62	55.34	66.84
51.18	51.68	57.88	80.04	69.18	80.86	50.06	60.90	88.12	54.94
53.18	56.80	59.94	59.50	55.84	53.44	56.10	51.50	59.12	61.88
50.06	53.32	83.04	84.26	47.80	73.66	83.48	51.02	76.56	69.82
59.54	64.52	73.62	52.72	63.32	59.46	69.52	77.52	87.16	81.34
58.20	84.20	49.58	80.38	70.08	56.76	65.22	63.52	54.88	81.26
60.66	43.32	51.02	43.80	83.04	48.14	53.92	49.34	81.86	59.22
65.00	83.78	81.86	85.00	80.64	72.66	75.10	57.76	42.84	86.68
73.42	62.58	72.70	49.38	47.90	58.02	42.60	60.18	44.76	61.38
50.54	70.78	45.72	50.54	86.18	81.34	87.16	52.46	67.62	57.06

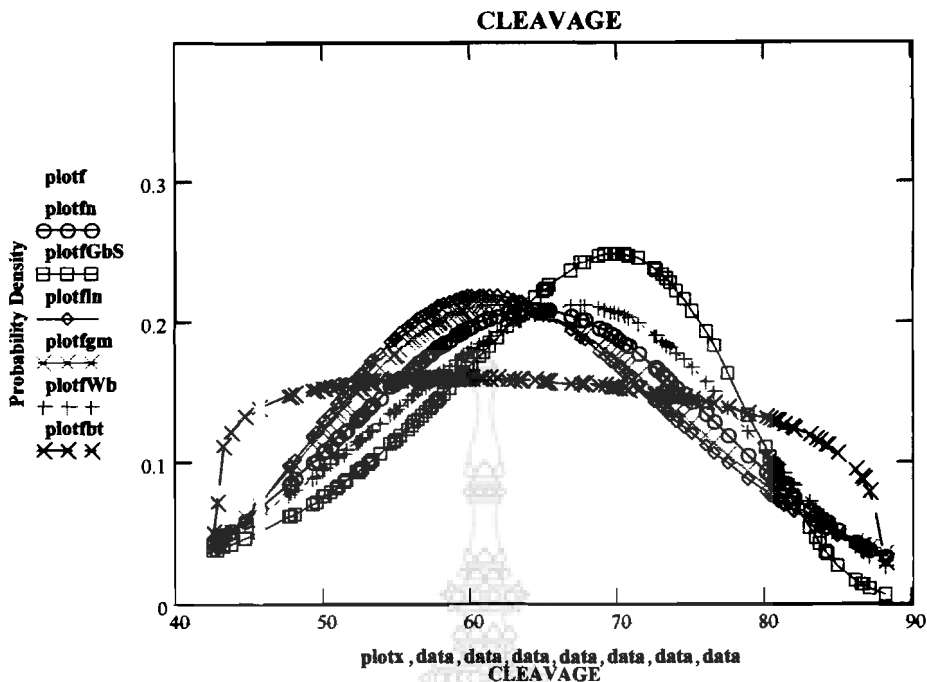
จากการวิเคราะห์ด้วยซอฟต์แวร์ CESTTEST พบร่วมค่าเฉลี่ย และส่วนเบี่ยงเบนมาตรฐานเป็น 64.348 และ 12.355 กก./ซม^2 . ตามลำดับ โดยจะเห็นว่าจำนวนข้อมูล 130 ตัวอย่าง มีจำนวนมากกว่า ข้อมูลที่ต้องการ ($t_{\alpha/2}$) ซึ่งมีค่าเท่ากับ 98 สำหรับช่วงแห่งความเชื่อมั่นร้อยละ 99($t=2.576$) นอกจากนั้น ซอฟต์แวร์ CESTTEST ได้แนะนำให้มีการแบ่งช่วงข้อมูลออกเป็น 7 ชั้น โดยมีค่าจำกัดช่วงและความถี่ จากค่าสังเกตในแต่ละช่วง ซึ่งมีค่าวิกฤติสำหรับระดับชั้นเสรี (Degree of Freedom, f) เท่ากับ $7-3=4$ ที่ระดับความเชื่อมั่น $\alpha = 0.95$ มีค่าเท่ากับ 9.487 ค่าความถี่จากข้อมูลเมื่อเบรย์นเทียบค่าความถี่ที่ คำนวณจากความถี่จากการแยกแจ้งที่ผ่านการทดสอบไปกำลังสอง พบร่วมมีค่าความถี่การแจกแจงจากข้อมูลนิด ได้ผ่านการทดสอบไปกำลังสอง แสดงในตารางที่ ๔.28

ตารางที่ ๔.28 การเปรียบเทียบความถี่ของข้อมูลเทียบกับความถี่ที่ได้จากการแจกแจงที่ผ่านการทดสอบไคกำลังสอง สำหรับค่าการทดสอบการอีกราดของไม้จามจุรี

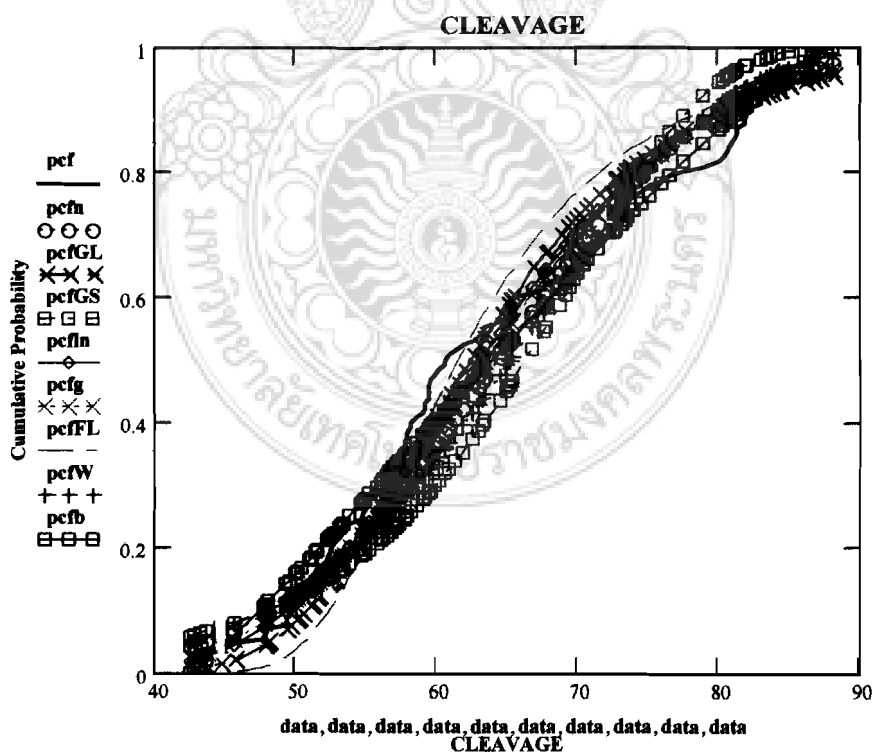
ขั้นที่	กำลังเมทริก (ksc)	ความถี่จากข้อมูล	ความถี่
1	42.59 – 49.1	9	-
2	49.1 – 55.6	27	-
3	55.6 - 62.2	32	-
4	62.2 – 68.6	13	-
5	68.6 – 75.1	20	-
6	75.1 – 81.6	12	-
7	81.6 – 88.12	17	-
Chi-Square Error			-
ค่าวิกฤติ 9.487			-

จากการทดสอบ K-S (Kolmogorov-Smirnov Test) พบร่วมกับความแตกต่างสูงสุด (Maxdif) มี 5 ชนิดเป็นการแจกแจงแบบบีตา การแจกแจงชนิดที่หนึ่งค่าสูงสุดแบบกุมเบล การแจกแจงแบบลอกปรกติ การแจกแจงแบบแกมมาและการแจกแจงเอกภูปมีค่าเป็น 0.084, 0.087, 0.089, 0.097 และ 0.105 ซึ่งให้ค่าต่ำกว่าเมื่อเปรียบเทียบกับค่าวิกฤติเท่ากับ 0.119 ตามลำดับ

จะเห็นได้ว่าค่าการอีกราดของไม้จามจุรี ไม่มีการแจกแจงชนิดใดมีความคลาดเคลื่อนต่ำกว่าค่าวิกฤตจากการทดสอบไคกำลังสอง ในขณะเดียวกันการแจกแจงแบบบีตาให้ความคลาดเคลื่อนจากการทดสอบ K-S ต่ำที่สุด จึงอาจกล่าวได้ว่าการแจกแจงแบบบีตาเมื่อภาวะเข้าภูปสนิทกับข้อมูลมากที่สุดเนื่องจากให้ความคลาดเคลื่อนน้อยที่สุดและมีค่าน้อยกว่าค่าวิกฤต จากการทดสอบ K-S ในขณะที่ การแจกแจงชนิดที่หนึ่งค่าสูงสุดแบบกุมเบล การแจกแจงแบบลอกปรกติ การแจกแจงแบบแกมมาและการแจกแจงเอกภูปสามารถยอมรับให้ใช้แทนข้อมูลได้ เมื่อจากมีความคลาดเคลื่อนน้อยกว่าค่าวิกฤตและจากกราฟแสดงความสอดคล้องระหว่างข้อมูลค่าการอีกราดของไม้จามจุรีที่ผ่านการทดสอบภาวะเข้าภูปสนิทไคกำลังสองและการทดสอบ K-S สามารถแสดงได้ในรูปที่ ๔.27 และ ๔.28 ตามลำดับ



รูปที่ 4.27 การเปรียบเทียบระหว่างความถี่สัมพัทธ์ของค่าการทดสอบการฉีกขาดของไม้
จำรูรีกับฟังก์ชันความหนาแน่นของความน่าจะเป็นที่ผ่านการทดสอบไปกำลังสอง



รูปที่ 4.28 การเปรียบเทียบระหว่างความถี่สะสมของค่าการทดสอบการฉีกขาดของไม้
จำรูรีกับฟังก์ชันการแจกแจงที่ผ่านการทดสอบ K-S

๑.2.8 ค่าการทดสอบความหนึ่ง (Toughness)

จำนวน 130 ตัวอย่าง แสดงในตารางที่ ๑.29

ตารางที่ ๑.29 ค่าการทดสอบความหนึ่ง

391.48	439.44	423.81	340.44	469.63	423.81	374.81	407.82	322.76	248.88
267.81	439.44	374.81	322.76	340.44	340.44	340.44	286.44	374.81	484.18
391.48	286.44	340.44	304.76	525.57	248.88	374.81	322.76	357.79	469.63
391.48	439.44	423.81	340.44	469.63	423.81	374.81	407.82	322.76	248.88
267.81	439.44	374.81	322.76	340.44	322.76	322.76	340.44	286.44	374.81
391.48	286.44	340.44	304.76	248.88	374.81	322.76	357.79	469.63	374.81
407.82	322.76	322.76	248.88	267.81	439.44	374.81	322.76	304.76	286.44
374.81	525.57	484.18	391.48	469.63	469.63	357.79	322.76	374.81	248.88
267.81	304.76	469.63	340.44	286.44	439.44	340.44	439.44	525.57	391.48
439.44	423.81	340.44	469.63	423.81	374.81	340.44	286.44	374.81	484.18
391.48	286.44	340.44	374.81	286.44	248.88	469.63	439.44	423.81	374.81
374.81	322.76	469.63	439.44	423.81	267.81	374.81	286.44	391.48	340.44
322.76	469.63	391.48	286.44	423.81	304.76	248.88	439.44	304.76	322.76

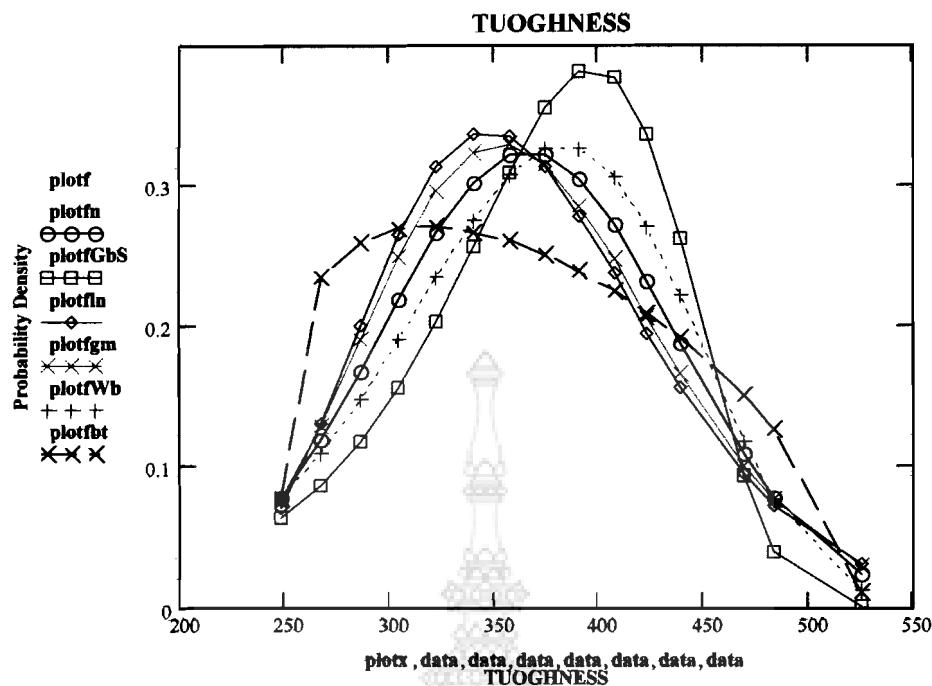
จากการวิเคราะห์ด้วยซอฟต์แวร์ CESTTEST พบว่าค่าเฉลี่ย และส่วนเบี่ยงเบนมาตรฐานเป็น 366.67 และ 69.682 กก./ซม.². ตามลำดับ โดยจะเห็นว่าจำนวนข้อมูล 130 ตัวอย่างมีจำนวนมากกว่า ข้อมูลที่ต้องการ (n_{req}) ซึ่งมีค่าเท่ากับ 96 สำหรับช่วงแห่งความเชื่อมั่นร้อยละ 99($t=2.576$) นอกจากนั้น ซอฟต์แวร์ CESTTEST ได้แนะนำให้มีการแบ่งช่วงข้อมูลออกเป็น 6 ชั้น โดยมีรีดจำกัดช่วงและความถี่ จากค่าสังเกตในแต่ละช่วง ซึ่งมีค่าวิกฤติสำหรับระดับชั้นเสรี (Degree of Freedom, f) เท่ากับ 6-3=3 ที่ระดับความเชื่อมั่น $\alpha = 0.95$ มีค่าเท่ากับ 7.814 ค่าความถี่จากข้อมูลเมื่อเปรียบเทียบค่าความถี่ที่ คำนวณจากความถี่จากการแจกแจงที่ผ่านการทดสอบได้กำลังสอง 2 ชนิด ได้แก่ การแจกแจงค่า ต่ำสุดชนิดที่สามแบบไนนูลล์และการแจกแจงปกติ แสดงในตารางที่ ๑.29

ตารางที่ จ.29 การเปรียบเทียบความถี่ของข้อมูลเทียบกับความถี่ที่ได้จากการแจกแจงที่ผ่านการทดสอบไคกำลังสอง สำหรับค่าการทดสอบความเห็นยิ่ง

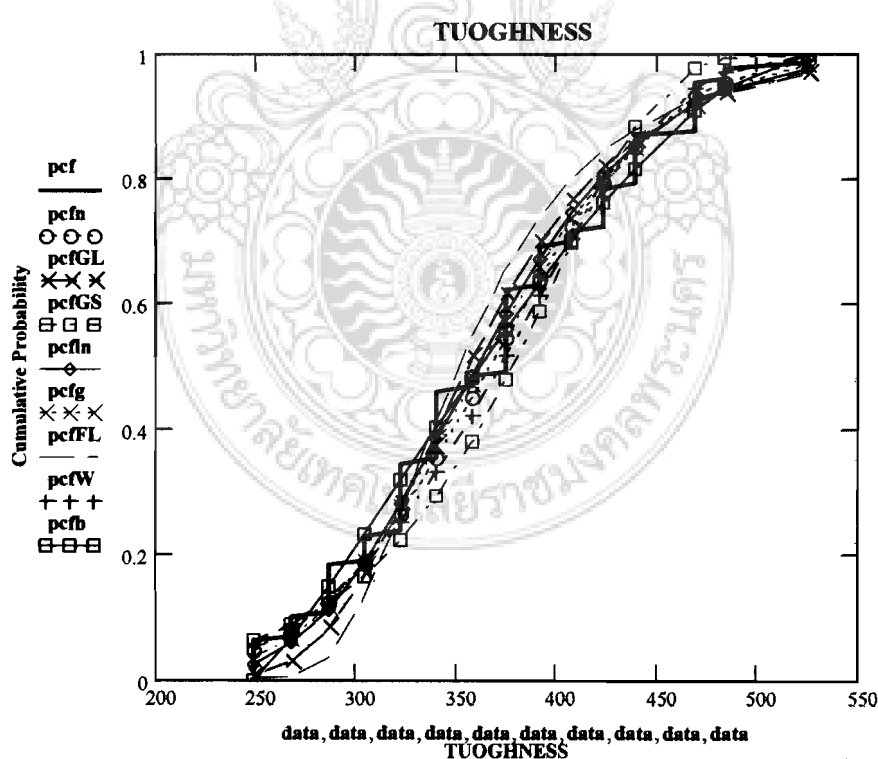
ชั้นที่	ความเห็นยิ่ง (kg-cm)	ความถี่จากข้อมูล	ความถี่ Weibull	ความถี่ Normal
1	248.82 -249	8	7.491	5.932
2	249 – 305.75	22	17.012	18.894
3	305.75 – 362.5	33	33.640	37.068
4	362.5 – 419.25	30	41.226	38.819
5	419.25 - 476	31	25.042	21.701
6	476 – 525.626	6	5.185	6.117
Chi-Square Error ค่าวิกฤติ 7.814			6.111	7.667

จากการทดสอบ K-S (Kolmogorov- Smimov Test) พบร่วมกับความแตกต่างสูงสุด (Maxdif) มี 4 ชนิดเป็นการแจกแจงแบบบivariate การแจกแจงแบบแอกมมา การแจกแจงแบบลอกปีกติและการแจกแจงปีกติมีค่าเป็น 0.080, 0.087, 0.091 และ 0.108 ซึ่งให้ค่าต่ำกว่าเมื่อเปรียบเทียบกับค่าวิกฤติ เท่ากับ 0.119 ตามลำดับ

จะเห็นได้ว่าค่าความเห็นยิ่งของไม้จามจุรี การแจกแจงต่ำสุดชนิดที่สามแบบไบบูลล์ มีค่าความคลาดเคลื่อนจากการทดสอบไคกำลังสองต่ำที่สุด ในขณะที่การแจกแจงบivariate มีค่าความคลาดเคลื่อนจากการทดสอบ K-S ต่ำที่สุด จึงอาจกล่าวได้ว่าการแจกแจงต่ำสุดชนิดที่สามแบบไบบูลล์ และการแจกแจงแบบบivariate มีภาวะเข้ารูปสนใจกับข้อมูลมากที่สุด เนื่องจากให้ความคลาดเคลื่อนน้อยที่สุด และมีค่าน้อยกว่าค่าวิกฤติ จากการทดสอบ K-S ในขณะที่การแจกแจงแบบแอกมมา การแจกแจงลอกปีกติและการแจกแจงปีกติสามารถยอมรับให้ใช้แทนข้อมูลได้ เนื่องจากมีความคลาดเคลื่อนน้อยกว่าค่าวิกฤติ และจากการฟistogram แสดงความสอดคล้องระหว่างข้อมูลค่าความเห็นยิ่งของไม้จามจุรีที่ผ่านการทดสอบภาวะเข้ารูปสนใจไคกำลังสองการทดสอบ K-S สามารถแสดงได้ในรูปที่ จ.29 และ จ.30 ตามลำดับ



รูปที่ จ. 29 การเปรียบเทียบระหว่างความถี่สัมพัทธ์ของค่าการทดสอบความเนียนยวของไม้
ตามจริงกับพังก์ชันความเนียนยวของความกว้างจะเป็นที่ผ่านการทดสอบไก่กำลังสอง



รูปที่ จ.30 การเปรียบเทียบระหว่างความถี่สะสมของค่าการทดสอบความเนียนยวของไม้
ตามจริงกับพังก์ชันการแจกแจงที่ผ่านการทดสอบ K-S

4.2.9 การทดสอบความแข็งของไม้ (Hardness)

การทดสอบความแข็งของไม้ขนานเสียง (Parallel to Grain)

จำนวน 130 ตัวอย่าง แสดงในตารางที่ 4.30

ตารางที่ 4.30 ค่าการทดสอบความแข็งของไม้ขนานเสียง

172.00	166.67	197.33	182.67	168.00	177.33	194.67	180.00	188.00	177.33	161.33
146.67	177.33	164.00	192.00	213.33	208.00	193.33	185.33	165.33	156.00	150.67
192.00	176.00	153.33	186.67	180.00	176.00	188.00	133.33	202.67	181.33	165.33
177.33	160.00	200.00	198.67	162.67	150.67	185.33	182.67	166.67	165.33	185.33
193.33	164.00	178.67	137.33	142.67	148.00	134.67	164.00	178.67	213.33	177.33
136.00	157.33	220.00	201.33	193.33	149.33	142.67	166.67	194.67	214.67	184.00
160.00	166.67	157.33	177.33	140.00	158.67	185.33	185.33	198.67	142.67	142.67
186.67	150.67	129.33	166.67	194.67	177.33	202.67	168.00	198.67	193.33	149.33
210.67	220.00	233.33	230.67	209.33	186.67	136.00	168.00	140.00	110.67	186.67
130.67	165.33	141.33	165.33	193.33	165.33	181.33	153.33	188.00	174.67	189.33
161.33	180.00	194.67	188.00	201.33	189.33	158.67	180.00	181.33	213.33	165.33
189.33	192.00	162.67	192.00	201.33	178.67	204.00	205.33	182.67	178.98	204.89

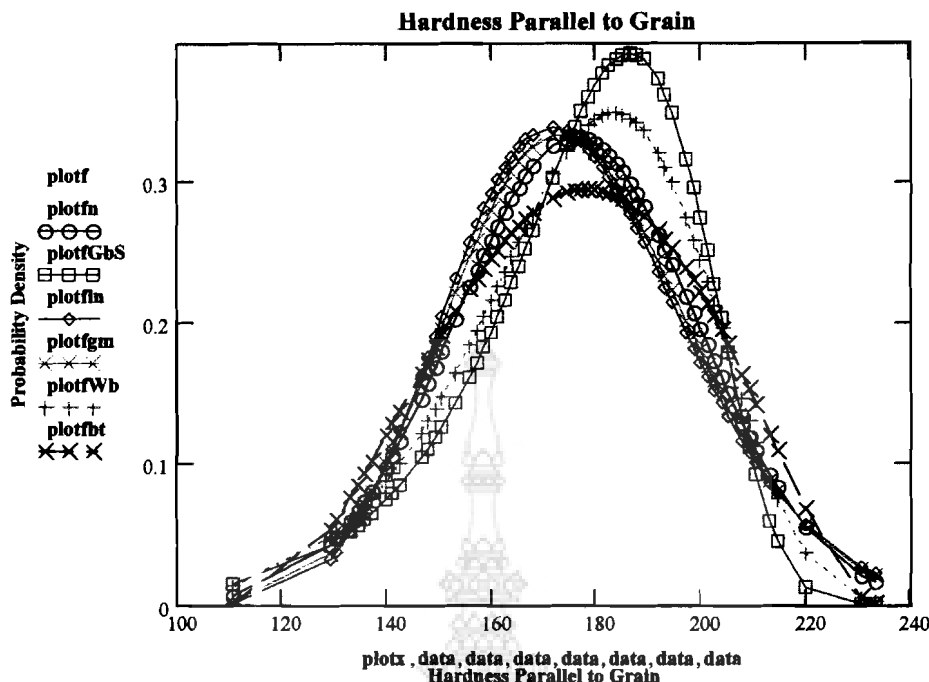
จากการวิเคราะห์ด้วยซอฟต์แวร์ CESTTEST พบร้าค่าเฉลี่ย และส่วนเบี่ยงเบนมาตรฐานเป็น 176.245 และ 23.105 กก./มม ตามลำดับ โดยจะเห็นว่าจำนวนข้อมูล 130 ตัวอย่าง มีจำนวนมากกว่าข้อมูลที่ต้องการ (n_{req}) ซึ่งมีค่าเท่ากับ 46 สำหรับช่วงแห่งความเชื่อมั่นร้อยละ 99 ($t=2.567$) นอกจากนั้นซอฟต์แวร์ CESTTEST ได้แนะนำให้มีการแบ่งช่วงข้อมูลออกเป็น 6 ชั้น โดยมีขีดจำกัดช่วงและความถี่จากค่าสังเกตในแต่ละช่วง ซึ่งมีค่าวิกฤติสำหรับระดับชั้นเสรี (Degree of Freedom, f) เท่ากับ $6-3 = 3$ ที่ระดับความเชื่อมั่น $\alpha = 0.95$ มีค่าเท่ากับ 7.814 ค่าความถี่จากข้อมูลเมื่อเปรียบเทียบค่าความถี่ที่คำนวนจากความถี่จากการแยกแจงที่ผ่านการทดสอบไปกำลังสอง 4 ชนิด ได้แก่ การแยกแจงปวกติ การแยกแจงแกรมมา การแยกแจงบีต้า และการแยกแจงลอกปวกติ แสดงในตารางที่ 4.31

ตารางที่ จ.31 การเปรียบเทียบความถี่ของข้อมูลเทียบกับความถี่ที่ได้จากการแจกแจงที่ผ่านการทดสอบไคกำลังสอง สำหรับค่าการทดสอบความแปรปรวนเสียงของไม้จามจุรี

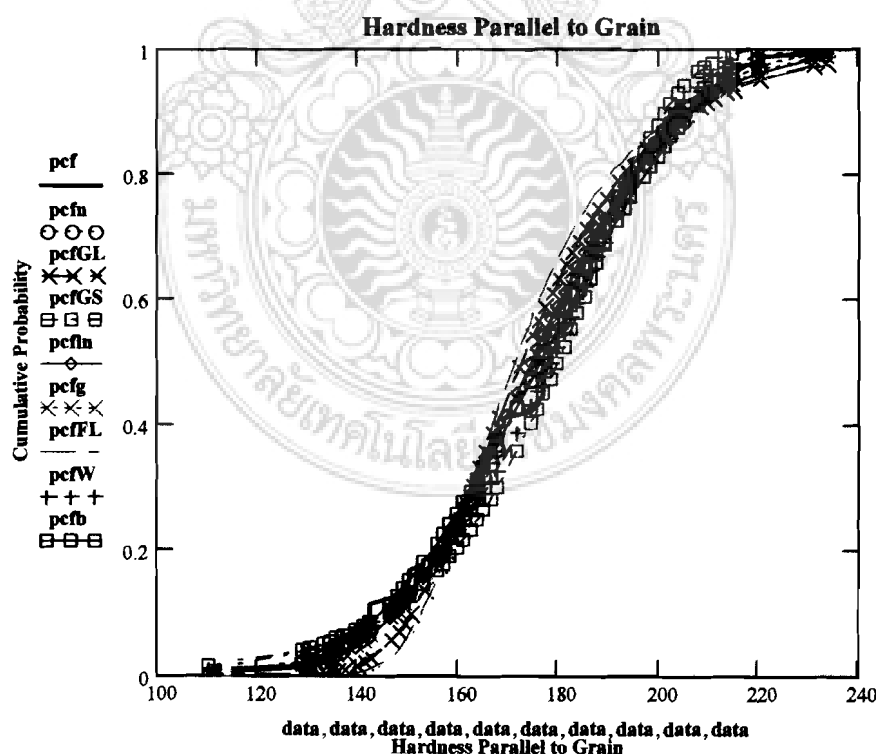
ขั้นที่	กำลังแรงอัด (kg)	ความถี่ทาง ข้อมูล	ความถี่ Normal	ความถี่ Gamma	ความถี่ Beta	ความถี่ Lognormal
1	110.65 – 136	5	5.3	4.172	5.566	3.561
2	136 – 155.25	19	18.328	19.639	20.553	20.145
3	155.25 – 174.5	30	37.456	39.525	34.391	40.723
4	174.5 – 193.75	49	39.749	38.255	37.128	37.674
5	193.75 – 213	19	21.907	20.294	25.548	19.480
6	213 – 233.35	8	6.384	6.675	6.811	6.676
Chi-Square Error			4.473	5.843	6.417	7.148
ค่าวิกฤติ 7.814						

จากการทดสอบ K-S (Kolmogorov-Smirnov Test) พบว่าค่าความแตกต่างสูงสุด (Maxdif) มี 5 ชนิดเป็นการแจกแจงบีตา การแจกแจงปกติ การแจกแจงต่ำสุดชนิดที่สามแบบไวบูล์ การแจกแจงแกมมาและการแจกแจงลอกปกติมีค่าเป็น 0.062, 0.072, 0.081, 0.089 และ 0.098 ซึ่งให้ค่าต่ำกว่าเมื่อเปรียบเทียบกับค่าวิกฤติเท่ากับ 0.119 ตามลำดับ

จะเห็นได้ว่าค่าความแปรปรวนเสียงของไม้จามจุรี การแจกแจงปกติมีค่าความคลาดเคลื่อนจากการทดสอบไคกำลังสองต่ำที่สุด ในขณะเดียวกันการแจกแจงบีตามีค่าความคลาดเคลื่อนจากการทดสอบ K-S ต่ำที่สุด จึงอาจกล่าวได้ว่า การแจกแจงปกติและการแจกแจงบีตามีภาวะเข้ารูปสนใจกับข้อมูลมากที่สุด เมื่อจากให้ความคลาดเคลื่อนน้อยที่สุดและมีค่าน้อยกว่าค่าวิกฤติ จากการทดสอบ K-S ในขณะที่ การแจกแจงปกติ การแจกแจงต่ำสุดชนิดที่สามแบบไวบูล์ การแจกแจงแกมมาและการแจกแจงลอกปกติสามารถยอมรับให้ใช้แทนข้อมูลได้ เมื่อจากมีความคลาดเคลื่อนน้อยกว่าค่าวิกฤติ และจากการแสดงความสอดคล้องระหว่างข้อมูลค่าความแปรปรวนเสียงของไม้จามจุรี ที่ผ่านการทดสอบภาวะเข้ารูปสนใจกิกำลังสองและการทดสอบ K-S สามารถแสดงได้ในรูปที่ จ.31 และ จ.32 ตามลำดับ



รูปที่ 7.31 การเปรียบเทียบระหว่างความถี่สัมพัทธ์ของค่าการทดสอบความแข็งข่านเสี้ยนของไม้จามจุรีกับพิงก์ชันความหนาแน่นของความน่าจะเป็นที่ผ่านการทดสอบไคกำลังสอง



รูปที่ 7.32 การเปรียบเทียบระหว่างความถี่สะสมของค่าการทดสอบความแข็งข่านเสี้ยนของไม้จามจุรีกับพิงก์ชันการแจกแจงที่ผ่านการทดสอบ K-S

การทดสอบความแข็งสัมผัสเสี่ยน ของไม้ (Tangent to Grain)

จำนวน 130 ตัวอย่าง แสดงในตารางที่ ฯ.32

ตารางที่ ฯ.32 ค่าการทดสอบความแข็งสัมผัสเสี่ยนของไม้ตามจริง

82.67	65.33	72.00	88.00	93.33	98.67	72.00	64.00	82.67	81.33	84.00
86.67	92.00	112.00	57.33	48.00	70.67	56.00	100.00	78.67	82.67	88.00
112.00	70.67	70.67	82.67	65.33	84.00	88.00	78.67	96.00	106.67	82.67
117.33	118.67	72.00	109.33	120.00	100.00	74.67	112.00	66.67	97.33	76.00
108.00	100.00	84.00	69.33	97.33	76.00	60.00	84.00	101.33	86.67	68.00
89.33	68.00	76.00	65.33	62.67	93.33	88.00	102.67	73.33	82.67	94.67
80.00	57.33	82.67	85.33	82.67	81.33	61.33	68.00	77.33	74.67	60.00
65.33	77.33	94.67	65.33	102.67	69.33	102.67	64.00	98.67	73.33	66.67
94.67	81.33	109.33	66.67	73.33	81.33	69.33	80.00	84.00	102.67	64.00
73.33	84.00	77.33	81.33	61.33	76.00	89.33	65.33	89.33	78.67	81.33
94.67	77.33	85.33	65.33	89.33	73.33	85.33	84.00	84.00	68.00	65.33
70.67	73.33	57.33	72.00	85.33	65.33	81.33	77.33	65.33	80.85	73.86

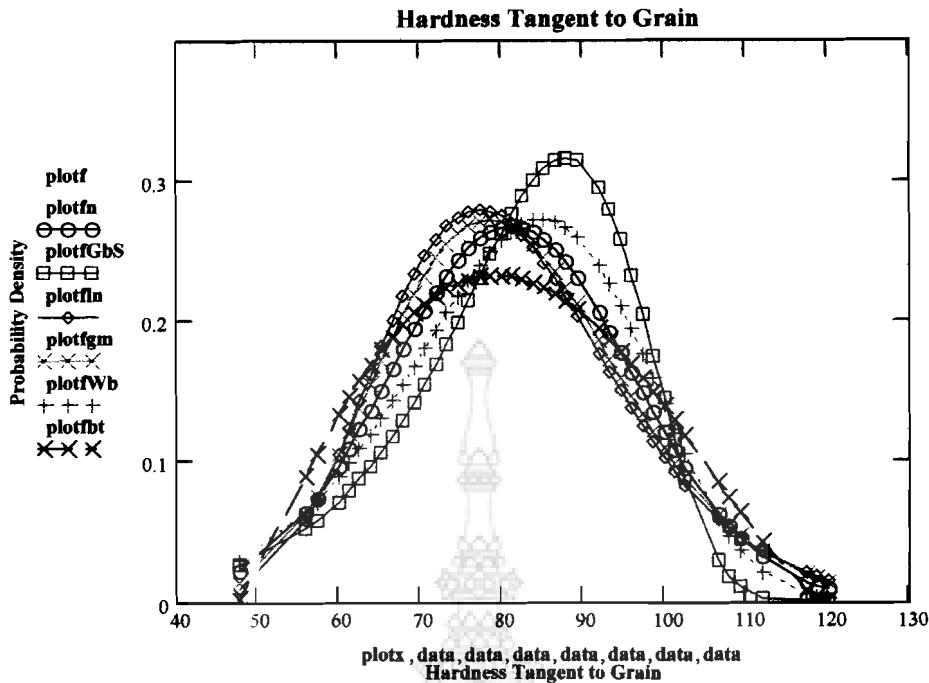
จากการวิเคราะห์ด้วยซอฟต์แวร์ CESTTEST พบรากาศเฉลี่ย และส่วนเบี่ยงเบนมาตรฐานเป็น 81.25 และ 14.875 กก./มม ตามลำดับ โดยจะเห็นว่าจำนวนข้อมูล 130 ตัวอย่าง มีจำนวนมากกว่า ข้อมูลที่ต้องการ (n_{req}) ซึ่งมีค่าเท่ากับ 89 สำหรับช่วงแห่งความเชื่อมั่นร้อยละ 99($t=2.576$) นอกจากนั้น ซอฟต์แวร์ CESTTEST ได้แนะนำให้มีการแบ่งช่วงข้อมูลออกเป็น 7 ชั้น โดยมีติดจำากัดช่วงและความถี่ จากค่าสังเกตในแต่ละช่วง ซึ่งมีค่าวิกฤติสำหรับระดับชั้นเสรี (Degree of Freedom, f) เท่ากับ $7-3=4$ ที่ระดับความเชื่อมั่น $\alpha = 0.95$ มีค่าเท่ากับ 9.487 ค่าความถี่จากข้อมูลเมื่อเปรียบเทียบค่าความถี่ที่คำนวณจากความถี่จากการแจกแจงที่ผ่านการทดสอบได้กำลัง พบรากาศไม่มีค่าความถี่การแจกแจงจากข้อมูลนิดใดผ่านการทดสอบได้กำลังสอง แสดงในตารางที่ ฯ.33

ตารางที่ จ.33 การเปรียบเทียบความต่างของข้อมูลเทียบกับความต่างที่ได้จากการแจกแจงที่ผ่านการทดสอบไคกำลังสอง สำหรับค่าการทดสอบความแข็งแสปร์สเลียนของไม้จามจุรี

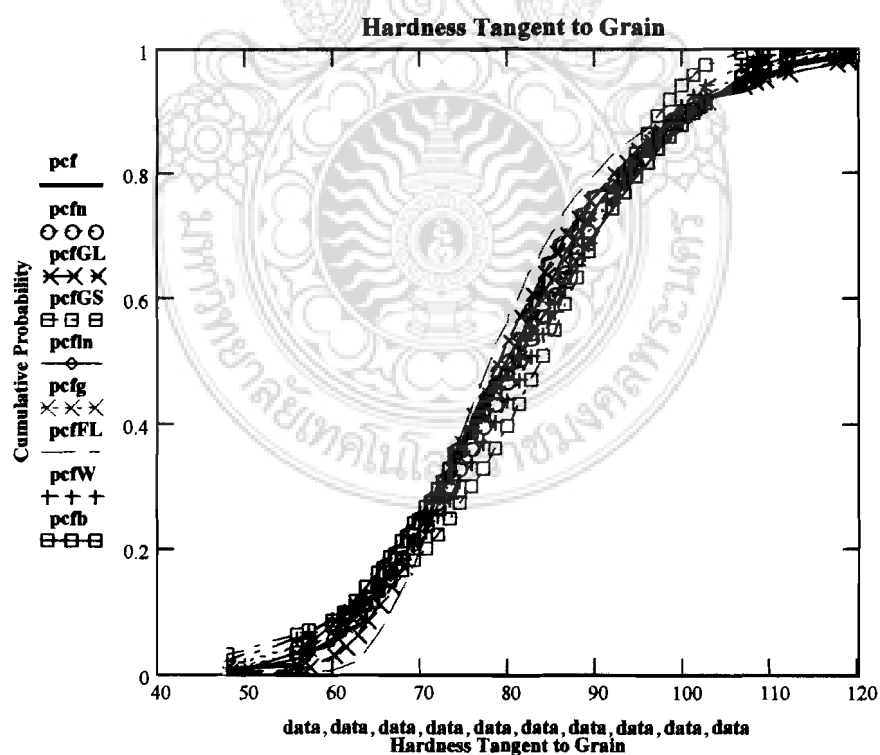
ขั้นตี่	ความแข็ง (kg)	ความต่างของข้อมูล	ความต่าง
1	48 – 59	5	-
2	59 – 69	25	-
3	69 – 79	31	-
4	79 – 89	35	-
5	89 – 99	16	-
6	99 – 109	10	-
7	109 – 120	8	-
Chi-Square Error ค่าวิกฤติ 9.48773		-	

จากการทดสอบ K-S (Kolmogorov-Sminov Test) พบร่วมค่าความแตกต่างสูงสุด (Maxdif) มี 5 ชนิดเป็นการแจกแจงแบบลอกปกติ การแจกแจงแบบแกมมา การแจกแจงชนิดที่หนึ่งค่าสูงสุดแบบกุมเบล การแจกแจงแบบปกติ และการแจกแจงแบบบีตาเมิร์ค่าเป็น 0.053, 0.065, 0.080, 0.088 และ 0.089 ซึ่งให้ค่าต่ำกว่าเมื่อเปรียบเทียบกับค่าวิกฤติเท่ากับ 0.119

จะเห็นได้ว่าค่าความแข็งแสปร์สเลียนของไม้จามจุรี ไม่มีการแจกแจงชนิดใดมีค่าความคลาดเคลื่อนต่ำกว่าค่าวิกฤตจากการทดสอบไคกำลังสอง ในขณะเดียวกันการแจกแจงแบบลอกปกติมีค่าความคลาดเคลื่อนจากการทดสอบ K-S ต่ำที่สุด จึงอาจกล่าวได้ว่าการแจกแจงแบบลอกปกติ มีภาวะเข้ารูปสนิทกับข้อมูลมากที่สุด เนื่องจากให้ความคลาดเคลื่อนน้อยที่สุดและมีค่าน้อยกว่าค่าวิกฤตจากการทดสอบ K-S ในขณะที่การแจกแจงแบบแกมมา การแจกแจงชนิดที่หนึ่งค่าสูงสุดแบบกุมเบล การแจกแจงแบบบีตา และการแจกแจงแบบบีตาเมิร์คสามารถยอมรับให้ใช้แทนข้อมูลได้เนื่องจากมีความคลาดเคลื่อนน้อยกว่าค่าวิกฤต และจากการทดสอบพบความต่อคล้องระหว่างข้อมูลค่าความแข็งแสปร์สเลียนของไม้จามจุรี ที่ผ่านการทดสอบภาวะเข้ารูปสนิทไคกำลังสองและการทดสอบ K-S สามารถแสดงได้ในรูปที่ จ.33 และ จ.34 ตามลำดับ



รูปที่ 4.33 การเปรียบเทียบระหว่างความถี่สัมพัทธ์ของค่าการทดสอบความแข็งสัมผัสเสี้ยนของไม้จามจุรีกับพังก์ขันความหนาแน่นของความน่าจะเป็นที่ผ่านการทดสอบโดยกำลังสอง



รูปที่ 4.34 การเปรียบเทียบระหว่างความถี่สะสมของค่าการทดสอบความแข็งสัมผัสเสี้ยนของไม้จามจุรีกับพังก์ขันการแจกแจงที่ผ่านการทดสอบ K-S

ค่าการทดสอบความแข็งตั้งจากเส้น (Perpendicular to Grain)

จำนวน 130 ตัวอย่าง แสดงในตารางที่ จ.34

ตารางที่ จ.34 ค่าการทดสอบความแข็งตั้งจากเส้นของไม้จำปารี

81.33	97.33	84.00	98.67	102.67	86.67	113.33	93.33	93.33	97.33	116.00
98.67	108.00	86.67	97.33	78.67	73.33	116.00	74.67	101.33	125.33	104.00
128.00	73.33	114.67	97.33	82.67	101.33	70.67	70.67	118.67	98.67	124.00
120.00	81.33	78.67	118.67	89.33	90.67	116.00	77.33	77.33	118.67	116.00
108.00	129.33	89.33	86.67	128.00	117.33	85.33	81.33	80.00	122.67	98.67
106.67	93.33	80.00	126.67	110.67	77.33	89.33	102.67	102.67	77.33	102.67
89.33	66.67	92.00	77.33	102.67	101.33	76.00	84.00	104.00	82.67	86.67
82.67	73.33	122.67	84.00	113.33	80.00	130.67	74.67	120.00	84.00	76.00
96.00	94.67	128.00	105.33	72.00	80.00	98.67	90.67	72.00	109.33	64.00
78.67	78.67	84.00	90.67	74.67	88.00	78.67	68.00	73.33	68.00	76.00
81.33	81.33	78.67	81.33	78.67	81.33	76.00	80.00	90.67	78.67	69.33
77.33	85.33	94.67	82.67	76.00	76.00	78.67	97.33	74.67	89.32	79.54

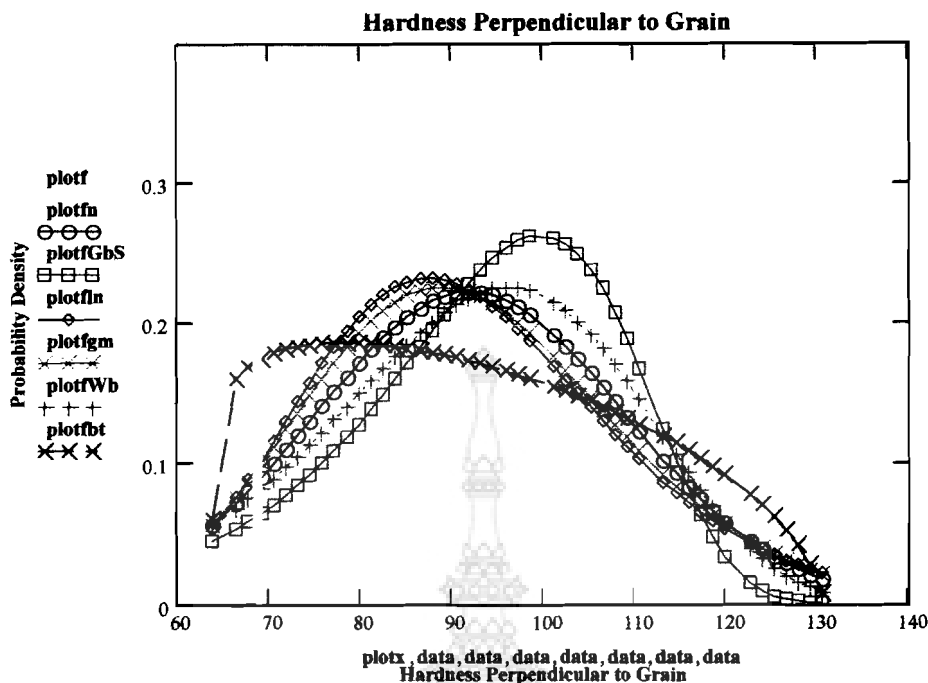
จากการวิเคราะห์ด้วยซอฟต์แวร์ CESTTEST พนว่าค่าเฉลี่ย และส่วนเบี่ยงเบนมาตรฐานเป็น 92.164 และ 17.026 กก./มม ตามลำดับ โดยจะเห็นว่าจำนวนข้อมูล 130 ตัวอย่าง มีจำนวนมากกว่า ข้อมูลที่ต้องการ (n_{req}) ซึ่งมีค่าเท่ากับ 91 สำหรับช่วงแห่งความเชื่อมั่นร้อยละ 99($t=2.567$) นอกจากนั้น ซอฟต์แวร์ CESTTEST ได้แนะนำให้มีการแบ่งช่วงข้อมูลออกเป็น 7 ชั้น โดยมีชีดจำกัดช่วงและความถี่ จากค่าสังเกตในแต่ละช่วง ซึ่งมีค่าวิกฤติสำหรับระดับชั้นเสรี (Degree of Freedom, f) เท่ากับ $7-3=4$ ที่ระดับความเชื่อมั่น $\alpha = 0.95$ มีค่าเท่ากับ 9.487 ค่าความถี่จากข้อมูลเมื่อเปรียบเทียบค่าความถี่ที่ คำนวณจากความถี่จากการแจกแจงที่ผ่านการทดสอบได้กำลัง พนว่าไม่มีค่าความถี่การแจกแจง จากข้อมูลนิดใดผ่านการทดสอบได้กำลังสอง แสดงในตารางที่ จ.35

ตารางที่ จ.35 การเปรียบเทียบความถี่ของข้อมูลเทียบกับความถี่ที่ได้จากการแจกแจงที่ผ่านการทดสอบโดยกำลังสอง สำหรับค่าการทดสอบความแย้งตั้งจากเสียงของไม้จามจุรี

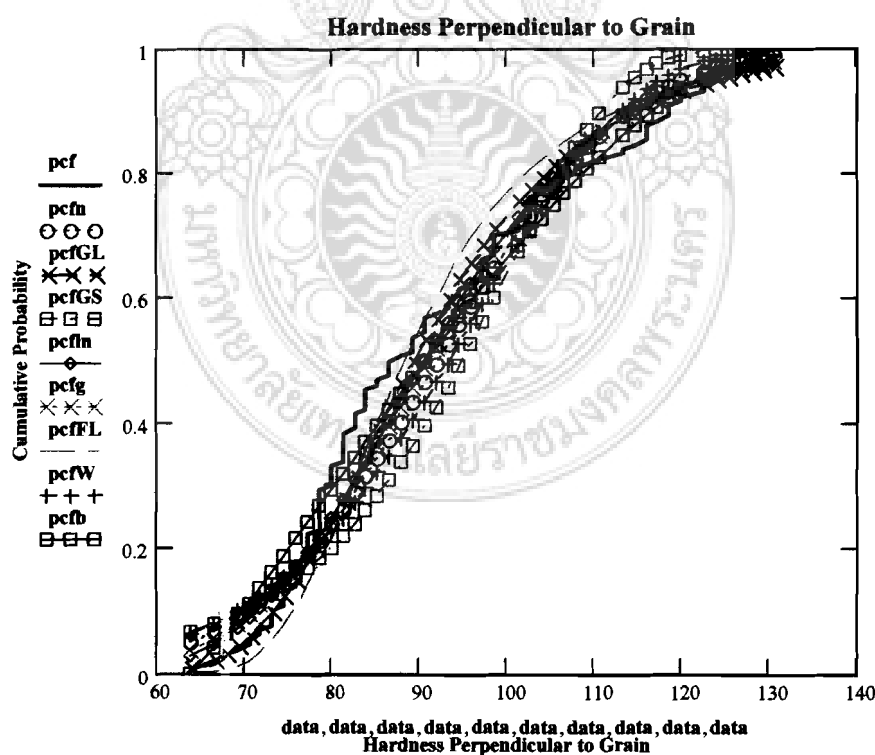
ขั้นที่	ความเมี้ยง (kg)	ความถี่จากข้อมูล	ความถี่
1	64 – 73.6	13	-
2	73.6 -83.1	41	-
3	83.1 – 92.6	21	-
4	92.6 – 102.1	19	-
5	102.1 – 111.6	13	-
6	111.6 – 121.1	13	-
7	121.1 -130.67	10	-
Chi-Square Error ค่ากิจฤทธิ์ 9.487		-	

จากการทดสอบ K-S (Kolomogorov-Sminov Test) พบร่วมค่าความแตกต่างสูงสุด (Maxdif) มี 3 ชนิดเป็นการแจกแจงแบบบีตา การแจกแจงชนิดที่หนึ่งค่าสูงสุดแบบกุมเบลและการแจกแจงแบบ ลอกปراกติมีค่าเป็น 0.085, 0.103 และ 0.114 ซึ่งให้ค่าต่ำกว่าเมื่อเปรียบเทียบกับค่าวิกฤติเท่ากับ 0.119 ตามลำดับ

จะเห็นได้ว่าความแย้งตั้งจากเสียงของไม้จามจุรี ไม่มีการแจกแจงชนิดใดมีค่าความคลาดเคลื่อนต่ำกว่าค่าวิกฤตจากทำการทดสอบโดยกำลังสอง ในขณะเดียวกันการแจกแจงแบบบีตานี้มีค่าความคลาดเคลื่อนจากการทดสอบ K-S ต่ำที่สุด จึงอาจกล่าวได้ว่าการแจกแจงแบบบีตานี้ภาวะเข้ากูปสนใจ กับข้อมูลมากที่สุด เนื่องจากให้ความคลาดเคลื่อนน้อยที่สุดและมีค่าน้อยกว่าค่าวิกฤต จากการทดสอบ K-S ในขณะที่การแจกแจงชนิดที่หนึ่งค่าสูงสุดแบบกุมเบลและการแจกแจงแบบลอกปراกติ ก็สามารถยอมรับให้ใช้แทนข้อมูลได้เนื่องจากมีความคลาดเคลื่อนน้อยกว่าค่าวิกฤติ และจากการแสดงความสอดคล้องระหว่างข้อมูลค่าความแย้งตั้งจากเสียงของไม้จามจุรี ที่ผ่านการทดสอบภาวะเข้ากูปสนใจ โดยกำลังสองและการทดสอบ K-S สามารถแสดงได้ในรูปที่ จ.35 และ จ.36 ตามลำดับ



รูปที่ จ.35 การเปรียบเทียบระหว่างความถี่สัมพัทธ์ของค่าการทดสอบความแข็งตั้งจากเสียงของไม้จามจุรีกับพังก์ชนิดความหนาแน่นของความน่าจะเป็นที่ผ่านการทดสอบไปกำลังสอง



รูปที่ จ.36 การเปรียบเทียบระหว่างความถี่สะสมของค่าการทดสอบความแข็งตั้งจากเสียงของไม้จามจุรีกับพังก์ชนิดการแจกแจงที่ผ่านการทดสอบ K-S

๔.2.10 การทดสอบค่าความถ่วงจำเพาะและการทดสอบตัว

การทดสอบความถ่วงจำเพาะ (Specific Gravity) จำนวน 130 ตัวอย่าง

แสดงในตารางที่ ๔.36

ตารางที่ ๔.36 ค่าการทดสอบค่าความถ่วงจำเพาะของไม้จามจุรี

0.55	0.43	0.54	0.48	0.56	0.54	0.54	0.57	0.49	0.48
0.48	0.54	0.54	0.56	0.48	0.49	0.55	0.54	0.53	0.47
0.52	0.47	0.54	0.58	0.51	0.56	0.56	0.55	0.61	0.54
0.50	0.46	0.49	0.48	0.45	0.54	0.50	0.48	0.49	0.51
0.55	0.50	0.51	0.57	0.40	0.41	0.44	0.45	0.52	0.54
0.53	0.48	0.48	0.48	0.45	0.51	0.42	0.56	0.50	0.40
0.51	0.54	0.52	0.58	0.48	0.39	0.56	0.51	0.50	0.56
0.51	0.41	0.52	0.46	0.57	0.56	0.51	0.46	0.54	0.48
0.48	0.53	0.61	0.55	0.50	0.53	0.54	0.52	0.56	0.55
0.53	0.56	0.52	0.49	0.55	0.49	0.51	0.55	0.49	0.49
0.49	0.57	0.52	0.47	0.53	0.48	0.53	0.51	0.51	0.49
0.45	0.55	0.49	0.57	0.55	0.52	0.54	0.49	0.51	0.49
0.53	0.52	0.57	0.50	0.48	0.51	0.46	0.57	0.60	0.44

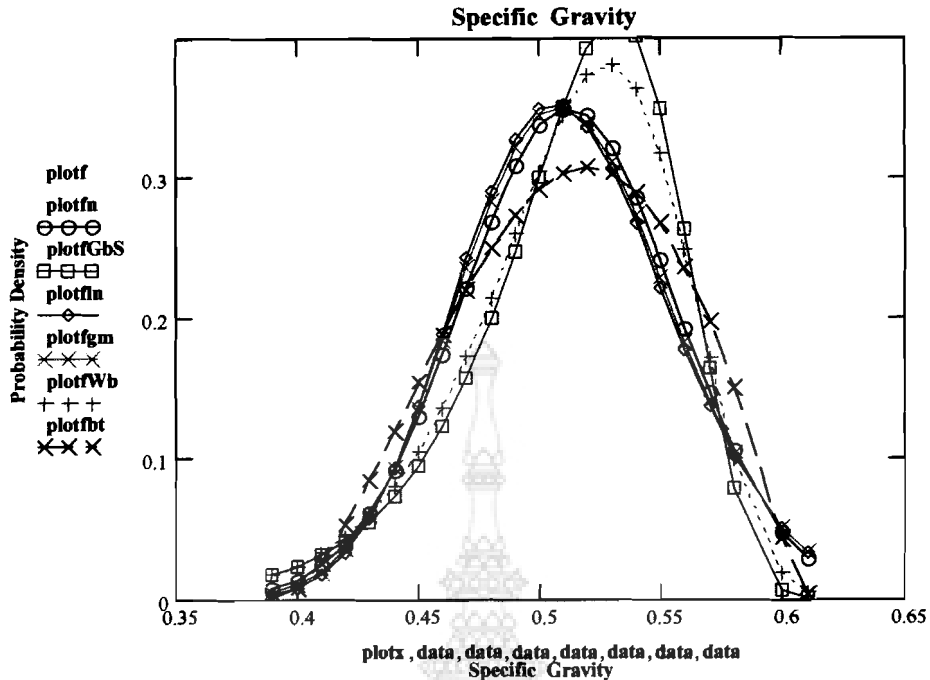
จากการวิเคราะห์ด้วยซอฟต์แวร์ CESTTEST พนวณค่าเฉลี่ย และส่วนเบี่ยงเบนมาตรฐานเป็น 0.512 และ 0.044 ตามลำดับ โดยจะเห็นว่าจำนวนข้อมูล 130 ตัวอย่าง มีจำนวนมากกว่าข้อมูลที่ต้องการ (n_{req}) ซึ่งมีค่าเท่ากับ 20 สำหรับช่วงแห่งความเชื่อมั่นร้อยละ 99 ($t=2.576$) นอกจากนั้น ซอฟต์แวร์ CESTTEST ได้แนะนำให้มีการแบ่งช่วงข้อมูลออกเป็น 6 ชั้น โดยมีจุดจำกัดช่วงและความถี่จากค่าสังเกตในแต่ละช่วง ซึ่งมีค่าวิกฤติสำหรับระดับขั้นเสรี (Degree of Freedom, f) เท่ากับ 6-3=3 ที่ระดับความเชื่อมั่น $\alpha = 0.95$ มีค่าเท่ากับ 7.814 ค่าความถี่จากข้อมูลเมื่อเปรียบเทียบค่าความถี่ที่คำนวณจากความถี่จากการแจกแจงที่ผ่านการทดสอบไปกำลังสองจำนวน 2 ชนิด ได้แก่ การแจกแจงตัวสุ่มชนิดที่สามแบบไนมูลต์ และการแจกคลอกปกติ แสดงในตารางที่ ๔.37

ตารางที่ จ.37 การเปรียบเทียบความถี่ของข้อมูลเทียบกับความถี่ที่ได้จากการแจกแจงที่ผ่านการทดสอบไปกำลังสอง สำหรับค่าการทดสอบความถ่วงจำเพาะของน้ำจามจุรี

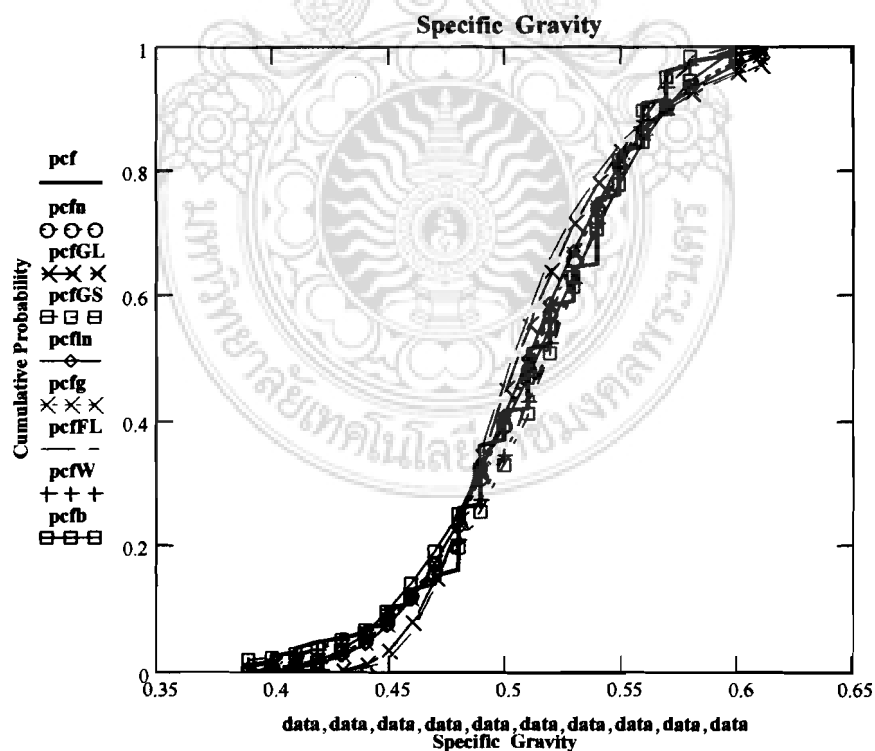
ขั้นที่	ความถ่วงจำเพาะ	ความถี่จากข้อมูล	ความถี่ Weibull	ความถี่ Gumbel
1	0.389 – 0.415	5	3.844	4.274
2	0.415 – 0.452	8	9.315	8.470
3	0.452 – 0.492	34	24.493	22.708
4	0.492 – 0.531	37	44.678	45.891
5	0.531 – 0.57	41	39.176	42.393
6	0.57 – 0.61	6	8.391	6.253
Chi-Square Error			6.998	7.783
ค่าวิกฤติ 7.814				

จากการทดสอบ K-S (Kolmogorov- Smirnov Test) พบร่วมค่าความแตกต่างสูงสุด (Maxdif) มี 5 ชนิดเป็นการแจกแจงปกติ การแจกแจงแกมมา การแจกแจงต่ำสุดชนิดที่สามแบบไนบูลล์ การแจกแจงลอกปกติ การแจกแจงชนิดที่หนึ่งค่าต่ำสุดแบบกุมเบล มีค่าเป็น 0.083, 0.089, 0.090, 0.092 และ 0.105 ซึ่งให้ค่าต่ำกว่าเมื่อเปรียบเทียบกับค่าวิกฤติเท่ากับ 0.119 ตามลำดับ

จะเห็นได้ว่าความถ่วงจำเพาะของน้ำจามจุรี การแจกแจงต่ำสุดชนิดที่สามแบบไนบูลล์ มีค่าความคลาดเคลื่อนจากการทดสอบไปกำลังสองต่ำที่สุด ในขณะเดียวกันการแจกแจงปกติ มีค่าความคลาดเคลื่อนจากการทดสอบ K-S ต่ำที่สุด จึงอาจกล่าวได้ว่าการแจกแจงต่ำสุดชนิดที่สามแบบไนบูลล์และการแจกแจงปกติมีภาวะเข้ารูปสนิทกับข้อมูลมากที่สุด เนื่องจากให้ความคลาดเคลื่อนจากการทดสอบน้อยที่สุดและมีค่าน้อยกว่าค่าวิกฤติ จากการทดสอบ K-S ในขณะที่การแจกแจงแกมมา การแจกแจงต่ำสุดชนิดที่สามแบบไนบูลล์ การแจกแจงลอกปกติ การแจกแจงชนิดที่หนึ่งค่าต่ำสุดแบบกุมเบล ก็สามารถยอมรับให้ใช้แทนข้อมูลได้เนื่องจากมีความคลาดเคลื่อนน้อยกว่าค่าวิกฤติ และจากการแสดงความสอดคล้องระหว่างข้อมูลค่าความถ่วงจำเพาะของน้ำจามจุรี ที่ผ่านการทดสอบภาวะเข้ารูปสนิทไปกำลังสองและการทดสอบ K-S สามารถแสดงได้ในรูปที่ จ.37 และ จ.38 ตามลำดับ



รูปที่ 4.37 การเปรียบเทียบระหว่างความถี่สัมพัทธิ์ของค่าการทดสอบความถ่วงจำเพาะของไม้จากจริงกับพังก์ชันความหนาแน่นของความน่าจะเป็นที่ผ่านการทดสอบไคกำลังสอง



รูปที่ 4.38 การเปรียบเทียบระหว่างความถี่สะสมของค่าการทดสอบความถ่วงจำเพาะของไม้จากจริงกับพังก์ชันการแจกแจงที่ผ่านการทดสอบ K-S

ค่าการทดสอบปริมาตรการหดตัว (Shrinkage in volume)

ปริมาตรการหดตัว จำนวน 130 ตัวอย่างแสดงในตารางที่ จ.38

ตารางที่ จ.38 ค่าการทดสอบปริมาตรการหดตัวของไม้จำรูญ

4.83	5.20	4.88	4.64	4.99	5.20	5.28	4.85	4.92	5.23
4.71	5.18	4.91	4.70	5.44	4.90	4.73	4.18	4.19	4.79
4.09	4.70	4.09	5.35	4.84	5.00	4.35	3.97	4.44	4.77
3.71	4.03	3.81	3.78	4.85	4.63	4.26	5.32	4.57	4.76
5.44	3.28	4.06	4.45	4.42	4.73	4.97	3.70	3.53	4.82
3.61	3.92	4.86	5.30	3.94	4.70	5.04	4.61	3.35	3.56
3.48	4.79	5.44	4.47	3.65	4.75	5.00	4.64	4.18	5.06
4.30	4.50	3.42	4.66	4.33	3.91	4.08	4.74	5.07	5.06
4.14	5.65	3.36	4.22	5.36	6.08	4.75	6.05	5.47	4.28
5.93	4.62	5.07	4.93	5.33	4.61	4.85	5.46	5.50	6.25
4.66	5.81	3.28	5.78	3.87	5.30	6.23	5.30	5.73	4.83
4.33	5.43	3.94	6.64	4.72	4.31	5.76	5.55	4.65	4.73
4.69	4.67	4.43	5.46	6.12	3.24	3.56	5.08	4.56	4.45

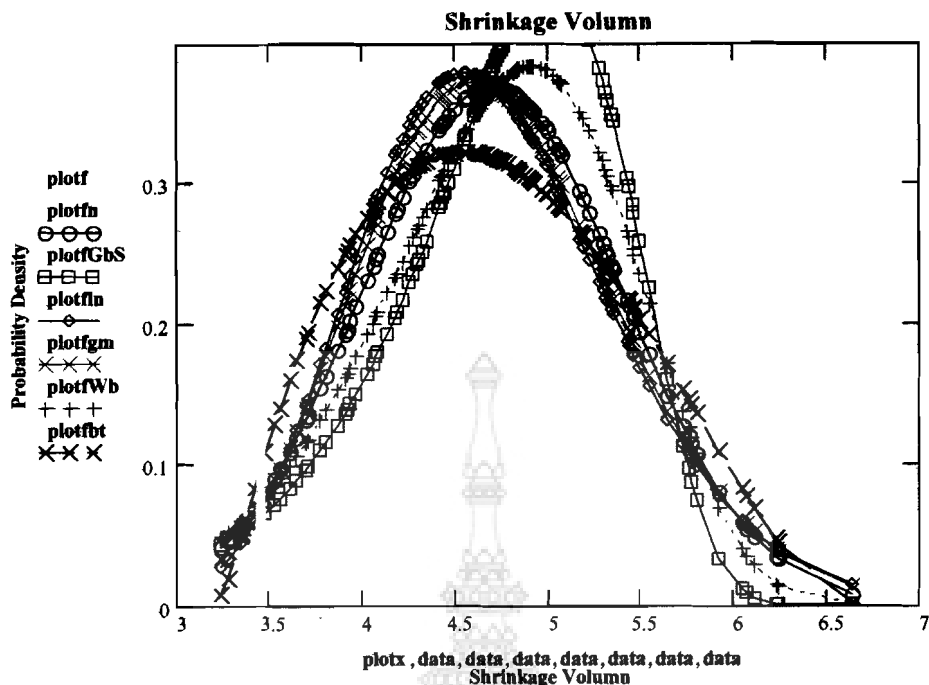
จากการวิเคราะห์ด้วยซอฟต์แวร์ CESTTEST พบว่าค่าเฉลี่ย และส่วนเบี่ยงเบนมาตรฐานเป็น 4.707 และ 0.701 ตามลำดับ โดยจะเห็นว่าจำนวนชั้้อมูล 130 ตัวอย่าง มีจำนวนมากกว่าชั้้อมูลที่ต้องการ (n_{req}) ซึ่งมีค่าเท่ากับ 59 สำหรับช่วงแห่งความเชื่อมั่นร้อยละ 99($t=2.576$) นอกจากนั้น ซอฟต์แวร์ CESTTEST ได้แนะนำให้มีการแบ่งช่วงชั้้อมูลออกเป็น 6 ชั้น โดยมีชิดจำากัดช่วงและความถี่จากค่าสังเกตในแต่ละช่วง ซึ่งมีค่าวิกฤติสำหรับระดับชั้นเสรี (Degree of Freedom, f) เท่ากับ $6-3=3$ ที่ระดับความเชื่อมั่น $\alpha = 0.95$ มีค่าเท่ากับ 7.814 ค่าความถี่จากชั้้อมูลเมื่อเปรียบเทียบ ค่าความถี่ที่คำนวณจากความถี่จากการแจกแจงที่ผ่านการทดสอบโดยกำลังสองจำนวน 2 ชนิด ได้แก่ การแจกแจงปกติและการแจกแจงแกมมา แสดงในตารางที่ จ.39

ตารางที่ จ.39 การเปรียบเทียบความถี่ของข้อมูลเทียบกับความถี่ที่ได้จากการแจกแจงที่ผ่านการทดสอบไคกำลังสอง สำหรับค่าการทดสอบปริมาณการทดสอบตัวของไม้จามจุรี

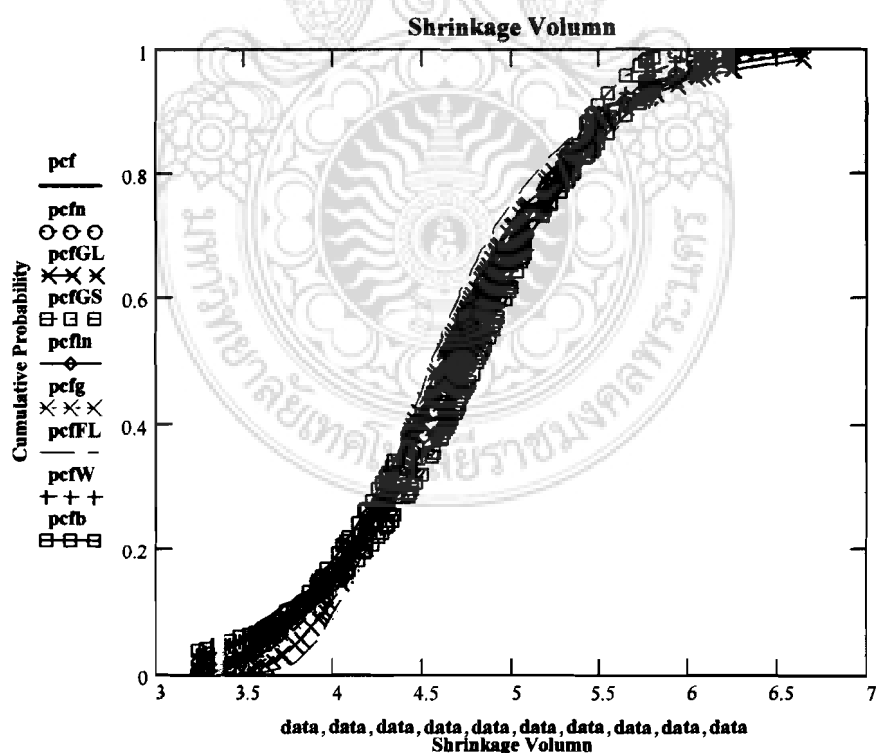
ขั้นที่	ปริมาณการทดสอบ %	ความถี่จากข้อมูล	ความถี่ Normal	ความถี่ Gamma
1		5	3.927	2.703
2		18	18.277	19.543
3		35	41.538	44.072
4		49	42.415	40.237
5		17	19.462	18.052
6		6	3.999	4.578
Chi-Square Error ค่าวิกฤติ 7.814			3.661	6.350

จากการทดสอบ K-S (Kolmogorov - Smirnov Test) พบร่วมค่าความแตกต่างสูงสุด (Maxdiff) มี 5 ชนิดเป็นการแจกแจงปกติ การแจกแจงต่ำสุดชนิดที่สามแบบไวนูล์ การแจกแจงแบบแกรมมา การแจกแจงแบบลอกปกติ และการแจกแจงแบบบีต้ามีค่าเป็น 0.068 ,0.080, 0.087,0.096 และ 0.097 ซึ่งให้ค่าต่ำกว่าเมื่อเปรียบเทียบกับค่าวิกฤติเท่ากับ 0.119 ตามลำดับ

จะเห็นได้ว่าค่าปริมาณการทดสอบตัวของไม้จามจุรี การแจกแจงปกติมีค่าความคลาดเคลื่อนจากการทดสอบไคกำลังสองต่ำที่สุด ในขณะเดียวกันการแจกแจงปกติมีค่าความคลาดเคลื่อนจากการทดสอบ K-S ต่ำที่สุดเป็นเดียวกัน จึงอาจกล่าวได้ว่าการแจกแจงปกติมีภาวะเข้ารูปสนิทกับข้อมูลมากที่สุด เนื่องจากให้ความคลาดเคลื่อนจากการทดสอบน้อยที่สุดและมีค่าน้อยกว่าค่าวิกฤติ จากการทดสอบ K-S ในขณะที่การแจกแจงต่ำสุดชนิดที่สามแบบไวนูล์ การแจกแจงแบบแกรมมา การแจกแจงแบบลอกปกติ และการแจกแจงแบบบีต้าสามารถยอมรับให้ใช้แทนข้อมูลได้ เนื่องจากมีความคลาดเคลื่อนน้อยกว่าค่าวิกฤติและจากการแสดงความสอดคล้องระหว่างข้อมูล ค่าความถ่วงจำเพาะของไม้จามจุรีที่ผ่านการทดสอบภาวะเข้ารูปสนิทไคกำลังสองและการทดสอบ K-S สามารถแสดงได้ในรูปที่ จ.39 และ จ.40 ตามลำดับ



รูปที่ 4.39 การเปรียบเทียบระหว่างความถี่ล้มพัทธ์ของค่าการทดสอบปริมาณการหดตัวของไม้จำจุรีกับฟังก์ชันความหนาแน่นของความน่าจะเป็นที่ผ่านการทดสอบไก่กำลังสอง



รูปที่ 4.40 การเปรียบเทียบระหว่างความถี่สะสมของค่าการทดสอบปริมาณการหดตัวของไม้จำจุรีกับฟังก์ชันการแจกแจงที่ผ่านการทดสอบ K-S

ค่าการทดสอบปริมาณความซึ่น% (Shrinkage in volume)

จำนวน 130 ตัวอย่าง แสดงในตารางที่ จ.40

ตารางที่ จ.40 ค่าการทดสอบปริมาณความซึ่นของไม้จำجุรี

14.83	16.70	12.23	13.43	15.09	10.34	16.29	12.02	11.45	11.44
15.43	10.96	13.45	13.30	12.13	12.13	15.87	12.64	12.50	13.77
15.52	16.15	14.73	11.86	15.80	14.81	10.59	14.98	18.31	14.96
11.49	12.68	12.95	11.20	15.31	12.84	10.81	11.54	8.69	15.02
16.09	12.26	14.17	12.24	16.24	12.49	16.05	11.53	11.45	8.13
10.05	12.68	15.52	11.54	14.81	11.42	12.19	13.67	12.58	15.80
12.12	17.85	10.87	12.84	16.58	9.88	13.18	18.98	12.84	9.78
14.31	14.54	8.81	14.19	16.23	11.36	11.69	16.49	15.64	17.93
15.07	12.48	14.32	17.48	13.65	13.88	11.66	15.87	17.60	17.90
13.42	17.43	13.69	14.46	13.70	10.77	14.38	15.39	9.15	15.33
18.46	11.36	16.30	19.13	16.21	14.50	14.35	10.60	17.09	10.52
15.19	14.40	17.92	14.46	16.92	18.33	17.94	16.51	16.00	17.49
16.76	22.30	16.26	10.89	12.76	17.53	12.28	17.43	9.73	13.26

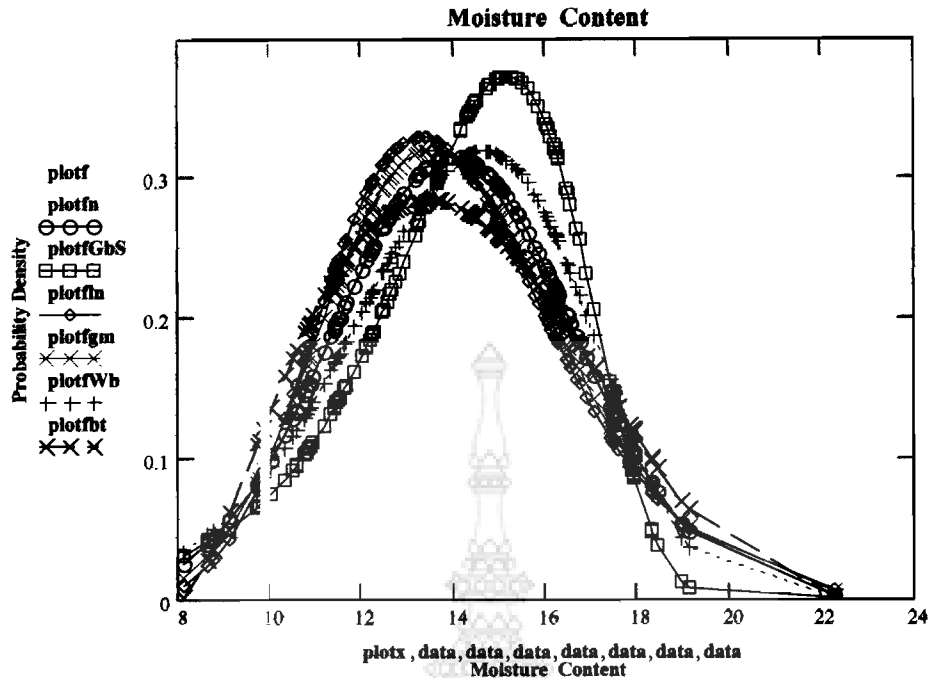
จากการวิเคราะห์ด้วยซอฟต์แวร์ CESTTEST พบว่าค่าเฉลี่ย และส่วนเบี่ยงเบนมาตรฐานเป็น 14.029 และ 2.622 ตามลำดับ โดยจะเห็นว่าจำนวนข้อมูล 130 ตัวอย่าง มีจำนวนมากกว่าข้อมูลที่ต้องการ (t_{req}) ซึ่งมีค่าเท่ากับ 93 สำหรับช่วงแห่งความเชื่อมั่นร้อยละ 99 ($t=2.576$) นอกจากนั้น ซอฟต์แวร์ CESTTEST ได้แนะนำให้มีการแบ่งช่วงข้อมูลออกเป็น 6 ชั้น โดยมีรีดจำกัดช่วงและความถี่จากค่าสังเกตในแต่ละช่วง ซึ่งมีค่าวิกฤติสำหรับระดับริบันเสรี (Degree of Freedom, f) เท่ากับ 6-3=3 ที่ระดับความเชื่อมั่น $\alpha = 0.95$ มีค่าเท่ากับ 7.814 ค่าความถี่จากข้อมูลเมื่อเปรียบเทียบ ค่าความถี่ที่คำนวณจากความถี่จากการแยกแจงที่ผ่านการทดสอบโดยกำลังสอง 4 ชนิด ได้แก่ การแยกแจงมีตัว การแยกแจงปูร์กิต การแยกแจงต่ำสุดชนิดที่สามแบบไวนูลส์ และการแยกแจงแบบแกมน้ำ แสดงในตารางที่ จ.41

ตารางที่ จ.41 การเปรียบเทียบความถี่ของข้อมูลเทียบกับความถี่ที่ได้จากการแจกแจงที่ผ่านการทดสอบไคกำลังสอง สำหรับค่าการทดสอบปริมาณความชันของไม้จามจุรี

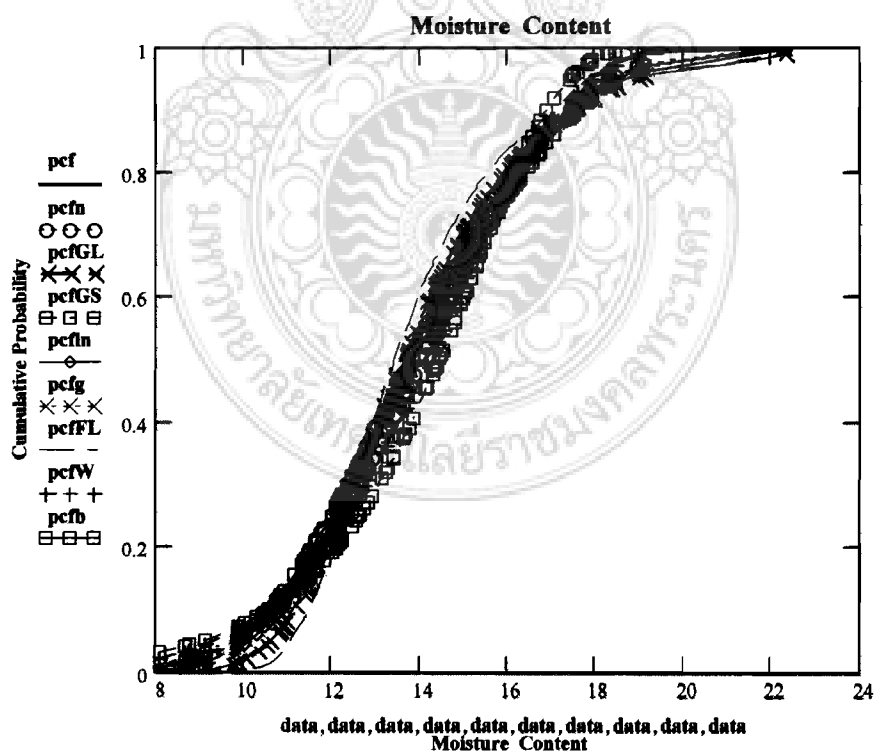
ขั้นที่	ปริมาณความชัน%	ความถี่จากข้อมูล	ความถี่ Beta	ความถี่ Normal	ความถี่ Weibull	ความถี่ Gamma
1	8.127 - 9.8	6	5.262	6.945	8.510	5.244
2	9.8 -11.875	25	24.872	19.799	17.615	22.132
3	11.875 - 13.95	33	35.882	36.692	33.427	39.293
4	13.95 – 16.025	33	33.142	37.532	40.109	35.386
5	16.025 – 18.1	27	21.401	21.191	24.539	18.991
6	18.1 – 22.302	6	9.438	7.734	5.795	8.561
Chi-Square Error ค่าวิกฤติ 7.814			3.053	4.394	5.355	5.792

จากการทดสอบ K-S (Kolmogorov-Sminov Test) พบร่วมค่าความแตกต่างสูงสุด (Maxdif) มี 5 ชนิดเป็น การแจกแจงแบบบีต้า การแจกแจงแบบแอกมา การแจกแจงแบบลอกปีรากติ การแจกแจงแบบปีรากติและการแจกแจงต่ำสุดชนิดที่สามแบบไวนูลล์มีค่าเป็น 0.040, 0.051, 0.063, 0.067 และ 0.086 ซึ่งให้ค่าต่ำกว่าเมื่อเปรียบเทียบกับค่าวิกฤติเท่ากับ 0.119 ตามลำดับ

จะเห็นได้ว่าค่าปริมาณความชันของไม้จามจุรี การแจกแจงแบบบีต้ามีค่าความคลาดเคลื่อนจากการทดสอบไคกำลังสองต่ำที่สุด ในขณะที่การแจกแจงแบบบีต้ามีความคลาดเคลื่อนจากการทดสอบ K-S ต่ำที่สุด เช่นเดียวกัน จึงอาจกล่าวได้ว่าการแจกแจงแบบบีต้ามีภาวะเข้ารูปสนใจกับข้อมูลมากที่สุดเนื่องจากให้ความคลาดเคลื่อนจากการทดสอบน้อยที่สุดและมีค่าน้อยกว่าค่าวิกฤต จากการทดสอบ K-S ในขณะที่ การแจกแจงแบบแอกมา การแจกแจงแบบลอกปีรากติ การแจกแจงแบบปีรากติและการแจกแจงต่ำสุดชนิดที่สามแบบไวนูลล์สามารถยอมรับให้ใช้แทนข้อมูลได้ เนื่องจากมีความคลาดเคลื่อนน้อยกว่าค่าวิกฤติจากการทดสอบไคกำลังสอง และจากการภาพแสดงความสอดคล้องระหว่างข้อมูล ค่าปริมาณความชันของไม้จามจุรี ที่ผ่านการทดสอบภาวะเข้ารูปสนใจกับไคกำลังสองและการทดสอบ K-S สามารถแสดงได้ในรูปที่ จ.41 และ จ.42 ตามลำดับ



รูปที่ 4.41 การเปรียบเทียบระหว่างความถี่สัมพัทธ์ของค่าปริมาณความชื้นของไม้จามจุรี กับฟังก์ชันความหนาแน่นของความน่าจะเป็นที่ผ่านการทดสอบไคลกำลังสอง



รูปที่ 4.42 การเปรียบเทียบระหว่างความถี่สะสมของค่าปริมาณความชื้นของไม้จามจุรีกับฟังก์ชันการแจกแจงที่ผ่านการทดสอบ K-S

การทดสอบความหนาแน่น (Density)

จำนวน 130 ตัวอย่างแสดงในตารางที่ จ.42

ตารางที่ จ.42 ค่าการทดสอบความหนาแน่นของน้ำจาม Jarvis

601.38	477.71	582.01	521.17	612.98	563.74	598.80	612.53	515.23	510.47
532.44	572.50	579.98	605.67	506.63	523.29	611.29	578.64	576.04	512.87
572.40	522.77	590.56	618.36	561.56	607.34	594.19	606.19	687.91	589.87
534.42	496.95	528.61	513.38	494.96	578.19	528.70	505.36	505.28	565.19
606.00	540.06	563.28	617.05	442.29	440.87	486.19	488.65	554.67	553.08
558.45	524.25	527.54	504.50	502.45	543.58	444.82	612.73	542.54	447.60
553.14	607.66	549.56	629.22	540.77	413.25	598.86	577.13	541.39	588.69
559.23	447.94	551.39	500.87	636.83	604.95	550.84	516.47	591.12	536.37
533.24	559.69	677.32	623.59	539.27	571.61	578.49	565.88	627.20	626.15
572.06	623.48	564.80	529.98	591.49	521.07	559.02	596.95	511.04	534.57
558.10	597.59	582.22	530.17	587.49	522.62	568.43	531.47	560.79	515.21
492.07	598.81	558.22	616.55	614.38	593.64	603.13	543.40	569.37	551.54
588.62	602.84	633.96	525.49	513.62	579.70	495.60	639.16	626.44	481.33

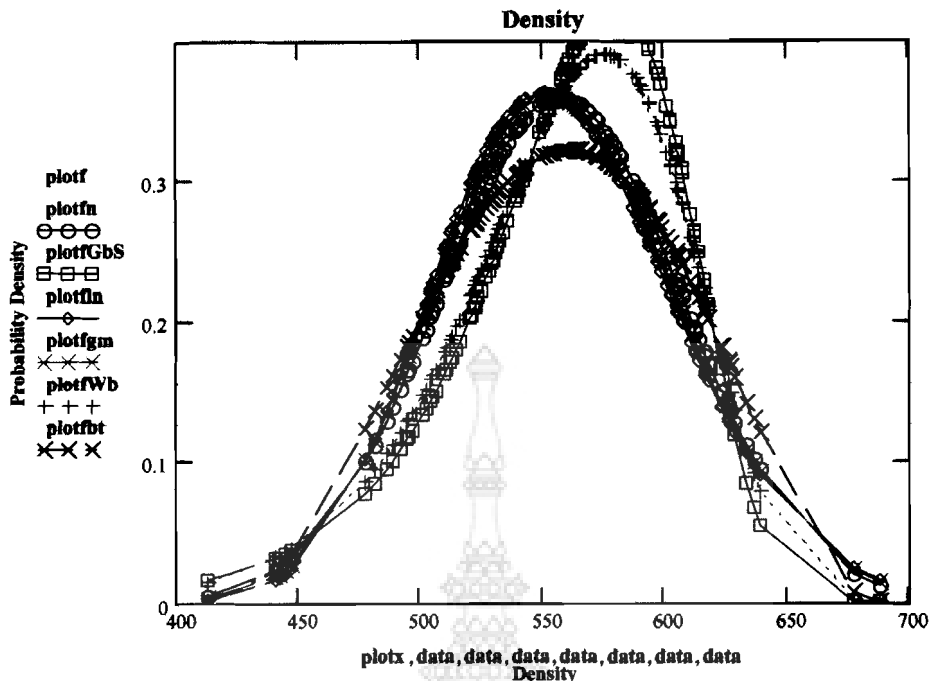
จากการวิเคราะห์ด้วยซอฟต์แวร์ CESTTEST พบว่าค่าเฉลี่ย และส่วนเบี่ยงเบนมาตรฐานเป็น 557.55 และ 49.89 กก./ม³ ตามลำดับ โดยจะเห็นว่าจำนวนข้อมูล 130 ตัวอย่าง มีจำนวนมากกว่า ข้อมูลที่ต้องการ ($t_{\alpha/2}$) ซึ่งมีค่าเท่ากับ 21 สำหรับช่วงแห่งความเชื่อมั่นร้อยละ 99($t=2.576$) นอกจากนั้น ซอฟต์แวร์ CESTTEST ได้แนะนำให้มีการแบ่งช่วงข้อมูลออกเป็น 5 ชั้น โดยมีชีดจำกัดช่วงและค่าเฉลี่ย จากค่าสังเกตในแต่ละช่วง ซึ่งมีค่าวิกฤติสำหรับระดับชั้นเสรี (Degree of Freedom, f) เท่ากับ 5-3=2 ที่ระดับความเชื่อมั่น $\alpha=0.95$ มีค่าเท่ากับ 5.991 ค่าความถี่จากข้อมูลเมื่อเปรียบเทียบค่าความถี่ที่คำนวนจากความถี่จากการแจกแจงที่ผ่านการทดสอบโดยกำลังสองจำนวน 5 ชนิด การแจกแจงปกติ การแจกแจงบีตา การแจกแจงต้าสูตชนิดที่สามแบบไบบูล์ การแจกแจงแกมมา และการแจกแจงแบบลอกปีกติแสดงในตารางที่ จ.43

ตารางที่ จ.43 การเปรียบเทียบความถี่ของข้อมูลเทียบกับความถี่ที่ได้จากการแจกแจงที่ผ่านการทดสอบไคกำลังสอง สำหรับค่าการทดสอบความหนาแน่นของน้ำมันฯรี

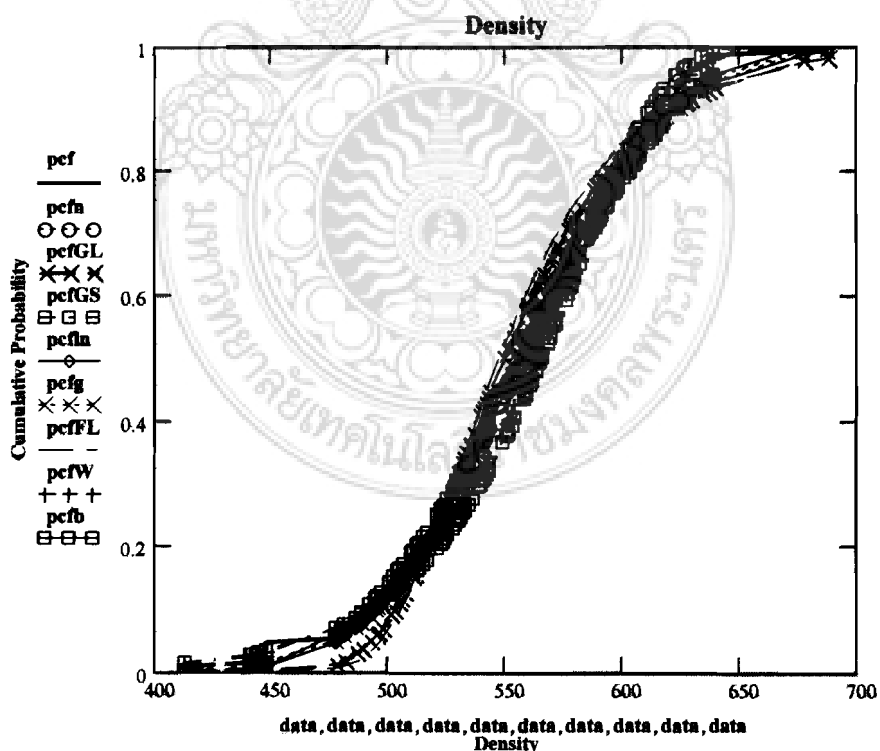
ขั้นที่	ความหนาแน่น กก./ม. ³	ความถี่จาก ข้อมูล	ความถี่ Normal	ความถี่ Beta	ความถี่ Weibull	ความถี่ Gamma	ความถี่ Lognormal
1	413.2 – 493	11	12.722	14.33	13.645	12.203	11.861
2	493 – 538	35	32.457	32.132	26.150	34.194	35.099
3	538 – 539	42	45.160	41.127	46.684	44.946	44.930
4	539 – 628	36	29.387	31.562	37.175	27.879	27.149
5	628 – 687	6	9.689	10.846	6.339	9.881	9.886
Chi-Square Error ค่าวิกฤติ 5.991			3.546	3.838	4.032	4.220	4.667

จากการทดสอบ K-S (Kolmogorov-Smirnov Test) พบว่าค่าความแตกต่างสูงสุด (Maxdif) มี 5 ชนิดเป็นการแจกแจงบีตา การแจกแจงปกติ การแจกแจงแกมมา การแจกแจงลอกปกติ และ การแจกแจงค่าต่ำสุดชนิดที่สามแบบไวนูลล์ มีค่าเป็น 0.040, 0.041, 0.047, 0.052 และ 0.064 ซึ่งให้ค่าต่ำกว่าเมื่อเปรียบเทียบกับค่าวิกฤติเท่ากับ 0.119 ตามลำดับ

จะเห็นได้ว่าค่าความหนาแน่นของน้ำมันฯรี การแจกแจงปกติมีค่าความคลาดเคลื่อนจากการทดสอบไคกำลังสองต่ำที่สุด ในขณะที่การแจกแจงบีตา มีค่าความคลาดเคลื่อนจากการทดสอบ K-S ต่ำที่สุด จึงอาจกล่าวได้ว่าการแจกแจงปกติและการแจกแจงบีตามีภาวะเข้ากันได้มากที่สุด เมื่องจากให้ความคลาดเคลื่อนจากการทดสอบน้อยที่สุดและมีค่าน้อยกว่าค่าวิกฤติ จากการทดสอบ K-S ในขณะที่การแจกแจงปกติ การแจกแจงแบบแกมมา การแจกแจงแบบลอกปกติ และการแจกแจงค่าต่ำสุดชนิดที่สามแบบไวนูลล์สามารถยอมรับให้ใช้แทนข้อมูลได้ เมื่องจากมีความคลาดเคลื่อนน้อยกว่าค่าวิกฤติจากทั้งสองการทดสอบและ จากราฟแสดงความสอดคล้องระหว่างข้อมูลค่าความหนาแน่นของน้ำมันฯรี ที่ผ่านการทดสอบภาวะเข้ากันได้กำลังสองและการทดสอบ K-S สามารถแสดงได้ในรูปที่ จ.43 และ จ.44 ตามลำดับ



รูปที่ ๔.๔๓ การเปรียบเทียบระหว่างความถี่สัมพัทธ์ของค่าความหนาแน่นของไม้จามจุรีกับฟังก์ชันความหนาแน่นของความน่าจะเป็นที่ผ่านการทดสอบไปกำลังสอง



รูปที่ ๔.๔๔ การเปรียบเทียบระหว่างความถี่สะสมของค่าความหนาแน่นของไม้จามจุรีกับฟังก์ชันการแจกแจงที่ผ่านการทดสอบ K-S

๑.2.11 การทดสอบการหดตัวในแนวรัศมีและในแนวเส้นสัมผัส

การทดสอบการหดตัวในแนวเส้นสัมผัส% (Tangential Shrinkage)

จำนวน 130 ตัวอย่าง แสดงในตารางที่ ๑.44

ตารางที่ ๑.44 การทดสอบการหดตัวในแนวเส้นสัมผัสของไม้ตามจริง

0.79	0.80	0.82	0.81	0.81	0.83	0.81	0.83	0.78	0.79
0.87	0.82	0.83	0.82	0.80	0.81	0.80	0.83	0.80	0.80
0.81	0.79	0.80	0.79	0.82	0.85	0.83	0.83	0.80	0.83
0.84	0.83	0.83	0.81	0.83	0.80	0.81	0.81	0.83	0.80
0.83	0.79	0.82	0.81	1.23	0.81	0.80	0.86	0.86	0.85
0.85	1.22	0.85	0.80	0.82	0.81	0.83	0.83	0.83	0.83
0.80	0.85	0.81	0.80	0.79	0.84	0.82	0.83	0.87	0.83
0.83	0.83	0.82	0.83	0.87	1.22	0.81	0.86	0.83	0.83
0.82	0.81	0.80	0.82	0.81	0.81	0.81	0.82	0.83	0.85
0.82	0.83	0.83	0.83	0.83	0.84	0.82	0.82	0.85	0.80
0.82	0.80	0.83	0.83	0.81	0.83	0.84	0.86	0.86	0.82
0.79	0.83	0.83	0.81	0.82	0.81	0.82	0.83	0.82	0.42
0.85	0.83	0.41	0.82	0.82	0.80	0.80	0.80	0.80	0.80

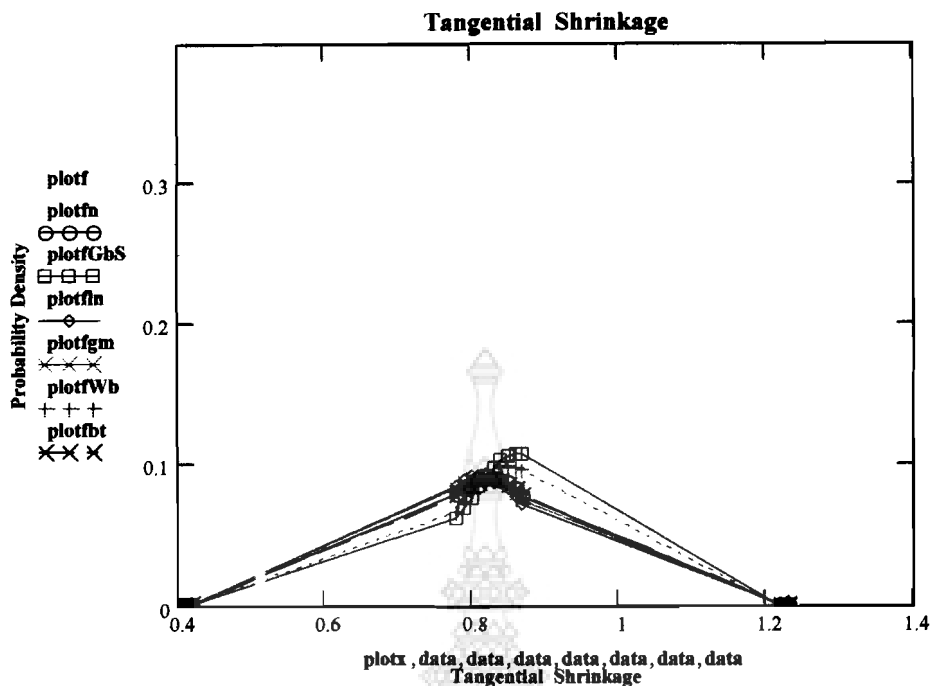
จากการวิเคราะห์ด้วยซอฟต์แวร์ CESTTEST พบร้าค่าเฉลี่ย และส่วนเบี่ยงเบนมาตรฐานเป็น 0.824 และ 0.08 ตามลำดับ โดยจะเห็นว่าจำนวนข้อมูล 130 ตัวอย่าง มีจำนวนมากกว่าข้อมูลที่ต้องการ (n_{req}) ซึ่งมีค่าเท่ากับ 123 สำหรับช่วงแห่งความเชื่อมั่นร้อยละ 99 ($t=2.576$) นอกจากนั้น ซอฟต์แวร์ CESTTEST ได้แนะนำให้มีการแบ่งช่วงข้อมูลออกเป็น 6 ชั้น โดยมีชีดจำกัดช่วงและความถี่จากค่าสังเกตในแต่ละช่วง ซึ่งมีค่าวิกฤติสำหรับระดับชั้นเสรี (Degree of Freedom, f) เท่ากับ 6-3=3 ที่ระดับความเชื่อมั่น $\alpha = 0.95$ มีค่าเท่ากับ 7.814 ค่าความถี่จากข้อมูลเมื่อเปรียบเทียบ ค่าความถี่ที่คำนวณจากความถี่จากการแยกแจงที่ผ่านการทดสอบโดยกำลัง พบว่าไม่มีค่าความถี่การแยกแจงจากข้อมูลชนิดใดผ่านการทดสอบโดยกำลังสอง แสดงในตารางที่ ๑.45

ตารางที่ ๔.๔๕ การเปรียบเทียบความถี่ของข้อมูลเทียบกับความถี่ที่ได้จากการแจกแจงที่ผ่านการทดสอบไคกำลังสอง สำหรับค่าการทดสอบตัวในแนวเส้นสัมผัสของไม้จามจุรี

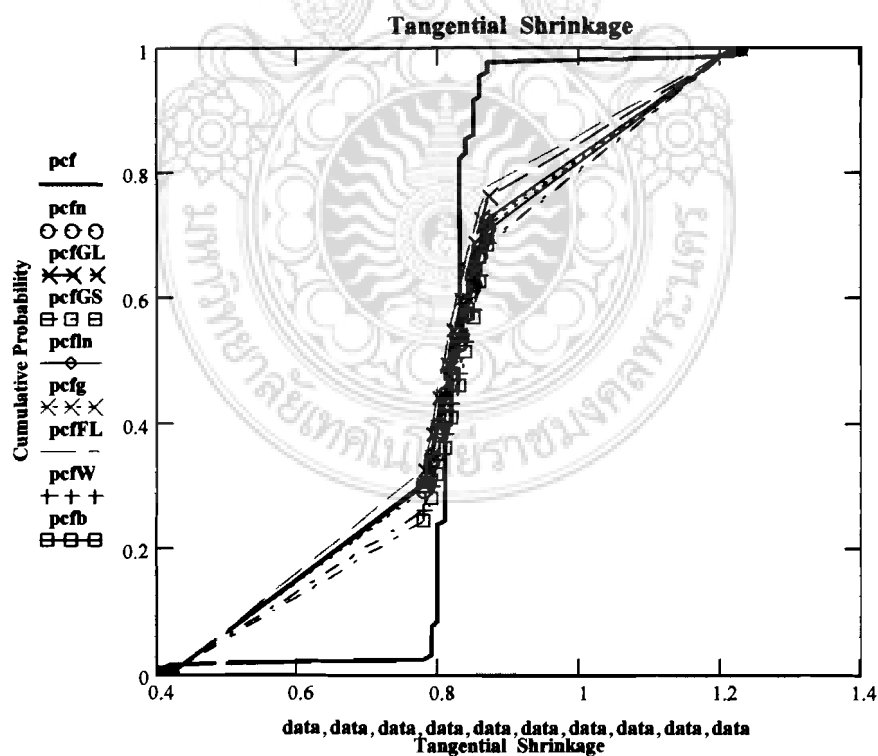
ขั้นที่	การทดสอบ %	ความถี่จากข้อมูล	ความถี่
1	0.409 – 0.79	3	-
2	0.79 – 0.80	28	-
3	0.80 – 0.82	41	-
4	0.82 – 0.84	39	-
5	0.84 – 0.86	13	-
6	0.86 – 1.23	6	-
Chi-Square Error			-
ค่าวิกฤติ 7.814			-

จากการทดสอบ K-S (Kolmogorov-Sminov Test) พบร่วมค่าความแตกต่างสูงสุด (Maxdif) ซึ่งให้ค่าต่ำกว่าเมื่อเทียบกับค่าวิกฤติเท่ากับ 0.119

จะเห็นได้ว่าค่าการทดสอบตัวในแนวเส้นสัมผัสของไม้จามจุรี ไม่มีการการแจกแจงชนิดใดมีค่าความคลาดเคลื่อนต่ำกว่าค่าวิกฤตจากการทดสอบไคกำลังสองเนื่องจากนักวิเคราะห์ทดสอบ K-S จึงอาจกล่าวได้ว่าไม่มีการแจกแจงชนิดใดมีภาวะเข้ารูปสนใจกับข้อมูลมากที่สุด เนื่องจากให้ความคลาดเคลื่อนจากการทดสอบ K-S มากที่สุดและมีค่ามากกว่าค่าวิกฤต และจากการแสดงความสอดคล้องระหว่างข้อมูล การทดสอบตัวในแนวเส้นสัมผัสของไม้จามจุรี ที่ผ่านการทดสอบภาวะเข้ารูปสนใจไคกำลังสองและการทดสอบ K-S สามารถแสดงได้ในรูปที่ ๔.๔๕ และ ๔.๔๖ ตามลำดับ



รูปที่ 4.45 การเปรียบเทียบระหว่างความถี่สัมพัทธ์ของค่าการหดตัวในแนวสัมผัสของไม้จามจุรีกับพังก์ชันความหนาแน่นของความน่าจะเป็นที่ผ่านการทดสอบเค้ากำลังสอง



รูปที่ 4.46 การเปรียบเทียบระหว่างความถี่สะสมของค่าการหดตัวในแนวสัมผัสของไม้จามจุรีกับพังก์ชันการแจกแจงที่ผ่านการทดสอบ K-S

ค่าการทดสอบการหดตัวในแนวรัศมี (Radial Shrinkage)

จำนวน 130 ตัวอย่าง แสดงในตารางที่ ฯ.46

ตารางที่ ฯ.46 ค่าการทดสอบการหดตัวในแนวรัศมีของไม้จำจรี

0.80	0.80	0.79	0.81	0.81	0.80	0.81	0.83	0.78	0.80
0.85	0.83	0.83	0.83	0.79	0.82	0.80	0.82	0.79	0.80
0.82	0.79	0.80	0.79	0.83	0.82	0.81	0.84	0.82	0.85
0.83	0.82	0.83	0.80	0.79	0.80	0.79	0.83	0.84	0.79
0.83	0.81	0.83	0.84	0.82	0.83	0.40	0.86	0.79	0.85
0.81	0.85	0.85	0.84	0.81	0.79	0.80	0.80	0.87	0.82
0.81	0.82	0.85	0.81	0.79	0.84	0.83	0.83	0.83	0.42
0.83	0.82	1.21	0.81	0.81	0.84	0.81	0.83	0.86	0.83
0.83	0.82	0.79	0.83	1.21	0.83	0.81	0.41	0.83	0.83
0.87	0.83	0.42	0.83	0.82	0.85	0.85	0.86	0.80	0.80
0.79	0.80	0.84	0.83	0.82	0.42	0.79	0.81	0.85	0.86
0.79	0.82	0.80	0.81	0.83	0.81	0.84	0.85	1.23	0.80
0.86	0.83	0.80	0.82	0.82	0.41	0.80	0.80	0.80	0.80

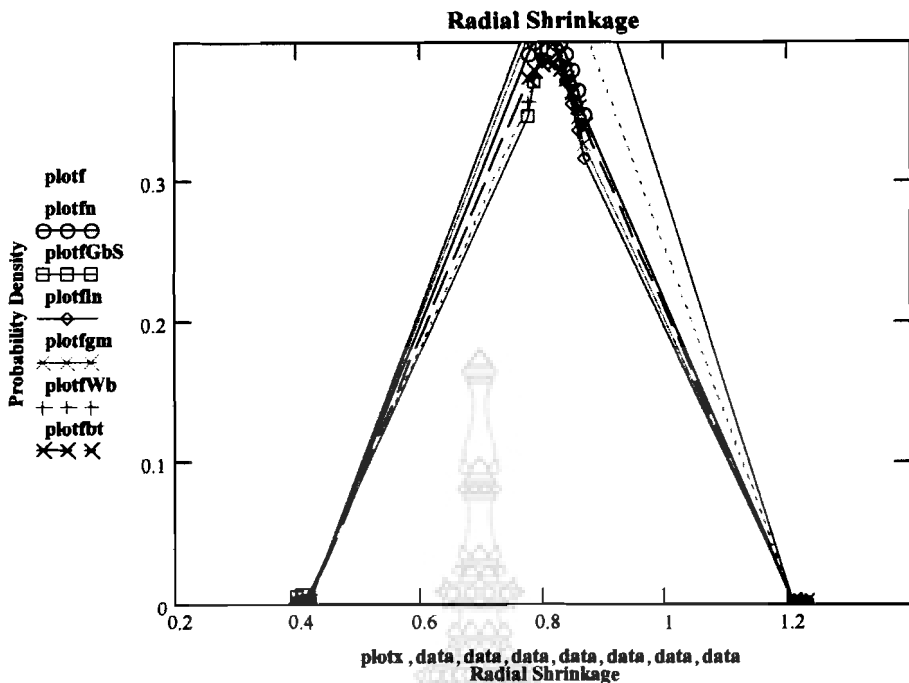
จากการวิเคราะห์ด้วยซอฟต์แวร์ CESTTEST พบว่าค่าเฉลี่ย และส่วนเบี่ยงเบนมาตรฐานเป็น 0.810 และ 0.108 ตามลำดับ โดยจะเห็นว่าจำนวนข้อมูล 130 ตัวอย่าง มีจำนวนมากกว่าข้อมูลที่ต้องการ (n_{req}) ซึ่งมีค่าเท่ากับ 47 สำหรับช่วงแห่งความเชื่อมั่นร้อยละ 99($t=2.576$) นอกจากนั้นซอฟต์แวร์ CESTTEST ได้แนะนำให้มีการแบ่งช่วงข้อมูลออกเป็น 6 ชั้น โดยมีชีดจำกัดช่วงและความถี่จากค่าสังเกตในแต่ละช่วง ซึ่งมีค่าิกติสำหรับระดับชั้นเสรี (Degree of Freedom, f) เท่ากับ 6-3=3 ที่ระดับความเชื่อมั่น $\alpha = 0.95$ มีค่าเท่ากับ 7.814 ค่าความถี่จากข้อมูลเมื่อเปรียบเทียบค่าความถี่ที่คำนวณจากความถี่จากการแจกแจงที่ผ่านการทดสอบให้กำลังสอง พบว่าไม่มีค่าความถี่จากการแจกแจงจากข้อมูลนิดใดผ่านการทดสอบให้กำลังสอง แสดงในตารางที่ ฯ.47

ตารางที่ ๔.47 การเปรียบเทียบความถี่ของข้อมูลเทียบกับความถี่ที่ได้จากการแจกแจงที่ผ่านการทดสอบไคกำลังสอง สำหรับค่าการทดสอบความหนาแน่นของไม้จามจุรี

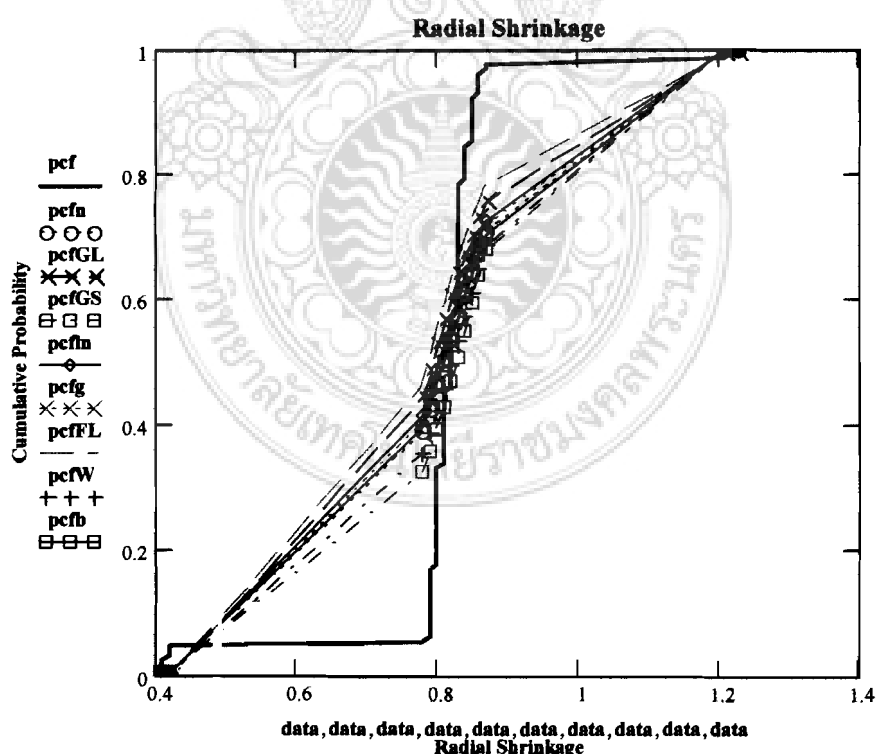
ขั้นตี่	การทดสอบ %	ความถี่จากข้อมูล	ความถี่
1	0.40 - 0.42	3	-
2	0.42 - 0.53	3	-
3	0.53 - 0.64	0	-
4	0.64 - 0.75	0	-
5	0.75 - 0.86	114	-
6	0.86 - 1.23	10	-
Chi-Square Error			-
ค่าวิถุติ 7.814			-

จากการทดสอบ K-S (Kolmogorov-Smirnov Test) พบว่าค่าความแตกต่างสูงสุด (Maxdif) ซึ่งให้ค่าต่ำกว่าเมื่อเปรียบเทียบกับค่าวิกฤติเท่ากับ 0.119

จะเห็นได้ว่าค่าการทดสอบตัวในแนวรัศมีของไม้จามจุรี ไม่มีการการแจกแจงชนิดใดมีค่าความคลาดเคลื่อนต่ำกว่าค่าวิกฤตจากการทดสอบไคกำลังสองเนื่องเดียวกันกับการทดสอบ K-S ซึ่งอาจกล่าวได้ว่าไม่มีการแจกแจงชนิดใดมีภาวะเข้ารูปสนใจมากที่สุด เนื่องจากให้ความคลาดเคลื่อนจากการทดสอบ K-S มากรีดสูดและมีค่ามากกว่าค่าวิกฤต และจากราฟแสดงความสอดคล้องระหว่างข้อมูลการทดสอบตัวในแนวรัศมีของไม้จามจุรี ที่ผ่านการทดสอบภาวะเข้ารูปสนใจไคกำลังสองและการทดสอบ K-S สามารถแสดงได้ในรูปที่ ๔.47 และ ๔.48 ตามลำดับ



รูปที่ จ.47 การเปรียบเทียบระหว่างความถี่สัมพัทธ์ของค่าการทดสอบตัวในแนวรัศมีของไม้จำเขียว กับพังก์ขั้นความหนาแน่นของความน่าจะเป็นที่ผ่านการทดสอบไปกำลังสอง



รูปที่ จ.48 การเปรียบเทียบระหว่างความถี่สะสมของค่าการทดสอบตัวในแนวรุคเมื่อมีของไม้จำจิริกับพังก์ชันการแยกแข่งที่ผ่านการทดสอบ K-S

ภาคผนวก ๗

โปรแกรม CESTTEST (Civil Engineering Statistical Test)

วิเคราะห์คุณสมบัติทางสถิติของข้อมูลทางวิศวกรรม
ของไม้พูกษ์และไม้จามจุรี



ภาคผนวก ฉ

โปรแกรม CESTTEST (Civil Engineering Statistical Test)

ตัวอย่างโปรแกรม ที่ใช้เคราะห์ข้อมูลทางสถิติในงานวิศวกรรม โดย ผศ.ดร.วินัย อายพรประเสริฐ
ผู้เขียนโปรแกรม [12]

Statistical Test for Goodness-of-Fit

Give the name for the Input data file

```

fileinp := "D:\DATA2P\CPTG5.txt"
siglevel := 0.05
nstr := strlen(fileinp)
fileout1 := substr(fileinp, 0, nstr - 3)
fileout2 := "out"
fileout := concat(fileout1, fileout2)

```

```

Ndata:= READ(fileinp)
i := 0.. Ndata
inf_i := READ(fileinp)
i := 0.. Ndata - 1
dat := inf_{i+1}
data:= sort(dat)
nstr = 19
fileout = "D:\DATA2P\CPTG5.out"

```

Note

The user has to creat a data file in form of ASCII-Code either by Notepad, Microsoft Excel or any other softwares.

Some interesting results are written in the output file with the same file name but with extens ".out"

The user can change the name of both the input file or the output file as appropriate.

功用說明

Ndata	Number of Data (Sample)
NdataReq	Data Requirement
meand	Mean of Data
sigd	Standard Deviation of Data
cov	Coeffiecnt of Variation (sigd/meand)
sqerr	Chi-Square Error
maxdif	Maximum of Different (K-S Test)
Fre	Frequency of each Interval
Freint	Frequency of each Interval of Type Distribution
vint	Boundary Value of each Interval

功用說明 (繼續)

```

maxd:= max(data)
mind:= min(data)
meand:= mean(data)
sigd := Stdev(data)

```

maxd = 728.5
mind = 404.6
meand = 565.55692
sigd = 67.80341

$$\text{cov} := \frac{\text{Stdev}(\text{data})}{\text{mean}(\text{data})}$$

$$\text{cov} = 0.11989$$

Example 3.4.10.2009

tValue :=

0	0
1	63.36
2	9.93

i := Ndata - 1 j := 0

$$t := \begin{cases} tValue_{i,j} & \text{if } Ndata - i \leq 120 \\ 2.576 & \text{if } (Ndata - i) > 120 \end{cases}$$

$$NDataReq := \left[(\text{cov}) \cdot \frac{t}{0.05} \right]^2$$

[t = 2.576]

[NDataReq = 38]

3.4.10.2009

Nint := 1. + 3.3 · log(Ndata) Nint = 7.97601

Nint := floor(Nint) Nint = 7

$$\text{Int} := \frac{(\text{maxd} - \text{mind})}{\text{Nint}} \quad \text{Int} = 46.27143$$

i := 0 .. Nint

Vint_i := mind + i · Int

Frep := hist(Vintp, data)

fremin := min(Frep)

factor := Adjfre(Ndata, fremin, data)

Nint := factor₀

i := 0 .. Nint - 1

Fre_i := factor_{i+1}

j := 0 .. Nint

Vint_j := factor_{Nint+j+1}

Int := factor_{2:Nint+2}

$$\text{Frep} = \begin{pmatrix} 6 \\ 15 \\ 27 \\ 29 \\ 33 \\ 17 \\ 2 \end{pmatrix}$$

fremin = 2

Ndata = 130

$$\text{Fre} = \begin{pmatrix} 5 \\ 11 \\ 34 \\ 40 \\ 34 \\ 6 \end{pmatrix}$$

$$\text{Vint} = \begin{pmatrix} 404.54025 \\ 427 \\ 486.75 \\ 546.5 \\ 606.25 \\ 666 \\ 728.55975 \end{pmatrix}$$

Parametric Optimization of Reliability Using Evolutionary Method

Input Data

Number of random variables		
Nvar:= 11		
Variable 1	$\text{type}_1 \equiv \text{"normal"}$	$i := 1.. Nvar$
Variable 2	$\text{type}_2 \equiv \text{"uniform"}$	$m_i := \text{meand}$
Variable 3	$\text{type}_3 \equiv \text{"exponential"}$	$s_i := \text{sigd}$
Variable 4	$\text{type}_4 \equiv \text{"Rayleigh"}$	
Variable 5	$\text{type}_5 \equiv \text{"GumbelLargest"}$	
Variable 6	$\text{type}_6 \equiv \text{"GumbelSmallest"}$	
Variable 7	$\text{type}_7 \equiv \text{"lognormal"}$	
Variable 8	$\text{type}_8 \equiv \text{"gamma"}$	
Variable 9	$\text{type}_9 \equiv \text{"FrechetLargest"}$	
Variable 10	$\text{type}_{10} \equiv \text{"Weibull"}$	
Variable 11	$\text{type}_{11} \equiv \text{"beta"}$	
xof	$\equiv 10^{99}$	
xua	$\equiv 10^{-99}$	
xuf	$\equiv 10^{-99}$	
xlnuf	$\equiv -\ln(xuf)$	
xloww	$\equiv 0$	blow:= mind
		bup:= maxd
i	$\equiv 1.. Nvar$	
r₁	$\equiv \text{Param}(\text{type}_1, m_1, s_1, \text{blow}, \text{bup})$	
r₁	$\equiv (565.55692 \ 67.80341 \ -882.18771 \ 2.0133 \times 10^3)$	k
r₂	$\equiv (448.11798 \ 682.99587 \ 404.6 \ 728.5)$	$\equiv 0..(4 \cdot Nvar - 1)$
r₃	$\equiv (0.01475 \ 497.75351 \ 497.75351 \ 1.59539 \times 10^4)$	j_k
r₄	$\equiv (103.4951 \ 435.84504 \ 435.84504 \ 2.64568 \times 10^3)$	$\equiv \text{floor}\left(\frac{k}{4}\right) + 1$
r₅	$\equiv (535.04179 \ 0.01892 \ 248.02367 \ 1.25862 \times 10^4)$	i_k
r₆	$\equiv (596.07206 \ 0.01892 \ -1.14551 \times 10^4 \ 883.09017)$	$\equiv \text{mod}(k, 4)$
r₇	$\equiv (6.33068 \ 0.11946 \ 0 \ 81.13677)$	raall_k
r₈	$\equiv (0.12302 \ 69.57442 \ 0 \ 8.12881 \times 10^{99})$	$\equiv [r(j_k)]_{0, i_k}$
r₉	$\equiv (534.38741 \ 11.50034 \ 333.29721 \ 1 \times 10^{99})$	
r₁₀	$\equiv (594.38411 \ 10.03731 \ 0 \ 1.02088 \times 10^3)$	
r₁₁	$\equiv (2.33763 \ 2.36596 \ 404.6 \ 728.5)$	

Computation of Cumulative Distribution Function

```

j := 1 .. Nvar
Nintad := Nint
i := 1 .. Nint
confdlevel := 1 - siglevel

Fi, j := Ndata * CumDen(typej, rj, Vinti, blow, bup)

freinti, j := Fi, j - Fi-1, j
criticv := qchisq(confdlevel, Nintad - 3)
criticv = 7.81473

err2i, j := ((freinti, j - Frei-1)2) / freinti, j
sqerr0 := criticv

sum0, j := 0
sumi, j := sumi-1, j + err2i, j
sqerrj := sumNint, j

```

Comparison Cumulative Distribution Function

CriticalV :=				
0.01	0.02	0.05	0.1	0.2
1	0.99	0.98	0.95	0.9
0.93	0.9	0.84	0.78	0.68

j := 1 .. Nvar
 i := 0 .. Ndata - 1
 cumfrex_i := $\frac{i + 1}{Ndata}$
 critid := CriticalVKS(Ndata, siglevel, CriticalV)
 critid = 0.11928
 cumfre_{i, j} := CumDen(type_j, r_j, data_i, blow, bup)
 cumdif_{i, j} := |cumfrex_i - cumfre_{i, j}|
 maxdif₀ := critid
 maxdif = 0.11928
 dif_j := submatrix(cumdif, Ndata - 1, 0, j, j)
 maxdif_j := max(dif_j)
 maxdif = 0.11928
 basic₀ := meand
 basic₁ := sigd
 basic₂ := maxd
 basic₃ := mind
 basic₄ := Nint

	0
0	0.11928
1	0.07183
2	0.17243
3	0.58478
4	0.24944
5	0.13955
6	0.07984
7	0.09412
8	0.08655
9	0.16437
10	0.06508
11	0.06068

normal
 uniform
 exponential
 Rayleigh
 Gumbel - Largest
 Gumbel - Smallest
 lognormal
 gamma
 Frechet - Largest
 Weibull
 beta

WRITERPN(fileout) := Ndata
APPENDPRN(fileout) := data
APPENDPRN(fileout) := sqerr
APPENDPRN(fileout) := maxdif
APPENDPRN(fileout) := basic
APPENDPRN(fileout) := Fre
APPENDPRN(fileout) := rall

$\Omega_t \equiv (0.01 \ 0.05 \ 0.1 \ 0.2 \ 0.3 \ 0.4 \ 0.5 \ 0.6 \ 0.7 \ 0.8 \ 0.9 \ 1.0)$
 $Weit \equiv (127.53 \ 24.95 \ 12.153 \ 5.797 \ 3.714 \ 2.696 \ 2.101 \ 1.717 \ 1.451 \ 1.253 \ 1.113 \ 1.0)$
 $Frect \equiv (128.946 \ 26.412 \ 13.636 \ 7.263 \ 5.184 \ 4.173 \ 3.586 \ 3.21 \ 2.953 \ 2.769 \ 2.633 \ 2.53)$

$$\Omega \equiv \Omega_t^T \quad Wei \equiv Weit^T \quad Frect \equiv Frect^T$$

Weipar(a, b, c, pent) ≡

$vt \leftarrow \left(\frac{b}{a - c} \right)$ $x \leftarrow (1 + vt^2)$ $m0 \leftarrow (\text{interp}(\Omega, Wei, vt))$ $m1 \leftarrow \left[\text{root} \left[x \cdot \left(\Gamma \left(1. + \frac{1.}{m0} \right) \right)^2 - \Gamma \left(1. + \frac{2.}{m0} \right), m0 \right] \right]$ while ($ m0 - m1 > \text{pent}$)	$m0 \leftarrow m1$ $m1 \leftarrow \left[\text{root} \left[x \cdot \left(\Gamma \left(1. + \frac{1.}{m0} \right) \right)^2 - \Gamma \left(1. + \frac{2.}{m0} \right), m0 \right] \right]$ $v \leftarrow \left[c + \frac{(a - c)}{\Gamma \left(1. + \frac{1.}{m1} \right)} \right]$ $par \leftarrow (v, m1)$ return (par)
---	---

```

Frepar(a, b, pent) = | vt  $\leftarrow \left( \frac{b}{a} \right)$ 
| x  $\leftarrow (1 + vt^2)$ 
| m0  $\leftarrow (\text{linterp}(\Omega, \text{Freq}, vt))$ 
| m1  $\leftarrow \left[ \text{root} \left[ x \cdot \left( \Gamma \left( 1. - \frac{1.}{m0} \right) \right)^2 - \Gamma \left( 1. - \frac{2.}{m0} \right), m0 \right] \right]$ 
| while ( $|m0 - m1| > \text{pent}$ )
|   | m0  $\leftarrow m1$ 
|   | m1  $\leftarrow \left[ \text{root} \left[ x \cdot \left( \Gamma \left( 1. - \frac{1.}{m0} \right) \right)^2 - \Gamma \left( 1. - \frac{2.}{m0} \right), m0 \right] \right]$ 
|   | v  $\leftarrow \left( \frac{a}{\Gamma \left( 1. - \frac{1.}{m1} \right)} \right)$ 
|   | par  $\leftarrow (v \quad m1)$ 
| return (par)

```

```

betapar(a, b, c, d, pent) = | k  $\leftarrow \left( \frac{b}{a - c} \right)^2$ 
| q0  $\leftarrow 0$ 
| q1  $\leftarrow 1$ 
| while ( $|q0 - q1| > \text{pent}$ )
|   | q0  $\leftarrow q1$ 
|   | r  $\leftarrow \left[ q0 \cdot \frac{(d - c)}{(a - c)} - q0 \right]$ 
|   | q1  $\leftarrow \text{root} \left[ \left[ q0^2 + (r + 1) \cdot q0 - \frac{r}{k} \right], q0 \right]$ 
|   | w  $\leftarrow (q1 \quad r \quad c \quad d)$ 
| return (w)

```

```
Param(type, ex, sig, blow, bup) =
```

```

  if type = "normal"
    par1 ← ex
    par2 ← sig
    xlow ←  $(-\sqrt{2 \cdot \text{xlnuf} \cdot \text{sig}^2} + \text{ex})$ 
    xupp ←  $(\sqrt{2 \cdot \text{xlnuf} \cdot \text{sig}^2} + \text{ex})$ 
    r ← ( par1 par2 xlow xupp )
    return (r)

  if type = "uniform"
    par1 ←  $[0.5 \cdot (2 \cdot \text{ex} - \text{sig} \cdot \sqrt{12})]$ 
    par2 ←  $(\text{sig} \cdot \sqrt{12} + \text{par1})$ 
    xlow ← ( blow - xua)
    xupp ← ( bup + xua)
    r ← ( par1 par2 xlow xupp )
    return (r)

  if type = "exponential"
    par1 ←  $\left(\frac{1}{\text{sig}}\right)$ 
    par2 ← (ex - sig)
    xlow ← ( par2 - xua)
    xupp ←  $\left[\left(\frac{\text{xlnuf}}{\text{par1}}\right) + \text{par2}\right]$ 
    r ← ( par1 par2 xlow xupp )
    return (r)

  if type = "Rayleigh"
    pi ← (4 · atan(1.))
    par1 ←  $\left[\frac{\text{sig}}{\sqrt{(2 - 0.5 \cdot \text{pi})}}\right]$ 
    par2 ← (-par1 ·  $\sqrt{0.5 \cdot \text{pi}} + \text{ex}$ )
    xlow ← ( par2 + xua)
    xupp ←  $(\sqrt{2 \cdot \text{xlnuf} \cdot \text{par1}^2} + \text{par2})$ 
    r ← ( par1 par2 xlow xupp )
    return (r)

  if type = "GumbelLargest"
    pi ← (4 · atan(1.))
    par2 ←  $\left(\frac{\text{pi}}{\sqrt{6} \cdot \text{sig}}\right)$ 
    par1 ←  $\left(\text{ex} - \frac{0.5772156}{\text{par2}}\right)$ 
    xlow ←  $\left(\text{par1} - \frac{\ln(\text{xlnuf})}{\text{par2}}\right)$ 
    xupp ←  $\left(\text{par1} + \frac{\text{xlnuf}}{\text{par2}}\right)$ 
    r ← ( par1 par2 xlow xupp )
    return (r)

  if type = "GumbelSmallest"
    pi ← 4 · atan(1.)
    par2 ←  $\left(\frac{\text{pi}}{\sqrt{6} \cdot \text{sig}}\right)$ 
```

```

CriticalVKS(n, alpha, CriticalV) ≡ | for i ∈ 0..4
|   vx ← CriticalV0,i
|   if alpha = 0.20
|     criv ←  $\left( \frac{1.07}{\sqrt{n}} \right)$  if n > 40
|   otherwise
|     criv ← CriticalVn,4
|     return criv
|   if alpha = 0.10
|     criv ←  $\left( \frac{1.22}{\sqrt{n}} \right)$  if n > 40
|   otherwise
|     criv ← CriticalVn,3
|     return criv
|   if alpha = 0.05
|     criv ←  $\left( \frac{1.36}{\sqrt{n}} \right)$  if n > 40
|   otherwise
|     criv ← CriticalVn,2
|     return criv
|   if alpha = 0.02
|     criv ←  $\left( \frac{1.52}{\sqrt{n}} \right)$  if n > 40
|   otherwise
|     criv ← CriticalVn,1
|     return criv
|   if alpha = 0.01
|     criv ←  $\left( \frac{1.63}{\sqrt{n}} \right)$  if n > 40
|   otherwise
|     criv ← CriticalVn,0
|     return criv
| otherwise
|   if n > 40
|     vyt ←  $\left( \frac{1.63}{\sqrt{n}}, \frac{1.52}{\sqrt{n}}, \frac{1.36}{\sqrt{n}}, \frac{1.22}{\sqrt{n}}, \frac{1.07}{\sqrt{n}} \right)$ 
|     vy ← vytT
|     for i ∈ 0..4 otherwise
|       vyi ← CriticalVn,i
|     criv ← linterp(vx, vy, alpha)
|     return criv

```

```

Adjfre(Ndata, fremin, data) =
  mind ← min(data)
  maxd ← max(data)
  if (fremin < 5)
    minrx ← [0.5 · (data4 + data5)]
    maxrx ← [0.5 · (dataNdata-6 + dataNdata-7)]
    Nint ← (floor(3.3 · log(Ndata)))
    Inta ← (maxrx - minrx) / (Nint - 2)
  otherwise
    Nint ← floor(1. + 3.3 · log(Ndata))
    Inta ← (maxd - mind) / Nint
    minrx ← (mind + 0.999 · Inta)
    maxrx ← (maxd - 0.999 · Inta)
    precis ← (floor(log(Inta)))
    Delx ← (10precis-1)
    minrx ← ceil((minrx / Delx) · Delx)
    maxrx ← floor((maxrx / Delx) · Delx)
    Int ← (maxrx - minrx) / (Nint - 2)
    Vint0 ← (mind - 0.001 · Int)
    VintNint ← (maxd + 0.001 · Int)
    for i ∈ 1 .. (Nint - 1)
      Vinti ← [minrx + (i - 1) · Int]
    Fre ← (hist(Vint, data))
    if [(Vint1 - Vint0) < Int] · (Fre0 > Fre1)
      Fre0 ← (Fre0 + Fre1)
      for i ∈ 1 .. (Nint - 2)
        Vinti ← Vinti+1
        Frei ← Frei+1
      VintNint-1 ← VintNint
      Nint ← (Nint - 1)
    if [(VintNint - VintNint-1) < Int] · (FreNint-2 < FreNint-1)
      FreNint-2 ← (FreNint-2 + FreNint-1)
      VintNint-1 ← VintNint
      Nint ← (Nint - 1)
    fac0 ← Nint
    for i ∈ 1 .. Nint
      faci ← Frei-1
    for i ∈ 0 .. Nint
      facNint+i+1 ← Vinti
    fac2 · Nint+2 ← Int
  return (fac)

```

i := 0 .. Nint - 1

freint_{i+1,0} := Fre_i

	0	1	2	3	4	5
0	0	0	0	0	0	0
1	5	2.66513	8.99043	36.5742	3.0095	0.05776
2	11	13.26764	23.98117	54.72178	32.12036	10.68861
3	34	34.68035	23.98117	22.66989	44.08494	47.36699
4	40	43.74103	23.98117	9.39158	31.30497	42.12024
5	34	26.64313	23.98117	3.8907	14.12596	19.29478
6	6	7.94878	25.0849	1.6581	4.38531	7.17081

i := 0 .. Nint

j := 0 .. Nvar

freplot_{j,i} := freint_{i,j}

i := 1 .. Nint

plot0_i := freplot_{0,i}

plot1_i := freplot_{1,i}

plotf₀ := 0 plotf_{3,Nint+1} := 0

Nint = 6

plotf_{3,Nint+2} := 0

plotf₁ := 0 plotx_{3,Nint+1} := maxd

plotx_{3,Nint+2} := maxd

plotx₀ := Vint₀

k := 1 .. 3·Nint

plotf_k := 0

i_k := floor $\left(\frac{k-1}{k^3}\right) + 1$

l_k := floor $\left(\frac{1}{k^3}\right)$

m_k := mod(k³ - 1, 3)

n_k := mod(k, 3)

plotf_k := if $\left(m_k, \frac{\text{freplot}_{0,i_k}}{N\text{data}}, 0\right)$

plotx_k := if $\left[i_k, \text{Vint}(i_k), \text{Vint}(i_k)\right]$

plotf_{3,Nint} = 0.04615

$i := 0..Ndata - 1$

$$\text{plotfn}_i := \frac{\text{CumDen}(\text{type}_1, r_1, \text{data}_i + 0.1 \cdot \text{Int}, \text{blow}, \text{bup}) - \text{CumDen}(\text{type}_1, r_1, \text{data}_i - 0.1 \cdot \text{Int}, \text{blow}, \text{bup})}{0.2 \cdot \text{Int}}$$

$$\text{plotfn}_i := \text{Int} \cdot \text{plotfn}_i$$

$$\text{plotfun}_i := \frac{\text{Int}}{\text{maxd} - \text{mind}}$$

$$\text{plotfex}_i := \frac{\text{CumDen}(\text{type}_3, r_3, \text{data}_i + 0.1 \cdot \text{Int}, \text{blow}, \text{bup}) - \text{CumDen}(\text{type}_3, r_3, \text{data}_i - 0.1 \cdot \text{Int}, \text{blow}, \text{bup})}{0.2 \cdot \text{Int}}$$

$$\text{plotfex}_i := \text{Int} \cdot \text{plotfex}_i$$

$$\text{plotfRl}_i := \frac{\text{CumDen}(\text{type}_4, r_4, \text{data}_i + 0.1 \cdot \text{Int}, \text{blow}, \text{bup}) - \text{CumDen}(\text{type}_4, r_4, \text{data}_i - 0.1 \cdot \text{Int}, \text{blow}, \text{bup})}{0.2 \cdot \text{Int}}$$

$$\text{plotfRl}_i := \text{Int} \cdot \text{plotfRl}_i$$

$$\text{plotfGbL}_i := \frac{\text{CumDen}(\text{type}_5, r_5, \text{data}_i + 0.1 \cdot \text{Int}, \text{blow}, \text{bup}) - \text{CumDen}(\text{type}_5, r_5, \text{data}_i - 0.1 \cdot \text{Int}, \text{blow}, \text{bup})}{0.2 \cdot \text{Int}}$$

$$\text{plotfGbL}_i := \text{Int} \cdot \text{plotfGbL}_i$$

$$\text{plotfGbS}_i := \frac{\text{CumDen}(\text{type}_6, r_6, \text{data}_i + 0.1 \cdot \text{Int}, \text{blow}, \text{bup}) - \text{CumDen}(\text{type}_6, r_6, \text{data}_i - 0.1 \cdot \text{Int}, \text{blow}, \text{bup})}{0.2 \cdot \text{Int}}$$

$$\text{plotfGbS}_i := \text{Int} \cdot \text{plotfGbS}_i$$

$$\text{plotfn}_i := \frac{\text{CumDen}(\text{type}_7, r_7, \text{data}_i + 0.1 \cdot \text{Int}, \text{blow}, \text{bup}) - \text{CumDen}(\text{type}_7, r_7, \text{data}_i - 0.1 \cdot \text{Int}, \text{blow}, \text{bup})}{0.2 \cdot \text{Int}}$$

$$\text{plotfn}_i := \text{Int} \cdot \text{plotfn}_i$$

$$\text{plotfgm}_i := \frac{\text{CumDen}(\text{type}_8, r_8, \text{data}_i + 0.1 \cdot \text{Int}, \text{blow}, \text{bup}) - \text{CumDen}(\text{type}_8, r_8, \text{data}_i - 0.1 \cdot \text{Int}, \text{blow}, \text{bup})}{0.2 \cdot \text{Int}}$$

$$\text{plotfgm}_i := \text{Int} \cdot \text{plotfgm}_i$$

$$\text{plotfFq}_i := \frac{\text{CumDen}(\text{type}_9, r_9, \text{data}_i + 0.1 \cdot \text{Int}, \text{blow}, \text{bup}) - \text{CumDen}(\text{type}_9, r_9, \text{data}_i - 0.1 \cdot \text{Int}, \text{blow}, \text{bup})}{0.2 \cdot \text{Int}}$$

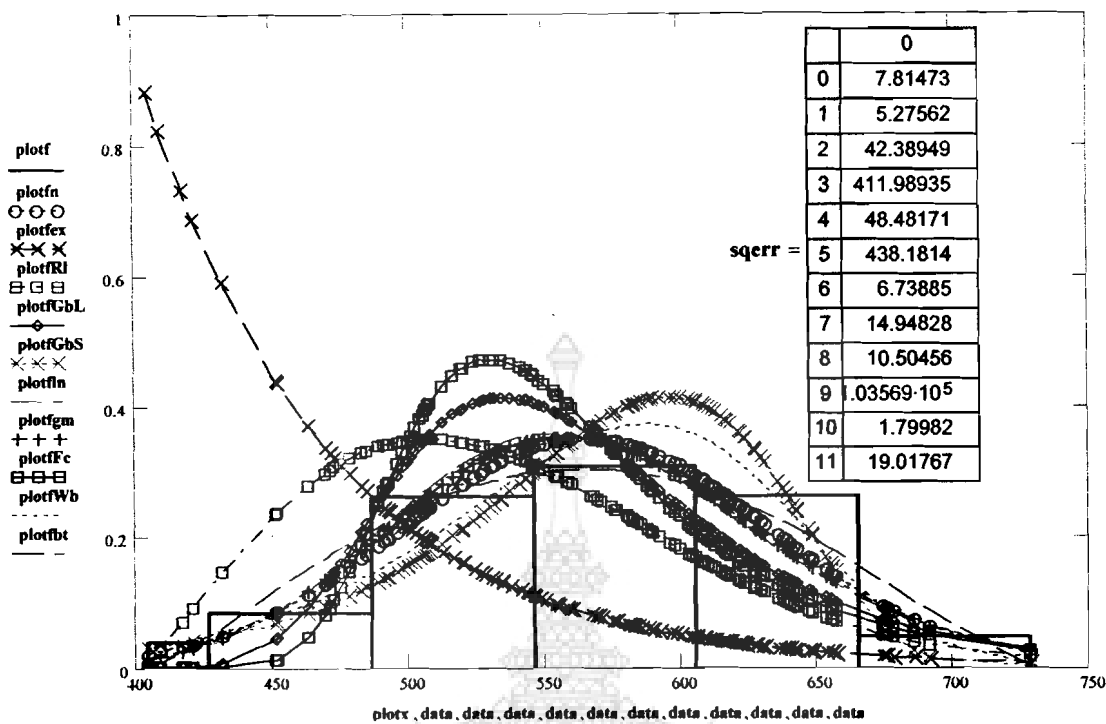
$$\text{plotfFq}_i := \text{Int} \cdot \text{plotfFq}_i$$

$$\text{plotfWh}_i := \frac{\text{CumDen}(\text{type}_{10}, r_{10}, \text{data}_i + 0.1 \cdot \text{Int}, \text{blow}, \text{bup}) - \text{CumDen}(\text{type}_{10}, r_{10}, \text{data}_i - 0.1 \cdot \text{Int}, \text{blow}, \text{bup})}{0.2 \cdot \text{Int}}$$

$$\text{plotfWh}_i := \text{Int} \cdot \text{plotfWh}_i$$

$$\text{plotfbt}_i := \frac{\text{CumDen}(\text{type}_{11}, r_{11}, \text{data}_i + 0.1 \cdot \text{Int}, \text{blow}, \text{bup}) - \text{CumDen}(\text{type}_{11}, r_{11}, \text{data}_i - 0.1 \cdot \text{Int}, \text{blow}, \text{bup})}{0.2 \cdot \text{Int}}$$

$$\text{plotfbt}_i := \text{Int} \cdot \text{plotfbt}_i$$



k := 0.. Ndata - 1

cumfre_{k,0} := cumfre_k

	0	1	2	3	4
0	7.69231·10 ⁻³	8.80122·10 ⁻³	0	0	0
1	0.01538	8.83643·10 ⁻³	3.08737·10 ⁻⁴	1.47377·10 ⁻³	4.66799·10 ⁻⁷
2	0.02308	0.01064	0.01482	0.06835	1.07493·10 ⁻³
3	0.03077	0.01439	0.03921	0.17081	7.50074·10 ⁻³
4	0.03846	0.01675	0.05187	0.21946	0.01309
5	0.04615	0.02426	0.08398	0.33046	0.03395
6	0.05385	0.04641	0.14511	0.50002	0.09798
7	0.06154	0.04742	0.14727	0.50515	0.10076
8	0.06923	0.06595	0.18154	0.57988	0.14904
9	0.07692	0.07893	0.2013	0.61772	0.17999
10	0.08462	0.08292	0.20685	0.62774	0.18905
11	0.09231	0.08705	0.21241	0.63749	0.19825
12	0.1	0.09279	0.21982	0.6501	0.21073
13	0.10769	0.09984	0.22847	0.66425	0.22556
14	0.11538	0.11197	0.24236	0.68581	0.24998
15	0.12308	0.11769	0.24853	0.69494	0.26103

k := 0.. Ndata - 1

pcf_k := cumfre_{k,0}

pcf_n_k := cumfre_{k,1}

pcf_u_k := cumfre_{k,2}

pcf_e_k := cumfre_{k,3}

pcf_R_k := cumfre_{k,4}

pcf_{GL}_k := cumfre_{k,5}

pcf_{GS}_k := cumfre_{k,6}

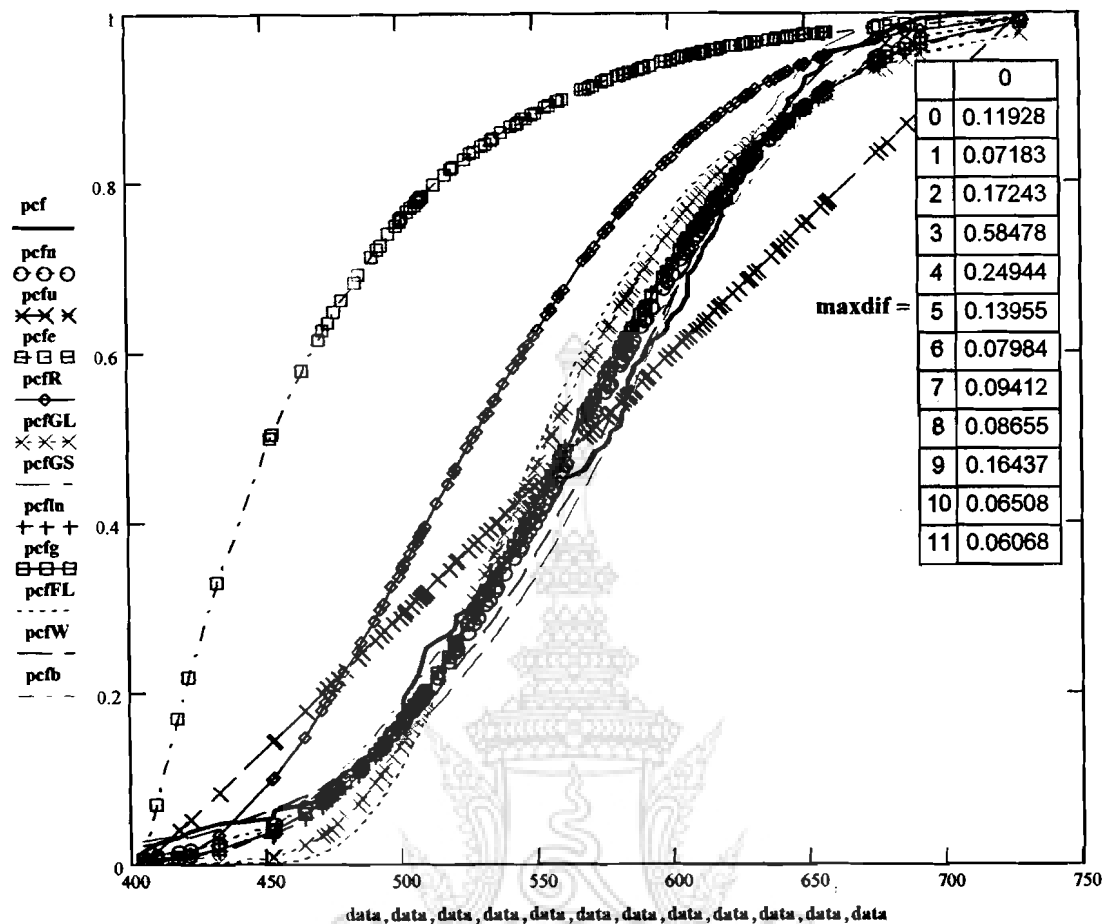
pcf_{fln}_k := cumfre_{k,7}

pcf_{fg}_k := cumfre_{k,8}

pcf_{FL}_k := cumfre_{k,9}

pcf_W_k := cumfre_{k,10}

pcf_b_k := cumfre_{k,11}



freint =

	0	1	2	3	4	5
0	0	0	0	0	0	0
1	5	2.66513	8.99043	36.5742	3.0095	0.05776
2	11	13.26764	23.98117	54.72178	32.12036	10.68861
3	34	34.68035	23.98117	22.66989	44.08494	47.36699
4	40	43.74103	23.98117	9.39158	31.30497	42.12024
5	34	26.64313	23.98117	3.8907	14.12596	19.29478
6	6	7.94878	25.0849	1.6581	4.38531	7.17081

Statistical Results

Result

Ndata = 130
meand = 565.55692
sigd = 67.80341
cov = 0.11989
NDataReq = 38

Term Definition

Ndata	Number of Data (Sample)
NdataReq	Data Requirement
meand	Mean of Data
sigd	Standard Deviation of Data
cov	Coeffiecnt of Variation (sigd/meand)
sqerr	Chi-Square Error
maxdif	Maximum of Different (K-S Test)
Fre	Frequency of each Interval
Freint	Frequency of each Interval of Type Distribution
vint	Boundary Value of each Interval

$$\mathbf{Fre} = \begin{pmatrix} 5 \\ 11 \\ 34 \\ 40 \\ 34 \\ 6 \end{pmatrix}$$

$$\mathbf{Vint} = \begin{pmatrix} 404.54025 \\ 427 \\ 486.75 \\ 546.5 \\ 606.25 \\ 666 \\ 728.55975 \end{pmatrix}$$

	0
0	7.81473
1	5.27562
2	42.38949
3	411.98935
4	48.48171
5	438.1814
6	6.73885
7	14.94828
8	10.50456
9	1.03569 · 10 ⁵
10	1.79982
11	19.01767

	0
0	0.11928
1	0.07183
2	0.17243
3	0.58478
4	0.24944
5	0.13955
6	0.07984
7	0.09412
8	0.08655
9	0.16437
10	0.06508
11	0.06068


Chi-Square TEST

if (sqerr_j < sqerr₀, type_j, 0) =

	0
0	0
1	"normal"
2	0
3	0
4	0
5	0
6	"GumbelSmallest"
7	0
8	0
9	0
10	"Weibull"
11	0

(K-S) TEST

if (maxdif_j < maxdif₀, type_j, 0)

	0
0	0
1	"normal"
2	0
3	0
4	0
5	0
6	"GumbelSmallest"
7	"lognormal"
8	"gamma"
9	0
10	"Weibull"
11	"beta"

Freight Factor

if [(sqerr_j < sqerr₀) \wedge (maxdif_j < maxdif₀) , type_j, 0] =

	0
0	0
1	"normal"
2	0
3	0
4	0
5	0
6	"GumbelSmallest"
7	0
8	0
9	0
10	"Weibull"
11	0

freint =

	0	1	2	3	4
0	0	0	0	0	0
1	5	2.66513	8.99043	36.5742	3.0095
2	11	13.26764	23.98117	54.72178	32.12036
3	34	34.68035	23.98117	22.66989	44.08494
4	40	43.74103	23.98117	9.39158	31.30497
5	34	26.64313	23.98117	3.8907	14.12596
6	6	7.94878	25.0849	1.6581	4.38531
7					

List of Abbreviations for Chi-Square Test Results

- 1 n Normal Distribution
- 2 un Uniform Distribution
- 3 ex Shifted Exponential Distribution
- 4 RI Shifted Rayleigh Distribution
- 5 GbL Gumbel (Type I-Largest Values) Distribution
- 6 Gbs Gumbel (Type I-Smallest Values) Distribution
- 7 ln Lognormal Distribution
- 8 gm Gamma Distribution
- 9 Fc Frechet (Type II-Largest) Distribution
- 10 Wb Weibull (Type III-Smallest) Distribution
- 11 bt Beta Distribution

List of Abbreviations for K-S Test Results

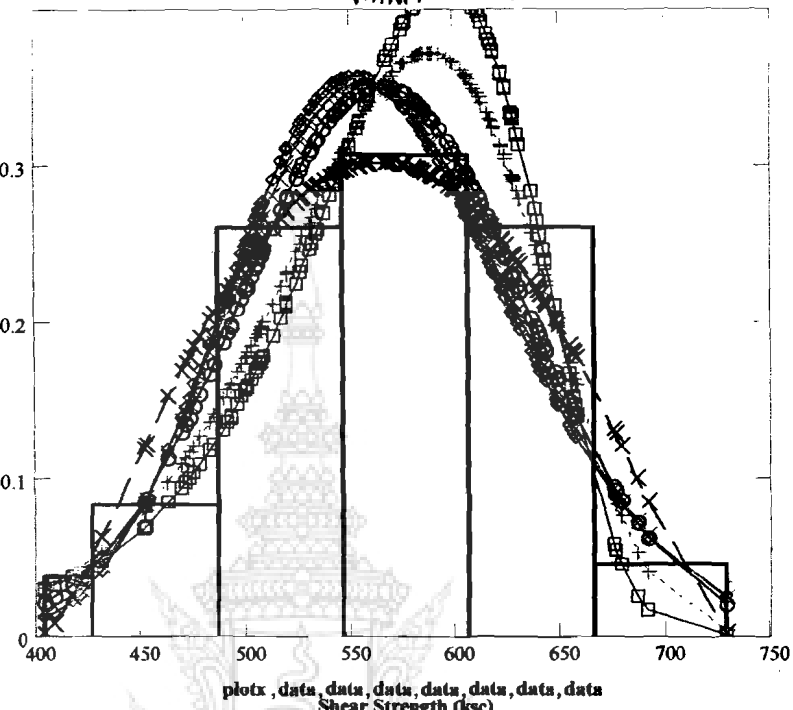
- 1 n Normal Distribution
- 2 u Uniform Distribution
- 3 e Shifted Exponential Distribution
- 4 R Shifted Rayleigh Distribution
- 5 GL Gumbel (Type I-Largest Values) Distribution
- 6 GS Gumbel (Type I-Smallest Values) Distribution
- 7 ln Lognormal Distribution
- 8 g Gamma Distribution
- 9 FL Frechet (Type II-Largest) Distribution
- 10 W Weibull (Type III-Smallest) Distribution
- 11 b Beta Distribution

Modulus of elasticity

plotf

- plotfn
- plotfGbS
- plotfln
- plotfgm
- plotfWb
- plotfbt
- plotfx

plotx , data
Shear Strength (ksc)



Modulus of elasticity

pcf

- pcf
- pcfFn
- pcfGL
- pcfGS
- pcfLn
- pcfGm
- pcfW
- pcfBt
- pcfLb

data , data
Modulus of elasticity(ksc)

